

titolo del progetto

– NUOVA SCUOLA PER L'INFANZIA A SEI SEZIONI  
IN LOCALITA' CASTELLO DI SERRAVALLE - VIALE G. VERDI  
COMUNE DI VALSAMOGGIA (BO)  
**PROGETTO ESECUTIVO**

committente

– COMUNE DI VALSAMOGGIA (Città Metropolitana di Bologna, BO), Piazza Garibaldi n° 1, 40053 - Valsamoggia (BO)

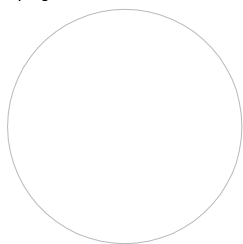
titolo della tavola

– RELAZIONE DI CALCOLO DELLE STRUTTURE–BLOCCO D (TABULATI NUMERICI)  
LA RELAZIONE SOSTITUISCE LA RELAZIONE 105 DEPOSITATA IN DATA 06/06/2017 PER RECEPIRE  
LE RICHIESTE DI INTEGRAZIONE DE SERVIZIO AREA RENO E PO DI VOLANO

| num. pratica | data emissione | redatto da | rapp. disegni | lay-out | fase operativa | file          |
|--------------|----------------|------------|---------------|---------|----------------|---------------|
| 4213         | febbraio 2017  | DB         | –             | –       | esecutivo      | 4213–RCSD.pdf |

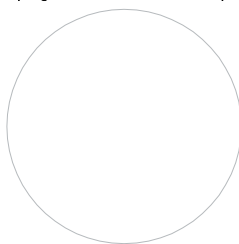
| rev. | data       | descrizione                                                                                  | redatto da |
|------|------------|----------------------------------------------------------------------------------------------|------------|
| A    | 15/05/2017 | REVISIONE COME DA INDICAZIONI DEL SERVIZIO AREA RENO E PO DI VOLANO DEL 14/04/2017           |            |
| B    | 22/08/2017 | RICHIESTA DI INTEGRAZIONI DEL SERVIZIO AREA RENO E PO DI VOLANO DEL 29/06/2017 (VS–005–2017) |            |
| C    |            |                                                                                              |            |
| D    |            |                                                                                              |            |
| E    |            |                                                                                              |            |

Il responsabile della  
progettazione architettonica



Arch. Enrico Termanini

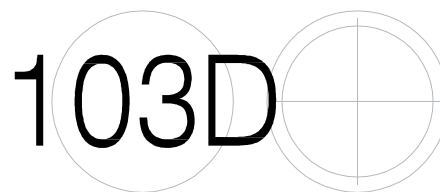
Il responsabile della  
progettazione strutturale e impiantistica



Ing. Davide Bedogni

N°. tavola

orientamento





NUOVA SCUOLA DELL'INFANZIA A SEI SEZIONI in località CASTELLO di SERRAVALLE

viale G. Verdi - COMUNE DI VALSAMOGGIA (BO)

**PROGETTO ESECUTIVO**

RELAZIONE DI CALCOLO STRUTTURALE BLOCCO D

---

## Sommario

|                                                                                                                                                                                                                                  |          |
|----------------------------------------------------------------------------------------------------------------------------------------------------------------------------------------------------------------------------------|----------|
| <b>2.1-PREMESSA.....</b>                                                                                                                                                                                                         | <b>3</b> |
| <b>2.2-ILLUSTRAZIONE SINTETICA DEGLI ELEMENTI ESSENZIALI DEL PROGETTO STRUTTURALE ( AI SENSI DEL D:G:R: N°1373 DEL 26/09/2011) .....</b>                                                                                         | <b>5</b> |
| 2.2.A- DESCRIZIONE DEL CONTESTO EDILIZIO E DELLE CARATTERISTICHE GEOLOGICHE , MORFOLOGICHE E IDROGEOLOGICHE DEL SITO .....                                                                                                       | 5        |
| 2.2.B- DESCRIZIONE GENERALE DELLA STRUTTURA.....                                                                                                                                                                                 | 6        |
| 2.2.C- NORMATIVA TECNICA E RIFERIMENTI TECNICI UTILIZZATI .....                                                                                                                                                                  | 9        |
| 2.2.D- DEFINIZIONE DEI PARAMETRI DI PROGETTO.....                                                                                                                                                                                | 10       |
| 2.2.E- DESCRIZIONE DEI MATERIALI E DEI PRODOTTI PER USO STRUTTURALE .....                                                                                                                                                        | 11       |
| 2.2.F- ILLUSTRAZIONE DEI CRITERI DI PROGETTAZIONE E DI MODELLAZIONE .....                                                                                                                                                        | 14       |
| 2.2.f.1-PRINCIPALI CARATTERISTICHE DELLA STRUTTURA .....                                                                                                                                                                         | 14       |
| 2.2.f.2-ANALISI DEI CARICHI AGENTI SULLE STRUTTURE.....                                                                                                                                                                          | 18       |
| 2.2.G- INDICAZIONE DELLE PRINCIPALI COMBINAZIONI DELLE AZIONI IN RELAZIONE AGLI SLU E SLE INDAGATI.....                                                                                                                          | 25       |
| 2.2.H- INDICAZIONE MOTIVATA DEL METODO DI ANALISI SEGUITO.....                                                                                                                                                                   | 41       |
| 2.2.I- CRITERI DI VERIFICA DEGLI STATI LIMITE INDAGATI, IN PRESENZA DI AZIONE SISMICA .....                                                                                                                                      | 44       |
| 2.2.J- RAPPRESENTAZIONE DELLA CONFIGURAZIONE DEFORMATA E DELLE CARATTERISTICHE DI SOLLECITAZIONE DELLE STRUTTURE PIÙ SIGNIFICATIVE/ SINTESI DELLE VERIFICHE DI SICUREZZA / GIUDIZIO MOTIVATO DI ACCETTABILITÀ DEI RISULTATI..... | 48       |
| 2.2.J.1-DIAGRAMMI DI INVILUPPO DELLE SOLLECITAZIONI.....                                                                                                                                                                         | 48       |
| 2.2.J.2-DEFORMATE DELLA STRUTTURA.....                                                                                                                                                                                           | 56       |
| 2.2.J.3-VERIFICA DEL CONTENIMENTO DEL DANNO PER ELEMENTI NON STRUTTURALI .....                                                                                                                                                   | 59       |
| 2.2.J.4-EFFETTI DEL II ORDINE .....                                                                                                                                                                                              | 63       |
| 2.2.J.5.SINTESI DELLE VERIFICHE DEGLI ELEMENTI STRUTTURALI .....                                                                                                                                                                 | 75       |

**NUOVA SCUOLA DELL'INFANZIA A SEI SEZIONI in località CASTELLO di SERRAVALLE**

**viale G. Verdi - COMUNE DI VALSAMOGGIA (BO)**

**PROGETTO ESECUTIVO**

**RELAZIONE DI CALCOLO STRUTTURALE BLOCCO D**

---

|                                                                             |            |
|-----------------------------------------------------------------------------|------------|
| 2.2.J.6-VERIFICA DEI TAMPONAMENTI ESTERNI IN LATERIZIO.....                 | 105        |
| 2.2.J.7-GIUDIZIO MOTIVATO DI ACCETTABILITA' DEI RISULTATI.....              | 115        |
| 2.2.K- CARATTERISTICHE E AFFIDABILITÀ DEL CODICE DI CALCOLO.....            | 118        |
| 2.2.L- CARATTERISTICHE DELLE STRUTTURE DI FONDAZIONE.....                   | 119        |
| <b>2.3- MODELLAZIONE DELLA GEOMETRIA E DELLE PROPRIETA' MECCANICHE.....</b> | <b>121</b> |
| 2.3.1-DATI RELATIVI AI NODI DELLA STRUTTURA.....                            | 125        |
| 2.3.2-ELEMENTI TIPO PILASTRO.....                                           | 129        |
| 2.3.3-ELEMENTI TIPO TRAVE .....                                             | 132        |
| 2.3.4-ELEMENTI A QUATTRO NODI.....                                          | 135        |
| <b>2.4 MODELLAZIONE DELLE AZIONI.....</b>                                   | <b>138</b> |
| 2.4.1-DATI RELATIVI ALLE AREE DI CARICO .....                               | 138        |
| 2.4.2. -CARICHI APPLICATI AGLI ELEMENTI .....                               | 141        |
| 2.4.3. -COMBINAZIONI E/O PERCORSI DI CARICO .....                           | 142        |
| <b>2.5 PRINCIPALI RISULTATI .....</b>                                       | <b>146</b> |
| 2.5.1-RISULTATI DELL'ANALISI MODALE .....                                   | 146        |
| 2.5.2-INVILUPPO DELLE SOLLECITAZIONI MAGGIORMENTE SIGNIFICATIVE.....        | 160        |
| 2.5.4-VERIFICHE DEGLI ELEMENTI STRUTTURALI .....                            | 174        |
| 2.5.4.1-Verifica pilastri in c.a.....                                       | 176        |
| 2.5.4.2-Verifica travi in c.a. ....                                         | 206        |
| 2.5.4.3-Verifica travi in legno .....                                       | 209        |
| 2.5.4.4-Verifica collegamenti travi in legno .....                          | 246        |
| 2.5.4.5-Verifica balcone metallico.....                                     | 268        |

**NUOVA SCUOLA DELL'INFANZIA A SEI SEZIONI in località CASTELLO di SERRAVALLE**

**viale G. Verdi - COMUNE DI VALSAMOGGIA (BO)**

**PROGETTO ESECUTIVO**

RELAZIONE DI CALCOLO STRUTTURALE BLOCCO D

## 2.1-PREMESSA

Il seguente elaborato costituisce la relazione di calcolo strutturale, comprensiva di una descrizione generale dell'opera e dei criteri generali di analisi e verifica come previsto al § 10.1 del Decreto ministeriale (infrastrutture) 14 gennaio 2008 : "Norme Tecniche per le Costruzioni" di seguito denominato NTC08.

La progettazione strutturale si è svolta in accordo e contemporaneamente al progetto architettonico.

Lo scopo della progettazione è la realizzazione di una struttura che nel complesso resista alle sollecitazioni di progetto causate da carichi sismici e statici e soddisfi le esigenze architettoniche ed impiantistiche.

La documentazione di base su cui si è operato è stata:

-il progetto architettonico;

-la relazione geologica-geotecnica per la caratterizzazione del suolo di riferimento, del carico massimo sul terreno e dei cedimenti ammissibili;

La tipologia di terreno pianeggiante non presenta particolari problemi per la realizzazione delle fondazioni.

Si riporta a seguito le figure principali del processo di progettazione e realizzazione:

### ESTREMI DEL COMMITTENTE

| <b>COMMITTENTE</b>                |                                |
|-----------------------------------|--------------------------------|
| <b>Nominativo/Ragione Sociale</b> | COMUNE DI VALSAMOGGIA, BOLOGNA |

### ESTREMI DEI PROGETTISTI

| <b>PROGETTISTA ARCHITETTONICO</b> |                                                                                          |
|-----------------------------------|------------------------------------------------------------------------------------------|
| <b>Nominativo</b>                 | Arch. Enrico Termanini                                                                   |
| <b>Studio/Indirizzo</b>           | Centro Cooperativo di Progettazione s.c.<br>Via Lombardia, 7, 42124 – Reggio Emilia (RE) |
| <b>Ordine Professionale</b>       | Iscritto all'Albo dell'Ordine degli Architetti della Provincia di Modena al n.425        |

| <b>PROGETTISTA STRUTTURALE</b> |                                                                                          |
|--------------------------------|------------------------------------------------------------------------------------------|
| <b>Nominativo</b>              | Ing. Davide Bedogni                                                                      |
| <b>Studio/Indirizzo</b>        | Centro Cooperativo di Progettazione s.c.<br>Via Lombardia, 7, 42124 – Reggio Emilia (RE) |

**NUOVA SCUOLA DELL'INFANZIA A SEI SEZIONI in località CASTELLO di SERRAVALLE**
**viale G. Verdi - COMUNE DI VALSAMOGGIA (BO)**
**PROGETTO ESECUTIVO**
**RELAZIONE DI CALCOLO STRUTTURALE BLOCCO D**

|                             |                                                                                          |
|-----------------------------|------------------------------------------------------------------------------------------|
| <b>Ordine Professionale</b> | Iscritto all'Albo dell'Ordine degli Ingegneri della Provincia di Reggio Emilia al n.1464 |
|-----------------------------|------------------------------------------------------------------------------------------|

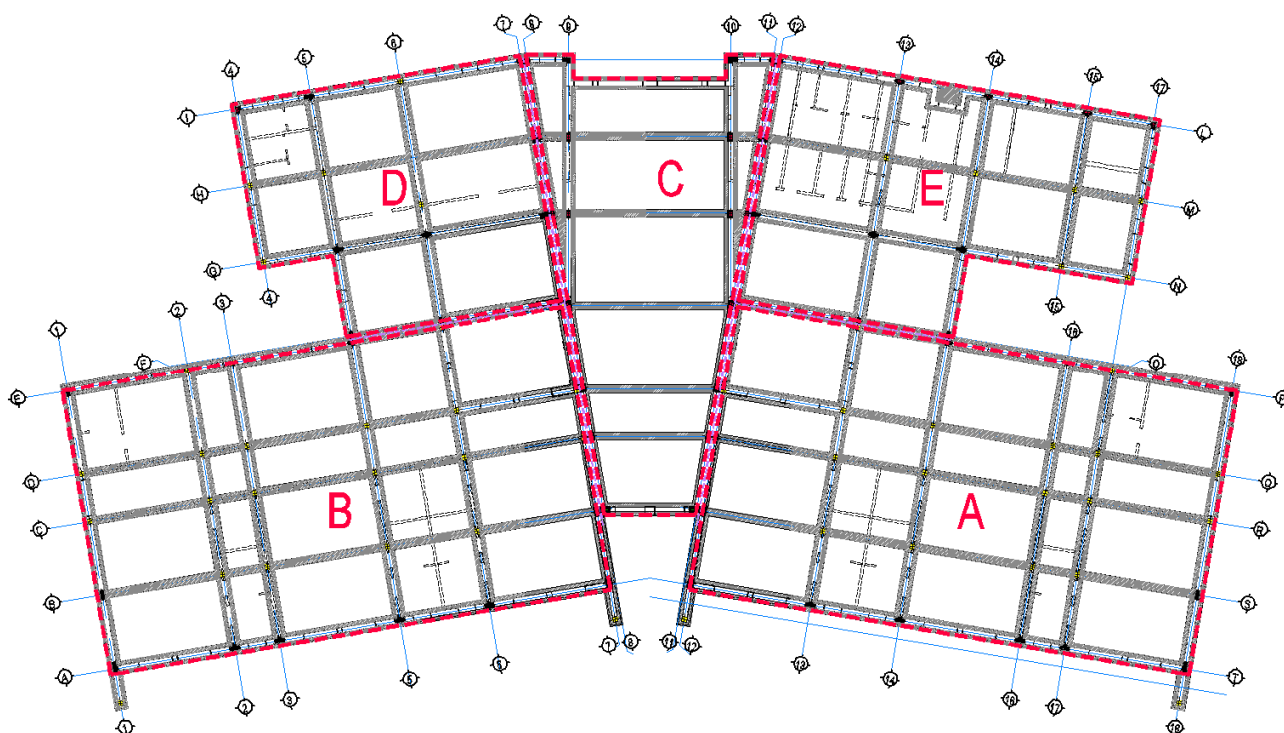
La presente relazione di calcolo si riferisce alla progettazione del fabbricato che ospiterà la nuova scuola dell'infanzia a sei sezioni in località Castello di Serravalle, in viale G. Verdi, Comune di Valsamoggia (BO).

L'edificio è stato suddiviso in cinque unità strutturali attraverso la duplicazione dei pilastri in corrispondenza dei giunti sismici, che sono stati verificati al "**cap.2.2.i**". La suddivisione in più unità strutturali ha permesso di eliminare le irregolarità in pianta della struttura e di studiare le unità strutturali come fabbricati regolari in pianta e a forma pressochè rettangolare.

Sono quindi stati studiati i 5 corpi di fabbrica con 5 modelli di calcolo indipendenti. E' stato poi studiato un ulteriore modello di calcolo per la verifica degli elementi di fondazione.

Sono stati studiati 6 modelli di calcolo:

- Modello A – struttura con ingombro di dimensioni 32x18m, ad un piano fuori terra
- Modello B – struttura con ingombro di dimensioni 32x18m ,ad un piano fuori terra
- Modello C – struttura con ingombro di dimensioni 27x15m, ad un piano fuori terra
- Modello D – struttura con ingombro di dimensioni 18x15m, a due piani fuori terra
- Modello E – struttura con ingombro di dimensioni 23x15m, a due piani fuori terra
- Modello FONDAZIONI – modello globale delle strutture di fondazione



NUOVA SCUOLA DELL'INFANZIA A SEI SEZIONI in località CASTELLO di SERRAVALLE

viale G. Verdi - COMUNE DI VALSAMOGGIA (BO)

**PROGETTO ESECUTIVO**

RELAZIONE DI CALCOLO STRUTTURALE BLOCCO D

**La presente relazione studia il fabbricato D**

## 2.2-ILLUSTRAZIONE SINTETICA DEGLI ELEMENTI ESSENZIALI DEL PROGETTO STRUTTURALE ( ai sensi del D:G:R: n°1373 del 26/09/2011)

### 2.2.a- Descrizione del contesto edilizio e delle caratteristiche geologiche , morfologiche e idrogeologiche del sito

Si riporta di seguito l'individuazione mediante mappa del sito oggetto d'intervento:



L'area destinata all'insediamento della nuova Scuola dell'infanzia, si sviluppa a sud ovest del centro di Castello di Serravalle, tra il centro abitato e il Torrente Ghiaia. Si tratta di un'area pianeggiante e ben esposta, situata ad una quota più bassa di circa 8 metri rispetto alla viabilità esistente (viale Verdi).

L'area, in proprietà dell'Amministrazione Comunale, è attualmente coltivata con colture foraggere. Il progetto prevede quindi di approfondire gli scavi di sbancamento per eliminare lo strato di coltivo per una profondità di 65 cm dalla quota attuale.

In ambito catastale trattasi del foglio 22, mappali 101, 102, 110, 110, 824.

L'indagine geologica svolta dal dott. geol. Matteo Simoni, iscritto all'Ordine dei Geologi della regione Emilia Romagna al n°795/A, ha permesso di identificare il sito come appartenente alla categoria **C**, ovvero "depositi di terreni a grana grossa mediamente addensati o terreni a grana fine mediamente consistenti"

**NUOVA SCUOLA DELL'INFANZIA A SEI SEZIONI in località CASTELLO di SERRAVALLE**
**viale G. Verdi - COMUNE DI VALSAMOGGIA (BO)**
**PROGETTO ESECUTIVO**
**RELAZIONE DI CALCOLO STRUTTURALE BLOCCO D**

Di seguito si riportano alcuni passaggi estratti dalla relazione geologica.

*“L'indagine svolta ha lo scopo di ricostruire la successione lito-stratigrafica del sottosuolo e caratterizza i terreni individuati dal punto di vista fisico-meccanico, specificando le proprietà stratigrafiche, granulometriche, tessiturali, fisiche, di resistenza al taglio e compressibilità, definendo i parametri dinamici degli stessi.*

*Sono state eseguite a tal fine:*

- due prove penetrometriche dinamiche medie (DPM),
- due sondaggi geognostici verticali a carotaggio continuo (SGV) con prove in foro e prelievo di campioni
- una prova down hole

*L'interpretazione dei dati acquisiti segnala la presenza di terreni superficiali, a prevalente composizione limosa-argillosa, caratterizzati da una velocità media delle onde di taglio di 112 m/s (Vp 350 m/sec), fino a 1,5m di profondità, supportati da uno strato metrico di ghiaie con poche sabbie con Vs di 420 m/s (Vp 1200 m/sec). Fino alla profondità di 15 m sono presenti argille limoso-ghiaiose da molto compatte a dure, parzialmente alterate, con un valore medio di Vs pari a 353m/s.*

*Sviluppando la formula della velocità equivalente delle onde di taglio per la prospezione di sismica passiva realizzata, i terreni indagati appartengono alla categoria **C**, ricadendo nell'intervallo 180-360, con un valore di Vs30 pari a 355m/s, calcolato dalla superficie topografica.*

*In base alle verifiche svolte, lo strato a composizione prevalentemente sabbiosa, posto tra -2m e -3m di profondità, non è liquefacibile.*

*Nel'area di intervento non si evidenziano processi evolutivi che possono far dubitare su fenomeni di instabilità. Dall'indagine geologico-tecnica eseguita si ritengono compatibili gli interventi di progetto in relazione alle condizioni evidenziate nel presente documento e alle prescrizioni di legge illustrate. Il giudizio di fattibilità dell'intervento in relazione al contesto geologico e geomorfologico dell'area è dunque positivo.”*

Si riportano di seguito i principali parametri fisici, di resistenza a taglio e di compressibilità attribuiti alle unità di terreno individuate.

| Profondità (m) | Comportamento | $\gamma$             | $\phi_u$ | $C_u$ | $\phi'$ | $c'$  |
|----------------|---------------|----------------------|----------|-------|---------|-------|
|                |               | (kN/m <sup>3</sup> ) | (°)      | (kPa) | (°)     | (kPa) |
| 1,5            | Coesivo       | 19,4                 | --       | 45    | 26      | 14    |
| 3,0            | Incoerente    | 17,7                 | 42       | --    | 34      | 20    |
| 15,0           | Coesivo       | 20,6                 | --       | 95    | 28      | 40    |
| 35,0           |               | 19,5                 | --       | 120   |         | 60    |

## 2.2.b- Descrizione generale della struttura

La presente relazione di calcolo si riferisce alla progettazione della nuova scuola d'infanzia da realizzare in località Castello di Serravalle, viale G. Verdi, Comune di Valsamoggia (BO). La nuova struttura avrà dimensioni complessive 73x41 m ed altezza massima di 6 m circa.

**NUOVA SCUOLA DELL'INFANZIA A SEI SEZIONI in località CASTELLO di SERRAVALLE****viale G. Verdi - COMUNE DI VALSAMOGGIA (BO)****PROGETTO ESECUTIVO****RELAZIONE DI CALCOLO STRUTTURALE BLOCCO D**

---

La struttura sarà realizzata ad un piano fuori terra totalmente ad uso scolastico ad esclusione di una piccola porzione su due livelli (dove il secondo livello sarà adibito a locale tecnico), ed è stata suddivisa in cinque unità strutturali di forma regolare e indipendenti tra loro, in quanto separate da efficace giunto strutturale.

La struttura sarà realizzata con:

- pilastri in c.a., con calcestruzzo di classe C25/30 ed acciaio B450 C,
- copertura con travi in legno lamellare GL 24H,
- solaio intermedio in legno con cappa di 5 cm in c.a.
- trave in c.a dim. 30x34cm
- trave parete in materiale x-lam
- fondazioni di tipo diretto con travi rovesce e travi di collegamento in c.a., poste a quota -1,02mt rispetto al piano finito interno, con calcestruzzo di classe C25/30 ed acciaio B450 C,
- balcone di accesso al secondo livello adibito a locale tecnico con balcone metallico realizzato con quattro profili metallici a sbalzo e orizzontamento in grigliato metallico antitacco. Per l'accesso al balcone è prevista una scala metallica alla marinara.

**Opere di Fondazione**

Hanno la funzione di basamentare il fabbricato e quindi di trasferire al terreno sottostante i carichi e le sollecitazioni che gli derivano dalla struttura in elevazione.

Le fondazioni sono costituite da travi rovesce di fondazione, in calcestruzzo armato, con calcestruzzo di classe C25/30 ed acciaio B450 C e di sezione:

- sezione a T rovescia con B=80cm, H=100cm, h=30cm, b=70cm
- sezione a T rovescia con B=80cm, H=100cm, h=30cm, b=45cm
- trave di collegamento a sezione rettangolare con B=50cm e H.=30cm
- trave di collegamento a sezione rettangolare con B=80cm e H.=30cm

**Strutture in elevazione**

Hanno la funzione di trasferimento dei carichi dai diversi livelli alle fondazioni e di contrastare le azioni orizzontali provocate da eventuale sisma.

-I pilastri sono realizzati in cemento armato, con sezione 30x30cm , 40x30cm , 50x30cm, 65x30cm con calcestruzzo di classe C25/30 e acciaio B450C.

-La copertura sarà realizzata con travi in legno lamellare tipo GL 24H di sezione 20x44 cm, in appoggio sui pilastri e travetti di dimensione 18x36cm e 16x28cm.

- E' presente una trave in materiale x-lam su due appoggi in corrispondenza del filo 6. Le caratteristiche meccaniche e le relative certificazioni sono allegate alla relazione.

**NUOVA SCUOLA DELL'INFANZIA A SEI SEZIONI in località CASTELLO di SERRAVALLE****viale G. Verdi - COMUNE DI VALSAMOGGIA (BO)****PROGETTO ESECUTIVO****RELAZIONE DI CALCOLO STRUTTURALE BLOCCO D**

---

Le sollecitazioni relative alla trave x-lam sono state fornite dalla scheda excel con dimensionamento della trave e riportate come carichi caratteristici ai pilastri sui quali la trave si appoggia.

-Il primo solaio in corrispondenza del locale tecnico sarà realizzato con travi principali in legno lamellare tipo GL 24H di dimensione 24x44cm, 16x68cm, 24x56cm e travetti di dimensione 16x32 passo 70cm.

-E' presente una sola trave in c.a. in corrispondenza del filo 5 per il sostegno del balcone metallico. Su questa trave si incastrano le travi a mensola del balcone attraverso una piastra rettangolare e sei innesti chimici tipo HILTI o simili.

**Strutture di piano**

Hanno la funzione di ricevere direttamente le diverse condizioni di carico e di trasferirle alle strutture verticali;

-Il primo solaio sarà realizzato con travetti in legno e cappa soprastante in c.a di spessore 5cm adeguatamente collegata alla struttura sottostante (vedi "cap.2.5.4.4-Verifica collegamenti delle travi in legno"), per permettere un'adeguata distribuzione dei carichi gravanti sul solaio stesso. Il primo solaio ospiterà i locali tecnici.

-La copertura sarà realizzata con travetti in legno lamellare e tavolato in OSB di spessore 22mm,

Nel modello sono presenti unicamente le travi principali lignee, mentre gli arcarecci a passo 70cm sono stati inseriti come carico permanente G1 distribuito.

La cappa in c.a. è stata modellata con elementi tipo shell in calcestruzzo di spessore 5 cm e di rigidità analoga a quella della soletta.

Tutte le travi lignee sono state studiate con appositi fogli excell e le verifiche sono state riportate al **"cap.2.5.4.3-verifica travi in legno"**

**NUOVA SCUOLA DELL'INFANZIA A SEI SEZIONI in località CASTELLO di SERRAVALLE****viale G. Verdi - COMUNE DI VALSAMOGGIA (BO)****PROGETTO ESECUTIVO****RELAZIONE DI CALCOLO STRUTTURALE BLOCCO D**

---

**2.2.c- Normativa tecnica e riferimenti tecnici utilizzati****Strutture**

- Legge 05.11.1971 , n° 1086 “ Norme per la disciplina delle opere di conglomerato cementizio armato, normale e precompresso ed a struttura metallica”.

**Sismica**

- Legge 64/1974 del 02/02/1974 “Provvedimenti per le costruzioni in particolare per le zone sismiche”;

DPR n°380 del 2001

- Allegato 2 dell'OPCM 20/03/2003 n.3274: “Primi elementi in materia di criteri generali per la classificazione sismica del territorio nazionale e di normative tecniche per le costruzioni in zona sismica” come modificato dall'OPCM 3431 del 03/05/2005;

- Decreto Ministero delle Infrastrutture e trasporti 14/01/2008 “Approvazione delle nuove Norme Tecniche per le costruzioni”;

- Legge Regione emilia Romagna n°19 del 30/10/2008;

- Circolare n°617/CSLLPP del 02-02-2009;

- GPG/2010/195 del 01/02/2010 (Regione Emilia Romagna);

- PG/2010/114855 del 27/04/2010 (Regione Emilia Romagna);

- GPG/2010/1218 del 26/07/2010 (Regione Emilia Romagna);

- PG/2010/0194001 del 26/07/2010 (Regione Emilia Romagna);

**Materiali**

- Consiglio Superiore dei Lavori Pubblici – Servizio Tecnico Centrale : Linee guida per la messa in opera del calcestruzzo strutturale e per la valutazione delle caratteristiche meccaniche del calcestruzzo indurito mediante prove non distruttive.

NUOVA SCUOLA DELL'INFANZIA A SEI SEZIONI in località CASTELLO di SERRAVALLE

viale G. Verdi - COMUNE DI VALSAMOGGIA (BO)

**PROGETTO ESECUTIVO**

RELAZIONE DI CALCOLO STRUTTURALE BLOCCO D

---

2.2.d- Definizione dei parametri di progetto

**SITO DI RIFERIMENTO:**

Provincia: Bologna, Comune di Valsamoggia, località Castelletto

Indirizzo: viale G. Verdi

Longitudine: 11.064019°

Latitudine: 44.442423°

Categoria sottosuolo: C

Categoria topografica: T1

**PARAMETRI DELL'OPERA:**

Vita Nominale:  $V_N = 50$  anni

Classe d'uso: III

Coefficiente  $C_u = 1.5$

Periodo di riferimento:  $V_R = 75$  anni

**Fattore di struttura massimo q per sisma orizzontale 1,50**

Le azioni agenti sulla struttura e considerate nel calcolo sono il peso proprio delle strutture, i carichi permanenti, il sovraccarico accidentale, l'azione della neve per il sito di riferimento e l'azione sismica; tali azioni sono riportate al capitolo **“2.2.f.2 Carichi agenti sulla struttura”**

NUOVA SCUOLA DELL'INFANZIA A SEI SEZIONI in località CASTELLO di SERRAVALLE

viale G. Verdi - COMUNE DI VALSAMOGGIA (BO)

**PROGETTO ESECUTIVO**

RELAZIONE DI CALCOLO STRUTTURALE BLOCCO D

2.2.e- Descrizione dei materiali e dei prodotti per uso strutturale

**ELENCO DEI MATERIALI AD USO STRUTTURALE UTILIZZATI**

**-Calcestruzzo (fondazioni e pilastri)  $f_{ck}/R_{ck} = 25/30$**

Classe di resistenza : C30

Classe di esposizione : XC2

Classe di consistenza : S3/S4

dim. max inerti : 32 mm

Con:

-  $f_{ck} = 0,83 R_{ck} = 24,9 \text{ N/mm}^2$

-  $R_{ck} = 30 \text{ N/mm}^2$

-  $E_{cm} = 22'000[f_{cm}/10]^{0,3} = 22'000[(f_{ck}+8)/10]^{0,3} = 31'447,16 \text{ N/mm}^2$

- Coefficiente di Poisson 0,10

-  $G = E_{cm}/2(1+0,1) = 14'294'163 \text{ KN/m}^2$

-  $\gamma_c = 1,5$

**Acciaio in barre per getti C.A.: tipo B 450 C** controllato in stabilimento , saldabile

|                                               |                                                                                                                                                                                                                 |
|-----------------------------------------------|-----------------------------------------------------------------------------------------------------------------------------------------------------------------------------------------------------------------|
| Proprietà reologiche:                         | $E = 20000 \text{ (kN/cm}^2\text{)}$<br>$\nu = 0.300$<br>$G = 7692.3 \text{ (kN/cm}^2\text{)}$                                                                                                                  |
| Tipologia del Materiale: Acciaio per Armature | $f_{yk} = 45 \text{ (kN/cm}^2\text{)}$<br>$\gamma_{M,c} = 1.15$<br>$\gamma_{M,t} = 1.15$<br>$\gamma_{M,ecc} = 1$<br>$f_u = 54 \text{ (kN/cm}^2\text{)}$<br>$\epsilon_{ud} = 0.0675$<br>Aderenza Migliorata = Si |
| Valori di progetto                            | $f_{cd} = 39.13 \text{ (kN/cm}^2\text{)}$<br>$f_{ctd} = 39.13 \text{ (kN/cm}^2\text{)}$<br>$P_s = 7.85e-005 \text{ (kN/cm}^3\text{)}$<br>$\alpha = 1.2e-005 \text{ (1/}^\circ\text{C)}$                         |

**NUOVA SCUOLA DELL'INFANZIA A SEI SEZIONI in località CASTELLO di SERRAVALLE**
**viale G. Verdi - COMUNE DI VALSAMOGGIA (BO)**
**PROGETTO ESECUTIVO**

RELAZIONE DI CALCOLO STRUTTURALE BLOCCO D

**Legno lamellare GL 24H**

| Classe di resistenza del legno lamellare incollato |                 | GL 24h | GL 28h | GL 32h | GL 36h |
|----------------------------------------------------|-----------------|--------|--------|--------|--------|
| Resistenza a flessione                             | $f_{m,g,k}$     | 24     | 28     | 32     | 36     |
| Resistenza a trazione                              | $f_{t,0,g,k}$   | 16,5   | 19,5   | 22,5   | 26     |
|                                                    | $f_{t,90,g,k}$  | 0,4    | 0,45   | 0,5    | 0,6    |
| Resistenza a compressione                          | $f_{c,0,g,k}$   | 24     | 26,5   | 29     | 31     |
|                                                    | $f_{c,90,g,k}$  | 2,7    | 3,0    | 3,3    | 3,6    |
| Resistenza a taglio                                | $f_{v,g,k}$     | 2,7    | 3,2    | 3,8    | 4,3    |
| Modulo di elasticità                               | $E_{0,g,mean}$  | 11 600 | 12 600 | 13 700 | 14 700 |
|                                                    | $E_{0,g,05}$    | 9 400  | 10 200 | 11 100 | 11 900 |
|                                                    | $E_{90,g,mean}$ | 390    | 420    | 460    | 490    |
| Modulo di taglio                                   | $G_{g,mean}$    | 720    | 780    | 850    | 910    |
| Massa volumica                                     | $\rho_{g,k}$    | 380    | 410    | 430    | 450    |

**Profilati in acciaio S235**

| Acciai laminati         |                                    |                       |                                        |                       |
|-------------------------|------------------------------------|-----------------------|----------------------------------------|-----------------------|
| Norma e tipo di acciaio | Spessore nominale della membratura |                       |                                        |                       |
|                         | $t \leq 40 \text{ mm}$             |                       | $40 \text{ mm} < t \leq 80 \text{ mm}$ |                       |
| EN 10025-2              | $f_y [\text{N/mm}^2]$              | $f_u [\text{N/mm}^2]$ | $f_y [\text{N/mm}^2]$                  | $f_u [\text{N/mm}^2]$ |
| S 235                   | 235                                | 360                   | 215                                    | 360                   |
| S 275                   | 275                                | 430                   | 255                                    | 410                   |
| S 355                   | 355                                | 510                   | 335                                    | 470                   |
| S 450                   | 440                                | 550                   | 410                                    | 550                   |

NUOVA SCUOLA DELL'INFANZIA A SEI SEZIONI in località CASTELLO di SERRAVALLE

viale G. Verdi - COMUNE DI VALSAMOGGIA (BO)

**PROGETTO ESECUTIVO**

RELAZIONE DI CALCOLO STRUTTURALE BLOCCO D

**Legno XLAM sp240mm materiale C24**

|                                          |               |                        |
|------------------------------------------|---------------|------------------------|
| Resistenza a flessione                   | $f_{m,k}$     | 24 MPa                 |
| Resistenza a trazione parallela          | $f_{t,0,k}$   | 14 MPa                 |
| Resistenza a trazione perpendicolare     | $f_{t,90,k}$  | 0.4 MPa                |
| Resistenza a compressione parallela      | $f_{c,0,k}$   | 21 MPa                 |
| Resistenza a compressione perpendicolare | $f_{c,90,k}$  | 2.5 MPa                |
| Resistenza a taglio                      | $f_v,k$       | 2.5 MPa                |
| Massa volumica caratteristica            | $\rho_k$      | 350 daN/m <sup>3</sup> |
|                                          |               |                        |
| Modulo elastico medio parallelo          | $E_{0,men}$   | 11000 MPa              |
| Modulo elastico parallelo                | $E_k$         | 7400 MPa               |
| Modulo elastico medio perpendicolare     | $E_{90,mean}$ | 370 MPa                |
| Modulo di taglio medio                   | $G_{mean}$    | 690 MPa                |
| Modulo di taglio medio parallelo         | $G_{R,mean}$  | 50 MPa                 |

**(v. scheda tecnica allegata)**

**Approval body for construction products  
and types of construction**

**Bautechnisches Prüfamt**

An institution established by the Federal and  
Laender Governments



## European Technical Assessment

**ETA-06/0009  
of 7 April 2016**

English translation prepared by DIBt - Original version in German language

### General Part

Technical Assessment Body issuing the  
European Technical Assessment:

Deutsches Institut für Bautechnik

Trade name of the construction product

Binderholz Brettsper Holz BBS

Product family  
to which the construction product belongs

Binderholz Brettsper Holz BBS  
Multilayered timber elements for walls, ceilings, roofs and  
special construction components

Manufacturer

Binderholz Bausysteme GmbH  
Zillertalstraße 39  
6263 FÜGEN  
ÖSTERREICH

Manufacturing plant

W01, W02, W03, W04

This European Technical Assessment  
contains

19 pages including 5 annexes which form an integral part  
of this assessment

This European Technical Assessment is  
issued in accordance with Regulation (EU)  
No 305/2011, on the basis of

European Assessment Document (EAD)  
130005-00-0304

This version replaces

ETA-06/0009 issued on 19 June 2013

**European Technical Assessment**

**ETA-06/0009**

English translation prepared by DIBt

**Page 2 of 19 | 7 April 2016**

The European Technical Assessment is issued by the Technical Assessment Body in its official language. Translations of this European Technical Assessment in other languages shall fully correspond to the original issued document and shall be identified as such.

Communication of this European Technical Assessment, including transmission by electronic means, shall be in full. However, partial reproduction may only be made with the written consent of the issuing Technical Assessment Body. Any partial reproduction shall be identified as such.

This European Technical Assessment may be withdrawn by the issuing Technical Assessment Body, in particular pursuant to information by the Commission in accordance with Article 25(3) of Regulation (EU) No 305/2011.

## Specific part

### 1 Technical description of the product

"*Binderholz Brettsperrholz BBS*" are plane timber building components which are made of at least three layers of softwood boards. Adjacent layers are glued together with an angle of 90°. The cross section of the elements is symmetric. The term symmetry only refers to the properties of the product which are relevant for the load-bearing capacity: geometry (grain direction of the longitudinal and cross layers) and strength of the applied timber (grading and classification).

The components and the system setup of the elements are given in Annex 1.

Two adjacent layers may be oriented with parallel grain direction if a symmetric and crosswise blocked structure is guaranteed.

Not load-bearing outer layers are permissible.

Building elements are plane.

The elements can be produced with a width up to 3.5 m and a length up to 22 m as *Großformat* and with a width up to 1.25 m and a length up to 5 m as *Systemformat*.

By cutting after the production more narrow elements can be fabricated.

The building components in *Systemformat* with a width up to 1.25 m may be connected in the plant in longitudinal direction by large finger jointing in accordance with EN 14080<sup>1</sup> to a length of up to 24 m.

The application of chemical substances (wood preservatives and flame-protective agents) is not subject of this European technical assessment.

#### Manufacturing

The cross laminated timber elements are manufactured in accordance with the provisions of this European technical assessment using the automated manufacturing process in accordance with the technical documentation.

The layers shall be bonded together to the required thickness of the cross laminated timber.

Specifications of the used boards are given in Annex 2. Boards are visually or machine strength graded. Only technically dried wood shall be used.

Only boards which are planed on both sides of the outer layer shall be used. The boards may be connected by finger joints in longitudinal direction according to EN 14080. There shall be no butt joints.

The boards of the longitudinal layers of the *Großformat* have grooves with a width of 4 mm in grain direction. The distances of the grooves from the edge and among each other must be in a range of 40 mm to 80 mm. The remaining thickness of the board under the groove must be 50 % of the thickness of the board at least.

The single boards of the layers in longitudinal direction may be glued at narrow side. The permissible width of the gap is given in Annex 2.

The solid wood slab elements correspond to the specifications given in Annexes 1 to 3 of this European technical assessment. The material characteristics, dimensions and tolerances of the solid wood slab elements not indicated in these Annexes are given in the technical documentation of the European technical assessment.

<sup>1</sup> EN 14080:2013

Timber structures - Glued laminated timber and glued solid timber - Requirements

### Design

The European Technical Assessment only applies to the manufacture and use of solid wood slab elements. Verification of stability of the building while using the solid wood slab elements is not subject of the European Technical Assessment.

The following conditions shall be observed:

- Design of the solid wood slab elements is carried out under the responsibility of an engineer experienced in such products.
- Design of the works shall account for the protection of the solid wood slab elements.
- The solid wood slab elements are installed correctly.

The design of the solid wood slab element can be performed according to EN 1995-1-1<sup>2</sup>, taking into account Annexes 2 to 5 of the European Technical Assessment. Standards and regulations valid in the place of use shall be considered.

### Packaging, transport, storage, maintenance and repair

The solid wood slab elements shall be protected during transport and storage against any damage and detrimental moisture effects. The manufacturer's instructions for packaging, transport and storage shall be observed.

The assessment of the fitness for use is based on the assumption that maintenance is not required during the assumed intended working life. In case of a severe damage of a solid wood slab element immediate actions regarding the mechanical resistance and stability of the works shall be initiated. Should this situation arise replacement of the elements can be necessary.

### Installation

The manufacturer shall prepare assembling instructions in which the product-specific characteristics and important measures to be taken into consideration for assembling are described. The assembling instructions shall be available at every construction site.

The assembling of the solid wood slab elements according to this European technical assessment shall be carried out by appropriately qualified personnel.

Elements which are directly exposed to the weather shall be provided with an effective protection for the cross laminated timber element during assembling and service.

The safety-at-work and health protection regulations have to be observed.

## **2 Specification of the intended use in accordance with the applicable European Assessment Document**

The elements are intended to be used as load-bearing and/or stiffening or not load-bearing wall, ceiling/floor, roof and special construction components for timber structures. For the taking up and transmitting of loads they may be stressed both perpendicular to the element plane and in the element plane.

The solid wood slab element shall be subjected to static and quasi-static actions only.

The solid wood slab element is intended to be used in service classes 1 and 2 according to EN 1995-1-1.

Members which are directly exposed to the weather shall be provided with an effective protection for the solid wood slab element in service.

The performances given in Section 3 are only valid if the solid wood slab elements are used in compliance with the specifications and conditions given in Annex 1 to 5.

<sup>2</sup> EN 1995-1-1:2004+A1:2008+A2:2014 Eurocode 5: Design of timber structures – Part 1-1: General - Common rules and rules for buildings

The verifications and assessment methods on which this European Technical Assessment is based lead to the assumption of a working life of the solid wood slab element of at least 50 years. The indications given on the working life cannot be interpreted as a guarantee given by the producer, but are to be regarded only as a means for choosing the right products in relation to the expected economically reasonable working life of the works.

### 3 Performance of the product and references to the methods used for its assessment

#### 3.1 Mechanical resistance and stability <sup>1)</sup> (BWR 1)

| Essential characteristic                                                                                                                                                                                 | Performance |
|----------------------------------------------------------------------------------------------------------------------------------------------------------------------------------------------------------|-------------|
| Bending <sup>2)</sup>                                                                                                                                                                                    | Annex 3     |
| Tension and compression <sup>2)</sup>                                                                                                                                                                    | Annex 3     |
| Shear <sup>2)</sup>                                                                                                                                                                                      | Annex 3     |
| Embedment strength                                                                                                                                                                                       | Annex 3     |
| Creep and duration of the load                                                                                                                                                                           | Annex 3     |
| Dimensional stability                                                                                                                                                                                    | Annex 3     |
| In-service environment                                                                                                                                                                                   | Annex 3     |
| Bond integrity                                                                                                                                                                                           | Annex 3     |
| <sup>1)</sup> This characteristic also relates to BWR 4.<br><sup>2)</sup> Load bearing capacity and stiffness regarding mechanical actions perpendicular to and in plane of the solid wood slab element. |             |

For gluing the board layers, for the finger joint connection of the individual boards and for the large finger joint connection an adhesive which meet the requirements of EN 301<sup>3</sup> shall be used. Alternatively a one component polyurethane adhesive which meets the requirements of EN 15425<sup>4</sup> and EN 14080<sup>5</sup>, annex B.2 considering annex B.1, may be used.

Regarding the applicable type of adhesive national regulations apply.<sup>6</sup>

Details on the adhesives and the bonding process are deposited with Deutsches Institut für Bautechnik.

#### 3.2 Safety in case of fire (BWR 2)

| Essential characteristic | Performance |
|--------------------------|-------------|
| Reaction to fire         | Annex 3     |
| Resistance to fire       | Annex 3     |

<sup>3</sup> EN 301:2013 Adhesives, phenolic and aminoplastic, for load-bearing timber structures

<sup>4</sup> EN 15425:2008 Adhesives – One component polyurethane for load bearing timber structures – Classification and performance requirements

<sup>5</sup> EN 14080:2013 Timber structures – Glued laminated timber and glued solid timber - Requirements

<sup>6</sup> In Germany adhesives of the type I are to be used.

### 3.3 Hygiene, health and the environment (BWR 3)

| Essential characteristic                                 | Performance                                                                                                                                                                                                                                                                                                                                                                                                                                                                                                                                                                                                                                                   |
|----------------------------------------------------------|---------------------------------------------------------------------------------------------------------------------------------------------------------------------------------------------------------------------------------------------------------------------------------------------------------------------------------------------------------------------------------------------------------------------------------------------------------------------------------------------------------------------------------------------------------------------------------------------------------------------------------------------------------------|
| Content of dangerous substances                          | The manufacturer has submitted a written declaration to the Technical Assessment Body (DIBt) that no dangerous substances > 0.1 wt. % are used in the product assessed by the present ETA.<br>Only wood based panels which can be assigned to formaldehyde class E1 according to EN 13986 shall be used.<br>The use of wood preservatives and flame retardants is excluded.<br>The chemical composition of the adhesives for gluing the board layers, the finger joint connection of the individual boards and the universal finger joint connection has to be in compliance with the chemical composition deposited at the Technical Assessment Body (DIBt). |
| Release scenarios regarding BWR 3                        | IA 1, IA 2                                                                                                                                                                                                                                                                                                                                                                                                                                                                                                                                                                                                                                                    |
| Water vapour permeability –<br>Water vapour transmission | Annex 3                                                                                                                                                                                                                                                                                                                                                                                                                                                                                                                                                                                                                                                       |

### 3.4 Safety and accessibility in use (BWR 4)

| Essential characteristic | Performance |
|--------------------------|-------------|
| Impact resistance        | Annex 3     |

### 3.5 Protection against noise (BWR 5)

| Essential characteristic  | Performance |
|---------------------------|-------------|
| Airborne sound insulation | Annex 3     |
| Impact sound insulation   | Annex 3     |
| Sound absorption          | Annex 3     |

### 3.6 Energy economy and heat retention (BWR 6)

| Essential characteristic | Performance |
|--------------------------|-------------|
| Thermal conductivity     | Annex 3     |
| Air permeability         | Annex 3     |
| Thermal inertia          | Annex 3     |

**3.7 Sustainable use of natural resources (BWR 7)**

The performance of this product in terms of sustainable use of natural resources has not been investigated.

**4 Assessment and verification of constancy of performance (AVCP) system applied, with reference to its legal base**

In accordance with EAD No. 130005-00-0304 the applicable European legal act is:  
1997/176/EC amended by 2001/596/EC

The system to be applied is: 1

**5 Technical details necessary for the implementation of the AVCP system, as provided for in the applicable EAD**

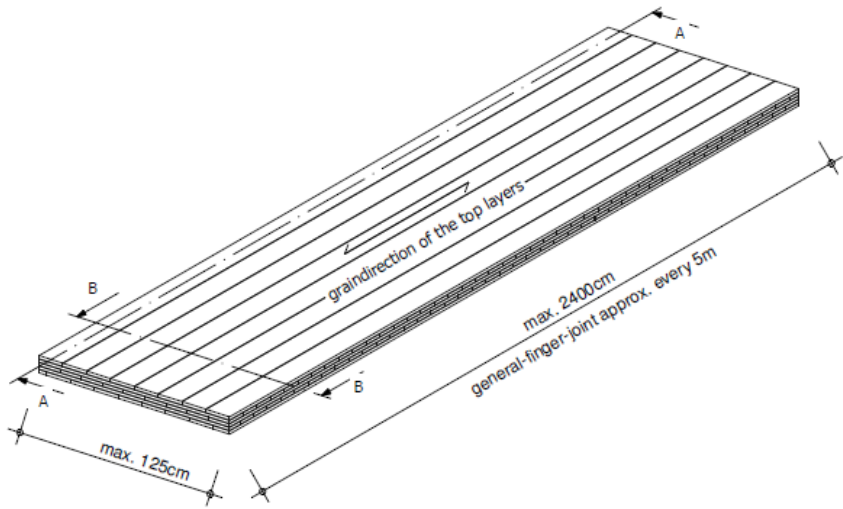
Technical details necessary for the implementation of the AVCP system are laid down in the control plan deposited with Deutsches Institut für Bautechnik.

Issued in Berlin on 7 April 2016 by Deutsches Institut für Bautechnik

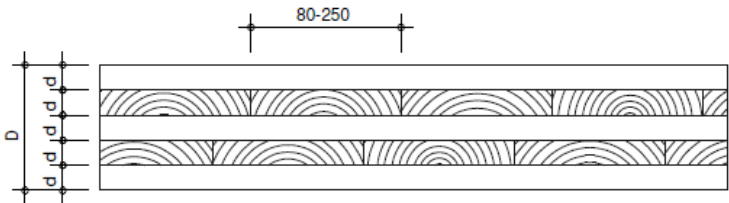
Andreas Kummerow  
p.p. Head of Department

*beglaubigt:*  
Deniz

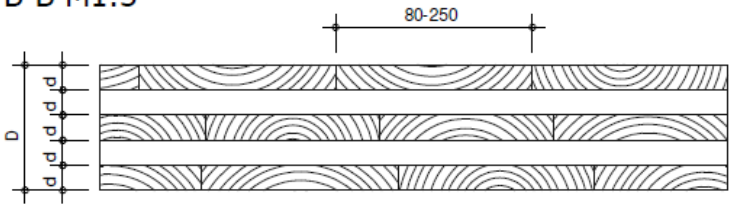
electronic copy of the eta by dibt: eta-06/0009



section A-A M1:5

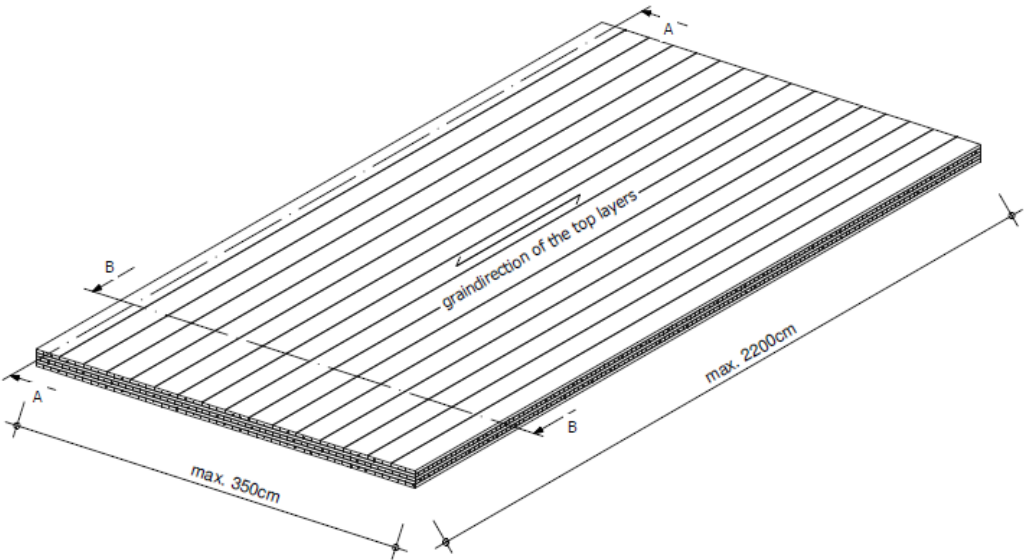


section B-B M1:5

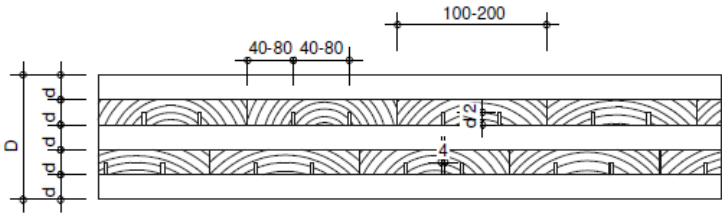


d= board thickness (18mm - 45mm)  
D= element thickness (54mm - 350mm)

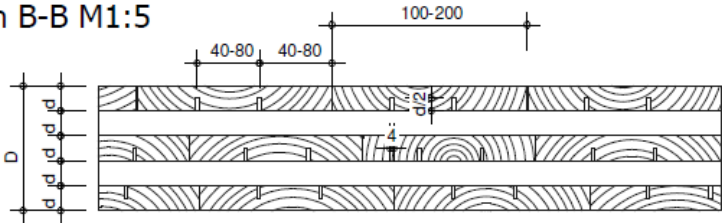
|                                                               |         |
|---------------------------------------------------------------|---------|
| Binderholz Brettsper Holz BBS                                 | Annex 1 |
| Construction of a multilayered timber element of Systemformat |         |



section A-A M1:5

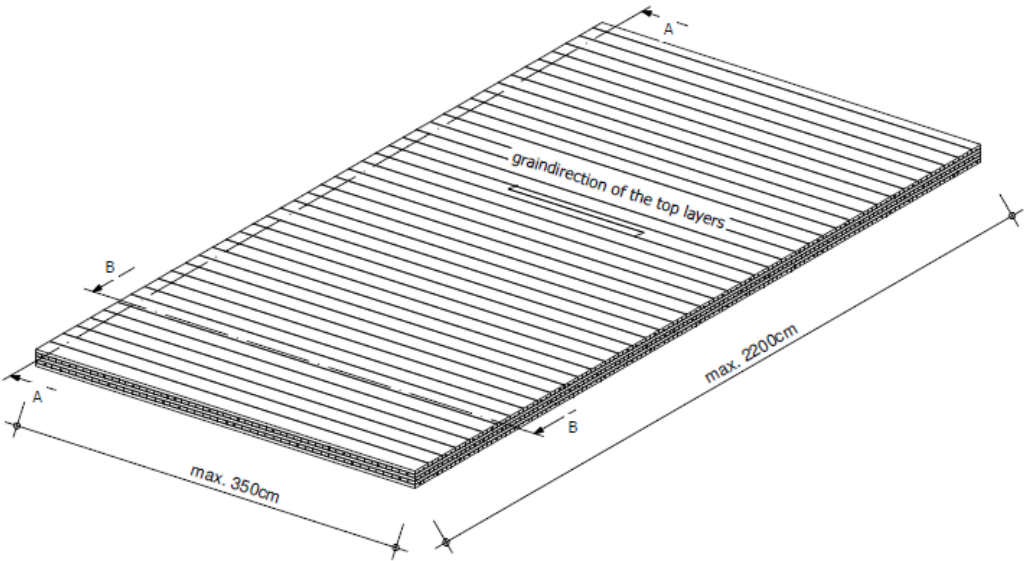


section B-B M1:5

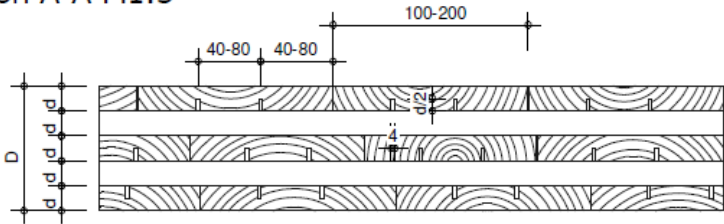


d= board thickness (17mm - 43mm)  
D= element thickness (51mm - 215mm)

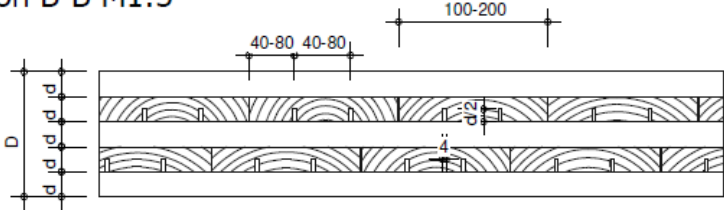
|                                                             |         |
|-------------------------------------------------------------|---------|
| Binderholz Brettsperrholz BBS                               | Annex 1 |
| Construction of a multilayered timber element of Großformat |         |



section A-A M1:5



section B-B M1:5



d= board thickness (17mm - 43mm)  
D= element thickness (51mm - 215mm)

|                                                                |         |
|----------------------------------------------------------------|---------|
| Binderholz Brettsper Holz BBS                                  | Annex 1 |
| Construction of a multilayered timber element of Großformat DQ |         |

**Table 1: Dimensions and specifications of the multilayered timber elements**

| <b>Binderholz Brettsper Holz BBS "Systemformat"</b>                                  |                          |
|--------------------------------------------------------------------------------------|--------------------------|
| <b>Characteristic</b>                                                                | <b>Specification</b>     |
| Thickness                                                                            | 54 to 350 mm             |
| Tolerance in thickness                                                               | ± 1 mm                   |
| Width                                                                                | ≤ 1.25 m                 |
| Tolerance in width                                                                   | ± 2 mm                   |
| Length                                                                               | ≤ 5 m                    |
| Tolerance in length (relating to a max. length up to 5 m)                            | ± 2 mm                   |
| Length of the element with large finger joint                                        | ≤ 24 m                   |
| Number of layers                                                                     | 3 ≤ n ≤ 9                |
| maximum number of consecutive layers having the same grain direction                 | ≤ 2                      |
| maximum width of gap between the boards of a layer                                   | 4 mm                     |
| Large finger joints                                                                  | according to EN 14080    |
| <b>Boards</b>                                                                        |                          |
| Material                                                                             | softwood                 |
| Strength class according to EN 338 <sup>1</sup>                                      |                          |
| Cover layers / longitudinal layers (having the same grain direction as cover layers) | ≥ 90 % C24; < 10 % C16*  |
| Cross layer (having the a grain direction perpendicular to the cover layer)          | ≥ 30 % C24; < 70 % C16** |
| Thickness                                                                            | 18 to 45 mm              |
| Width                                                                                | 80 to 250 mm             |
| Ratio width to thickness of the cross-layers                                         | ≥ 4:1                    |
| Moisture of wood according to EN 13183-2 <sup>2</sup>                                | 12 ± 2 %                 |
| Finger joints                                                                        | according to EN 14080    |
| * The proportion of wood of grade C16 may be disregarded by way of calculation.      |                          |
| ** The proportion of wood of grade C24 shall be disregarded by way of calculation.   |                          |

<sup>1</sup> EN 338:2009

Structural timber - Strength classes

<sup>2</sup> EN 13183-2:2002

Moisture content of a piece of sawn timber – Part 2: Estimation by electrical resistance method

Binderholz Brettsper Holz BBS

Dimensions and specifications of the multilayered timber elements

Annex 2

Table 1 (continued)

| <b>Binderholz Brettsperrholz BBS "Großformat" and "Großformat DQ"</b>                |                                             |
|--------------------------------------------------------------------------------------|---------------------------------------------|
| <b>Characteristic</b>                                                                | <b>Specification</b>                        |
| Thickness                                                                            | 51 to 215 mm                                |
| Tolerance in thickness                                                               | ± 1 mm                                      |
| Width                                                                                | ≤ 3.5 m                                     |
| Tolerance in width                                                                   | ± 2 mm                                      |
| Length                                                                               | ≤ 22 m                                      |
| Tolerance in length (relating to a max. length up to 22 m)                           | ± 2 mm                                      |
| Number of layers                                                                     | 3 ≤ n ≤ 5                                   |
| maximum number of consecutive layers having the same grain direction                 | ≤ 2                                         |
| maximum width of gaps between the boards of a layer                                  | 4 mm                                        |
| <b>Boards</b>                                                                        |                                             |
| Material                                                                             | softwood                                    |
| Strength class according to EN 338                                                   | ≥ 90 % C24; < 10 % C16*                     |
| Cover layers / longitudinal layers (having the same grain direction as cover layers) |                                             |
| Cross layers (having the grain direction perpendicular to the cover layers)          |                                             |
| Thickness                                                                            | 17 to 43 mm                                 |
| Width                                                                                | 100 to 200 mm                               |
| Ratio width to thickness of the cross-layers                                         | ≥ 4:1                                       |
| Moisture of wood according to EN 13183-2                                             | 12 ± 2 %                                    |
| Finger joints                                                                        | according EN 14080<br>mechanical resistance |
| * The proportion of wood of grade C16 may be disregarded by way of calculation.      |                                             |

Binderholz Brettsperrholz BBS

Dimensions and specifications of the multilayered timber elements

Annex 2

**Table 2: Characteristic strength values and values of stiffness for  
"Binderholz Brettsperrholz BBS" in MN/m<sup>2</sup>**

| Kind of stress                                    |               | Strength class of boards |       |
|---------------------------------------------------|---------------|--------------------------|-------|
|                                                   |               | C16                      | C24   |
| Characteristic strength values                    |               |                          |       |
| Bending                                           | $f_{m,k}$     | 16                       | 24    |
| Tension                                           | $f_{t,0,k}$   | 10                       | 14    |
|                                                   | $f_{t,90,k}$  | 0.4                      | 0.4   |
| Compression                                       | $f_{c,0,k}$   | 17                       | 21    |
|                                                   | $f_{c,90,k}$  | 2.2                      | 2.5   |
| Shearing                                          | $f_{v,k}$     | 1.8                      | 2.5   |
| Rolling shear<br>"Systemformat"                   | $f_{R,k}$     | 1.0                      |       |
| Rolling shear "Großformat"<br>and "Großformat DQ" | $f_{R,k}$     | 0.7                      |       |
| Values of stiffness                               |               |                          |       |
| Elasticity modulus<br>of bending                  | $E_{0,mean}$  | 8000                     | 11000 |
|                                                   | $E_{90,mean}$ | 270                      | 370   |
| Shear modulus                                     | $G_{mean}$    | 500                      | 690   |
| Rolling shear modulus                             | $G_{R,mean}$  | 50                       |       |

Binderholz Brettsperrholz BBS

Strength and stiffness values

Annex 2

Table 3: Essential requirements of the multilayered timber elements

| BWR                    | Requirement                                                                                                                                                                                                                  | Verification method                                                                                                                                                                                                                                                         | Class / Use category / Value  |            |
|------------------------|------------------------------------------------------------------------------------------------------------------------------------------------------------------------------------------------------------------------------|-----------------------------------------------------------------------------------------------------------------------------------------------------------------------------------------------------------------------------------------------------------------------------|-------------------------------|------------|
| 1                      | Mechanical resistance and stability                                                                                                                                                                                          |                                                                                                                                                                                                                                                                             |                               |            |
|                        | Panel shear strength                                                                                                                                                                                                         | For the calculation of the single layers the characteristic strength and stiffness values of softwood of the corresponding strength classes according to EN 338 shall be used taking into consideration the definitions in Annex 2. In addition the following values apply: |                               |            |
|                        |                                                                                                                                                                                                                              | Rolling shear strength "Systemformat" (5%-fractile)                                                                                                                                                                                                                         | f <sub>R,k</sub>              | 1.0 N/mm²  |
|                        |                                                                                                                                                                                                                              | Rolling shear strength "Großformat" and "Großformat DQ" (5%-fractile)                                                                                                                                                                                                       | f <sub>R,k</sub>              | 0.70 N/mm² |
|                        | Bending strength                                                                                                                                                                                                             | Rolling shear modulus (mean value)                                                                                                                                                                                                                                          | G <sub>R,mean</sub>           | 50 N/mm²   |
|                        | In case of connecting the elements by large finger joints the characteristic bending strength is to reduce by 25 %. In case of tensile stresses in the panel plane the characteristic tensile strength is to reduce by 30 %. |                                                                                                                                                                                                                                                                             |                               |            |
|                        | For references regarding the calculation see annexes 4 to 5. National regulations might have to be followed.                                                                                                                 |                                                                                                                                                                                                                                                                             |                               |            |
|                        | Use of fasteners                                                                                                                                                                                                             | according to EN 1995-1-1, for further details see Annex 4                                                                                                                                                                                                                   |                               |            |
|                        | Creep and duration of load                                                                                                                                                                                                   | according to EN 1995-1-1                                                                                                                                                                                                                                                    |                               |            |
|                        | Dimensional stability                                                                                                                                                                                                        | Moisture content during use shall not change to such extent that adverse deformations can occur.                                                                                                                                                                            |                               |            |
| In-service environment | EN 1995-1-1                                                                                                                                                                                                                  | 1 and 2                                                                                                                                                                                                                                                                     |                               |            |
| Bond integrity         | EAD 130005-00-0304                                                                                                                                                                                                           | Passed                                                                                                                                                                                                                                                                      |                               |            |
| 2                      | Safety in case of fire                                                                                                                                                                                                       |                                                                                                                                                                                                                                                                             |                               |            |
|                        | Reaction to fire                                                                                                                                                                                                             |                                                                                                                                                                                                                                                                             |                               |            |
|                        | Timber elements except for floorings                                                                                                                                                                                         | Commission Decision 2005/610/EC                                                                                                                                                                                                                                             | Euroclass D-s2, d0            |            |
|                        | Floorings                                                                                                                                                                                                                    |                                                                                                                                                                                                                                                                             | Euroclass D <sub>fl</sub> -s1 |            |
|                        | Resistance to fire                                                                                                                                                                                                           |                                                                                                                                                                                                                                                                             |                               |            |
|                        | Charring rate                                                                                                                                                                                                                | EN 1995-1-2 <sup>3</sup>                                                                                                                                                                                                                                                    | 0.7 mm/min                    |            |
| 3                      | Hygiene, health and the environment                                                                                                                                                                                          |                                                                                                                                                                                                                                                                             |                               |            |
|                        | Water vapour permeability μ                                                                                                                                                                                                  | EN ISO 10456 <sup>4</sup>                                                                                                                                                                                                                                                   | 20 to 50                      |            |
|                        | Content of dangerous substances                                                                                                                                                                                              | EAD 130005-00-0304                                                                                                                                                                                                                                                          | See clause 3                  |            |

<sup>3</sup> EN 1995-1-2:2004 + AC:2009 Eurocode 5: Design of timber structures – Part 1-2: General – Structural fire design  
<sup>4</sup> EN ISO 10456:2007 \* AC:2009 Building materials and products – Tabulated design values and procedures for determining declared and design thermal values

Binderholz Brettsperholz BBS

Essential requirements of the multilayered timber elements

Annex 3

Table 3 (continued)

|   |                                          |                                                                                                                      |
|---|------------------------------------------|----------------------------------------------------------------------------------------------------------------------|
| 4 | <b>Safety in use</b>                     |                                                                                                                      |
|   | Impact resistance                        | Soft body resistance is assumed to be fulfilled for walls with a minimum of 3 layers and minimum thickness of 60 mm. |
| 5 | <b>Protection against noise</b>          |                                                                                                                      |
|   | Airbourne sound insulation               | No performance assessed                                                                                              |
|   | Impact sound insulation                  | No performance assessed                                                                                              |
|   | Sound absorption                         | No performance assessed                                                                                              |
| 6 | <b>Energy economy and heat retention</b> |                                                                                                                      |
|   | Thermal conductivity $\lambda$           | EN ISO 10456 0,13 W/(m <sup>2</sup> · K)                                                                             |
|   | Air tightness                            | No performance assessed                                                                                              |
|   | Thermal inertia $c_p$                    | EN ISO 10456 1.600 J/( kg · K)                                                                                       |

Binderholz Brettsper Holz BBS

Essential requirements of the multilayered timber elements

Annex 3

## 1 Recommendations for the design of the elements

### 1.1 General

Design, calculation and realization can be done according to EN 1995-1-1 taking into account the following provisions. For the calculation according to EN 1995-1-1 national regulations may have to be followed.

The determination of the distribution of stresses and internal forces must consider the influence of shear deformations of the cross layers. In Annex 5 advice is given on how to perform the calculation of the elements.

If using panels as cover, the deformation of the covers might have to be taken into account. These cover layers may not be used for calculation of the bearing capacity of the cross laminated timber elements.

### 1.2 Characteristic values

The characteristic strength and stiffness values can be taken from Annex 2 and 3. In addition the following applies:

While calculating the part of the deformation due to shear forces, the elements thickness  $D$  regardless of the configuration and a shear modulus of  $G = 60 \text{ N/mm}^2$  may be used.

### 1.3 Mechanical actions perpendicular to the element's plane

#### 1.3.1 Bending and shear

For the calculation of the characteristic values of the element according to Annex 5, only the boards, which are oriented parallel to the span direction, may be considered.

For the verification of the bending strength of a layer the design value of the bending strength may be multiplied with a system factor  $k_\ell$ :

$$k_\ell = \min \begin{cases} 1 + 0,025 \cdot n \\ 1,1 \end{cases}$$

with  $n$  = number of boards lying side by side.

#### 1.3.2 Tension and compression

The behaviour in bearing and deformation against compression perpendicular to the element's plane can be calculated according to EN 1995-1-1 using the strength and stiffness values given in chapter 1.2. Tension loads perpendicular to plane of the element should be avoided.

### 1.4 Mechanical actions in plane of the element

For loads in plane of the element only layers can be taken into account, where the direction of the grain is parallel to the stresses occurring from external loads.

#### 1.4.1 Shear

If forces between adjacent boards of a layer are transmitted only by means of using the next layer glued crosswise, the shear stresses in the crossing surfaces have to be calculated as follows:

$$\tau_{T,d} = \frac{F_d \cdot h}{\sum I_p} \cdot \frac{a}{2} \leq f_{v,d}$$

with  $F_d$  = external load on a wall element (N)  
 $h$  = height of the wall (mm)  
 $a$  = largest side length of the crossing area (mm)

Binderholz Brettsper Holz BBS

Recommendations for the design of the elements and the fasteners

Annex 4

- $I_p$  = polar moment of inertia of a certain crossing area  $i$  ( $\text{mm}^4$ )  
 $\sum I_p$  = sum of all polar moments of inertia of the crossing areas in the element  
 $f_{v,d}$  = design value of the torsional shear strength; the characteristic value shall be set to  $f_{v,k} = 2.5 \text{ N/mm}^2$  for this calculation  
 $\tau_{T,d}$  = design value of the torsional stresses occurring if boards of one layer are not glued on their narrow sides

In addition it has to be verified that the layers can bear the stresses falling upon them.

#### 1.4.2 Tension and compression

The behaviour in bearing and deformation in the elements plane can be calculated according to EN 1995-1-1 using the strength and stiffness values given in chapter 1.2.

## 2 Recommendations for the design of the fasteners

### 2.1 General

The determination of characteristic values of the load-bearing capacity of fasteners in the element shall be carried out according to EN 1995-1-1 or a European technical assessment which has been granted for the relevant fastener as for softwood or for glued laminated timber. For the calculation according to European regulations national provisions may apply.

Side surfaces are the surfaces of the element parallel to the plane of the element consisting of the surface of the outer layers.

Narrow surfaces are the surfaces perpendicular to the plane of the element, consisting of the lateral surfaces and the cross grain of the boards.

As fasteners nails, wood screws, bolts, dowels and dowels type fasteners according to EN 1995-1-1 or a European technical assessment may be used.

Fasteners in narrow sides may not take into account as load-bearing. Decisive for the minimum spacings of the fasteners and the embedding strength is the grain direction of the cover layers.

Other fasteners resp. their dimensions and application stated in this assessment may be used and calculated with special and with *Deutsches Institut für Bautechnik* coordinated verifications.

### 2.2 Connections with dowels and bolts

The characteristic value of connections with dowels and bolts in the side surfaces can be calculated according to EN 1995-1-1.

The minimum distance and spacing for dowels and bolts must be  $5 \cdot d$  from the loaded edge and between each other and  $3 \cdot d$  from the unloaded edge. This applies regardless of the angle between the direction of force and the direction of the grain.

Binderholz Brettsper Holz BBS

Recommendations for the design of the elements and the fasteners

Annex 4

### 2.3 Nails

The characteristic value of the load-bearing capacity of axially loaded nails in the side surfaces can be calculated according to EN 1995-1-1.

The diameter of nails must be at least 4 mm. Only grooved nails with a characteristic value of the point side withdrawal strength  $f_{ax,k} \geq 50 \cdot 10^{-6} \cdot \rho_k^2$  and a characteristic value of the head side pull-through strength  $f_{head,k} \geq 100 \cdot 10^{-6} \cdot \rho_k^2$  may be employed for axial loading ( $\rho_k$  = characteristic density in kg/m<sup>3</sup>; max. 500 kg/m<sup>3</sup>).

### 2.4 Screws

The characteristic value of the load-bearing capacity of screws in the side surfaces of the board can be calculated according to EN 1995-1-1.

Screws must have a diameter of at least 4 mm.

### 2.5 Split ring connectors and toothed-plate connectors

The characteristic value of the load-bearing capacity of split ring connectors and toothed-plate connectors in the side surfaces of the board can be calculated according to EN 1995-1-1.

Toothed-plate connectors in the narrow surfaces may not be taken into consideration as load-bearing.

Binderholz Brettsperrholz BBS

Recommendations for the design of the elements and the fasteners

Annex 4

## Design according to the theory of flexible bonded beams

The calculation of elements with up to five layers can be performed using the theory of flexible bonded beams as described in EN 1995-1-1.

To consider deformations due to shear the factor  $s_i/K_i$  according to the standard is substituted by the factor  $\bar{h}_i/(G_R \cdot b)$ .

The effective moment of inertia is calculated by:

$$I_{ef} = \sum_{i=1}^3 (I_i + \gamma_i \cdot A_i \cdot a_i^2) \quad \text{with} \quad A_i = b_i \cdot h_i; \quad I_i = \frac{b_i \cdot h_i^3}{12}$$

$$\gamma_1 = \frac{1}{1 + \frac{\pi^2 \cdot E_0 \cdot A_1 \cdot \bar{h}_1}{G_R \cdot b \cdot l^2}}; \quad \gamma_2 = 1; \quad \gamma_3 = \frac{1}{1 + \frac{\pi^2 \cdot E_0 \cdot A_3 \cdot \bar{h}_2}{G_R \cdot b \cdot l^2}}$$

$$a_1 = \left( \frac{h_1}{2} + \bar{h}_1 + \frac{h_2}{2} \right) - a_2; \quad a_3 = \left( \frac{h_2}{2} + \bar{h}_2 + \frac{h_3}{2} \right) + a_2$$

$$a_2 = \frac{\gamma_1 \cdot A_1 \cdot \left( \frac{h_1}{2} + \bar{h}_1 + \frac{h_2}{2} \right) - \gamma_3 \cdot A_3 \cdot \left( \frac{h_2}{2} + \bar{h}_2 + \frac{h_3}{2} \right)}{\sum_{i=1}^3 (\gamma_i \cdot A_i)}$$

The verification of the bending performance is done by determination of the bending stress at the boundary of the boards. The bending stress in the middle of the boards may remain unconsidered.

$$\sigma_{m,r,i,d} = \pm \frac{M_d}{I_{ef}} \cdot \left( \gamma_i \cdot a_i + \frac{h_i}{2} \right) \leq f_{m,d}$$

The verification of the shear performance is done by determination of the shear stress in the decisive plane:

$$\tau_{v,d} = \frac{V_d \cdot \gamma_i \cdot S_i}{I_{ef} \cdot b} \leq f_{R,d}$$

Legend:

- $h_{tot}$  = thickness of the whole element [mm]
- $h_i$  = thickness of the layer  $i$  parallel to the direction of load transfer [mm]
- $\bar{h}_i$  = thickness of the layer  $i$  perpendicular to the direction of load transfer [mm]
- $b$  = width of the element [mm]
- $n$  = number of layers
- $l$  = span width [mm]
- $I_{ef}$  = effective moment of inertia [Nmm<sup>2</sup>]
- $G_R$  = rolling shear modulus [N/mm<sup>2</sup>]
- $E_0$  = modulus of elasticity parallel to the grain of the boards [N/mm<sup>2</sup>]



Binderholz Brettsper Holz BBS

Recommendations for the design according to the theory of flexible bonded beams

Annex 5

**NUOVA SCUOLA DELL'INFANZIA A SEI SEZIONI in località CASTELLO di SERRAVALLE****viale G. Verdi - COMUNE DI VALSAMOGGIA (BO)****PROGETTO ESECUTIVO****RELAZIONE DI CALCOLO STRUTTURALE BLOCCO D**

---

**2.2.f- Illustrazione dei criteri di progettazione e di modellazione****2.2.f.1-PRINCIPALI CARATTERISTICHE DELLA STRUTTURA.****-classe di duttilità** bassa**-tipo di fondazione-**

Sono state previste fondazioni dirette a trave rovescia in entrambe le direzioni.

**-condizioni per cui è necessario considerare la componente verticale del sisma**

La componente verticale deve essere considerata solo in presenza di elementi pressoché orizzontali con luce superiore a 20 m, elementi precompressi (con l'esclusione dei solai di luce inferiore a 8 m), elementi a mensola di luce superiore a 4 m, strutture di tipo spingente, pilastri in falso, edifici con piani sospesi, ponti, costruzioni con isolamento nei casi specificati in § 7.10.5.3.2 e purché il sito nel quale la costruzione sorge non ricada in zona 3 o 4. (§7.2.1)

Tali condizioni non sussistono nel progetto oggetto di studio.

Non è quindi necessario considerare la componente verticale del sisma .

**-tipo di analisi-**

Analisi dinamica modale senza condensazione di piano.

Nell'analisi non è stata considerata un'eccentricità accidentale del 5% del centro di massa nelle due direzioni di azione del sisma, come previsto dal punto 7.2.6 NTC2008 perché nella struttura non sono presenti piani rigidi.

Le eccentricità accidentali (dovute alla distanza tra il centro di massa e il centro di rigidezza) producono effetti torsionali che per manifestarsi richiedono la presenza di un piano rigido o adeguati controventi di piano.

Nella struttura in esame non sono presenti piani rigidi.

**-giunti di separazione tra strutture**

La pianta della struttura è fortemente irregolare. Si è quindi scelto di suddividere la struttura in 5 unità strutturalmente indipendenti in quanto separate da efficace giunto sismico, che si possono così considerare regolari in pianta.

La relazione di calcolo in oggetto si occupa unicamente dell'unità strutturale D.

**-vincoli esterni e interni**

Le travi di copertura in legno lamellare sono state modellate con schema statico di semplice appoggio. Nel modello non sono state studiate le fondazioni a trave rovescia , i pilastri sono quindi incastrati alla base.

I carichi al piede dei pilastri sono stati riportati al capitolo " 2.2.I" ... per ogni nodo alla base dei pilastri e per ogni combinazione di carico. I carichi sono stati utilizzati per il calcolo delle strutture di fondazione.

**NUOVA SCUOLA DELL'INFANZIA A SEI SEZIONI in località CASTELLO di SERRAVALLE**

viale G. Verdi - COMUNE DI VALSAMOGGIA (BO)

**PROGETTO ESECUTIVO**

RELAZIONE DI CALCOLO STRUTTURALE BLOCCO D

**-criteri per la valutazione degli elementi secondari e degli impianti**

Nella struttura oggetto di studio sono presenti due elementi secondari:

**-il balcone metallico di accesso al locale tecnico.**

Il balcone verrà realizzato con travi a mensola incastrate in corrispondenza della trave al primo solaio filo 5, tra i fili E e G., poste a passo 151cm circa. Il piano orizzontale verrà realizzato con grigliato metallico antitacco in appoggio sulle travi. La struttura metallica non è stata inserita nel modello globale della struttura ma sono state considerate le reazioni vincolari date dalla mensola agenti in corrispondenza della trave al primo solaio filo 5, tra i fili E e G.

**-i tamponamenti esterni realizzati in muratura.**

I tamponamenti esterni verranno realizzati con elementi Poroton di spessore 30cm, ed altezza 3,0m circa in corrispondenza dei fili I,G,E,A,L,N,P,T, ed altezza variabile in corrispondenza dei fili 1,4,17,18.

E' stata effettuata al cap. la verifica a ribaltamento degli elementi di tamponamento con esito negativo. E' quindi necessario preveder dei meccanismi per evitare l'espulsione dei pannelli nel caso sismico.

In corrispondenza dei fili 1,4,17,18. (come prescritto dalla circolare 02/02/2009 p.to C7.3.6.3) si prevede di realizzare degli elementi di armatura orizzontale nei letti di malta costituiti da due barre parallele collegate a formare un traliccio di elementi con diametro 6mm in acciaio zincato a caldo. I tralicci dovranno essere annegati nei letti di malta a distanza di 40cm e verranno collegati ai pilastri in c.a. mediante barre diametro 8mm.

In corrispondenza dei fili I,G,E,A,L,N,P,T non è possibile inserire un cordolo continuo in c.a.. si prevede quindi di inserire alla sommità del muro un elemento metallico di spessore 6mm e forma a C per realizzare un collegamento tra la struttura lignea e la muratura perimetrale.

Entrambi gli elementi possono essere considerati secondari perché sia la rigidezza che la resistenza di questi elementi possono essere ignorate nell'analisi della risposta sismica globale., come previsto dal p.to 7.2.3. NTC 2008.

**-fattore di struttura**

La struttura è stata considerata a pendolo inverso. Non sono infatti presenti telai spaziali in entrambe le direzioni perché sono state progettate travi in legno in appoggio sui pilastri.

La struttura in classe di duttilità bassa.

Si ha quindi, in accordo con la tab. 7.4.1 .  **$q_0=1,5$**

**E' quindi stato utilizzato il fattore di struttura per carichi orizzontali  $q = 1,50$ .**

**NUOVA SCUOLA DELL'INFANZIA A SEI SEZIONI in località CASTELLO di SERRAVALLE**

**viale G. Verdi - COMUNE DI VALSAMOGGIA (BO)**

**PROGETTO ESECUTIVO**

**RELAZIONE DI CALCOLO STRUTTURALE BLOCCO D**

**-spettri elastici di progetto**

**TU 2008 SLV H**

Probabilità di superamento (PVR) 10.0 e periodo di ritorno (TR) 712 (anni)

Ss 1.426

TB 0.16 [sec]

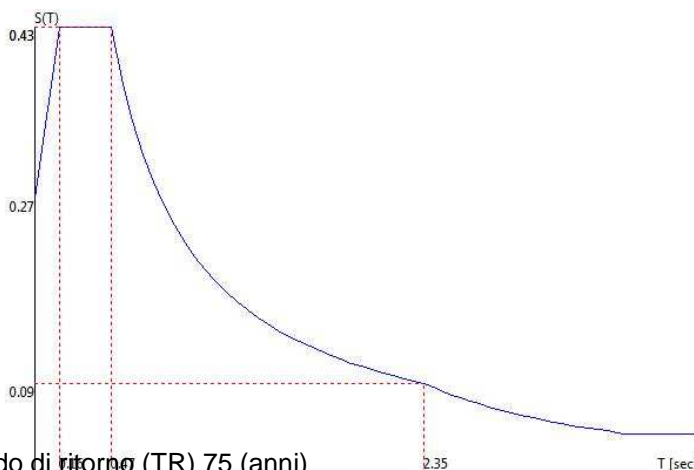
TC 0.47 [sec]

TD 2.35 [sec]

ag/g 0.1873

Fo 2.4383

TC\* 0.2986



**TU 2008 SLD H**

Probabilità di superamento (PVR) 63.0 e periodo di ritorno (TR) 75 (anni)

Ss 1.500

TB 0.15 [sec]

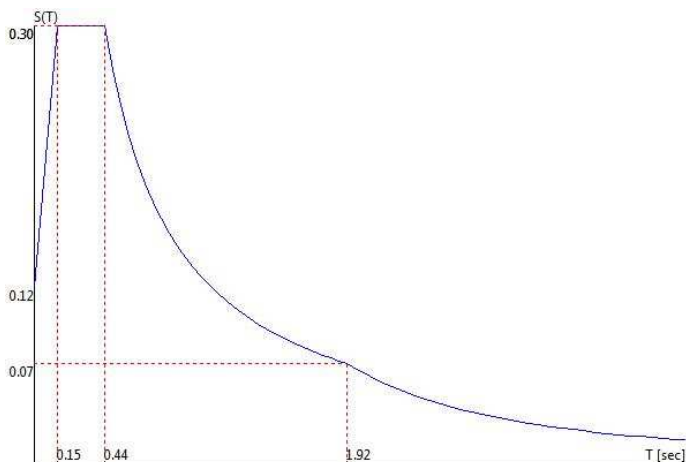
TC 0.44 [sec]

TD 1.92 [sec]

ag/g 0.0805

Fo 2.4972

TC\* 0.2714



**TU 2008 SLO H**

Probabilità di superamento (PVR) 81.0 e periodo di ritorno (TR) 45 (anni)

Ss 1.500

TB 0.14 [sec]

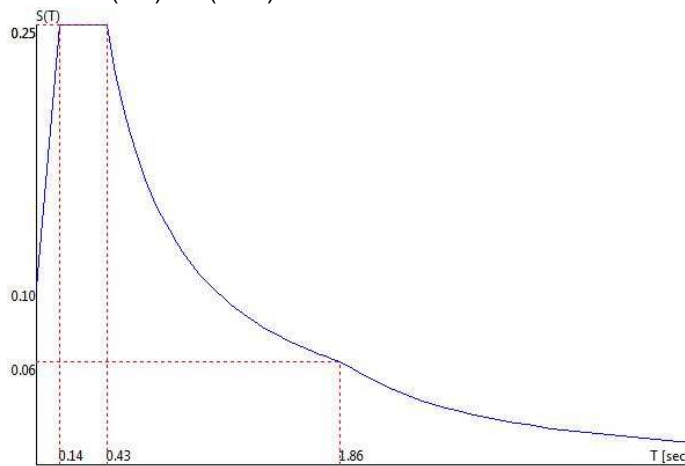
TC 0.43 [sec]

TD 1.86 [sec]

ag/g 0.0655

Fo 2.4989

TC\* 0.2667



**NUOVA SCUOLA DELL'INFANZIA A SEI SEZIONI in località CASTELLO di SERRAVALLE****viale G. Verdi - COMUNE DI VALSAMOGGIA (BO)****PROGETTO ESECUTIVO****RELAZIONE DI CALCOLO STRUTTURALE BLOCCO D**

---

**Direzioni d'ingresso del Sisma**

SLV Direzione 1 Angolo in pianta 0.00 [°]

SLV Direzione 2 Angolo in pianta 90.00 [°]

SLV Direzione 3 Angolo in pianta 180.00 [°]

SLV Direzione 4 Angolo in pianta 270.00 [°]

SLD Direzione 5 Angolo in pianta 0.00 [°]

SLD Direzione 6 Angolo in pianta 90.00 [°]

SLD Direzione 7 Angolo in pianta 180.00 [°]

SLD Direzione 8 Angolo in pianta 270.00 [°]

SLO Direzione 9 Angolo in pianta 0.00 [°]

SLO Direzione 10 Angolo in pianta 90.00 [°]

SLO Direzione 11 Angolo in pianta 180.00 [°]

SLO Direzione 12 Angolo in pianta 270.00 [°]

**NUOVA SCUOLA DELL'INFANZIA A SEI SEZIONI in località CASTELLO di SERRAVALLE**

**viale G. Verdi - COMUNE DI VALSAMOGGIA (BO)**

**PROGETTO ESECUTIVO**

RELAZIONE DI CALCOLO STRUTTURALE BLOCCO D

---

**2.2.f.2-ANALISI DEI CARICHI AGENTI SULLE STRUTTURE**

**COPERTURA**

**CARICHI PERMANENTI G1**

|                                                                        |         |
|------------------------------------------------------------------------|---------|
| -pannello OSB. (sp. 2,20cm) = 0.022x650=                               | 15Kg/m2 |
| -travetti legno lamellare GL 24H interasse 70cm, sez.18x36cm / 20X36cm | 45Kg/m2 |

**CARICHI PERMANENTI G2**

|                                                                                        |         |
|----------------------------------------------------------------------------------------|---------|
| -pannello in fibra di legno tipo celenit AB o equivalente fono assorbente (sp. 5,00cm) | 8Kg/m2  |
| -barriera a vapore                                                                     | 2Kg/m2  |
| -lana minerale a doppie densità (sp. 20,00cm)                                          | 15Kg/m2 |
| -strato di ventilazione (sp. 5,00cm)                                                   | 5Kg/m2  |
| -lastre grecate di alluminio (sp. 3,00cm)                                              | 15Kg/m2 |

**CARICHI ACCIDENTALI COPERTURA**

|                              |           |
|------------------------------|-----------|
| Q – Carico accidentale neve: | 150 Kg/m2 |
|------------------------------|-----------|

Secondo il punto 5.4.1 del D.M. 18/12/1975 è stato considerato un carico accidentale dovuto alla neve in copertura pari a 150Kg/m2.

**SOLAIO 1**

**CARICHI PERMANENTI G1**

|                                                              |          |
|--------------------------------------------------------------|----------|
| -soletta in c.a. (sp. 5,00cm) = 0.05x2500=                   | 125Kg/m2 |
| -travetti legno lamellare GL 24H interasse 70cm, sez.16x32cm | 55Kg/m2  |

**CARICHI PERMANENTI G2**

|                                                                                        |          |
|----------------------------------------------------------------------------------------|----------|
| -pannello in fibra di legno tipo celenit AB o equivalente fono assorbente (sp. 5,00cm) | 10Kg/m2  |
| -isolamento in pannelli di polistirene espanso estruso XPS (sp. 16,00cm)               | 15 Kg/m2 |
| -massetto alleggerito per sottofondo pavimentazione (sp. 8,00 cm)                      | 80Kg/m2  |
| -pavimentazione in PVC (sp. 0,50cm)                                                    |          |
| -UTA                                                                                   | 240Kg/m2 |

**CARICHI ACCIDENTALI PRIMO SOLAIO**

|                                                                                   |          |
|-----------------------------------------------------------------------------------|----------|
| Q – Carico accidentale tipo H1 (sottotetti accessibili per la sola manutenzione): | 50 Kg/m2 |
|-----------------------------------------------------------------------------------|----------|

**NUOVA SCUOLA DELL'INFANZIA A SEI SEZIONI in località CASTELLO di SERRAVALLE**

**viale G. Verdi - COMUNE DI VALSAMOGGIA (BO)**

**PROGETTO ESECUTIVO**

**RELAZIONE DI CALCOLO STRUTTURALE BLOCCO D**

---

L'unità trattamento aria ha dimensioni in pianta pari a 175 x 252cm e peso pari a 1050Kg totali, ovvero un carico distribuito pari a :

$$1050 \text{ Kg} / (1.75\text{m} \times 2.52\text{m}) = .238 \text{ kg/m}^2 \text{ (carico distribuito dovuto alla UTA)}$$

IL posizionamento all'interno del locale tecnico al primo piano non può essere definito in questa fase. E' stato quindi considerato cautelativamente un incremento di carico permanente G2 sull'intera superficie del solaio pari a 240Kg/m<sup>2</sup>.

E' stato utilizzato un carico accidentale tipo H1 perché il locale non è aperto al pubblico ma è accessibile per la sola manutenzione dell'UTA da parte di personale specializzato

IL fabbricato è ad uso scolastico ma non è stato considerato il carico accidentale relativo alle scuole perché l'edificio ha un unico livello e il carico dovuto alla folla compatta è applicato al piano terra, realizzato su terreno.

**CARICO NEVE**

(capitolo 3.4.1 del D.Lgs 14-01-08)

La zona oggetto dell' intervento (Castelfranco Emilia) è inserita nella "zona 1 -Mediterranea" dell'art 6 del D.M. sopra menzionato, ad altitudine < 200 ml slm: (42ml.slm)

Il carico provocato dalla neve sulle coperture è valutato mediante la seguente formula:  $q_s = q_{sk} \times C_e \times C_1 \times \mu_i$

$C_t = 1$  (in assenza di unao specifico studio<sup>9</sup>)

$C_e = 1$  ( topografia NORMALE)

$\mu_i = 0,8$  ( copertura a una o due falde con  $0 < \alpha < 30$  qui  $\alpha = 15 - \alpha = 0$  per il terrazzo)

$q_{sk}$  (valore di riferimento del carico dell aneve al suolo)

-ZONA 1 ( mediterranea)

- as < 200mt (as=185mt.)

$q_{sk} = 1,50 \text{ KN/m}^2$

|                                                           |                        |
|-----------------------------------------------------------|------------------------|
| Carico neve $q_s = 0,8 \times 1,50 = 1,20 \text{ N/mm}^2$ | 120 kg/cm <sup>2</sup> |
|-----------------------------------------------------------|------------------------|

Secondo il punto 5.4.1 del D.M. 18/12/1975 è stato considerato un carico accidentale dovuto alla neve in copertura pari a 150Kg/m<sup>2</sup>.

**Il programma di calcolo utilizzato Enexsys distingue i carichi applicati agli elementi strutturali derivanti dalle superfici di carico dai carichi inseriti come carichi concentrati o distribuiti .**

**Tali carichi vengono rappresentati in due diversi schemi grafici.**

**Nel modello relativo all'unità strutturale D è presente una trave parete in x-lam in corrispondenza del filo 6.**

**NUOVA SCUOLA DELL'INFANZIA A SEI SEZIONI in località CASTELLO di SERRAVALLE**
**viale G. Verdi - COMUNE DI VALSAMOGGIA (BO)**
**PROGETTO ESECUTIVO**
**RELAZIONE DI CALCOLO STRUTTURALE BLOCCO D**

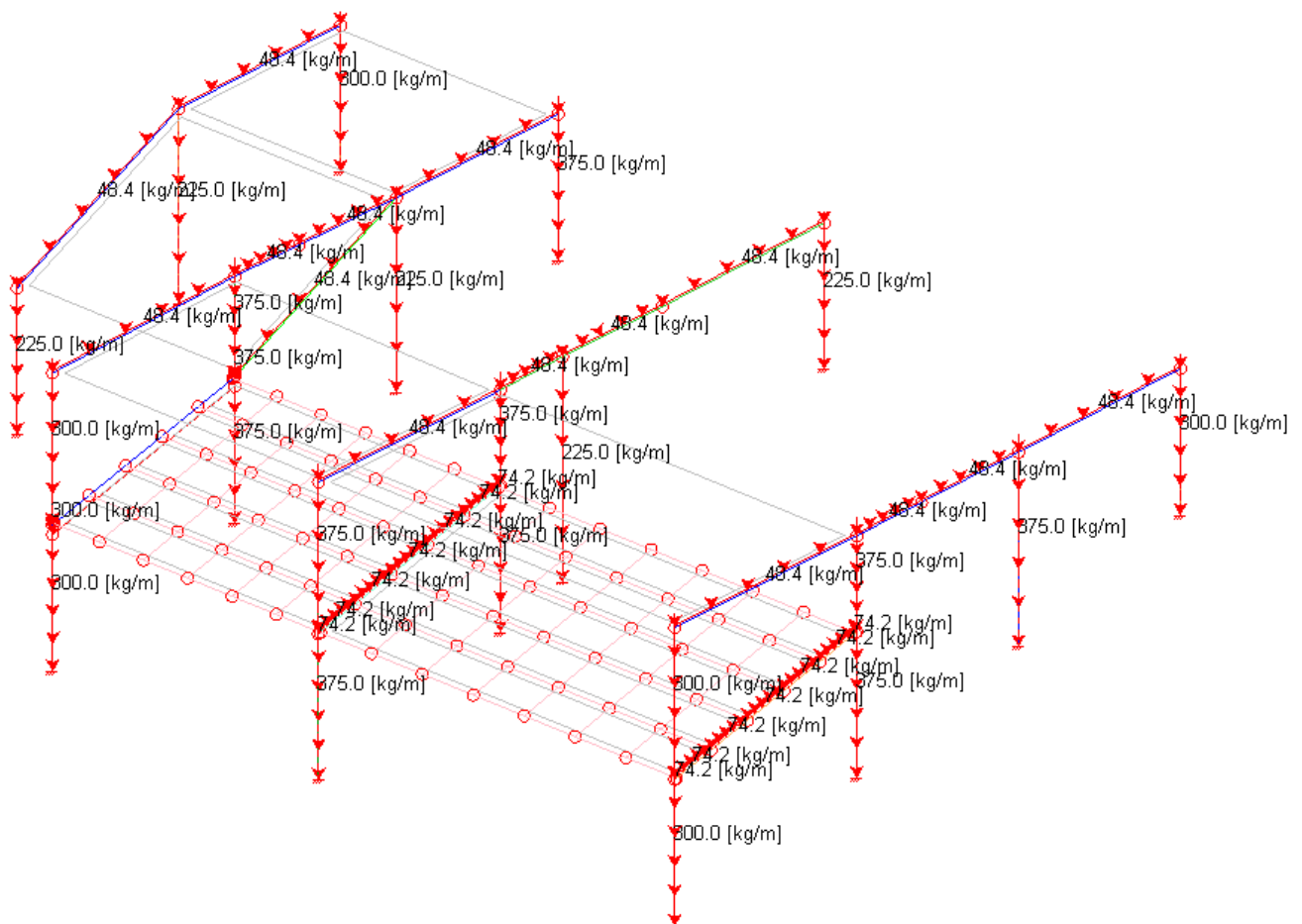
**E' stato studiato un modello per la sola trave x-lam, che ha fornito le sollecitazioni all'appoggio in corrispondenza dei pilastri N° 3 e 7. (cap. 2.5.4.3, trave W201)**

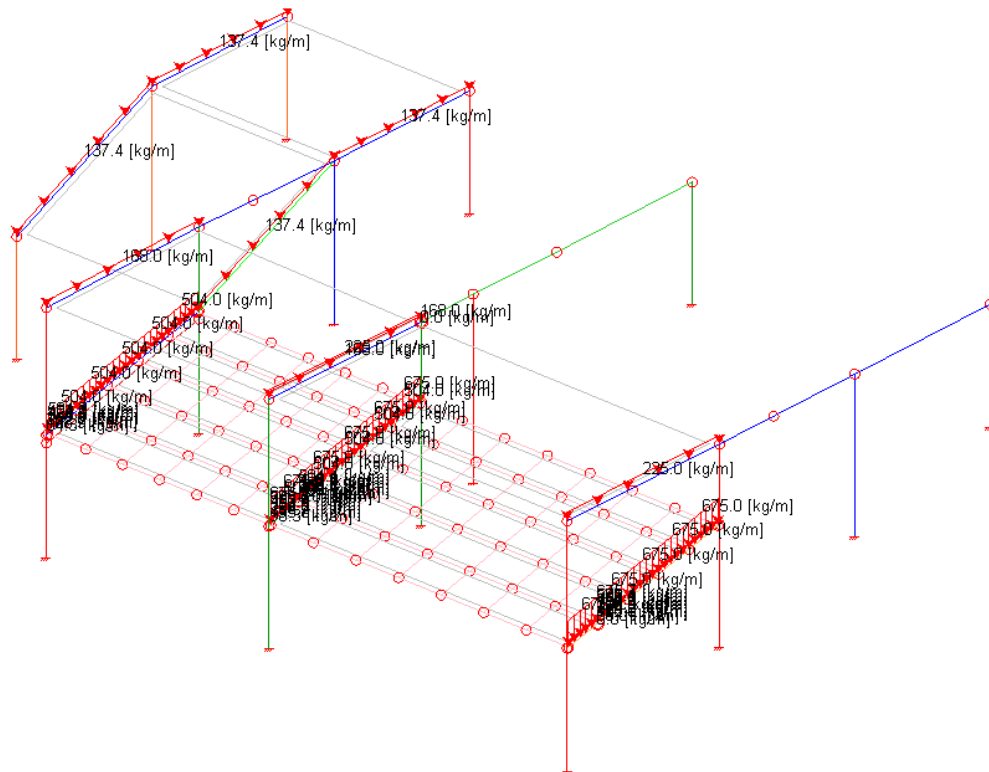
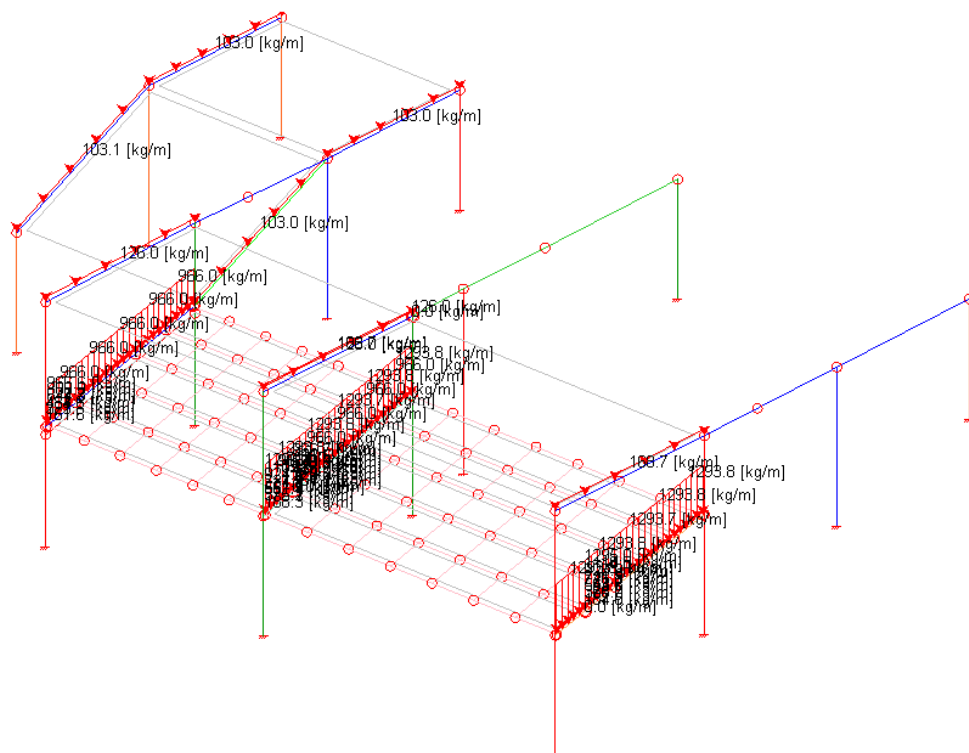
**Sono state quindi inserite le reazioni vincolari della trave nel modello globale per ogni condizione di carico (carichi permanenti cat. G1, carichi permanenti cat. G2, carichi accidentali neve)**

**Non è quindi stata creata nessuna superficie di carico tra i fili 5/6 e 6/7 e sono stati inseriti direttamente i carichi distribuiti, per ogni condizione di carico, nelle travi in legno fili 5 e 7**

**Per questo motivo, nei carichi permanenti cat. G1, carichi permanenti cat. G2 e carichi accidentali neve le immagini dei carichi applicati sono due**

Si riportano di seguito gli schemi grafici con i carichi applicati

**SCHEMA CARICHI: 1- PESO PROPRIO**


**NUOVA SCUOLA DELL'INFANZIA A SEI SEZIONI in località CASTELLO di SERRAVALLE**
**viale G. Verdi - COMUNE DI VALSAMOGGIA (BO)**
**PROGETTO ESECUTIVO**
**RELAZIONE DI CALCOLO STRUTTURALE BLOCCO D**
**SCHEMA CARICHI: 2- CARICHI PERMANENTI G1**

**SCHEMA CARICHI: 3- CARICHI PERMANENTI G2**


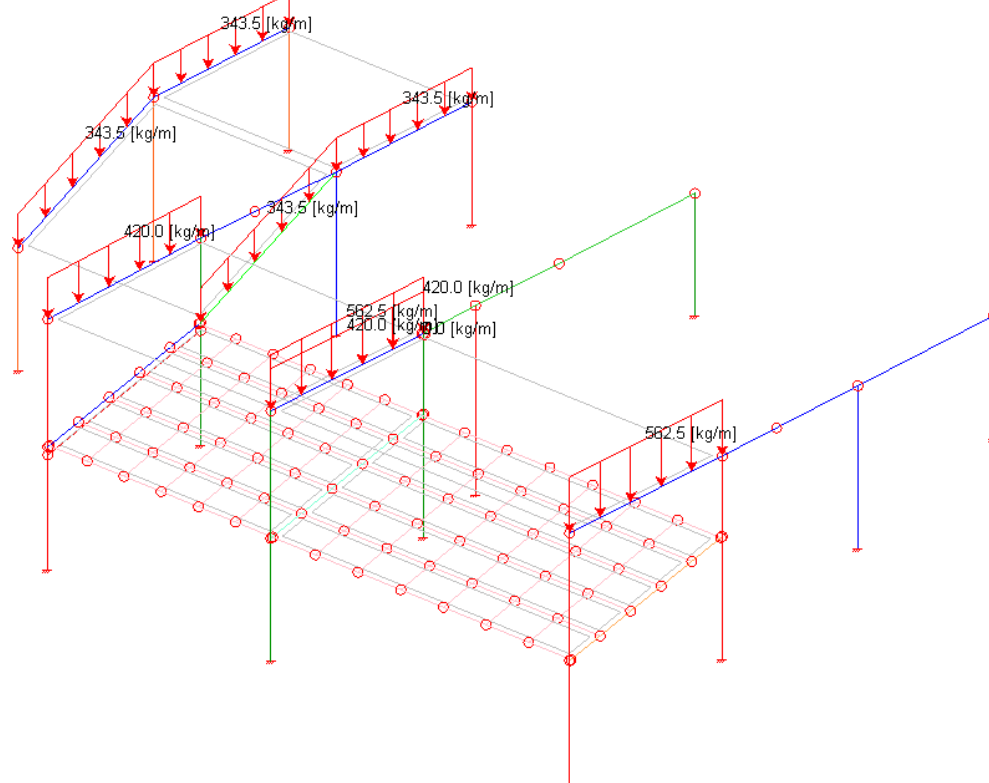
NUOVA SCUOLA DELL'INFANZIA A SEI SEZIONI in località CASTELLO di SERRAVALLE

viale G. Verdi - COMUNE DI VALSAMOGGIA (BO)

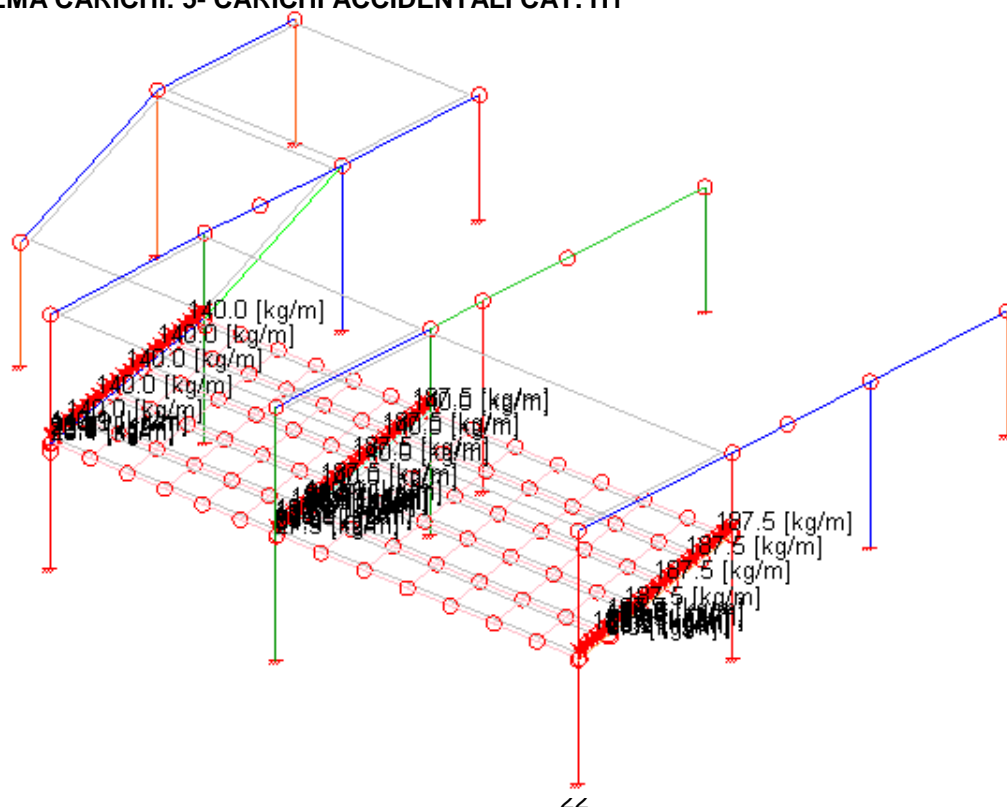
**PROGETTO ESECUTIVO**

RELAZIONE DI CALCOLO STRUTTURALE BLOCCO D

**SCHEMA CARICHI: 4- CARICHI ACCIDENTALI NEVE**



**SCHEMA CARICHI: 5- CARICHI ACCIDENTALI CAT. H1**





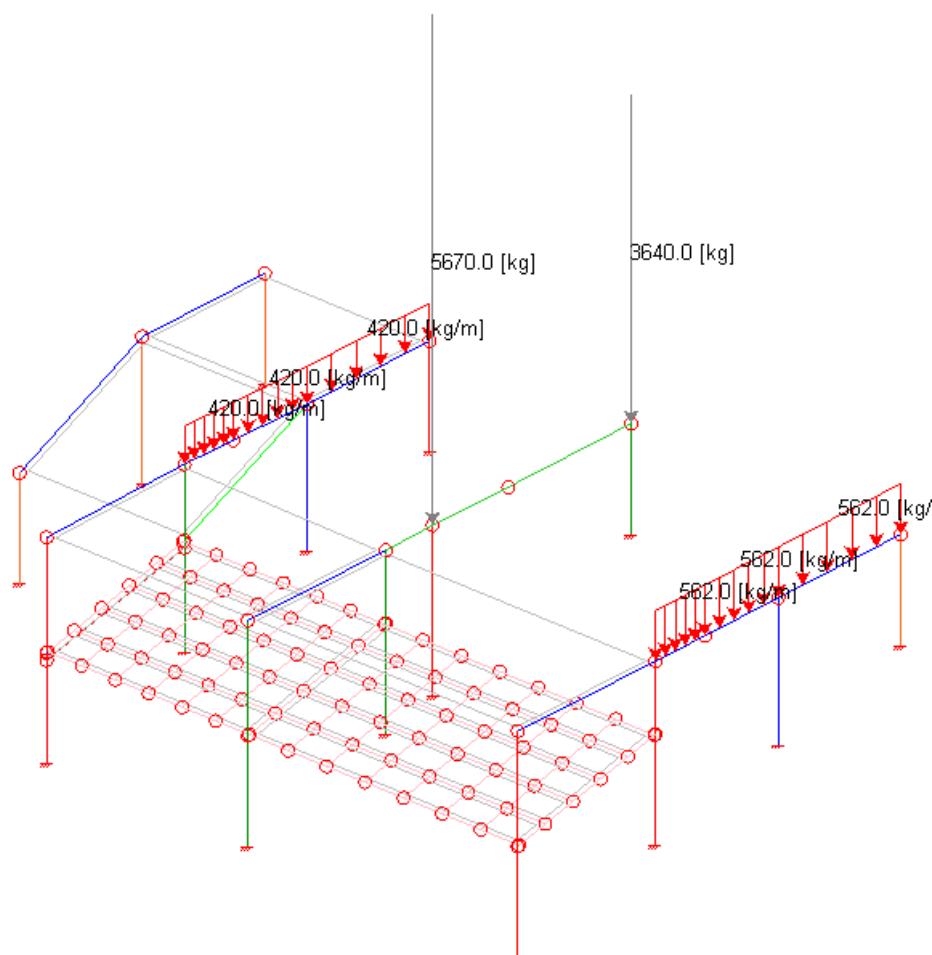
NUOVA SCUOLA DELL'INFANZIA A SEI SEZIONI in località CASTELLO di SERRAVALLE

viale G. Verdi - COMUNE DI VALSAMOGGIA (BO)

**PROGETTO ESECUTIVO**

RELAZIONE DI CALCOLO STRUTTURALE BLOCCO D

**SCHEMA CARICHI: 8- CARICHI ACCIDENTALI NEVE- DISTRIBUITI E CONCENTRATI**



**NUOVA SCUOLA DELL'INFANZIA A SEI SEZIONI in località CASTELLO di SERRAVALLE**

**viale G. Verdi - COMUNE DI VALSAMOGGIA (BO)**

**PROGETTO ESECUTIVO**

RELAZIONE DI CALCOLO STRUTTURALE BLOCCO D

## 2.2.g- Indicazione delle principali combinazioni delle azioni in relazione agli SLU e SLE indagati

Le combinazioni delle azioni considerate sono le seguenti:

- Combinazione fondamentale per gli SLU:

$$\gamma_{G1} \cdot G_1 + \gamma_{G2} \cdot G_2 + \gamma_{G3} \cdot G_3 + \gamma_{Q1} \cdot Q_{k1} + \gamma_{Q2} \cdot \psi_{02} \cdot Q_{k2} + \gamma_{Q3} \cdot \psi_{03} \cdot Q_{k3}$$

- Combinazione caratteristica (rara) per gli SLE:

$$G_1 + G_2 + G_3 + Q_{k1} + \psi_{02} \cdot Q_{k2} + \psi_{03} \cdot Q_{k3}$$

- Combinazione frequente per gli SLE:

$$G_1 + G_2 + G_3 + \psi_{11} \cdot Q_{k1} + \psi_{22} \cdot Q_{k2} + \psi_{23} \cdot Q_{k3}$$

- Combinazione quasi permanente per gli SLE:

$$G_1 + G_2 + G_3 + \psi_{21} \cdot Q_{k1} + \psi_{22} \cdot Q_{k2} + \psi_{23} \cdot Q_{k3}$$

- Combinazione sismica:

$$E + G_1 + G_2 + G_3 + \psi_{21} \cdot Q_{k1} + \psi_{22} \cdot Q_{k2} + \psi_{23} \cdot Q_{k3}$$

- Combinazione eccezionale:

$$G_1 + G_2 + A_d + \psi_{21} \cdot Q_{k1} + \psi_{22} \cdot Q_{k2} + \psi_{23} \cdot Q_{k3}$$

Nel caso specifico si ha:

SLU 1-  $1,3 \cdot P.P + 1,3 \cdot G_1 + 1,5 \cdot G_2 + 1,5 \cdot Q_1 + 0 \cdot Q_2$

SLU 1-  $1,3 \cdot P.P + 1,3 \cdot G_1 + 1,5 \cdot G_2 + 1,5 \cdot 0,5 \cdot Q_1 + 1,5 \cdot Q_2$

SLV1-  $1,0 \cdot P.P + 1,0 \cdot G_1 + 1,0 \cdot G_2 + 0 \cdot Q_1 + 0 \cdot Q_2 + 1,0 \cdot E1(slv) + 0,3 \cdot E2(slv)$

SLV2-  $1,0 \cdot P.P + 1,0 \cdot G_1 + 1,0 \cdot G_2 + 0 \cdot Q_1 + 0 \cdot Q_2 + 1,0 \cdot E1(slv) + 0,3 \cdot E4(slv)$

SLV3-  $1,0 \cdot P.P + 1,0 \cdot G_1 + 1,0 \cdot G_2 + 0 \cdot Q_1 + 0 \cdot Q_2 + 0,3 \cdot E1(slv) + 1,0 \cdot E2(slv)$

SLV4-  $1,0 \cdot P.P + 1,0 \cdot G_1 + 1,0 \cdot G_2 + 0 \cdot Q_1 + 0 \cdot Q_2 + 1,0 \cdot E2(slv) + 0,3 \cdot E3(slv)$

SLV5-  $1,0 \cdot P.P + 1,0 \cdot G_1 + 1,0 \cdot G_2 + 0 \cdot Q_1 + 0 \cdot Q_2 + 0,3 \cdot E2(slv) + 1,0 \cdot E3(slv)$

SLV6-  $1,0 \cdot P.P + 1,0 \cdot G_1 + 1,0 \cdot G_2 + 0 \cdot Q_1 + 0 \cdot Q_2 + 1,0 \cdot E3(slv) + 0,3 \cdot E4(slv)$

SLV7-  $1,0 \cdot P.P + 1,0 \cdot G_1 + 1,0 \cdot G_2 + 0 \cdot Q_1 + 0 \cdot Q_2 + 0,3 \cdot E1(slv) + 1,0 \cdot E4(slv)$

SLV8-  $1,0 \cdot P.P + 1,0 \cdot G_1 + 1,0 \cdot G_2 + 0 \cdot Q_1 + 0 \cdot Q_2 + 0,3 \cdot E3(slv) + 1,0 \cdot E4(slv)$

SLE RARE 1 -  $1,0 \cdot P.P + 1,0 \cdot G_1 + 1,0 \cdot G_2 + 1,0 \cdot Q_1 + 0 \cdot Q_2$

SLE RARE 2 -  $1,0 \cdot P.P + 1,0 \cdot G_1 + 1,0 \cdot G_2 + 0,5 \cdot Q_1 + 1,0 \cdot Q_2$

SLE FREQUENTI 1 -  $1,0 \cdot P.P + 1,0 \cdot G_1 + 1,0 \cdot G_2 + 0,2 \cdot Q_1 + 0 \cdot Q_2$

SLE FREQUENTI 2 -  $1,0 \cdot P.P + 1,0 \cdot G_1 + 1,0 \cdot G_2 + 0 \cdot Q_1 + 0 \cdot Q_2$

**NUOVA SCUOLA DELL'INFANZIA A SEI SEZIONI in località CASTELLO di SERRAVALLE**

**viale G. Verdi - COMUNE DI VALSAMOGGIA (BO)**

**PROGETTO ESECUTIVO**

**RELAZIONE DI CALCOLO STRUTTURALE BLOCCO D**

**SLE QUASI PERMANENTI -  $1,0 \cdot P.P + 1,0 \cdot G1 + 1,0 \cdot G2 + 0 \cdot Q1 + 0 \cdot Q2$**

SL DANNO 1-  $1,0 \cdot P.P + 1,0 \cdot G1 + 1,0 \cdot G2 + 0 \cdot Q1 + 0 \cdot Q2 + 1,0 \cdot E1(sld) + 0,3 \cdot E2(sld)$   
 SL DANNO 2-  $1,0 \cdot P.P + 1,0 \cdot G1 + 1,0 \cdot G2 + 0 \cdot Q1 + 0 \cdot Q2 + 1,0 \cdot E1(sld) + 0,3 \cdot E4(sld)$   
 SL DANNO 3-  $1,0 \cdot P.P + 1,0 \cdot G1 + 1,0 \cdot G2 + 0 \cdot Q1 + 0 \cdot Q2 + 0,3 \cdot E1(sld) + 1,0 \cdot E2(sld)$   
 SL DANNO 4-  $1,0 \cdot P.P + 1,0 \cdot G1 + 1,0 \cdot G2 + 0 \cdot Q1 + 0 \cdot Q2 + 1,0 \cdot E2(sld) + 0,3 \cdot E3(sld)$   
 SL DANNO 5-  $1,0 \cdot P.P + 1,0 \cdot G1 + 1,0 \cdot G2 + 0 \cdot Q1 + 0 \cdot Q2 + 0,3 \cdot E2(sld) + 1,0 \cdot E3(sld)$   
 SL DANNO 6-  $1,0 \cdot P.P + 1,0 \cdot G1 + 1,0 \cdot G2 + 0 \cdot Q1 + 0 \cdot Q2 + 1,0 \cdot E3(sld) + 0,3 \cdot E4(sld)$   
 SL DANNO 7-  $1,0 \cdot P.P + 1,0 \cdot G1 + 1,0 \cdot G2 + 0 \cdot Q1 + 0 \cdot Q2 + 0,3 \cdot E1(sld) + 1,0 \cdot E4(sld)$   
 SL DANNO 8-  $1,0 \cdot P.P + 1,0 \cdot G1 + 1,0 \cdot G2 + 0 \cdot Q1 + 0 \cdot Q2 + 0,3 \cdot E3(sld) + 1,0 \cdot E4(sld)$

SL OPERATIVITA' 1-  $1,0 \cdot P.P + 1,0 \cdot G1 + 1,0 \cdot G2 + 0 \cdot Q1 + 0 \cdot Q2 + 1,0 \cdot E1(slo) + 0,3 \cdot E2(slo)$   
 SL OPERATIVITA' 2-  $1,0 \cdot P.P + 1,0 \cdot G1 + 1,0 \cdot G2 + 0 \cdot Q1 + 0 \cdot Q2 + 1,0 \cdot E1(slo) + 0,3 \cdot E4(slo)$   
 SL OPERATIVITA' 3-  $1,0 \cdot P.P + 1,0 \cdot G1 + 1,0 \cdot G2 + 0 \cdot Q1 + 0 \cdot Q2 + 0,3 \cdot E1(slo) + 1,0 \cdot E2(slo)$   
 SL OPERATIVITA' 4-  $1,0 \cdot P.P + 1,0 \cdot G1 + 1,0 \cdot G2 + 0 \cdot Q1 + 0 \cdot Q2 + 1,0 \cdot E2(slo) + 0,3 \cdot E3(slo)$   
 SL OPERATIVITA' 5-  $1,0 \cdot P.P + 1,0 \cdot G1 + 1,0 \cdot G2 + 0 \cdot Q1 + 0 \cdot Q2 + 0,3 \cdot E2(slo) + 1,0 \cdot E3(slo)$   
 SL OPERATIVITA' 6-  $1,0 \cdot P.P + 1,0 \cdot G1 + 1,0 \cdot G2 + 0 \cdot Q1 + 0 \cdot Q2 + 1,0 \cdot E3(slo) + 0,3 \cdot E4(slo)$   
 SL OPERATIVITA' 7-  $1,0 \cdot P.P + 1,0 \cdot G1 + 1,0 \cdot G2 + 0 \cdot Q1 + 0 \cdot Q2 + 0,3 \cdot E1(slo) + 1,0 \cdot E4(slo)$   
 SL OPERATIVITA' 8-  $1,0 \cdot P.P + 1,0 \cdot G1 + 1,0 \cdot G2 + 0 \cdot Q1 + 0 \cdot Q2 + 0,3 \cdot E3(slo) + 1,0 \cdot E4(slo)$

Dove:

P.P.- peso proprio della struttura

G1 – carico permanente strutturale

G2 – carico permanente non strutturale

Q1 – carico accidentale neve

Q2 – carico accidentale categoria H1

E1 (slv) – carico derivante dal sisma SLV angolo 0

E2 (slv) – carico derivante dal sisma SLV angolo 90

E3 (slv) – carico derivante dal sisma SLV angolo 180

E4 (slv) – carico derivante dal sisma SLV angolo 270

E1 (sld) – carico derivante dal sisma SLD angolo 0

E2 (sld) – carico derivante dal sisma SLD angolo 90

E3 (sld) – carico derivante dal sisma SLD angolo 180

E4 (sld) – carico derivante dal sisma SLD angolo 270

E1 (slo) – carico derivante dal sisma SLO angolo 0

E2 (slo) – carico derivante dal sisma SLO angolo 90

E3 (slo) – carico derivante dal sisma SLO angolo 180

E4 (slo) – carico derivante dal sisma SLO angolo 270

E' stato inserito il carico tipo H1 con valore 0 per avere equivalenti carichi al piede , quindi per poter sommare automaticamente le reazioni al piede per il dimensionamento delle fondazioni)

**NUOVA SCUOLA DELL'INFANZIA A SEI SEZIONI in località CASTELLO di SERRAVALLE**
**viale G. Verdi - COMUNE DI VALSAMOGGIA (BO)**
**PROGETTO ESECUTIVO**
**RELAZIONE DI CALCOLO STRUTTURALE BLOCCO D**

 Approccio di verifica: **Approccio 2** Set di coefficienti parziali: **A1+M1+R3**
Coefficienti parziali per le azioni o per l'effetto delle azioni nelle verifiche SLU:

| Tipologia di carichi:                         |                    | Coefficiente<br>$\gamma_F$ | <i>EQU</i> | <i>STR</i><br><i>A1</i> | <i>GEO</i><br><i>A2</i> |
|-----------------------------------------------|--------------------|----------------------------|------------|-------------------------|-------------------------|
| <b>Carichi permanenti</b>                     | <i>favorevoli</i>  | $\gamma_{G1}$              | 0,9        | 1,0                     | 1,0                     |
|                                               | <i>sfavorevoli</i> |                            | 1,1        | 1,3                     | 1,0                     |
| <b>Carichi permanenti<br/>non strutturali</b> | <i>favorevoli</i>  | $\gamma_{G2}$              | 0,0        | 0,0                     | 0,0                     |
|                                               | <i>sfavorevoli</i> |                            | 1,5        | 1,5                     | 1,3                     |
| <b>Carichi variabili</b>                      | <i>favorevoli</i>  | $\gamma_{Qi}$              | 0,0        | 0,0                     | 0,0                     |
|                                               | <i>sfavorevoli</i> |                            | 1,5        | 1,5                     | 1,3                     |

Coefficienti parziali per i parametri geotecnici del terreno:

| Parametro                                               | Grandezza<br>alla quale<br>applicare il<br>coefficiente<br>parziale | Coefficiente<br>parziale | <i>M1</i> | <i>M2</i> |
|---------------------------------------------------------|---------------------------------------------------------------------|--------------------------|-----------|-----------|
| <b>Tangente dell'angolo<br/>di resistenza al taglio</b> | $\tan \varphi'_k$                                                   | $\gamma_{\varphi'}$      | 1,0       | 1,25      |
| <b>Coesione efficace</b>                                | $C'_k$                                                              | $\gamma_{c'}$            | 1,0       | 1,25      |
| <b>Resistenza non drenata</b>                           | $C_{uk}$                                                            | $\gamma_{cu}$            | 1,0       | 1,4       |
| <b>Peso dell'unità di<br/>volume</b>                    | $\gamma$                                                            | $\gamma_\gamma$          | 1,0       | 1,0       |

**NUOVA SCUOLA DELL'INFANZIA A SEI SEZIONI in località CASTELLO di SERRAVALLE**

**viale G. Verdi - COMUNE DI VALSAMOGGIA (BO)**

**PROGETTO ESECUTIVO**

**RELAZIONE DI CALCOLO STRUTTURALE BLOCCO D**

Coefficienti parziali  $\gamma_R$  per le verifiche agli stati limite ultimi di fondazioni superficiali:

| Verifica                                            | Coefficiente parziale (R1) | Coefficiente parziale (R2) | Coefficiente parziale (R3) |
|-----------------------------------------------------|----------------------------|----------------------------|----------------------------|
| <b>Tangente dell'angolo di resistenza al taglio</b> | $\gamma_R=1,0$             | $\gamma_R=1,8$             | $\gamma_R=2,3$             |
| <b>Coesione efficace</b>                            | $\gamma_R=1,0$             | $\gamma_R=1,1$             | $\gamma_R=1,1$             |

Risultati analisi dinamica

Sintesi dei risultati per direzione d'ingresso del sisma.

**SLV**

| Direzione d'ingresso | Modo Principale | Periodo [sec] | % Massa Modale Modo Principale | % Massa Modale Totale |
|----------------------|-----------------|---------------|--------------------------------|-----------------------|
| 0.00 [°]             | 1               | 0.44          | 60                             | 100                   |
| 90.00 [°]            | 11              | 0.23          | 33                             | 100                   |
| 180.00 [°]           | 1               | 0.44          | 60                             | 100                   |
| 270.00 [°]           | 11              | 0.23          | 33                             | 100                   |

**SLD**

| Direzione d'ingresso | Modo Principale | Periodo [sec] | % Massa Modale Modo Principale | % Massa Modale Totale |
|----------------------|-----------------|---------------|--------------------------------|-----------------------|
| 0.00 [°]             | 1               | 0.44          | 60                             | 100                   |
| 90.00 [°]            | 11              | 0.23          | 33                             | 100                   |
| 180.00 [°]           | 1               | 0.44          | 60                             | 100                   |
| 270.00 [°]           | 11              | 0.23          | 33                             | 100                   |

**SLO**

| Direzione d'ingresso | Modo Principale | Periodo [sec] | % Massa Modale Modo Principale | % Massa Modale Totale |
|----------------------|-----------------|---------------|--------------------------------|-----------------------|
| 0.00 [°]             | 1               | 0.44          | 60                             | 100                   |
| 90.00 [°]            | 11              | 0.23          | 33                             | 100                   |
| 180.00 [°]           | 1               | 0.44          | 60                             | 100                   |

**NUOVA SCUOLA DELL'INFANZIA A SEI SEZIONI in località CASTELLO di SERRAVALLE**
**viale G. Verdi - COMUNE DI VALSAMOGGIA (BO)**
**PROGETTO ESECUTIVO**
**RELAZIONE DI CALCOLO STRUTTURALE BLOCCO D**

|            |    |      |    |     |
|------------|----|------|----|-----|
| 270.00 [°] | 11 | 0.23 | 33 | 100 |
|------------|----|------|----|-----|

Autovalori e Periodi

Numero di modi di vibrare trovati: 30

Numero di modi considerati per ogni direzione del sisma: 24

| Modo | Autovalore<br>[rad/sec]^2 | Pulsazione<br>[rad/sec] | Periodo<br>[sec] | R      |
|------|---------------------------|-------------------------|------------------|--------|
| 1    | 201.6183                  | 14.199                  | 0.44             | 0.4341 |
| 2    | 267.2068                  | 16.346                  | 0.38             | 0.4341 |
| 3    | 269.7335                  | 16.424                  | 0.38             | 0.4341 |
| 4    | 333.6440                  | 18.266                  | 0.34             | 0.4341 |
| 5    | 350.1891                  | 18.713                  | 0.34             | 0.4341 |
| 6    | 434.7955                  | 20.852                  | 0.30             | 0.4341 |
| 7    | 505.6902                  | 22.488                  | 0.28             | 0.4341 |
| 8    | 585.7736                  | 24.203                  | 0.26             | 0.4341 |
| 9    | 643.9636                  | 25.376                  | 0.25             | 0.4341 |
| 10   | 651.7578                  | 25.530                  | 0.25             | 0.4341 |
| 11   | 723.7339                  | 26.902                  | 0.23             | 0.4341 |
| 12   | 774.8770                  | 27.837                  | 0.23             | 0.4341 |
| 13   | 900.9484                  | 30.016                  | 0.21             | 0.4341 |
| 14   | 992.2145                  | 31.499                  | 0.20             | 0.4341 |
| 15   | 1021.5309                 | 31.961                  | 0.20             | 0.4341 |
| 16   | 1165.9889                 | 34.147                  | 0.18             | 0.4341 |
| 17   | 1268.3354                 | 35.614                  | 0.18             | 0.4341 |
| 18   | 1427.8507                 | 37.787                  | 0.17             | 0.4341 |
| 19   | 1581.1241                 | 39.763                  | 0.16             | 0.4341 |
| 20   | 1937.3644                 | 44.016                  | 0.14             | 0.4201 |
| 21   | 2255.7405                 | 47.495                  | 0.13             | 0.4089 |
| 22   | 2897.4363                 | 53.828                  | 0.12             | 0.3922 |
| 23   | 3066.1853                 | 55.373                  | 0.11             | 0.3887 |
| 24   | 3072.4529                 | 55.430                  | 0.11             | 0.3886 |
| 25   | 3129.3186                 | 55.940                  | 0.11             | 0.3875 |
| 26   | 3476.7180                 | 58.964                  | 0.11             | 0.3813 |
| 27   | 4770.3530                 | 69.068                  | 0.09             | 0.3646 |
| 28   | 8831.1699                 | 93.974                  | 0.07             | 0.3388 |
| 29   | 13655.6943                | 116.858                 | 0.05             | 0.3247 |
| 30   | 93848.7422                | 306.347                 | 0.02             | 0.2890 |

**NUOVA SCUOLA DELL'INFANZIA A SEI SEZIONI in località CASTELLO di SERRAVALLE**
**viale G. Verdi - COMUNE DI VALSAMOGGIA (BO)**
**PROGETTO ESECUTIVO**
**RELAZIONE DI CALCOLO STRUTTURALE BLOCCO D**

Risultati angolo di ingresso del sisma: 0.00 [°] SLV

| Modo | Periodo [sec] | Coeff.di Part. | $ L_i / L_1 $ | MassaModale | Mmi/Mmtot | Sum Mmi/Mmtot | R      |
|------|---------------|----------------|---------------|-------------|-----------|---------------|--------|
| 1    | 0.44          | 8.67266e+01    | 100           | 7.5e+03     | 60        | 60            | 0.4341 |
| 28   | 0.07          | -2.72806e+01   | 31            | 7.4e+02     | 6         | 66            | 0.3388 |
| 4    | 0.34          | 2.42516e+01    | 28            | 5.9e+02     | 5         | 70            | 0.4341 |
| 20   | 0.14          | -2.02670e+01   | 23            | 4.1e+02     | 3         | 74            | 0.4201 |
| 11   | 0.23          | -1.93374e+01   | 22            | 3.7e+02     | 3         | 77            | 0.4341 |
| 2    | 0.38          | 1.85134e+01    | 21            | 3.4e+02     | 3         | 79            | 0.4341 |
| 17   | 0.18          | 1.82518e+01    | 21            | 3.3e+02     | 3         | 82            | 0.4341 |
| 3    | 0.38          | 1.80443e+01    | 21            | 3.3e+02     | 3         | 85            | 0.4341 |
| 8    | 0.26          | 1.75016e+01    | 20            | 3.1e+02     | 2         | 87            | 0.4341 |
| 13   | 0.21          | 1.74283e+01    | 20            | 3.0e+02     | 2         | 90            | 0.4341 |
| 12   | 0.23          | 1.68645e+01    | 19            | 2.8e+02     | 2         | 92            | 0.4341 |
| 22   | 0.12          | -1.47937e+01   | 17            | 2.2e+02     | 2         | 94            | 0.3922 |
| 25   | 0.11          | 1.46799e+01    | 17            | 2.2e+02     | 2         | 95            | 0.3875 |
| 9    | 0.25          | 1.22221e+01    | 14            | 1.5e+02     | 1         | 96            | 0.4341 |
| 15   | 0.20          | 1.15191e+01    | 13            | 1.3e+02     | 1         | 97            | 0.4341 |
| 27   | 0.09          | 1.08925e+01    | 13            | 1.2e+02     | 1         | 98            | 0.3646 |
| 6    | 0.30          | 9.47255e+00    | 11            | 9.0e+01     | 1         | 99            | 0.4341 |
| 14   | 0.20          | 6.01898e+00    | 7             | 3.6e+01     | 0         | 99            | 0.4341 |
| 18   | 0.17          | -4.97684e+00   | 6             | 2.5e+01     | 0         | 100           | 0.4341 |
| 7    | 0.28          | 3.35002e+00    | 4             | 1.1e+01     | 0         | 100           | 0.4341 |
| 26   | 0.11          | -2.61155e+00   | 3             | 6.8e+00     | 0         | 100           | 0.3813 |
| 23   | 0.11          | -2.32385e+00   | 3             | 5.4e+00     | 0         | 100           | 0.3887 |
| 5    | 0.34          | -2.31895e+00   | 3             | 5.4e+00     | 0         | 100           | 0.4341 |
| 16   | 0.18          | 1.60439e+00    | 2             | 2.6e+00     | 0         | 100           | 0.4341 |

Risultati angolo di ingresso del sisma: 90.00 [°] SLV

| Modo | Periodo [sec] | Coeff.di Part. | $ L_i / L_1 $ | MassaModale | Mmi/Mmtot | Sum Mmi/Mmtot | R      |
|------|---------------|----------------|---------------|-------------|-----------|---------------|--------|
| 11   | 0.23          | -6.39743e+01   | 100           | 4.1e+03     | 33        | 33            | 0.4341 |
| 6    | 0.30          | 4.99869e+01    | 78            | 2.5e+03     | 20        | 52            | 0.4341 |
| 12   | 0.23          | -3.43372e+01   | 54            | 1.2e+03     | 9         | 62            | 0.4341 |
| 4    | 0.34          | -3.20836e+01   | 50            | 1.0e+03     | 8         | 70            | 0.4341 |
| 9    | 0.25          | -3.08672e+01   | 48            | 9.5e+02     | 8         | 78            | 0.4341 |
| 10   | 0.25          | 2.76049e+01    | 43            | 7.6e+02     | 6         | 84            | 0.4341 |
| 18   | 0.17          | -2.65939e+01   | 42            | 7.1e+02     | 6         | 89            | 0.4341 |
| 5    | 0.34          | -2.35675e+01   | 37            | 5.6e+02     | 4         | 94            | 0.4341 |

**NUOVA SCUOLA DELL'INFANZIA A SEI SEZIONI in località CASTELLO di SERRAVALLE**
**viale G. Verdi - COMUNE DI VALSAMOGGIA (BO)**
**PROGETTO ESECUTIVO**
**RELAZIONE DI CALCOLO STRUTTURALE BLOCCO D**

|    |      |              |    |         |   |     |        |
|----|------|--------------|----|---------|---|-----|--------|
| 20 | 0.14 | 2.03127e+01  | 32 | 4.1e+02 | 3 | 97  | 0.4201 |
| 22 | 0.12 | -1.18507e+01 | 19 | 1.4e+02 | 1 | 98  | 0.3922 |
| 7  | 0.28 | -1.15026e+01 | 18 | 1.3e+02 | 1 | 99  | 0.4341 |
| 25 | 0.11 | 5.47225e+00  | 9  | 3.0e+01 | 0 | 99  | 0.3875 |
| 8  | 0.26 | -4.25784e+00 | 7  | 1.8e+01 | 0 | 100 | 0.4341 |
| 14 | 0.20 | -3.78313e+00 | 6  | 1.4e+01 | 0 | 100 | 0.4341 |
| 29 | 0.05 | -3.14774e+00 | 5  | 9.9e+00 | 0 | 100 | 0.3247 |
| 2  | 0.38 | -2.85741e+00 | 4  | 8.2e+00 | 0 | 100 | 0.4341 |
| 1  | 0.44 | 2.80181e+00  | 4  | 7.9e+00 | 0 | 100 | 0.4341 |
| 17 | 0.18 | -1.44463e+00 | 2  | 2.1e+00 | 0 | 100 | 0.4341 |
| 23 | 0.11 | 1.29194e+00  | 2  | 1.7e+00 | 0 | 100 | 0.3887 |
| 28 | 0.07 | 1.04185e+00  | 2  | 1.1e+00 | 0 | 100 | 0.3388 |
| 26 | 0.11 | 8.10583e-01  | 1  | 6.6e-01 | 0 | 100 | 0.3813 |
| 19 | 0.16 | 7.52629e-01  | 1  | 5.7e-01 | 0 | 100 | 0.4341 |
| 24 | 0.11 | -7.30502e-01 | 1  | 5.3e-01 | 0 | 100 | 0.3886 |
| 16 | 0.18 | 6.57274e-01  | 1  | 4.3e-01 | 0 | 100 | 0.4341 |

Risultati angolo di ingresso del sisma: 180.00 [°] SLV

| Modo | Periodo [sec] | Coeff.di Part. | Li / L1 | MassaModale | Mmi/Mmtot | Sum Mmi/Mmtot | R      |
|------|---------------|----------------|---------|-------------|-----------|---------------|--------|
| 1    | 0.44          | -8.67266e+01   | 100     | 7.5e+03     | 60        | 60            | 0.4341 |
| 28   | 0.07          | 2.72806e+01    | 31      | 7.4e+02     | 6         | 66            | 0.3388 |
| 4    | 0.34          | -2.42516e+01   | 28      | 5.9e+02     | 5         | 70            | 0.4341 |
| 20   | 0.14          | 2.02670e+01    | 23      | 4.1e+02     | 3         | 74            | 0.4201 |
| 11   | 0.23          | 1.93374e+01    | 22      | 3.7e+02     | 3         | 77            | 0.4341 |
| 2    | 0.38          | -1.85134e+01   | 21      | 3.4e+02     | 3         | 79            | 0.4341 |
| 17   | 0.18          | -1.82518e+01   | 21      | 3.3e+02     | 3         | 82            | 0.4341 |
| 3    | 0.38          | -1.80443e+01   | 21      | 3.3e+02     | 3         | 85            | 0.4341 |
| 8    | 0.26          | -1.75016e+01   | 20      | 3.1e+02     | 2         | 87            | 0.4341 |
| 13   | 0.21          | -1.74283e+01   | 20      | 3.0e+02     | 2         | 90            | 0.4341 |
| 12   | 0.23          | -1.68646e+01   | 19      | 2.8e+02     | 2         | 92            | 0.4341 |
| 22   | 0.12          | 1.47937e+01    | 17      | 2.2e+02     | 2         | 94            | 0.3922 |
| 25   | 0.11          | -1.46799e+01   | 17      | 2.2e+02     | 2         | 95            | 0.3875 |
| 9    | 0.25          | -1.22221e+01   | 14      | 1.5e+02     | 1         | 96            | 0.4341 |
| 15   | 0.20          | -1.15191e+01   | 13      | 1.3e+02     | 1         | 97            | 0.4341 |
| 27   | 0.09          | -1.08925e+01   | 13      | 1.2e+02     | 1         | 98            | 0.3646 |
| 6    | 0.30          | -9.47253e+00   | 11      | 9.0e+01     | 1         | 99            | 0.4341 |
| 14   | 0.20          | -6.01898e+00   | 7       | 3.6e+01     | 0         | 99            | 0.4341 |
| 18   | 0.17          | 4.97683e+00    | 6       | 2.5e+01     | 0         | 100           | 0.4341 |

**NUOVA SCUOLA DELL'INFANZIA A SEI SEZIONI in località CASTELLO di SERRAVALLE**
**viale G. Verdi - COMUNE DI VALSAMOGGIA (BO)**
**PROGETTO ESECUTIVO**
**RELAZIONE DI CALCOLO STRUTTURALE BLOCCO D**

|    |      |              |   |         |   |     |        |
|----|------|--------------|---|---------|---|-----|--------|
| 7  | 0.28 | -3.35002e+00 | 4 | 1.1e+01 | 0 | 100 | 0.4341 |
| 26 | 0.11 | 2.61155e+00  | 3 | 6.8e+00 | 0 | 100 | 0.3813 |
| 23 | 0.11 | 2.32385e+00  | 3 | 5.4e+00 | 0 | 100 | 0.3887 |
| 5  | 0.34 | 2.31894e+00  | 3 | 5.4e+00 | 0 | 100 | 0.4341 |
| 16 | 0.18 | -1.60439e+00 | 2 | 2.6e+00 | 0 | 100 | 0.4341 |

Risultati angolo di ingresso del sisma: 270.00 [°] SLV

| Modo | Periodo [sec] | Coeff.di Part. | Li  /  L1 | MassaModale | Mmi/Mmtot | Sum Mmi/Mmtot | R      |
|------|---------------|----------------|-----------|-------------|-----------|---------------|--------|
| 11   | 0.23          | 6.39743e+01    | 100       | 4.1e+03     | 33        | 33            | 0.4341 |
| 6    | 0.30          | -4.99869e+01   | 78        | 2.5e+03     | 20        | 52            | 0.4341 |
| 12   | 0.23          | 3.43372e+01    | 54        | 1.2e+03     | 9         | 62            | 0.4341 |
| 4    | 0.34          | 3.20836e+01    | 50        | 1.0e+03     | 8         | 70            | 0.4341 |
| 9    | 0.25          | 3.08672e+01    | 48        | 9.5e+02     | 8         | 78            | 0.4341 |
| 10   | 0.25          | -2.76049e+01   | 43        | 7.6e+02     | 6         | 84            | 0.4341 |
| 18   | 0.17          | 2.65939e+01    | 42        | 7.1e+02     | 6         | 89            | 0.4341 |
| 5    | 0.34          | 2.35675e+01    | 37        | 5.6e+02     | 4         | 94            | 0.4341 |
| 20   | 0.14          | -2.03127e+01   | 32        | 4.1e+02     | 3         | 97            | 0.4201 |
| 22   | 0.12          | 1.18507e+01    | 19        | 1.4e+02     | 1         | 98            | 0.3922 |
| 7    | 0.28          | 1.15026e+01    | 18        | 1.3e+02     | 1         | 99            | 0.4341 |
| 25   | 0.11          | -5.47226e+00   | 9         | 3.0e+01     | 0         | 99            | 0.3875 |
| 8    | 0.26          | 4.25783e+00    | 7         | 1.8e+01     | 0         | 100           | 0.4341 |
| 14   | 0.20          | 3.78313e+00    | 6         | 1.4e+01     | 0         | 100           | 0.4341 |
| 29   | 0.05          | 3.14774e+00    | 5         | 9.9e+00     | 0         | 100           | 0.3247 |
| 2    | 0.38          | 2.85740e+00    | 4         | 8.2e+00     | 0         | 100           | 0.4341 |
| 1    | 0.44          | -2.80185e+00   | 4         | 7.9e+00     | 0         | 100           | 0.4341 |
| 17   | 0.18          | 1.44462e+00    | 2         | 2.1e+00     | 0         | 100           | 0.4341 |
| 23   | 0.11          | -1.29194e+00   | 2         | 1.7e+00     | 0         | 100           | 0.3887 |
| 28   | 0.07          | -1.04184e+00   | 2         | 1.1e+00     | 0         | 100           | 0.3388 |
| 26   | 0.11          | -8.10582e-01   | 1         | 6.6e-01     | 0         | 100           | 0.3813 |
| 19   | 0.16          | -7.52629e-01   | 1         | 5.7e-01     | 0         | 100           | 0.4341 |
| 24   | 0.11          | 7.30502e-01    | 1         | 5.3e-01     | 0         | 100           | 0.3886 |
| 16   | 0.18          | -6.57275e-01   | 1         | 4.3e-01     | 0         | 100           | 0.4341 |

Risultati angolo di ingresso del sisma: 0.00 [°] SLD

| Modo | Periodo [sec] | Coeff.di Part. | Li  /  L1 | MassaModale | Mmi/Mmtot | Sum Mmi/Mmtot | R      |
|------|---------------|----------------|-----------|-------------|-----------|---------------|--------|
| 1    | 0.44          | 8.67266e+01    | 100       | 7.5e+03     | 60        | 60            | 0.2985 |
| 28   | 0.07          | -2.72806e+01   | 31        | 7.4e+02     | 6         | 66            | 0.2034 |

**NUOVA SCUOLA DELL'INFANZIA A SEI SEZIONI in località CASTELLO di SERRAVALLE**
**viale G. Verdi - COMUNE DI VALSAMOGGIA (BO)**
**PROGETTO ESECUTIVO**
**RELAZIONE DI CALCOLO STRUTTURALE BLOCCO D**

|    |      |              |    |         |   |     |        |
|----|------|--------------|----|---------|---|-----|--------|
| 4  | 0.34 | 2.42516e+01  | 28 | 5.9e+02 | 5 | 70  | 0.3014 |
| 20 | 0.14 | -2.02670e+01 | 23 | 4.1e+02 | 3 | 74  | 0.2973 |
| 11 | 0.23 | -1.93374e+01 | 22 | 3.7e+02 | 3 | 77  | 0.3014 |
| 2  | 0.38 | 1.85134e+01  | 21 | 3.4e+02 | 3 | 79  | 0.3014 |
| 17 | 0.18 | 1.82518e+01  | 21 | 3.3e+02 | 3 | 82  | 0.3014 |
| 3  | 0.38 | 1.80443e+01  | 21 | 3.3e+02 | 3 | 85  | 0.3014 |
| 8  | 0.26 | 1.75016e+01  | 20 | 3.1e+02 | 2 | 87  | 0.3014 |
| 13 | 0.21 | 1.74283e+01  | 20 | 3.0e+02 | 2 | 90  | 0.3014 |
| 12 | 0.23 | 1.68645e+01  | 19 | 2.8e+02 | 2 | 92  | 0.3014 |
| 22 | 0.12 | -1.47937e+01 | 17 | 2.2e+02 | 2 | 94  | 0.2651 |
| 25 | 0.11 | 1.46799e+01  | 17 | 2.2e+02 | 2 | 95  | 0.2597 |
| 9  | 0.25 | 1.22221e+01  | 14 | 1.5e+02 | 1 | 96  | 0.3014 |
| 15 | 0.20 | 1.15191e+01  | 13 | 1.3e+02 | 1 | 97  | 0.3014 |
| 27 | 0.09 | 1.08925e+01  | 13 | 1.2e+02 | 1 | 98  | 0.2333 |
| 6  | 0.30 | 9.47255e+00  | 11 | 9.0e+01 | 1 | 99  | 0.3014 |
| 14 | 0.20 | 6.01898e+00  | 7  | 3.6e+01 | 0 | 99  | 0.3014 |
| 18 | 0.17 | -4.97684e+00 | 6  | 2.5e+01 | 0 | 100 | 0.3014 |
| 7  | 0.28 | 3.35002e+00  | 4  | 1.1e+01 | 0 | 100 | 0.3014 |
| 26 | 0.11 | -2.61155e+00 | 3  | 6.8e+00 | 0 | 100 | 0.2525 |
| 23 | 0.11 | -2.32385e+00 | 3  | 5.4e+00 | 0 | 100 | 0.2611 |
| 5  | 0.34 | -2.31895e+00 | 3  | 5.4e+00 | 0 | 100 | 0.3014 |
| 16 | 0.18 | 1.60439e+00  | 2  | 2.6e+00 | 0 | 100 | 0.3014 |

Risultati angolo di ingresso del sisma: 90.00 [°] SLD

| Modo | Periodo [sec] | Coeff.di Part. | Li / L1 | MassaModale | Mmi/Mmtot | Sum Mmi/Mmtot | R      |
|------|---------------|----------------|---------|-------------|-----------|---------------|--------|
| 11   | 0.23          | -6.39743e+01   | 100     | 4.1e+03     | 33        | 33            | 0.3014 |
| 6    | 0.30          | 4.99869e+01    | 78      | 2.5e+03     | 20        | 52            | 0.3014 |
| 12   | 0.23          | -3.43372e+01   | 54      | 1.2e+03     | 9         | 62            | 0.3014 |
| 4    | 0.34          | -3.20836e+01   | 50      | 1.0e+03     | 8         | 70            | 0.3014 |
| 9    | 0.25          | -3.08672e+01   | 48      | 9.5e+02     | 8         | 78            | 0.3014 |
| 10   | 0.25          | 2.76049e+01    | 43      | 7.6e+02     | 6         | 84            | 0.3014 |
| 18   | 0.17          | -2.65939e+01   | 42      | 7.1e+02     | 6         | 89            | 0.3014 |
| 5    | 0.34          | -2.35675e+01   | 37      | 5.6e+02     | 4         | 94            | 0.3014 |
| 20   | 0.14          | 2.03127e+01    | 32      | 4.1e+02     | 3         | 97            | 0.2973 |
| 22   | 0.12          | -1.18507e+01   | 19      | 1.4e+02     | 1         | 98            | 0.2651 |
| 7    | 0.28          | -1.15026e+01   | 18      | 1.3e+02     | 1         | 99            | 0.3014 |
| 25   | 0.11          | 5.47225e+00    | 9       | 3.0e+01     | 0         | 99            | 0.2597 |
| 8    | 0.26          | -4.25784e+00   | 7       | 1.8e+01     | 0         | 100           | 0.3014 |

**NUOVA SCUOLA DELL'INFANZIA A SEI SEZIONI in località CASTELLO di SERRAVALLE**
**viale G. Verdi - COMUNE DI VALSAMOGGIA (BO)**
**PROGETTO ESECUTIVO**
**RELAZIONE DI CALCOLO STRUTTURALE BLOCCO D**

|    |      |              |   |         |   |     |        |
|----|------|--------------|---|---------|---|-----|--------|
| 14 | 0.20 | -3.78313e+00 | 6 | 1.4e+01 | 0 | 100 | 0.3014 |
| 29 | 0.05 | -3.14774e+00 | 5 | 9.9e+00 | 0 | 100 | 0.1872 |
| 2  | 0.38 | -2.85741e+00 | 4 | 8.2e+00 | 0 | 100 | 0.3014 |
| 1  | 0.44 | 2.80181e+00  | 4 | 7.9e+00 | 0 | 100 | 0.2985 |
| 17 | 0.18 | -1.44463e+00 | 2 | 2.1e+00 | 0 | 100 | 0.3014 |
| 23 | 0.11 | 1.29194e+00  | 2 | 1.7e+00 | 0 | 100 | 0.2611 |
| 28 | 0.07 | 1.04185e+00  | 2 | 1.1e+00 | 0 | 100 | 0.2034 |
| 26 | 0.11 | 8.10583e-01  | 1 | 6.6e-01 | 0 | 100 | 0.2525 |
| 19 | 0.16 | 7.52629e-01  | 1 | 5.7e-01 | 0 | 100 | 0.3014 |
| 24 | 0.11 | -7.30502e-01 | 1 | 5.3e-01 | 0 | 100 | 0.2609 |
| 16 | 0.18 | 6.57274e-01  | 1 | 4.3e-01 | 0 | 100 | 0.3014 |

Risultati angolo di ingresso del sisma: 180.00 [°] SLD

| Modo | Periodo [sec] | Coeff.di Part. | Li  /L1 | MassaModale | Mmi/Mmtot | Sum Mmi/Mmtot | R      |
|------|---------------|----------------|---------|-------------|-----------|---------------|--------|
| 1    | 0.44          | -8.67266e+01   | 100     | 7.5e+03     | 60        | 60            | 0.2985 |
| 28   | 0.07          | 2.72806e+01    | 31      | 7.4e+02     | 6         | 66            | 0.2034 |
| 4    | 0.34          | -2.42516e+01   | 28      | 5.9e+02     | 5         | 70            | 0.3014 |
| 20   | 0.14          | 2.02670e+01    | 23      | 4.1e+02     | 3         | 74            | 0.2973 |
| 11   | 0.23          | 1.93374e+01    | 22      | 3.7e+02     | 3         | 77            | 0.3014 |
| 2    | 0.38          | -1.85134e+01   | 21      | 3.4e+02     | 3         | 79            | 0.3014 |
| 17   | 0.18          | -1.82518e+01   | 21      | 3.3e+02     | 3         | 82            | 0.3014 |
| 3    | 0.38          | -1.80443e+01   | 21      | 3.3e+02     | 3         | 85            | 0.3014 |
| 8    | 0.26          | -1.75016e+01   | 20      | 3.1e+02     | 2         | 87            | 0.3014 |
| 13   | 0.21          | -1.74283e+01   | 20      | 3.0e+02     | 2         | 90            | 0.3014 |
| 12   | 0.23          | -1.68646e+01   | 19      | 2.8e+02     | 2         | 92            | 0.3014 |
| 22   | 0.12          | 1.47937e+01    | 17      | 2.2e+02     | 2         | 94            | 0.2651 |
| 25   | 0.11          | -1.46799e+01   | 17      | 2.2e+02     | 2         | 95            | 0.2597 |
| 9    | 0.25          | -1.22221e+01   | 14      | 1.5e+02     | 1         | 96            | 0.3014 |
| 15   | 0.20          | -1.15191e+01   | 13      | 1.3e+02     | 1         | 97            | 0.3014 |
| 27   | 0.09          | -1.08925e+01   | 13      | 1.2e+02     | 1         | 98            | 0.2333 |
| 6    | 0.30          | -9.47253e+00   | 11      | 9.0e+01     | 1         | 99            | 0.3014 |
| 14   | 0.20          | -6.01898e+00   | 7       | 3.6e+01     | 0         | 99            | 0.3014 |
| 18   | 0.17          | 4.97683e+00    | 6       | 2.5e+01     | 0         | 100           | 0.3014 |
| 7    | 0.28          | -3.35002e+00   | 4       | 1.1e+01     | 0         | 100           | 0.3014 |
| 26   | 0.11          | 2.61155e+00    | 3       | 6.8e+00     | 0         | 100           | 0.2525 |
| 23   | 0.11          | 2.32385e+00    | 3       | 5.4e+00     | 0         | 100           | 0.2611 |
| 5    | 0.34          | 2.31894e+00    | 3       | 5.4e+00     | 0         | 100           | 0.3014 |
| 16   | 0.18          | -1.60439e+00   | 2       | 2.6e+00     | 0         | 100           | 0.3014 |

**NUOVA SCUOLA DELL'INFANZIA A SEI SEZIONI in località CASTELLO di SERRAVALLE**
**viale G. Verdi - COMUNE DI VALSAMOGGIA (BO)**
**PROGETTO ESECUTIVO**
**RELAZIONE DI CALCOLO STRUTTURALE BLOCCO D**

Risultati angolo di ingresso del sisma: 270.00 [°] SLD

| Modo | Periodo [sec] | Coeff.di Part. | $ L_i / L_1 $ | MassaModale | Mmi/Mmtot | Sum Mmi/Mmtot | R      |
|------|---------------|----------------|---------------|-------------|-----------|---------------|--------|
| 11   | 0.23          | 6.39743e+01    | 100           | 4.1e+03     | 33        | 33            | 0.3014 |
| 6    | 0.30          | -4.99869e+01   | 78            | 2.5e+03     | 20        | 52            | 0.3014 |
| 12   | 0.23          | 3.43372e+01    | 54            | 1.2e+03     | 9         | 62            | 0.3014 |
| 4    | 0.34          | 3.20836e+01    | 50            | 1.0e+03     | 8         | 70            | 0.3014 |
| 9    | 0.25          | 3.08672e+01    | 48            | 9.5e+02     | 8         | 78            | 0.3014 |
| 10   | 0.25          | -2.76049e+01   | 43            | 7.6e+02     | 6         | 84            | 0.3014 |
| 18   | 0.17          | 2.65939e+01    | 42            | 7.1e+02     | 6         | 89            | 0.3014 |
| 5    | 0.34          | 2.35675e+01    | 37            | 5.6e+02     | 4         | 94            | 0.3014 |
| 20   | 0.14          | -2.03127e+01   | 32            | 4.1e+02     | 3         | 97            | 0.2973 |
| 22   | 0.12          | 1.18507e+01    | 19            | 1.4e+02     | 1         | 98            | 0.2651 |
| 7    | 0.28          | 1.15026e+01    | 18            | 1.3e+02     | 1         | 99            | 0.3014 |
| 25   | 0.11          | -5.47226e+00   | 9             | 3.0e+01     | 0         | 99            | 0.2597 |
| 8    | 0.26          | 4.25783e+00    | 7             | 1.8e+01     | 0         | 100           | 0.3014 |
| 14   | 0.20          | 3.78313e+00    | 6             | 1.4e+01     | 0         | 100           | 0.3014 |
| 29   | 0.05          | 3.14774e+00    | 5             | 9.9e+00     | 0         | 100           | 0.1872 |
| 2    | 0.38          | 2.85740e+00    | 4             | 8.2e+00     | 0         | 100           | 0.3014 |
| 1    | 0.44          | -2.80185e+00   | 4             | 7.9e+00     | 0         | 100           | 0.2985 |
| 17   | 0.18          | 1.44462e+00    | 2             | 2.1e+00     | 0         | 100           | 0.3014 |
| 23   | 0.11          | -1.29194e+00   | 2             | 1.7e+00     | 0         | 100           | 0.2611 |
| 28   | 0.07          | -1.04184e+00   | 2             | 1.1e+00     | 0         | 100           | 0.2034 |
| 26   | 0.11          | -8.10582e-01   | 1             | 6.6e-01     | 0         | 100           | 0.2525 |
| 19   | 0.16          | -7.52629e-01   | 1             | 5.7e-01     | 0         | 100           | 0.3014 |
| 24   | 0.11          | 7.30502e-01    | 1             | 5.3e-01     | 0         | 100           | 0.2609 |
| 16   | 0.18          | -6.57275e-01   | 1             | 4.3e-01     | 0         | 100           | 0.3014 |

Risultati angolo di ingresso del sisma: 0.00 [°] SLO

| Modo | Periodo [sec] | Coeff.di Part. | $ L_i / L_1 $ | MassaModale | Mmi/Mmtot | Sum Mmi/Mmtot | R      |
|------|---------------|----------------|---------------|-------------|-----------|---------------|--------|
| 1    | 0.44          | 8.67266e+01    | 100           | 7.5e+03     | 60        | 60            | 0.2403 |
| 28   | 0.07          | -2.72806e+01   | 31            | 7.4e+02     | 6         | 66            | 0.1664 |
| 4    | 0.34          | 2.42516e+01    | 28            | 5.9e+02     | 5         | 70            | 0.2454 |
| 20   | 0.14          | -2.02670e+01   | 23            | 4.1e+02     | 3         | 74            | 0.2438 |
| 11   | 0.23          | -1.93374e+01   | 22            | 3.7e+02     | 3         | 77            | 0.2454 |
| 2    | 0.38          | 1.85134e+01    | 21            | 3.4e+02     | 3         | 79            | 0.2454 |
| 17   | 0.18          | 1.82518e+01    | 21            | 3.3e+02     | 3         | 82            | 0.2454 |

**NUOVA SCUOLA DELL'INFANZIA A SEI SEZIONI in località CASTELLO di SERRAVALLE**
**viale G. Verdi - COMUNE DI VALSAMOGGIA (BO)**
**PROGETTO ESECUTIVO**
**RELAZIONE DI CALCOLO STRUTTURALE BLOCCO D**

|    |      |              |    |         |   |     |        |
|----|------|--------------|----|---------|---|-----|--------|
| 3  | 0.38 | 1.80443e+01  | 21 | 3.3e+02 | 3 | 85  | 0.2454 |
| 8  | 0.26 | 1.75016e+01  | 20 | 3.1e+02 | 2 | 87  | 0.2454 |
| 13 | 0.21 | 1.74283e+01  | 20 | 3.0e+02 | 2 | 90  | 0.2454 |
| 12 | 0.23 | 1.68645e+01  | 19 | 2.8e+02 | 2 | 92  | 0.2454 |
| 22 | 0.12 | -1.47937e+01 | 17 | 2.2e+02 | 2 | 94  | 0.2172 |
| 25 | 0.11 | 1.46799e+01  | 17 | 2.2e+02 | 2 | 95  | 0.2127 |
| 9  | 0.25 | 1.22221e+01  | 14 | 1.5e+02 | 1 | 96  | 0.2454 |
| 15 | 0.20 | 1.15191e+01  | 13 | 1.3e+02 | 1 | 97  | 0.2454 |
| 27 | 0.09 | 1.08925e+01  | 13 | 1.2e+02 | 1 | 98  | 0.1910 |
| 6  | 0.30 | 9.47255e+00  | 11 | 9.0e+01 | 1 | 99  | 0.2454 |
| 14 | 0.20 | 6.01898e+00  | 7  | 3.6e+01 | 0 | 99  | 0.2454 |
| 18 | 0.17 | -4.97684e+00 | 6  | 2.5e+01 | 0 | 100 | 0.2454 |
| 7  | 0.28 | 3.35002e+00  | 4  | 1.1e+01 | 0 | 100 | 0.2454 |
| 26 | 0.11 | -2.61155e+00 | 3  | 6.8e+00 | 0 | 100 | 0.2069 |
| 23 | 0.11 | -2.32385e+00 | 3  | 5.4e+00 | 0 | 100 | 0.2139 |
| 5  | 0.34 | -2.31895e+00 | 3  | 5.4e+00 | 0 | 100 | 0.2454 |
| 16 | 0.18 | 1.60439e+00  | 2  | 2.6e+00 | 0 | 100 | 0.2454 |

Risultati angolo di ingresso del sisma: 90.00 [°] SLO

| Modo | Periodo [sec] | Coeff.di Part. | Li / L1 | MassaModale | Mmi/Mmtot | Sum Mmi/Mmtot | R      |
|------|---------------|----------------|---------|-------------|-----------|---------------|--------|
| 11   | 0.23          | -6.39743e+01   | 100     | 4.1e+03     | 33        | 33            | 0.2454 |
| 6    | 0.30          | 4.99869e+01    | 78      | 2.5e+03     | 20        | 52            | 0.2454 |
| 12   | 0.23          | -3.43372e+01   | 54      | 1.2e+03     | 9         | 62            | 0.2454 |
| 4    | 0.34          | -3.20836e+01   | 50      | 1.0e+03     | 8         | 70            | 0.2454 |
| 9    | 0.25          | -3.08672e+01   | 48      | 9.5e+02     | 8         | 78            | 0.2454 |
| 10   | 0.25          | 2.76049e+01    | 43      | 7.6e+02     | 6         | 84            | 0.2454 |
| 18   | 0.17          | -2.65939e+01   | 42      | 7.1e+02     | 6         | 89            | 0.2454 |
| 5    | 0.34          | -2.35675e+01   | 37      | 5.6e+02     | 4         | 94            | 0.2454 |
| 20   | 0.14          | 2.03127e+01    | 32      | 4.1e+02     | 3         | 97            | 0.2438 |
| 22   | 0.12          | -1.18507e+01   | 19      | 1.4e+02     | 1         | 98            | 0.2172 |
| 7    | 0.28          | -1.15026e+01   | 18      | 1.3e+02     | 1         | 99            | 0.2454 |
| 25   | 0.11          | 5.47225e+00    | 9       | 3.0e+01     | 0         | 99            | 0.2127 |
| 8    | 0.26          | -4.25784e+00   | 7       | 1.8e+01     | 0         | 100           | 0.2454 |
| 14   | 0.20          | -3.78313e+00   | 6       | 1.4e+01     | 0         | 100           | 0.2454 |
| 29   | 0.05          | -3.14774e+00   | 5       | 9.9e+00     | 0         | 100           | 0.1530 |
| 2    | 0.38          | -2.85741e+00   | 4       | 8.2e+00     | 0         | 100           | 0.2454 |
| 1    | 0.44          | 2.80181e+00    | 4       | 7.9e+00     | 0         | 100           | 0.2403 |
| 17   | 0.18          | -1.44463e+00   | 2       | 2.1e+00     | 0         | 100           | 0.2454 |

**NUOVA SCUOLA DELL'INFANZIA A SEI SEZIONI in località CASTELLO di SERRAVALLE**
**viale G. Verdi - COMUNE DI VALSAMOGGIA (BO)**
**PROGETTO ESECUTIVO**
**RELAZIONE DI CALCOLO STRUTTURALE BLOCCO D**

|    |      |              |   |         |   |     |        |
|----|------|--------------|---|---------|---|-----|--------|
| 23 | 0.11 | 1.29194e+00  | 2 | 1.7e+00 | 0 | 100 | 0.2139 |
| 28 | 0.07 | 1.04185e+00  | 2 | 1.1e+00 | 0 | 100 | 0.1664 |
| 26 | 0.11 | 8.10583e-01  | 1 | 6.6e-01 | 0 | 100 | 0.2069 |
| 19 | 0.16 | 7.52629e-01  | 1 | 5.7e-01 | 0 | 100 | 0.2454 |
| 24 | 0.11 | -7.30502e-01 | 1 | 5.3e-01 | 0 | 100 | 0.2138 |
| 16 | 0.18 | 6.57274e-01  | 1 | 4.3e-01 | 0 | 100 | 0.2454 |

Risultati angolo di ingresso del sisma: 180.00 [°] SLO

| Modo | Periodo [sec] | Coeff.di Part. | Li  /  L1 | MassaModale | Mmi/Mmtot | Sum Mmi/Mmtot | R      |
|------|---------------|----------------|-----------|-------------|-----------|---------------|--------|
| 1    | 0.44          | -8.67266e+01   | 100       | 7.5e+03     | 60        | 60            | 0.2403 |
| 28   | 0.07          | 2.72806e+01    | 31        | 7.4e+02     | 6         | 66            | 0.1664 |
| 4    | 0.34          | -2.42516e+01   | 28        | 5.9e+02     | 5         | 70            | 0.2454 |
| 20   | 0.14          | 2.02670e+01    | 23        | 4.1e+02     | 3         | 74            | 0.2438 |
| 11   | 0.23          | 1.93374e+01    | 22        | 3.7e+02     | 3         | 77            | 0.2454 |
| 2    | 0.38          | -1.85134e+01   | 21        | 3.4e+02     | 3         | 79            | 0.2454 |
| 17   | 0.18          | -1.82518e+01   | 21        | 3.3e+02     | 3         | 82            | 0.2454 |
| 3    | 0.38          | -1.80443e+01   | 21        | 3.3e+02     | 3         | 85            | 0.2454 |
| 8    | 0.26          | -1.75016e+01   | 20        | 3.1e+02     | 2         | 87            | 0.2454 |
| 13   | 0.21          | -1.74283e+01   | 20        | 3.0e+02     | 2         | 90            | 0.2454 |
| 12   | 0.23          | -1.68646e+01   | 19        | 2.8e+02     | 2         | 92            | 0.2454 |
| 22   | 0.12          | 1.47937e+01    | 17        | 2.2e+02     | 2         | 94            | 0.2172 |
| 25   | 0.11          | -1.46799e+01   | 17        | 2.2e+02     | 2         | 95            | 0.2127 |
| 9    | 0.25          | -1.22221e+01   | 14        | 1.5e+02     | 1         | 96            | 0.2454 |
| 15   | 0.20          | -1.15191e+01   | 13        | 1.3e+02     | 1         | 97            | 0.2454 |
| 27   | 0.09          | -1.08925e+01   | 13        | 1.2e+02     | 1         | 98            | 0.1910 |
| 6    | 0.30          | -9.47253e+00   | 11        | 9.0e+01     | 1         | 99            | 0.2454 |
| 14   | 0.20          | -6.01898e+00   | 7         | 3.6e+01     | 0         | 99            | 0.2454 |
| 18   | 0.17          | 4.97683e+00    | 6         | 2.5e+01     | 0         | 100           | 0.2454 |
| 7    | 0.28          | -3.35002e+00   | 4         | 1.1e+01     | 0         | 100           | 0.2454 |
| 26   | 0.11          | 2.61155e+00    | 3         | 6.8e+00     | 0         | 100           | 0.2069 |
| 23   | 0.11          | 2.32385e+00    | 3         | 5.4e+00     | 0         | 100           | 0.2139 |
| 5    | 0.34          | 2.31894e+00    | 3         | 5.4e+00     | 0         | 100           | 0.2454 |
| 16   | 0.18          | -1.60439e+00   | 2         | 2.6e+00     | 0         | 100           | 0.2454 |

Risultati angolo di ingresso del sisma: 270.00 [°] SLO

| Modo | Periodo [sec] | Coeff.di Part. | Li  /  L1 | MassaModale | Mmi/Mmtot | Sum Mmi/Mmtot | R      |
|------|---------------|----------------|-----------|-------------|-----------|---------------|--------|
| 11   | 0.23          | 6.39743e+01    | 100       | 4.1e+03     | 33        | 33            | 0.2454 |

**NUOVA SCUOLA DELL'INFANZIA A SEI SEZIONI in località CASTELLO di SERRAVALLE**

**viale G. Verdi - COMUNE DI VALSAMOGGIA (BO)**

**PROGETTO ESECUTIVO**

**RELAZIONE DI CALCOLO STRUTTURALE BLOCCO D**

|    |      |              |    |         |    |     |        |
|----|------|--------------|----|---------|----|-----|--------|
| 6  | 0.30 | -4.99869e+01 | 78 | 2.5e+03 | 20 | 52  | 0.2454 |
| 12 | 0.23 | 3.43372e+01  | 54 | 1.2e+03 | 9  | 62  | 0.2454 |
| 4  | 0.34 | 3.20836e+01  | 50 | 1.0e+03 | 8  | 70  | 0.2454 |
| 9  | 0.25 | 3.08672e+01  | 48 | 9.5e+02 | 8  | 78  | 0.2454 |
| 10 | 0.25 | -2.76049e+01 | 43 | 7.6e+02 | 6  | 84  | 0.2454 |
| 18 | 0.17 | 2.65939e+01  | 42 | 7.1e+02 | 6  | 89  | 0.2454 |
| 5  | 0.34 | 2.35675e+01  | 37 | 5.6e+02 | 4  | 94  | 0.2454 |
| 20 | 0.14 | -2.03127e+01 | 32 | 4.1e+02 | 3  | 97  | 0.2438 |
| 22 | 0.12 | 1.18507e+01  | 19 | 1.4e+02 | 1  | 98  | 0.2172 |
| 7  | 0.28 | 1.15026e+01  | 18 | 1.3e+02 | 1  | 99  | 0.2454 |
| 25 | 0.11 | -5.47226e+00 | 9  | 3.0e+01 | 0  | 99  | 0.2127 |
| 8  | 0.26 | 4.25783e+00  | 7  | 1.8e+01 | 0  | 100 | 0.2454 |
| 14 | 0.20 | 3.78313e+00  | 6  | 1.4e+01 | 0  | 100 | 0.2454 |
| 29 | 0.05 | 3.14774e+00  | 5  | 9.9e+00 | 0  | 100 | 0.1530 |
| 2  | 0.38 | 2.85740e+00  | 4  | 8.2e+00 | 0  | 100 | 0.2454 |
| 1  | 0.44 | -2.80185e+00 | 4  | 7.9e+00 | 0  | 100 | 0.2403 |
| 17 | 0.18 | 1.44462e+00  | 2  | 2.1e+00 | 0  | 100 | 0.2454 |
| 23 | 0.11 | -1.29194e+00 | 2  | 1.7e+00 | 0  | 100 | 0.2139 |
| 28 | 0.07 | -1.04184e+00 | 2  | 1.1e+00 | 0  | 100 | 0.1664 |
| 26 | 0.11 | -8.10582e-01 | 1  | 6.6e-01 | 0  | 100 | 0.2069 |
| 19 | 0.16 | -7.52629e-01 | 1  | 5.7e-01 | 0  | 100 | 0.2454 |
| 24 | 0.11 | 7.30502e-01  | 1  | 5.3e-01 | 0  | 100 | 0.2138 |
| 16 | 0.18 | -6.57275e-01 | 1  | 4.3e-01 | 0  | 100 | 0.2454 |

Si riportano di seguito i principali modi di vibrare della struttura.

E' stata svolta un'analisi dinamica senza condensazione di piano e sono stati considerati i primi 30 modi di vibrare.

La struttura non ha solai rigidi; ciò spiega perché alcuni dei primi modi di vibrare mobilitano una percentuale bassa di massa e sono necessari molti modi di vibrare per attivare almeno l'85% della massa sismica. Alcuni dei primi modi di vibrare non sono pertanto significativi.

Si riportano quindi i modi di vibrare che mobilitano le percentuali maggiori di masse

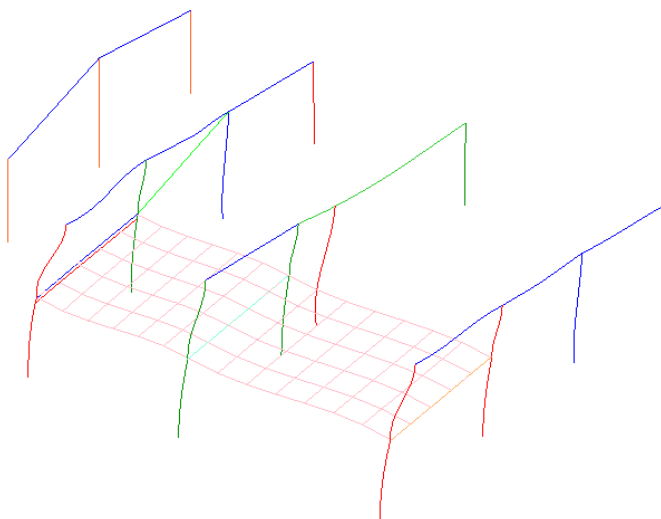
**NUOVA SCUOLA DELL'INFANZIA A SEI SEZIONI in località CASTELLO di SERRAVALLE****viale G. Verdi - COMUNE DI VALSAMOGGIA (BO)****PROGETTO ESECUTIVO****RELAZIONE DI CALCOLO STRUTTURALE BLOCCO D**

---

**SCHEMA 1° MODO DI VIBRARE**

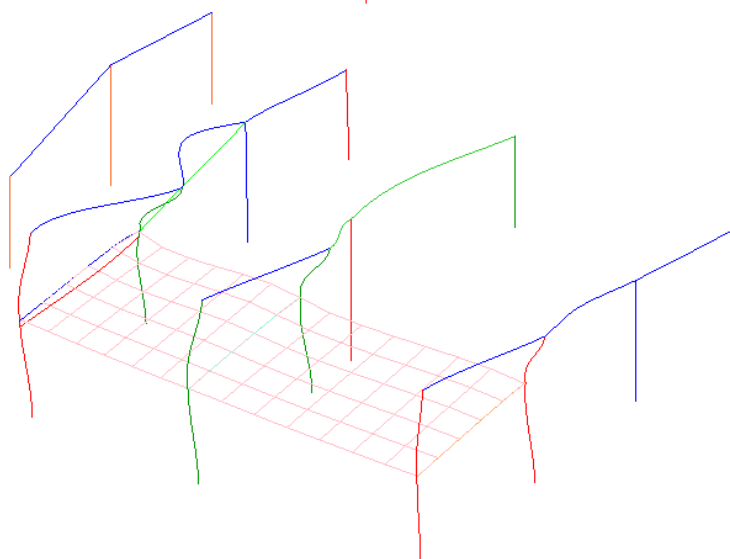
Periodo= 0,44 sec

%massa modale:60%

**SCHEMA 28° MODO DI VIBRARE**

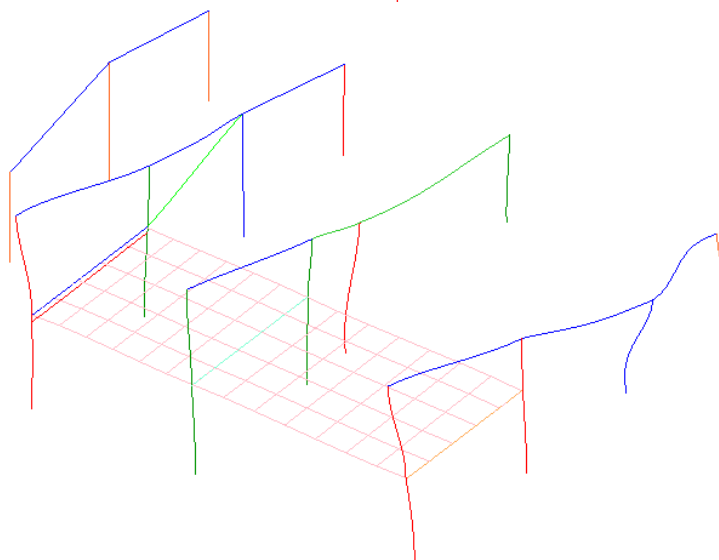
Periodo= 0,07 sec

%massa modale:6%

**SCHEMA 4° MODO DI VIBRARE**

Periodo= 0,34 sec

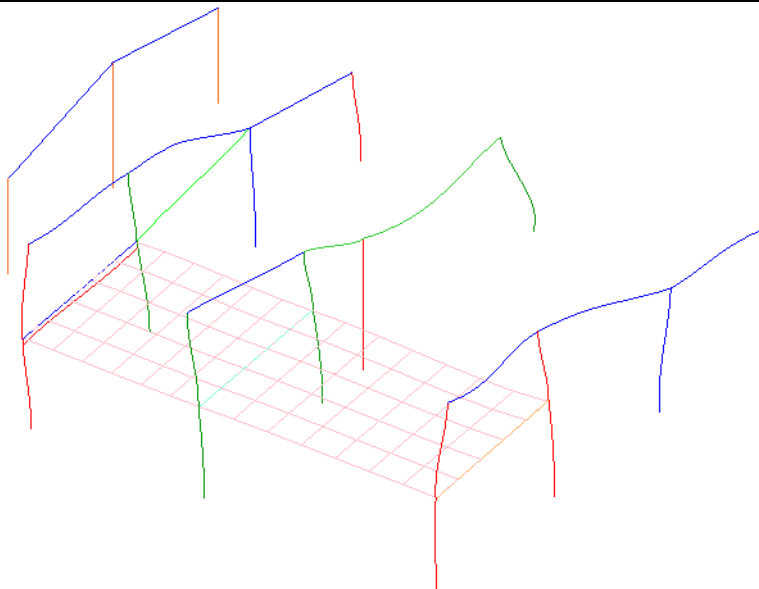
%massa modale:5%



**NUOVA SCUOLA DELL'INFANZIA A SEI SEZIONI in località CASTELLO di SERRAVALLE****viale G. Verdi - COMUNE DI VALSAMOGGIA (BO)****PROGETTO ESECUTIVO****RELAZIONE DI CALCOLO STRUTTURALE BLOCCO D****SCHEMA 11° MODO DI VIBRARE**

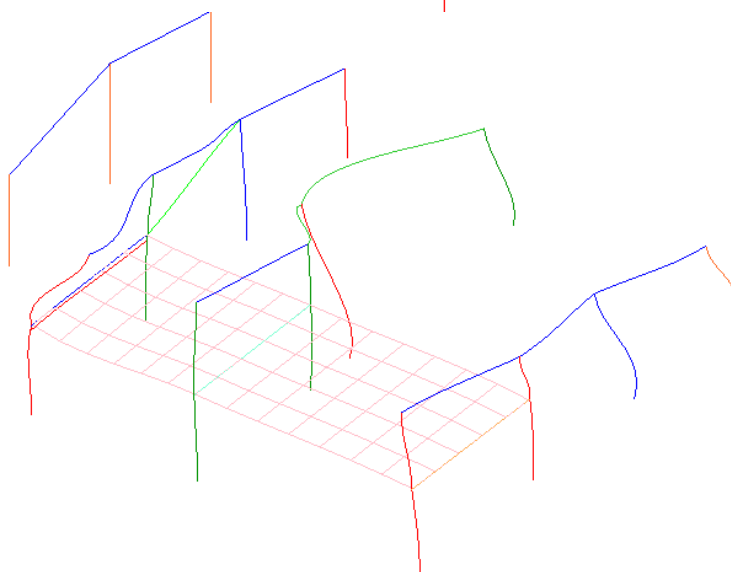
Periodo= 0,23 sec

%massa modale:33%

**SCHEMA 6° MODO DI VIBRARE**

Periodo= 0,30 sec

%massa modale:33%



**NUOVA SCUOLA DELL'INFANZIA A SEI SEZIONI in località CASTELLO di SERRAVALLE**

**viale G. Verdi - COMUNE DI VALSAMOGGIA (BO)**

**PROGETTO ESECUTIVO**

RELAZIONE DI CALCOLO STRUTTURALE BLOCCO D

---

## 2.2.h- Indicazione motivata del metodo di analisi seguito

Il metodo degli elementi finiti, su cui si basa la modellazione strutturale, nasce dalla necessità di approssimare le equazioni differenziali, che governano lo stato di un sistema continuo, con un sistema di equazioni algebriche in un numero finito di incognite. In quest'ottica, la discretizzazione del continuo è il primo passo e consiste nel suddividerlo in sottodomini, detti elementi finiti, e di scegliere dei punti di contatto, detti nodi strutturali, tra elementi contigui o all'interno degli elementi stessi.

Le misure degli spostamenti nodali (metodo degli spostamenti) o delle forze nodali (metodo duale delle forze) sono assunte come incognite del problema e le equazioni algebriche risolventi sono generate impiegando, in generale, un principio variazionale. Impostato così il problema, è evidente che un elemento finito non è che un modello matematico atto a simulare il comportamento della struttura reale e, data la discrezionalità con la quale si procede alla discretizzazione del continuo, è altresì evidente che, per una stessa struttura, si possono creare più modelli, ognuno con un proprio grado di affidabilità anche in relazione allo specifico problema in esame. Ad esempio una trave può schematizzarsi con un singolo elemento beam, con più elementi beam in serie ovvero con una mesh di elementi piani o solidi in funzione del tipo di problema studiato (calcolo delle azioni interne, ricerca delle concentrazioni di tensione in corrispondenza degli appoggi, trasferimento del calore, ecc...).

Un elemento finito è "classificabile" in base a:

- la sua geometria (x,y,z);
- il campo di spostamenti che copre (v);
- il legame deformazioni-spostamenti  $\epsilon=f(v)$  che adotta;
- la legge costitutiva del materiale che è in grado di approssimare  $\sigma = g(\epsilon)$ .

Dal punto di vista della geometria si hanno, infatti, a disposizione elementi:

- puntuali (elementi boundary, plinti di fondazione, ecc.)
- lineari (elementi biella, trave, ecc.)
- superficiali (triangolari CST, LST, quadrangolari, isoparametrici a 4/8 nodi, ecc.)
- solidi (elementi brick a 8/21 nodi, tetraedrici o esaedrici a facce piane o curve ecc.).

Per quanto riguarda gli spostamenti, si hanno elementi in grado di coprire tutte le sei componenti di spostamento nodale (ad es. gli elementi beam) oppure solo alcune di esse (come le tre componenti di traslazione per gli elementi biella).

Infine si ha una notevole diversificazione, anche per lo stesso tipo di modello, considerando il legame spostamenti- deformazioni che l'elemento finito è in grado di approssimare (introduzione della matrice di rigidezza geometrica in problemi di non linearità geometrica) oltre alla capacità dell'elemento stesso di seguire la legge costitutiva del materiale (problemi di non linearità materiale).

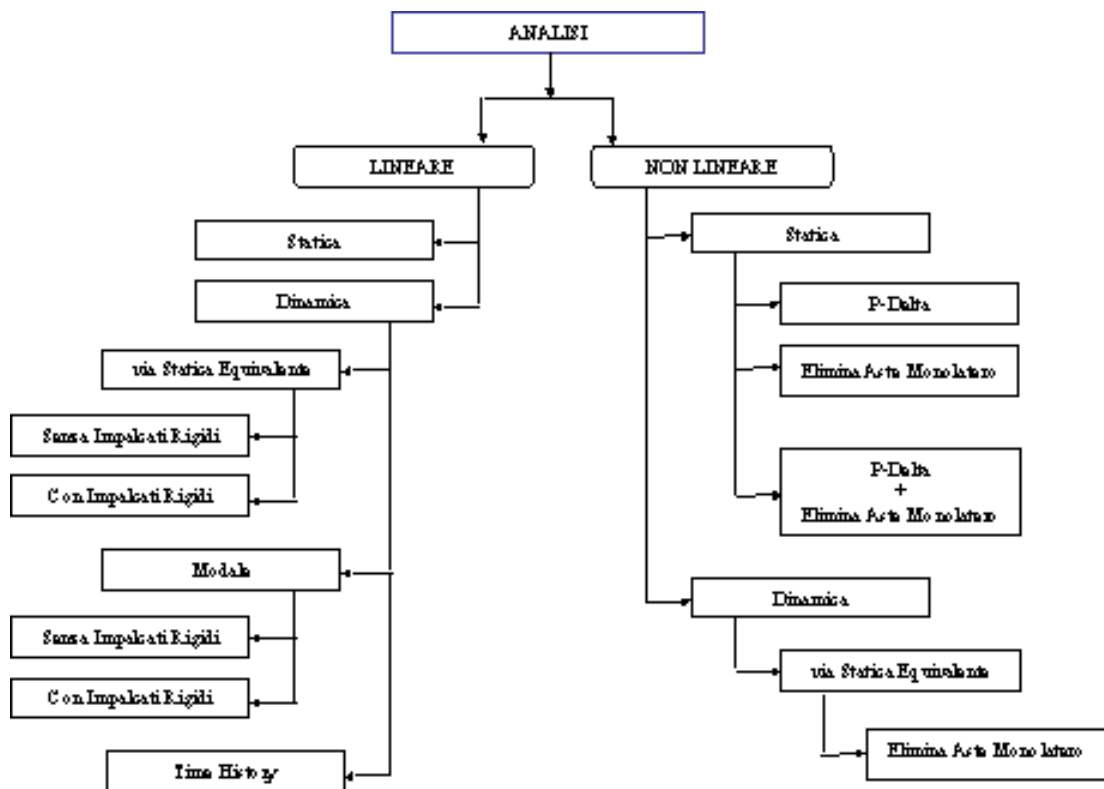
NUOVA SCUOLA DELL'INFANZIA A SEI SEZIONI in località CASTELLO di SERRAVALLE

viale G. Verdi - COMUNE DI VALSAMOGGIA (BO)

**PROGETTO ESECUTIVO**

RELAZIONE DI CALCOLO STRUTTURALE BLOCCO D

Solitamente la fase di modellazione della struttura, totalmente gestita dal Pre-Processore, viene conclusa con la definizione del tipo di analisi da condurre.



Un modello agli elementi finiti è un modello matematico che simula il comportamento di una generica struttura reale mediante una specifica discretizzazione in  $n$  sottostrutture di tipo predefinito; l'assemblaggio dei modelli di ciascuna sottostruttura ottenuta conduce al modello globale.

Questa operazione di discretizzazione della struttura implica due scelte fondamentali:

la scelta dell'elemento finito che meglio si adatta allo specifico problema in esame;

la scelta del numero e della disposizione topologica degli elementi finiti all'interno della struttura stessa.

In *WinStrand* sono implementati i seguenti elementi finiti:

- Bielle
- Pilastrini
- Travi
- Travi di Fondazione
- Setti
- Plinti
- Pali

**NUOVA SCUOLA DELL'INFANZIA A SEI SEZIONI in località CASTELLO di SERRAVALLE**

**viale G. Verdi - COMUNE DI VALSAMOGGIA (BO)**

**PROGETTO ESECUTIVO**

**RELAZIONE DI CALCOLO STRUTTURALE BLOCCO D**

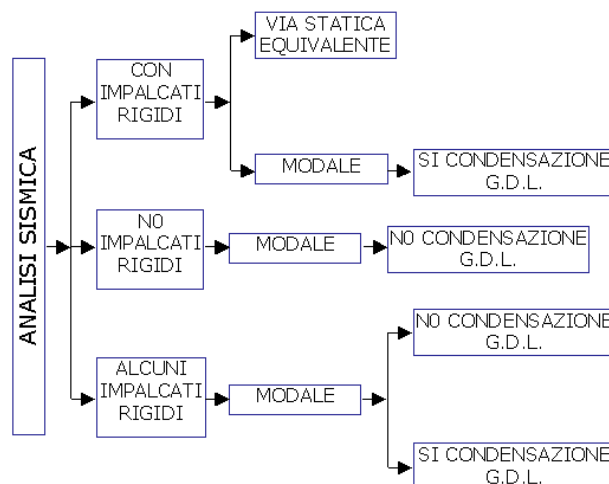
- Elementi Triangolari
- Elementi a 4 Nodi
- Isoparametrici a 8 Nodi
- Elementi 3D con 4 nodi
- Elementi 3D con 6 nodi
- Elementi 3D con 8 nodi

Tutti questi elementi sono caratterizzati da un legame lineare spostamenti-deformazioni e presuppongono un comportamento elastico lineare del materiale costitutivo.

Gli elementi utilizzati per la modellazione dello schema strutturale sono:

- Travi: Elementi con una dimensione prevalente che unisce due punti dello spazio.
- Pilastri: Elementi con una dimensione prevalente che unisce due punti dello spazio.
- Elementi a quattro nodi : utilizzati nella modellazione di solette piane

Nello schema seguente si illustrano le situazioni di calcolo più ricorrenti prevedibili per un telaio da sottoporre ad analisi sismica



L'analisi condotta in questa progettazione è di tipo **Lineare modale senza condensazione dei gradi di libertà (lineare dinamica senza ipotesi di impalcati rigidi)**.

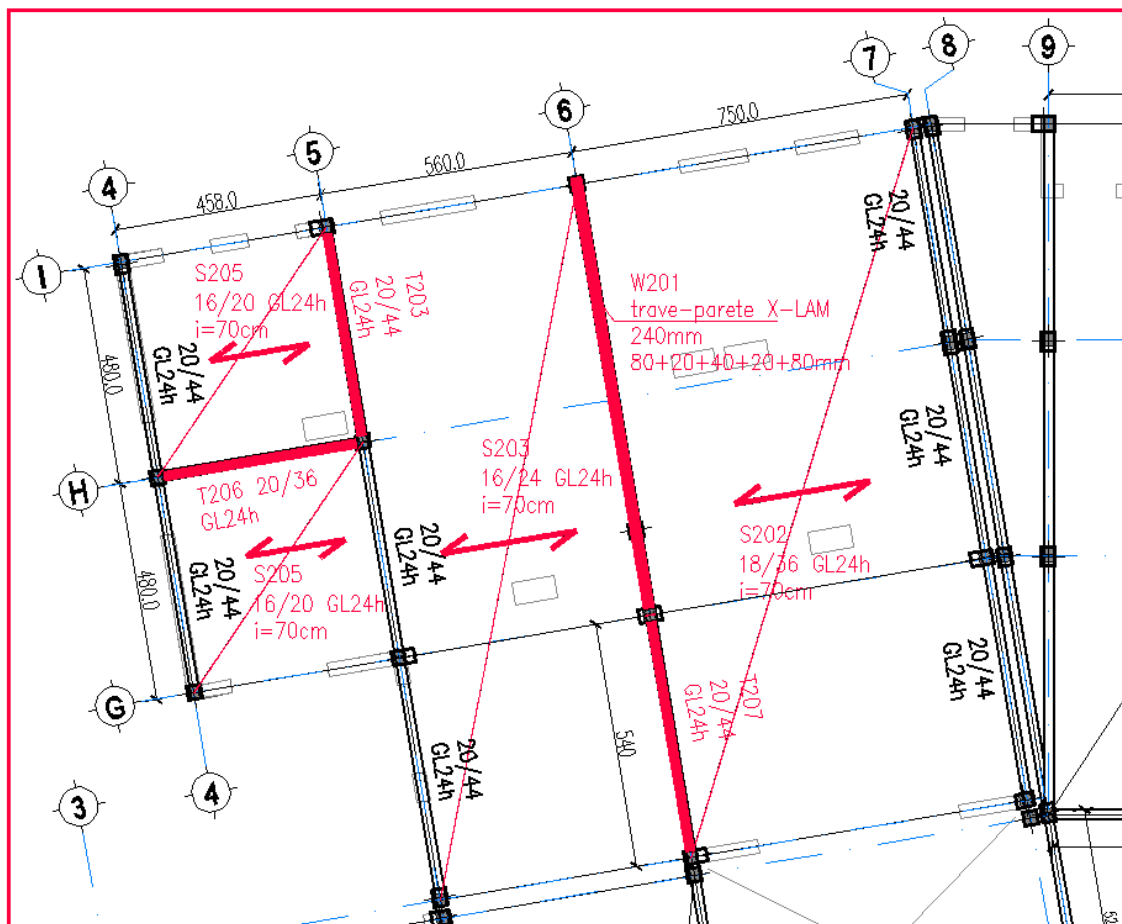
**NUOVA SCUOLA DELL'INFANZIA A SEI SEZIONI in località CASTELLO di SERRAVALLE**
**viale G. Verdi - COMUNE DI VALSAMOGGIA (BO)**
**PROGETTO ESECUTIVO**
**RELAZIONE DI CALCOLO STRUTTURALE BLOCCO D**
**2.2.i- Criteri di verifica degli stati limite indagati, in presenza di azione sismica**
**TRAVI**

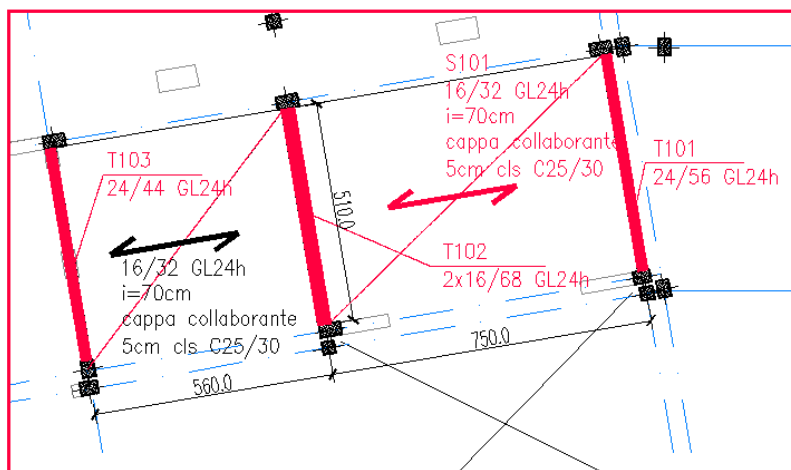
Ai fini delle verifiche di sicurezza, degli elementi lignei e relative connessioni, sono stati adottati i criteri del metodo semiprobabilistico agli stati limite. In particolare sono stati soddisfatti i requisiti per la sicurezza allo stato limite ultimo e allo stato limite d'esercizio, nonché considerando l'azione sismica e la condizione eccezionale d'incendio.

Per la verifica degli elementi strutturali in legno, quali travi e travetti, sono stati utilizzati fogli di calcolo prodotti con il programma Excel della società produttrice Microsoft Corporation. Per ogni sezione lignea di riferimento, sono stati verificati gli elementi aventi maggiori sollecitazioni in base alle condizioni di sollecitazione e vincolo.

Si riepilogano di seguito gli elementi verificati. I risultati sono stati estesi agli elementi aventi sollecitazioni uguali o inferiori a quelli calcolati

Nelle schede con le verifiche degli elementi strutturali sono indicati i carichi a ml agenti sulla trave. Tali carichi sono stati ottenuti moltiplicando i carichi a mq valutati al cap.2.2.f2 per la lunghezza di influenza delle travi stesse.

**COPERTURA**


**NUOVA SCUOLA DELL'INFANZIA A SEI SEZIONI in località CASTELLO di SERRAVALLE**
**viale G. Verdi - COMUNE DI VALSAMOGGIA (BO)**
**PROGETTO ESECUTIVO**
**RELAZIONE DI CALCOLO STRUTTURALE BLOCCO D**
**SOLAIO 1**


Per la verifica delle connessioni legno-legno e legno-C.A., nella maggiore parte dei casi, sono sempre stati utilizzati fogli di calcolo prodotti con il programma Excel della società produttrice Microsoft Corporation. Le sollecitazioni di verifica sono state ricavate dall'analisi globale, considerando gli effetti sia dei carichi ordinari, sia dell'azione sismica di progetto. Per alcune connessioni, è stato previsto l'impiego di sistemi di collegamento di produzione industriale brevettati, per i quali è lo stesso produttore a fornire i valori di resistenza, in maniera ufficiale, a mezzo di benestare tecnico.

**PILASTRI**

Per la verifica degli elementi è stato utilizzato un modello globale nel quale i pilastri sono ipotizzati incastrati al piede.

Riepilogo verifiche effettuate:

- verifica agli SLU e SLV – Verifica a pressoflessione deviata N/M - rapporto fra le sollecitazioni di calcolo e la resistenza ultima del pilastro, e deve essere inferiore ad 1.
- verifica agli SLU e SLV – Verifica a taglio V/T lato cls - rapporto  $V_{sd}/V_{rd}$ , che deve essere inferiore ad 1.
- verifica agli SLU e SLV – Verifica a taglio V/T acciaio - rapporto  $V_{sd}/V_{rd}$ , che deve essere inferiore ad 1.
- verifica agli SLV – verifica sismica di cui al punto 7.4.4.2.2.1 del DM 14.01.2008
- verifica agli SLE –comb. Rara - verifica delle tensioni sul calcestruzzo
- verifica agli SLE –comb. Rara - verifica delle tensioni sull'acciaio
- verifica agli SLE –comb. Frequenti - verifica delle tensioni sul calcestruzzo
- verifica agli SLE –comb. Rara - verifica delle tensioni sull'acciaio
- verifica agli SLE –comb. quasi permanenti - verifica delle tensioni sul calcestruzzo

**NUOVA SCUOLA DELL'INFANZIA A SEI SEZIONI in località CASTELLO di SERRAVALLE****viale G. Verdi - COMUNE DI VALSAMOGGIA (BO)****PROGETTO ESECUTIVO****RELAZIONE DI CALCOLO STRUTTURALE BLOCCO D**

---

- verifica agli SLE –comb. quasi permanenti - verifica delle tensioni sull'acciaio sul calcestruzzo
- verifica agli SLE –comb. Frequente e quasi permanenti-controllo apertura delle fessure secondo i criteri esplicitati nella tabella 4.1.IV NTC08
- verifica agli SLO – verifica di cui al punto 7.3.7.2 NTC 2008 per edifici ricadenti in classe d'uso III

Nel capitolo successivo si riportano i diagrammi relativi alle deformazioni e azioni principali, mentre le verifiche numeriche saranno indicate nei tabulati che compongono il capitolo 1.2 della relazione di calcolo.

**NUOVA SCUOLA DELL'INFANZIA A SEI SEZIONI in località CASTELLO di SERRAVALLE****viale G. Verdi - COMUNE DI VALSAMOGGIA (BO)****PROGETTO ESECUTIVO****RELAZIONE DI CALCOLO STRUTTURALE BLOCCO D**

---

**GIUNTI**

Per evitare il martellamento tra i due manufatti in contro fase è previsto un giunto sismico di dimensione pari a 10 cm.

Il capitolo 7.2.2 NTC 2008 precisa che la distanza tra costruzioni contigue deve essere tale da evitare fenomeni di martellamento e comunque non può essere inferiore alla somma degli spostamenti massimi determinati per l'SLV.

In ogni caso la distanza tra due punti che si fronteggiano non può essere inferiore ad  $1/100$  della quota dei punti considerati misurata dal piano di fondazione, moltiplicata per  $(ag \times S / 0,50 \times g)$ . Si ha qui:

H. max = 615cm  
(SLV)  $ag = 0,1873$  g  
S = 1,426

Spostamento max SLV =  $1/100 \times H \times (ag \times S / 0,50 \times g) = 1/100 \times 615 \times (0,1873 \times 1,426) / 0,50 = 3,29\text{cm}$

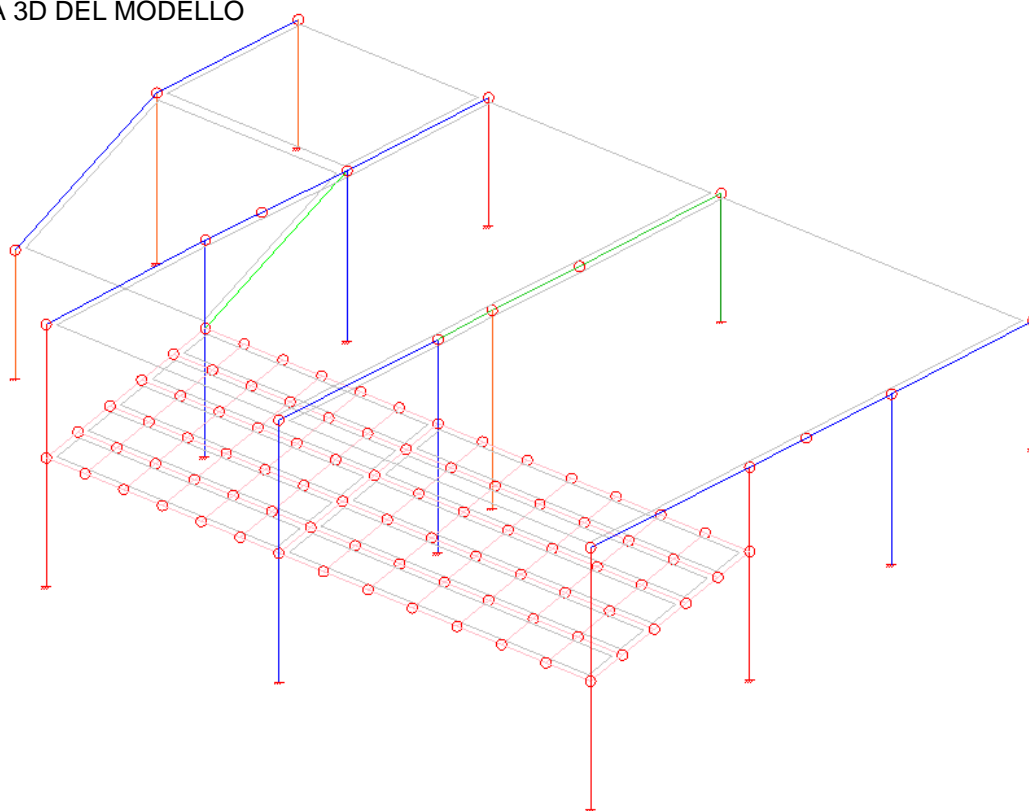
- La dimensione minima del giunto deve essere quindi :  $3,29 \times 2 = 6,58\text{cm}$

All'Slv si ha, dallo studio dei cinque modelli di calcolo, che lo spostamento max. dei pilastri in corrispondenza del giunto = 1,36cm (MODELLO C, PILASTRO 193-66, COMB.5)

Il giunto ha dimensione 10cm ed è quindi sempre verificato. Il giunto è quindi efficace e le cinque unità strutturali possono essere considerate indipendenti fra loro, quindi possono essere studiate separatamente.

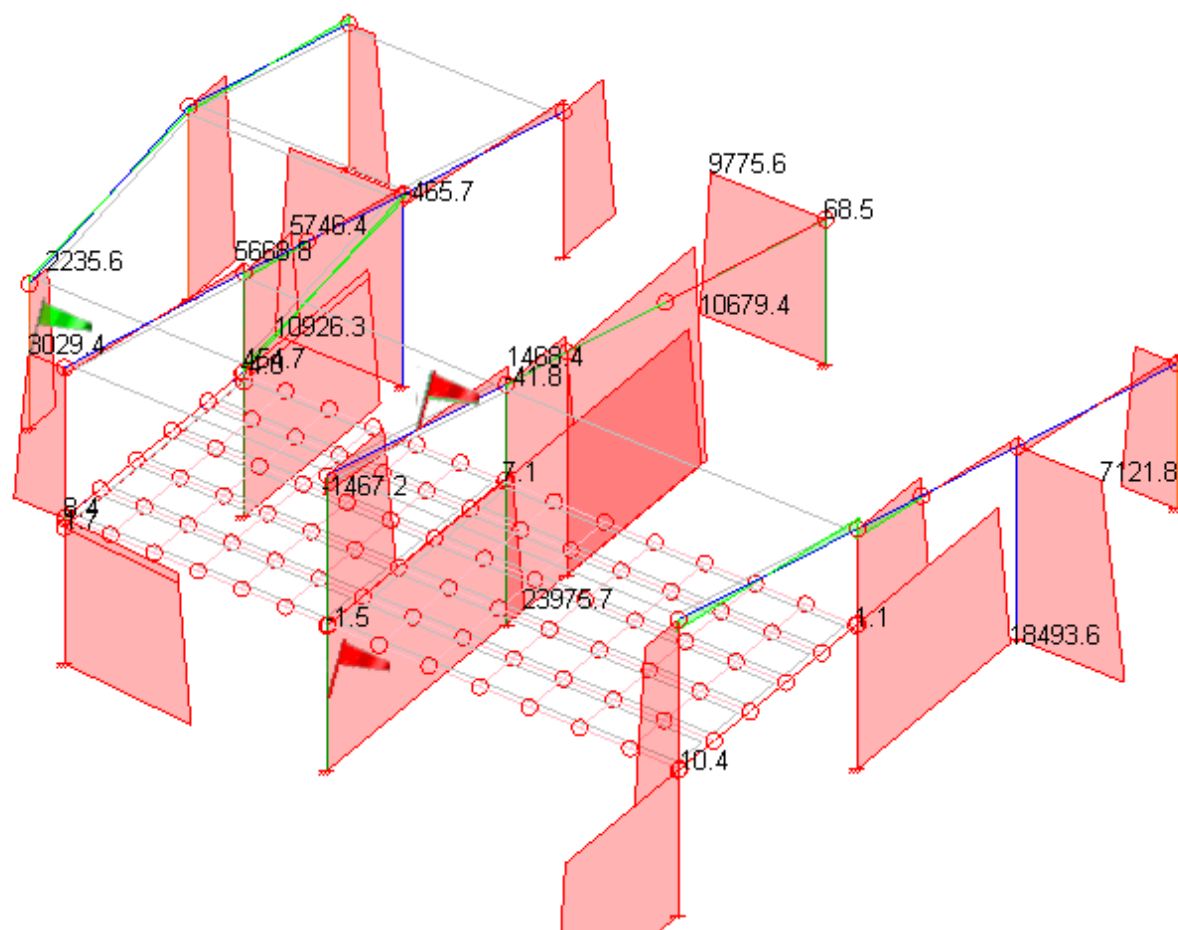
**NUOVA SCUOLA DELL'INFANZIA A SEI SEZIONI in località CASTELLO di SERRAVALLE****viale G. Verdi - COMUNE DI VALSAMOGGIA (BO)****PROGETTO ESECUTIVO****RELAZIONE DI CALCOLO STRUTTURALE BLOCCO D**

2.2.j- Rappresentazione della configurazione deformata e delle caratteristiche di sollecitazione delle strutture più significative/ Sintesi delle verifiche di sicurezza / giudizio motivato di accettabilità dei risultati

**2.2.J.1-DIAGRAMMI DI INVILUPPO DELLE SOLLECITAZIONI****SCHEMA 3D DEL MODELLO**

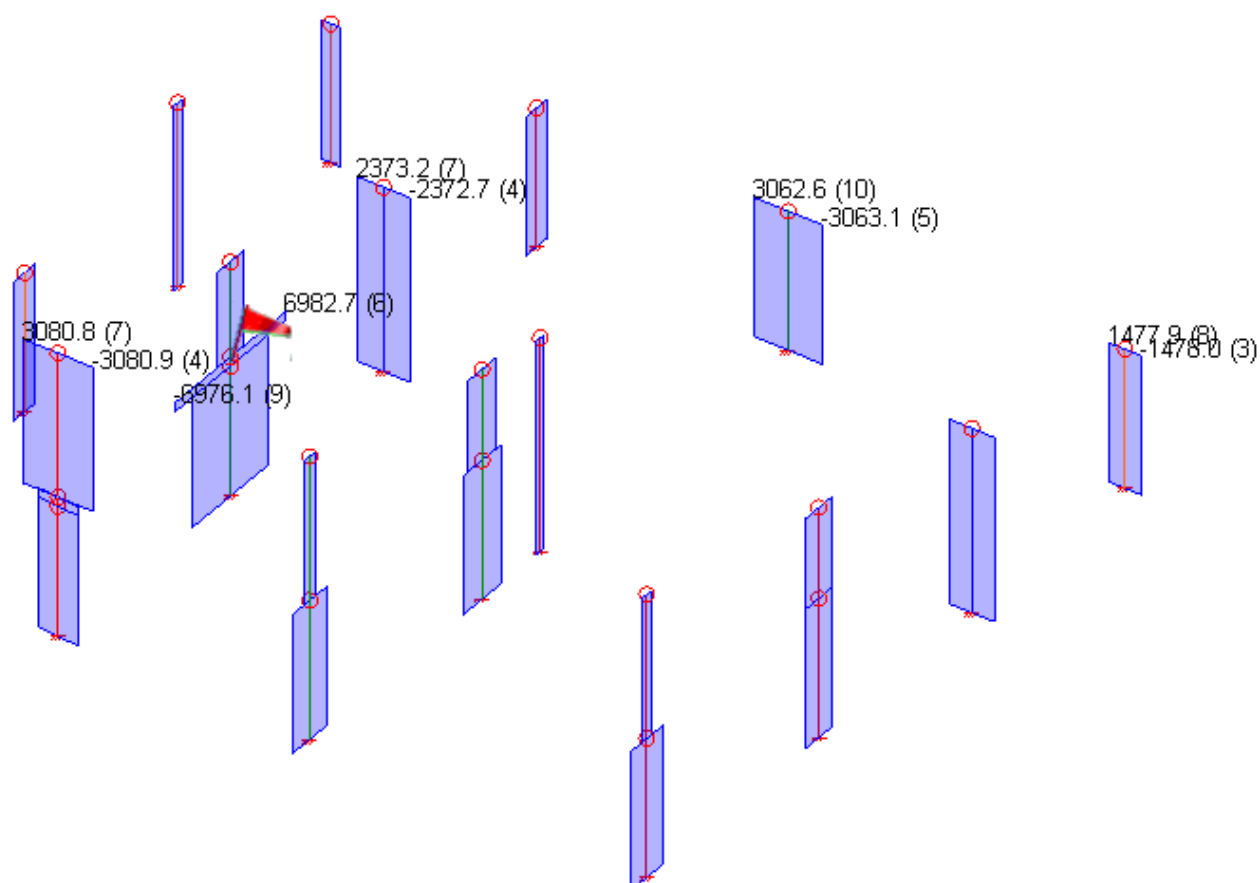
**NUOVA SCUOLA DELL'INFANZIA A SEI SEZIONI in località CASTELLO di SERRAVALLE**
**viale G. Verdi - COMUNE DI VALSAMOGGIA (BO)**
**PROGETTO ESECUTIVO**
**RELAZIONE DI CALCOLO STRUTTURALE BLOCCO D**
**DIAGRAMMA INVILUPPO N**

(unità di misura: daN)



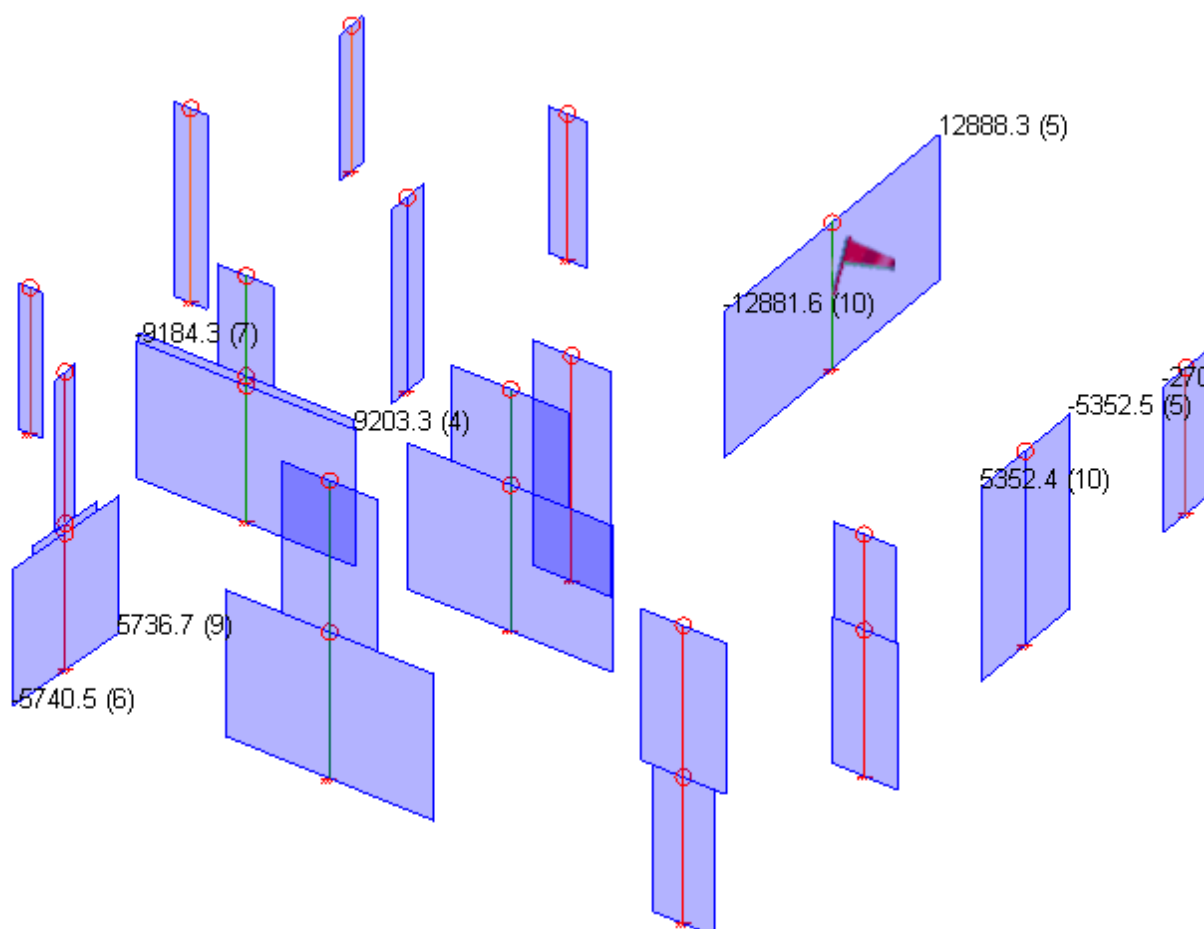
**NUOVA SCUOLA DELL'INFANZIA A SEI SEZIONI in località CASTELLO di SERRAVALLE**
**viale G. Verdi - COMUNE DI VALSAMOGGIA (BO)**
**PROGETTO ESECUTIVO**
**RELAZIONE DI CALCOLO STRUTTURALE BLOCCO D**
**DIAGRAMMA INVILUPPO Tx**

(unità di misura: daN)



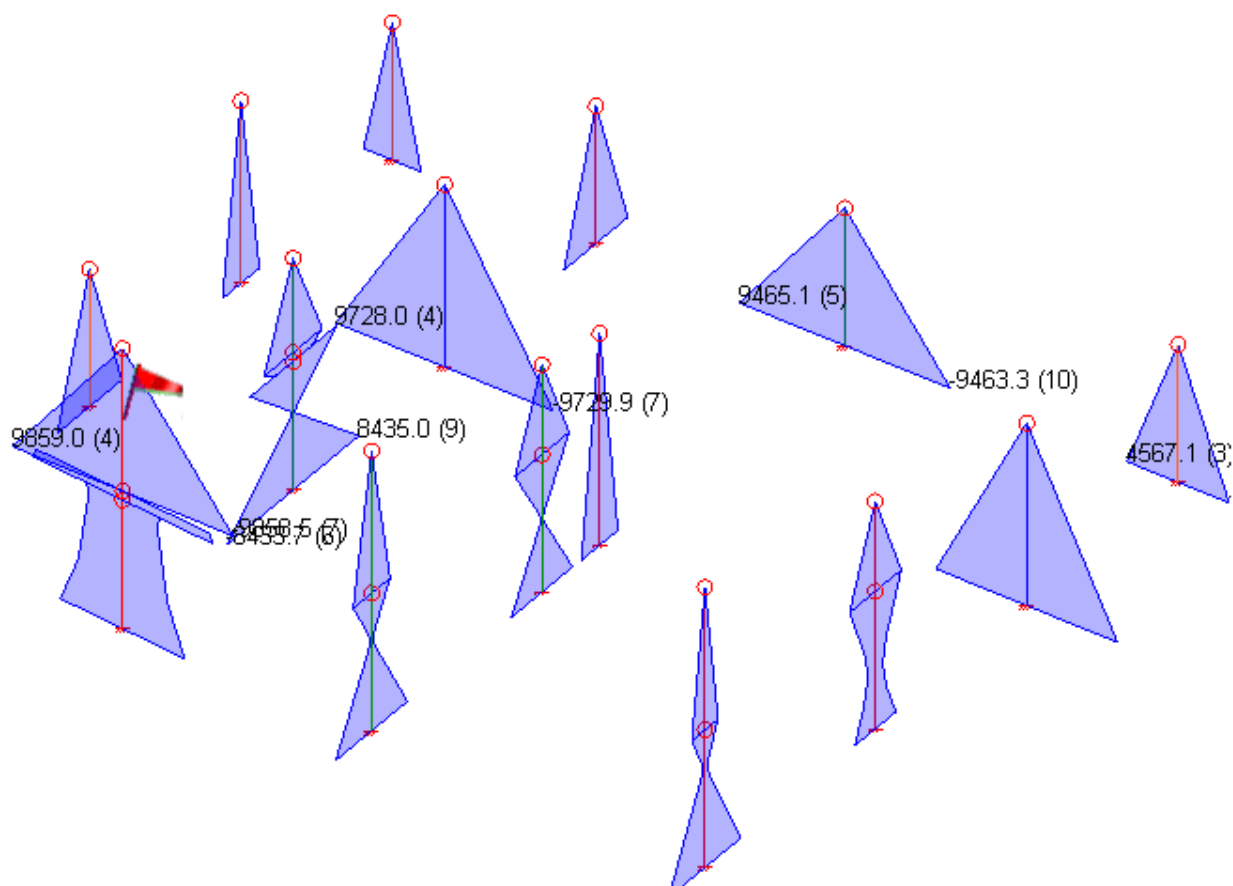
**NUOVA SCUOLA DELL'INFANZIA A SEI SEZIONI in località CASTELLO di SERRAVALLE**
**viale G. Verdi - COMUNE DI VALSAMOGGIA (BO)**
**PROGETTO ESECUTIVO**
**RELAZIONE DI CALCOLO STRUTTURALE BLOCCO D**
**DIAGRAMMA INVILUPPO  $T_y$** 

(unità di misura: daN)



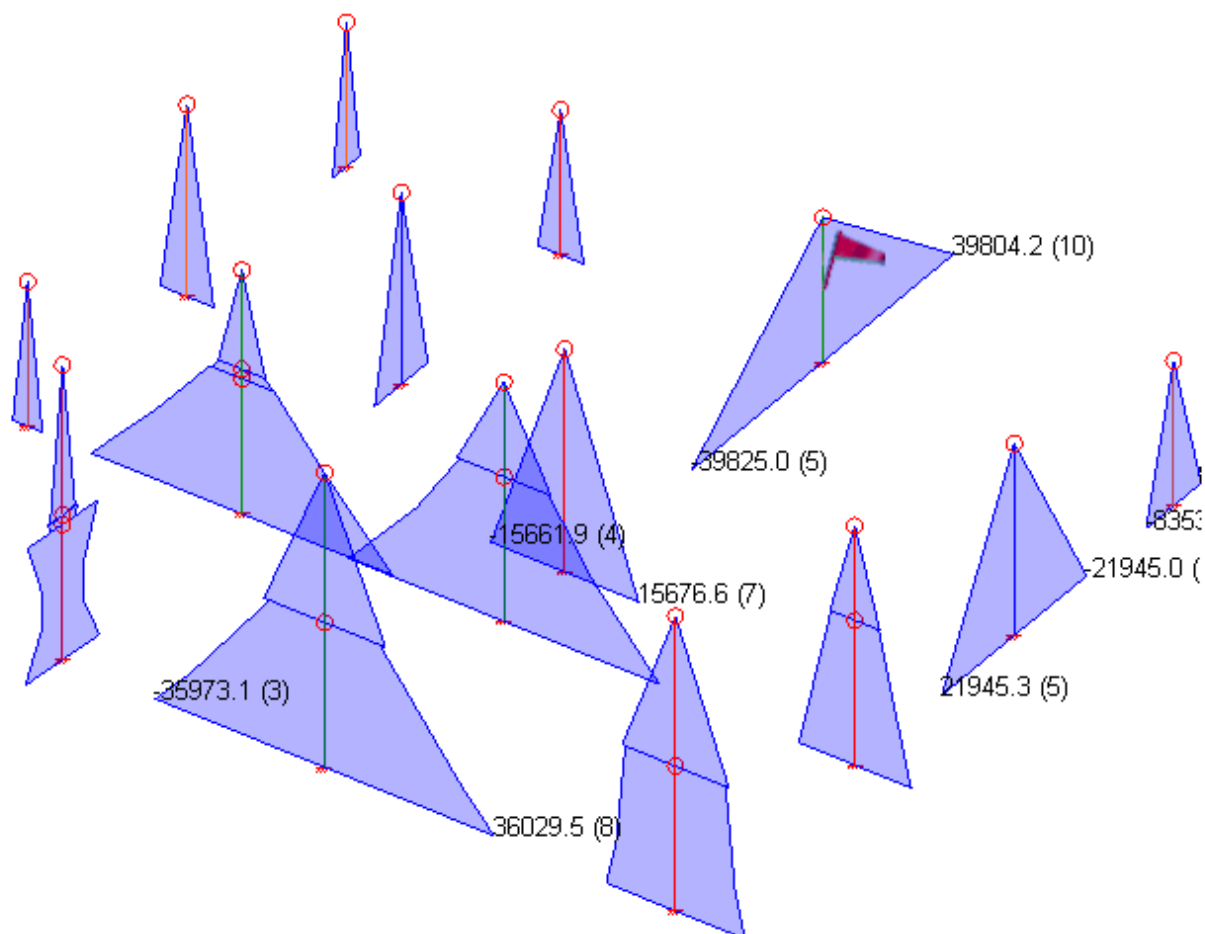
**NUOVA SCUOLA DELL'INFANZIA A SEI SEZIONI in località CASTELLO di SERRAVALLE**
**viale G. Verdi - COMUNE DI VALSAMOGGIA (BO)**
**PROGETTO ESECUTIVO**
**RELAZIONE DI CALCOLO STRUTTURALE BLOCCO D**
**DIAGRAMMA INVILUPPO M<sub>x</sub>**

(unità di misura: daNm)



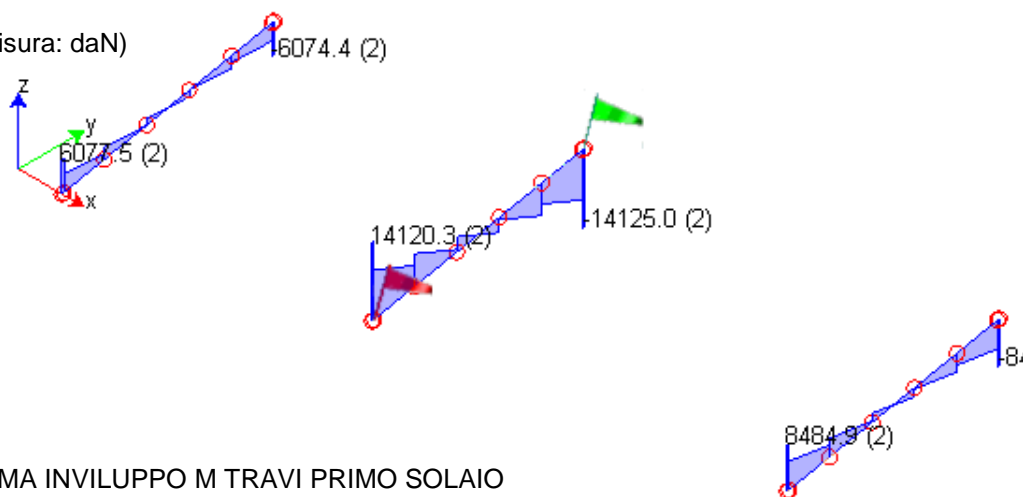
**NUOVA SCUOLA DELL'INFANZIA A SEI SEZIONI in località CASTELLO di SERRAVALLE**
**viale G. Verdi - COMUNE DI VALSAMOGGIA (BO)**
**PROGETTO ESECUTIVO**
**RELAZIONE DI CALCOLO STRUTTURALE BLOCCO D**
**DIAGRAMMA INVILUPPO  $M_y$** 

(unità di misura: daNm)

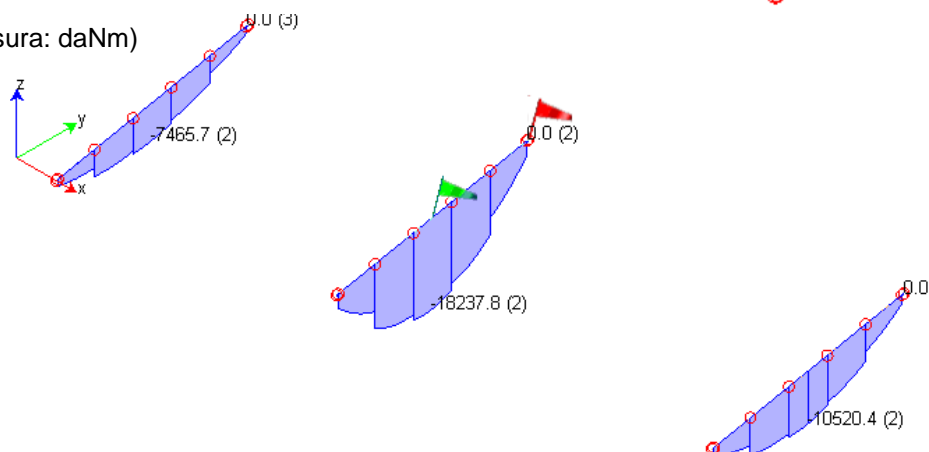


**NUOVA SCUOLA DELL'INFANZIA A SEI SEZIONI in località CASTELLO di SERRAVALLE**
**viale G. Verdi - COMUNE DI VALSAMOGGIA (BO)**
**PROGETTO ESECUTIVO**
**RELAZIONE DI CALCOLO STRUTTURALE BLOCCO D**
**DIAGRAMMA INVILUPPO T TRAVI PRIMO SOLAIO**

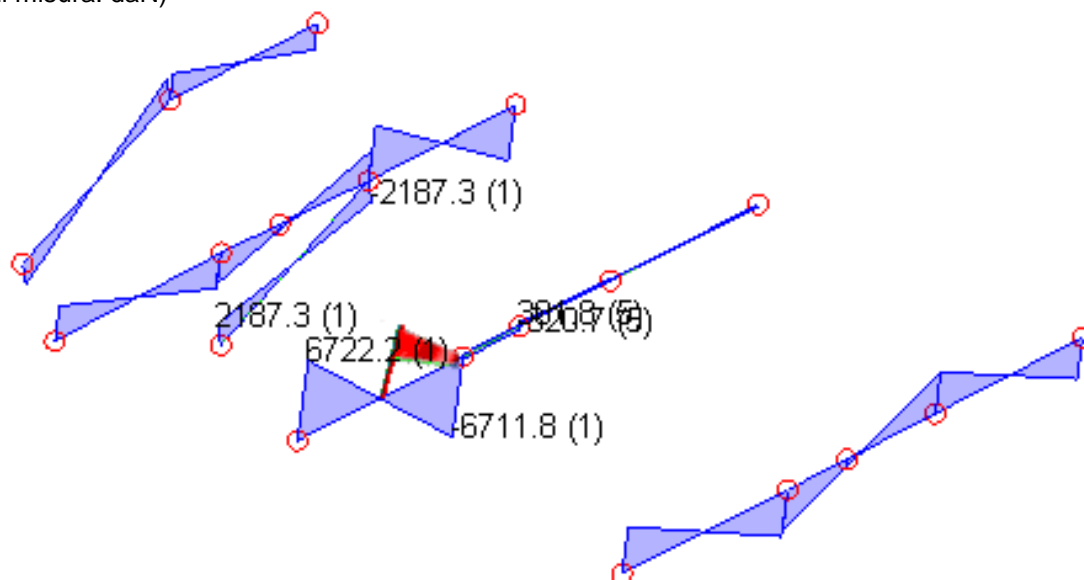
(unità di misura: daN)


**DIAGRAMMA INVILUPPO M TRAVI PRIMO SOLAIO**

(unità di misura: daNm)


**DIAGRAMMA INVILUPPO T TRAVI COPERTURA**

(unità di misura: daN)

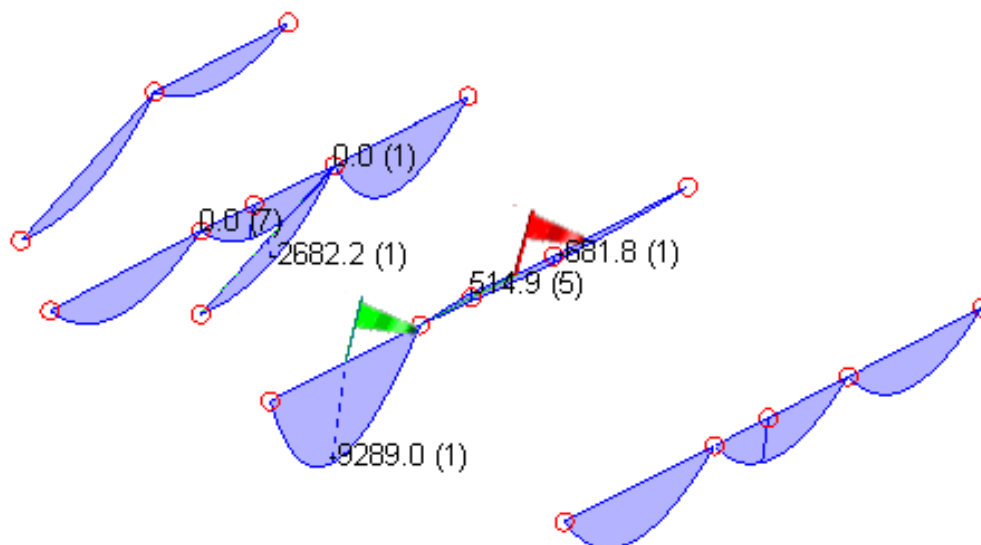


**NUOVA SCUOLA DELL'INFANZIA A SEI SEZIONI in località CASTELLO di SERRAVALLE**
**viale G. Verdi - COMUNE DI VALSAMOGGIA (BO)**
**PROGETTO ESECUTIVO**

RELAZIONE DI CALCOLO STRUTTURALE BLOCCO D

**DIAGRAMMA INVILUPPO M TRAVI COPERTURA**

(unità di misura: daNm)



NUOVA SCUOLA DELL'INFANZIA A SEI SEZIONI in località CASTELLO di SERRAVALLE

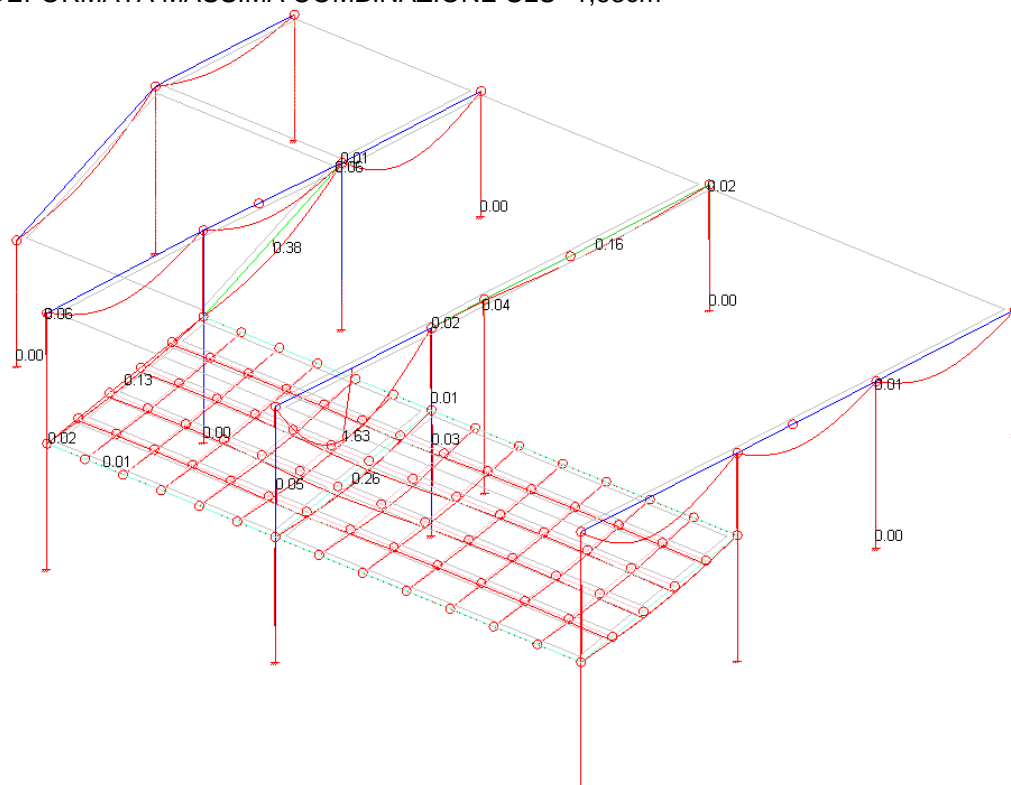
viale G. Verdi - COMUNE DI VALSAMOGGIA (BO)

**PROGETTO ESECUTIVO**

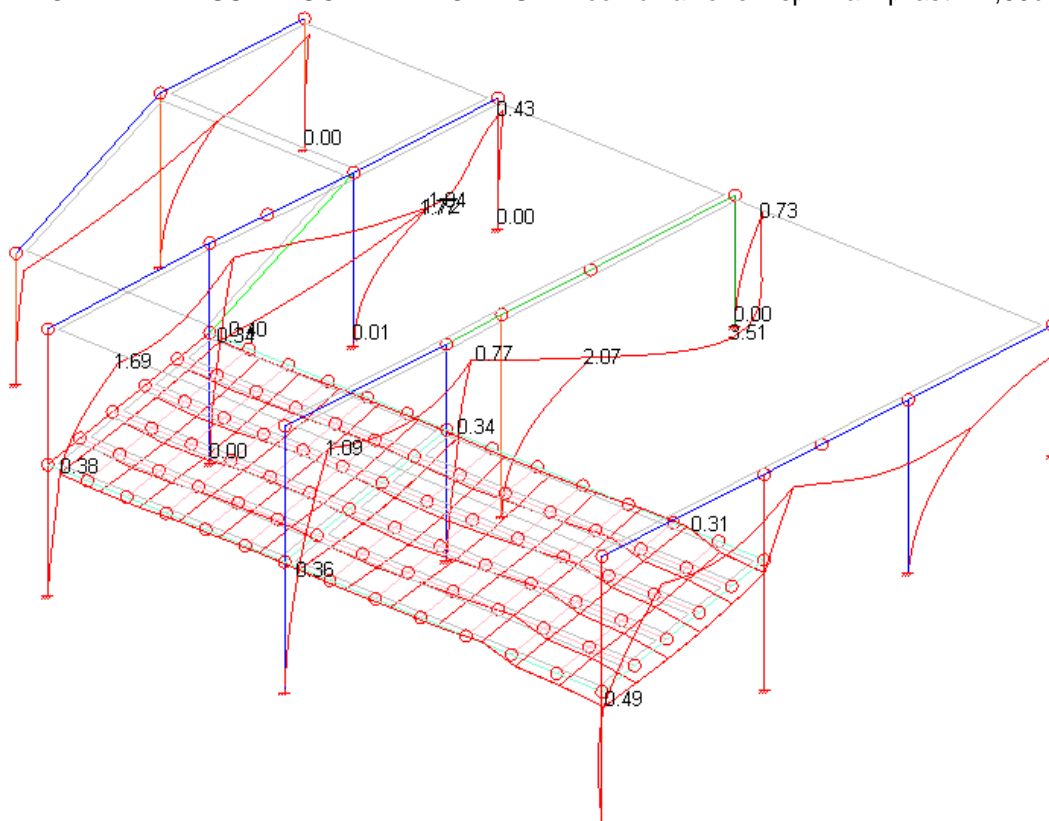
RELAZIONE DI CALCOLO STRUTTURALE BLOCCO D

## 2.2.J.2-DEFORMATE DELLA STRUTTURA

DEFORMATA MASSIMA COMBINAZIONE SLU -1,63cm



DEFORMATA MASSIMA COMBINAZIONE SLV –combinazione 4 sp. max. pilastri :1,69cm



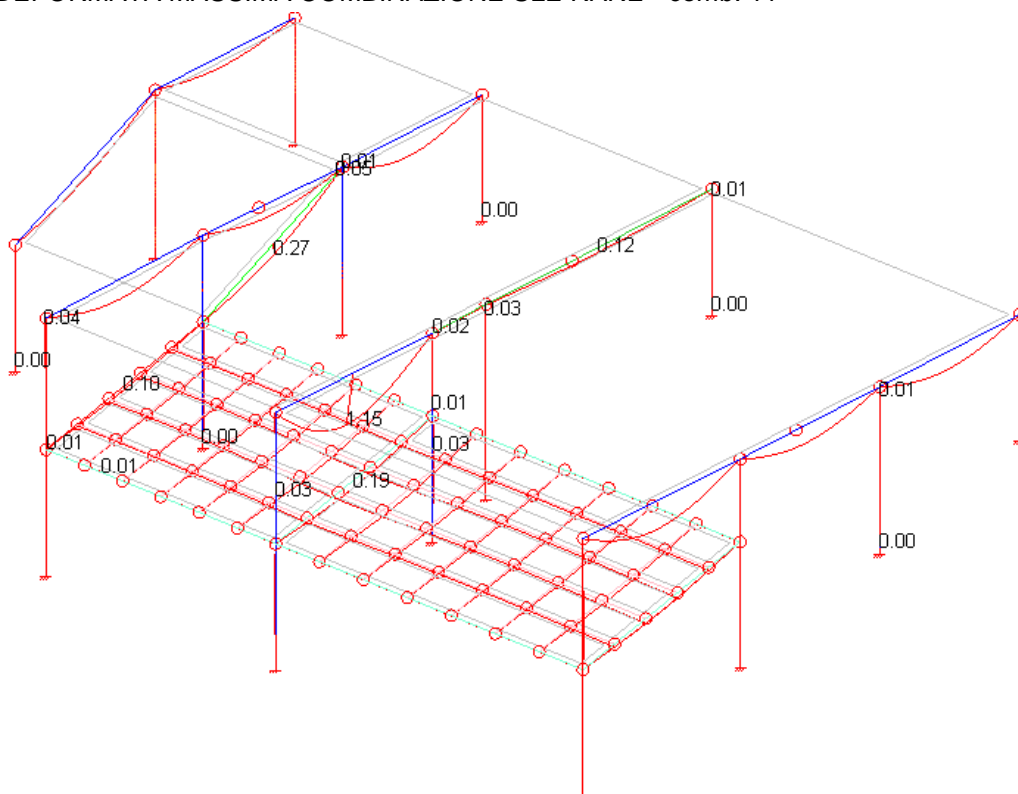
NUOVA SCUOLA DELL'INFANZIA A SEI SEZIONI in località CASTELLO di SERRAVALLE

viale G. Verdi - COMUNE DI VALSAMOGGIA (BO)

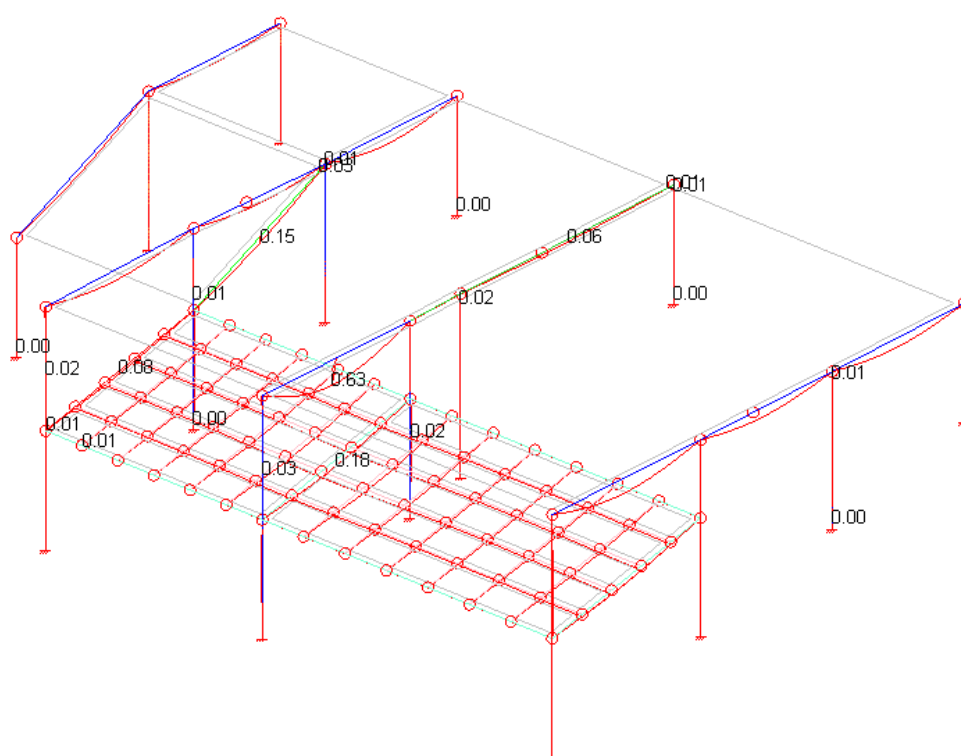
**PROGETTO ESECUTIVO**

RELAZIONE DI CALCOLO STRUTTURALE BLOCCO D

DEFORMATA MASSIMA COMBINAZIONE SLE RARE - comb. 11

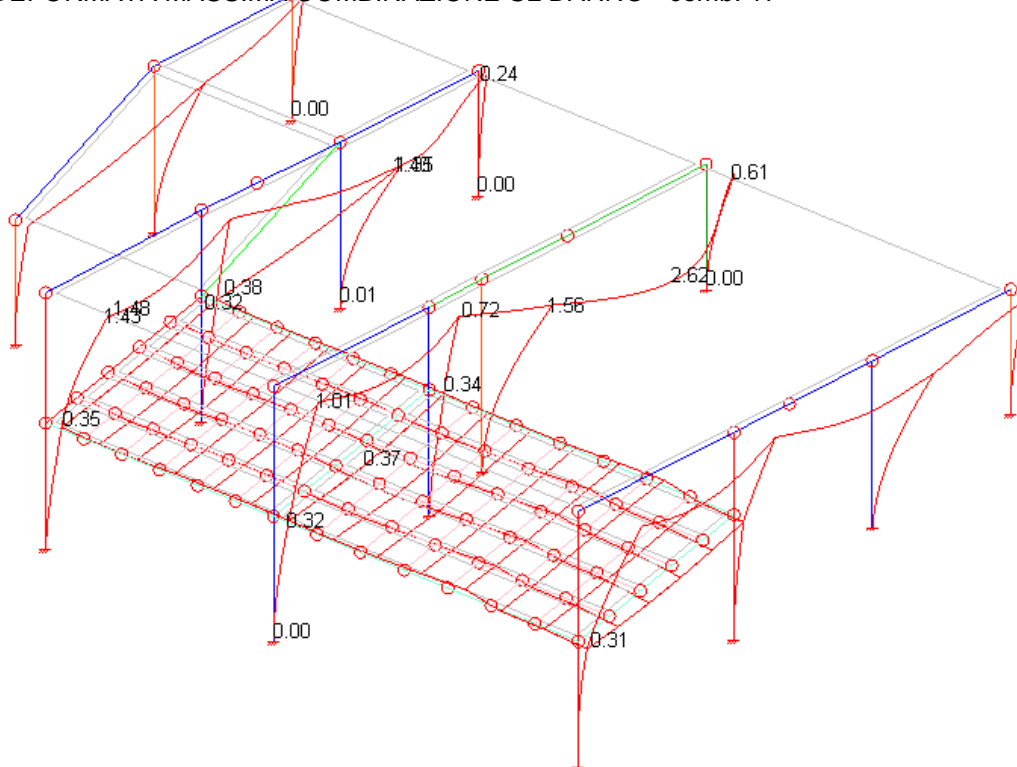
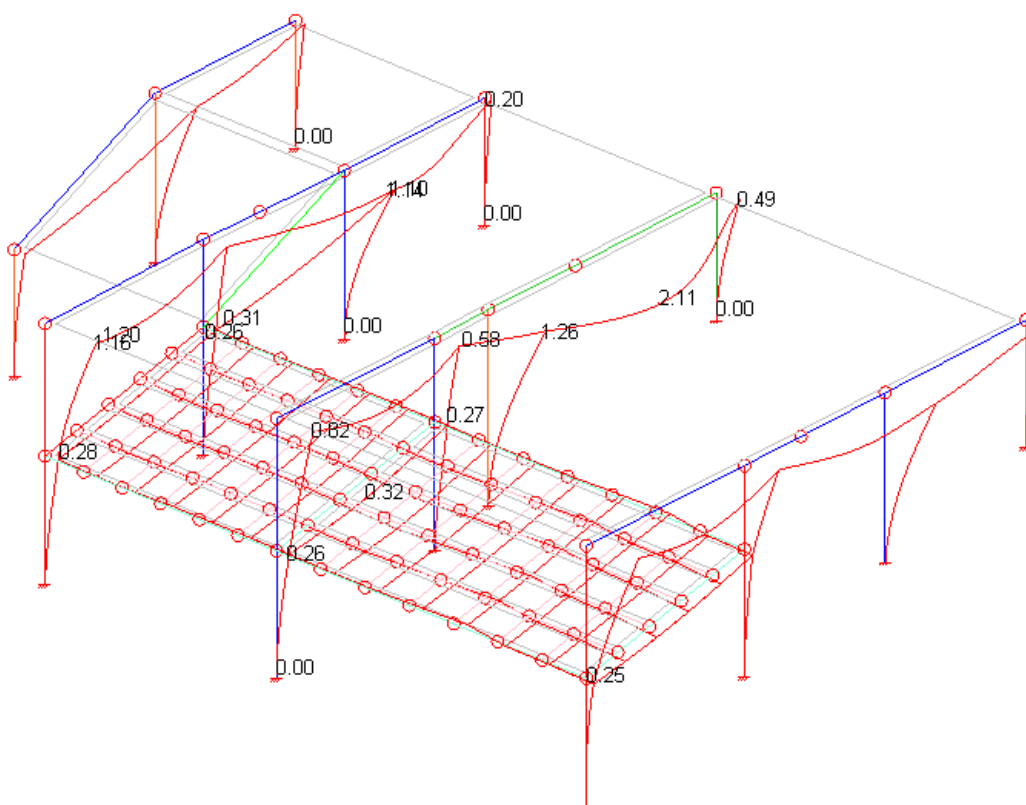


DEFORMATA MASSIMA COMBINAZIONE SLE FREQUENTI - comb. 14



**NUOVA SCUOLA DELL'INFANZIA A SEI SEZIONI in località CASTELLO di SERRAVALLE**
**viale G. Verdi - COMUNE DI VALSAMOGGIA (BO)**
**PROGETTO ESECUTIVO**

RELAZIONE DI CALCOLO STRUTTURALE BLOCCO D

**DEFORMATA MASSIMA COMBINAZIONE SL DANNO - comb. 17**

**DEFORMATA MASSIMA COMBINAZIONE SL OPERATIVITA' - comb. 25**


**NUOVA SCUOLA DELL'INFANZIA A SEI SEZIONI in località CASTELLO di SERRAVALLE**

**viale G. Verdi - COMUNE DI VALSAMOGGIA (BO)**

**PROGETTO ESECUTIVO**

RELAZIONE DI CALCOLO STRUTTURALE BLOCCO D

### 2.2.J.3-VERIFICA DEL CONTENIMENTO DEL DANNO PER ELEMENTI NON STRUTTURALI

Il D.M. 14/01/2008 al §7.3.7.2 prescrive: "Per le costruzioni ricadenti in classe d'uso I e II si deve verificare che l'azione sismica di progetto non produca danni agli elementi costruttivi senza funzione strutturale tali da rendere temporaneamente non operativa la costruzione".

Tale condizione si può ritenere soddisfatta se risulta valida la relazione seguente in presenza dell'azione sismica di progetto allo SLD:

$d_r < d_{r,LIM} = 0.005 \cdot h$  (per tamponamenti collegati rigidamente alla struttura che interferiscono con la deformabilità della stessa)

dove:

- $d_r$ : spostamento di interpiano, ovvero la differenza tra gli spostamenti al solaio superiore ed inferiore;
- $h$ : altezza del piano.

Lo spostamento  $d_r$  viene calcolato come il rapporto tra la forza agente in mezzeria del pannello, valutata per lo SLD, e la rigidezza dello stesso, ovvero:

$$d_r = \frac{F_{a,SLD}}{k_p}$$

Dove:

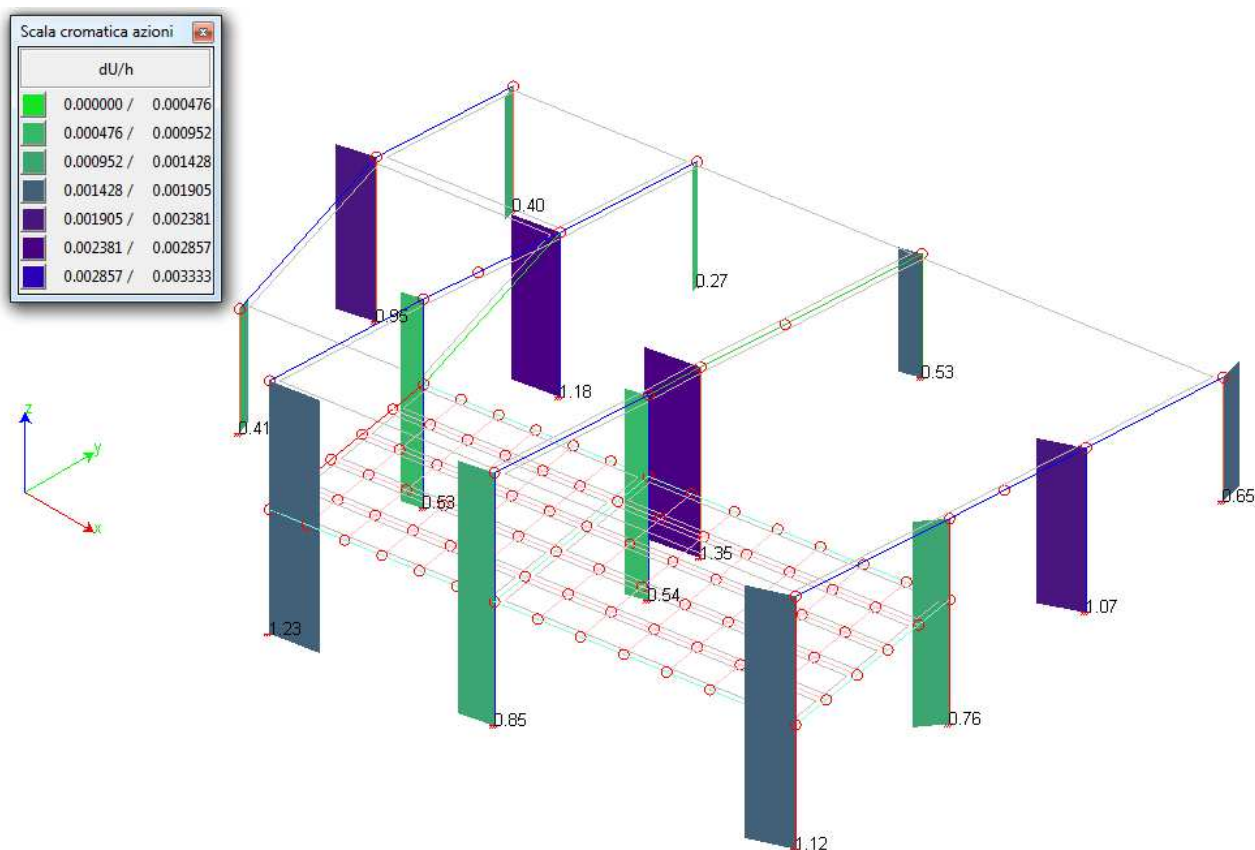
$F_{a,SLD}$ = Forza sismica orizzontale agente nel centro di massa dell'elemento non strutturale nella direzione più sfavorevole;

$K_p$ = Rigidezza del pannello di tamponatura.

con la rigidezza  $k_p$  data dalla seguente relazione:

$$k_p = \frac{384}{5} \cdot \frac{EI}{h^3}$$

Per le costruzioni ricadenti in classe d'uso III e IV si deve verificare che l'azione sismica di progetto non produca danni agli elementi costruttivi senza funzione strutturale tali da rendere temporaneamente non operativa la costruzione. Nel caso delle costruzioni civili ed industriali questa condizione si può ritenere soddisfatta quando gli spostamenti di interpiano ottenuti dall'analisi in presenza dell'azione sismica di progetto relativa allo SLO sia inferiore ai 2/3 dei limiti in precedenza indicati.

**NUOVA SCUOLA DELL'INFANZIA A SEI SEZIONI in località CASTELLO di SERRAVALLE**
**viale G. Verdi - COMUNE DI VALSAMOGGIA (BO)**
**PROGETTO ESECUTIVO**
**RELAZIONE DI CALCOLO STRUTTURALE BLOCCO D**
**Combinazioni agli Stati Limite di Operatività- Massimi spostamenti differenziali orizzontali**
**Fattore moltiplicativo spostamenti dovuti al sisma b 1**
**c 1**
**Controllo degli spostamenti di interpiano dU inferiore a 0.00333 H**


| Comb. | Ux     |         | Uy    |         | Uz     |         | Uxyz   |            |
|-------|--------|---------|-------|---------|--------|---------|--------|------------|
|       | Nodi   | Ux [cm] | Nodi  | Uy [cm] | Nodi   | Uz [cm] | Nodi   | Uxyz  [cm] |
| 25    | 7-259  | 1.31    | 8-201 | 0.47    | 13-248 | 0.00    | 7-259  | 1.35       |
| 26    | 7-259  | 1.18    | 4-152 | -0.37   | 15-257 | -0.00   | 7-259  | 1.19       |
| 27    | 13-248 | 0.67    | 8-201 | 0.67    | 13-248 | 0.00    | 15-257 | 0.91       |
| 28    | 12-223 | 0.17    | 4-152 | 0.63    | 15-257 | 0.00    | 4-152  | 0.65       |
| 29    | 7-259  | -1.18   | 4-152 | 0.37    | 15-257 | 0.00    | 7-259  | 1.19       |
| 30    | 7-259  | -1.31   | 8-201 | -0.47   | 13-248 | -0.00   | 7-259  | 1.35       |
| 31    | 12-223 | -0.17   | 4-152 | -0.63   | 15-257 | -0.00   | 4-152  | 0.65       |
| 32    | 13-248 | -0.67   | 8-201 | -0.67   | 13-248 | -0.00   | 15-257 | 0.91       |

**NUOVA SCUOLA DELL'INFANZIA A SEI SEZIONI in località CASTELLO di SERRAVALLE**
**viale G. Verdi - COMUNE DI VALSAMOGGIA (BO)**
**PROGETTO ESECUTIVO**
**RELAZIONE DI CALCOLO STRUTTURALE BLOCCO D**
**Spostamenti Max in direzione Ux [cm]**

| Nodi   | Comb. | 25   | 26   | 27   | 28    | 29    | 30    | 31    | 32    |
|--------|-------|------|------|------|-------|-------|-------|-------|-------|
| 7 259  | 25    | 1.31 | 1.18 | 0.59 | -0.16 | -1.18 | -1.31 | 0.16  | -0.59 |
| 7 259  | 26    | 1.31 | 1.18 | 0.59 | -0.16 | -1.18 | -1.31 | 0.16  | -0.59 |
| 13 248 | 27    | 1.20 | 1.00 | 0.67 | 0.00  | -1.00 | -1.20 | -0.00 | -0.67 |
| 12 223 | 28    | 0.57 | 0.39 | 0.45 | 0.17  | -0.39 | -0.57 | -0.17 | -0.45 |
| 7 259  | 29    | 1.31 | 1.18 | 0.59 | -0.16 | -1.18 | -1.31 | 0.16  | -0.59 |
| 7 259  | 30    | 1.31 | 1.18 | 0.59 | -0.16 | -1.18 | -1.31 | 0.16  | -0.59 |
| 12 223 | 31    | 0.57 | 0.39 | 0.45 | 0.17  | -0.39 | -0.57 | -0.17 | -0.45 |
| 13 248 | 32    | 1.20 | 1.00 | 0.67 | 0.00  | -1.00 | -1.20 | -0.00 | -0.67 |

**Spostamenti Max in direzione Uy [cm]**

| Nodi  | Comb. | 25    | 26    | 27   | 28   | 29    | 30    | 31    | 32    |
|-------|-------|-------|-------|------|------|-------|-------|-------|-------|
| 8 201 | 25    | 0.47  | 0.12  | 0.67 | 0.49 | -0.12 | -0.47 | -0.49 | -0.67 |
| 4 152 | 26    | -0.02 | -0.37 | 0.51 | 0.63 | 0.37  | 0.02  | -0.63 | -0.51 |
| 8 201 | 27    | 0.47  | 0.12  | 0.67 | 0.49 | -0.12 | -0.47 | -0.49 | -0.67 |
| 4 152 | 28    | -0.02 | -0.37 | 0.51 | 0.63 | 0.37  | 0.02  | -0.63 | -0.51 |
| 4 152 | 29    | -0.02 | -0.37 | 0.51 | 0.63 | 0.37  | 0.02  | -0.63 | -0.51 |
| 8 201 | 30    | 0.47  | 0.12  | 0.67 | 0.49 | -0.12 | -0.47 | -0.49 | -0.67 |
| 4 152 | 31    | -0.02 | -0.37 | 0.51 | 0.63 | 0.37  | 0.02  | -0.63 | -0.51 |
| 8 201 | 32    | 0.47  | 0.12  | 0.67 | 0.49 | -0.12 | -0.47 | -0.49 | -0.67 |

**Spostamenti Max in direzione Uz [cm]**

| Nodi   | Comb. | 25    | 26    | 27   | 28   | 29    | 30    | 31    | 32    |
|--------|-------|-------|-------|------|------|-------|-------|-------|-------|
| 13 248 | 25    | 0.00  | 0.00  | 0.00 | 0.00 | -0.00 | -0.00 | -0.00 | -0.00 |
| 15 257 | 26    | -0.00 | -0.00 | 0.00 | 0.00 | 0.00  | 0.00  | -0.00 | -0.00 |
| 13 248 | 27    | 0.00  | 0.00  | 0.00 | 0.00 | -0.00 | -0.00 | -0.00 | -0.00 |
| 15 257 | 28    | -0.00 | -0.00 | 0.00 | 0.00 | 0.00  | 0.00  | -0.00 | -0.00 |
| 15 257 | 29    | -0.00 | -0.00 | 0.00 | 0.00 | 0.00  | 0.00  | -0.00 | -0.00 |
| 13 248 | 30    | 0.00  | 0.00  | 0.00 | 0.00 | -0.00 | -0.00 | -0.00 | -0.00 |
| 15 257 | 31    | -0.00 | -0.00 | 0.00 | 0.00 | 0.00  | 0.00  | -0.00 | -0.00 |
| 13 248 | 32    | 0.00  | 0.00  | 0.00 | 0.00 | -0.00 | -0.00 | -0.00 | -0.00 |

**Spostamenti Max in direzione |Uxyz| [cm]**

| Nodi   | Comb. | 25   | 26   | 27   | 28   | 29   | 30   | 31   | 32   |
|--------|-------|------|------|------|------|------|------|------|------|
| 7 259  | 25    | 1.35 | 1.19 | 0.70 | 0.29 | 1.19 | 1.35 | 0.29 | 0.70 |
| 7 259  | 26    | 1.35 | 1.19 | 0.70 | 0.29 | 1.19 | 1.35 | 0.29 | 0.70 |
| 15 257 | 27    | 1.12 | 0.83 | 0.91 | 0.50 | 0.83 | 1.12 | 0.50 | 0.91 |

**NUOVA SCUOLA DELL'INFANZIA A SEI SEZIONI in località CASTELLO di SERRAVALLE**

**viale G. Verdi - COMUNE DI VALSAMOGGIA (BO)**

**PROGETTO ESECUTIVO**

**RELAZIONE DI CALCOLO STRUTTURALE BLOCCO D**

|        |    |      |      |      |      |      |      |      |      |
|--------|----|------|------|------|------|------|------|------|------|
| 4 152  | 28 | 0.39 | 0.55 | 0.52 | 0.65 | 0.55 | 0.39 | 0.65 | 0.52 |
| 7 259  | 29 | 1.35 | 1.19 | 0.70 | 0.29 | 1.19 | 1.35 | 0.29 | 0.70 |
| 7 259  | 30 | 1.35 | 1.19 | 0.70 | 0.29 | 1.19 | 1.35 | 0.29 | 0.70 |
| 4 152  | 31 | 0.39 | 0.55 | 0.52 | 0.65 | 0.55 | 0.39 | 0.65 | 0.52 |
| 15 257 | 32 | 1.12 | 0.83 | 0.91 | 0.50 | 0.83 | 1.12 | 0.50 | 0.91 |

Spostamenti Massimi :

Combinazione di Carico 30 Fra i nodi 7 259 In direzione |Uxyz| - Spostamento 1.35

**Non si sono rilevati spostamenti di interpiano superiori a 0.003330 H**

**NUOVA SCUOLA DELL'INFANZIA A SEI SEZIONI in località CASTELLO di SERRAVALLE**
**viale G. Verdi - COMUNE DI VALSAMOGGIA (BO)**
**PROGETTO ESECUTIVO**
**RELAZIONE DI CALCOLO STRUTTURALE BLOCCO D**
**2.2.J.4-EFFETTI DEL II ORDINE**

Secondo il cap.7.3.1.NTC08, le non linearità geometriche sono prese in conto, quando necessario, attraverso il fattore  $\theta$ .

In particolare, per le costruzioni civili ed industriali, esse possono essere trascurate nel caso in cui ad ogni orizzontamento risulti:

$$\theta = (P \cdot d_r) / (V \cdot h) < 0,1$$

dove:

P=carico verticale totale della parte di struttura sovrastante l'orizzontamento in esame

Dr=spostamento orizzontale medio di interpiano

V=forza orizzontale totale in corrispondenza

H= distanza tra l'orizzontamento in esame e quello immediatamente sottostante

Per i fabbricati oggetto di studio si ha sempre  $\theta < 0,1$ , sia per gli SLD che per gli SLV, quindi le non linearità geometriche possono essere trascurate. Si riporta di seguito il calcolo del fattore  $\theta$  per tutte le combinazioni sismiche.

**Valutazione Effetti NON-Lineari Pdr/Vh**

$$V_x \theta_x = P \cdot d_{r,x} / h$$

$$V_y \theta_y = P \cdot d_{r,y} / h$$

$$V \theta = P \cdot d_r / h \text{ dove: } d_r = \sqrt{d_{r,x}^2 + d_{r,y}^2}$$

Controllo combinazioni 3 .. 10

Fattore di struttura 1.50

Fattore di importanza  $\gamma_i$  1.00

Modalità di calcolo: spostamenti d'interpiano per colonna

| Sez. | Direzione $U = \sqrt{d_{r,1-22}^2 + d_{r,1-32}^2}$ |       |       |         |        |             |         |          |
|------|----------------------------------------------------|-------|-------|---------|--------|-------------|---------|----------|
|      | Pil.                                               | Comb. | L [m] | P [kg]  | V [kg] | P dr/h [kg] | dr [cm] | $\theta$ |
| 1    | 259-7                                              | 5     | 4.75  | 6036.5  | 696.2  | 24.5        | 1.93    | 0.0352   |
| 2    | 133-14                                             | 6     | 3.09  | 10627.4 | 1988.9 | 13.8        | 0.40    | 0.0069   |

**NUOVA SCUOLA DELL'INFANZIA A SEI SEZIONI in località CASTELLO di SERRAVALLE**
**viale G. Verdi - COMUNE DI VALSAMOGGIA (BO)**
**PROGETTO ESECUTIVO**
**RELAZIONE DI CALCOLO STRUTTURALE BLOCCO D**

|   |         |   |      |        |        |      |      |        |
|---|---------|---|------|--------|--------|------|------|--------|
| 3 | 229-139 | 7 | 2.12 | 1899.6 | 1028.3 | 4.6  | 0.52 | 0.0045 |
| 4 | 13-131  | 3 | 3.09 | 5311.6 | 965.4  | 12.9 | 0.75 | 0.0134 |
| 5 | 197-6   | 8 | 4.10 | 2890.3 | 3025.6 | 22.1 | 3.14 | 0.0073 |
| 6 | 150-3   | 3 | 3.09 | 2410.1 | 4231.5 | 11.3 | 1.46 | 0.0027 |

**Dettaglio risultati**

| Sez. | Direzione U= $\sqrt{dr, 1-22+dr, 1-32}$ |       |       |        |        |             |         |          |
|------|-----------------------------------------|-------|-------|--------|--------|-------------|---------|----------|
|      | Pil.                                    | Comb. | L [m] | P [kg] | V [kg] | P dr/h [kg] | dr [cm] | $\Theta$ |
| 1    | 138-9                                   | 3     | 3.09  | 708.6  | 1066.6 | 1.6         | 0.69    | 0.0015   |
|      |                                         | 4     | 3.09  | 708.6  | 1134.7 | 2.1         | 0.91    | 0.0018   |
|      |                                         | 5     | 3.09  | 708.6  | 1334.9 | 2.1         | 0.91    | 0.0016   |
|      |                                         | 6     | 3.09  | 708.6  | 1389.4 | 2.5         | 1.08    | 0.0018   |
|      |                                         | 7     | 3.09  | 708.6  | 1133.9 | 2.1         | 0.91    | 0.0018   |
|      |                                         | 8     | 3.09  | 708.6  | 1066.8 | 1.6         | 0.69    | 0.0015   |
|      |                                         | 9     | 3.09  | 708.6  | 1390.8 | 2.5         | 1.08    | 0.0018   |
|      |                                         | 10    | 3.09  | 708.6  | 1336.1 | 2.1         | 0.91    | 0.0016   |
| 1    | 259-7                                   | 3     | 4.75  | 6036.5 | 1405.7 | 48.0        | 3.78    | 0.0341   |
|      |                                         | 4     | 4.75  | 6036.5 | 1271.6 | 42.4        | 3.34    | 0.0333   |
|      |                                         | 5     | 4.75  | 6036.5 | 696.2  | 24.5        | 1.93    | 0.0352   |
|      |                                         | 6     | 4.75  | 6036.5 | 350.8  | 9.7         | 0.76    | 0.0276   |
|      |                                         | 7     | 4.75  | 6036.5 | 1271.2 | 42.4        | 3.34    | 0.0334   |
|      |                                         | 8     | 4.75  | 6036.5 | 1407.6 | 48.1        | 3.79    | 0.0342   |
|      |                                         | 9     | 4.75  | 6036.5 | 364.6  | 10.1        | 0.80    | 0.0278   |
|      |                                         | 10    | 4.75  | 6036.5 | 704.2  | 24.8        | 1.95    | 0.0352   |
| 1    | 196-5                                   | 3     | 4.10  | 1416.6 | 1438.5 | 8.7         | 2.53    | 0.0061   |
|      |                                         | 4     | 4.10  | 1416.6 | 1324.5 | 7.5         | 2.18    | 0.0057   |
|      |                                         | 5     | 4.10  | 1416.6 | 837.6  | 5.4         | 1.55    | 0.0064   |
|      |                                         | 6     | 4.10  | 1416.6 | 621.7  | 3.0         | 0.88    | 0.0049   |
|      |                                         | 7     | 4.10  | 1416.6 | 1324.5 | 7.5         | 2.18    | 0.0057   |
|      |                                         | 8     | 4.10  | 1416.6 | 1438.5 | 8.7         | 2.53    | 0.0061   |
|      |                                         | 9     | 4.10  | 1416.6 | 621.7  | 3.0         | 0.88    | 0.0049   |
|      |                                         | 10    | 4.10  | 1416.6 | 837.6  | 5.4         | 1.55    | 0.0064   |
| 1    | 152-4                                   | 3     | 3.09  | 1080.1 | 1486.4 | 3.6         | 1.03    | 0.0024   |
|      |                                         | 4     | 3.09  | 1080.1 | 1941.1 | 5.1         | 1.47    | 0.0027   |
|      |                                         | 5     | 3.09  | 1080.1 | 1920.2 | 4.7         | 1.36    | 0.0025   |
|      |                                         | 6     | 3.09  | 1080.1 | 2275.2 | 6.0         | 1.71    | 0.0026   |
|      |                                         | 7     | 3.09  | 1080.1 | 1911.9 | 5.1         | 1.45    | 0.0026   |

**NUOVA SCUOLA DELL'INFANZIA A SEI SEZIONI in località CASTELLO di SERRAVALLE**
**viale G. Verdi - COMUNE DI VALSAMOGGIA (BO)**
**PROGETTO ESECUTIVO**
**RELAZIONE DI CALCOLO STRUTTURALE BLOCCO D**

|   |         |    |      |         |        |      |      |        |
|---|---------|----|------|---------|--------|------|------|--------|
|   |         | 8  | 3.09 | 1080.1  | 1482.2 | 3.6  | 1.02 | 0.0024 |
|   |         | 9  | 3.09 | 1080.1  | 2315.7 | 6.1  | 1.74 | 0.0026 |
|   |         | 10 | 3.09 | 1080.1  | 1958.4 | 4.8  | 1.39 | 0.0025 |
| 1 | 147-1   | 3  | 3.09 | 708.6   | 878.7  | 1.3  | 0.56 | 0.0015 |
|   |         | 4  | 3.09 | 708.6   | 993.3  | 1.8  | 0.80 | 0.0018 |
|   |         | 5  | 3.09 | 708.6   | 1307.5 | 2.1  | 0.90 | 0.0016 |
|   |         | 6  | 3.09 | 708.6   | 1387.6 | 2.4  | 1.07 | 0.0018 |
|   |         | 7  | 3.09 | 708.6   | 994.2  | 1.8  | 0.80 | 0.0018 |
|   |         | 8  | 3.09 | 708.6   | 878.4  | 1.3  | 0.56 | 0.0015 |
|   |         | 9  | 3.09 | 708.6   | 1386.3 | 2.4  | 1.07 | 0.0018 |
|   |         | 10 | 3.09 | 708.6   | 1306.3 | 2.1  | 0.90 | 0.0016 |
| 2 | 133-14  | 3  | 3.09 | 10627.4 | 5471.5 | 25.2 | 0.73 | 0.0046 |
|   |         | 4  | 3.09 | 10627.4 | 4610.4 | 19.4 | 0.56 | 0.0042 |
|   |         | 5  | 3.09 | 10627.4 | 3918.7 | 21.1 | 0.61 | 0.0054 |
|   |         | 6  | 3.09 | 10627.4 | 1988.9 | 13.8 | 0.40 | 0.0069 |
|   |         | 7  | 3.09 | 10627.4 | 4204.7 | 19.6 | 0.57 | 0.0047 |
|   |         | 8  | 3.09 | 10627.4 | 5573.5 | 25.2 | 0.73 | 0.0045 |
|   |         | 9  | 3.09 | 10627.4 | 3487.3 | 13.1 | 0.38 | 0.0038 |
|   |         | 10 | 3.09 | 10627.4 | 4777.7 | 20.7 | 0.60 | 0.0043 |
| 2 | 141-11  | 3  | 3.09 | 9213.7  | 5823.8 | 21.1 | 0.71 | 0.0036 |
|   |         | 4  | 3.09 | 9213.7  | 4298.5 | 14.4 | 0.48 | 0.0034 |
|   |         | 5  | 3.09 | 9213.7  | 4936.4 | 19.9 | 0.67 | 0.0040 |
|   |         | 6  | 3.09 | 9213.7  | 3493.1 | 12.8 | 0.43 | 0.0037 |
|   |         | 7  | 3.09 | 9213.7  | 4883.1 | 14.6 | 0.49 | 0.0030 |
|   |         | 8  | 3.09 | 9213.7  | 5876.5 | 21.1 | 0.71 | 0.0036 |
|   |         | 9  | 3.09 | 9213.7  | 1839.7 | 12.3 | 0.41 | 0.0067 |
|   |         | 10 | 3.09 | 9213.7  | 4164.8 | 19.6 | 0.66 | 0.0047 |
| 2 | 139-10  | 3  | 3.09 | 6887.0  | 4822.8 | 15.8 | 0.71 | 0.0033 |
|   |         | 4  | 3.09 | 6887.0  | 3896.2 | 11.3 | 0.51 | 0.0029 |
|   |         | 5  | 3.09 | 6887.0  | 5516.1 | 17.0 | 0.76 | 0.0031 |
|   |         | 6  | 3.09 | 6887.0  | 5090.4 | 13.1 | 0.59 | 0.0026 |
|   |         | 7  | 3.09 | 6887.0  | 4422.2 | 11.5 | 0.52 | 0.0026 |
|   |         | 8  | 3.09 | 6887.0  | 4604.5 | 15.8 | 0.71 | 0.0034 |
|   |         | 9  | 3.09 | 6887.0  | 3852.5 | 12.7 | 0.57 | 0.0033 |
|   |         | 10 | 3.09 | 6887.0  | 4477.9 | 16.8 | 0.75 | 0.0037 |
| 3 | 252-133 | 3  | 3.20 | 1932.0  | 3166.4 | 9.3  | 1.55 | 0.0030 |
|   |         | 4  | 3.20 | 1932.0  | 1966.7 | 6.9  | 1.13 | 0.0035 |
|   |         | 5  | 3.20 | 1932.0  | 2869.0 | 6.7  | 1.12 | 0.0023 |
|   |         | 6  | 3.20 | 1932.0  | 1573.5 | 2.2  | 0.36 | 0.0014 |

**NUOVA SCUOLA DELL'INFANZIA A SEI SEZIONI in località CASTELLO di SERRAVALLE**

**viale G. Verdi - COMUNE DI VALSAMOGGIA (BO)**

**PROGETTO ESECUTIVO**

**RELAZIONE DI CALCOLO STRUTTURALE BLOCCO D**

|   |         |    |      |        |        |      |      |        |
|---|---------|----|------|--------|--------|------|------|--------|
|   |         | 7  | 3.20 | 1932.0 | 2141.1 | 6.8  | 1.13 | 0.0032 |
|   |         | 8  | 3.20 | 1932.0 | 3194.5 | 9.4  | 1.55 | 0.0029 |
|   |         | 9  | 3.20 | 1932.0 | 1202.1 | 2.4  | 0.40 | 0.0020 |
|   |         | 10 | 3.20 | 1932.0 | 2732.9 | 6.8  | 1.13 | 0.0025 |
| 3 | 221-141 | 3  | 2.02 | 912.4  | 4556.4 | 3.4  | 0.76 | 0.0007 |
|   |         | 4  | 2.02 | 912.4  | 3771.9 | 2.5  | 0.56 | 0.0007 |
|   |         | 5  | 2.02 | 912.4  | 3188.4 | 2.9  | 0.63 | 0.0009 |
|   |         | 6  | 2.02 | 912.4  | 1311.3 | 1.6  | 0.36 | 0.0012 |
|   |         | 7  | 2.02 | 912.4  | 3317.7 | 2.5  | 0.55 | 0.0007 |
|   |         | 8  | 2.02 | 912.4  | 4499.4 | 3.5  | 0.77 | 0.0008 |
|   |         | 9  | 2.02 | 912.4  | 2605.2 | 1.9  | 0.41 | 0.0007 |
|   |         | 10 | 2.02 | 912.4  | 3756.7 | 3.0  | 0.67 | 0.0008 |
| 3 | 229-139 | 3  | 2.12 | 1899.6 | 1950.5 | 6.5  | 0.72 | 0.0033 |
|   |         | 4  | 2.12 | 1899.6 | 1333.2 | 4.5  | 0.51 | 0.0034 |
|   |         | 5  | 2.12 | 1899.6 | 1905.0 | 4.9  | 0.54 | 0.0026 |
|   |         | 6  | 2.12 | 1899.6 | 1045.5 | 1.6  | 0.18 | 0.0015 |
|   |         | 7  | 2.12 | 1899.6 | 1028.3 | 4.6  | 0.52 | 0.0045 |
|   |         | 8  | 2.12 | 1899.6 | 1980.1 | 6.6  | 0.73 | 0.0033 |
|   |         | 9  | 2.12 | 1899.6 | 1605.4 | 1.7  | 0.19 | 0.0011 |
|   |         | 10 | 2.12 | 1899.6 | 2220.8 | 5.0  | 0.56 | 0.0022 |
| 4 | 248-131 | 3  | 3.20 | 871.7  | 2333.9 | 6.8  | 2.50 | 0.0029 |
|   |         | 4  | 3.20 | 871.7  | 1847.1 | 5.7  | 2.10 | 0.0031 |
|   |         | 5  | 3.20 | 871.7  | 1676.0 | 3.7  | 1.35 | 0.0022 |
|   |         | 6  | 3.20 | 871.7  | 1054.1 | 0.1  | 0.05 | 0.0001 |
|   |         | 7  | 3.20 | 871.7  | 1972.9 | 5.8  | 2.14 | 0.0030 |
|   |         | 8  | 3.20 | 871.7  | 2318.5 | 6.9  | 2.54 | 0.0030 |
|   |         | 9  | 3.20 | 871.7  | 359.5  | 0.0  | 0.01 | 0.0001 |
|   |         | 10 | 3.20 | 871.7  | 1396.4 | 3.8  | 1.39 | 0.0027 |
| 4 | 13-131  | 3  | 3.09 | 5311.6 | 965.4  | 12.9 | 0.75 | 0.0134 |
|   |         | 4  | 3.09 | 5311.6 | 3511.0 | 9.9  | 0.57 | 0.0028 |
|   |         | 5  | 3.09 | 5311.6 | 4388.3 | 12.5 | 0.73 | 0.0028 |
|   |         | 6  | 3.09 | 5311.6 | 5102.3 | 9.4  | 0.54 | 0.0018 |
|   |         | 7  | 3.09 | 5311.6 | 2403.9 | 10.0 | 0.58 | 0.0042 |
|   |         | 8  | 3.09 | 5311.6 | 1403.2 | 12.9 | 0.75 | 0.0092 |
|   |         | 9  | 3.09 | 5311.6 | 6285.1 | 9.0  | 0.53 | 0.0014 |
|   |         | 10 | 3.09 | 5311.6 | 5574.3 | 12.3 | 0.71 | 0.0022 |
| 4 | 257-134 | 3  | 3.20 | 1168.1 | 2636.5 | 8.9  | 2.45 | 0.0034 |
|   |         | 4  | 3.20 | 1168.1 | 1982.1 | 6.5  | 1.79 | 0.0033 |
|   |         | 5  | 3.20 | 1168.1 | 1982.3 | 6.5  | 1.78 | 0.0033 |

**NUOVA SCUOLA DELL'INFANZIA A SEI SEZIONI in località CASTELLO di SERRAVALLE**
**viale G. Verdi - COMUNE DI VALSAMOGGIA (BO)**
**PROGETTO ESECUTIVO**
**RELAZIONE DI CALCOLO STRUTTURALE BLOCCO D**

|   |         |    |      |        |        |      |      |        |
|---|---------|----|------|--------|--------|------|------|--------|
|   |         | 6  | 3.20 | 1168.1 | 803.6  | 2.3  | 0.62 | 0.0028 |
|   |         | 7  | 3.20 | 1168.1 | 1904.3 | 6.6  | 1.80 | 0.0034 |
|   |         | 8  | 3.20 | 1168.1 | 2671.4 | 9.0  | 2.46 | 0.0034 |
|   |         | 9  | 3.20 | 1168.1 | 1214.8 | 2.4  | 0.66 | 0.0020 |
|   |         | 10 | 3.20 | 1168.1 | 2173.5 | 6.6  | 1.80 | 0.0030 |
| 4 | 134-15  | 3  | 3.09 | 6524.9 | 2340.8 | 14.1 | 0.67 | 0.0060 |
|   |         | 4  | 3.09 | 6524.9 | 2316.8 | 15.6 | 0.74 | 0.0067 |
|   |         | 5  | 3.09 | 6524.9 | 2703.8 | 13.4 | 0.64 | 0.0050 |
|   |         | 6  | 3.09 | 6524.9 | 2422.1 | 15.1 | 0.71 | 0.0062 |
|   |         | 7  | 3.09 | 6524.9 | 1863.5 | 15.9 | 0.75 | 0.0085 |
|   |         | 8  | 3.09 | 6524.9 | 2401.4 | 14.4 | 0.68 | 0.0060 |
|   |         | 9  | 3.09 | 6524.9 | 3121.8 | 14.7 | 0.70 | 0.0047 |
|   |         | 10 | 3.09 | 6524.9 | 3272.2 | 13.2 | 0.62 | 0.0040 |
| 4 | 223-143 | 3  | 2.02 | 2373.2 | 2384.9 | 16.6 | 1.41 | 0.0070 |
|   |         | 4  | 2.02 | 2373.2 | 2076.3 | 9.8  | 0.83 | 0.0047 |
|   |         | 5  | 2.02 | 2373.2 | 3080.6 | 15.3 | 1.30 | 0.0050 |
|   |         | 6  | 2.02 | 2373.2 | 3056.5 | 7.4  | 0.63 | 0.0024 |
|   |         | 7  | 2.02 | 2373.2 | 2525.1 | 10.2 | 0.87 | 0.0040 |
|   |         | 8  | 2.02 | 2373.2 | 2451.7 | 17.0 | 1.45 | 0.0070 |
|   |         | 9  | 2.02 | 2373.2 | 2465.9 | 8.0  | 0.68 | 0.0032 |
|   |         | 10 | 2.02 | 2373.2 | 2635.2 | 15.8 | 1.35 | 0.0060 |
| 4 | 143-12  | 3  | 3.09 | 7535.4 | 2469.1 | 16.6 | 0.68 | 0.0067 |
|   |         | 4  | 3.09 | 7535.4 | 1945.1 | 15.6 | 0.64 | 0.0080 |
|   |         | 5  | 3.09 | 7535.4 | 2453.3 | 17.7 | 0.73 | 0.0072 |
|   |         | 6  | 3.09 | 7535.4 | 2249.5 | 17.0 | 0.70 | 0.0076 |
|   |         | 7  | 3.09 | 7535.4 | 2533.5 | 16.0 | 0.66 | 0.0063 |
|   |         | 8  | 3.09 | 7535.4 | 2668.5 | 16.8 | 0.69 | 0.0063 |
|   |         | 9  | 3.09 | 7535.4 | 1351.7 | 16.6 | 0.68 | 0.0123 |
|   |         | 10 | 3.09 | 7535.4 | 1970.7 | 17.6 | 0.72 | 0.0089 |
| 4 | 148-2   | 3  | 3.09 | 1432.5 | 1642.9 | 2.1  | 0.44 | 0.0013 |
|   |         | 4  | 3.09 | 1432.5 | 1570.6 | 2.8  | 0.60 | 0.0018 |
|   |         | 5  | 3.09 | 1432.5 | 1305.0 | 2.7  | 0.58 | 0.0021 |
|   |         | 6  | 3.09 | 1432.5 | 1222.0 | 3.3  | 0.71 | 0.0027 |
|   |         | 7  | 3.09 | 1432.5 | 1579.9 | 2.8  | 0.61 | 0.0018 |
|   |         | 8  | 3.09 | 1432.5 | 1640.0 | 2.1  | 0.44 | 0.0013 |
|   |         | 9  | 3.09 | 1432.5 | 1193.9 | 3.2  | 0.70 | 0.0027 |
|   |         | 10 | 3.09 | 1432.5 | 1281.1 | 2.6  | 0.56 | 0.0020 |
| 5 | 201-8   | 3  | 4.10 | 2160.1 | 2601.8 | 14.9 | 2.83 | 0.0057 |
|   |         | 4  | 4.10 | 2160.1 | 3570.3 | 12.1 | 2.30 | 0.0034 |

**NUOVA SCUOLA DELL'INFANZIA A SEI SEZIONI in località CASTELLO di SERRAVALLE**
**viale G. Verdi - COMUNE DI VALSAMOGGIA (BO)**
**PROGETTO ESECUTIVO**
**RELAZIONE DI CALCOLO STRUTTURALE BLOCCO D**

|   |       |    |      |        |         |      |      |        |
|---|-------|----|------|--------|---------|------|------|--------|
|   |       | 5  | 4.10 | 2160.1 | 3787.7  | 11.2 | 2.13 | 0.0030 |
|   |       | 6  | 4.10 | 2160.1 | 4477.6  | 7.0  | 1.32 | 0.0016 |
|   |       | 7  | 4.10 | 2160.1 | 3507.1  | 12.1 | 2.30 | 0.0034 |
|   |       | 8  | 4.10 | 2160.1 | 2593.1  | 15.0 | 2.84 | 0.0058 |
|   |       | 9  | 4.10 | 2160.1 | 4560.0  | 7.1  | 1.35 | 0.0016 |
|   |       | 10 | 4.10 | 2160.1 | 3865.6  | 11.3 | 2.15 | 0.0029 |
| 5 | 197-6 | 3  | 4.10 | 2890.3 | 3027.0  | 22.1 | 3.14 | 0.0073 |
|   |       | 4  | 4.10 | 2890.3 | 2845.3  | 19.5 | 2.76 | 0.0069 |
|   |       | 5  | 4.10 | 2890.3 | 2082.5  | 11.2 | 1.59 | 0.0054 |
|   |       | 6  | 4.10 | 2890.3 | 1822.1  | 4.0  | 0.57 | 0.0022 |
|   |       | 7  | 4.10 | 2890.3 | 2858.0  | 19.5 | 2.77 | 0.0068 |
|   |       | 8  | 4.10 | 2890.3 | 3025.6  | 22.1 | 3.14 | 0.0073 |
|   |       | 9  | 4.10 | 2890.3 | 1782.2  | 3.9  | 0.56 | 0.0022 |
|   |       | 10 | 4.10 | 2890.3 | 2052.4  | 11.2 | 1.58 | 0.0054 |
| 6 | 150-3 | 3  | 3.09 | 2410.1 | 4231.5  | 11.3 | 1.46 | 0.0027 |
|   |       | 4  | 3.09 | 2410.1 | 6377.9  | 9.1  | 1.17 | 0.0014 |
|   |       | 5  | 3.09 | 2410.1 | 10026.6 | 8.6  | 1.11 | 0.0009 |
|   |       | 6  | 3.09 | 2410.1 | 10939.5 | 5.3  | 0.68 | 0.0005 |
|   |       | 7  | 3.09 | 2410.1 | 5981.3  | 9.1  | 1.17 | 0.0015 |
|   |       | 8  | 3.09 | 2410.1 | 4379.1  | 11.4 | 1.46 | 0.0026 |
|   |       | 9  | 3.09 | 2410.1 | 11424.0 | 5.6  | 0.72 | 0.0005 |
|   |       | 10 | 3.09 | 2410.1 | 10501.3 | 8.8  | 1.13 | 0.0008 |

**NUOVA SCUOLA DELL'INFANZIA A SEI SEZIONI in località CASTELLO di SERRAVALLE**
**viale G. Verdi - COMUNE DI VALSAMOGGIA (BO)**
**PROGETTO ESECUTIVO**
**RELAZIONE DI CALCOLO STRUTTURALE BLOCCO D**
**Valutazione Effetti NON-Linearì Pdr/Vh**

$$V_x \Theta_x = P_{dr,x} / h$$

$$V_y \Theta_y = P_{dr,y} / h$$

$$V \Theta = P_{dr} / h \text{ dove: } dr = \sqrt{dr_x^2 + dr_y^2}$$

Controllo combinazioni 17 .. 24

Fattore di struttura 1.50

 Fattore di importanza  $\gamma_i$  1.00

Modalità di calcolo: spostamenti d'interpiano per colonna

| Sez. | Direzione $U = \sqrt{dr_{1-22} + dr_{1-32}}$ |       |       |         |        |             |         |          |
|------|----------------------------------------------|-------|-------|---------|--------|-------------|---------|----------|
|      | Pil.                                         | Comb. | L [m] | P [kg]  | V [kg] | P [kg] dr/h | dr [cm] | $\Theta$ |
| 1    | 259-7                                        | 19    | 4.75  | 6036.5  | 465.5  | 16.4        | 1.29    | 0.0353   |
| 2    | 133-14                                       | 20    | 3.09  | 10627.4 | 1163.8 | 9.7         | 0.28    | 0.0083   |
| 3    | 229-139                                      | 21    | 2.12  | 1899.6  | 762.0  | 3.2         | 0.36    | 0.0042   |
| 4    | 143-12                                       | 23    | 3.09  | 7535.4  | 813.5  | 11.5        | 0.47    | 0.0141   |
| 5    | 197-6                                        | 22    | 4.10  | 2890.3  | 2099.3 | 15.4        | 2.18    | 0.0073   |
| 6    | 150-3                                        | 17    | 3.09  | 2410.1  | 2827.7 | 7.6         | 0.98    | 0.0027   |

**Dettaglio risultati**

| Sez. | Direzione $U = \sqrt{dr_{1-22} + dr_{1-32}}$ |       |       |        |        |             |         |          |
|------|----------------------------------------------|-------|-------|--------|--------|-------------|---------|----------|
|      | Pil.                                         | Comb. | L [m] | P [kg] | V [kg] | P [kg] dr/h | dr [cm] | $\Theta$ |
| 1    | 138-9                                        | 17    | 3.09  | 708.6  | 740.6  | 1.1         | 0.48    | 0.0015   |
|      |                                              | 18    | 3.09  | 708.6  | 788.0  | 1.4         | 0.63    | 0.0018   |
|      |                                              | 19    | 3.09  | 708.6  | 926.7  | 1.4         | 0.63    | 0.0016   |
|      |                                              | 20    | 3.09  | 708.6  | 964.5  | 1.7         | 0.75    | 0.0018   |
|      |                                              | 21    | 3.09  | 708.6  | 787.2  | 1.4         | 0.63    | 0.0018   |
|      |                                              | 22    | 3.09  | 708.6  | 740.8  | 1.1         | 0.48    | 0.0015   |
|      |                                              | 23    | 3.09  | 708.6  | 965.9  | 1.7         | 0.75    | 0.0018   |
|      |                                              | 24    | 3.09  | 708.6  | 928.0  | 1.4         | 0.63    | 0.0016   |
| 1    | 259-7                                        | 17    | 4.75  | 6036.5 | 932.9  | 31.9        | 2.51    | 0.0342   |

**NUOVA SCUOLA DELL'INFANZIA A SEI SEZIONI in località CASTELLO di SERRAVALLE**
**viale G. Verdi - COMUNE DI VALSAMOGGIA (BO)**
**PROGETTO ESECUTIVO**
**RELAZIONE DI CALCOLO STRUTTURALE BLOCCO D**

|   |        |    |      |         |        |      |      |        |
|---|--------|----|------|---------|--------|------|------|--------|
|   |        | 18 | 4.75 | 6036.5  | 844.0  | 28.1 | 2.21 | 0.0333 |
|   |        | 19 | 4.75 | 6036.5  | 465.5  | 16.4 | 1.29 | 0.0353 |
|   |        | 20 | 4.75 | 6036.5  | 238.6  | 6.6  | 0.52 | 0.0276 |
|   |        | 21 | 4.75 | 6036.5  | 843.5  | 28.1 | 2.21 | 0.0333 |
|   |        | 22 | 4.75 | 6036.5  | 934.8  | 31.9 | 2.52 | 0.0342 |
|   |        | 23 | 4.75 | 6036.5  | 252.6  | 7.1  | 0.56 | 0.0280 |
|   |        | 24 | 4.75 | 6036.5  | 473.7  | 16.7 | 1.31 | 0.0352 |
| 1 | 196-5  | 17 | 4.10 | 1416.6  | 998.8  | 6.1  | 1.76 | 0.0061 |
|   |        | 18 | 4.10 | 1416.6  | 919.7  | 5.2  | 1.52 | 0.0057 |
|   |        | 19 | 4.10 | 1416.6  | 581.6  | 3.7  | 1.08 | 0.0064 |
|   |        | 20 | 4.10 | 1416.6  | 431.7  | 2.1  | 0.61 | 0.0049 |
|   |        | 21 | 4.10 | 1416.6  | 919.7  | 5.2  | 1.52 | 0.0057 |
|   |        | 22 | 4.10 | 1416.6  | 998.8  | 6.1  | 1.76 | 0.0061 |
|   |        | 23 | 4.10 | 1416.6  | 431.7  | 2.1  | 0.61 | 0.0049 |
|   |        | 24 | 4.10 | 1416.6  | 581.6  | 3.7  | 1.08 | 0.0064 |
| 1 | 152-4  | 17 | 3.09 | 1080.1  | 1032.8 | 2.5  | 0.71 | 0.0024 |
|   |        | 18 | 3.09 | 1080.1  | 1352.1 | 3.6  | 1.03 | 0.0027 |
|   |        | 19 | 3.09 | 1080.1  | 1327.5 | 3.3  | 0.94 | 0.0025 |
|   |        | 20 | 3.09 | 1080.1  | 1573.6 | 4.1  | 1.18 | 0.0026 |
|   |        | 21 | 3.09 | 1080.1  | 1322.9 | 3.5  | 1.00 | 0.0026 |
|   |        | 22 | 3.09 | 1080.1  | 1028.6 | 2.5  | 0.71 | 0.0024 |
|   |        | 23 | 3.09 | 1080.1  | 1614.1 | 4.2  | 1.21 | 0.0026 |
|   |        | 24 | 3.09 | 1080.1  | 1365.8 | 3.4  | 0.97 | 0.0025 |
| 1 | 147-1  | 17 | 3.09 | 708.6   | 610.2  | 0.9  | 0.39 | 0.0015 |
|   |        | 18 | 3.09 | 708.6   | 689.6  | 1.3  | 0.55 | 0.0018 |
|   |        | 19 | 3.09 | 708.6   | 908.1  | 1.4  | 0.63 | 0.0016 |
|   |        | 20 | 3.09 | 708.6   | 963.7  | 1.7  | 0.74 | 0.0018 |
|   |        | 21 | 3.09 | 708.6   | 690.4  | 1.3  | 0.55 | 0.0018 |
|   |        | 22 | 3.09 | 708.6   | 609.9  | 0.9  | 0.39 | 0.0015 |
|   |        | 23 | 3.09 | 708.6   | 962.4  | 1.7  | 0.74 | 0.0018 |
|   |        | 24 | 3.09 | 708.6   | 906.8  | 1.4  | 0.63 | 0.0016 |
| 2 | 133-14 | 17 | 3.09 | 10627.4 | 3809.0 | 17.4 | 0.51 | 0.0046 |
|   |        | 18 | 3.09 | 10627.4 | 3294.2 | 13.3 | 0.39 | 0.0041 |
|   |        | 19 | 3.09 | 10627.4 | 2627.1 | 14.7 | 0.43 | 0.0056 |
|   |        | 20 | 3.09 | 10627.4 | 1163.8 | 9.7  | 0.28 | 0.0083 |
|   |        | 21 | 3.09 | 10627.4 | 2891.7 | 13.6 | 0.39 | 0.0047 |

**NUOVA SCUOLA DELL'INFANZIA A SEI SEZIONI in località CASTELLO di SERRAVALLE**
**viale G. Verdi - COMUNE DI VALSAMOGGIA (BO)**
**PROGETTO ESECUTIVO**
**RELAZIONE DI CALCOLO STRUTTURALE BLOCCO D**

|   |         |    |      |         |        |      |      |        |
|---|---------|----|------|---------|--------|------|------|--------|
|   |         | 22 | 3.09 | 10627.4 | 3909.6 | 17.4 | 0.51 | 0.0045 |
|   |         | 23 | 3.09 | 10627.4 | 2656.2 | 9.0  | 0.26 | 0.0034 |
|   |         | 24 | 3.09 | 10627.4 | 3476.8 | 14.3 | 0.42 | 0.0041 |
| 2 | 141-11  | 17 | 3.09 | 9213.7  | 4087.0 | 14.5 | 0.49 | 0.0036 |
|   |         | 18 | 3.09 | 9213.7  | 2959.3 | 9.9  | 0.33 | 0.0033 |
|   |         | 19 | 3.09 | 9213.7  | 3594.7 | 13.8 | 0.46 | 0.0039 |
|   |         | 20 | 3.09 | 9213.7  | 2692.9 | 9.0  | 0.30 | 0.0033 |
|   |         | 21 | 3.09 | 9213.7  | 3534.3 | 10.1 | 0.34 | 0.0029 |
|   |         | 22 | 3.09 | 9213.7  | 4139.6 | 14.5 | 0.49 | 0.0035 |
|   |         | 23 | 3.09 | 9213.7  | 1060.3 | 8.5  | 0.28 | 0.0080 |
|   |         | 24 | 3.09 | 9213.7  | 2836.2 | 13.6 | 0.46 | 0.0048 |
| 2 | 139-10  | 17 | 3.09 | 6887.0  | 3377.6 | 10.9 | 0.49 | 0.0032 |
|   |         | 18 | 3.09 | 6887.0  | 2624.5 | 7.7  | 0.35 | 0.0029 |
|   |         | 19 | 3.09 | 6887.0  | 3990.0 | 11.9 | 0.53 | 0.0030 |
|   |         | 20 | 3.09 | 6887.0  | 3725.2 | 9.1  | 0.41 | 0.0025 |
|   |         | 21 | 3.09 | 6887.0  | 3151.7 | 8.0  | 0.36 | 0.0025 |
|   |         | 22 | 3.09 | 6887.0  | 3160.1 | 10.9 | 0.49 | 0.0034 |
|   |         | 23 | 3.09 | 6887.0  | 2487.5 | 8.8  | 0.39 | 0.0035 |
|   |         | 24 | 3.09 | 6887.0  | 2952.6 | 11.6 | 0.52 | 0.0039 |
| 3 | 252-133 | 17 | 3.20 | 1932.0  | 2213.6 | 6.5  | 1.07 | 0.0029 |
|   |         | 18 | 3.20 | 1932.0  | 1372.5 | 4.7  | 0.78 | 0.0034 |
|   |         | 19 | 3.20 | 1932.0  | 2039.1 | 4.7  | 0.77 | 0.0023 |
|   |         | 20 | 3.20 | 1932.0  | 1192.6 | 1.5  | 0.25 | 0.0013 |
|   |         | 21 | 3.20 | 1932.0  | 1543.6 | 4.7  | 0.78 | 0.0031 |
|   |         | 22 | 3.20 | 1932.0  | 2241.6 | 6.5  | 1.07 | 0.0029 |
|   |         | 23 | 3.20 | 1932.0  | 839.9  | 1.7  | 0.28 | 0.0020 |
|   |         | 24 | 3.20 | 1932.0  | 1904.8 | 4.7  | 0.78 | 0.0025 |
| 3 | 221-141 | 17 | 2.02 | 912.4   | 3126.8 | 2.3  | 0.51 | 0.0007 |
|   |         | 18 | 2.02 | 912.4   | 2659.3 | 1.7  | 0.38 | 0.0006 |
|   |         | 19 | 2.02 | 912.4   | 2149.8 | 2.0  | 0.43 | 0.0009 |
|   |         | 20 | 2.02 | 912.4   | 766.3  | 1.1  | 0.24 | 0.0014 |
|   |         | 21 | 2.02 | 912.4   | 2198.2 | 1.7  | 0.37 | 0.0008 |
|   |         | 22 | 2.02 | 912.4   | 3068.6 | 2.4  | 0.52 | 0.0008 |
|   |         | 23 | 2.02 | 912.4   | 2027.3 | 1.3  | 0.30 | 0.0007 |
|   |         | 24 | 2.02 | 912.4   | 2713.8 | 2.1  | 0.47 | 0.0008 |
| 3 | 229-139 | 17 | 2.12 | 1899.6  | 1402.0 | 4.4  | 0.50 | 0.0032 |

**NUOVA SCUOLA DELL'INFANZIA A SEI SEZIONI in località CASTELLO di SERRAVALLE**
**viale G. Verdi - COMUNE DI VALSAMOGGIA (BO)**
**PROGETTO ESECUTIVO**
**RELAZIONE DI CALCOLO STRUTTURALE BLOCCO D**

|   |         |    |      |        |        |      |      |        |
|---|---------|----|------|--------|--------|------|------|--------|
|   |         | 18 | 2.12 | 1899.6 | 1039.1 | 3.1  | 0.35 | 0.0030 |
|   |         | 19 | 2.12 | 1899.6 | 1326.4 | 3.4  | 0.37 | 0.0025 |
|   |         | 20 | 2.12 | 1899.6 | 721.4  | 1.1  | 0.12 | 0.0015 |
|   |         | 21 | 2.12 | 1899.6 | 762.0  | 3.2  | 0.36 | 0.0042 |
|   |         | 22 | 2.12 | 1899.6 | 1430.8 | 4.5  | 0.51 | 0.0032 |
|   |         | 23 | 2.12 | 1899.6 | 1245.3 | 1.2  | 0.14 | 0.0010 |
|   |         | 24 | 2.12 | 1899.6 | 1632.3 | 3.5  | 0.39 | 0.0021 |
| 4 | 248-131 | 17 | 3.20 | 871.7  | 1641.7 | 4.7  | 1.73 | 0.0029 |
|   |         | 18 | 3.20 | 871.7  | 1286.8 | 3.9  | 1.45 | 0.0031 |
|   |         | 19 | 3.20 | 871.7  | 1228.9 | 2.5  | 0.93 | 0.0021 |
|   |         | 20 | 3.20 | 871.7  | 839.8  | 0.1  | 0.04 | 0.0001 |
|   |         | 21 | 3.20 | 871.7  | 1410.4 | 4.1  | 1.49 | 0.0029 |
|   |         | 22 | 3.20 | 871.7  | 1626.3 | 4.8  | 1.77 | 0.0030 |
|   |         | 23 | 3.20 | 871.7  | 153.7  | 0.0  | 0.01 | 0.0001 |
|   |         | 24 | 3.20 | 871.7  | 955.8  | 2.6  | 0.97 | 0.0028 |
| 4 | 13-131  | 17 | 3.09 | 5311.6 | 713.1  | 8.9  | 0.52 | 0.0125 |
|   |         | 18 | 3.09 | 5311.6 | 2605.9 | 6.8  | 0.39 | 0.0026 |
|   |         | 19 | 3.09 | 5311.6 | 2867.3 | 8.7  | 0.51 | 0.0030 |
|   |         | 20 | 3.09 | 5311.6 | 3361.3 | 6.6  | 0.38 | 0.0020 |
|   |         | 21 | 3.09 | 5311.6 | 1500.7 | 6.9  | 0.40 | 0.0046 |
|   |         | 22 | 3.09 | 5311.6 | 1112.5 | 8.9  | 0.52 | 0.0080 |
|   |         | 23 | 3.09 | 5311.6 | 4544.1 | 6.2  | 0.36 | 0.0014 |
|   |         | 24 | 3.09 | 5311.6 | 4053.3 | 8.5  | 0.49 | 0.0021 |
| 4 | 257-134 | 17 | 3.20 | 1168.1 | 1832.0 | 6.2  | 1.69 | 0.0034 |
|   |         | 18 | 3.20 | 1168.1 | 1397.6 | 4.5  | 1.24 | 0.0032 |
|   |         | 19 | 3.20 | 1168.1 | 1356.5 | 4.5  | 1.23 | 0.0033 |
|   |         | 20 | 3.20 | 1168.1 | 505.3  | 1.6  | 0.43 | 0.0031 |
|   |         | 21 | 3.20 | 1168.1 | 1320.2 | 4.5  | 1.25 | 0.0034 |
|   |         | 22 | 3.20 | 1168.1 | 1866.7 | 6.2  | 1.71 | 0.0033 |
|   |         | 23 | 3.20 | 1168.1 | 912.0  | 1.7  | 0.47 | 0.0019 |
|   |         | 24 | 3.20 | 1168.1 | 1546.5 | 4.6  | 1.26 | 0.0030 |
| 4 | 134-15  | 17 | 3.09 | 6524.9 | 1625.1 | 9.7  | 0.46 | 0.0060 |
|   |         | 18 | 3.09 | 6524.9 | 1682.3 | 10.7 | 0.51 | 0.0064 |
|   |         | 19 | 3.09 | 6524.9 | 1795.2 | 9.4  | 0.44 | 0.0052 |
|   |         | 20 | 3.09 | 6524.9 | 1577.0 | 10.5 | 0.50 | 0.0067 |
|   |         | 21 | 3.09 | 6524.9 | 1230.7 | 11.1 | 0.52 | 0.0090 |

**NUOVA SCUOLA DELL'INFANZIA A SEI SEZIONI in località CASTELLO di SERRAVALLE**
**viale G. Verdi - COMUNE DI VALSAMOGGIA (BO)**
**PROGETTO ESECUTIVO**
**RELAZIONE DI CALCOLO STRUTTURALE BLOCCO D**

|   |         |    |      |        |        |      |      |        |
|---|---------|----|------|--------|--------|------|------|--------|
|   |         | 22 | 3.09 | 6524.9 | 1685.5 | 10.0 | 0.47 | 0.0059 |
|   |         | 23 | 3.09 | 6524.9 | 2276.0 | 10.1 | 0.48 | 0.0045 |
|   |         | 24 | 3.09 | 6524.9 | 2362.5 | 9.1  | 0.43 | 0.0039 |
| 4 | 223-143 | 17 | 2.02 | 2373.2 | 1658.7 | 11.4 | 0.97 | 0.0069 |
|   |         | 18 | 2.02 | 2373.2 | 1380.6 | 6.7  | 0.57 | 0.0049 |
|   |         | 19 | 2.02 | 2373.2 | 2211.9 | 10.6 | 0.90 | 0.0048 |
|   |         | 20 | 2.02 | 2373.2 | 2213.8 | 5.1  | 0.43 | 0.0023 |
|   |         | 21 | 2.02 | 2373.2 | 1827.8 | 7.1  | 0.61 | 0.0039 |
|   |         | 22 | 2.02 | 2373.2 | 1725.2 | 11.9 | 1.01 | 0.0069 |
|   |         | 23 | 2.02 | 2373.2 | 1623.4 | 5.6  | 0.48 | 0.0035 |
|   |         | 24 | 2.02 | 2373.2 | 1767.8 | 11.1 | 0.94 | 0.0063 |
| 4 | 143-12  | 17 | 3.09 | 7535.4 | 1692.6 | 11.4 | 0.47 | 0.0067 |
|   |         | 18 | 3.09 | 7535.4 | 1266.8 | 10.7 | 0.44 | 0.0085 |
|   |         | 19 | 3.09 | 7535.4 | 1796.4 | 12.3 | 0.51 | 0.0069 |
|   |         | 20 | 3.09 | 7535.4 | 1704.9 | 11.9 | 0.49 | 0.0070 |
|   |         | 21 | 3.09 | 7535.4 | 1852.5 | 11.1 | 0.46 | 0.0060 |
|   |         | 22 | 3.09 | 7535.4 | 1890.4 | 11.6 | 0.48 | 0.0062 |
|   |         | 23 | 3.09 | 7535.4 | 813.5  | 11.5 | 0.47 | 0.0141 |
|   |         | 24 | 3.09 | 7535.4 | 1320.2 | 12.1 | 0.50 | 0.0092 |
| 4 | 148-2   | 17 | 3.09 | 1432.5 | 1141.2 | 1.4  | 0.31 | 0.0013 |
|   |         | 18 | 3.09 | 1432.5 | 1089.2 | 1.9  | 0.42 | 0.0018 |
|   |         | 19 | 3.09 | 1432.5 | 909.9  | 1.9  | 0.40 | 0.0021 |
|   |         | 20 | 3.09 | 1432.5 | 852.9  | 2.3  | 0.50 | 0.0027 |
|   |         | 21 | 3.09 | 1432.5 | 1098.5 | 2.0  | 0.43 | 0.0018 |
|   |         | 22 | 3.09 | 1432.5 | 1138.3 | 1.4  | 0.31 | 0.0013 |
|   |         | 23 | 3.09 | 1432.5 | 824.8  | 2.2  | 0.48 | 0.0027 |
|   |         | 24 | 3.09 | 1432.5 | 886.0  | 1.8  | 0.39 | 0.0020 |
| 5 | 201-8   | 17 | 4.10 | 2160.1 | 1807.5 | 10.4 | 1.97 | 0.0057 |
|   |         | 18 | 4.10 | 2160.1 | 2488.1 | 8.4  | 1.59 | 0.0034 |
|   |         | 19 | 4.10 | 2160.1 | 2618.2 | 7.8  | 1.47 | 0.0030 |
|   |         | 20 | 4.10 | 2160.1 | 3096.4 | 4.8  | 0.91 | 0.0016 |
|   |         | 21 | 4.10 | 2160.1 | 2424.9 | 8.4  | 1.59 | 0.0035 |
|   |         | 22 | 4.10 | 2160.1 | 1798.9 | 10.4 | 1.97 | 0.0058 |
|   |         | 23 | 4.10 | 2160.1 | 3178.7 | 5.0  | 0.94 | 0.0016 |
|   |         | 24 | 4.10 | 2160.1 | 2696.2 | 7.9  | 1.50 | 0.0029 |
| 5 | 197-6   | 17 | 4.10 | 2890.3 | 2100.6 | 15.3 | 2.18 | 0.0073 |

**NUOVA SCUOLA DELL'INFANZIA A SEI SEZIONI in località CASTELLO di SERRAVALLE**

**viale G. Verdi - COMUNE DI VALSAMOGGIA (BO)**

**PROGETTO ESECUTIVO**

**RELAZIONE DI CALCOLO STRUTTURALE BLOCCO D**

|   |       |    |      |        |        |      |      |        |
|---|-------|----|------|--------|--------|------|------|--------|
|   |       | 18 | 4.10 | 2890.3 | 1972.6 | 13.5 | 1.92 | 0.0069 |
|   |       | 19 | 4.10 | 2890.3 | 1450.4 | 7.8  | 1.10 | 0.0054 |
|   |       | 20 | 4.10 | 2890.3 | 1271.5 | 2.8  | 0.40 | 0.0022 |
|   |       | 21 | 4.10 | 2890.3 | 1985.3 | 13.5 | 1.92 | 0.0068 |
|   |       | 22 | 4.10 | 2890.3 | 2099.3 | 15.4 | 2.18 | 0.0073 |
|   |       | 23 | 4.10 | 2890.3 | 1231.5 | 2.7  | 0.38 | 0.0022 |
|   |       | 24 | 4.10 | 2890.3 | 1420.2 | 7.7  | 1.10 | 0.0055 |
| 6 | 150-3 | 17 | 3.09 | 2410.1 | 2827.7 | 7.6  | 0.98 | 0.0027 |
|   |       | 18 | 3.09 | 2410.1 | 4442.5 | 6.1  | 0.78 | 0.0014 |
|   |       | 19 | 3.09 | 2410.1 | 6881.8 | 5.9  | 0.76 | 0.0009 |
|   |       | 20 | 3.09 | 2410.1 | 7521.7 | 3.7  | 0.47 | 0.0005 |
|   |       | 21 | 3.09 | 2410.1 | 4041.1 | 6.1  | 0.78 | 0.0015 |
|   |       | 22 | 3.09 | 2410.1 | 2979.6 | 7.7  | 0.98 | 0.0026 |
|   |       | 23 | 3.09 | 2410.1 | 8006.3 | 3.9  | 0.51 | 0.0005 |
|   |       | 24 | 3.09 | 2410.1 | 7357.0 | 6.1  | 0.78 | 0.0008 |

**NUOVA SCUOLA DELL'INFANZIA A SEI SEZIONI in località CASTELLO di SERRAVALLE**
**viale G. Verdi - COMUNE DI VALSAMOGGIA (BO)**
**PROGETTO ESECUTIVO**

RELAZIONE DI CALCOLO STRUTTURALE BLOCCO D

## 2.2.J.5.SINTESI DELLE VERIFICHE DEGLI ELEMENTI STRUTTURALI

**SINTESI VERIFICHE SLU PILASTRI**

Percentuale di utilizzo degli elementi tipo pilastro



| Elemento | Sezione                                    | ≤70% | ≤75% | ≤80% | ≤85% | ≤90% | ≤95% | ≤99% | ≤100% |
|----------|--------------------------------------------|------|------|------|------|------|------|------|-------|
| Pilastro | 1 Rett. pil.30x30 D.B. B 30 [cm] H 30 [cm] | 1    | 0    | 0    | 0    | 2    | 0    | 1    | 0     |
|          | 4 Rett. pil.40x30 D.B. B 40 [cm] H 30 [cm] | 2    | 0    | 0    | 1    | 1    | 1    | 4    | 0     |
|          | 5 Rett. pil.50x30 D.B. B 50 [cm] H 30 [cm] | 0    | 0    | 1    | 0    | 0    | 1    | 0    | 0     |
|          | 6 Rett. pil.65x30 D.B. B 65 [cm] H 30 [cm] | 0    | 0    | 0    | 0    | 0    | 0    | 1    | 0     |
|          | 7 Rett. pil.55x30 D.B. B 55 [cm] H 30 [cm] | 0    | 0    | 2    | 0    | 1    | 2    | 2    | 0     |

**NUOVA SCUOLA DELL'INFANZIA A SEI SEZIONI in località CASTELLO di SERRAVALLE**

**viale G. Verdi - COMUNE DI VALSAMOGGIA (BO)**

**PROGETTO ESECUTIVO**

**RELAZIONE DI CALCOLO STRUTTURALE BLOCCO D**

**SINTESI VERIFICHE SLE PILASTRI**

Si riportano , per ogni sezione dei pilastri, il pilastro che presenta i valori peggiori.

Di seguito si riportano, distinti per unità strutturali, le verifiche agli SLE di ogni relazione di calcolo delle sovrastrutture.

Per ogni pilastro è stata calcolata:

**COMBINAZIONI RARE**

Ft. (n°comb. di carico) – trazione massima acciaio nella comb. di carico indicata

$\sigma_{s,c}$  (n°comb. di carico) – compressione massima acciaio nella comb. di carico indicata

$\sigma_{cls,Max}$  (n°comb. di carico) – tensione massima calcestruzzo nella comb. di carico indicata

$\sigma_{cls,Med}$  (n°comb. di carico) - tensione media calcestruzzo nella comb. di carico indicata

**COMBINAZIONI FREQUENTI**

Ft. (n°comb. di carico) – trazione massima acciaio nella comb. di carico indicata

$\sigma_{s,c}$  (n°comb. di carico) – compressione massima acciaio nella comb. di carico indicata

$\sigma_{cls,Max}$  (n°comb. di carico) – tensione massima calcestruzzo nella comb. di carico indicata

$\sigma_{cls,Med}$  (n°comb. di carico) - tensione media calcestruzzo nella comb. di carico indicata

**COMBINAZIONI QUASI PERMANENTI**

Ft. (n°comb. di carico) – trazione massima acciaio nella comb. di carico indicata

$\sigma_{s,c}$  (n°comb. di carico) – compressione massima acciaio nella comb. di carico indicata

$\sigma_{cls,Max}$  (n°comb. di carico) – tensione massima calcestruzzo nella comb. di carico indicata

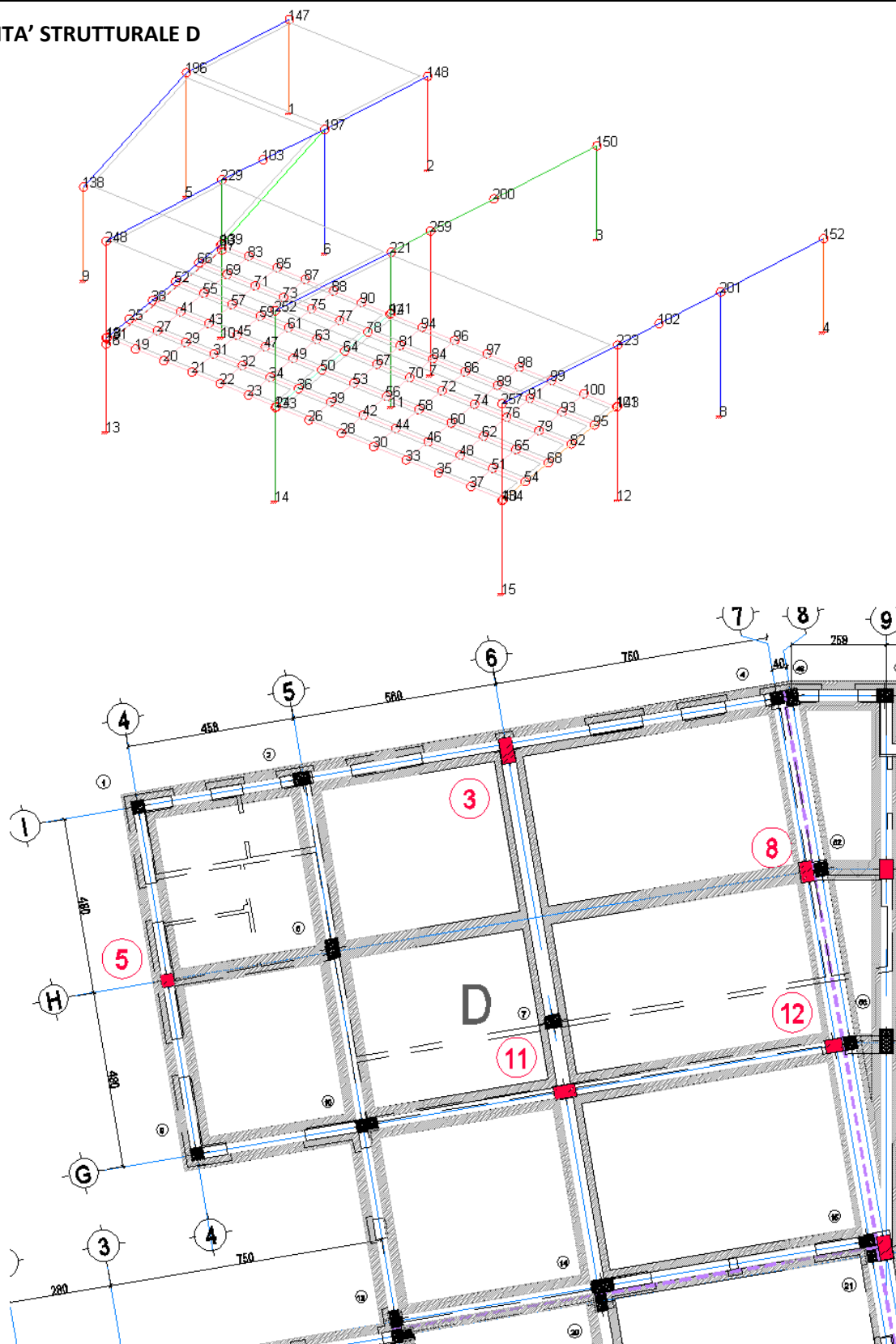
$\sigma_{cls,Med}$  (n°comb. di carico) - tensione media calcestruzzo nella comb. di carico indicata

**Tutti i valori sono inferiori alle tensioni massime allo SLE per i materiali calcestruzzo C25/30 e acciaio B450C, ovvero:**

| Calcestruzzo | $\sigma_{RARE}$<br>[kg/cm <sup>2</sup> ] | $\sigma_{FREQ}$<br>[kg/cm <sup>2</sup> ] | $\sigma_{QP}$<br>[kg/cm <sup>2</sup> ] |
|--------------|------------------------------------------|------------------------------------------|----------------------------------------|
| C25/30       | 150.0                                    | 150.0                                    | 112.5                                  |

| Acciaio | $\sigma_{yRARE}$<br>[kg/cm <sup>2</sup> ] | $\sigma_{yFREQ}$<br>[kg/cm <sup>2</sup> ] | $\sigma_{yQP}$<br>[kg/cm <sup>2</sup> ] |
|---------|-------------------------------------------|-------------------------------------------|-----------------------------------------|
| B 450 C | 3600.0                                    | 3600.0                                    | 3600.0                                  |

**Le verifiche sono quindi soddisfatte.**

**NUOVA SCUOLA DELL'INFANZIA A SEI SEZIONI in località CASTELLO di SERRAVALLE**
**viale G. Verdi - COMUNE DI VALSAMOGGIA (BO)**
**PROGETTO ESECUTIVO**
**RELAZIONE DI CALCOLO STRUTTURALE BLOCCO D**
**UNITA' STRUTTURALE D**


**NUOVA SCUOLA DELL'INFANZIA A SEI SEZIONI in località CASTELLO di SERRAVALLE**
**viale G. Verdi - COMUNE DI VALSAMOGGIA (BO)**
**PROGETTO ESECUTIVO**
**RELAZIONE DI CALCOLO STRUTTURALE BLOCCO D**
**Pilastro: 196/5 / L 3.85[m] / Sezione 1 B 30 [cm]H 30 [cm]**
**Verifiche a Presso-Flessione S.L.E.**

| Nodo                                 | Combinazione          | N<br>[kg] | M12<br>[kgm] | M13<br>[kgm] | $\sigma$<br>[kg/cm <sup>2</sup> ] |
|--------------------------------------|-----------------------|-----------|--------------|--------------|-----------------------------------|
| <b>Combinazioni Rare</b>             |                       |           |              |              |                                   |
| 5                                    | Ft. 12                | -3181.4   | -0.0         | 0.0          | -39.2                             |
|                                      | $\sigma_s, c11$       | -4023.7   | -0.0         | 0.0          | -49.5                             |
|                                      | $\sigma_{cls}, Max11$ | -4023.7   | -0.0         | 0.0          | -3.3                              |
|                                      | $\sigma_{cls}, Med11$ | -4023.7   | -0.0         | 0.0          | -3.3                              |
| <b>Combinazioni Frequenti</b>        |                       |           |              |              |                                   |
| 5                                    | Ft. 14                | -2339.1   | -0.0         | 0.0          | -28.8                             |
|                                      | $\sigma_s, c13$       | -2676.0   | -0.0         | 0.0          | -32.9                             |
|                                      | $\sigma_{cls}, Max13$ | -2676.0   | -0.0         | 0.0          | -2.2                              |
|                                      | $\sigma_{cls}, Med13$ | -2676.0   | -0.0         | 0.0          | -2.2                              |
| <b>Combinazioni Quasi Permanenti</b> |                       |           |              |              |                                   |
| 5                                    | Ft. 15                | -2339.1   | -0.0         | 0.0          | -28.8                             |
|                                      | $\sigma_s, c15$       | -2339.1   | -0.0         | 0.0          | -28.8                             |
|                                      | $\sigma_{cls}, Max15$ | -2339.1   | -0.0         | 0.0          | -1.9                              |
|                                      | $\sigma_{cls}, Med15$ | -2339.1   | -0.0         | 0.0          | -1.9                              |

**Pilastro: 223/12 / L 4.86[m] / Sezione 4 B 40 [cm]H 30 [cm]**
**Verifiche a Presso-Flessione S.L.E.**

| Nodo                                 | Combinazione          | N<br>[kg] | M12<br>[kgm] | M13<br>[kgm] | $\sigma$<br>[kg/cm <sup>2</sup> ] |
|--------------------------------------|-----------------------|-----------|--------------|--------------|-----------------------------------|
| <b>Combinazioni Rare</b>             |                       |           |              |              |                                   |
| 12                                   | Ft. 12                | -12142.1  | 5.0          | -19.6        | -120.0                            |
|                                      | $\sigma_s, c11$       | -13111.8  | 4.9          | -17.6        | -135.2                            |
|                                      | $\sigma_{cls}, Max11$ | -13111.8  | 4.9          | -17.6        | -9.1                              |
|                                      | $\sigma_{cls}, Med11$ | -13111.8  | 4.9          | -17.6        | -8.8                              |
| <b>Combinazioni Frequenti</b>        |                       |           |              |              |                                   |
| 12                                   | Ft. 14                | -10179.0  | 4.5          | -18.0        | -100.4                            |
|                                      | $\sigma_s, c13$       | -10914.6  | 4.7          | -18.5        | -113.1                            |
|                                      | $\sigma_{cls}, Max13$ | -10914.6  | 4.7          | -18.5        | -7.6                              |
|                                      | $\sigma_{cls}, Med13$ | -10914.6  | 4.7          | -18.5        | -7.4                              |
| <b>Combinazioni Quasi Permanenti</b> |                       |           |              |              |                                   |
| 12                                   | Ft. 15                | -10328.0  | 4.6          | -18.5        | -101.8                            |
|                                      | $\sigma_s, c15$       | -10328.0  | 4.6          | -18.5        | -107.1                            |
|                                      | $\sigma_{cls}, Max15$ | -10328.0  | 4.6          | -18.5        | -7.2                              |
|                                      | $\sigma_{cls}, Med15$ | -10328.0  | 4.6          | -18.5        | -7.0                              |

**NUOVA SCUOLA DELL'INFANZIA A SEI SEZIONI in località CASTELLO di SERRAVALLE**
**viale G. Verdi - COMUNE DI VALSAMOGGIA (BO)**
**PROGETTO ESECUTIVO**
**RELAZIONE DI CALCOLO STRUTTURALE BLOCCO D**
**Pilastro: 201/8 / L 3.85[m] / Sezione 5 B 50 [cm]H 30 [cm]**
**Verifiche a Presso-Flessione S.L.E.**

| Nodo                                 | Combinazione          | N<br>[kg] | M12<br>[kgm] | M13<br>[kgm] | $\sigma$<br>[kg/cm <sup>2</sup> ] |
|--------------------------------------|-----------------------|-----------|--------------|--------------|-----------------------------------|
| <b>Combinazioni Rare</b>             |                       |           |              |              |                                   |
| 8                                    | Ft. 12                | -5085.9   | 0.4          | 0.0          | -37.9                             |
|                                      | $\sigma_s, c11$       | -6464.2   | 0.4          | 0.3          | -48.3                             |
|                                      | $\sigma_{cls}, Max11$ | -6464.2   | 0.4          | 0.3          | -3.2                              |
|                                      | $\sigma_{cls}, Med11$ | -6464.2   | 0.4          | 0.3          | -3.2                              |
| <b>Combinazioni Frequenti</b>        |                       |           |              |              |                                   |
| 8                                    | Ft. 14                | -3707.5   | 0.4          | -0.2         | -27.6                             |
|                                      | $\sigma_s, c13$       | -4258.9   | 0.4          | -0.1         | -31.8                             |
|                                      | $\sigma_{cls}, Max13$ | -4258.9   | 0.4          | -0.1         | -2.1                              |
|                                      | $\sigma_{cls}, Med13$ | -4258.9   | 0.4          | -0.1         | -2.1                              |
| <b>Combinazioni Quasi Permanenti</b> |                       |           |              |              |                                   |
| 8                                    | Ft. 15                | -3707.5   | 0.4          | -0.2         | -27.6                             |
|                                      | $\sigma_s, c15$       | -3707.5   | 0.4          | -0.2         | -27.7                             |
|                                      | $\sigma_{cls}, Max15$ | -3707.5   | 0.4          | -0.2         | -1.8                              |
|                                      | $\sigma_{cls}, Med15$ | -3707.5   | 0.4          | -0.2         | -1.8                              |

**Pilastro: 150/3 / L 2.84[m] / Sezione 6 B 65 [cm]H 30 [cm]**
**Verifiche a Presso-Flessione S.L.E.**

| Nodo                                 | Combinazione          | N<br>[kg] | M12<br>[kgm] | M13<br>[kgm] | $\sigma$<br>[kg/cm <sup>2</sup> ] |
|--------------------------------------|-----------------------|-----------|--------------|--------------|-----------------------------------|
| <b>Combinazioni Rare</b>             |                       |           |              |              |                                   |
| 3                                    | Ft. 12                | -5620.5   | 1.0          | 13.7         | -29.4                             |
|                                      | $\sigma_s, c11$       | -7477.5   | 0.9          | 15.7         | -40.6                             |
|                                      | $\sigma_{cls}, Max11$ | -7477.5   | 0.9          | 15.7         | -2.7                              |
|                                      | $\sigma_{cls}, Med11$ | -7477.5   | 0.9          | 15.7         | -2.7                              |
| <b>Combinazioni Frequenti</b>        |                       |           |              |              |                                   |
| 3                                    | Ft. 14                | -3774.7   | 0.9          | 10.4         | -19.7                             |
|                                      | $\sigma_s, c13$       | -4513.6   | 0.9          | 11.6         | -24.6                             |
|                                      | $\sigma_{cls}, Max13$ | -4513.6   | 0.9          | 11.6         | -1.6                              |
|                                      | $\sigma_{cls}, Med13$ | -4513.6   | 0.9          | 11.6         | -1.6                              |
| <b>Combinazioni Quasi Permanenti</b> |                       |           |              |              |                                   |
| 3                                    | Ft. 15                | -3773.0   | 0.9          | 10.6         | -19.6                             |
|                                      | $\sigma_s, c15$       | -3773.0   | 0.9          | 10.6         | -20.6                             |

**NUOVA SCUOLA DELL'INFANZIA A SEI SEZIONI in località CASTELLO di SERRAVALLE**
**viale G. Verdi - COMUNE DI VALSAMOGGIA (BO)**
**PROGETTO ESECUTIVO**
**RELAZIONE DI CALCOLO STRUTTURALE BLOCCO D**

| Nodo              | Combinazione         | N<br>[kg] | M12<br>[kgm] | M13<br>[kgm] | $\sigma$<br>[kg/cm <sup>2</sup> ] |
|-------------------|----------------------|-----------|--------------|--------------|-----------------------------------|
| Combinazioni Rare |                      |           |              |              |                                   |
|                   | $\sigma_{cls,Max15}$ | -3773.0   | 0.9          | 10.6         | -1.4                              |
|                   | $\sigma_{cls,Med15}$ | -3773.0   | 0.9          | 10.6         | -1.3                              |

**Pilastro: 221/11 / L 4.86[m] / Sezione 7 B 55 [cm]H 30 [cm]**
**Verifiche a Presso-Flessione S.L.E.**

| Nodo                          | Combinazione         | N<br>[kg] | M12<br>[kgm] | M13<br>[kgm] | $\sigma$<br>[kg/cm <sup>2</sup> ] |
|-------------------------------|----------------------|-----------|--------------|--------------|-----------------------------------|
| Combinazioni Rare             |                      |           |              |              |                                   |
| 11                            | Ft. 12               | -16054.9  | 2.7          | -24.8        | -103.7                            |
|                               | $\sigma_s, c11$      | -16698.2  | 2.4          | -21.9        | -110.9                            |
|                               | $\sigma_{cls,Max11}$ | -16698.2  | 2.4          | -21.9        | -7.4                              |
|                               | $\sigma_{cls,Med11}$ | -16698.2  | 2.4          | -21.9        | -7.3                              |
| Combinazioni Frequenti        |                      |           |              |              |                                   |
| 11                            | Ft. 14               | -13720.8  | 2.7          | -23.0        | -88.5                             |
|                               | $\sigma_s, c13$      | -14569.9  | 2.6          | -23.5        | -97.1                             |
|                               | $\sigma_{cls,Max13}$ | -14569.9  | 2.6          | -23.5        | -6.5                              |
|                               | $\sigma_{cls,Med13}$ | -14569.9  | 2.6          | -23.5        | -6.4                              |
| Combinazioni Quasi Permanenti |                      |           |              |              |                                   |
| 11                            | Ft. 15               | -13974.4  | 2.7          | -23.7        | -90.1                             |
|                               | $\sigma_s, c15$      | -13974.4  | 2.7          | -23.7        | -93.2                             |
|                               | $\sigma_{cls,Max15}$ | -13974.4  | 2.7          | -23.7        | -6.2                              |
|                               | $\sigma_{cls,Med15}$ | -13974.4  | 2.7          | -23.7        | -6.1                              |

**Riepilogo verifiche effettuate:**

-verifica agli SLU e SLV – Verifica a pressoflessione deviata N/M - rapporto fra le sollecitazioni di calcolo e la resistenza ultima del pilastro, e deve essere inferiore ad 1.  
 -verifica agli SLU e SLV – Verifica a taglio V/T lato cls - rapporto  $V_{sd}/V_{rd}$ , che deve essere inferiore ad 1.  
 -verifica agli SLU e SLV – Verifica a taglio V/T acciaio - rapporto  $V_{sd}/V_{rd}$ , che deve essere inferiore ad 1.  
 -verifica agli SLV – verifica sismica di cui al punto 7.4.4.2.2.1 del DM 14.01.2008

-verifica agli SLE –comb. Rara - verifica delle tensioni sul calcestruzzo  
 -verifica agli SLE –comb. Rara - verifica delle tensioni sull'acciaio

-verifica agli SLE –comb. Frequenti - verifica delle tensioni sul calcestruzzo

**NUOVA SCUOLA DELL'INFANZIA A SEI SEZIONI in località CASTELLO di SERRAVALLE**
**viale G. Verdi - COMUNE DI VALSAMOGGIA (BO)**
**PROGETTO ESECUTIVO**
**RELAZIONE DI CALCOLO STRUTTURALE BLOCCO D**

-verifica agli SLE –comb. Rara - verifica delle tensioni sull'acciaio

-verifica agli SLE –comb. quasi permanenti - verifica delle tensioni sul calcestruzzo

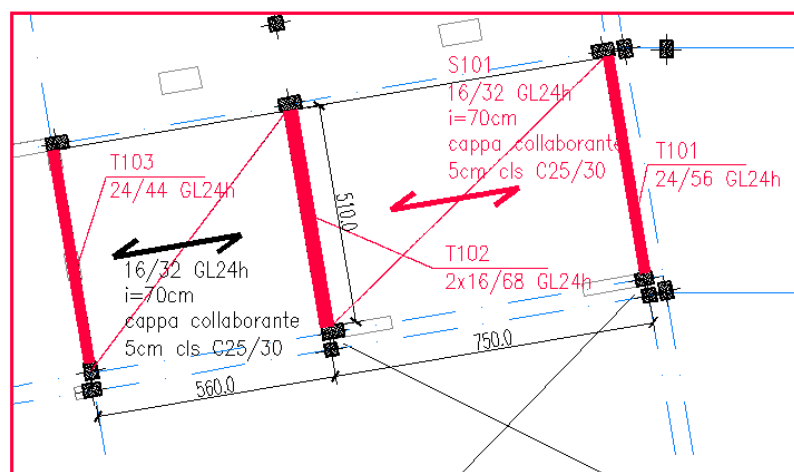
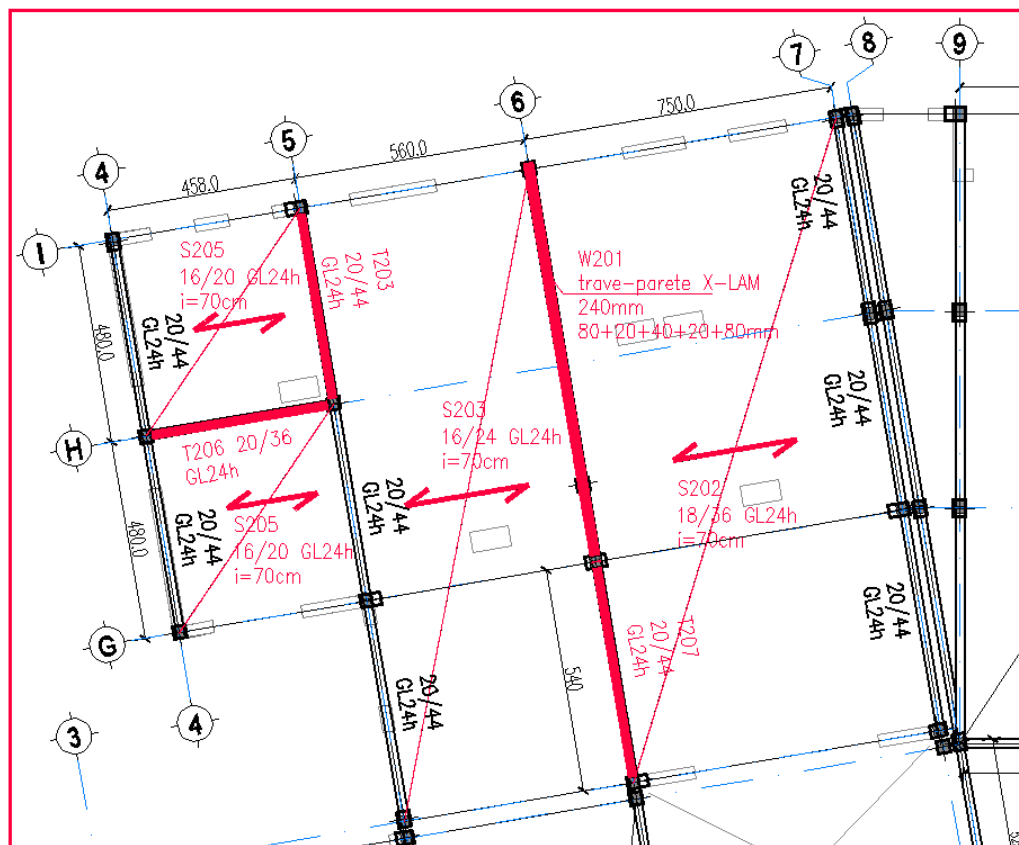
-verifica agli SLE –comb. quasi permanenti - verifica delle tensioni sull'acciaio sul calcestruzzo

-verifica agli SLE –comb. Frequente e quasi permanenti-controllo apertura delle fessure secondo i criteri esplicitati nella tabella 4.1.IV NTC08

-verifica agli SLO – verifica di cui al punto 7.3.7.2 NTC 2008 per edifici ricadenti in classe d'uso III

**SINTESI VERIFICHE TRAVI**

| NOME  | DESCRIZIONE  | SEZIONE<br>cm/cm | INTERASSE<br>cm | MAX LUCE<br>m | MAX RAPPORTO<br>VERIFICA SLU | MAX RAPPORTO<br>VERIFICA SLE |
|-------|--------------|------------------|-----------------|---------------|------------------------------|------------------------------|
| S 101 | Arcareccio   | 16/32            | 70              | 7,50          | 0,57                         | 0,86                         |
| S 202 | Arcareccio   | 18/36            | 70              | 7,50          | 0,44                         | 0,31                         |
| S 203 | Arcareccio   | 16/24            | 70              | 5,60          | 0,49                         | 0,49                         |
| S 205 | Arcareccio   | 16/20            | 70              | 4,58          | 0,45                         | 0,39                         |
| T 101 | Trave princ. | 24/56            | -               | 5,10          | 0,89                         | 0,54                         |
| T 102 | Trave princ. | 32/68            | -               | 5,10          | 0,94                         | 0,38                         |
| T 103 | Trave princ. | 24/44            | -               | 5,10          | 0,81                         | 0,82                         |
| T 203 | Trave princ. | 20/44            | -               | 4,80          | 0,64                         | 0,55                         |
| T 206 | Trave colmo  | 20/36            |                 | 4,58          | 0,14                         | 0,40                         |
| T 207 | Trave princ. | 20/44            | -               | 5,40          | 0,93                         | 0,98                         |
| W 201 | Trave-parete | 24/229-44        | -               | 7,80/1.7      | 0,83                         | 0,32                         |

**NUOVA SCUOLA DELL'INFANZIA A SEI SEZIONI in località CASTELLO di SERRAVALLE**
**viale G. Verdi - COMUNE DI VALSAMOGGIA (BO)**
**PROGETTO ESECUTIVO**
**RELAZIONE DI CALCOLO STRUTTURALE BLOCCO D**


**NUOVA SCUOLA DELL'INFANZIA A SEI SEZIONI in località CASTELLO di SERRAVALLE**

viale G. Verdi - COMUNE DI VALSAMOGGIA (BO)

**PROGETTO ESECUTIVO**

RELAZIONE DI CALCOLO STRUTTURALE BLOCCO D

---

**SINTESI VERIFICHE TRAVE X-LAM (W201)**

Nell'unità strutturale D è presente una trave parete in x-lam in corrispondenza del filo 6, tra i fili I e G. Per il dimensionamento della trave è stato utilizzato un apposito modello di calcolo e le sollecitazioni ottenute da questo sono state inserite in corrispondenza degli appoggi nel modello globale dell'unità strutturale D.

La trave parete con sezione variabile è stata modellata come un insieme di elementi tipo shell su due appoggi, con carico distribuito verticale corrispondente alla lunghezza di influenza della trave stessa (nella struttura non sono presenti piani rigidi), per poter definire i diagrammi delle sollecitazioni

Al cap.2.5.4.3 –“verifica trave x-lam W201” sono stati indicati i diagrammi delle sollecitazioni degli elementi shell.

Per la trave sono state svolte:

**-verifiche allo SLU-**

Sono state verificate le zone soggette a trazione e a compressione della trave parete, modellata attraverso elementi tipo shell

**Verifica compressione in direzione x**

Deve essere verificata la relazione :  **$\sigma_{c,1,x} / f_{c,o,1,d} < 1$**

Dove:

**$f_{c,o,1,d}$**  – resistenza di progetto a compressione =  $(f_{c,o}, k \cdot K_{mod}) / \gamma_m$

**$f_{c,o,k}$**  – resistenza caratteristica a compressione = 21 MPa (materiale C24)

**$K_{mod}$**  – 0.9

**$\gamma_m$**  – 1.25

$$\sigma_{c,1,x} = n_{c,1,x} / d_1$$

Dove:

**$n_{c,1,x}$**  = sollecitazione a compressione in direz. X

**$d_1$**  = spessore efficace del pannello in dir. X = 200mm

**Verifica trazione in direzione x**

Deve essere verificata la relazione :  **$\sigma_{t,1,x} / f_{t,o,1,d} < 1$**

Dove:

**$f_{t,o,1,d}$**  – resistenza di progetto a trazione =  $(f_{t,o}, k \cdot K_{mod}) / \gamma_m$

**$f_{t,o,k}$**  – resistenza caratteristica a trazione = 14 MPa (materiale C24)

**$K_{mod}$**  – 0.9

**$\gamma_m$**  – 1.25

$$\sigma_{t,1,x} = n_{t,1,x} / d_1$$

Dove:

**$n_{t,1,x}$**  = sollecitazione a trazione in direz. X

NUOVA SCUOLA DELL'INFANZIA A SEI SEZIONI in località CASTELLO di SERRAVALLE

viale G. Verdi - COMUNE DI VALSAMOGGIA (BO)

**PROGETTO ESECUTIVO**

RELAZIONE DI CALCOLO STRUTTURALE BLOCCO D

---

**d1** = spessore efficace del pannello in dir. X = 200mm

**Verifica compressione in direzione y**

Deve essere verificata la relazione :  $\sigma_{c,1,y} / f_{c,o,1,d} < 1$

Dove:

**f<sub>c,o,1,d</sub>** – resistenza di progetto a compressione = (f<sub>c,o</sub>, k\*K<sub>mod</sub>) / gamma m

**f<sub>c,o,k</sub>** – resistenza caratteristica a compressione = 21 MPa (materiale C24)

**K<sub>mod</sub>** – 0.9

**Gamma m** – 1.25

$$\sigma_{c,1,y} = n_{c,1,y} / d1$$

Dove:

**n<sub>c,1,y</sub>** = sollecitazione a compressione in direz. y

**d1** = spessore efficace del pannello in dir. y = 40mm

**Verifica trazione in direzione y**

Deve essere verificata la relazione :  $\sigma_{t,1,y} / f_{t,o,1,d} < 1$

Dove:

**f<sub>t,o,1,d</sub>** – resistenza di progetto a trazione = (f<sub>t,o</sub>, k\*K<sub>mod</sub>) / gamma m

**f<sub>t,o,k</sub>** – resistenza caratteristica a trazione = 14 MPa (materiale C24)

**K<sub>mod</sub>** – 0.9

**Gamma m** – 1.25

$$\sigma_{t,1,y} = n_{t,1,y} / d1$$

Dove:

**n<sub>t,1,y</sub>** = sollecitazione a trazione in direz. y

**d1** = spessore efficace del pannello in dir. y = 40mm

NUOVA SCUOLA DELL'INFANZIA A SEI SEZIONI in località CASTELLO di SERRAVALLE

viale G. Verdi - COMUNE DI VALSAMOGGIA (BO)

**PROGETTO ESECUTIVO**

RELAZIONE DI CALCOLO STRUTTURALE BLOCCO D

---

**-verifiche alo SLE –**

**- controllo delle deformazioni a breve termine  $w_{q,inst, camp}$**

Deve essere verificata la relazione :  $w_{q,inst, camp} < L/300$

Dove:

L= luce della trave

$w_{q,inst, camp}$  = deformazione istantanea

**- controllo delle deformazioni a lungo termine  $w_{net, fin, camp}$**

Deve essere verificata la relazione :  $w_{net, fin, camp} < L/200$

La trave parete è un pannello multistrato di legno (X-LAM) a strati incrociati di 90°; la modellazione svolta è quella di una lastra ORTOTROPA avente spessore in X (direzione orizzontale) pari alla somma degli strati di legno disposti orizzontalmente, e spessore in Y (direzione verticale) pari alla somma degli strati disposti verticalmente.

La verifica di resistenza viene svolta separatamente nelle due direzioni principali considerando la sezione resistente parziale in X e in Y rispettivamente. I valori di tensione riportati sono in kN/m in quanto riferiti ad unità di spessore.

NUOVA SCUOLA DELL'INFANZIA A SEI SEZIONI in località CASTELLO di SERRAVALLE

viale G. Verdi - COMUNE DI VALSAMOGGIA (BO)

**PROGETTO ESECUTIVO**

RELAZIONE DI CALCOLO STRUTTURALE BLOCCO D

**SINTESI VERIFICHE TRAVE LEGNO LAMELLARE GL24 H**

Per tutte le travi in legno lamellare ( diverse dalla trave x-lam) e per gli arcarecci sono stati utilizzati appositi fogli excel.

Per tutte le travi sono state svolte le seguenti verifiche:

**VERIFICHE ALLO SLU-VERIFICHE DI RESISTENZA**

**Valori di riferimento**

Legno lamellare di conifera GL 24h

**Resistenze caratteristiche [MPa]**

|           |               |
|-----------|---------------|
| flessione | $f_{m,k}$ 24  |
| taglio    | $f_{v,k}$ 2,7 |

**Modulo elastico [MPa]**

modulo elastico medio parallelo alla fibratura  $E_{0,mean}$  11600

**Valori di progetto**

Le resistenze di progetto sono valutate mediante la relazione:

$$X_d = \frac{k_{mod} \cdot X_k}{\gamma_M} \text{ dove } \gamma_M = 1,45 \text{ e } k_{mod} = 0,9$$

**Resistenze di progetto per la combinazione significativa [MPa]**

|           |                |
|-----------|----------------|
| flessione | $f_{m,d}$ 14,9 |
| taglio    | $f_{v,d}$ 1,68 |

**Verifica a momento flettente e instabilità flesso-torsionale all'appoggio e in campata**

La verifica a flessione prevede la seguente disuguaglianza:  $\sigma_{m,d} \leq k_{crit} \cdot f_{m,d}$ ,

dove :

-coefficiente di instabilità flesso-torsionale  $k_{crit}$  è assunto unitario poiché il pacchetto di copertura impedisce lo sbandamento della trave.

$$-W = (b \cdot h^2) / 6$$

$$- \sigma_{m,d} = M_{d,MAX} / W$$

**Verifica a taglio all'appoggio**

La verifica prevede la seguente disuguaglianza:  $\tau_d \leq f_{v,d}$ ,

dove:

$$- \tau_d = (1,5 \cdot V_d) / (k_{cr} \cdot b \cdot h)$$

**NUOVA SCUOLA DELL'INFANZIA A SEI SEZIONI in località CASTELLO di SERRAVALLE**

viale G. Verdi - COMUNE DI VALSAMOGGIA (BO)

**PROGETTO ESECUTIVO**

RELAZIONE DI CALCOLO STRUTTURALE BLOCCO D

---

-kcr = 0,67

**Verifica a schiacciamento sugli appoggi**

Deve essere verificata la relazione :  $sc_{,90} / (f_{c,90,d} * k_{c,90}) < 1$

Dove:

$sc_{,90} = F_{d,90} / A_{eff}$

$A_{eff} = b_{eff} * h_s =$  Area all'appoggio sul pilastro

$F_{d,90}$  = reazione massima all'appoggio

**VERIFICHE ALLO SLE ELEMENTI SECONDARI (ARCARECCI)- Controllo delle deformazioni**

**- controllo delle deformazioni a breve termine  $w_{q,inst, camp}$**

Deve essere verificata la relazione :  $w_{q,inst, camp} < L/200$

Dove:

L= luce della trave

$w_{q,inst, camp}$  = deformazione istantanea dovuta ai carichi accidentali

**- controllo delle deformazioni a lungo termine  $W_{q, fin}$  e  $W_{fin}$**

Deve essere verificata la relazione :  $w_{q, fin, camp} < L/200$

Deve essere verificata la relazione :  $w_{, fin, camp} < L/200$

Dove:

L= luce della trave

$w_{q,fin}$  = deformazione finale dovuta ai carichi accidentali

$w_{,fin}$  = deformazione finale dovuta ai carichi totali

**VERIFICHE ALLO SLE ELEMENTI PRIMARI ( TRAVI ) - Controllo delle deformazioni**

**- controllo delle deformazioni a breve termine  $w_{q,inst, camp}$**

Deve essere verificata la relazione :  $w_{q,inst, camp} < L/500$

Dove:

**NUOVA SCUOLA DELL'INFANZIA A SEI SEZIONI in località CASTELLO di SERRAVALLE**

**viale G. Verdi - COMUNE DI VALSAMOGGIA (BO)**

**PROGETTO ESECUTIVO**

**RELAZIONE DI CALCOLO STRUTTURALE BLOCCO D**

---

L= luce della trave

wq,inst, camp = deformazione istantanea dovuta ai carichi accidentali

**- controllo delle deformazioni a lungo termine Wq, fin e Wfin**

Deve essere verificata la relazione :  $w_{q, fin, camp} < L/300$

Deve essere verificata la relazione :  $w_{fin, camp} < L/350$

Dove:

L= luce della trave

wq,fin = deformazione finale dovuta ai carichi accidentali

w,fin = deformazione finale dovuta ai carichi totali

**Note nella verifica delle travi in legno:**

**-dimensionamento degli arcarecci:**

Nel modello globale è stata considerata un'analisi dei carichi a favore di sicurezza dove i carichi permanenti strutturali G1 sono 60Kg/mq, ovvero:

-pannello OSB = 15 Kg/mq

-arcarecci = 45Kg/mq

Per il dimensionamento degli arcarecci sono stati utilizzati appositi fogli excell dove è stato valutato il peso proprio effettivo di ogni arcareccio, che non supera mai il valore cautelativo di 45Kg/mq utilizzato nel modello globale. I carichi G1 presentano per questo leggere differenze nell'analisi dei carichi rispetto al modello globale.

**-dimensionamento degli arcarecci:**

Gli arcarecci e le travi di colmo sono sempre in luce tra le travi principali ma per il loro dimensionamento è stata utilizzata, a favore di sicurezza, una luce pari alla distanza tra gli assi e non la distanza netta tra le travi

**-dimensionamento degli arcarecci:**

la copertura è a falde inclinate (inclinazione di 12° rispetto al piano orizzontale), quindi tutti gli arcarecci a sezione rettangolare sono inclinati.

I carichi verticali q sono quindi stati scomposti nelle due direzioni Z ed Y perpendicolari/parallele alla sezione della trave.

**-dimensionamento dei collegamenti arcarecci - travi principali :**

tutti gli arcarecci sono collegati alle travi principali con il sistema Ricon-S, opportunamente dimensionato.

**NUOVA SCUOLA DELL'INFANZIA A SEI SEZIONI in località CASTELLO di SERRAVALLE**
**viale G. Verdi - COMUNE DI VALSAMOGGIA (BO)**
**PROGETTO ESECUTIVO**
**RELAZIONE DI CALCOLO STRUTTURALE BLOCCO D**

In corrispondenza del dettaglio 02 non è possibile utilizzare questo sistema perché è presente la piastra di collegamento trave –pilastro. E' quindi stato studiato il collegamento tipo N204

**SINTESI VERIFICHE DEI COLLEGAMENTI**

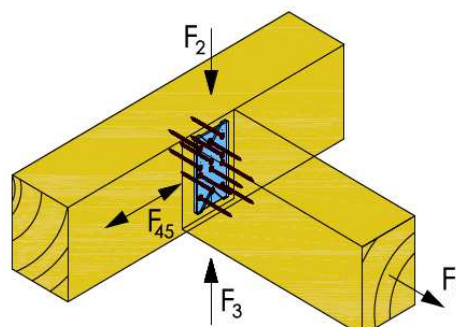
Per la verifica delle connessioni legno-legno e legno-C.A., nella maggiore parte dei casi, sono sempre stati utilizzati fogli di calcolo prodotti con il programma Excel della società produttrice Microsoft Corporation. Le sollecitazioni di verifica sono state ricavate dall'analisi globale, considerando gli effetti sia dei carichi ordinari, sia dell'azione sismica di progetto. Per alcune connessioni, è stato previsto l'impiego di sistemi di collegamento di produzione industriale brevettati, per i quali è lo stesso produttore a fornire i valori di resistenza, in maniera ufficiale, a mezzo di benestare tecnico.

**VERIFICA COLLEGAMENTO TRAVETTI-TRAVI CON SISTEMA RICON-S**

Vengono individuate le due direzioni di sollecitazione dell'elemento di connessione ( $F_2$  ed  $F_{45}$ , v. illustrazione), e per ciascuna di esse viene determinato il valore caratteristico di resistenza (rispettivamente  $F_{2,rd}$  e  $F_{45,rd}$ ) sulla base delle indicazioni fornite dal fascicolo tecnico del produttore, in conformità alla normativa EN 1995:2008 in accordo a ETA (v. tabelle a seguire).

Le rispettive azioni sollecitanti  $F_{2,ed}$  ed  $F_{45,ed}$  sono quelle calcolate nell'ambito delle verifiche di resistenza degli elementi oggetto di studio, nei rispettivi paragrafi della presente relazione.

La verifica della resistenza del collegamento avviene combinando i valori così determinati nelle varie direzioni di sollecitazione, utilizzando la formula:



$$\left( \frac{F_{1,Ed}}{F_{1,Rd}} \right)^2 + \left( \frac{F_{23,Ed}}{F_{23,Rd}} \right)^2 + \left( \frac{F_{45,Ed}}{F_{45,Rd}} \right)^2 \leq 1$$

Determinazione della resistenza per sforzo di taglio in direzione verticale ( $F_{2,rd}$ )

**RICON® S60 VS + EK**
**Charact. values [kN]**

| KNAPP® Connector                                                                      | Wood material           | Char. density $\rho_k$ [kg/m³] | Min. Joint cross section [mm] | $F_{2,Rd,EN}$<br>$\gamma_M=1,0$ | $F_{2,Rd}$ |
|---------------------------------------------------------------------------------------|-------------------------|--------------------------------|-------------------------------|---------------------------------|------------|
| RICON® S 140x60 min<br>Joint: 7 CS 8x160 mm<br>Header: 7 CS 8x80 mm<br>Version EK, VS | C24                     | 350                            | 100/160                       | 34,00                           | 34,20      |
|                                                                                       | GL 24h                  | 380                            |                               |                                 | 36,00      |
|                                                                                       | GL 28h                  | 410                            |                               |                                 | 37,80      |
|                                                                                       | CLT                     | 400                            |                               |                                 | 37,20      |
|                                                                                       | D30 (GL <sub>18</sub> ) | 530                            |                               |                                 | 44,60      |
|                                                                                       | D50 (GL <sub>18</sub> ) | ≥ 590                          |                               |                                 | 47,80      |

**NUOVA SCUOLA DELL'INFANZIA A SEI SEZIONI in località CASTELLO di SERRAVALLE**
**viale G. Verdi - COMUNE DI VALSAMOGGIA (BO)**
**PROGETTO ESECUTIVO**
**RELAZIONE DI CALCOLO STRUTTURALE BLOCCO D**

$$F_{2,Rd} = \min \left\{ \begin{array}{l} \frac{k_{mod} \cdot F_{2,Rk}}{\gamma_M} \\ F_{KCC,2,Rk} / \gamma_M \end{array} \right.$$

La resistenza caratteristica è data dal valore minimo tra la resistenza di progetto lato legno ( $F_{2,Rk}$ ) e la resistenza di progetto lato acciaio ( $F_{KCC,2,Rk}$ ), dove:

-  $k_{mod} = 0,90$

-  $\gamma_M = 1,50$  (lato legno),  $1,00$  (lato acciaio)

Determinazione della resistenza per sforzo di taglio in direzione orizzontale ( $F_{45,Rd}$ )

**RICON® S60 EK,GK, VS**
**Charact. values [kN]**

| KNAPP® Connector                                                                      | Wood material          | Char. density $\rho_k$ [kg/m³] | Min. Joint cross section [mm] | $F_{45,KCC,Rk}$<br>$\gamma_M=1,0$ | $F_{45,Rk}$ |
|---------------------------------------------------------------------------------------|------------------------|--------------------------------|-------------------------------|-----------------------------------|-------------|
| RICON® S 140x60<br>Joint: 7 CS 8x160 mm<br>Header: 7 CS 8x80 mm<br>Version EK, GK, VS | C24                    | 350                            | 100/160                       | 34,0                              | 28,51       |
|                                                                                       | GL24h                  | 380                            |                               |                                   | 30,17       |
|                                                                                       | GL28h                  | 410                            |                               |                                   | 31,79       |
|                                                                                       | CLT                    | 400                            |                               |                                   | 31,30       |
|                                                                                       | D30 (GL <sub>h</sub> ) | 530                            |                               |                                   | 37,91       |
|                                                                                       | D50 (GL <sub>h</sub> ) | ≥ 590                          |                               |                                   | 40,80       |

$$F_{4,Rd} = \min \left\{ \begin{array}{l} \frac{k_{mod} \cdot F_{4,Rk}}{\gamma_M} \\ F_{KCC,4,Rk} / \gamma_M \end{array} \right.$$

La resistenza caratteristica è data dal valore minimo tra la resistenza di progetto lato legno ( $F_{2,Rk}$ ) e la resistenza di progetto lato acciaio ( $F_{KCC,2,Rk}$ ), dove:

-  $k_{mod} = 0,90$

-  $\gamma_M = 1,50$  (lato legno),  $1,00$  (lato acciaio)

NUOVA SCUOLA DELL'INFANZIA A SEI SEZIONI in località CASTELLO di SERRAVALLE

viale G. Verdi - COMUNE DI VALSAMOGGIA (BO)

**PROGETTO ESECUTIVO**

RELAZIONE DI CALCOLO STRUTTURALE BLOCCO D

**VERIFICA COLLEGAMENTO –UNIONE ACCIAIO / LEGNO**

**( da istruzione per la progettazione, esecuzione e controllo delle strutture in legno –CNR-DT 206 / 2007 )  
–cap.**

Il collegamento avverrà attraverso una piastra di sp.10mm passante all'interno della trave in legno di sez. 20x44cm, attraverso bulloni di classe 5.6

Verifica allo stato limite ultimo :  $F_{sd}/F_{rd} < 1$

**F<sub>sd</sub>**= azione sollecitante allo stato limite ultimo derivante dal dimensionamento delle travi.

In particolare si ha:

**Fissaggio N101** (Fissaggio trave T102 sul pilastro-unità strutturale D e E) –  $F_{sd}$ =Valore del taglio in corrispondenza dell'appoggio

**Fissaggio N201** (Fissaggio travi principali sui pilastri- unità strutturale A,B,C,D,E) –  $F_{sd}$  è stato calcolato nelle condizioni statiche e sismiche

**Fissaggio N202** (Fissaggio travi di colmo tipo T206 sulle travi principali - unità strutturale A,B,C,D,E) –  $F_{sd}$ = Valore del taglio in corrispondenza dell'appoggio

**Fissaggio N203** (Fissaggio trave T203 sulle colonne in c.a-unità strutturale D,E.) –  $F_{sd}$ = Valore del taglio in corrispondenza dell'appoggio

**Fissaggio N204** (Fissaggio travetti sulle colonne in c.a-unità strutturale D,E,A,B.) –  $F_{sd}$ = Valore del taglio travetti S202 in corrispondenza dell'appoggio

**F<sub>rd</sub>**= azione resistente (valutata secondo l' "istruzione per la progettazione, esecuzione e controllo delle strutture in legno –CNR-DT 206 / 2007" )

$F_{rd}$ = n. bulloni collegamento \*  $F_{v,dr}$  (capacità portante di progetto complessiva dell'unione)

$F_{v,rd}$  =  $F_{v,rk}$  \* (gamma m /  $K_{mod}$  ) (capacità portante di progetto del singolo mezzo di unione)

$F_{v,rk}$  = valore caratteristico della capacità portante per il mezzo di unione taglio (cap7.8.2.3. p.to C -CNR-DT 206 / 2007 )

**NUOVA SCUOLA DELL'INFANZIA A SEI SEZIONI in località CASTELLO di SERRAVALLE**

**viale G. Verdi - COMUNE DI VALSAMOGGIA (BO)**

**PROGETTO ESECUTIVO**

RELAZIONE DI CALCOLO STRUTTURALE BLOCCO D

---

Il valore caratteristico della capacità portante, per ciascun mezzo di unione e piano di taglio, sarà assunto come il minore dei valori ottenibili dalle formule seguenti

C) per unioni a doppio piano di taglio con piastra di acciaio di qualsiasi spessore posta in posizione centrale:

$$F_{v,Rk} = \min \left\{ \begin{array}{l} f_{h,k} t_1 d \quad (f) \\ f_{h,k} t_1 d \left[ \sqrt{2 + \frac{4M_{y,k}}{f_{h,k} d t_1^2}} - 1 \right] + \frac{F_{ax,Rk}}{4} \quad (g) \\ 2.3 \sqrt{M_{y,k} f_{h,1,k}} d + \frac{F_{ax,Rk}}{4} \quad (h) \end{array} \right. \quad (7.12)$$

Nelle espressioni precedenti il primo termine è la resistenza calcolata secondo la teoria di Johansen, mentre il secondo termine  $F_{ax,Rk}/4$  è il contributo dell'effetto tirante.

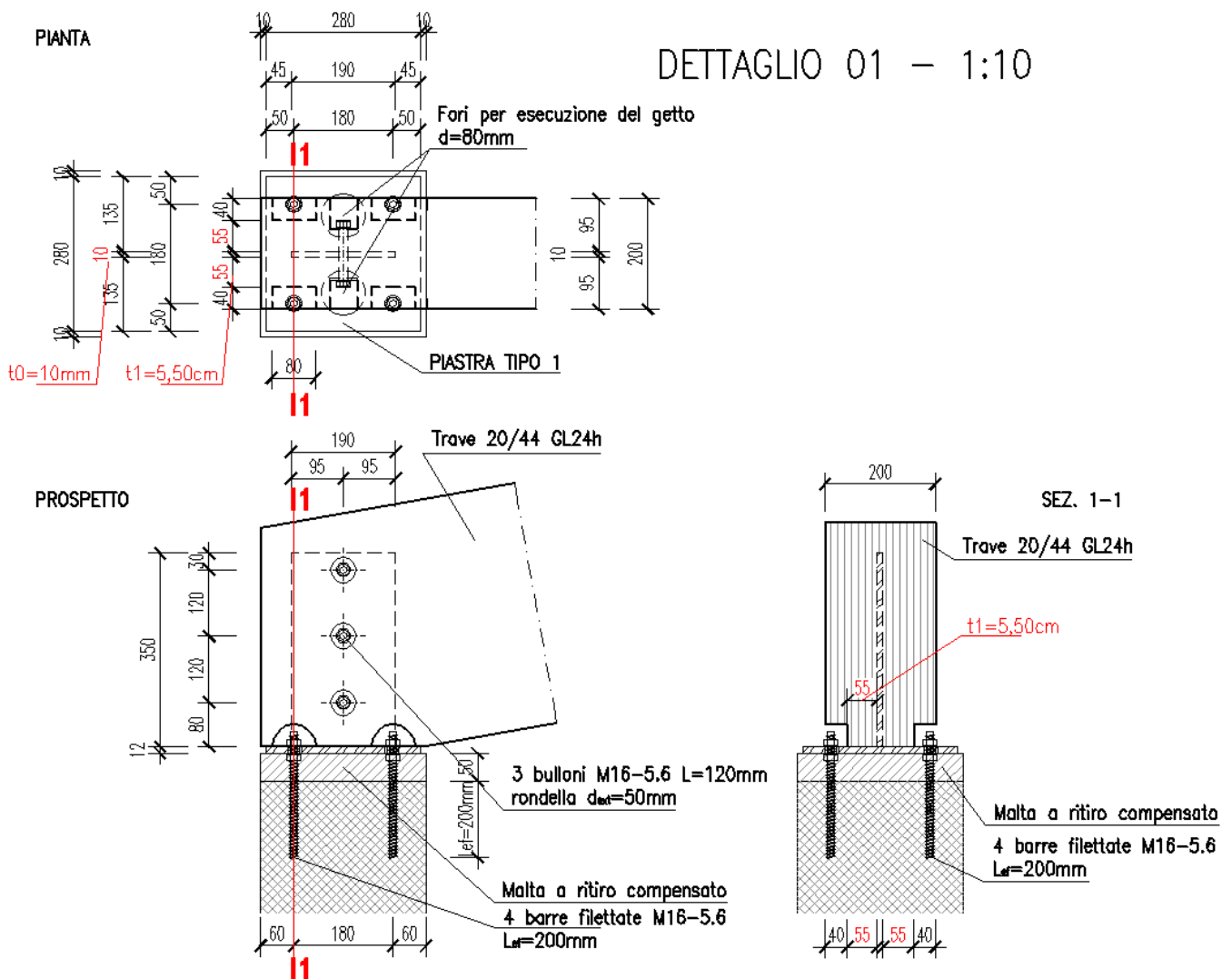
I termini indicati sopra si riferiscono a :

$f_{h,k}$  = valore caratteristico della resistenza a rifollamento del legno

$t_1$  = spessore dell'elemento in legno nella parte più stretta ( qui valutata in corrispondenza delle tasche per il posizionamento dei connettori)

**NUOVA SCUOLA DELL'INFANZIA A SEI SEZIONI in località CASTELLO di SERRAVALLE**
**viale G. Verdi - COMUNE DI VALSAMOGGIA (BO)**
**PROGETTO ESECUTIVO**
**RELAZIONE DI CALCOLO STRUTTURALE BLOCCO D**
**Giustificazione valore  $t_1 = 5,50\text{cm}$ -dimensionamento del collegamento tipo N201**

Nel dimensionamento del collegamento è stato considerato  $t_1$ = spessore del legno = 5,50cm. IL valore si riferisce alla metà della base della trave 20x44cm (quindi metà di 20cm) decurtata dello spessore della piastra di sp.10mm. Il valore è stato considerato nel punto dove è presente la tasca/rientranza necessaria per l'inserimento dei tirafondi. Si ha quindi  $t_1=5,50\text{cm}$



**NUOVA SCUOLA DELL'INFANZIA A SEI SEZIONI in località CASTELLO di SERRAVALLE**

**viale G. Verdi - COMUNE DI VALSAMOGGIA (BO)**

**PROGETTO ESECUTIVO**

RELAZIONE DI CALCOLO STRUTTURALE BLOCCO D

---

$d$  = diametro del mezzo di unione ( diametro del connettore)

$M_{yk}$  = momento di snervamento caratteristico del mezzo di unione

$f_{h1,k}$  = resistenze caratteristiche a rifollamento negli elementi di legno caratterizzati rispettivamente dallo spessore  $t_1$

$F_{ax,Rk}/4$  è il contributo dell'effetto tirante.

**Il valore caratteristico del momento di snervamento,  $M_{y,Rk}$ , è pari a (cap.8 formula 8.31 norma UNI-En 1995-1-1- Eurocodice 5):**

$$f_{h,\alpha,k} = \frac{f_{h,0,k}}{k_{90} \sin^2 \alpha + \cos^2 \alpha}$$

$$f_{h,0,k} = 0,082 (1 - 0,01 d) \rho_k$$

where:

$$k_{90} = \begin{cases} 1,35 + 0,015 d & \text{for softwoods} \\ 1,30 + 0,015 d & \text{for LVL} \\ 0,90 + 0,015 d & \text{for hardwoods} \end{cases}$$

(nel nostro caso:  $\alpha=12^\circ$ ,  $d=16\text{mm}$ , densità caratteristica  $\rho_k=380\text{kg/m}^3$  (come indicato in verifica) e  $k_{90}=1,35+0,015d$ )

**Il valore caratteristico della resistenza a rifollamento del legno lamellare,  $M_{y,Rk}$ , è pari a (cap.8 formula 8.3 norma UNI-En 1995-1-1- Eurocodice 5):**

$$M_{y,Rk} = 0,3 f_{u,k} d^{2,6}$$

nel nostro caso:  $f_{uk}=500\text{N/mm}^2$ ,  $d=16\text{mm}$

NUOVA SCUOLA DELL'INFANZIA A SEI SEZIONI in località CASTELLO di SERRAVALLE

viale G. Verdi - COMUNE DI VALSAMOGGIA (BO)

**PROGETTO ESECUTIVO**

RELAZIONE DI CALCOLO STRUTTURALE BLOCCO D

---

**VERIFICA TIRAFONDI**

Sono stati verificati i tirafondi relativi ai nodi trave in legno / pilastro in c.a.

Il fissaggio ai pilastri in c.a. avverrà attraverso 4 barre filettate M16-5.6 di lunghezza 200mm. Si verifica qui il tirafondo più sollecitato

**1-Controllo interasse e distanze dai bordi.**

Devono essere verificate le relazioni:

$$e_{1,min} = 1,2 \times d_0$$

$$p_{1,min} = 2,2 \times d_0$$

$$e_{2,min} = 1,5 \times d_0$$

$$p_{2,min} = 3,0 \times d_0$$

**2-Verifica delle viti a momento flettente**

Verifica:  $M_{Ed} / M_{Rd,pl} \leq 1$

Dove:

$$-M_{Ed} = (t_R + \Delta h + d/3) \times F_{V,Sd}$$

$$\Delta h = 0$$

$F_{V,Sd1}$  (statica) = Sollecitazione a taglio all'appoggio da progetto comb. statica

$F_{V,Sd2}$  (sismica) = Sollecitazione a taglio all'appoggio da progetto comb. sismica

$t_R$  = spessore di contatto = spessore della piastra

$d$  = diametro del tirafondo

$$-M_{pl,Rd} = k_2 \times W_{pl} \times f_{yb} / \gamma_{m0}$$

$$k_2 = 0,9$$

$$W_{pl} = dS^3/6$$

$$dS = (AS \times 4 / \pi) * (AS \times 4 / \pi)$$

$$F_{yb} = 300 \text{ N/mm}^2$$

NUOVA SCUOLA DELL'INFANZIA A SEI SEZIONI in località CASTELLO di SERRAVALLE

viale G. Verdi - COMUNE DI VALSAMOGGIA (BO)

**PROGETTO ESECUTIVO**

RELAZIONE DI CALCOLO STRUTTURALE BLOCCO D

---

$$\gamma_{m0} = 1,1$$

**3-Verifica delle viti a trazione e momento**

$$\text{Verifica: } F_{t,Sd} / (n \times F_{t,Rd}) + M_{Ed} / (n \times M_{pl,Rd}) \leq 1$$

$F_{v,Sd1}$  (statica) = Sollecitazione a taglio all'appoggio da progetto comb. statica

$F_{v,Sd2}$  (sismica) = Sollecitazione a taglio all'appoggio da progetto comb. sismica

$F_{t,Rd} = k_2 \times A_S \times f_{ub} / \gamma_{m2}$  (resistenza a trazione del tirafondo)

$$M_{Ed} = (t_R + \Delta h + d/3) \times F_{V,Sd}$$

$$M_{pl,Rd} = k_2 \times W_{pl} \times f_{yb} / \gamma_{m0}$$

**4-Verifica delle viti a trazione, momento e taglio**

$$\text{Verifica: } F_{v,Sd} / (n_s \times n \times F_{v,Rd}) + F_{t,Sd} / (n \times F_{t,Rd}) + M_{Ed} / (1,4 \times n \times M_{pl,Rd}) \leq$$

$F_{v,Sd1}$  (statica) = Sollecitazione a taglio all'appoggio da progetto comb. statica

$F_{v,Sd2}$  (sismica) = Sollecitazione a taglio all'appoggio da progetto comb. Sismica

$F_{v,Rd} = \alpha_V \times A_S \times f_{ub} / \gamma_{m2}$  (resistenza a taglio del tirafondo nella parte filettata)

$F_{t,Rd} = k_2 \times A_S \times f_{ub} / \gamma_{m2}$  (resistenza a trazione del tirafondo)

$$F_{t,sd} = 0$$

$$M_{Ed} = (t_R + \Delta h + d/3) \times F_{V,Sd}$$

$$M_{pl,Rd} = k_2 \times W_{pl} \times f_{yb} / \gamma_{m0}$$

NUOVA SCUOLA DELL'INFANZIA A SEI SEZIONI in località CASTELLO di SERRAVALLE

viale G. Verdi - COMUNE DI VALSAMOGGIA (BO)

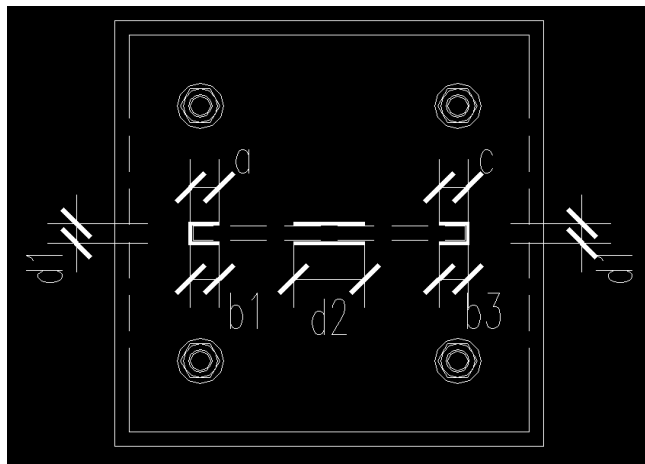
**PROGETTO ESECUTIVO**

RELAZIONE DI CALCOLO STRUTTURALE BLOCCO D

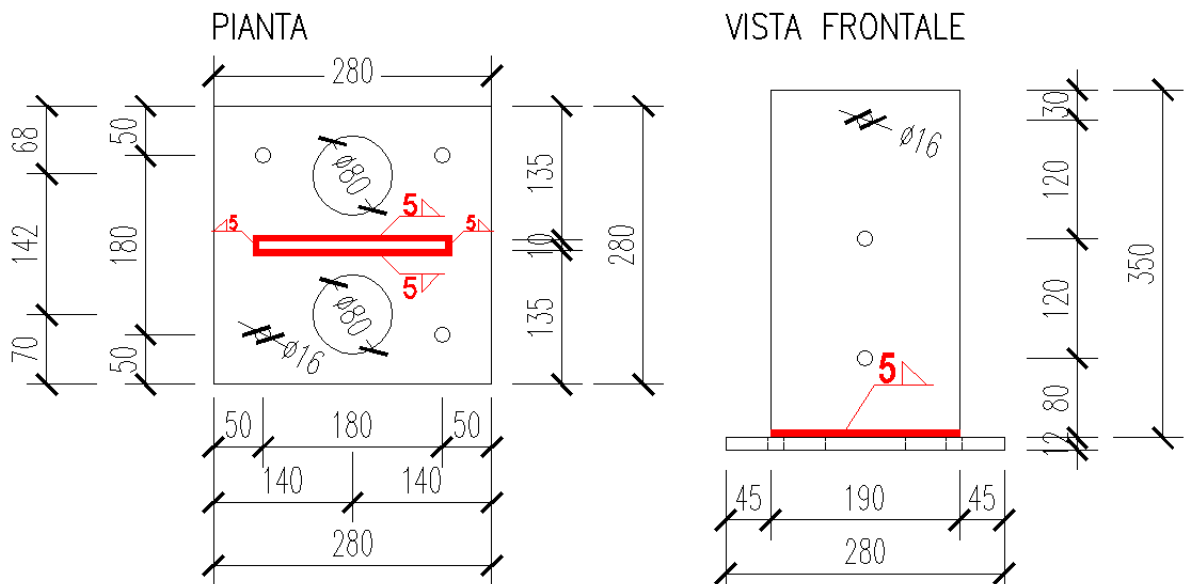
**VERIFICA SALDATURA**

E' stata dimensionata la configurazione minima della saldatura che permette di soddisfare tutte le verifiche. Nelle tavole grafiche, a favore di sicurezza, è stato indicato un cordone di saldatura di dimensioni maggiori.

Configurazione minima della saldatura verificata:



Prescrizione costruttiva:



**1-Verifiche allo stato limite ultimo**

Verifica:  $f_{Sd} / f_{vw,d} \leq 1$ :

**NUOVA SCUOLA DELL'INFANZIA A SEI SEZIONI in località CASTELLO di SERRAVALLE**

**viale G. Verdi - COMUNE DI VALSAMOGGIA (BO)**

**PROGETTO ESECUTIVO**

RELAZIONE DI CALCOLO STRUTTURALE BLOCCO D

---

$$f_{Sd} = (\sigma_{Sd,max}^2 + \tau_y^2 + \tau_z^2)^2$$

$\sigma_{Sd,max}$  = è il valore massimo tra:

$$\sigma_{Sd1} = N_{Sd}/A + M_{y,Sd}/W_y + M_{z,Sd}/W_z$$

$$\sigma_{Sd2} = N_{Sd}/A - M_{y,Sd}/W_y + M_{z,Sd}/W_z$$

$$\sigma_{Sd3} = N_{Sd}/A + M_{y,Sd}/W_y - M_{z,Sd}/W_z$$

$$\sigma_{Sd4} = N_{Sd}/A - M_{y,Sd}/W_y - M_{z,Sd}/W_z$$

(qui  $\sigma_{Sd,max} = 0$ )

$$\tau_y = V_{z,Sd} / A_{v,z}$$

$$\tau_z = V_{y,Sd} / A_{v,y}$$

$$f_{vw,d} = f_u / (\sqrt{3} \times \beta_w \times \gamma_{Mw})$$

con:

$$\beta_w = 0,80$$

$$\gamma_{Mw} = 1,25$$

$$f_u = 360 \text{ N/mm}^2$$

**1-Controllo prescrizioni costruttive**

Verifica:  $2 \leq \sqrt{t_{max}-0,5} \leq a \leq 0,7 \times t_{min}$

Con  $t_{min} = t_{max} = 10\text{mm}$

**NUOVA SCUOLA DELL'INFANZIA A SEI SEZIONI in località CASTELLO di SERRAVALLE**
**viale G. Verdi - COMUNE DI VALSAMOGGIA (BO)**
**PROGETTO ESECUTIVO**
**RELAZIONE DI CALCOLO STRUTTURALE BLOCCO D**
**TABELLA RIEPILOGATIVA DELLE VERIFICHE SVOLTE SUI COLLEGAMENTI**

| NOME      | DESCRIZIONE                                            | AZIONE SOLLECITANTE                                                                                                       |                                                          | AZIONE RESISTENTE                                                                                                                                                                        |                                                                | VERIFICA |    |
|-----------|--------------------------------------------------------|---------------------------------------------------------------------------------------------------------------------------|----------------------------------------------------------|------------------------------------------------------------------------------------------------------------------------------------------------------------------------------------------|----------------------------------------------------------------|----------|----|
| RICON     | Collegamento travetti-trave                            | Reazione agli appoggi dei travetti tipo S202 ( $V_z = F_{2,ed} =$ azione verticale, $V_y = F_{45,ed} =$ azione di taglio) | $F_{2,ed} = 12,80$ kN<br>$F_{45,ed} = 5,20$ kN           | $R_d =$ valore resistente minimo tra lato acciaio e lato legno secondo tabelle del produttore (combinando la resistenza di taglio verticale $F_{2,rd}$ con quella laterale $F_{45,rd}$ ) | $F_{2,rd} = 21,60$ kN<br>$F_{45,rd} = 18,10$ kN                | 0,43     | OK |
| RICON-101 | Collegamento trave-travetti tipo S101                  | Reazione agli appoggi dei travetti tipo S202 ( $V_z = F_{2,ed} =$ azione verticale, )                                     | $F_{2,ed} = 21,70$ kN                                    | $R_d =$ valore resistente minimo tra lato acciaio e lato legno secondo tabelle del produttore (resistenza di taglio verticale $F_{2,rd}$ )                                               | $F_{2,rd} = 25,92$ kN                                          | 0,84     | OK |
| N101      | Fissaggio trave 102 su pilastro - U.S. D-E             | $F_{s,d} =$ valore del taglio in corrispondenza dell'appoggio                                                             | $F_{sd} = 70,60$ kN                                      | $F_{rd} = n * F_{v,rd}$                                                                                                                                                                  | $F_{rd} = 80,03$ kN                                            | 0,88     | OK |
| N201      | Fissaggio travi principali sui pilastri - US A-B-C-D-E | $F_{s,d} =$ valore del taglio in corrispondenza dell'appoggio (in condizioni statiche)                                    | 8,33                                                     | $F_{rd} = n * F_{v,rd}$                                                                                                                                                                  | 38,44                                                          | 0,22     | OK |
| N201      | Fissaggio travi principali sui pilastri - US A-B-C-D-E | $F_{s,d} =$ valore del taglio in corrispondenza dell'appoggio (in condizioni sismiche)                                    | 16,50                                                    | $F_{rd} = n * F_{v,rd}$                                                                                                                                                                  | 50,73                                                          | 0,32     | OK |
| N201      | Verifica distanza tra i fori e distanze dai bordi      | (v. tabelle di verifica)                                                                                                  |                                                          |                                                                                                                                                                                          |                                                                |          | OK |
| N201      | Verifica tirafondi a momento flettente                 | Med                                                                                                                       | 6,29                                                     | $M_{pl,rd}$                                                                                                                                                                              | 11,56                                                          | 0,55     | OK |
| N201      | Verifica tirafondi a trazione e momento                | $F_{ts,d}$<br>$M_{e,d}$                                                                                                   | $F_{ts,d} = 0$<br>$M_{e,d} = 6,29$                       | $F_{trd}$ ,<br>$M_{pl,rd}$                                                                                                                                                               | $F_{trd} = 56,52$<br>$M_{pl,rd} = 11,56$                       | 0,55     | OK |
| N201      | Verifica delle viti a trazione, momento e taglio       | $F_{vs,d}$<br>$F_{ts,d}$<br>$M_{e,d}$                                                                                     | $F_{v,sd} = 16,50$<br>$F_{ts,d} = 0$<br>$M_{e,d} = 6,29$ | $F_{vrd}$ ,<br>$F_{trd}$ ,<br>$M_{pl,rd}$                                                                                                                                                | $F_{v,rd} = 37,68$<br>$F_{trd} = 56,52$<br>$M_{pl,rd} = 11,56$ | 0,21     | OK |
| N201      | Verifica saldatura                                     | $F_{s,d}$                                                                                                                 | 4,11                                                     | $F_{vw,d}$                                                                                                                                                                               | 20,78                                                          | 0,20     | OK |

**NUOVA SCUOLA DELL'INFANZIA A SEI SEZIONI in località CASTELLO di SERRAVALLE**
**viale G. Verdi - COMUNE DI VALSAMOGGIA (BO)**
**PROGETTO ESECUTIVO**
**RELAZIONE DI CALCOLO STRUTTURALE BLOCCO D**

|      |                                                                          |                                                                        |       |                         |       |      |    |
|------|--------------------------------------------------------------------------|------------------------------------------------------------------------|-------|-------------------------|-------|------|----|
| N202 | Fissaggio travi di colmo tipo T206 sulle travi principali - US A-B-C-D-E | Fs,d= valore del taglio in corrispondenza dell'appoggio                | 8,21  | $F_{rd} = n * F_{v,rd}$ | 17,3  | 0,47 | OK |
| N203 | Fissaggio trave T203 sulle colonne in c.a. US D-E                        | Fs,d = valore del taglio in corrispondenza dell'appoggio               | 45,98 | $F_{rd} = n * F_{v,rd}$ | 74,23 | 0,62 | OK |
| N204 | Fissaggio travetti sulle colonne in c.a. - US D-E-A-B                    | Fs,d = valore del taglio travetti S202 in corrispondenza dell'appoggio | 12,8  | $F_{rd} = n * F_{v,rd}$ | 23,28 | 0,55 | OK |

NUOVA SCUOLA DELL'INFANZIA A SEI SEZIONI in località CASTELLO di SERRAVALLE

viale G. Verdi - COMUNE DI VALSAMOGGIA (BO)

**PROGETTO ESECUTIVO**

RELAZIONE DI CALCOLO STRUTTURALE BLOCCO D

**VERIFICA SOLAIO CON CAPPА COLLABORANTE**

1. Verifiche allo stato limite ultimo

**1.1 Verifiche delle tensioni per deformazione iniziale**

1.1.1 Tensioni nei baricentri:

Verifica:  $\sigma_{Sd,legno,i} / f_{tRd} \leq 1$

nel cls:  $\sigma_{Sd,i} = M_{Sd} / (E_{ly})_{ef} \times y_i \times a_i \times E_i$

nel legno:  $\sigma_{Sd,i} = M_{Sd} / (E_{ly})_{ef} \times y_i \times a_i \times E_i$

1.1.2 Verifica delle tensioni tangenziali massime:

Verifica:  $\sigma_{m,c,Sd,o} \times y_c / f_{ck} \leq 1$

nel cls:  $\sigma_{m,c,Sd,o} = \sigma_{Sd,i} - M_{Sd} / (E_{ly})_{ef} \times h_i / 2 \times E_i$

Verifica:  $\sigma_{m,c,Sd,u} \times y_c / 0,7 \times f_{ctm} \leq 1$

$\sigma_{m,c,Sd,u} = \sigma_{Sd,i} + M_{Sd} / (E_{ly})_{ef} \times h_i / 2 \times E_i$

Verifica:  $\sigma_{Sd,legno,i} / f_{t,Rd} + \sigma_{Sd,legno,m} / f_{m,Rd} \leq 1$

nel legno:  $\sigma_{m,h,Sd,o} = M_{Sd} / (E_{ly})_{ef} \times h_i / 2 \times E_i$

1.1.3 Forza agente sui connettori:

$F_{Sd,i} = V_{Sd} / (E_{ly})_{ef} \times y_i \times a_i \times E_i \times A_{i \times s_i}$

**1.2 Tensioni per deformazione finale**

1.2.1 Tensioni nei baricentri:

Verifica:  $\sigma_{Sd,Holz,i} / f_{tRd} \leq 1$

nel cls:  $\sigma_{Sd,i} = M_{Sd} / (E_{ly})_{ef} \times y_i \times a_i \times E_i$

**NUOVA SCUOLA DELL'INFANZIA A SEI SEZIONI in località CASTELLO di SERRAVALLE**

**viale G. Verdi - COMUNE DI VALSAMOGGIA (BO)**

**PROGETTO ESECUTIVO**

**RELAZIONE DI CALCOLO STRUTTURALE BLOCCO D**

---

nel legno:  $\sigma_{Sd,i} = M_{Sd} / (Ely)_{ef} \times \gamma_i \times a_i \times E_i$

1.2.2 Verifica delle tensioni tangenziali massime:

Verifica:  $\sigma_{m,c,Sd,o} \times \gamma_c / f_{ck} \leq 1$ :

nel cls:  $\sigma_{m,c,Sd,o} = \sigma_{Sd,i} - M_{Sd} / (Ely)_{ef} \times h_i / 2 \times E_i$

$\sigma_{m,c,Sd,u} = \sigma_{Sd,i} + M_{Sd} / (Ely)_{ef} \times h_i / 2 \times E_i$

Verifica:  $\sigma_{m,c,Sd,u} \times \gamma_c / 0,7 \times f_{ctm} \leq 1$

nel legno:  $\sigma_{m,h,Sd,o} = M_{Sd} / (Ely)_{ef} \times h_i / 2 \times E_i$

Verifica:  $\sigma_{Sd,legno,i} / f_{t,Rd} + \sigma_{Sd,legno,m} / f_{m,Rd} \leq 1$

Forza agente sui connettori:  $F_{Sd,i} = V_{Sd} / (Ely)_{ef} \times \gamma_i \times a_i \times E_i \times A_i \times s_i$

**1.3 Verifica della massima tensione da taglio:**

Verifica:  $\tau_{Sd} / f_{vd} \leq 1$ :

solo il travetto va in appoggio  $\tau_{Sd} = 1,5 \times V_{Sd} / A_{legno} =$

**1.4 Pressione perpendicolare alla fibratura**

Verifica:  $t_{erf} < t_{scelto}$

$t_{erf} = V_{Sd} / (b_{legno} \times k_{c,90} \times f_{c,90,d})$

t scelto= 10 cm

$k_{c,90} = (2,38 - t / 250) \times (1 + h / (12 \times t))$

Resistenza a taglio del connettore

connettore:  $PR_{d,y} = 0,8 \times f_{ux} \times \pi d^2 / (4 \times \gamma_v)$

**NUOVA SCUOLA DELL'INFANZIA A SEI SEZIONI in località CASTELLO di SERRAVALLE**

**viale G. Verdi - COMUNE DI VALSAMOGGIA (BO)**

**PROGETTO ESECUTIVO**

**RELAZIONE DI CALCOLO STRUTTURALE BLOCCO D**

nel cls:  $PR_{d,c} = 0,29 \times \alpha d^2 \times (f_{ck} \times E_{c,eff})^{0,5} / \gamma_v$

nel legno:  $PR_{d,H} = \min(R_{d,i})$

$R_{d,(c)} = f_{h,0,d} \times t_H \times d \times ((2 + M_{yd} / (f_{h,0,d} \times d \times t_H^2))^{0,5-1} + F_{ax,d} / 4$

$R_{d,(d)} = 2,3 \times (M_{yd} \times f_{h,0,d} \times d)^{0,5} + F_{ax,d} / 4$

$R_{d,(a)} = f_{h,0,d} \times t_{legno} \times d$

$M_{yd} = 0,8 \times f_u \times d^3 / (6 \times \gamma_y)$

$f_{h,0,d} = 0,082 \times (1 - 0,01 \times d) \times \rho_k / \gamma_M$

$F_{ax,d} = d \times t_{pen} \times 20 \times 10^{-6} \times \rho_k^2 / \gamma_M$

Verifica:  $F_{Sd,i} / PR_{d,i,min} \leq 1$ :

passo minimo dei connettori:

Verifica:  $\eta = s_{min} / s_{max} \geq 0,25 + 0,03 \times L$

1.6 Verifica della capacità portante a taglio parallelo alla fibratura

Verifica:  $v_{Sd} / v_{Rd} \leq 1$

$v_{Sd} = P_{Sd,i,max} / (2 \times s_{min})$

$v_{Rd,1} = 2,5 \times A_{cv} \times \eta \tau_{Rd} + A_s \times f_{ys} / \gamma_y$

$v_{Rd,2} = 0,2 \times A_{cv} \times f_{ck} / \gamma_c$

Verifica:  $v_{Sd} / v_{Rd} \leq 1$ :

**2. Verifiche allo stato limite di esercizio- Deformazioni**

**2.1 Deformazioni iniziali:**

Verifica:  $w_{2,inst} \leq l/400$

Deformazione a seguito di carichi esterni

**NUOVA SCUOLA DELL'INFANZIA A SEI SEZIONI in località CASTELLO di SERRAVALLE**

viale G. Verdi - COMUNE DI VALSAMOGGIA (BO)

**PROGETTO ESECUTIVO**

RELAZIONE DI CALCOLO STRUTTURALE BLOCCO D

---

$$w_{p,inst} = 5/384 \times p_k \times bc \times L^4 \times 106 / (E \times I)_{y,eff,0}$$

$$w_{v,p,inst} = M_p / (G_{mean} \times A_v) = 0,008 \text{ [cm]} \quad A_v = A_{Holz} / 1,2$$

$$w_{s,inst} = 5/384 \times s_k \times bc \times L^4 \times 106 / (E \times I)_{y,eff,0}$$

$$w_{v,s,inst} = M_s / (G_{mean} \times A_v)$$

$$w_{2,inst} = \times \sum w_{i,inst} \times \psi_i$$

**2.2 Deformazioni finali:**

Verifica:  $w_{net,fin} \leq l/350$

Deformazioni a seguito di carichi esterni

$$w_{g,fin} = 5/384 \times g_k \times bc \times L^4 \times 106 / (E \times I)_{y,eff,}$$

$$w_{v,g,inst} = M_g / (G_{mean,fin} \times A_v)$$

$$w_{p,inst} = 5/384 \times p_k \times bc \times L^4 \times 106 / (E \times I)_{y,eff}$$

$$w_{v,p,inst} = M_p / (G_{mean,fin} \times A_v)$$

$$w_{s,inst} = 5/384 \times s_k \times bc \times L^4 \times 106 / (E \times I)_{y,eff}$$

$$w_{v,s,inst} = M_s / (G_{mean,fin} \times A_v)$$

Deformazioni a seguito del ritiro del cls

Verifica:  $w_{2,fin} < l/300$

Verifica:  $w_{net,fin} < l/350$

$$F_{ritiro} = \epsilon(0) \times E_{c,eff} \times A_{cls}$$

$$M_{ritiro} = F_{ritiro} \times A_{cls}$$

$$w_{ritiro} = M_{ritiro} \times L^2 / (8 \times E \times I_{y,eff,})$$

$$w_{net,fin} = w_{m,fin,i} + w_{v,fin,i} + w_{Schwind} - w_0$$

$$w_{2,fin} = w_{m,fin,i} + w_{v,fin,i} - w_{g,inst}$$

$$w_{g,inst} = 5/384 \times g_k \times bc \times L^4 \times 106 / (E \times I)_{y,eff,0}$$

$$w_{v,g,inst} = M_g / (G_{mean} \times A_v)$$

**NUOVA SCUOLA DELL'INFANZIA A SEI SEZIONI in località CASTELLO di SERRAVALLE**
**viale G. Verdi - COMUNE DI VALSAMOGGIA (BO)**
**PROGETTO ESECUTIVO**
**RELAZIONE DI CALCOLO STRUTTURALE BLOCCO D**
**2.2.J.6-VERIFICA DEI TAMPONAMENTI ESTERNI IN LATERIZIO**

Secondo il § 7.2.3 del D.M. 14 gennaio 2008, con l'esclusione dei soli tamponamenti interni di spessore non superiore a 100 mm, gli elementi costruttivi senza funzione strutturale, il cui danneggiamento può provocare danni a persone, devono essere verificati, insieme alle loro connessioni alla struttura, per l'azione sismica corrispondente a ciascuno degli stati limite considerati.

Gli effetti dell'azione sismica sugli elementi costruttivi senza funzione strutturale possono essere determinati applicando a tali elementi una forza orizzontale  $F_a$  definita come segue (§ 7.2.3 - Formula 7.2.1):

$$F_a = \frac{S_a \cdot W_a}{q_a}$$

dove:

$F_a$  = Forza sismica orizzontale agente nel centro di massa dell'elemento non strutturale nella direzione più sfavorevole;

$W_a$  = Peso dell'elemento comprensivo delle parti non aventi funzione resistente (intonaco, isolamento termico eccetera);

$S_a$  = Accelerazione massima, adimensionalizzata rispetto a quella di gravità, che l'elemento strutturale subisce durante il sisma e corrisponde allo stato limite in esame (vedi § 3.2.1);

$q_a$  = Fattore di struttura del pannello.

In assenza di specifiche determinazioni, per  $q_a$  si possono assumere i valori riportati nella Tab. 7.2.1. di cui al § 7.2.3 delle NTC 2008:

**Tabella 7.2.1 – Valori di  $q_a$  per elementi non strutturale**

| Elemento non strutturale                                                                                                                                                                                    | $q_a$ |
|-------------------------------------------------------------------------------------------------------------------------------------------------------------------------------------------------------------|-------|
| Parapetti o decorazioni aggettanti                                                                                                                                                                          | 1,0   |
| Insegne e pannelli pubblicitari                                                                                                                                                                             |       |
| Ciminiere, antenne e serbatoi su supporti funzionanti come mensole senza controventi per più di metà della loro altezza                                                                                     |       |
| Pareti interne ed esterne                                                                                                                                                                                   | 2,0   |
| Tramezzature e facciate                                                                                                                                                                                     |       |
| Ciminiere, antenne e serbatoi su supporti funzionanti come mensole non controventate per meno di metà della loro altezza o connesse alla struttura in corrispondenza o al di sopra del loro centro di massa |       |
| Elementi di ancoraggio per armadi e librerie permanenti direttamente poggiati sul pavimento                                                                                                                 |       |
| Elementi di ancoraggio per controsoffitti e corpi illuminanti                                                                                                                                               |       |

In mancanza di analisi più accurate l'accelerazione massima  $S_a$  può essere calcolata con la seguente relazione (§ 7.2.3 - Formula 7.2.2):

$$S_a = \alpha \cdot S \cdot \left[ \frac{3 \cdot \left( 1 + \frac{Z}{H} \right)}{1 + \left( 1 - \frac{T_a}{T_1} \right)^2} - 0,5 \right]$$

**NUOVA SCUOLA DELL'INFANZIA A SEI SEZIONI in località CASTELLO di SERRAVALLE**
**viale G. Verdi - COMUNE DI VALSAMOGGIA (BO)**
**PROGETTO ESECUTIVO**
**RELAZIONE DI CALCOLO STRUTTURALE BLOCCO D**

|          |   |                                                                                                                                                                             |  |  |  |  |  |  |  |
|----------|---|-----------------------------------------------------------------------------------------------------------------------------------------------------------------------------|--|--|--|--|--|--|--|
| dove:    |   |                                                                                                                                                                             |  |  |  |  |  |  |  |
| $\alpha$ | = | Rapporto tra l'accelerazione massima del terreno $a_g$ su sottosuolo tipo A da considerare nello stato limite in esame (vedi § 3.2.1) e l'accelerazione di gravità $g$ ;    |  |  |  |  |  |  |  |
| $S$      | = | Coefficiente che tiene conto della categoria di sottosuolo e delle condizioni topografiche, secondo quanto riportato nel § 3.2.3.2.1 (Formula 3.2.5: $S = S_T \cdot S_S$ ); |  |  |  |  |  |  |  |
| $S_T$    | = | Coefficiente di amplificazione topografica (§ 3.2.3.2.1 - Tabella 3.2.VI);                                                                                                  |  |  |  |  |  |  |  |
| $S_S$    | = | Coefficiente di amplificazione stratigrafica (§ 3.2.3.2.1 - Tabella 3.2.V);                                                                                                 |  |  |  |  |  |  |  |
| $T_A$    | = | Periodo fondamentale di vibrazione dell'elemento non strutturale;                                                                                                           |  |  |  |  |  |  |  |
| $T_1$    | = | Periodo fondamentale di vibrazione della costruzione nella direzione considerata;                                                                                           |  |  |  |  |  |  |  |
| $Z$      | = | Quota del baricentro dell'elemento non strutturale misurata a partire dal piano di fondazione (vedi § 3.2.2);                                                               |  |  |  |  |  |  |  |
| $H$      | = | Altezza della costruzione misurata a partire dal piano di fondazione.                                                                                                       |  |  |  |  |  |  |  |

Il valore del coefficiente sismico  $S_a$  non può essere assunto minore di  $\alpha \cdot S$ . Volendo procedere a vantaggio di sicurezza, nel calcolo del fattore  $S_a$  si può porre il rapporto  $T_a/T_1$  pari a 1.

Relativamente al calcolo del periodo di vibrazione dell'elemento non strutturale ( $T_a$ ) si può fare riferimento alla seguente formulazione:

$$T_a = \frac{2 \cdot h^2}{(\pi \cdot k^2)} \cdot \sqrt{\frac{A \cdot \gamma_{mur}}{E \cdot I \cdot g}}$$

|                |   |                                                                                                                                                                                                                         |  |  |  |  |  |  |  |
|----------------|---|-------------------------------------------------------------------------------------------------------------------------------------------------------------------------------------------------------------------------|--|--|--|--|--|--|--|
| dove:          |   |                                                                                                                                                                                                                         |  |  |  |  |  |  |  |
| $k$            | = | Numero intero che indica il modo di vibrare considerato per l'elemento non strutturale (= 1,2,3, per il primo, secondo, terzo modo di vibrare eccetera);                                                                |  |  |  |  |  |  |  |
| $h$            | = | Altezza del pannello di tamponatura;                                                                                                                                                                                    |  |  |  |  |  |  |  |
| $s$            | = | Spessore del pannello di tamponatura, comprensivo anche delle parti non aventi funzione resistente (intonaco, isolamento eccetera);                                                                                     |  |  |  |  |  |  |  |
| $L$            | = | Lunghezza del pannello di tamponatura;                                                                                                                                                                                  |  |  |  |  |  |  |  |
| $A$            | = | Area di base del pannello di tamponatura ( $A = s \cdot L$ );                                                                                                                                                           |  |  |  |  |  |  |  |
| $\gamma_{mur}$ | = | Peso per unità di volume del pannello di tamponatura;                                                                                                                                                                   |  |  |  |  |  |  |  |
| $E$            | = | Modulo elastico del pannello di tamponatura;                                                                                                                                                                            |  |  |  |  |  |  |  |
| $I$            | = | Momento di inerzia del pannello di tamponatura rispetto all'asse baricentrico ortogonale alla forza $F_a$ , calcolato tenendo conto delle parti non aventi funzione resistente (intonaco, isolamento termico eccetera); |  |  |  |  |  |  |  |
| $g$            | = | Accelerazione di gravità.                                                                                                                                                                                               |  |  |  |  |  |  |  |

Le verifiche di resistenza e stabilità del pannello di tamponatura vengono effettuate per tre diverse ipotesi di calcolo, ovvero:

NUOVA SCUOLA DELL'INFANZIA A SEI SEZIONI in località CASTELLO di SERRAVALLE

viale G. Verdi - COMUNE DI VALSAMOGGIA (BO)

**PROGETTO ESECUTIVO**

RELAZIONE DI CALCOLO STRUTTURALE BLOCCO D

**1) Tamponatura doppiamente appoggiata in testa ed al piede con carico concentrato in mezzzeria**

In tale ipotesi il momento sollecitante massimo, valutato nella sezione di mezzzeria, è pari a:

$$M_{ed} = \frac{F_a \cdot h}{4}$$

In tale ipotesi il momento resistente è invece pari a:

$$M_{rd} = \left( L \cdot s^2 \cdot \frac{\sigma_0}{2} \right) \cdot \left( 1 - \frac{\sigma_0}{0,85 f_d} \right)$$

**2) Tamponatura doppiamente appoggiata in testa ed al piede con carico uniformemente distribuito**

In tale ipotesi il momento sollecitante massimo, valutato nella sezione di mezzzeria, è pari a:

$$M_{ed} = \frac{(F_a \cdot h^2)}{8h}$$

In tale ipotesi il momento resistente è invece pari a:

$$M_{rd} = \left( L \cdot s^2 \cdot \frac{\sigma_0}{2} \right) \cdot \left( 1 - \frac{\sigma_0}{0,85 f_d} \right)$$

I calcoli di verifica sono stati svolti per il solo SLV. Se la classe d'uso dell'edificio è superiore alla classe d'uso II, la verifica deve essere effettuata anche per lo SLD.

Nel caso in esame si provvede a verificare i tamponamenti esterni, per i quali il fattore di struttura  $q_s$  risulta essere pari a 2, come si evince dalla Tabella 7.2.I. Le tamponature oggetto di verifica risultano essere costituite da blocchi in laterizio forati. Tutti i calcoli successivi fanno riferimento ad una tamponatura dell'ultimo livello del fabbricato, ove le azioni dovute al sisma sono più gravose. Per le verifiche inerenti tutti gli altri pannelli si rimanda alle tabelle riassuntive riportate in appendice. Le caratteristiche geometriche e meccaniche dei parametri in gioco vengono riportate di seguito:

**NUOVA SCUOLA DELL'INFANZIA A SEI SEZIONI in località CASTELLO di SERRAVALLE**
**viale G. Verdi - COMUNE DI VALSAMOGGIA (BO)**
**PROGETTO ESECUTIVO**
**RELAZIONE DI CALCOLO STRUTTURALE BLOCCO D**

|                                                                          |                |                        |
|--------------------------------------------------------------------------|----------------|------------------------|
| Quota del baricentro della tamponatura dal piano di fondazione           | Z              | 1.50 m                 |
| Altezza del fabbricato misurata a partire dal piano di fondazione        | H              | 3.00 m                 |
| Altezza del pannello di tamponatura                                      | h              | 3.00 m                 |
| Resistenza caratteristica a compressione dell'elemento della tamponatura | $f_{bk}$       | 7.50 N/mm <sup>2</sup> |
| Tipo di malta                                                            |                | M 5                    |
| Resistenza a compressione della malta                                    | $f_m$          | 5.00 N/mm <sup>2</sup> |
| Resistenza caratteristica a compressione del pannello di tamponatura     | $f_k$          | 4.10 N/mm <sup>2</sup> |
| Coefficiente parziale di sicurezza                                       | $\gamma_m$     | 2                      |
| Resistenza di progetto del pannello di tamponatura                       | $f_d$          | 2.05 N/mm <sup>2</sup> |
| Modulo elastico del pannello di tamponatura                              | E              | 4100 N/mm <sup>2</sup> |
| Spessore del pannello di tamponatura                                     | s              | 0.30 m                 |
| Lunghezza del pannello di tamponatura                                    | L              | 1.00 m                 |
| Area di base del pannello di tamponatura                                 | A              | 0.30 m <sup>2</sup>    |
| Momento di inerzia del pannello di tamponatura                           | I              | 0.0023 m <sup>4</sup>  |
| Peso per unità di volume del pannello di tamponatura                     | $\gamma_{mur}$ | 8500 N/m <sup>3</sup>  |
| Modo di vibrare preso in esame per l'elemento non strutturale            | k              | 1                      |
| Accelerazione di gravità                                                 | g              | 9.81 m/s <sup>2</sup>  |

|                                                                                                                                         |           |          |
|-----------------------------------------------------------------------------------------------------------------------------------------|-----------|----------|
| Si ottiene pertanto:                                                                                                                    |           |          |
| Periodo di vibrazione dell'elemento non strutturale                                                                                     | $T_a$     | 0.030 s  |
| Periodo della struttura in direzione ortogonale al piano della tamponatura                                                              | $T_1$     | 0.160 s  |
| Accelerazione orizzontale massima al suolo                                                                                              | $a_g$     | 0.1873 g |
| Procedere a vantaggio di sicurezza?                                                                                                     |           | Si       |
| Rapporto tra il periodo di vibrazione della tamponatura e il periodo della struttura in direzione ortogonale al piano della tamponatura | $T_a/T_1$ | 1.000    |
| Valore massimo del fattore di amplificazione dello spettro in accelerazione orizzontale                                                 | $F_0$     | 2.438    |
| Periodo di inizio del tratto a velocità costante dello spettro in accelerazione orizzontale                                             | $T_C^*$   | 0.299 s  |
| Vita nominale                                                                                                                           | $V_N$     | 50       |
| Quota s.l.m. del sito                                                                                                                   | q         | 50 m     |
| Classe d'uso                                                                                                                            | C         | III      |
| Coefficiente d'uso                                                                                                                      | $C_U$     | 1.50     |
| Periodo di riferimento dell'azione sismica                                                                                              | $V_R$     | 75       |
| Probabilità di superamento                                                                                                              | $P_{VR}$  | 10%      |
| Tempo di ritorno dell'azione sismica                                                                                                    | $T_R$     | 712      |
| Categoria di sottosuolo                                                                                                                 |           | C        |
| Coefficienti di amplificazione stratigrafica                                                                                            | $S_S$     | 1.43     |
|                                                                                                                                         | $C_C$     | 1.56     |
| Categoria topografica                                                                                                                   |           | T1       |

## NUOVA SCUOLA DELL'INFANZIA A SEI SEZIONI in località CASTELLO di SERRAVALLE

viale G. Verdi - COMUNE DI VALSAMOGGIA (BO)

PROGETTO ESECUTIVO

## RELAZIONE DI CALCOLO STRUTTURALE BLOCCO D

|                                                                                                                    |            |                         |
|--------------------------------------------------------------------------------------------------------------------|------------|-------------------------|
| Coefficiente di amplificazione topografica                                                                         | $S_T$      | 1.00                    |
| Coefficiente per categoria di sottosuolo e delle condizioni topografiche                                           | $S$        | 1.43                    |
| Periodo corrispondente all'inizio del tratto dello spettro ad accelerazione costante                               | $T_B$      | 0.156 s                 |
| Periodo corrispondente all'inizio del tratto a velocità costante dello spettro                                     | $T_C$      | 0.467 s                 |
| Periodo corrispondente all'inizio del tratto a spostamento costante dello spettro                                  | $T_D$      | 2.349 s                 |
| Accelerazione massima calcolata allo SLV                                                                           | $S_a$      | 1.068/g                 |
| Peso del pannello di tamponatura                                                                                   | $W_a$      | 7650.00 N               |
| Tensione media agente sulla sezione mediana del pannello                                                           | $\sigma_0$ | 0.013 N/mm <sup>2</sup> |
| Fattore di struttura del pannello di tamponatura                                                                   | $q_a$      | 2                       |
| Forza sismica orizzontale agente nel centro di massa dell'elemento non strutturale nella direzione più sfavorevole | $F_a$      | 4086.43 N               |

Le verifiche di resistenza e stabilità della tamponatura forniscono, per le tre ipotesi considerate, i seguenti risultati:

**1) Tamponatura doppiamente appoggiata in testa ed al piede con carico concentrato in mezzzeria**

|                                                         |                 |            |
|---------------------------------------------------------|-----------------|------------|
| Momento sollecitante massimo nella sezione di mezzzeria | $M_{ed}$        | 3064.82 Nm |
| Momento resistente                                      | $M_{rd}$        | 569.55 Nm  |
| Rapporto tra momento resistente e momento sollecitante  | $M_{rd}/M_{ed}$ | 0.19       |

 **$M_{rd}/M_{ed} < 1$  - VERIFICA NON SODDISFATTA****2) Tamponatura doppiamente appoggiata in testa ed al piede con carico uniformemente distribuito**

|                                                         |                 |            |
|---------------------------------------------------------|-----------------|------------|
| Momento sollecitante massimo nella sezione di mezzzeria | $M_{ed}$        | 1532.41 Nm |
| Momento resistente                                      | $M_{rd}$        | 569.55 Nm  |
| Rapporto tra momento resistente e momento sollecitante  | $M_{rd}/M_{ed}$ | 0.37       |

 **$M_{rd}/M_{ed} < 1$  - VERIFICA NON SODDISFATTA**

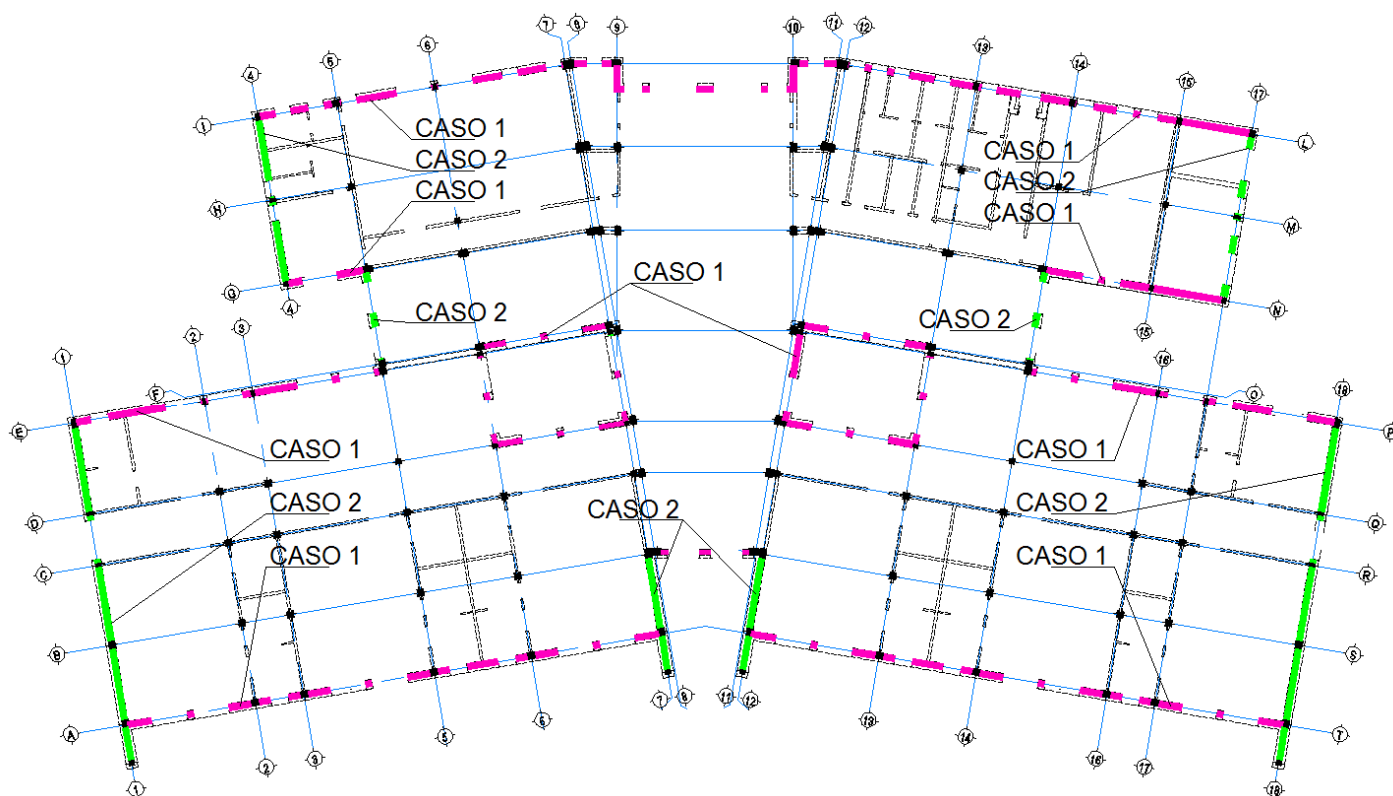
Le verifiche di resistenza e stabilità non risultano verificate, pertanto per i tamponamenti esterni sono stati previsti adeguati elementi di trattenuta per evitare il ribaltamento della parete stessa.

Si devono distinguere due casi:

CASO 1 –Tamponamenti sui fili I e G ( soluzione estendibile a tutti i tamponamenti sui fili L,N,P,T,A,E degli altri modelli

**NUOVA SCUOLA DELL'INFANZIA A SEI SEZIONI in località CASTELLO di SERRAVALLE**
**viale G. Verdi - COMUNE DI VALSAMOGGIA (BO)**
**PROGETTO ESECUTIVO**
**RELAZIONE DI CALCOLO STRUTTURALE BLOCCO D**

**CASO 2-** Tamponamenti sui fili 4e 5 ( soluzione estendibile a tutti i tamponamenti sui fili 1,7,11,14,17,18 degli altri modelli



**CASO 1** - Non è possibile realizzare un cordolo in c.a. continuo sopra alle murature esterne di tamponamento perchè sopra alle porte e finestre sono sempre presenti i cassonetti per gli avvolgibili. Qui è quindi presente solo il cordolo di chiusura in legno.

Si prevede quindi di realizzare elementi di fissaggio metallici mediante profili a C verticali di sp: 6mm ,larghezza pari a quella della muratura ed ali di lunghezza 150mm che abbracciano la muratura e realizzano un vincolo tipo appoggio in corrispondenza della sommità delle murature. Il profilo a C verrà fissato al cordolo ligneo attraverso barre di diam. 14mm soggette a taglio , dovuto al possibile ribaltamento della parete.

Si prevede di utilizzare blocchi Poroton 800 di sp.30cm con predisposti dei fori centrali di dimensioni 10x10cm nei quali verranno disposte barre di diam 16mm (una per foro) , opportunamente fissata alle fondazioni, e completata con getto di calcestruzzo.

E' necessario realizzare pilastri a passo non superiore a 50cm. I pilastri devono essere opportunamente collegati orizzontalmente, attraverso tralicci metallici di piccolo diametro (5mm) annegati nei letti di malta, 1 ogni due corsi di mattoni (quindi a passo non superiore a 50 cm)



**NUOVA SCUOLA DELL'INFANZIA A SEI SEZIONI in località CASTELLO di SERRAVALLE****viale G. Verdi - COMUNE DI VALSAMOGGIA (BO)****PROGETTO ESECUTIVO****RELAZIONE DI CALCOLO STRUTTURALE BLOCCO D**

---

**CASO 2-** E' possibile realizzare un cordolo in c.a. continuo alla sommità delle murature esterne.

Si prevede quindi di realizzare un cordolo in c.a. di dimensioni 20x30cm collegato ai pilastri con innesti metallici, ipotizzato in appoggio e quindi non inserito nel modello globale delle strutture..E' quindi possibile avere le murature confinate e il requisito di evitare collassi fragili si intende soddisfatto in quanto rispetta il punto C7.3.6.3 delle NTC2008

Si prevede quindi di realizzare degli elementi di armatura orizzontale nei letti di malta costituiti da un traliccio in acciaio zincato diametro 5mm .

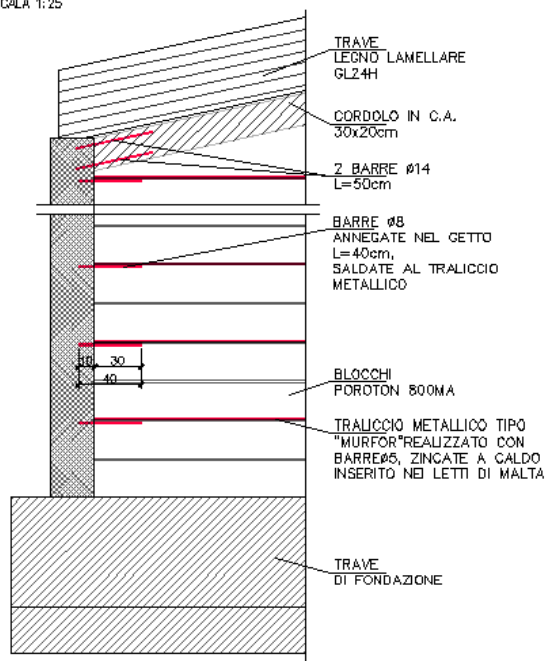
I tralicci dovranno essere annegati nei letti di malta a distanza non superiore a 50cm e verranno collegati ai pilastri in c.a.mediante barre diametro 8mm annegate nel getto del pilastro. E' possibile, in alternativa, collegare le barre di diametro 8mm ai pilastri attraverso innesti chimici realizzati successivamente al getto del pilastro.

Si riporta uno schema dei collegamenti dei tamponamenti alla struttura principale; il medesimo schema è riportato nella tavola grafica.

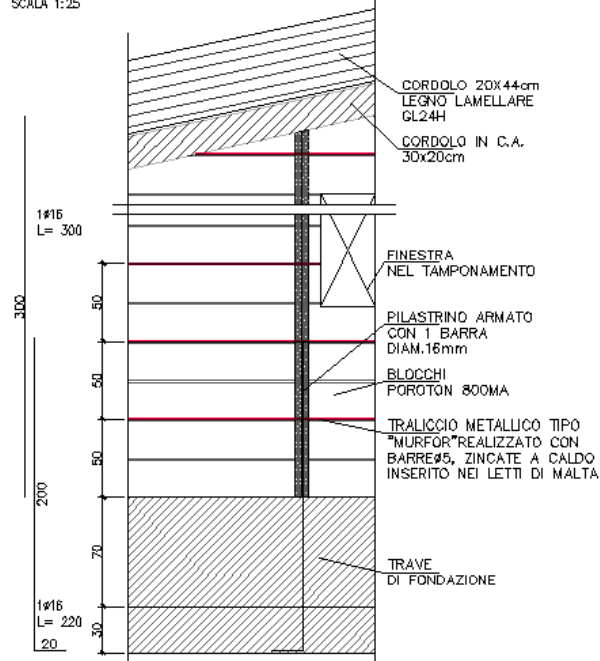
Dove sono presenti aperture si realizzerà un pilastrino uguale a quelli del caso 1 in corrispondenza delle aperture.

**NUOVA SCUOLA DELL'INFANZIA A SEI SEZIONI in località CASTELLO di SERRAVALLE**
**viale G. Verdi - COMUNE DI VALSAMOGGIA (BO)**
**PROGETTO ESECUTIVO**
**RELAZIONE DI CALCOLO STRUTTURALE BLOCCO D**
**Caso 2 - dett. C- prospetto**

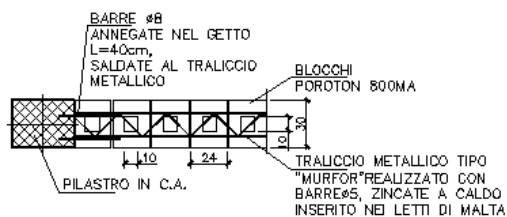
SCALA 1:25


**Caso 2 - dett. A- prospetto**

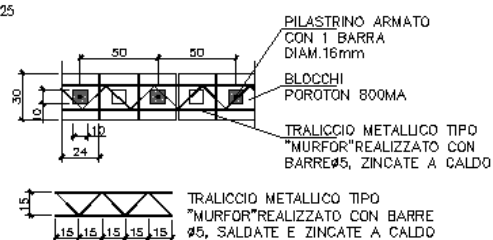
SCALA 1:25

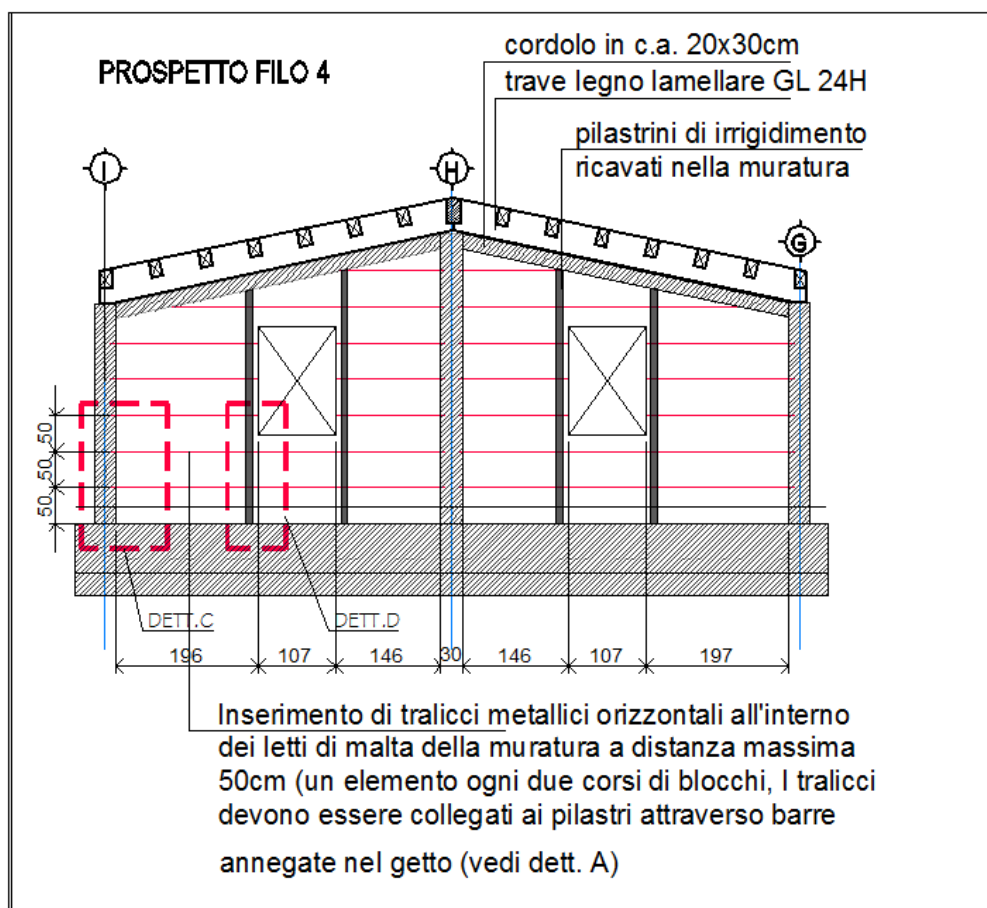

**Caso 2 - dett. C- sez. 1**

SCALA 1:25

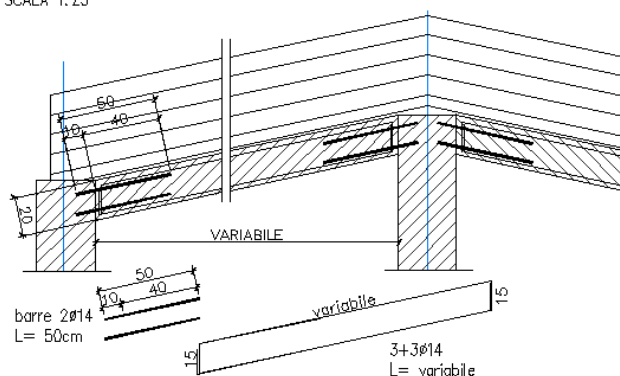
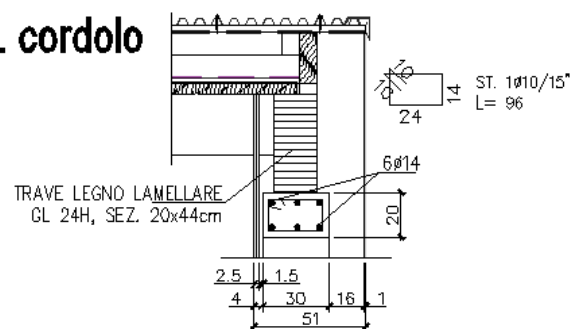

**Caso 1 - dett. A- sezione muratura**

SCALA 1:25



**NUOVA SCUOLA DELL'INFANZIA A SEI SEZIONI in località CASTELLO di SERRAVALLE**
**viale G. Verdi - COMUNE DI VALSAMOGGIA (BO)**
**PROGETTO ESECUTIVO**
**RELAZIONE DI CALCOLO STRUTTURALE BLOCCO D**

**Schema tipico cordolo fili 1,4,5,14,17,18**

SCALA 1:25


**sez. cordolo**


**NUOVA SCUOLA DELL'INFANZIA A SEI SEZIONI in località CASTELLO di SERRAVALLE**
**viale G. Verdi - COMUNE DI VALSAMOGGIA (BO)**
**PROGETTO ESECUTIVO**
**RELAZIONE DI CALCOLO STRUTTURALE BLOCCO D**
**2.2.J.7-GIUDIZIO MOTIVATO DI ACCETTABILITA' DEI RISULTATI**

Si riporta il confronto fra i risultati ottenuti mediante analisi con elaboratore e gli analoghi risultati ottenuti mediante metodi tradizionali.

Nello specifico si riporta il confronto fra il **peso totale dell'edificio calcolato manualmente e calcolato dall'elaboratore nella stessa combinazione** (1-slu):

- PILASTRI:  $1,3 \cdot 20538 =$  **26700 kg**
- TRAVI LEGNO PRINCIPALI  $1,3 = 4013 \cdot 1,3 =$  **5217 Kg**
- CARICO DISTRIBUITO G1 COPERTURA (comprensivo dei travetti)  $\cdot 1,3 = 14760 \cdot 1,3 =$  **19188 Kg**
- CARICO DISTRIBUITO G2 COPERTURA  $\cdot 1,5 = 11070 \cdot 1,5 =$  **16605 kg**
- CARICO VARIABILE NEVE  $\cdot 1,5 = 36900 \cdot 1,5 =$  **55350 Kg**
- CARICO VARIABILE CAT. H1  $\cdot 1,05 = 3550 \cdot 1,05 =$  **3728 Kg**
- CARICO DISTRIBUITO G1 PRIMO SOLAIO (comprensivo dei travetti)  $\cdot 1,3 = 13845 \cdot 1,3 =$  **17998 Kg**
- CARICO DISTRIBUITO G2 PRIMO SOLAIO  $\cdot 1,5 = 24495 \cdot 1,5 =$  **36743 kg**

**-TOTALE 181529 Kg**

| PILASTRI |        |        |       |          |               |              |              |                   |  |
|----------|--------|--------|-------|----------|---------------|--------------|--------------|-------------------|--|
| PILASTRI | L1(cm) | L2(cm) | H(cm) | V. (cm3) | V. (m3)       | P. (Kg)      |              |                   |  |
| 1        | 30     | 30     | 302   | 271800   | 0.2718        | 679.5        |              |                   |  |
| 2        | 40     | 30     | 302   | 362400   | 0.3624        | 906          |              |                   |  |
| 3        | 65     | 30     | 302   | 588900   | 0.5889        | 1472.25      |              |                   |  |
| 4        | 30     | 30     | 302   | 271800   | 0.2718        | 679.5        |              |                   |  |
| 5        | 30     | 30     | 399   | 359100   | 0.3591        | 897.75       |              |                   |  |
| 6        | 50     | 30     | 399   | 598500   | 0.5985        | 1496.25      |              |                   |  |
| 7        | 30     | 30     | 460   | 414000   | 0.414         | 1035         |              |                   |  |
| 8        | 50     | 30     | 399   | 598500   | 0.5985        | 1496.25      |              |                   |  |
| 9        | 30     | 30     | 302   | 271800   | 0.2718        | 679.5        |              |                   |  |
| 10       | 50     | 30     | 498   | 747000   | 0.747         | 1867.5       |              |                   |  |
| 11       | 50     | 30     | 498   | 747000   | 0.747         | 1867.5       |              |                   |  |
| 12       | 40     | 30     | 498   | 597600   | 0.5976        | 1494         |              |                   |  |
| 13       | 40     | 30     | 612   | 734400   | 0.7344        | 1836         |              |                   |  |
| 14       | 50     | 30     | 612   | 918000   | 0.918         | 2295         |              |                   |  |
| 15       | 40     | 30     | 612   | 734400   | 0.7344        | 1836         |              |                   |  |
|          |        |        |       |          | <b>TOT.Kg</b> | <b>20538</b> | <b>*1.3=</b> | <b>26699.4 Kg</b> |  |

**NUOVA SCUOLA DELL'INFANZIA A SEI SEZIONI in località CASTELLO di SERRAVALLE**

**viale G. Verdi - COMUNE DI VALSAMOGGIA (BO)**

**PROGETTO ESECUTIVO**

**RELAZIONE DI CALCOLO STRUTTURALE BLOCCO D**

| ORIZZONTAMENTI | AREA (m2) | G1<br>(Kg/m2) | G2<br>(Kg/m2) | NEVE<br>(Kg/m2) | ACC.CAT. H1<br>(Kg/m2) | G1 (Kg) | G2 (Kg) | ACC. NEVE<br>(Kg) | ACC.CAT.<br>H1 (Kg) |
|----------------|-----------|---------------|---------------|-----------------|------------------------|---------|---------|-------------------|---------------------|
| SOLAIO 1       | 71        | 195           | 345           | 0               | 50                     | 13845   | 24495   | 0                 | 3550                |
| COPERTURA      | 246       | 60            | 45            | 150             | 0                      | 14760   | 11070   | 36900             | 0                   |

**TRAVI PRINCIPALI**

| FILI     | L1(cm) | L2(cm) | L3(cm) | V. (cm3) | V. (m3)       | P. (Kg)         |              |                    |  |
|----------|--------|--------|--------|----------|---------------|-----------------|--------------|--------------------|--|
| 4        | 20     | 44     | 1000   | 880000   | 0.88          | 334.4           |              |                    |  |
| 5        | 20     | 44     | 2056   | 1809280  | 1.80928       | 687.5264        |              |                    |  |
| 6        | 20     | 44     | 578    | 508640   | 0.50864       | 193.2832        |              |                    |  |
| 6        | 24     | 135    | 978    | 3168720  | 3.16872       | 1204.114        |              |                    |  |
| 7        | 20     | 44     | 1556   | 1369280  | 1.36928       | 520.3264        |              |                    |  |
| 7-1° sol | 25     | 56     | 510    | 714000   | 0.714         | 271.32          |              |                    |  |
| 6-1° sol | 32     | 68     | 510    | 1109760  | 1.10976       | 421.7088        |              |                    |  |
| 5-1° sol | 25     | 50     | 510    | 637500   | 0.6375        | 1593.75         |              |                    |  |
|          |        |        |        |          | <b>TOT.Kg</b> | <b>4013.073</b> | <b>*1.3=</b> | <b>5216.995 Kg</b> |  |

Dal modello di calcolo:

| Pilastro | Nodo | Combinazione | N <sub>D</sub><br>[kg] | Azioni x γ <sub>Rd</sub> , Fondazioni |                        |                         |                         |
|----------|------|--------------|------------------------|---------------------------------------|------------------------|-------------------------|-------------------------|
|          |      |              |                        | V <sub>x</sub><br>[kg]                | V <sub>y</sub><br>[kg] | M <sub>x</sub><br>[kgm] | M <sub>y</sub><br>[kgm] |
| 147-1    | 1    | 1            | 3440.7                 | 0.3                                   | -1.9                   | 5.8                     | 1.0                     |
| 148-2    | 2    | 1            | 6291.4                 | 3.0                                   | -26.1                  | 80.8                    | 9.3                     |
| 150-3    | 3    | 1            | 9238.9                 | -68.2                                 | 399.7                  | -1235.0                 | -210.7                  |
| 152-4    | 4    | 1            | 4759.9                 | -5.8                                  | 32.9                   | -101.7                  | -17.9                   |
| 196-5    | 5    | 1            | 5668.8                 | 0.0                                   | -0.0                   | 0.0                     | 0.0                     |
| 197-6    | 6    | 1            | 10759.1                | 8.2                                   | -34.7                  | 142.3                   | 33.4                    |
| 259-7    | 7    | 1            | 21301.0                | 0.5                                   | 15.2                   | -73.6                   | 2.6                     |
| 201-8    | 8    | 1            | 9107.9                 | -10.7                                 | 68.0                   | -278.7                  | -44.0                   |
| 138-9    | 9    | 1            | 3139.4                 | -0.3                                  | 1.9                    | -5.9                    | -1.0                    |
| 139-10   | 10   | 1            | 17054.3                | -28.7                                 | -1118.0                | 1194.1                  | 97.0                    |
| 141-11   | 11   | 1            | 17659.7                | 362.5                                 | -1472.6                | 1560.7                  | 480.5                   |
| 143-12   | 12   | 1            | 17128.3                | 186.7                                 | -794.2                 | 861.4                   | 249.4                   |
| 13-131   | 13   | 1            | 11736.8                | -327.8                                | 1030.4                 | -928.8                  | -287.4                  |
| 133-14   | 14   | 1            | 21596.7                | -86.1                                 | 1286.4                 | -1242.1                 | 22.4                    |

NUOVA SCUOLA DELL'INFANZIA A SEI SEZIONI in località CASTELLO di SERRAVALLE

viale G. Verdi - COMUNE DI VALSAMOGGIA (BO)

**PROGETTO ESECUTIVO**

RELAZIONE DI CALCOLO STRUTTURALE BLOCCO D

|        |    |   |         |       |       |        |      |
|--------|----|---|---------|-------|-------|--------|------|
| 134-15 | 15 | 1 | 13315.5 | -33.7 | 614.4 | -569.3 | 16.2 |
|--------|----|---|---------|-------|-------|--------|------|

**REAZIONI AL PIEDE DEI PILASTRI CHE MASSIMIZZANO IL CARICO VERTICALE (COMB.1)**

**TOTALE: 172198 Kg**

Peso totale del fabbricato nella comb. 1 calcolato dall'elaboratore.: 183693 Kg

Peso totale del fabbricato nella comb. 1 calcolato manualmente : 181529 Kg

**Differenza: 2164 Kg (1,17%)**

**NUOVA SCUOLA DELL'INFANZIA A SEI SEZIONI in località CASTELLO di SERRAVALLE**

**viale G. Verdi - COMUNE DI VALSAMOGGIA (BO)**

**PROGETTO ESECUTIVO**

RELAZIONE DI CALCOLO STRUTTURALE BLOCCO D

---

## 2.2.k- Caratteristiche e affidabilità del codice di calcolo

### PROGRAMMA DI CALCOLO USATO

WinStrand

Structural Analysis & Design

|                       |                                                                    |
|-----------------------|--------------------------------------------------------------------|
| Ditta produttrice     | ENEXSYS S.r.L. Via Tizzano 46/2 Casalecchio di Reno (Bologna)      |
| Sigla                 | WinStrand 2002 - WinStrand 2003                                    |
| Piattaforma Software  | Windows 95ä , Windows NT 4.0ä e successive                         |
| Documentazione in uso | Manuale teorico - Manuale d'uso                                    |
| Campo di applicazione | Analisi statica e dinamica di strutture in campo elastico lineare. |

### Modellazione Strutturale con Elementi Finiti Tipo

- Truss.
- Beam (Modellazione di Travi e Pilastri).
- Travi su suolo elastico alla Winckler.
- Plinti su suolo elastico alla Winckler.
- Elementi Shear Wall per la modellazione di pareti di taglio.
- Elementi shell (lastra/piastra) equivalenti.
- Elementi Isoparametrici a 8 Nodi Shell (lastra/piastra).

### Schemi di Carico

- Carichi nodali concentrati.
- Carichi applicati direttamente agli elementi.
- Carichi Superficiali.

### Tipo di Risoluzione

- Analisi statica e/o dinamica in campo lineare con il metodo dell'equilibrio.
- Fattorizzazione LDLT.
- Analisi Statica:
- modellazione generale 6 gradi di libertà per nodo.
- ipotesi di solai infinitamente rigidi nel proprio piano (3 gradi di libertà per nodo + 3 per impalcato).

**NUOVA SCUOLA DELL'INFANZIA A SEI SEZIONI in località CASTELLO di SERRAVALLE**

**viale G. Verdi - COMUNE DI VALSAMOGGIA (BO)**

**PROGETTO ESECUTIVO**

RELAZIONE DI CALCOLO STRUTTURALE BLOCCO D

- Analisi dinamica: Nel caso di analisi modale gli autovettori ed autovalori vengono trovati utilizzando il SubSpace Iteration:
- Via statica equivalente.
- Modale con il metodo dello spettro di risposta.

*Affidabilità dei Codici di calcolo WinStrand*

Ditta produttrice: En.Ex.Sys. s.r.l. - Via Tizzano 46/2 - Casalecchio di Reno (Bologna)

Campo di applicazione: analisi statica e dinamica di strutture in campo elastico lineare.

Il cap. 10 del Decreto del Ministero Infrastrutture e Trasporti del 14 Gennaio 2008 fornisce le istruzioni relative alla Redazione dei progetti strutturali esecutivi e delle relazioni di calcolo, cui il progettista delle strutture deve attenersi nella redazione degli elaborati progettuali.

Il punto 10.2 Analisi e verifiche svolte con l'ausilio di codici di calcolo specifica:

Qualora l'analisi strutturale e le relative verifiche siano condotte con l'ausilio di codici di calcolo automatico, il progettista dovrà controllare l'affidabilità dei codici utilizzati e verificare l'attendibilità dei risultati ottenuti, curando nel contempo che la presentazione dei risultati stessi sia tale da garantirne la leggibilità, la corretta interpretazione e la riproducibilità.

Nella fase di stesura della relazione di calcolo, utilizzando i tabulati provenienti da codici di calcolo, è demandato al progettista il compito di analisi preliminare della documentazione:

Il progettista dovrà esaminare preliminarmente la documentazione a corredo del software per valutarne l'affidabilità e soprattutto l'idoneità al caso specifico. La documentazione, che sarà fornita dal produttore o dal distributore del software, dovrà contenere una esauriente descrizione delle basi teoriche e degli algoritmi impiegati, l'individuazione dei campi d'impiego, nonché casi prova interamente risolti e commentati, per i quali dovranno essere forniti i file di input necessari a riprodurre l'elaborazione.

Il presente documento è reperibile dal forum InForma e sul sito del produttore: <http://www.enexsys.com>. Esso costituisce assieme alle stampe degli esempi documento di validazione dei software prodotti dalla En.Ex.sys srl.

**Benchmark**

Il controllo della affidabilità delle analisi numeriche è stato condotto su una serie di esempi di letteratura la cui soluzione sia esprimibile in forma chiusa, allo scopo di verificare l'affidabilità del software.

Gli esempi condotti, corredati della fonte di riferimento, dei risultati numerici e dei file dati permettono la riproduzione integrale degli stessi da parte degli utenti

## 2.2.1- Caratteristiche delle strutture di fondazione

Le fondazioni sono costituite da travi rovesce di fondazione, in calcestruzzo armato, con calcestruzzo di classe C25/30 ed acciaio B450 C e di sezione:

-sezione a T rovescia con B=80cm, H=100cm, h=30cm, b=70cm

-sezione a T rovescia con B=80cm, H=100cm, h=30cm, b=45cm

**NUOVA SCUOLA DELL'INFANZIA A SEI SEZIONI in località CASTELLO di SERRAVALLE****viale G. Verdi - COMUNE DI VALSAMOGGIA (BO)****PROGETTO ESECUTIVO****RELAZIONE DI CALCOLO STRUTTURALE BLOCCO D**

---

-trave di collegamento a sezione rettangolare con B=50cm e H.=30cm

-trave di collegamento a sezione rettangolare con B=80cm e H.=30cm

Il piano di appoggio è circa a -1.22m dal piano finito interno.

Le fondazioni sono state calcolate e progettate per restare in ambito elastico e per sviluppare una pressione omogenea sul terreno.

Nel progetto delle fondazioni è stato applicato l'approccio 2 combinazione A1+M1+R3.

Il terreno di sedime è stato assunto di categoria C con suolo topografica T1.

Le fondazioni non sono state inserite nel modello e i pilastri sono stati ipotizzati incastrati alla base. Le sollecitazioni in corrispondenza degli incastri sono indicate qui di seguito. Le sollecitazioni sono state applicate (cambiate di segno) nel modello di calcolo generale delle fondazioni, per cui si rimanda alla relazione apposita. In corrispondenza dei giunti strutturali le strutture in elevazione raddoppiano. I carichi al piede relativi ai due pilastri contigui al giunto sono stati sommati per ogni combinazione di carico e applicati alla struttura di fondazione

NUOVA SCUOLA DELL'INFANZIA A SEI SEZIONI in località CASTELLO di SERRAVALLE

viale G. Verdi - COMUNE DI VALSAMOGGIA (BO)

PROGETTO ESECUTIVO

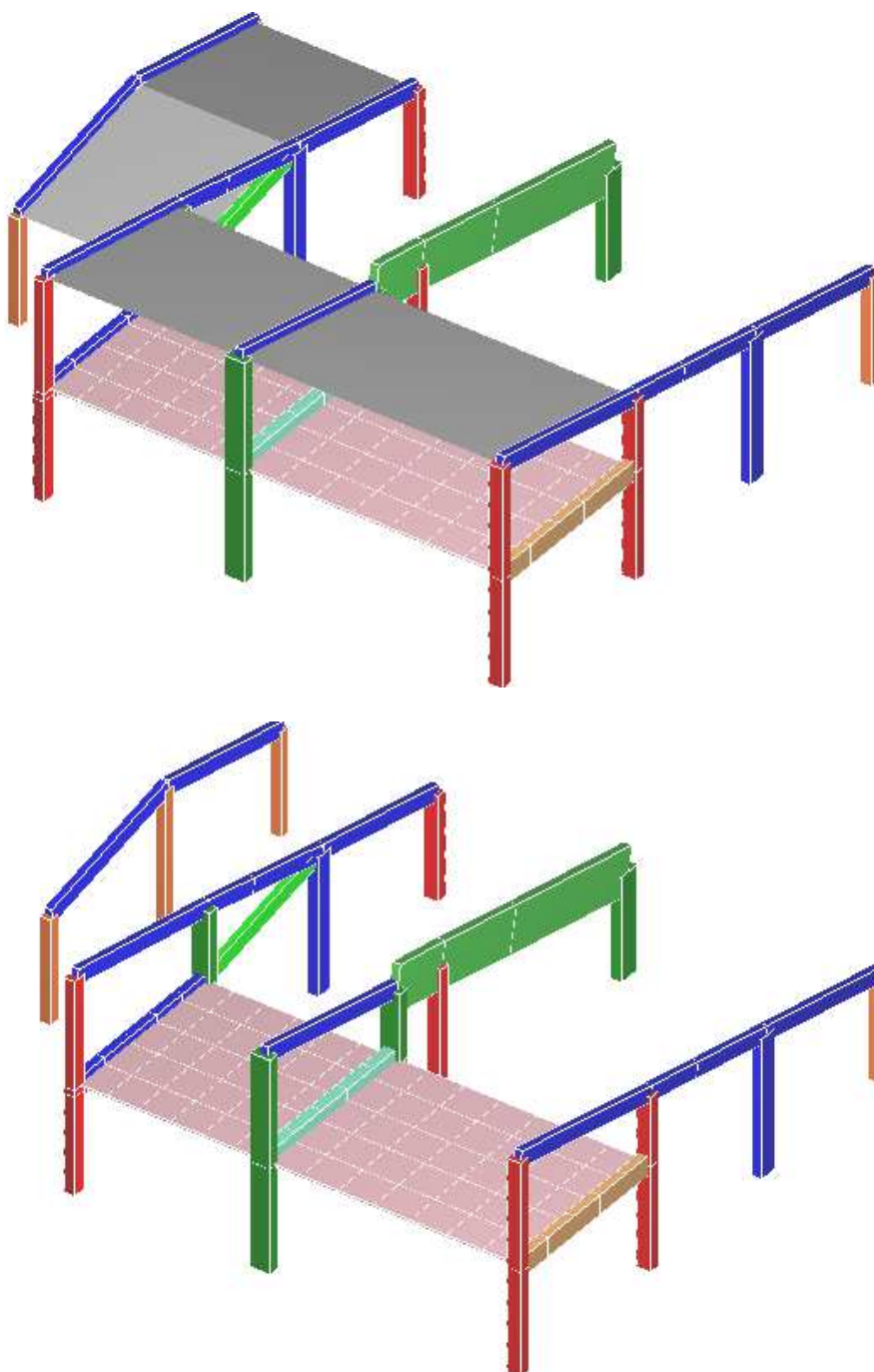
RELAZIONE DI CALCOLO STRUTTURALE BLOCCO D

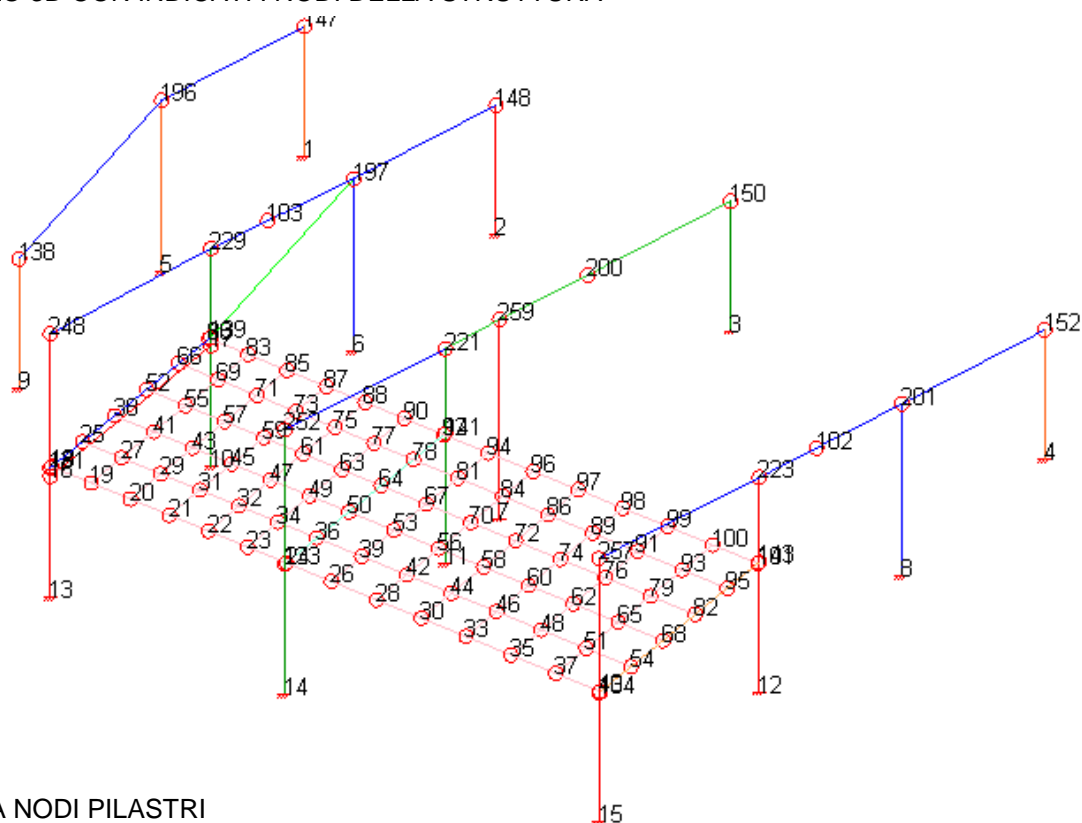
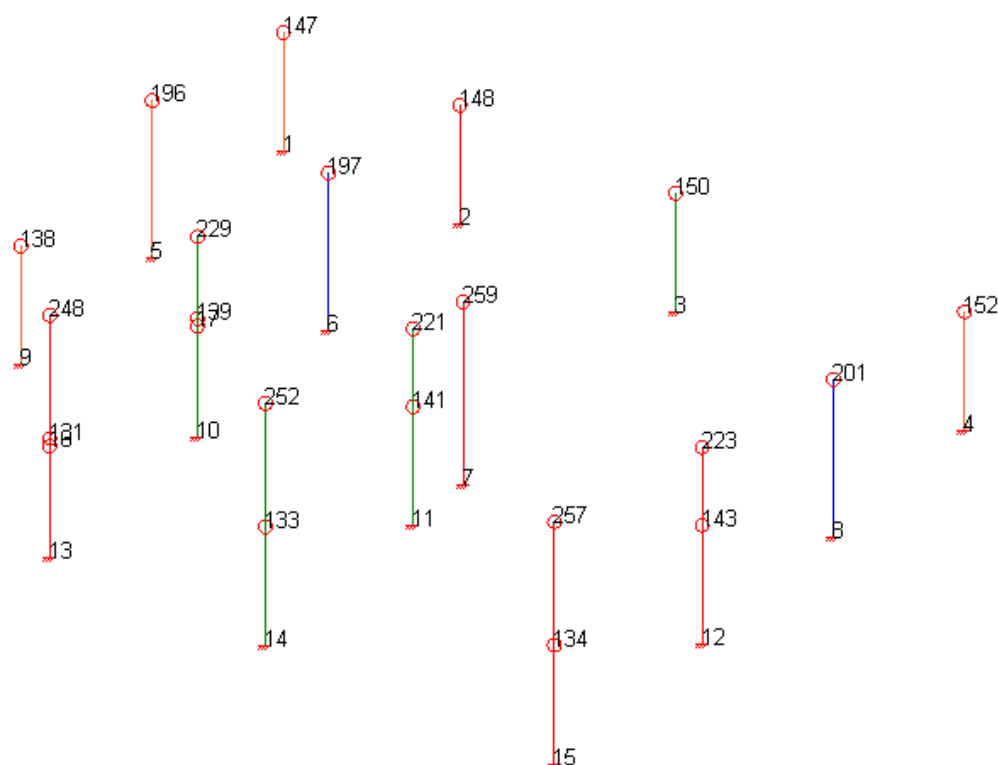
---

## 2.3- MODELLAZIONE DELLA GEOMETRIA E DELLE PROPRIETA' MECCANICHE

Vengono riportate le informazioni necessarie alla comprensione ed alla ricostruzione geometrica e meccanica del modello numerico.

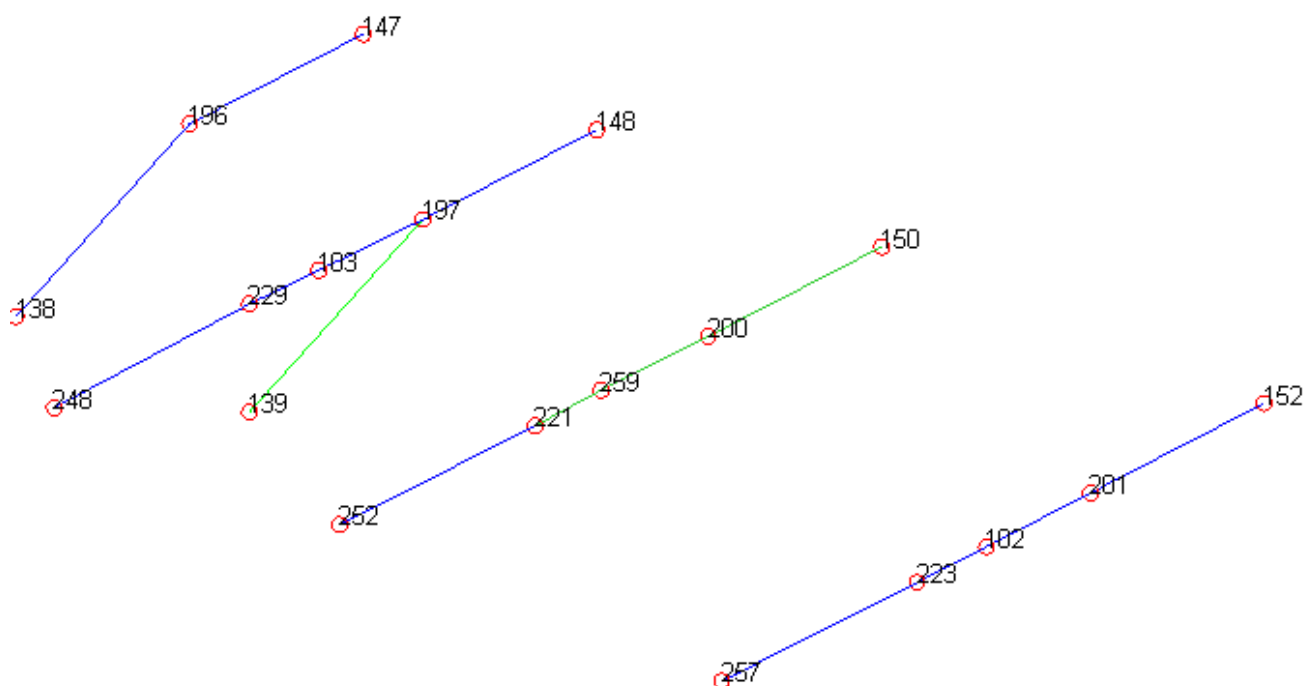
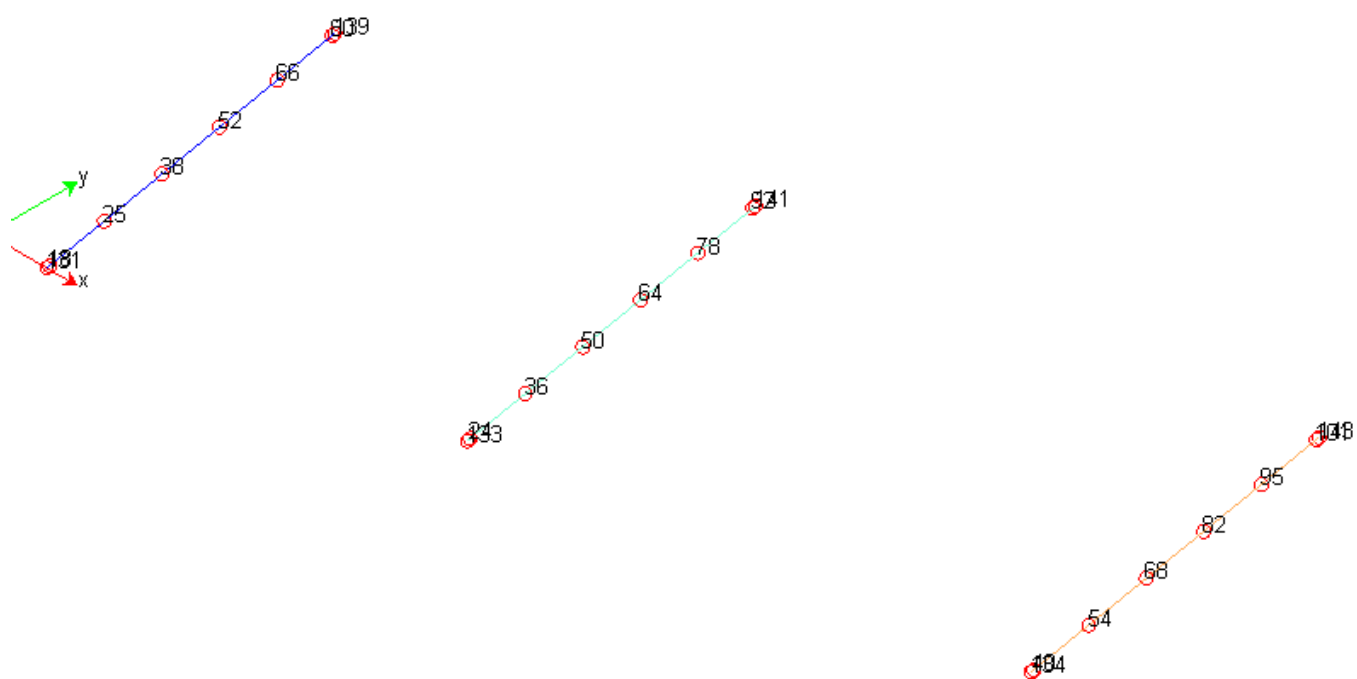
MODELLO 3D OGGETTO DI STUDIO

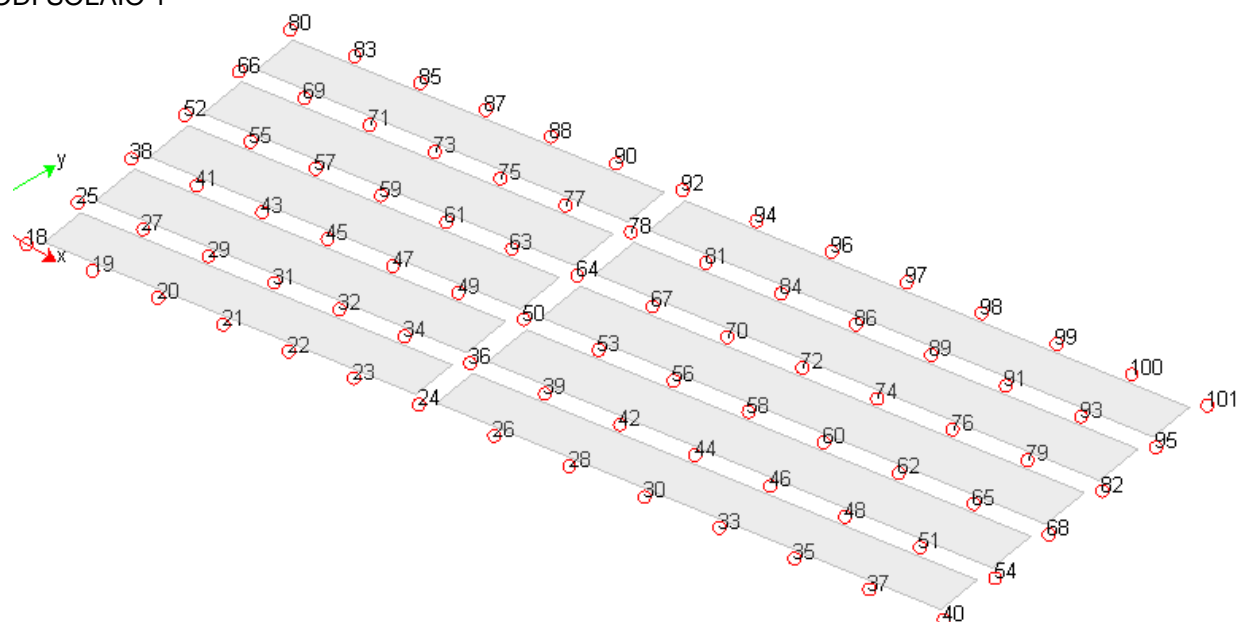
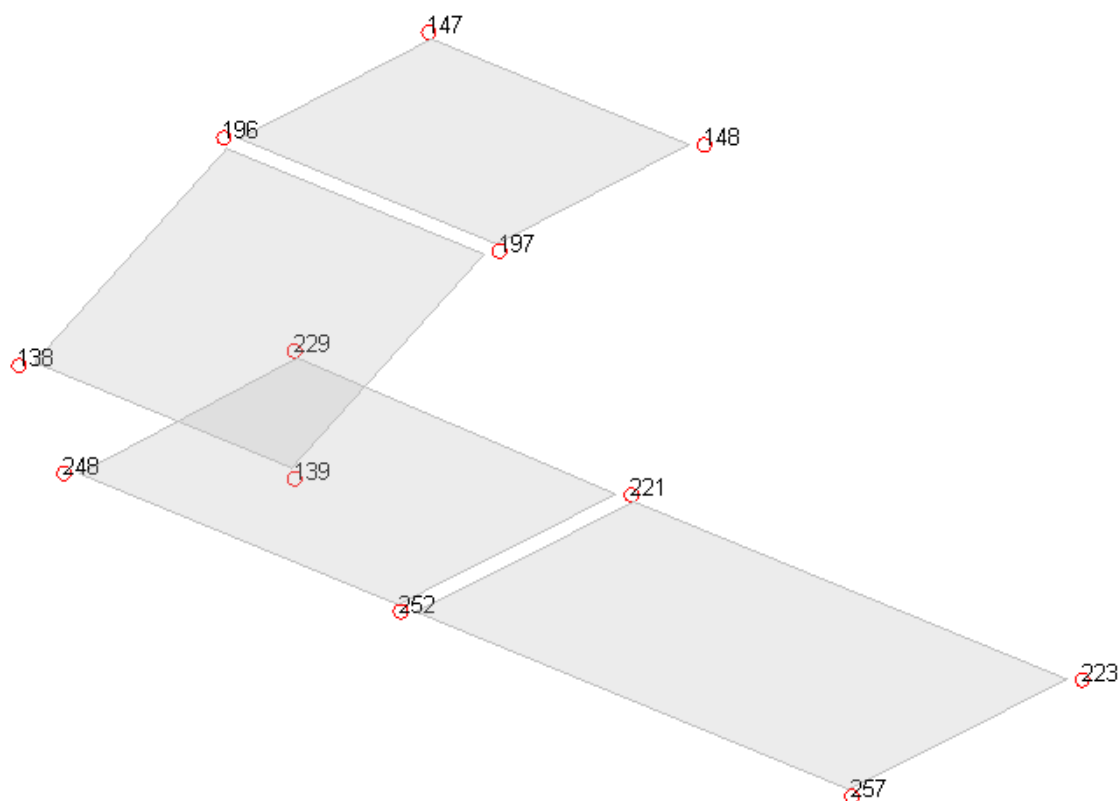


**NUOVA SCUOLA DELL'INFANZIA A SEI SEZIONI in località CASTELLO di SERRAVALLE**
**viale G. Verdi - COMUNE DI VALSAMOGGIA (BO)**
**PROGETTO ESECUTIVO**
**RELAZIONE DI CALCOLO STRUTTURALE BLOCCO D**
**MODELLO 3D CON INDICATI I NODI DELLA STRUTTURA**

**SCHEMA NODI PILASTRI**


**NUOVA SCUOLA DELL'INFANZIA A SEI SEZIONI in località CASTELLO di SERRAVALLE**
**viale G. Verdi - COMUNE DI VALSAMOGGIA (BO)**
**PROGETTO ESECUTIVO**

RELAZIONE DI CALCOLO STRUTTURALE BLOCCO D

**SCHEMA NODI TRAVI COPERTURA**

**SCHEMA NODI TRAVI COPERTURA**


**NUOVA SCUOLA DELL'INFANZIA A SEI SEZIONI in località CASTELLO di SERRAVALLE**
**viale G. Verdi - COMUNE DI VALSAMOGGIA (BO)**
**PROGETTO ESECUTIVO**
**RELAZIONE DI CALCOLO STRUTTURALE BLOCCO D**
**NODI SOLAIO 1**

**NODI COPERTURA**


**NUOVA SCUOLA DELL'INFANZIA A SEI SEZIONI in località CASTELLO di SERRAVALLE**
**viale G. Verdi - COMUNE DI VALSAMOGGIA (BO)**
**PROGETTO ESECUTIVO**
**RELAZIONE DI CALCOLO STRUTTURALE BLOCCO D**
**2.3.1-Dati relativi ai nodi della struttura**
**- Convenzioni adottate**

La terna di riferimento generale è destrorsa.

I nodi vengono numerati, con riferimento a una sezione orizzontale, da sinistra a destra, dal basso verso l'alto e per quote crescenti.

L'impalcato di appartenenza di un nodo è definito, in generale, dalla prima delle tre cifre che ne definiscono il numero, possono tuttavia presentarsi casi in cui si hanno più di 100 nodi per solaio nel qual caso il solaio di appartenenza è specificato dall'ultimo valore stampato nella riga dei dati relativi al nodo.

La maschera dei vincoli è costituita dai valori 0 e 1. Il valore 1 indica che per il nodo in riferimento il grado di libertà correlativo è soppresso mentre il valore 0 indica che è libero.

Nel caso di edifici civili multipiano l'asse z generale coincide con l'asse verticale rivolto verso l'alto.

**Nodi**

| Nodo | x<br>[m] | y<br>[m] | z<br>[m] | Ux | Uy | Uz | Rx | Ry | Rz | Solaio |
|------|----------|----------|----------|----|----|----|----|----|----|--------|
| 1    | 7.54     | 34.55    | 0.00     | 1  | 1  | 1  | 1  | 1  | 1  | 0      |
| 2    | 12.06    | 35.32    | 0.00     | 1  | 1  | 1  | 1  | 1  | 1  | 0      |
| 3    | 17.58    | 36.25    | 0.00     | 1  | 1  | 1  | 1  | 1  | 1  | 0      |
| 4    | 24.97    | 37.51    | 0.00     | 1  | 1  | 1  | 1  | 1  | 1  | 0      |
| 5    | 8.35     | 29.82    | 0.00     | 1  | 1  | 1  | 1  | 1  | 1  | 0      |
| 6    | 12.86    | 30.58    | 0.00     | 1  | 1  | 1  | 1  | 1  | 1  | 0      |
| 7    | 18.88    | 28.59    | 0.00     | 1  | 1  | 1  | 1  | 1  | 1  | 0      |
| 8    | 25.78    | 32.78    | 0.00     | 1  | 1  | 1  | 1  | 1  | 1  | 0      |
| 9    | 9.15     | 25.09    | 0.00     | 1  | 1  | 1  | 1  | 1  | 1  | 0      |
| 10   | 13.67    | 25.85    | 0.00     | 1  | 1  | 1  | 1  | 1  | 1  | 0      |
| 11   | 19.19    | 26.79    | 0.00     | 1  | 1  | 1  | 1  | 1  | 1  | 0      |
| 12   | 26.58    | 28.04    | 0.00     | 1  | 1  | 1  | 1  | 1  | 1  | 0      |
| 13   | 14.57    | 20.53    | 0.00     | 1  | 1  | 1  | 1  | 1  | 1  | 0      |
| 14   | 20.09    | 21.47    | 0.00     | 1  | 1  | 1  | 1  | 1  | 1  | 0      |
| 15   | 27.49    | 22.72    | 0.00     | 1  | 1  | 1  | 1  | 1  | 1  | 0      |
| 16   | 14.57    | 20.53    | 2.89     | 0  | 0  | 0  | 0  | 0  | 0  | 0      |
| 17   | 13.67    | 25.85    | 2.89     | 0  | 0  | 0  | 0  | 0  | 0  | 0      |
| 18   | 14.56    | 20.58    | 3.09     | 0  | 0  | 0  | 0  | 0  | 0  | 0      |
| 19   | 15.49    | 20.73    | 3.09     | 0  | 0  | 0  | 0  | 0  | 0  | 0      |
| 20   | 16.41    | 20.89    | 3.09     | 0  | 0  | 0  | 0  | 0  | 0  | 0      |
| 21   | 17.33    | 21.05    | 3.09     | 0  | 0  | 0  | 0  | 0  | 0  | 0      |

**NUOVA SCUOLA DELL'INFANZIA A SEI SEZIONI in località CASTELLO di SERRAVALLE**
**viale G. Verdi - COMUNE DI VALSAMOGGIA (BO)**
**PROGETTO ESECUTIVO**
**RELAZIONE DI CALCOLO STRUTTURALE BLOCCO D**

| Nodo | x<br>[m] | y<br>[m] | z<br>[m] | Ux | Uy | Uz | Rx | Ry | Rz | Solaio |
|------|----------|----------|----------|----|----|----|----|----|----|--------|
| 22   | 18.25    | 21.20    | 3.09     | 0  | 0  | 0  | 0  | 0  | 0  | 0      |
| 23   | 19.17    | 21.36    | 3.09     | 0  | 0  | 0  | 0  | 0  | 0  | 0      |
| 24   | 20.08    | 21.52    | 3.09     | 0  | 0  | 0  | 0  | 0  | 0  | 0      |
| 25   | 14.39    | 21.59    | 3.09     | 0  | 0  | 0  | 0  | 0  | 0  | 0      |
| 26   | 21.15    | 21.70    | 3.09     | 0  | 0  | 0  | 0  | 0  | 0  | 0      |
| 27   | 15.31    | 21.75    | 3.09     | 0  | 0  | 0  | 0  | 0  | 0  | 0      |
| 28   | 22.20    | 21.87    | 3.09     | 0  | 0  | 0  | 0  | 0  | 0  | 0      |
| 29   | 16.23    | 21.91    | 3.09     | 0  | 0  | 0  | 0  | 0  | 0  | 0      |
| 30   | 23.26    | 22.05    | 3.09     | 0  | 0  | 0  | 0  | 0  | 0  | 0      |
| 31   | 17.15    | 22.06    | 3.09     | 0  | 0  | 0  | 0  | 0  | 0  | 0      |
| 32   | 18.07    | 22.22    | 3.09     | 0  | 0  | 0  | 0  | 0  | 0  | 0      |
| 33   | 24.32    | 22.23    | 3.09     | 0  | 0  | 0  | 0  | 0  | 0  | 0      |
| 34   | 18.99    | 22.37    | 3.09     | 0  | 0  | 0  | 0  | 0  | 0  | 0      |
| 35   | 25.37    | 22.41    | 3.09     | 0  | 0  | 0  | 0  | 0  | 0  | 0      |
| 36   | 19.91    | 22.53    | 3.09     | 0  | 0  | 0  | 0  | 0  | 0  | 0      |
| 37   | 26.43    | 22.59    | 3.09     | 0  | 0  | 0  | 0  | 0  | 0  | 0      |
| 38   | 14.21    | 22.66    | 3.09     | 0  | 0  | 0  | 0  | 0  | 0  | 0      |
| 39   | 20.97    | 22.71    | 3.09     | 0  | 0  | 0  | 0  | 0  | 0  | 0      |
| 40   | 27.48    | 22.77    | 3.09     | 0  | 0  | 0  | 0  | 0  | 0  | 0      |
| 41   | 15.13    | 22.81    | 3.09     | 0  | 0  | 0  | 0  | 0  | 0  | 0      |
| 42   | 22.02    | 22.89    | 3.09     | 0  | 0  | 0  | 0  | 0  | 0  | 0      |
| 43   | 16.05    | 22.97    | 3.09     | 0  | 0  | 0  | 0  | 0  | 0  | 0      |
| 44   | 23.08    | 23.07    | 3.09     | 0  | 0  | 0  | 0  | 0  | 0  | 0      |
| 45   | 16.97    | 23.13    | 3.09     | 0  | 0  | 0  | 0  | 0  | 0  | 0      |
| 46   | 24.14    | 23.25    | 3.09     | 0  | 0  | 0  | 0  | 0  | 0  | 0      |
| 47   | 17.89    | 23.28    | 3.09     | 0  | 0  | 0  | 0  | 0  | 0  | 0      |
| 48   | 25.19    | 23.43    | 3.09     | 0  | 0  | 0  | 0  | 0  | 0  | 0      |
| 49   | 18.81    | 23.44    | 3.09     | 0  | 0  | 0  | 0  | 0  | 0  | 0      |
| 50   | 19.73    | 23.60    | 3.09     | 0  | 0  | 0  | 0  | 0  | 0  | 0      |
| 51   | 26.25    | 23.61    | 3.09     | 0  | 0  | 0  | 0  | 0  | 0  | 0      |
| 52   | 14.03    | 23.72    | 3.09     | 0  | 0  | 0  | 0  | 0  | 0  | 0      |
| 53   | 20.79    | 23.77    | 3.09     | 0  | 0  | 0  | 0  | 0  | 0  | 0      |
| 54   | 27.30    | 23.79    | 3.09     | 0  | 0  | 0  | 0  | 0  | 0  | 0      |
| 55   | 14.95    | 23.88    | 3.09     | 0  | 0  | 0  | 0  | 0  | 0  | 0      |
| 56   | 21.84    | 23.95    | 3.09     | 0  | 0  | 0  | 0  | 0  | 0  | 0      |
| 57   | 15.87    | 24.04    | 3.09     | 0  | 0  | 0  | 0  | 0  | 0  | 0      |
| 58   | 22.90    | 24.13    | 3.09     | 0  | 0  | 0  | 0  | 0  | 0  | 0      |

**NUOVA SCUOLA DELL'INFANZIA A SEI SEZIONI in località CASTELLO di SERRAVALLE**
**viale G. Verdi - COMUNE DI VALSAMOGGIA (BO)**
**PROGETTO ESECUTIVO**
**RELAZIONE DI CALCOLO STRUTTURALE BLOCCO D**

| Nodo | x<br>[m] | y<br>[m] | z<br>[m] | Ux | Uy | Uz | Rx | Ry | Rz | Solaio |
|------|----------|----------|----------|----|----|----|----|----|----|--------|
| 59   | 16.79    | 24.19    | 3.09     | 0  | 0  | 0  | 0  | 0  | 0  | 0      |
| 60   | 23.95    | 24.31    | 3.09     | 0  | 0  | 0  | 0  | 0  | 0  | 0      |
| 61   | 17.71    | 24.35    | 3.09     | 0  | 0  | 0  | 0  | 0  | 0  | 0      |
| 62   | 25.01    | 24.49    | 3.09     | 0  | 0  | 0  | 0  | 0  | 0  | 0      |
| 63   | 18.63    | 24.50    | 3.09     | 0  | 0  | 0  | 0  | 0  | 0  | 0      |
| 64   | 19.55    | 24.66    | 3.09     | 0  | 0  | 0  | 0  | 0  | 0  | 0      |
| 65   | 26.07    | 24.67    | 3.09     | 0  | 0  | 0  | 0  | 0  | 0  | 0      |
| 66   | 13.85    | 24.79    | 3.09     | 0  | 0  | 0  | 0  | 0  | 0  | 0      |
| 67   | 20.60    | 24.84    | 3.09     | 0  | 0  | 0  | 0  | 0  | 0  | 0      |
| 68   | 27.12    | 24.85    | 3.09     | 0  | 0  | 0  | 0  | 0  | 0  | 0      |
| 69   | 14.77    | 24.94    | 3.09     | 0  | 0  | 0  | 0  | 0  | 0  | 0      |
| 70   | 21.66    | 25.02    | 3.09     | 0  | 0  | 0  | 0  | 0  | 0  | 0      |
| 71   | 15.69    | 25.10    | 3.09     | 0  | 0  | 0  | 0  | 0  | 0  | 0      |
| 72   | 22.72    | 25.20    | 3.09     | 0  | 0  | 0  | 0  | 0  | 0  | 0      |
| 73   | 16.61    | 25.26    | 3.09     | 0  | 0  | 0  | 0  | 0  | 0  | 0      |
| 74   | 23.77    | 25.38    | 3.09     | 0  | 0  | 0  | 0  | 0  | 0  | 0      |
| 75   | 17.53    | 25.41    | 3.09     | 0  | 0  | 0  | 0  | 0  | 0  | 0      |
| 76   | 24.83    | 25.56    | 3.09     | 0  | 0  | 0  | 0  | 0  | 0  | 0      |
| 77   | 18.45    | 25.57    | 3.09     | 0  | 0  | 0  | 0  | 0  | 0  | 0      |
| 78   | 19.37    | 25.72    | 3.09     | 0  | 0  | 0  | 0  | 0  | 0  | 0      |
| 79   | 25.89    | 25.74    | 3.09     | 0  | 0  | 0  | 0  | 0  | 0  | 0      |
| 80   | 13.67    | 25.80    | 3.09     | 0  | 0  | 0  | 0  | 0  | 0  | 0      |
| 81   | 20.42    | 25.90    | 3.09     | 0  | 0  | 0  | 0  | 0  | 0  | 0      |
| 82   | 26.94    | 25.92    | 3.09     | 0  | 0  | 0  | 0  | 0  | 0  | 0      |
| 83   | 14.59    | 25.96    | 3.09     | 0  | 0  | 0  | 0  | 0  | 0  | 0      |
| 84   | 21.48    | 26.08    | 3.09     | 0  | 0  | 0  | 0  | 0  | 0  | 0      |
| 85   | 15.51    | 26.11    | 3.09     | 0  | 0  | 0  | 0  | 0  | 0  | 0      |
| 86   | 22.54    | 26.26    | 3.09     | 0  | 0  | 0  | 0  | 0  | 0  | 0      |
| 87   | 16.43    | 26.27    | 3.09     | 0  | 0  | 0  | 0  | 0  | 0  | 0      |
| 88   | 17.35    | 26.43    | 3.09     | 0  | 0  | 0  | 0  | 0  | 0  | 0      |
| 89   | 23.59    | 26.44    | 3.09     | 0  | 0  | 0  | 0  | 0  | 0  | 0      |
| 90   | 18.27    | 26.58    | 3.09     | 0  | 0  | 0  | 0  | 0  | 0  | 0      |
| 91   | 24.65    | 26.62    | 3.09     | 0  | 0  | 0  | 0  | 0  | 0  | 0      |
| 92   | 19.20    | 26.74    | 3.09     | 0  | 0  | 0  | 0  | 0  | 0  | 0      |
| 93   | 25.71    | 26.80    | 3.09     | 0  | 0  | 0  | 0  | 0  | 0  | 0      |
| 94   | 20.24    | 26.92    | 3.09     | 0  | 0  | 0  | 0  | 0  | 0  | 0      |
| 95   | 26.76    | 26.98    | 3.09     | 0  | 0  | 0  | 0  | 0  | 0  | 0      |

**NUOVA SCUOLA DELL'INFANZIA A SEI SEZIONI in località CASTELLO di SERRAVALLE**
**viale G. Verdi - COMUNE DI VALSAMOGGIA (BO)**
**PROGETTO ESECUTIVO**
**RELAZIONE DI CALCOLO STRUTTURALE BLOCCO D**

| Nodo | x<br>[m] | y<br>[m] | z<br>[m] | Ux | Uy | Uz | Rx | Ry | Rz | Solaio |
|------|----------|----------|----------|----|----|----|----|----|----|--------|
| 96   | 21.30    | 27.10    | 3.09     | 0  | 0  | 0  | 0  | 0  | 0  | 0      |
| 97   | 22.36    | 27.28    | 3.09     | 0  | 0  | 0  | 0  | 0  | 0  | 0      |
| 98   | 23.41    | 27.46    | 3.09     | 0  | 0  | 0  | 0  | 0  | 0  | 0      |
| 99   | 24.47    | 27.64    | 3.09     | 0  | 0  | 0  | 0  | 0  | 0  | 0      |
| 100  | 25.52    | 27.82    | 3.09     | 0  | 0  | 0  | 0  | 0  | 0  | 0      |
| 101  | 26.59    | 28.00    | 3.09     | 0  | 0  | 0  | 0  | 0  | 0  | 0      |
| 102  | 26.26    | 29.94    | 4.71     | 0  | 0  | 0  | 0  | 0  | 0  | 0      |
| 103  | 13.34    | 27.75    | 4.77     | 0  | 0  | 0  | 0  | 0  | 0  | 0      |
| 131  | 14.57    | 20.53    | 3.09     | 0  | 0  | 0  | 0  | 0  | 0  | 0      |
| 133  | 20.09    | 21.47    | 3.09     | 0  | 0  | 0  | 0  | 0  | 0  | 0      |
| 134  | 27.49    | 22.72    | 3.09     | 0  | 0  | 0  | 0  | 0  | 0  | 0      |
| 138  | 9.15     | 25.09    | 3.09     | 0  | 0  | 0  | 0  | 0  | 0  | 0      |
| 139  | 13.67    | 25.85    | 3.09     | 0  | 0  | 0  | 0  | 0  | 0  | 0      |
| 141  | 19.19    | 26.79    | 3.09     | 0  | 0  | 0  | 0  | 0  | 0  | 0      |
| 143  | 26.58    | 28.04    | 3.09     | 0  | 0  | 0  | 0  | 0  | 0  | 0      |
| 147  | 7.54     | 34.55    | 3.09     | 0  | 0  | 0  | 0  | 0  | 0  | 0      |
| 148  | 12.06    | 35.32    | 3.09     | 0  | 0  | 0  | 0  | 0  | 0  | 0      |
| 150  | 17.58    | 36.25    | 3.09     | 0  | 0  | 0  | 0  | 0  | 0  | 0      |
| 152  | 24.97    | 37.51    | 3.09     | 0  | 0  | 0  | 0  | 0  | 0  | 0      |
| 196  | 8.35     | 29.82    | 4.10     | 0  | 0  | 0  | 0  | 0  | 0  | 0      |
| 197  | 12.86    | 30.58    | 4.10     | 0  | 0  | 0  | 0  | 0  | 0  | 0      |
| 200  | 18.38    | 31.52    | 4.10     | 0  | 0  | 0  | 0  | 0  | 0  | 0      |
| 201  | 25.78    | 32.78    | 4.10     | 0  | 0  | 0  | 0  | 0  | 0  | 0      |
| 221  | 19.19    | 26.79    | 5.11     | 0  | 0  | 0  | 0  | 0  | 0  | 0      |
| 223  | 26.58    | 28.04    | 5.11     | 0  | 0  | 0  | 0  | 0  | 0  | 0      |
| 229  | 13.67    | 25.85    | 5.21     | 0  | 0  | 0  | 0  | 0  | 0  | 0      |
| 248  | 14.57    | 20.53    | 6.29     | 0  | 0  | 0  | 0  | 0  | 0  | 0      |
| 252  | 20.09    | 21.47    | 6.29     | 0  | 0  | 0  | 0  | 0  | 0  | 0      |
| 257  | 27.49    | 22.72    | 6.29     | 0  | 0  | 0  | 0  | 0  | 0  | 0      |
| 259  | 18.88    | 28.59    | 4.75     | 0  | 0  | 0  | 0  | 0  | 0  | 0      |

**NUOVA SCUOLA DELL'INFANZIA A SEI SEZIONI in località CASTELLO di SERRAVALLE**

viale G. Verdi - COMUNE DI VALSAMOGGIA (BO)

**PROGETTO ESECUTIVO**

RELAZIONE DI CALCOLO STRUTTURALE BLOCCO D

### 2.3.2-Elementi tipo pilastro

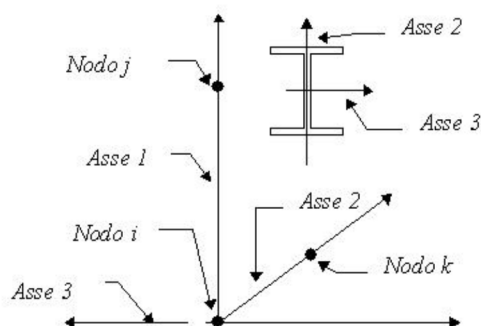
- Convenzioni adottate

Ogni elemento tipo pilastro viene identificato da:

Il nodo iniziale **i**;

Il nodo finale **j**;

Il nodo **k** che definisce l'orientamento nello spazio della terna riferimento locale dell'elemento.



La terna di riferimento locale del pilastro risulta quindi essere così disposta:

Sistema di riferimento locale

Vengono riportati i valori di efficacia dei vincoli flessionali alle estremità dell'elemento (variabili fra lo **0%** e il **100%**), nei due piani **1-2** e **1-3** del pilastro in corrispondenza dei nodi, dando quindi la possibilità di considerare aste non perfettamente incastrate alle estremità (coefficienti  **$V_{i12}$  -  $V_{j12}$  -  $V_{i13}$  -  $V_{j13}$** ).

In generale, se non diversamente disposto, l'asse 2 coincide, per i pilastri, con l'asse **y** globale e pertanto la disposizione della sezione coincide con quella che si avrebbe in una vista in pianta.

#### **Caratteristiche dei Materiali:**

Sistema di riferimento locale

Vengono riportati i valori di efficacia dei vincoli flessionali alle estremità dell'elemento (variabili fra lo **0%** e il **100%**), nei due piani **1-2** e **1-3** del pilastro in corrispondenza dei nodi, dando quindi la possibilità di considerare aste non perfettamente incastrate alle estremità (coefficienti  **$V_{i12}$  -  $V_{j12}$  -  $V_{i13}$  -  $V_{j13}$** ).

In generale, se non diversamente disposto, l'asse 2 coincide, per i pilastri, con l'asse **y** globale e pertanto la disposizione della sezione coincide con quella che si avrebbe in una vista in pianta.

**NUOVA SCUOLA DELL'INFANZIA A SEI SEZIONI in località CASTELLO di SERRAVALLE**
**viale G. Verdi - COMUNE DI VALSAMOGGIA (BO)**
**PROGETTO ESECUTIVO**
**RELAZIONE DI CALCOLO STRUTTURALE BLOCCO D**
**Caratteristiche dei Materiali:**

| Tipo | Modulo Elastico<br>[kg/cm <sup>2</sup> ] | $\nu$ | alfa<br>[1/°C] | Peso Specifico<br>[kg/m <sup>3</sup> ] | Commento     |
|------|------------------------------------------|-------|----------------|----------------------------------------|--------------|
| 1    | 300000.0                                 | 0.120 | 0.000012       | 2500.0                                 | Calcestruzzo |
| 3    | 126000.0                                 | 0.430 | 0.000000       | 450.0                                  | LEGNO        |

**Sezioni Impiegate:**

| Sezione | Materiale | Tipo di Sezione | Parametri Dimensionali<br>Commenti |
|---------|-----------|-----------------|------------------------------------|
| 1       | 1         | Rett.           | B= 30 H= 30 [cm] pil.30x30         |
| 2       | 1         | Rett.           | B= 50 H= 30 [cm] pil.50x30-1       |
| 3       | 1         | Rett.           | B= 50 H= 30 [cm] pil. 50x30-2      |
| 4       | 1         | Rett.           | B= 40 H= 30 [cm] pil.40x30         |
| 5       | 1         | Rett.           | B= 50 H= 30 [cm] pil.50x30         |
| 6       | 1         | Rett.           | B= 65 H= 30 [cm] pil.65x30         |
| 7       | 1         | Rett.           | B= 55 H= 30 [cm] pil.55x30         |

**Caratteristiche Inerziali:**

| Sezione | Materiale | Area<br>[cm <sup>2</sup> ] | Jt<br>[cm <sup>4</sup> ] | J2<br>[cm <sup>4</sup> ] | J3<br>[cm <sup>4</sup> ] | J23<br>[cm <sup>4</sup> ] | Xx  | Xy  |
|---------|-----------|----------------------------|--------------------------|--------------------------|--------------------------|---------------------------|-----|-----|
| 1       | 1         | 900.00                     | 113866                   | 67500                    | 67500                    | -0                        | 1.2 | 1.2 |
| 2       | 1         | 1500.00                    | 273656                   | 112500                   | 312500                   | 0                         | 1.2 | 1.2 |
| 3       | 1         | 1500.00                    | 273656                   | 112500                   | 312500                   | 0                         | 1.2 | 1.2 |
| 4       | 1         | 1200.00                    | 186385                   | 90000                    | 160000                   | -0                        | 1.2 | 1.2 |
| 5       | 1         | 1500.00                    | 273656                   | 112500                   | 312500                   | 0                         | 1.2 | 1.2 |
| 6       | 1         | 1950.00                    | 421531                   | 146250                   | 686562                   | -0                        | 1.2 | 1.2 |
| 7       | 1         | 1650.00                    | 321258                   | 123750                   | 415937                   | -0                        | 1.2 | 1.2 |

| Piano | Pilastro | Nodo<br>i | Nodo<br>j | Nodo<br>k | Materiale | Sezione | Luce<br>[m] | Vi12 | Vj12 | Vi13 | Vj13 |
|-------|----------|-----------|-----------|-----------|-----------|---------|-------------|------|------|------|------|
| 0     | 1        | 147       | 1         | 10027     | 1         | 1       | 3.09        | 0    | 100  | 0    | 100  |
| 0     | 2        | 148       | 2         | 10023     | 1         | 4       | 3.09        | 0    | 100  | 0    | 100  |
| 0     | 3        | 150       | 3         | 10031     | 1         | 6       | 3.09        | 0    | 100  | 0    | 100  |
| 0     | 4        | 152       | 4         | 10019     | 1         | 1       | 3.09        | 0    | 100  | 0    | 100  |
| 0     | 5        | 196       | 5         | 10028     | 1         | 1       | 4.10        | 0    | 100  | 0    | 100  |
| 0     | 6        | 197       | 6         | 10018     | 1         | 5       | 4.10        | 0    | 100  | 0    | 100  |

**NUOVA SCUOLA DELL'INFANZIA A SEI SEZIONI in località CASTELLO di SERRAVALLE**
**viale G. Verdi - COMUNE DI VALSAMOGGIA (BO)**
**PROGETTO ESECUTIVO**
**RELAZIONE DI CALCOLO STRUTTURALE BLOCCO D**

| Piano | Pilastro | Nodo<br>i | Nodo<br>j | Nodo<br>k | Materiale | Sezione | Luce<br>[m] | Vi12 | Vj12 | Vi13 | Vj13 |
|-------|----------|-----------|-----------|-----------|-----------|---------|-------------|------|------|------|------|
| 0     | 7        | 259       | 7         | 10022     | 1         | 4       | 4.75        | 0    | 100  | 0    | 100  |
| 0     | 8        | 201       | 8         | 10020     | 1         | 5       | 4.10        | 0    | 100  | 0    | 100  |
| 0     | 9        | 138       | 9         | 10029     | 1         | 1       | 3.09        | 0    | 100  | 0    | 100  |
| 0     | 10       | 17        | 10        | 10025     | 1         | 7       | 2.89        | 100  | 100  | 100  | 100  |
| 0     | 17       | 139       | 17        | 10025     | 1         | 7       | 0.20        | 100  | 100  | 100  | 100  |
| 1     | 139      | 229       | 139       | 10026     | 1         | 7       | 2.12        | 0    | 100  | 0    | 100  |
| 0     | 11       | 141       | 11        | 10034     | 1         | 7       | 3.09        | 100  | 100  | 100  | 100  |
| 1     | 141      | 221       | 141       | 10024     | 1         | 7       | 2.02        | 0    | 100  | 0    | 100  |
| 0     | 12       | 143       | 12        | 10035     | 1         | 4       | 3.09        | 100  | 100  | 100  | 100  |
| 1     | 143      | 223       | 143       | 10021     | 1         | 4       | 2.02        | 0    | 100  | 0    | 100  |
| 0     | 13       | 13        | 16        | 10033     | 1         | 4       | 2.89        | 100  | 100  | 100  | 100  |
| 0     | 14       | 133       | 14        | 10017     | 1         | 7       | 3.09        | 100  | 100  | 100  | 100  |
| 1     | 133      | 252       | 133       | 10030     | 1         | 7       | 3.20        | 0    | 100  | 0    | 100  |
| 0     | 15       | 134       | 15        | 10036     | 1         | 4       | 3.09        | 100  | 100  | 100  | 100  |
| 1     | 134      | 257       | 134       | 10036     | 1         | 4       | 3.20        | 0    | 100  | 0    | 100  |
| 0     | 16       | 16        | 131       | 10033     | 1         | 4       | 0.20        | 100  | 100  | 100  | 100  |
| 1     | 131      | 248       | 131       | 10032     | 1         | 4       | 3.20        | 0    | 100  | 0    | 100  |

**NUOVA SCUOLA DELL'INFANZIA A SEI SEZIONI in località CASTELLO di SERRAVALLE**
**viale G. Verdi - COMUNE DI VALSAMOGGIA (BO)**
**PROGETTO ESECUTIVO**
**RELAZIONE DI CALCOLO STRUTTURALE BLOCCO D**

### 2.3.3-Elementi tipo trave

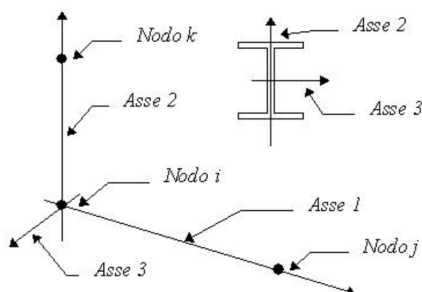
#### Convenzioni adottate

Ogni elemento tipo trave viene identificato da:

Il nodo iniziale  $i$ ;

Il nodo finale  $j$ ;

Il nodo  $k$  che definisce l'orientamento nello spazio della terna riferimento locale dell'elemento.



La terna di riferimento locale della trave risulta essere così disposta:

Vengono riportati i valori di efficacia dei vincoli alle estremità dello elemento (variabili fra 0 e 100%), nei due piani **1-2** e **1-3** della trave in corrispondenza dei nodi, dando quindi la possibilità di considerare aste non perfettamente incastrate (coefficienti  **$V_{i12}$ ,  $V_{j12}$ ,  $V_{i13}$ ,  $V_{j13}$** ).

#### Caratteristiche dei Materiali:

| Tipo | Modulo Elastico<br>[kg/cm <sup>2</sup> ] | $\nu$ | alfa<br>[1/°C] | Peso Specifico<br>[kg/m <sup>3</sup> ] | Commento     |
|------|------------------------------------------|-------|----------------|----------------------------------------|--------------|
| 1    | 300000.0                                 | 0.120 | 0.000012       | 2500.0                                 | Calcestruzzo |
| 3    | 126000.0                                 | 0.430 | 0.000000       | 450.0                                  | LEGNO        |

#### Sezioni Impiegate:

| Sezione | Materiale | Tipo di Sezione | Parametri Dimensionali<br>Commenti |
|---------|-----------|-----------------|------------------------------------|
| 1       | 3         | Rett.           | B= 20 H= 44 [cm] T203-20X44        |
| 2       | 3         | Rett.           | B= 20 H= 44 [cm] T203a-20x44       |
| 4       | 3         | Rett.           | B= 24 H= 56 [cm] T101-24X56        |
| 5       | 3         | Rett.           | B= 32 H= 68 [cm] T102-32X68        |
| 6       | 3         | Rett.           | B= 24 H= 44 [cm] T103-24X44        |
| 7       | 1         | Rett.           | B= 25 H= 34 [cm] T.CA              |

**NUOVA SCUOLA DELL'INFANZIA A SEI SEZIONI in località CASTELLO di SERRAVALLE**
**viale G. Verdi - COMUNE DI VALSAMOGGIA (BO)**
**PROGETTO ESECUTIVO**
**RELAZIONE DI CALCOLO STRUTTURALE BLOCCO D**

Caratteristiche Inerziali:

| Sezione | Materiale | Area<br>[cm <sup>2</sup> ] | Jt<br>[cm <sup>4</sup> ] | J2<br>[cm <sup>4</sup> ] | J3<br>[cm <sup>4</sup> ] | J23<br>[cm <sup>4</sup> ] | Xx  | Xy  |
|---------|-----------|----------------------------|--------------------------|--------------------------|--------------------------|---------------------------|-----|-----|
| 1       | 3         | 880.00                     | 85297                    | 141973                   | 29333                    | -0                        | 1.2 | 1.2 |
| 2       | 3         | 880.00                     | 85297                    | 141973                   | 29333                    | -0                        | 1.2 | 1.2 |
| 4       | 3         | 1344.00                    | 193858                   | 351232                   | 64512                    | -0                        | 1.2 | 1.2 |
| 5       | 3         | 2176.00                    | 529109                   | 838486                   | 185685                   | 0                         | 1.2 | 1.2 |
| 6       | 3         | 1056.00                    | 131587                   | 170368                   | 50688                    | 0                         | 1.2 | 1.2 |
| 7       | 1         | 850.00                     | 93021                    | 81883                    | 44271                    | 0                         | 1.2 | 1.2 |

| Travata | Trave | Nodo<br>i | Nodo<br>j | Nodo<br>k | Materiale | Sezione | Luce<br>[m] | Vi12 | Vj12 | Vi13 | Vj13 |
|---------|-------|-----------|-----------|-----------|-----------|---------|-------------|------|------|------|------|
| 2       | 1     | 252       | 221       | 10016     | 3         | 2       | 5.53        | 100  | 100  | 100  | 100  |
| 3       | 1     | 201       | 102       | 10007     | 3         | 2       | 2.94        | 100  | 100  | 100  | 100  |
| 4       | 1     | 197       | 103       | 10005     | 3         | 2       | 2.96        | 0    | 100  | 0    | 100  |
| 6       | 1     | 248       | 229       | 10004     | 3         | 2       | 5.51        | 100  | 0    | 100  | 0    |
| 6       | 2     | 103       | 229       | 10005     | 3         | 2       | 1.97        | 100  | 100  | 100  | 100  |
| 7       | 1     | 196       | 138       | 10008     | 3         | 2       | 4.91        | 0    | 100  | 0    | 100  |
| 8       | 1     | 197       | 148       | 10013     | 3         | 2       | 4.91        | 100  | 100  | 100  | 100  |
| 9       | 1     | 196       | 147       | 10009     | 3         | 2       | 4.91        | 100  | 100  | 100  | 100  |
| 10      | 1     | 102       | 223       | 10015     | 3         | 2       | 1.96        | 100  | 100  | 100  | 100  |
| 11      | 1     | 139       | 197       | 10014     | 3         | 1       | 4.91        | 0    | 0    | 0    | 0    |
| 12      | 1     | 201       | 152       | 10012     | 3         | 2       | 4.91        | 0    | 100  | 0    | 100  |
| 13      | 1     | 257       | 223       | 10003     | 3         | 2       | 5.53        | 100  | 0    | 100  | 0    |
| 15      | 1     | 131       | 18        | 10004     | 3         | 6       | 0.05        | 0    | 100  | 0    | 100  |
| 16      | 1     | 80        | 139       | 10000     | 3         | 6       | 0.05        | 100  | 0    | 100  | 0    |
| 17      | 1     | 133       | 24        | 10006     | 3         | 5       | 0.05        | 0    | 100  | 0    | 100  |
| 18      | 1     | 92        | 141       | 10006     | 3         | 5       | 0.05        | 100  | 0    | 100  | 0    |
| 19      | 1     | 134       | 40        | 10007     | 3         | 4       | 0.05        | 0    | 100  | 0    | 100  |
| 20      | 1     | 101       | 143       | 10007     | 3         | 4       | 0.05        | 100  | 0    | 100  | 0    |
| 21      | 1     | 66        | 80        | 10001     | 3         | 6       | 1.03        | 100  | 100  | 100  | 100  |
| 22      | 1     | 25        | 38        | 10002     | 3         | 6       | 1.08        | 100  | 100  | 100  | 100  |
| 22      | 2     | 38        | 52        | 10002     | 3         | 6       | 1.08        | 100  | 100  | 100  | 100  |
| 22      | 3     | 52        | 66        | 10002     | 3         | 6       | 1.08        | 100  | 100  | 100  | 100  |
| 23      | 1     | 82        | 95        | 10007     | 3         | 4       | 1.08        | 100  | 100  | 100  | 100  |

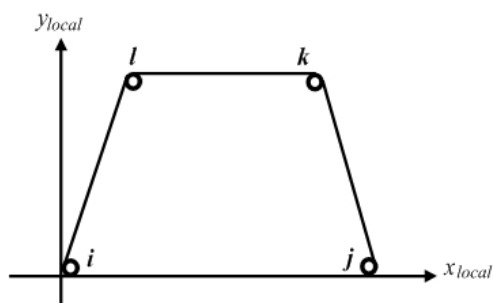
**NUOVA SCUOLA DELL'INFANZIA A SEI SEZIONI in località CASTELLO di SERRAVALLE**
**viale G. Verdi - COMUNE DI VALSAMOGGIA (BO)**
**PROGETTO ESECUTIVO**
**RELAZIONE DI CALCOLO STRUTTURALE BLOCCO D**

| Travata | Trave | Nodo<br>i | Nodo<br>j | Nodo<br>k | Materiale | Sezione | Luce<br>[m] | Vi12 | Vj12 | Vi13 | Vj13 |
|---------|-------|-----------|-----------|-----------|-----------|---------|-------------|------|------|------|------|
| 24      | 1     | 54        | 68        | 10007     | 3         | 4       | 1.08        | 100  | 100  | 100  | 100  |
| 25      | 1     | 16        | 17        | 10004     | 1         | 7       | 5.40        | 100  | 100  | 100  | 100  |
| 26      | 1     | 64        | 78        | 10006     | 3         | 5       | 1.08        | 100  | 100  | 100  | 100  |
| 27      | 1     | 36        | 50        | 10006     | 3         | 5       | 1.08        | 100  | 100  | 100  | 100  |
| 28      | 1     | 40        | 54        | 10007     | 3         | 4       | 1.03        | 100  | 100  | 100  | 100  |
| 29      | 1     | 24        | 36        | 10006     | 3         | 5       | 1.03        | 100  | 100  | 100  | 100  |
| 30      | 1     | 50        | 64        | 10006     | 3         | 5       | 1.08        | 100  | 100  | 100  | 100  |
| 31      | 1     | 78        | 92        | 10006     | 3         | 5       | 1.03        | 100  | 100  | 100  | 100  |
| 32      | 1     | 68        | 82        | 10007     | 3         | 4       | 1.08        | 100  | 100  | 100  | 100  |
| 33      | 1     | 95        | 101       | 10007     | 3         | 4       | 1.03        | 100  | 100  | 100  | 100  |
| 34      | 1     | 18        | 25        | 10002     | 3         | 6       | 1.03        | 100  | 100  | 100  | 100  |

**NUOVA SCUOLA DELL'INFANZIA A SEI SEZIONI in località CASTELLO di SERRAVALLE**
**viale G. Verdi - COMUNE DI VALSAMOGGIA (BO)**
**PROGETTO ESECUTIVO**
**RELAZIONE DI CALCOLO STRUTTURALE BLOCCO D**
**2.3.4-Elementi a quattro nodi**
**Convenzioni adottate**

L'elemento a 4 nodi è individuato tramite il numero dei quattro nodi di vertice dello stesso.

Gli assi del sistema di riferimento locale risultano così disposti:



L'asse  $x_{locale}$  ha direzione parallela alla retta congiungente i nodi i e j, è passante per i medesimi nodi ed ha verso positivo da i a j.

L'asse  $y_{locale}$  è ortogonale all'asse  $x_{locale}$ , passa per il nodo i ed ha verso positivo dalla parte del nodo l.

L'asse  $z_{locale}$  è ottenuto per prodotto vettoriale fra  $x_{locale}$  e  $y_{locale}$ .

**Caratteristiche dei Materiali:**

| Tipo | Modulo Elastico<br>[kg/cm <sup>2</sup> ] | $\nu$ | alfa<br>[1/°C] | Peso Specifico<br>[kg/m <sup>3</sup> ] | Commento     |
|------|------------------------------------------|-------|----------------|----------------------------------------|--------------|
| 1    | 300000.0                                 | 0.120 | 0.000012       | 2500.0                                 | Calcestruzzo |
| 3    | 126000.0                                 | 0.430 | 0.000000       | 450.0                                  | LEGNO        |

**Sezioni Impiegate:**

| Sezione | Materiale | Tipo di Sezione | Parametri Dimensionali<br>Commenti |
|---------|-----------|-----------------|------------------------------------|
| 1       | 1         | Mesh isotropa   | s= 5 [cm]                          |

**NUOVA SCUOLA DELL'INFANZIA A SEI SEZIONI in località CASTELLO di SERRAVALLE**
**viale G. Verdi - COMUNE DI VALSAMOGGIA (BO)**
**PROGETTO ESECUTIVO**
**RELAZIONE DI CALCOLO STRUTTURALE BLOCCO D**

| Nodo<br>i | Nodo<br>j | Nodo<br>k | Nodo<br>l | Materiale | Sezione |
|-----------|-----------|-----------|-----------|-----------|---------|
| 21        | 31        | 32        | 22        | 1         | 1       |
| 19        | 27        | 29        | 20        | 1         | 1       |
| 18        | 25        | 27        | 19        | 1         | 1       |
| 33        | 46        | 48        | 35        | 1         | 1       |
| 34        | 49        | 50        | 36        | 1         | 1       |
| 30        | 44        | 46        | 33        | 1         | 1       |
| 20        | 29        | 31        | 21        | 1         | 1       |
| 32        | 47        | 49        | 34        | 1         | 1       |
| 31        | 45        | 47        | 32        | 1         | 1       |
| 28        | 42        | 44        | 30        | 1         | 1       |
| 26        | 39        | 42        | 28        | 1         | 1       |
| 29        | 43        | 45        | 31        | 1         | 1       |
| 27        | 41        | 43        | 29        | 1         | 1       |
| 24        | 36        | 39        | 26        | 1         | 1       |
| 25        | 38        | 41        | 27        | 1         | 1       |
| 22        | 32        | 34        | 23        | 1         | 1       |
| 23        | 34        | 36        | 24        | 1         | 1       |
| 49        | 63        | 64        | 50        | 1         | 1       |
| 36        | 50        | 53        | 39        | 1         | 1       |
| 35        | 48        | 51        | 37        | 1         | 1       |
| 39        | 53        | 56        | 42        | 1         | 1       |
| 63        | 77        | 78        | 64        | 1         | 1       |
| 50        | 64        | 67        | 53        | 1         | 1       |
| 52        | 66        | 69        | 55        | 1         | 1       |
| 55        | 69        | 71        | 57        | 1         | 1       |
| 53        | 67        | 70        | 56        | 1         | 1       |
| 38        | 52        | 55        | 41        | 1         | 1       |
| 37        | 51        | 54        | 40        | 1         | 1       |
| 57        | 71        | 73        | 59        | 1         | 1       |
| 42        | 56        | 58        | 44        | 1         | 1       |
| 56        | 70        | 72        | 58        | 1         | 1       |
| 43        | 57        | 59        | 45        | 1         | 1       |
| 41        | 55        | 57        | 43        | 1         | 1       |
| 59        | 73        | 75        | 61        | 1         | 1       |
| 46        | 60        | 62        | 48        | 1         | 1       |
| 44        | 58        | 60        | 46        | 1         | 1       |
| 60        | 74        | 76        | 62        | 1         | 1       |
| 58        | 72        | 74        | 60        | 1         | 1       |

**NUOVA SCUOLA DELL'INFANZIA A SEI SEZIONI in località CASTELLO di SERRAVALLE**
**viale G. Verdi - COMUNE DI VALSAMOGGIA (BO)**
**PROGETTO ESECUTIVO**
**RELAZIONE DI CALCOLO STRUTTURALE BLOCCO D**

| Nodo<br>i | Nodo<br>j | Nodo<br>k | Nodo<br>l | Materiale | Sezione |
|-----------|-----------|-----------|-----------|-----------|---------|
| 48        | 62        | 65        | 51        | 1         | 1       |
| 51        | 65        | 68        | 54        | 1         | 1       |
| 47        | 61        | 63        | 49        | 1         | 1       |
| 45        | 59        | 61        | 47        | 1         | 1       |
| 61        | 75        | 77        | 63        | 1         | 1       |
| 77        | 90        | 92        | 78        | 1         | 1       |
| 76        | 91        | 93        | 79        | 1         | 1       |
| 79        | 93        | 95        | 82        | 1         | 1       |
| 64        | 78        | 81        | 67        | 1         | 1       |
| 93        | 100       | 101       | 95        | 1         | 1       |
| 78        | 92        | 94        | 81        | 1         | 1       |
| 81        | 94        | 96        | 84        | 1         | 1       |
| 66        | 80        | 83        | 69        | 1         | 1       |
| 70        | 84        | 86        | 72        | 1         | 1       |
| 65        | 79        | 82        | 68        | 1         | 1       |
| 67        | 81        | 84        | 70        | 1         | 1       |
| 62        | 76        | 79        | 65        | 1         | 1       |
| 84        | 96        | 97        | 86        | 1         | 1       |
| 69        | 83        | 85        | 71        | 1         | 1       |
| 72        | 86        | 89        | 74        | 1         | 1       |
| 86        | 97        | 98        | 89        | 1         | 1       |
| 71        | 85        | 87        | 73        | 1         | 1       |
| 74        | 89        | 91        | 76        | 1         | 1       |
| 73        | 87        | 88        | 75        | 1         | 1       |
| 89        | 98        | 99        | 91        | 1         | 1       |
| 75        | 88        | 90        | 77        | 1         | 1       |
| 91        | 99        | 100       | 93        | 1         | 1       |

**NUOVA SCUOLA DELL'INFANZIA A SEI SEZIONI in località CASTELLO di SERRAVALLE**

**viale G. Verdi - COMUNE DI VALSAMOGGIA (BO)**

**PROGETTO ESECUTIVO**

RELAZIONE DI CALCOLO STRUTTURALE BLOCCO D

## 2.4 Modellazione delle azioni

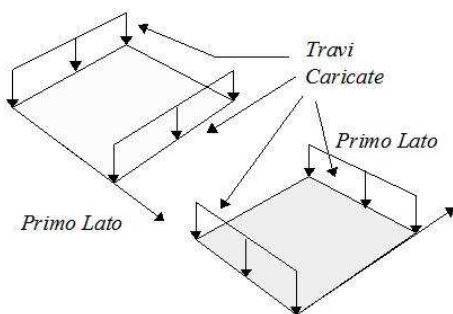
### 2.4.1-Dati relativi alle aree di carico

#### Convenzioni adottate

Nel seguito sono riportate le aree di carico definite nel progetto.

Un'area di carico è definita da una superficie contornata da travi di bordo ed i carichi superficiali su essa agenti vengono riportati dal programma sulle travi perimetrali in ragione dell'area di influenza relativa ad ogni trave e della direzione di orditura della superficie.

È importante rilevare che la direzione di orditura viene assunta dal programma con riferimento al primo lato della superficie di carico e non con riferimento all'asse x globale della struttura.



Esempio: direzione di orditura 0 gradi.

In particolare ricordiamo che le aree di carico fungono esclusivamente da supporto per il calcolo dei carichi di tipo superficiale in quanto i carichi definiti tramite tali aree di carico in effetti vengono trasferiti (sotto forma di carichi lineari o carichi nodali concentrati nei nodi) sulle travi perimetrali che contornano l'area di carico stessa.

A seguire vengono riportati per ogni tipologia definita i carichi agenti nelle varie condizioni di carico. La dizione:

**Globale**-indica che il carico è definito nel sistema di riferimento globale della struttura.

**Globale Proiettato**-indica che il carico è definito nel sistema di riferimento globale della struttura ma il valore viene computato in proiezione.

**Locale**-indica che il carico è definito nel sistema di riferimento locale della superficie di carico.

**NUOVA SCUOLA DELL'INFANZIA A SEI SEZIONI in località CASTELLO di SERRAVALLE**
**viale G. Verdi - COMUNE DI VALSAMOGGIA (BO)**
**PROGETTO ESECUTIVO**
**RELAZIONE DI CALCOLO STRUTTURALE BLOCCO D**

| Area di Carico Numero | Commento  |
|-----------------------|-----------|
| 1                     | COPERTURA |
| 2                     | SOLAIO 2  |

| Tipo | Alfa | Condizione | Carico Trasmesso | Riferimento | qx<br>[kg/m²]<br>Qx<br>[kg] | qy<br>[kg/m²]<br>Qy<br>[kg] | qz<br>[kg/m²]<br>Qz<br>[kg] |
|------|------|------------|------------------|-------------|-----------------------------|-----------------------------|-----------------------------|
| 1    | 0.00 | 2          | Alle Travi       | Globale     | 0.0                         | 0.0                         | 60.0                        |
|      |      |            |                  |             | -0.0                        | 0.0                         | 7036.9                      |
| 1    | 0.00 | 3          | Alle Travi       | Globale     | 0.0                         | 0.0                         | 45.0                        |
|      |      |            |                  |             | -0.0                        | 0.0                         | 5277.7                      |
| 1    | 0.00 | 4          | Alle Travi       | Globale     | 0.0                         | 0.0                         | 150.0                       |
|      |      |            |                  |             | -0.0                        | 0.0                         | 17592.2                     |
|      |      |            |                  |             |                             |                             |                             |
| 2    | 0.00 | 2          | Alle Travi       | Globale     | 0.0                         | 0.0                         | 180.0                       |
|      |      |            |                  |             | -0.0                        | 0.0                         | 12500.2                     |
| 2    | 0.00 | 3          | Alle Travi       | Globale     | 0.0                         | 0.0                         | 345.0                       |
|      |      |            |                  |             | -0.0                        | 0.0                         | 23958.7                     |
| 2    | 0.00 | 5          | Alle Travi       | Globale     | 0.0                         | 0.0                         | 50.0                        |
|      |      |            |                  |             | -0.0                        | -0.0                        | 3472.3                      |
|      |      |            |                  |             |                             |                             |                             |

| Tipologia | Nodi                             |
|-----------|----------------------------------|
| 2         | 18 19 20 21 22 23 24 36 34 32 31 |
|           | 29 27 25 18                      |
| 2         | 36 39 42 44 46 48 51 54 68 65 62 |
|           | 60 58 56 53 50 36                |
| 2         | 25 27 29 31 32 34 36 50 49 47 45 |
|           | 43 41 38 25                      |
| 2         | 50 53 56 58 60 62 65 68 82 79 76 |
|           | 74 72 70 67 64 50                |
| 2         | 24 26 28 30 33 35 37 40 54 51 48 |
|           | 46 44 42 39 36 24                |
| 2         | 38 41 43 45 47 49 50 64 63 61 59 |
|           | 57 55 52 38                      |
| 2         | 64 67 70 72 74 76 79 82 95 93 91 |
|           | 89 86 84 81 78 64                |

**NUOVA SCUOLA DELL'INFANZIA A SEI SEZIONI in località CASTELLO di SERRAVALLE**

**viale G. Verdi - COMUNE DI VALSAMOGGIA (BO)**

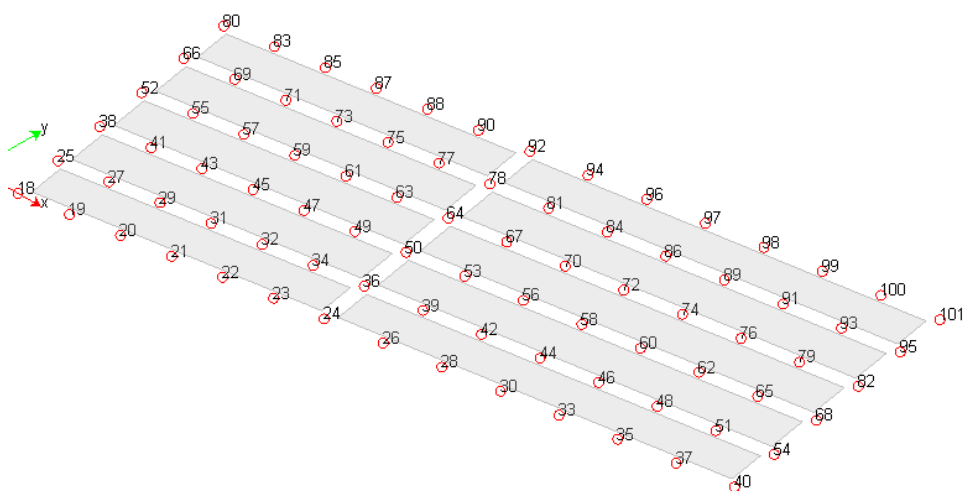
## PROGETTO ESECUTIVO

## RELAZIONE DI CALCOLO STRUTTURALE BLOCCO D

| Tipologia | Nodi                               |
|-----------|------------------------------------|
| 2         | 52 55 57 59 61 63 64 78 77 75 73   |
|           | 71 69 66 52                        |
| 2         | 66 69 71 73 75 77 78 92 90 88 87   |
|           | 85 83 80 66                        |
| 2         | 78 81 84 86 89 91 93 95 101 100 99 |
|           | 98 97 96 94 92 78                  |
| 1         | 196 197 148 147 196                |
| 1         | 138 139 197 196 138                |
| 1         | 248 252 221 229 248                |
| 1         | 252 257 223 221 252                |

## COPERTURA

## SOLAIO 1



**NUOVA SCUOLA DELL'INFANZIA A SEI SEZIONI in località CASTELLO di SERRAVALLE**
**viale G. Verdi - COMUNE DI VALSAMOGGIA (BO)**
**PROGETTO ESECUTIVO**
**RELAZIONE DI CALCOLO STRUTTURALE BLOCCO D**
**2.4.2. –Carichi applicati agli elementi**

I carichi applicati vengono raccolti nella tabella riportata alla fine del paragrafo e si intendono applicati nel sistema di riferimento locale dell'elemento.

Per la lettura della tabella si definiscono:

NodoI, NodoJ-I nodi iniziale/finale dell'asta o lato dell'elemento cui afferisce il carico

L-La distanza fra i suddetti nodi.

qxi, ..., qzj-Le componenti di un carico distribuito costante o variabile linearmente iniziali (indice i) e finale (indice j).

xi, xj-Le distanze, misurate a partire dal NodoI, dei punti di applicazione dei carichi qxi..qzj relativi a carichi distribuiti applicati su porzioni di un'asta.

Px, ..., Pz xApp-Le componenti di un Carico Concentrato applicato a distanza xApp dal NodoI.

Mx, ..., Mz xApp-Le componenti di una Coppia Concentrata applicata a distanza xApp dal NodoI.

Var Termica Assiale, ..., Var Termica Farfalla 13-Le variazioni termiche (Assiali ed a Farfalla) misurate in gradi Celsius.

mxi, ..., mzj-Le componenti di coppie distribuite costanti o variabili linearmente iniziali (indice i) e finale (indice j).

qSx, qSy, qSz-carichi, per unità di superficie, applicati su elementi superficiali o facce di elementi solidi

Peso Proprio-II valore del carico derivante dal peso proprio dell'elemento

**Carichi concentrati**

| Nodo I | Nodo J | L [m] | Condizione di carico | x [m] | Px [kg] | Py [kg] | Pz [kg] | Mx [kgm] | My [kgm] | Mz [kgm] |
|--------|--------|-------|----------------------|-------|---------|---------|---------|----------|----------|----------|
| 16     | 17     | 5.40  | 2                    | 0.63  | 0.0     | 1700.0  | 0.0     |          |          |          |
|        |        |       | 2                    | 4.77  | 0.0     | 1700.0  | 0.0     |          |          |          |
|        |        |       | 2                    | 2.37  | 0.0     | 1700.0  | 0.0     |          |          |          |
|        |        |       | 2                    | 3.03  | 0.0     | 1700.0  | 0.0     |          |          |          |
|        |        |       | 2                    | 3.03  |         |         |         | 1400.0   | 0.0      | 0.0      |
|        |        |       | 2                    | 2.37  |         |         |         | 1400.0   | 0.0      | 0.0      |
|        |        |       | 2                    | 4.77  |         |         |         | 1400.0   | 0.0      | 0.0      |
|        |        |       | 2                    | 0.63  |         |         |         | 1400.0   | 0.0      | 0.0      |

**NUOVA SCUOLA DELL'INFANZIA A SEI SEZIONI in località CASTELLO di SERRAVALLE**
**viale G. Verdi - COMUNE DI VALSAMOGGIA (BO)**
**PROGETTO ESECUTIVO**
**RELAZIONE DI CALCOLO STRUTTURALE BLOCCO D**
**2.4.3. -Combinazioni e/o percorsi di carico**
**Convenzioni adottate**

Nel seguito vengono riportate il numero di condizioni di carico statiche e dinamiche che sollecitano la struttura. Si noti che:

Per quanto riguarda le condizioni di carico dinamiche, il programma assimila ogni direzione di ingresso del sisma, definita dal progettista, ad una condizione di carico. Pertanto qualora agiscano sulla struttura  $n$  condizioni di carico statiche e il progettista abbia supposto che la struttura venga sollecitata da un sisma entrante in  $m$  direzioni, la struttura stessa viene considerata del programma come soggetta ad  $n + m$  condizioni di carico.

Le combinazioni di carico, definite dal progettista, combinano fra loro le  $n + m$  condizioni di carico ognuna partecipante alla combinazione  $i$ -esima secondo i fattori di partecipazione nel seguito riportati. N.B.: se la condizione  $j$ -esima ha fattore di partecipazione unitario, allora partecipa per intero alla combinazione  $i$ -esima.

Le prime  $n$  condizioni sono sempre statiche mentre sono di origine dinamica le (eventuali) condizioni da  $n + 1$  a  $n + m$ .

**Condizioni di carico definite**

| Condizione |                         |
|------------|-------------------------|
| 1          | PESO PROPRIO            |
| 2          | PERMANENTI PORTANTI     |
| 3          | PERMANENTI NON PORTANTI |
| 4          | ACCIDENTALI NEVE        |
| 5          | ACCIDENTALI CAT.H1      |
| 6          | Sisma 0SLV              |
| 7          | Sisma 90SLV             |
| 8          | Sisma 180SLV            |
| 9          | Sisma 270SLV            |
| 10         | Sisma 0SLD              |
| 11         | Sisma 90SLD             |
| 12         | Sisma 180SLD            |
| 13         | Sisma 270SLD            |
| 14         | Sisma 0SLO              |
| 15         | Sisma 90SLO             |
| 16         | Sisma 180SLO            |
| 17         | Sisma 270SLO            |

**NUOVA SCUOLA DELL'INFANZIA A SEI SEZIONI in località CASTELLO di SERRAVALLE**
**viale G. Verdi - COMUNE DI VALSAMOGGIA (BO)**
**PROGETTO ESECUTIVO**
**RELAZIONE DI CALCOLO STRUTTURALE BLOCCO D**
**Combinazioni agli Stati Limite Ultimi**

| Combinazione di carico numero |   |
|-------------------------------|---|
| 1                             | A |
| 2                             | B |

| Comb.\Cond | 1   | 2   | 3   | 4    | 5    |
|------------|-----|-----|-----|------|------|
| 1          | 1.3 | 1.3 | 1.5 | 1.5  | 1.05 |
| 2          | 1.3 | 1.3 | 1.5 | 0.75 | 1.5  |

**Combinazioni agli Stati Limite di Salvaguardia della Vita**

| Combinazione di carico numero |                 |
|-------------------------------|-----------------|
| 3                             | Sisma 0 / 90    |
| 4                             | Sisma 0 / 270   |
| 5                             | Sisma 90 / 0    |
| 6                             | Sisma 90 / 180  |
| 7                             | Sisma 180 / 90  |
| 8                             | Sisma 180 / 270 |
| 9                             | Sisma 270 / 0   |
| 10                            | Sisma 270 / 180 |

| Comb.\Cond | 1 | 2 | 3 | 6   | 7   | 8   | 9   |
|------------|---|---|---|-----|-----|-----|-----|
| 3          | 1 | 1 | 1 | 1   | 0.3 |     |     |
| 4          | 1 | 1 | 1 | 1   |     |     | 0.3 |
| 5          | 1 | 1 | 1 | 0.3 | 1   |     |     |
| 6          | 1 | 1 | 1 |     | 1   | 0.3 |     |
| 7          | 1 | 1 | 1 |     | 0.3 | 1   |     |
| 8          | 1 | 1 | 1 |     |     | 1   | 0.3 |
| 9          | 1 | 1 | 1 | 0.3 |     |     | 1   |
| 10         | 1 | 1 | 1 |     |     | 0.3 | 1   |

## NUOVA SCUOLA DELL'INFANZIA A SEI SEZIONI in località CASTELLO di SERRAVALLE

viale G. Verdi - COMUNE DI VALSAMOGGIA (BO)

PROGETTO ESECUTIVO

## RELAZIONE DI CALCOLO STRUTTURALE BLOCCO D

**Combinazioni RARE Stati Limite di Esercizio**

| Combinazione di carico numero |   |
|-------------------------------|---|
| 11                            | D |
| 12                            | E |
| 13                            | F |

| Comb.\Cond | 1 | 2 | 3 | 4   | 5   |
|------------|---|---|---|-----|-----|
| 11         | 1 | 1 | 1 | 1   | 0.7 |
| 12         | 1 | 1 | 1 | 0.5 | 1   |
| 13         | 1 | 1 | 1 | 0.5 |     |

**Combinazioni FREQUENTI Stati Limite di Esercizio**

| Combinazione di carico numero |   |
|-------------------------------|---|
| 14                            | G |
| 15                            | H |

| Comb.\Cond | 1 | 2 | 3 | 4   |
|------------|---|---|---|-----|
| 14         | 1 | 1 | 1 | 0.2 |
| 15         | 1 | 1 | 1 |     |

**Combinazioni QUASI PERMANENTI Stati Limite di Esercizio**

| Combinazione di carico numero |   |
|-------------------------------|---|
| 16                            | L |

| Comb.\Cond | 1 | 2 | 3 |
|------------|---|---|---|
| 16         | 1 | 1 | 1 |

**Combinazioni agli Stati Limite di Danno**

| Combinazione di carico numero |              |
|-------------------------------|--------------|
| 17                            | Sisma 0 / 90 |

**NUOVA SCUOLA DELL'INFANZIA A SEI SEZIONI in località CASTELLO di SERRAVALLE**
**viale G. Verdi - COMUNE DI VALSAMOGGIA (BO)**
**PROGETTO ESECUTIVO**
**RELAZIONE DI CALCOLO STRUTTURALE BLOCCO D**

| Combinazione di carico numero |                 |
|-------------------------------|-----------------|
| 18                            | Sisma 0 / 270   |
| 19                            | Sisma 90 / 0    |
| 20                            | Sisma 90 / 180  |
| 21                            | Sisma 180 / 90  |
| 22                            | Sisma 180 / 270 |
| 23                            | Sisma 270 / 0   |
| 24                            | Sisma 270 / 180 |

| Comb.\Cond | 1 | 2 | 3 | 10  | 11  | 12  | 13  |
|------------|---|---|---|-----|-----|-----|-----|
| 17         | 1 | 1 | 1 | 1   | 0.3 |     |     |
| 18         | 1 | 1 | 1 | 1   |     |     | 0.3 |
| 19         | 1 | 1 | 1 | 0.3 | 1   |     |     |
| 20         | 1 | 1 | 1 |     | 1   | 0.3 |     |
| 21         | 1 | 1 | 1 |     | 0.3 | 1   |     |
| 22         | 1 | 1 | 1 |     |     | 1   | 0.3 |
| 23         | 1 | 1 | 1 | 0.3 |     |     | 1   |
| 24         | 1 | 1 | 1 |     |     | 0.3 | 1   |

**Combinazioni agli Stati Limite di Operatività**

| Combinazione di carico numero |                 |
|-------------------------------|-----------------|
| 25                            | Sisma 0 / 90    |
| 26                            | Sisma 0 / 270   |
| 27                            | Sisma 90 / 0    |
| 28                            | Sisma 90 / 180  |
| 29                            | Sisma 180 / 90  |
| 30                            | Sisma 180 / 270 |
| 31                            | Sisma 270 / 0   |
| 32                            | Sisma 270 / 180 |

| Comb.\Cond | 1 | 2 | 3 | 14  | 15  | 16  | 17  |
|------------|---|---|---|-----|-----|-----|-----|
| 25         | 1 | 1 | 1 | 1   | 0.3 |     |     |
| 26         | 1 | 1 | 1 | 1   |     |     | 0.3 |
| 27         | 1 | 1 | 1 | 0.3 | 1   |     |     |
| 28         | 1 | 1 | 1 |     | 1   | 0.3 |     |
| 29         | 1 | 1 | 1 |     | 0.3 | 1   |     |
| 30         | 1 | 1 | 1 |     |     | 1   | 0.3 |
| 31         | 1 | 1 | 1 | 0.3 |     |     | 1   |

NUOVA SCUOLA DELL'INFANZIA A SEI SEZIONI in località CASTELLO di SERRAVALLE

viale G. Verdi - COMUNE DI VALSAMOGGIA (BO)

**PROGETTO ESECUTIVO**

RELAZIONE DI CALCOLO STRUTTURALE BLOCCO D

|    |   |   |   |     |   |
|----|---|---|---|-----|---|
| 32 | 1 | 1 | 1 | 0.3 | 1 |
|----|---|---|---|-----|---|

## 2.5 Principali risultati

### 2.5.1-Risultati dell'analisi modale

#### **-spettri elastici di progetto**

##### TU 2008 SLV H

Probabilità di superamento (PVR) 10.0 e periodo di ritorno (TR) 712 (anni)

Ss 1.426

TB 0.16 [sec]

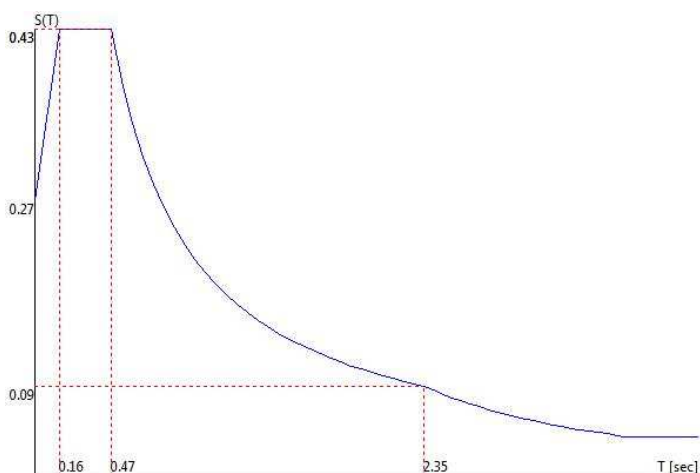
TC 0.47 [sec]

TD 2.35 [sec]

ag/g 0.1873

Fo 2.4383

TC\* 0.2986



##### TU 2008 SLD H

Probabilità di superamento (PVR) 63.0 e periodo di ritorno (TR) 75 (anni)

Ss 1.500

TB 0.15 [sec]

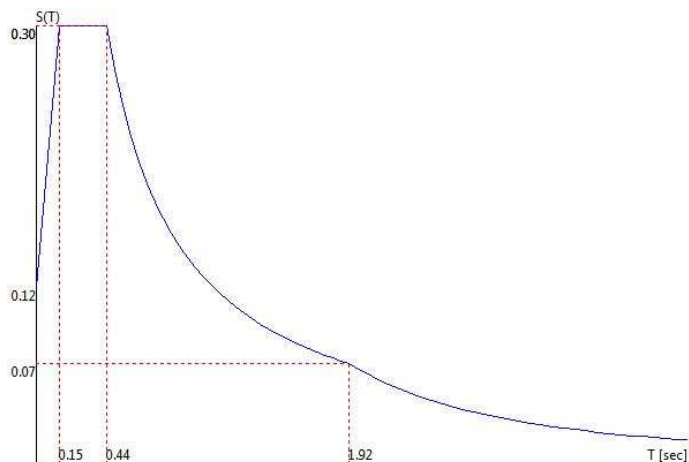
TC 0.44 [sec]

TD 1.92 [sec]

ag/g 0.0805

Fo 2.4972

TC\* 0.2714



**NUOVA SCUOLA DELL'INFANZIA A SEI SEZIONI in località CASTELLO di SERRAVALLE**

**viale G. Verdi - COMUNE DI VALSAMOGGIA (BO)**

**PROGETTO ESECUTIVO**

RELAZIONE DI CALCOLO STRUTTURALE BLOCCO D

**TU 2008 SLO H**

Probabilità di superamento (PVR) 81.0 e periodo di ritorno (TR) 45 (anni)

Ss 1.500

TB 0.14 [sec]

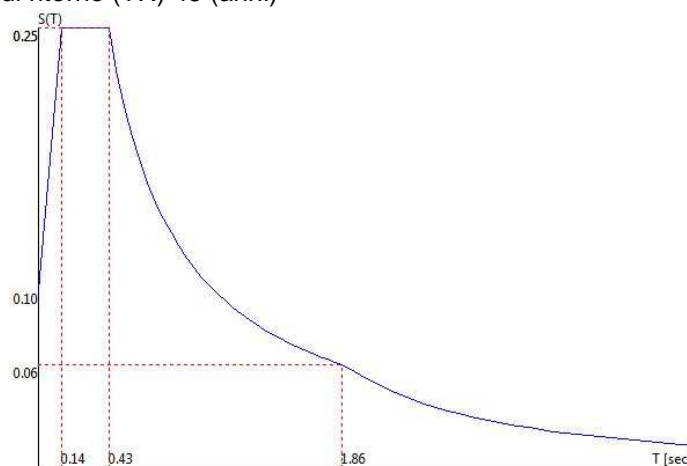
TC 0.43 [sec]

TD 1.86 [sec]

ag/g 0.0655

Fo 2.4989

TC\* 0.2667



**Direzioni d'ingresso del Sisma**

SLV Direzione 1 Angolo in pianta 0.00 [°]

SLV Direzione 2 Angolo in pianta 90.00 [°]

SLV Direzione 3 Angolo in pianta 180.00 [°]

SLV Direzione 4 Angolo in pianta 270.00 [°]

SLD Direzione 5 Angolo in pianta 0.00 [°]

SLD Direzione 6 Angolo in pianta 90.00 [°]

SLD Direzione 7 Angolo in pianta 180.00 [°]

SLD Direzione 8 Angolo in pianta 270.00 [°]

SLO Direzione 9 Angolo in pianta 0.00 [°]

SLO Direzione 10 Angolo in pianta 90.00 [°]

SLO Direzione 11 Angolo in pianta 180.00 [°]

SLO Direzione 12 Angolo in pianta 270.00 [°]

**NUOVA SCUOLA DELL'INFANZIA A SEI SEZIONI in località CASTELLO di SERRAVALLE**
**viale G. Verdi - COMUNE DI VALSAMOGGIA (BO)**
**PROGETTO ESECUTIVO**
**RELAZIONE DI CALCOLO STRUTTURALE BLOCCO D**
**Risultati analisi dinamica**

Primi autovalori e modi di vibrare della struttura.

| Modo | Autovalore  | Frequenza<br>[rad/sec] | Periodo<br>[sec] | Coefficiente<br>Risposta |
|------|-------------|------------------------|------------------|--------------------------|
| 1    | 2.01618e+02 | 14.199                 | 0.44             | 0.4341                   |
| 2    | 2.67207e+02 | 16.346                 | 0.38             | 0.4341                   |
| 3    | 2.69734e+02 | 16.424                 | 0.38             | 0.4341                   |
| 4    | 3.33644e+02 | 18.266                 | 0.34             | 0.4341                   |
| 5    | 3.50189e+02 | 18.713                 | 0.34             | 0.4341                   |
| 6    | 4.34796e+02 | 20.852                 | 0.30             | 0.4341                   |
| 7    | 5.05690e+02 | 22.488                 | 0.28             | 0.4341                   |
| 8    | 5.85774e+02 | 24.203                 | 0.26             | 0.4341                   |
| 9    | 6.43964e+02 | 25.376                 | 0.25             | 0.4341                   |
| 10   | 6.51758e+02 | 25.530                 | 0.25             | 0.4341                   |
| 11   | 7.23734e+02 | 26.902                 | 0.23             | 0.4341                   |
| 12   | 7.74877e+02 | 27.837                 | 0.23             | 0.4341                   |
| 13   | 9.00948e+02 | 30.016                 | 0.21             | 0.4341                   |
| 14   | 9.92214e+02 | 31.499                 | 0.20             | 0.4341                   |
| 15   | 1.02153e+03 | 31.961                 | 0.20             | 0.4341                   |
| 16   | 1.16599e+03 | 34.147                 | 0.18             | 0.4341                   |
| 17   | 1.26834e+03 | 35.614                 | 0.18             | 0.4341                   |
| 18   | 1.42785e+03 | 37.787                 | 0.17             | 0.4341                   |
| 19   | 1.58112e+03 | 39.763                 | 0.16             | 0.4341                   |
| 20   | 1.93736e+03 | 44.016                 | 0.14             | 0.4201                   |
| 21   | 2.25574e+03 | 47.495                 | 0.13             | 0.4089                   |
| 22   | 2.89744e+03 | 53.828                 | 0.12             | 0.3922                   |
| 23   | 3.06619e+03 | 55.373                 | 0.11             | 0.3887                   |
| 24   | 3.07245e+03 | 55.430                 | 0.11             | 0.3886                   |
| 25   | 3.12932e+03 | 55.940                 | 0.11             | 0.3875                   |
| 26   | 3.47672e+03 | 58.964                 | 0.11             | 0.3813                   |
| 27   | 4.77035e+03 | 69.068                 | 0.09             | 0.3646                   |
| 28   | 8.83117e+03 | 93.974                 | 0.07             | 0.3388                   |
| 29   | 1.36557e+04 | 116.858                | 0.05             | 0.3247                   |
| 30   | 2.50520e+04 | 158.278                | 0.04             | 0.3096                   |
| 31   | 2.88113e+04 | 169.739                | 0.04             | 0.3067                   |
| 32   | 3.23133e+04 | 179.759                | 0.03             | 0.3045                   |

**NUOVA SCUOLA DELL'INFANZIA A SEI SEZIONI in località CASTELLO di SERRAVALLE**
**viale G. Verdi - COMUNE DI VALSAMOGGIA (BO)**
**PROGETTO ESECUTIVO**
**RELAZIONE DI CALCOLO STRUTTURALE BLOCCO D**

Direzione di Ingresso del Sisma 1 Angolo 0.00

Coefficienti di partecipazione e masse modali efficaci per i vari modi di vibrare:

| Modo | Li(gi)       | Li / L1 | Emi=Li <sup>2</sup> /Mi | Emi/EmTot | Sum.Emi/EmTot |
|------|--------------|---------|-------------------------|-----------|---------------|
| 1    | 8.67266e+01  | 100.0   | 7.52151e+03             | 59.9      | 59.9          |
| 28   | -2.72806e+01 | 31.5    | 7.44232e+02             | 5.9       | 65.8          |
| 4    | 2.42516e+01  | 28.0    | 5.88142e+02             | 4.7       | 70.5          |
| 20   | 2.02670e+01  | 23.4    | 4.10750e+02             | 3.3       | 73.7          |
| 11   | 1.93374e+01  | 22.3    | 3.73935e+02             | 3.0       | 76.7          |
| 2    | 1.85134e+01  | 21.3    | 3.42747e+02             | 2.7       | 79.4          |
| 17   | -1.82518e+01 | 21.0    | 3.33128e+02             | 2.7       | 82.1          |
| 3    | 1.80443e+01  | 20.8    | 3.25598e+02             | 2.6       | 84.7          |
| 8    | 1.75016e+01  | 20.2    | 3.06305e+02             | 2.4       | 87.1          |
| 13   | 1.74283e+01  | 20.1    | 3.03746e+02             | 2.4       | 89.5          |
| 12   | -1.68645e+01 | 19.4    | 2.84413e+02             | 2.3       | 91.8          |
| 22   | 1.47937e+01  | 17.1    | 2.18853e+02             | 1.7       | 93.5          |
| 25   | 1.46799e+01  | 16.9    | 2.15501e+02             | 1.7       | 95.3          |
| 9    | 1.22221e+01  | 14.1    | 1.49381e+02             | 1.2       | 96.4          |
| 15   | 1.15191e+01  | 13.3    | 1.32689e+02             | 1.1       | 97.5          |
| 27   | 1.08925e+01  | 12.6    | 1.18646e+02             | 0.9       | 98.4          |
| 6    | 9.47255e+00  | 10.9    | 8.97292e+01             | 0.7       | 99.2          |
| 14   | 6.01898e+00  | 6.9     | 3.62281e+01             | 0.3       | 99.4          |
| 18   | -4.97684e+00 | 5.7     | 2.47690e+01             | 0.2       | 99.6          |
| 7    | 3.35002e+00  | 3.9     | 1.12226e+01             | 0.1       | 99.7          |
| 26   | 2.61155e+00  | 3.0     | 6.82020e+00             | 0.1       | 99.8          |
| 31   | -2.36965e+00 | 2.7     | 5.61523e+00             | 0.0       | 99.8          |
| 23   | 2.32385e+00  | 2.7     | 5.40027e+00             | 0.0       | 99.9          |
| 5    | -2.31895e+00 | 2.7     | 5.37751e+00             | 0.0       | 99.9          |

**NUOVA SCUOLA DELL'INFANZIA A SEI SEZIONI in località CASTELLO di SERRAVALLE**
**viale G. Verdi - COMUNE DI VALSAMOGGIA (BO)**
**PROGETTO ESECUTIVO**
**RELAZIONE DI CALCOLO STRUTTURALE BLOCCO D**

Direzione di Ingresso del Sisma 2 Angolo 90.00

Coefficienti di partecipazione e masse modali efficaci per i vari modi di vibrare:

| Modo | Li(gi)       | Li / L1 | Emi=Li <sup>2</sup> /Mi | Emi/EmTot | Sum.Emi/EmTot |
|------|--------------|---------|-------------------------|-----------|---------------|
| 11   | 6.39743e+01  | 100.0   | 4.09271e+03             | 32.6      | 32.6          |
| 6    | 4.99869e+01  | 78.1    | 2.49869e+03             | 19.9      | 52.5          |
| 12   | 3.43372e+01  | 53.7    | 1.17904e+03             | 9.4       | 61.8          |
| 4    | -3.20836e+01 | 50.2    | 1.02936e+03             | 8.2       | 70.0          |
| 9    | -3.08672e+01 | 48.2    | 9.52783e+02             | 7.6       | 77.6          |
| 10   | 2.76049e+01  | 43.2    | 7.62031e+02             | 6.1       | 83.7          |
| 18   | -2.65939e+01 | 41.6    | 7.07234e+02             | 5.6       | 89.3          |
| 5    | -2.35675e+01 | 36.8    | 5.55429e+02             | 4.4       | 93.7          |
| 20   | -2.03127e+01 | 31.8    | 4.12607e+02             | 3.3       | 97.0          |
| 22   | 1.18507e+01  | 18.5    | 1.40439e+02             | 1.1       | 98.1          |
| 7    | -1.15026e+01 | 18.0    | 1.32309e+02             | 1.1       | 99.2          |
| 25   | 5.47225e+00  | 8.6     | 2.99455e+01             | 0.2       | 99.4          |
| 8    | -4.25784e+00 | 6.7     | 1.81292e+01             | 0.1       | 99.6          |
| 14   | -3.78313e+00 | 5.9     | 1.43121e+01             | 0.1       | 99.7          |
| 29   | -3.14699e+00 | 4.9     | 9.90357e+00             | 0.1       | 99.8          |
| 2    | -2.85741e+00 | 4.5     | 8.16480e+00             | 0.1       | 99.8          |
| 1    | 2.80181e+00  | 4.4     | 7.85012e+00             | 0.1       | 99.9          |
| 31   | -2.16841e+00 | 3.4     | 4.70199e+00             | 0.0       | 99.9          |
| 17   | 1.44463e+00  | 2.3     | 2.08696e+00             | 0.0       | 99.9          |
| 23   | -1.29194e+00 | 2.0     | 1.66910e+00             | 0.0       | 100.0         |
| 28   | 1.04187e+00  | 1.6     | 1.08550e+00             | 0.0       | 100.0         |
| 32   | 8.56969e-01  | 1.3     | 7.34396e-01             | 0.0       | 100.0         |
| 26   | -8.10583e-01 | 1.3     | 6.57045e-01             | 0.0       | 100.0         |
| 19   | 7.52629e-01  | 1.2     | 5.66450e-01             | 0.0       | 100.0         |

Direzione di Ingresso del Sisma 3 Angolo 180.00

Coefficienti di partecipazione e masse modali efficaci per i vari modi di vibrare:

| Modo | Li(gi)       | Li / L1 | Emi=Li <sup>2</sup> /Mi | Emi/EmTot | Sum.Emi/EmTot |
|------|--------------|---------|-------------------------|-----------|---------------|
| 1    | -8.67266e+01 | 100.0   | 7.52151e+03             | 59.9      | 59.9          |
| 28   | 2.72806e+01  | 31.5    | 7.44232e+02             | 5.9       | 65.8          |
| 4    | -2.42516e+01 | 28.0    | 5.88142e+02             | 4.7       | 70.5          |

**NUOVA SCUOLA DELL'INFANZIA A SEI SEZIONI in località CASTELLO di SERRAVALLE**
**viale G. Verdi - COMUNE DI VALSAMOGGIA (BO)**
**PROGETTO ESECUTIVO**
**RELAZIONE DI CALCOLO STRUTTURALE BLOCCO D**

| Modo | Li(gi)       | Li / L1 | Emi=Li <sup>2</sup> /Mi | Emi/EmTot | Sum.Emi/EmTot |
|------|--------------|---------|-------------------------|-----------|---------------|
| 20   | -2.02670e+01 | 23.4    | 4.10751e+02             | 3.3       | 73.7          |
| 11   | -1.93374e+01 | 22.3    | 3.73934e+02             | 3.0       | 76.7          |
| 2    | -1.85134e+01 | 21.3    | 3.42747e+02             | 2.7       | 79.4          |
| 17   | 1.82518e+01  | 21.0    | 3.33128e+02             | 2.7       | 82.1          |
| 3    | -1.80443e+01 | 20.8    | 3.25598e+02             | 2.6       | 84.7          |
| 8    | -1.75016e+01 | 20.2    | 3.06305e+02             | 2.4       | 87.1          |
| 13   | -1.74283e+01 | 20.1    | 3.03746e+02             | 2.4       | 89.5          |
| 12   | 1.68646e+01  | 19.4    | 2.84413e+02             | 2.3       | 91.8          |
| 22   | -1.47937e+01 | 17.1    | 2.18853e+02             | 1.7       | 93.5          |
| 25   | -1.46799e+01 | 16.9    | 2.15501e+02             | 1.7       | 95.3          |
| 9    | -1.22221e+01 | 14.1    | 1.49381e+02             | 1.2       | 96.4          |
| 15   | -1.15191e+01 | 13.3    | 1.32689e+02             | 1.1       | 97.5          |
| 27   | -1.08925e+01 | 12.6    | 1.18646e+02             | 0.9       | 98.4          |
| 6    | -9.47253e+00 | 10.9    | 8.97288e+01             | 0.7       | 99.2          |
| 14   | -6.01898e+00 | 6.9     | 3.62281e+01             | 0.3       | 99.4          |
| 18   | 4.97683e+00  | 5.7     | 2.47689e+01             | 0.2       | 99.6          |
| 7    | -3.35002e+00 | 3.9     | 1.12227e+01             | 0.1       | 99.7          |
| 26   | -2.61155e+00 | 3.0     | 6.82020e+00             | 0.1       | 99.8          |
| 31   | 2.36965e+00  | 2.7     | 5.61523e+00             | 0.0       | 99.8          |
| 23   | -2.32385e+00 | 2.7     | 5.40027e+00             | 0.0       | 99.9          |
| 5    | 2.31894e+00  | 2.7     | 5.37746e+00             | 0.0       | 99.9          |

Direzione di Ingresso del Sisma 4 Angolo 270.00

Coefficienti di partecipazione e masse modali efficaci per i vari modi di vibrare:

| Modo | Li(gi)       | Li / L1 | Emi=Li <sup>2</sup> /Mi | Emi/EmTot | Sum.Emi/EmTot |
|------|--------------|---------|-------------------------|-----------|---------------|
| 11   | -6.39743e+01 | 100.0   | 4.09271e+03             | 32.6      | 32.6          |
| 6    | -4.99869e+01 | 78.1    | 2.49869e+03             | 19.9      | 52.5          |
| 12   | -3.43372e+01 | 53.7    | 1.17904e+03             | 9.4       | 61.8          |
| 4    | 3.20836e+01  | 50.2    | 1.02936e+03             | 8.2       | 70.0          |
| 9    | 3.08672e+01  | 48.2    | 9.52783e+02             | 7.6       | 77.6          |
| 10   | -2.76049e+01 | 43.2    | 7.62031e+02             | 6.1       | 83.7          |
| 18   | 2.65939e+01  | 41.6    | 7.07234e+02             | 5.6       | 89.3          |
| 5    | 2.35675e+01  | 36.8    | 5.55429e+02             | 4.4       | 93.7          |
| 20   | 2.03127e+01  | 31.8    | 4.12606e+02             | 3.3       | 97.0          |

**NUOVA SCUOLA DELL'INFANZIA A SEI SEZIONI in località CASTELLO di SERRAVALLE**
**viale G. Verdi - COMUNE DI VALSAMOGGIA (BO)**
**PROGETTO ESECUTIVO**
**RELAZIONE DI CALCOLO STRUTTURALE BLOCCO D**

| Modo | Li(gi)       | Li / L1 | Emi=Li <sup>2</sup> /Mi | Emi/EmTot | Sum.Emi/EmTot |
|------|--------------|---------|-------------------------|-----------|---------------|
| 22   | -1.18507e+01 | 18.5    | 1.40439e+02             | 1.1       | 98.1          |
| 7    | 1.15026e+01  | 18.0    | 1.32309e+02             | 1.1       | 99.2          |
| 25   | -5.47226e+00 | 8.6     | 2.99456e+01             | 0.2       | 99.4          |
| 8    | 4.25783e+00  | 6.7     | 1.81291e+01             | 0.1       | 99.6          |
| 14   | 3.78313e+00  | 5.9     | 1.43121e+01             | 0.1       | 99.7          |
| 29   | 3.14699e+00  | 4.9     | 9.90356e+00             | 0.1       | 99.8          |
| 2    | 2.85740e+00  | 4.5     | 8.16475e+00             | 0.1       | 99.8          |
| 1    | -2.80185e+00 | 4.4     | 7.85034e+00             | 0.1       | 99.9          |
| 31   | 2.16841e+00  | 3.4     | 4.70200e+00             | 0.0       | 99.9          |
| 17   | -1.44462e+00 | 2.3     | 2.08693e+00             | 0.0       | 99.9          |
| 23   | 1.29194e+00  | 2.0     | 1.66910e+00             | 0.0       | 100.0         |
| 28   | -1.04186e+00 | 1.6     | 1.08547e+00             | 0.0       | 100.0         |
| 32   | -8.56969e-01 | 1.3     | 7.34396e-01             | 0.0       | 100.0         |
| 26   | 8.10582e-01  | 1.3     | 6.57043e-01             | 0.0       | 100.0         |
| 19   | -7.52629e-01 | 1.2     | 5.66450e-01             | 0.0       | 100.0         |

Direzione di Ingresso del Sisma 5 Angolo 0.00

Coefficienti di partecipazione e masse modali efficaci per i vari modi di vibrare:

| Modo | Li(gi)       | Li / L1 | Emi=Li <sup>2</sup> /Mi | Emi/EmTot | Sum.Emi/EmTot |
|------|--------------|---------|-------------------------|-----------|---------------|
| 1    | 8.67266e+01  | 100.0   | 7.52151e+03             | 59.9      | 59.9          |
| 28   | -2.72806e+01 | 31.5    | 7.44232e+02             | 5.9       | 65.8          |
| 4    | 2.42516e+01  | 28.0    | 5.88142e+02             | 4.7       | 70.5          |
| 20   | 2.02670e+01  | 23.4    | 4.10750e+02             | 3.3       | 73.7          |
| 11   | 1.93374e+01  | 22.3    | 3.73935e+02             | 3.0       | 76.7          |
| 2    | 1.85134e+01  | 21.3    | 3.42747e+02             | 2.7       | 79.4          |
| 17   | -1.82518e+01 | 21.0    | 3.33128e+02             | 2.7       | 82.1          |
| 3    | 1.80443e+01  | 20.8    | 3.25598e+02             | 2.6       | 84.7          |
| 8    | 1.75016e+01  | 20.2    | 3.06305e+02             | 2.4       | 87.1          |
| 13   | 1.74283e+01  | 20.1    | 3.03746e+02             | 2.4       | 89.5          |
| 12   | -1.68645e+01 | 19.4    | 2.84413e+02             | 2.3       | 91.8          |
| 22   | 1.47937e+01  | 17.1    | 2.18853e+02             | 1.7       | 93.5          |
| 25   | 1.46799e+01  | 16.9    | 2.15501e+02             | 1.7       | 95.3          |
| 9    | 1.22221e+01  | 14.1    | 1.49381e+02             | 1.2       | 96.4          |
| 15   | 1.15191e+01  | 13.3    | 1.32689e+02             | 1.1       | 97.5          |

**NUOVA SCUOLA DELL'INFANZIA A SEI SEZIONI in località CASTELLO di SERRAVALLE**
**viale G. Verdi - COMUNE DI VALSAMOGGIA (BO)**
**PROGETTO ESECUTIVO**
**RELAZIONE DI CALCOLO STRUTTURALE BLOCCO D**

| Modo | Li(gi)       | Li / L1 | Emi=Li <sup>2</sup> /Mi | Emi/EmTot | Sum.Emi/EmTot |
|------|--------------|---------|-------------------------|-----------|---------------|
| 27   | 1.08925e+01  | 12.6    | 1.18646e+02             | 0.9       | 98.4          |
| 6    | 9.47255e+00  | 10.9    | 8.97292e+01             | 0.7       | 99.2          |
| 14   | 6.01898e+00  | 6.9     | 3.62281e+01             | 0.3       | 99.4          |
| 18   | -4.97684e+00 | 5.7     | 2.47690e+01             | 0.2       | 99.6          |
| 7    | 3.35002e+00  | 3.9     | 1.12226e+01             | 0.1       | 99.7          |
| 26   | 2.61155e+00  | 3.0     | 6.82020e+00             | 0.1       | 99.8          |
| 31   | -2.36965e+00 | 2.7     | 5.61523e+00             | 0.0       | 99.8          |
| 23   | 2.32385e+00  | 2.7     | 5.40027e+00             | 0.0       | 99.9          |
| 5    | -2.31895e+00 | 2.7     | 5.37751e+00             | 0.0       | 99.9          |

Direzione di Ingresso del Sisma 6 Angolo 90.00

Coefficienti di partecipazione e masse modali efficaci per i vari modi di vibrare:

| Modo | Li(gi)       | Li / L1 | Emi=Li <sup>2</sup> /Mi | Emi/EmTot | Sum.Emi/EmTot |
|------|--------------|---------|-------------------------|-----------|---------------|
| 11   | 6.39743e+01  | 100.0   | 4.09271e+03             | 32.6      | 32.6          |
| 6    | 4.99869e+01  | 78.1    | 2.49869e+03             | 19.9      | 52.5          |
| 12   | 3.43372e+01  | 53.7    | 1.17904e+03             | 9.4       | 61.8          |
| 4    | -3.20836e+01 | 50.2    | 1.02936e+03             | 8.2       | 70.0          |
| 9    | -3.08672e+01 | 48.2    | 9.52783e+02             | 7.6       | 77.6          |
| 10   | 2.76049e+01  | 43.2    | 7.62031e+02             | 6.1       | 83.7          |
| 18   | -2.65939e+01 | 41.6    | 7.07234e+02             | 5.6       | 89.3          |
| 5    | -2.35675e+01 | 36.8    | 5.55429e+02             | 4.4       | 93.7          |
| 20   | -2.03127e+01 | 31.8    | 4.12607e+02             | 3.3       | 97.0          |
| 22   | 1.18507e+01  | 18.5    | 1.40439e+02             | 1.1       | 98.1          |
| 7    | -1.15026e+01 | 18.0    | 1.32309e+02             | 1.1       | 99.2          |
| 25   | 5.47225e+00  | 8.6     | 2.99455e+01             | 0.2       | 99.4          |
| 8    | -4.25784e+00 | 6.7     | 1.81292e+01             | 0.1       | 99.6          |
| 14   | -3.78313e+00 | 5.9     | 1.43121e+01             | 0.1       | 99.7          |
| 29   | -3.14699e+00 | 4.9     | 9.90357e+00             | 0.1       | 99.8          |
| 2    | -2.85741e+00 | 4.5     | 8.16480e+00             | 0.1       | 99.8          |
| 1    | 2.80181e+00  | 4.4     | 7.85012e+00             | 0.1       | 99.9          |
| 31   | -2.16841e+00 | 3.4     | 4.70199e+00             | 0.0       | 99.9          |
| 17   | 1.44463e+00  | 2.3     | 2.08696e+00             | 0.0       | 99.9          |
| 23   | -1.29194e+00 | 2.0     | 1.66910e+00             | 0.0       | 100.0         |
| 28   | 1.04187e+00  | 1.6     | 1.08550e+00             | 0.0       | 100.0         |

**NUOVA SCUOLA DELL'INFANZIA A SEI SEZIONI in località CASTELLO di SERRAVALLE**

**viale G. Verdi - COMUNE DI VALSAMOGGIA (BO)**

**PROGETTO ESECUTIVO**

**RELAZIONE DI CALCOLO STRUTTURALE BLOCCO D**

| Modo | Li(gi)       | Li / L1 | Emi=Li <sup>2</sup> /Mi | Emi/EmTot | Sum.Emi/EmTot |
|------|--------------|---------|-------------------------|-----------|---------------|
| 32   | 8.56969e-01  | 1.3     | 7.34396e-01             | 0.0       | 100.0         |
| 26   | -8.10583e-01 | 1.3     | 6.57045e-01             | 0.0       | 100.0         |
| 19   | 7.52629e-01  | 1.2     | 5.66450e-01             | 0.0       | 100.0         |

Direzione di Ingresso del Sisma 7 Angolo 180.00

Coefficienti di partecipazione e masse modali efficaci per i vari modi di vibrare:

| Modo | Li(gi)       | Li / L1 | Emi=Li <sup>2</sup> /Mi | Emi/EmTot | Sum.Emi/EmTot |
|------|--------------|---------|-------------------------|-----------|---------------|
| 1    | -8.67266e+01 | 100.0   | 7.52151e+03             | 59.9      | 59.9          |
| 28   | 2.72806e+01  | 31.5    | 7.44232e+02             | 5.9       | 65.8          |
| 4    | -2.42516e+01 | 28.0    | 5.88142e+02             | 4.7       | 70.5          |
| 20   | -2.02670e+01 | 23.4    | 4.10751e+02             | 3.3       | 73.7          |
| 11   | -1.93374e+01 | 22.3    | 3.73934e+02             | 3.0       | 76.7          |
| 2    | -1.85134e+01 | 21.3    | 3.42747e+02             | 2.7       | 79.4          |
| 17   | 1.82518e+01  | 21.0    | 3.33128e+02             | 2.7       | 82.1          |
| 3    | -1.80443e+01 | 20.8    | 3.25598e+02             | 2.6       | 84.7          |
| 8    | -1.75016e+01 | 20.2    | 3.06305e+02             | 2.4       | 87.1          |
| 13   | -1.74283e+01 | 20.1    | 3.03746e+02             | 2.4       | 89.5          |
| 12   | 1.68646e+01  | 19.4    | 2.84413e+02             | 2.3       | 91.8          |
| 22   | -1.47937e+01 | 17.1    | 2.18853e+02             | 1.7       | 93.5          |
| 25   | -1.46799e+01 | 16.9    | 2.15501e+02             | 1.7       | 95.3          |
| 9    | -1.22221e+01 | 14.1    | 1.49381e+02             | 1.2       | 96.4          |
| 15   | -1.15191e+01 | 13.3    | 1.32689e+02             | 1.1       | 97.5          |
| 27   | -1.08925e+01 | 12.6    | 1.18646e+02             | 0.9       | 98.4          |
| 6    | -9.47253e+00 | 10.9    | 8.97288e+01             | 0.7       | 99.2          |
| 14   | -6.01898e+00 | 6.9     | 3.62281e+01             | 0.3       | 99.4          |
| 18   | 4.97683e+00  | 5.7     | 2.47689e+01             | 0.2       | 99.6          |
| 7    | -3.35002e+00 | 3.9     | 1.12227e+01             | 0.1       | 99.7          |
| 26   | -2.61155e+00 | 3.0     | 6.82020e+00             | 0.1       | 99.8          |
| 31   | 2.36965e+00  | 2.7     | 5.61523e+00             | 0.0       | 99.8          |
| 23   | -2.32385e+00 | 2.7     | 5.40027e+00             | 0.0       | 99.9          |
| 5    | 2.31894e+00  | 2.7     | 5.37746e+00             | 0.0       | 99.9          |

Direzione di Ingresso del Sisma 8 Angolo 270.00

Coefficienti di partecipazione e masse modali efficaci per i vari modi di vibrare:

**NUOVA SCUOLA DELL'INFANZIA A SEI SEZIONI in località CASTELLO di SERRAVALLE**
**viale G. Verdi - COMUNE DI VALSAMOGGIA (BO)**
**PROGETTO ESECUTIVO**
**RELAZIONE DI CALCOLO STRUTTURALE BLOCCO D**

| Modo | Li(gi)       | Li / L1 | Emi=Li <sup>2</sup> /Mi | Emi/EmTot | Sum.Emi/EmTot |
|------|--------------|---------|-------------------------|-----------|---------------|
| 11   | -6.39743e+01 | 100.0   | 4.09271e+03             | 32.6      | 32.6          |
| 6    | -4.99869e+01 | 78.1    | 2.49869e+03             | 19.9      | 52.5          |
| 12   | -3.43372e+01 | 53.7    | 1.17904e+03             | 9.4       | 61.8          |
| 4    | 3.20836e+01  | 50.2    | 1.02936e+03             | 8.2       | 70.0          |
| 9    | 3.08672e+01  | 48.2    | 9.52783e+02             | 7.6       | 77.6          |
| 10   | -2.76049e+01 | 43.2    | 7.62031e+02             | 6.1       | 83.7          |
| 18   | 2.65939e+01  | 41.6    | 7.07234e+02             | 5.6       | 89.3          |
| 5    | 2.35675e+01  | 36.8    | 5.55429e+02             | 4.4       | 93.7          |
| 20   | 2.03127e+01  | 31.8    | 4.12606e+02             | 3.3       | 97.0          |
| 22   | -1.18507e+01 | 18.5    | 1.40439e+02             | 1.1       | 98.1          |
| 7    | 1.15026e+01  | 18.0    | 1.32309e+02             | 1.1       | 99.2          |
| 25   | -5.47226e+00 | 8.6     | 2.99456e+01             | 0.2       | 99.4          |
| 8    | 4.25783e+00  | 6.7     | 1.81291e+01             | 0.1       | 99.6          |
| 14   | 3.78313e+00  | 5.9     | 1.43121e+01             | 0.1       | 99.7          |
| 29   | 3.14699e+00  | 4.9     | 9.90356e+00             | 0.1       | 99.8          |
| 2    | 2.85740e+00  | 4.5     | 8.16475e+00             | 0.1       | 99.8          |
| 1    | -2.80185e+00 | 4.4     | 7.85034e+00             | 0.1       | 99.9          |
| 31   | 2.16841e+00  | 3.4     | 4.70200e+00             | 0.0       | 99.9          |
| 17   | -1.44462e+00 | 2.3     | 2.08693e+00             | 0.0       | 99.9          |
| 23   | 1.29194e+00  | 2.0     | 1.66910e+00             | 0.0       | 100.0         |
| 28   | -1.04186e+00 | 1.6     | 1.08547e+00             | 0.0       | 100.0         |
| 32   | -8.56969e-01 | 1.3     | 7.34396e-01             | 0.0       | 100.0         |
| 26   | 8.10582e-01  | 1.3     | 6.57043e-01             | 0.0       | 100.0         |
| 19   | -7.52629e-01 | 1.2     | 5.66450e-01             | 0.0       | 100.0         |

Direzione di Ingresso del Sisma 9 Angolo 00.00

Coefficienti di partecipazione e masse modali efficaci per i vari modi di vibrare:

| Modo | Li(gi)       | Li / L1 | Emi=Li <sup>2</sup> /Mi | Emi/EmTot | Sum.Emi/EmTot |
|------|--------------|---------|-------------------------|-----------|---------------|
| 1    | 8.67266e+01  | 100.0   | 7.52151e+03             | 59.9      | 59.9          |
| 28   | -2.72806e+01 | 31.5    | 7.44232e+02             | 5.9       | 65.8          |
| 4    | 2.42516e+01  | 28.0    | 5.88142e+02             | 4.7       | 70.5          |
| 20   | 2.02670e+01  | 23.4    | 4.10750e+02             | 3.3       | 73.7          |
| 11   | 1.93374e+01  | 22.3    | 3.73935e+02             | 3.0       | 76.7          |
| 2    | 1.85134e+01  | 21.3    | 3.42747e+02             | 2.7       | 79.4          |

**NUOVA SCUOLA DELL'INFANZIA A SEI SEZIONI in località CASTELLO di SERRAVALLE**

**viale G. Verdi - COMUNE DI VALSAMOGGIA (BO)**

**PROGETTO ESECUTIVO**

**RELAZIONE DI CALCOLO STRUTTURALE BLOCCO D**

| Modo | Li(gi)       | Li / L1 | Emi=Li <sup>2</sup> /Mi | Emi/EmTot | Sum.Emi/EmTot |
|------|--------------|---------|-------------------------|-----------|---------------|
| 17   | -1.82518e+01 | 21.0    | 3.33128e+02             | 2.7       | 82.1          |
| 3    | 1.80443e+01  | 20.8    | 3.25598e+02             | 2.6       | 84.7          |
| 8    | 1.75016e+01  | 20.2    | 3.06305e+02             | 2.4       | 87.1          |
| 13   | 1.74283e+01  | 20.1    | 3.03746e+02             | 2.4       | 89.5          |
| 12   | -1.68645e+01 | 19.4    | 2.84413e+02             | 2.3       | 91.8          |
| 22   | 1.47937e+01  | 17.1    | 2.18853e+02             | 1.7       | 93.5          |
| 25   | 1.46799e+01  | 16.9    | 2.15501e+02             | 1.7       | 95.3          |
| 9    | 1.22221e+01  | 14.1    | 1.49381e+02             | 1.2       | 96.4          |
| 15   | 1.15191e+01  | 13.3    | 1.32689e+02             | 1.1       | 97.5          |
| 27   | 1.08925e+01  | 12.6    | 1.18646e+02             | 0.9       | 98.4          |
| 6    | 9.47255e+00  | 10.9    | 8.97292e+01             | 0.7       | 99.2          |
| 14   | 6.01898e+00  | 6.9     | 3.62281e+01             | 0.3       | 99.4          |
| 18   | -4.97684e+00 | 5.7     | 2.47690e+01             | 0.2       | 99.6          |
| 7    | 3.35002e+00  | 3.9     | 1.12226e+01             | 0.1       | 99.7          |
| 26   | 2.61155e+00  | 3.0     | 6.82020e+00             | 0.1       | 99.8          |
| 31   | -2.36965e+00 | 2.7     | 5.61523e+00             | 0.0       | 99.8          |
| 23   | 2.32385e+00  | 2.7     | 5.40027e+00             | 0.0       | 99.9          |
| 5    | -2.31895e+00 | 2.7     | 5.37751e+00             | 0.0       | 99.9          |

Direzione di Ingresso del Sisma 90 Angolo 90.00

Coefficienti di partecipazione e masse modali efficaci per i vari modi di vibrare:

| Modo | Li(gi)       | Li / L1 | Emi=Li <sup>2</sup> /Mi | Emi/EmTot | Sum.Emi/EmTot |
|------|--------------|---------|-------------------------|-----------|---------------|
| 11   | 6.39743e+01  | 100.0   | 4.09271e+03             | 32.6      | 32.6          |
| 6    | 4.99869e+01  | 78.1    | 2.49869e+03             | 19.9      | 52.5          |
| 12   | 3.43372e+01  | 53.7    | 1.17904e+03             | 9.4       | 61.8          |
| 4    | -3.20836e+01 | 50.2    | 1.02936e+03             | 8.2       | 70.0          |
| 9    | -3.08672e+01 | 48.2    | 9.52783e+02             | 7.6       | 77.6          |
| 10   | 2.76049e+01  | 43.2    | 7.62031e+02             | 6.1       | 83.7          |
| 18   | -2.65939e+01 | 41.6    | 7.07234e+02             | 5.6       | 89.3          |
| 5    | -2.35675e+01 | 36.8    | 5.55429e+02             | 4.4       | 93.7          |
| 20   | -2.03127e+01 | 31.8    | 4.12607e+02             | 3.3       | 97.0          |
| 22   | 1.18507e+01  | 18.5    | 1.40439e+02             | 1.1       | 98.1          |
| 7    | -1.15026e+01 | 18.0    | 1.32309e+02             | 1.1       | 99.2          |
| 25   | 5.47225e+00  | 8.6     | 2.99455e+01             | 0.2       | 99.4          |

**NUOVA SCUOLA DELL'INFANZIA A SEI SEZIONI in località CASTELLO di SERRAVALLE**
**viale G. Verdi - COMUNE DI VALSAMOGGIA (BO)**
**PROGETTO ESECUTIVO**
**RELAZIONE DI CALCOLO STRUTTURALE BLOCCO D**

| Modo | Li(gi)       | Li / L1 | Emi=Li <sup>2</sup> /Mi | Emi/EmTot | Sum.Emi/EmTot |
|------|--------------|---------|-------------------------|-----------|---------------|
| 8    | -4.25784e+00 | 6.7     | 1.81292e+01             | 0.1       | 99.6          |
| 14   | -3.78313e+00 | 5.9     | 1.43121e+01             | 0.1       | 99.7          |
| 29   | -3.14699e+00 | 4.9     | 9.90357e+00             | 0.1       | 99.8          |
| 2    | -2.85741e+00 | 4.5     | 8.16480e+00             | 0.1       | 99.8          |
| 1    | 2.80181e+00  | 4.4     | 7.85012e+00             | 0.1       | 99.9          |
| 31   | -2.16841e+00 | 3.4     | 4.70199e+00             | 0.0       | 99.9          |
| 17   | 1.44463e+00  | 2.3     | 2.08696e+00             | 0.0       | 99.9          |
| 23   | -1.29194e+00 | 2.0     | 1.66910e+00             | 0.0       | 100.0         |
| 28   | 1.04187e+00  | 1.6     | 1.08550e+00             | 0.0       | 100.0         |
| 32   | 8.56969e-01  | 1.3     | 7.34396e-01             | 0.0       | 100.0         |
| 26   | -8.10583e-01 | 1.3     | 6.57045e-01             | 0.0       | 100.0         |
| 19   | 7.52629e-01  | 1.2     | 5.66450e-01             | 0.0       | 100.0         |

Direzione di Ingresso del Sisma 11 Angolo 180.00

Coefficienti di partecipazione e masse modali efficaci per i vari modi di vibrare:

| Modo | Li(gi)       | Li / L1 | Emi=Li <sup>2</sup> /Mi | Emi/EmTot | Sum.Emi/EmTot |
|------|--------------|---------|-------------------------|-----------|---------------|
| 1    | -8.67266e+01 | 100.0   | 7.52151e+03             | 59.9      | 59.9          |
| 28   | 2.72806e+01  | 31.5    | 7.44232e+02             | 5.9       | 65.8          |
| 4    | -2.42516e+01 | 28.0    | 5.88142e+02             | 4.7       | 70.5          |
| 20   | -2.02670e+01 | 23.4    | 4.10751e+02             | 3.3       | 73.7          |
| 11   | -1.93374e+01 | 22.3    | 3.73934e+02             | 3.0       | 76.7          |
| 2    | -1.85134e+01 | 21.3    | 3.42747e+02             | 2.7       | 79.4          |
| 17   | 1.82518e+01  | 21.0    | 3.33128e+02             | 2.7       | 82.1          |
| 3    | -1.80443e+01 | 20.8    | 3.25598e+02             | 2.6       | 84.7          |
| 8    | -1.75016e+01 | 20.2    | 3.06305e+02             | 2.4       | 87.1          |
| 13   | -1.74283e+01 | 20.1    | 3.03746e+02             | 2.4       | 89.5          |
| 12   | 1.68646e+01  | 19.4    | 2.84413e+02             | 2.3       | 91.8          |
| 22   | -1.47937e+01 | 17.1    | 2.18853e+02             | 1.7       | 93.5          |
| 25   | -1.46799e+01 | 16.9    | 2.15501e+02             | 1.7       | 95.3          |
| 9    | -1.22221e+01 | 14.1    | 1.49381e+02             | 1.2       | 96.4          |
| 15   | -1.15191e+01 | 13.3    | 1.32689e+02             | 1.1       | 97.5          |
| 27   | -1.08925e+01 | 12.6    | 1.18646e+02             | 0.9       | 98.4          |
| 6    | -9.47253e+00 | 10.9    | 8.97288e+01             | 0.7       | 99.2          |
| 14   | -6.01898e+00 | 6.9     | 3.62281e+01             | 0.3       | 99.4          |

**NUOVA SCUOLA DELL'INFANZIA A SEI SEZIONI in località CASTELLO di SERRAVALLE**

**viale G. Verdi - COMUNE DI VALSAMOGGIA (BO)**

**PROGETTO ESECUTIVO**

RELAZIONE DI CALCOLO STRUTTURALE BLOCCO D

| Modo | Li(gi)       | Li / L1 | Emi=Li <sup>2</sup> /Mi | Emi/EmTot | Sum.Emi/EmTot |
|------|--------------|---------|-------------------------|-----------|---------------|
| 18   | 4.97683e+00  | 5.7     | 2.47689e+01             | 0.2       | 99.6          |
| 7    | -3.35002e+00 | 3.9     | 1.12227e+01             | 0.1       | 99.7          |
| 26   | -2.61155e+00 | 3.0     | 6.82020e+00             | 0.1       | 99.8          |
| 31   | 2.36965e+00  | 2.7     | 5.61523e+00             | 0.0       | 99.8          |
| 23   | -2.32385e+00 | 2.7     | 5.40027e+00             | 0.0       | 99.9          |
| 5    | 2.31894e+00  | 2.7     | 5.37746e+00             | 0.0       | 99.9          |

**NUOVA SCUOLA DELL'INFANZIA A SEI SEZIONI in località CASTELLO di SERRAVALLE**
**viale G. Verdi - COMUNE DI VALSAMOGGIA (BO)**
**PROGETTO ESECUTIVO**
**RELAZIONE DI CALCOLO STRUTTURALE BLOCCO D**

Direzione di Ingresso del Sisma 12 Angolo 270.00

Coefficienti di partecipazione e masse modali efficaci per i vari modi di vibrare:

| Modo | Li(gi)       | Li / L1 | Emi=Li <sup>2</sup> /Mi | Emi/EmTot | Sum.Emi/EmTot |
|------|--------------|---------|-------------------------|-----------|---------------|
| 11   | -6.39743e+01 | 100.0   | 4.09271e+03             | 32.6      | 32.6          |
| 6    | -4.99869e+01 | 78.1    | 2.49869e+03             | 19.9      | 52.5          |
| 12   | -3.43372e+01 | 53.7    | 1.17904e+03             | 9.4       | 61.8          |
| 4    | 3.20836e+01  | 50.2    | 1.02936e+03             | 8.2       | 70.0          |
| 9    | 3.08672e+01  | 48.2    | 9.52783e+02             | 7.6       | 77.6          |
| 10   | -2.76049e+01 | 43.2    | 7.62031e+02             | 6.1       | 83.7          |
| 18   | 2.65939e+01  | 41.6    | 7.07234e+02             | 5.6       | 89.3          |
| 5    | 2.35675e+01  | 36.8    | 5.55429e+02             | 4.4       | 93.7          |
| 20   | 2.03127e+01  | 31.8    | 4.12606e+02             | 3.3       | 97.0          |
| 22   | -1.18507e+01 | 18.5    | 1.40439e+02             | 1.1       | 98.1          |
| 7    | 1.15026e+01  | 18.0    | 1.32309e+02             | 1.1       | 99.2          |
| 25   | -5.47226e+00 | 8.6     | 2.99456e+01             | 0.2       | 99.4          |
| 8    | 4.25783e+00  | 6.7     | 1.81291e+01             | 0.1       | 99.6          |
| 14   | 3.78313e+00  | 5.9     | 1.43121e+01             | 0.1       | 99.7          |
| 29   | 3.14699e+00  | 4.9     | 9.90356e+00             | 0.1       | 99.8          |
| 2    | 2.85740e+00  | 4.5     | 8.16475e+00             | 0.1       | 99.8          |
| 1    | -2.80185e+00 | 4.4     | 7.85034e+00             | 0.1       | 99.9          |
| 31   | 2.16841e+00  | 3.4     | 4.70200e+00             | 0.0       | 99.9          |
| 17   | -1.44462e+00 | 2.3     | 2.08693e+00             | 0.0       | 99.9          |
| 23   | 1.29194e+00  | 2.0     | 1.66910e+00             | 0.0       | 100.0         |
| 28   | -1.04186e+00 | 1.6     | 1.08547e+00             | 0.0       | 100.0         |
| 32   | -8.56969e-01 | 1.3     | 7.34396e-01             | 0.0       | 100.0         |
| 26   | 8.10582e-01  | 1.3     | 6.57043e-01             | 0.0       | 100.0         |
| 19   | -7.52629e-01 | 1.2     | 5.66450e-01             | 0.0       | 100.0         |

NUOVA SCUOLA DELL'INFANZIA A SEI SEZIONI in località CASTELLO di SERRAVALLE

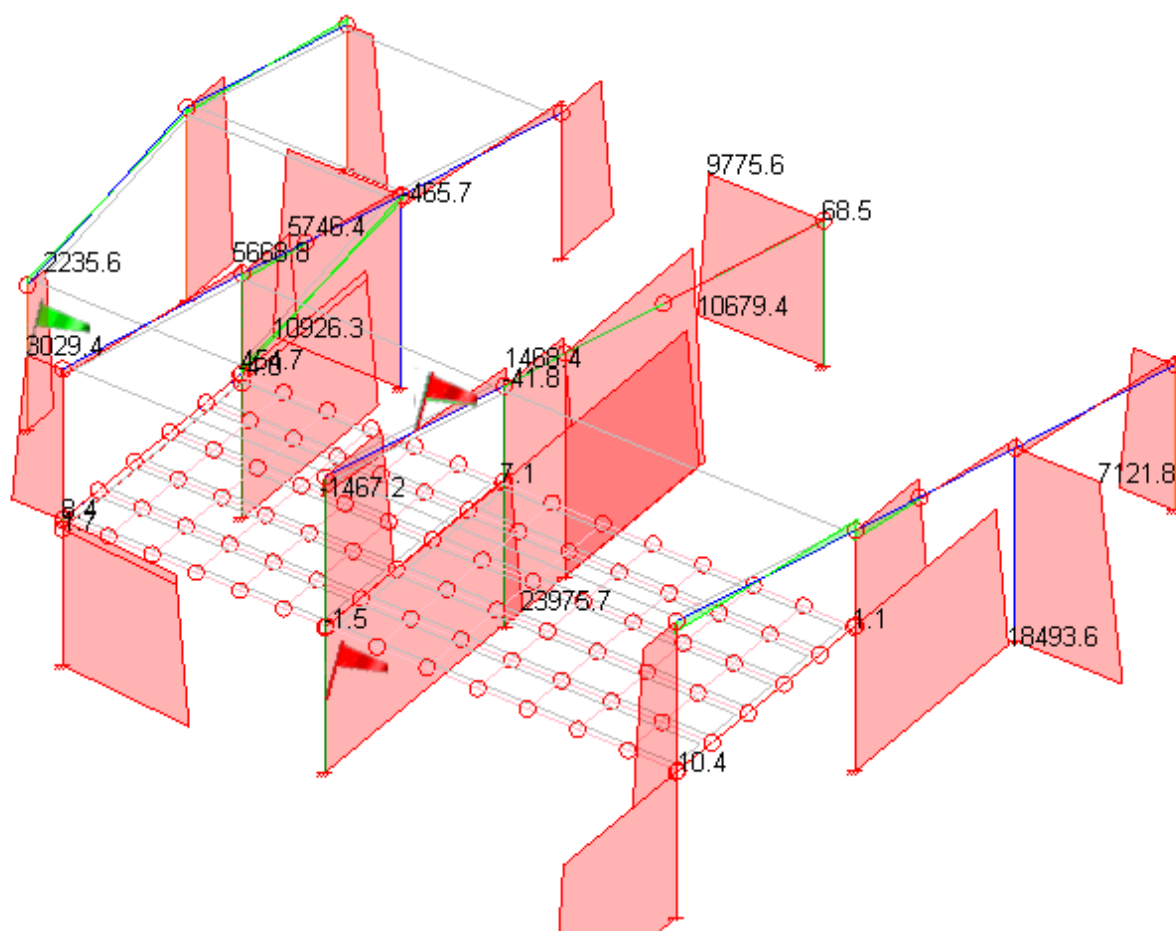
viale G. Verdi - COMUNE DI VALSAMOGGIA (BO)

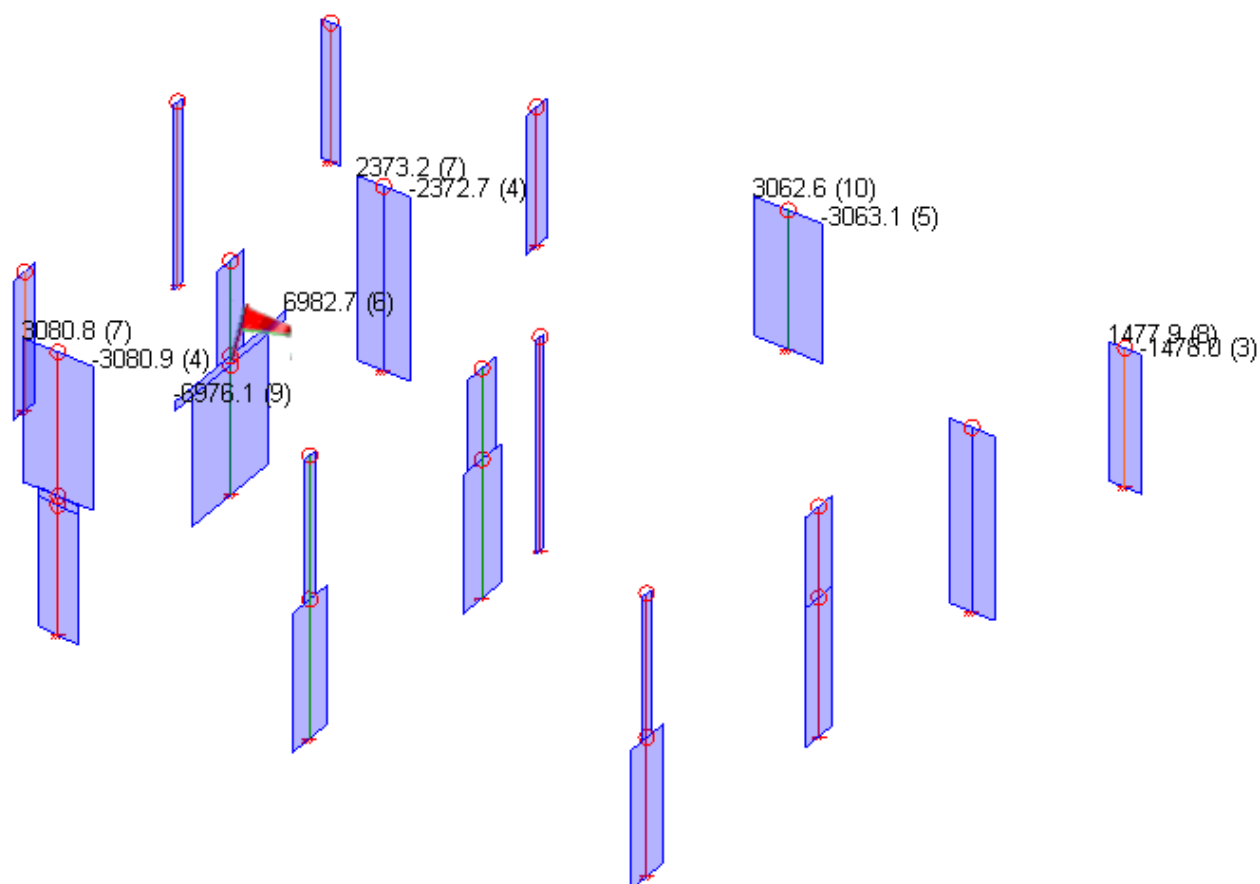
**PROGETTO ESECUTIVO**

RELAZIONE DI CALCOLO STRUTTURALE BLOCCO D

## 2.5.2-Inviluppo delle sollecitazioni maggiormente significative

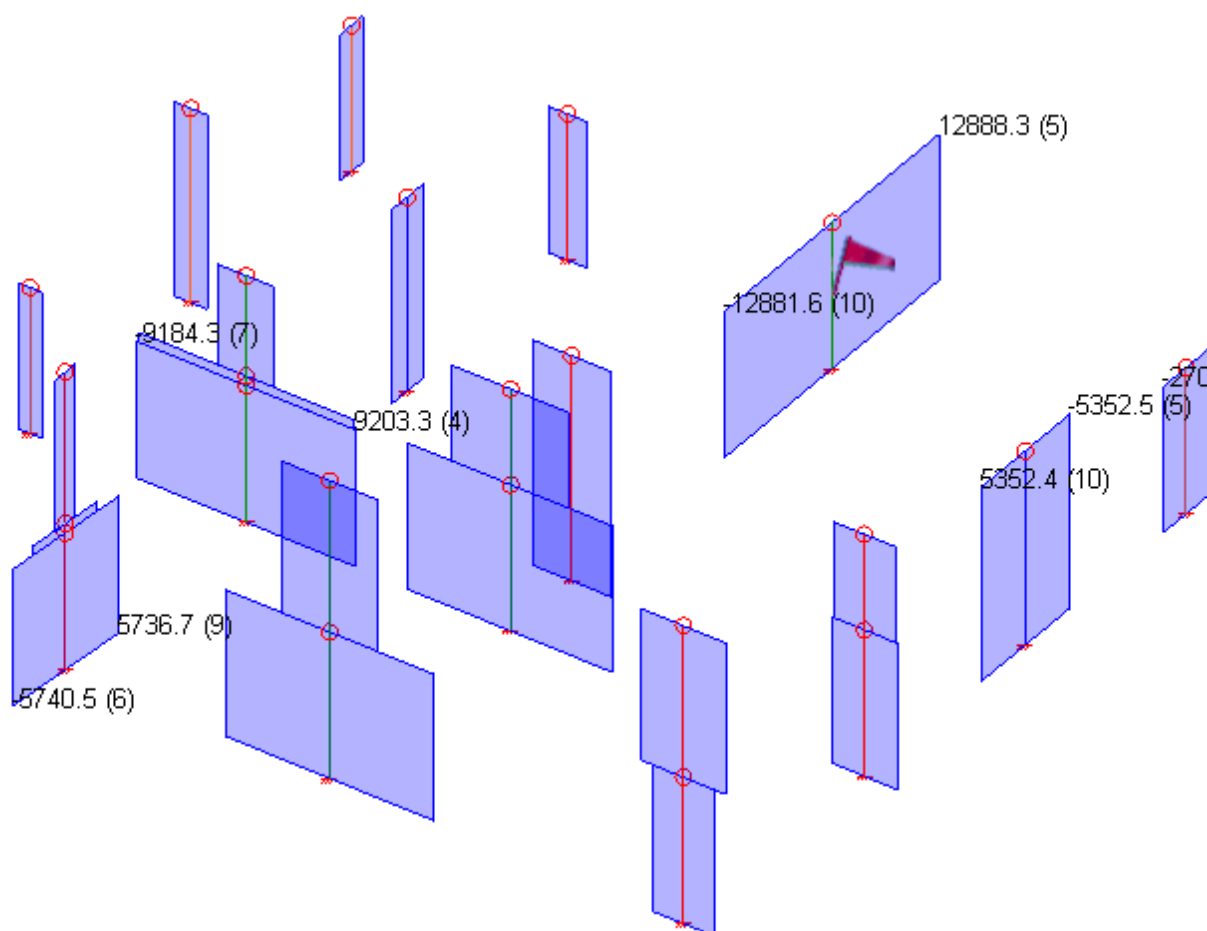
### DIAGRAMMA INVILUPPO N

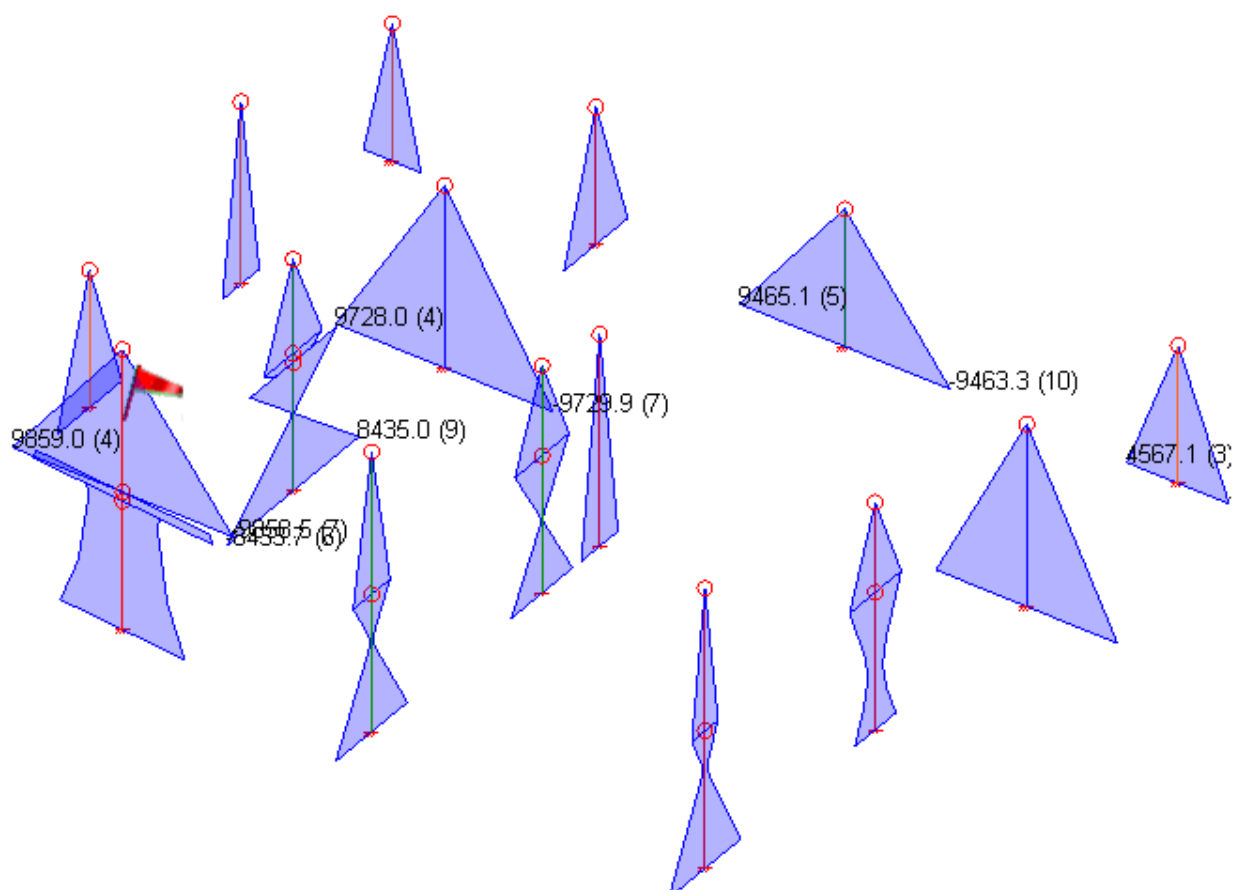


**NUOVA SCUOLA DELL'INFANZIA A SEI SEZIONI in località CASTELLO di SERRAVALLE**
**viale G. Verdi - COMUNE DI VALSAMOGGIA (BO)**
**PROGETTO ESECUTIVO**
**RELAZIONE DI CALCOLO STRUTTURALE BLOCCO D**
**DIAGRAMMA INVILUPPO T<sub>x</sub>**


**NUOVA SCUOLA DELL'INFANZIA A SEI SEZIONI in località CASTELLO di SERRAVALLE**
**viale G. Verdi - COMUNE DI VALSAMOGGIA (BO)**
**PROGETTO ESECUTIVO**

RELAZIONE DI CALCOLO STRUTTURALE BLOCCO D

**DIAGRAMMA INVILUPPO  $T_y$** 


**NUOVA SCUOLA DELL'INFANZIA A SEI SEZIONI in località CASTELLO di SERRAVALLE**
**viale G. Verdi - COMUNE DI VALSAMOGGIA (BO)**
**PROGETTO ESECUTIVO**
**RELAZIONE DI CALCOLO STRUTTURALE BLOCCO D**
**DIAGRAMMA INVILUPPO M<sub>x</sub>**


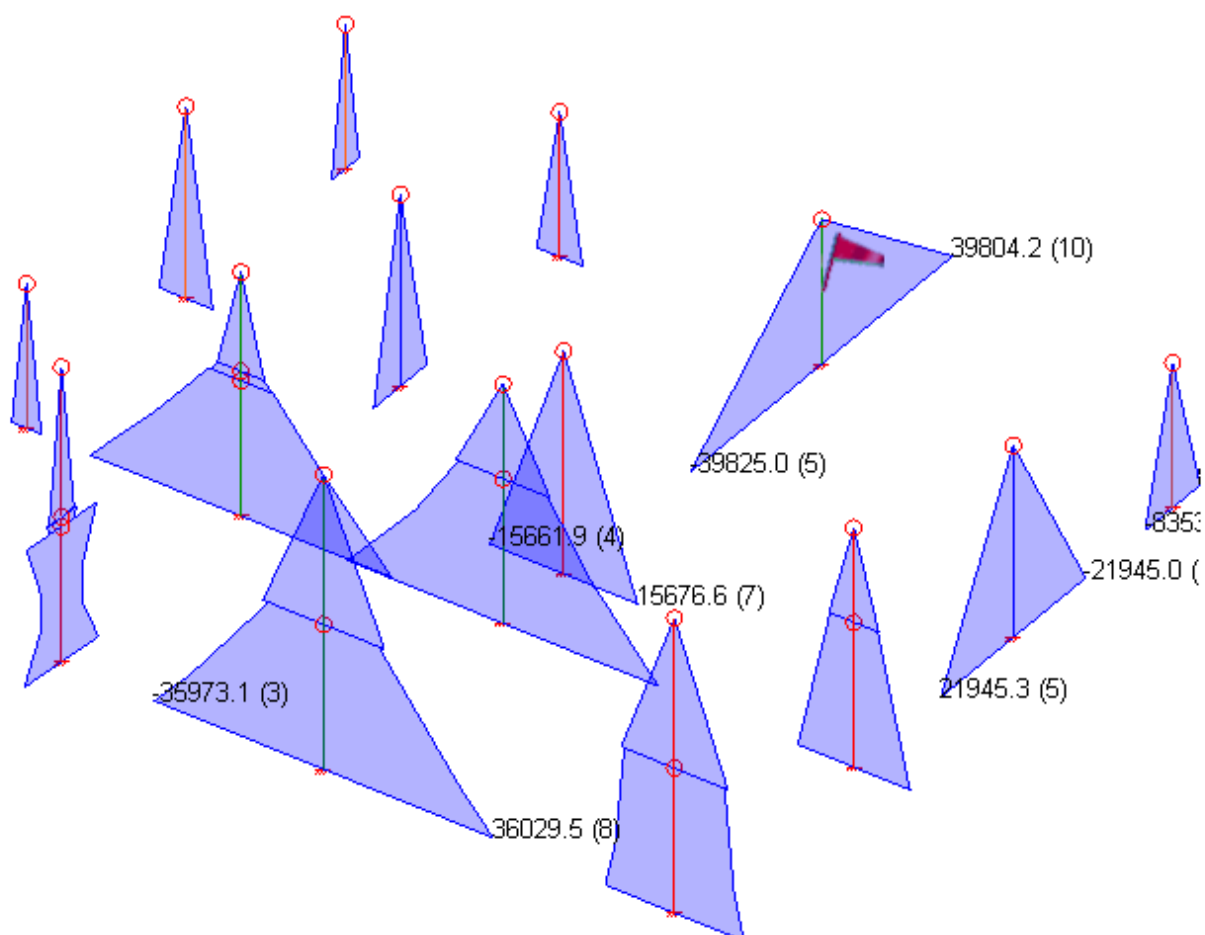
NUOVA SCUOLA DELL'INFANZIA A SEI SEZIONI in località CASTELLO di SERRAVALLE

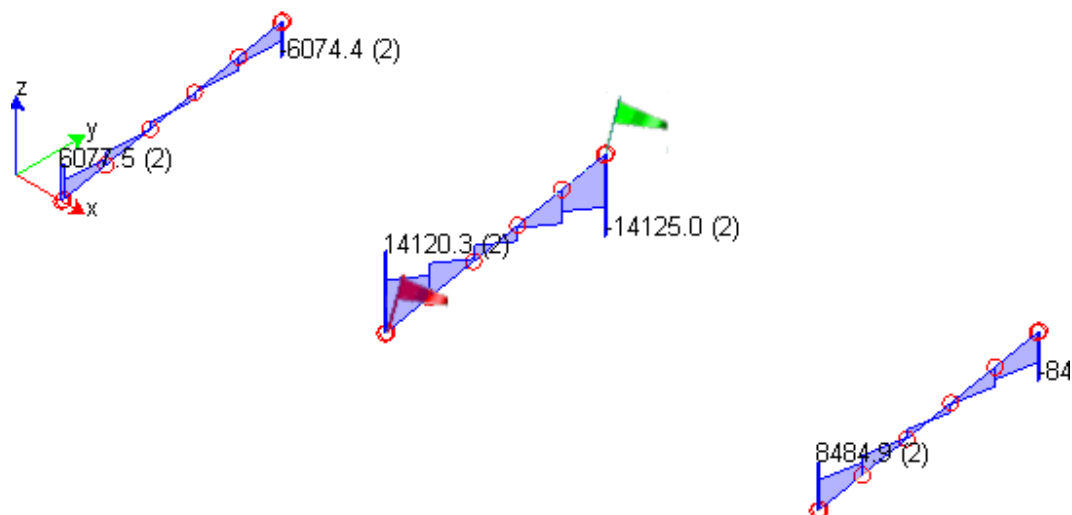
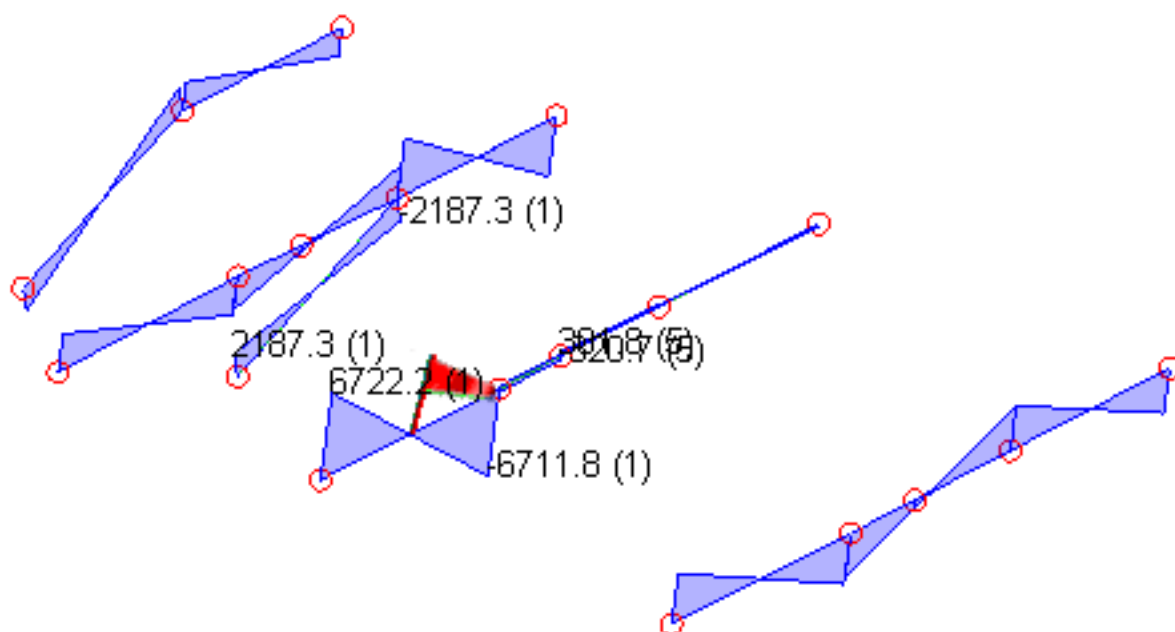
viale G. Verdi - COMUNE DI VALSAMOGGIA (BO)

PROGETTO ESECUTIVO

RELAZIONE DI CALCOLO STRUTTURALE BLOCCO D

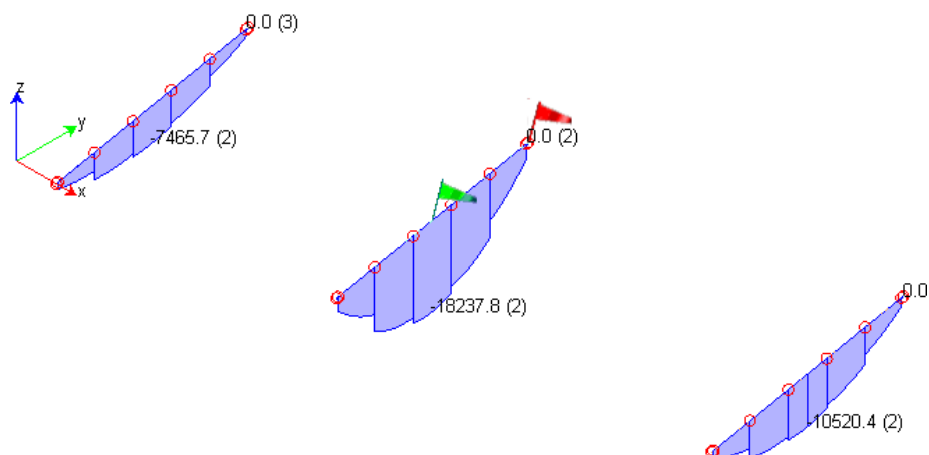
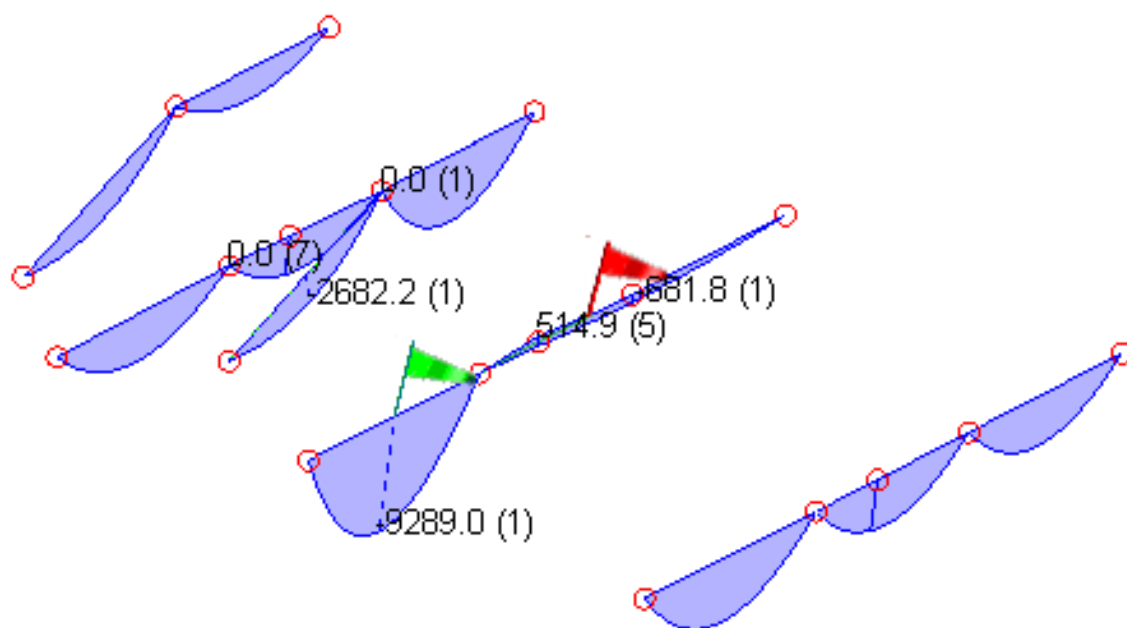
DIAGRAMMA INVILUPPO  $M_y$



**NUOVA SCUOLA DELL'INFANZIA A SEI SEZIONI in località CASTELLO di SERRAVALLE**
**viale G. Verdi - COMUNE DI VALSAMOGGIA (BO)**
**PROGETTO ESECUTIVO**
**RELAZIONE DI CALCOLO STRUTTURALE BLOCCO D**
**DIAGRAMMA INVILUPPO T TRAVI PRIMO SOLAIO**

**DIAGRAMMA INVILUPPO T TRAVI COPERTURA**


**NUOVA SCUOLA DELL'INFANZIA A SEI SEZIONI in località CASTELLO di SERRAVALLE**
**viale G. Verdi - COMUNE DI VALSAMOGGIA (BO)**
**PROGETTO ESECUTIVO**

RELAZIONE DI CALCOLO STRUTTURALE BLOCCO D

**DIAGRAMMA INVILUPPO MTRAVI PRIMO SOLAIO**

**DIAGRAMMA INVILUPPO MTRAVI COPERTURA**


**NUOVA SCUOLA DELL'INFANZIA A SEI SEZIONI in località CASTELLO di SERRAVALLE**
**viale G. Verdi - COMUNE DI VALSAMOGGIA (BO)**
**PROGETTO ESECUTIVO**
**RELAZIONE DI CALCOLO STRUTTURALE BLOCCO D**
**2.5.3-Sollecitazione al piede dei pilastri**

Azioni trasmesse dai pilastri ai nodi di fondazione

q 1.50

γRd,Pilastri 1.10

γRd,Setti 1.00

γRd,Fondazioni 1.10

| Pilastro | Nodo | Combinazione | ND<br>[kg] | Azioni x γRd,Fondazioni |            |             |             | Azioni q=1 |            |             |             |
|----------|------|--------------|------------|-------------------------|------------|-------------|-------------|------------|------------|-------------|-------------|
|          |      |              |            | Vx<br>[kg]              | Vy<br>[kg] | Mx<br>[kgm] | My<br>[kgm] | Vx<br>[kg] | Vy<br>[kg] | Mx<br>[kgm] | My<br>[kgm] |
| 147-1    | 1    | 1            | 3440.7     | 0.3                     | -1.9       | 5.8         | 1.0         |            |            |             |             |
| 2        |      |              | 2758.2     | 0.2                     | -1.4       | 4.2         | 0.7         |            |            |             |             |
| 3        |      |              | 1664.7     | -828.0                  | -588.0     | 1817.0      | -2558.6     | -1129.2    | -801.6     | 2476.7      | -3489.2     |
| 4        |      |              | 1606.4     | -975.5                  | 280.4      | -866.4      | -3014.2     | -1330.2    | 382.7      | -1182.5     | -4110.4     |
| 5        |      |              | 1732.8     | -24.7                   | -1494.0    | 4616.6      | -76.4       | -33.8      | -2037.0    | 6294.3      | -104.4      |
| 6        |      |              | 1732.8     | 516.4                   | -1402.2    | 4332.7      | 1595.7      | 704.1      | -1911.7    | 5907.2      | 2175.7      |
| 7        |      |              | 1664.7     | 975.7                   | -281.8     | 870.9       | 3014.9      | 1330.5     | -384.0     | 1186.5      | 4111.1      |
| 8        |      |              | 1606.4     | 828.3                   | 586.6      | -1812.6     | 2559.4      | 1129.4     | 800.2      | -2472.7     | 3489.9      |
| 9        |      |              | 1538.3     | -516.1                  | 1400.7     | -4328.3     | -1594.9     | -703.9     | 1910.4     | -5903.2     | -2175.0     |
| 10       |      |              | 1538.3     | 25.0                    | 1492.6     | -4612.1     | 77.2        | 34.0       | 2035.7     | -6290.3     | 105.1       |
| 11       |      |              | 2478.2     | 0.2                     | -1.3       | 4.1         | 0.7         |            |            |             |             |
| 12       |      |              | 2056.9     | 0.2                     | -1.0       | 3.0         | 0.5         |            |            |             |             |
| 13       |      |              | 1804.1     | 0.1                     | -0.8       | 2.4         | 0.4         |            |            |             |             |
| 14       |      |              | 1635.6     | 0.1                     | -0.7       | 2.0         | 0.4         |            |            |             |             |
| 15       |      |              | 1635.6     | 0.1                     | -0.7       | 2.0         | 0.4         |            |            |             |             |
| 148-2    | 2    | 1            | 6286.1     | 0.1                     | -1.5       | 4.5         | 0.2         |            |            |             |             |
| 2        |      |              | 4769.1     | -0.2                    | 0.1        | -0.2        | -0.7        |            |            |             |             |
| 3        |      |              | 2503.5     | -1631.0                 | -256.9     | 793.9       | -5039.9     | -2224.0    | -350.8     | 1084.1      | -6872.1     |
| 4        |      |              | 2546.2     | -1839.4                 | 516.0      | -1594.5     | -5683.7     | -2508.1    | 703.2      | -2172.9     | -7750.1     |
| 5        |      |              | 2497.9     | -173.5                  | -1248.7    | 3858.4      | -536.2      | -236.5     | -1703.2    | 5262.9      | -730.7      |
| 6        |      |              | 2535.8     | 867.4                   | -1325.8    | 4096.6      | 2680.3      | 1183.0     | -1808.3    | 5587.8      | 3655.4      |
| 7        |      |              | 2629.8     | 1838.7                  | -514.0     | 1588.1      | 5681.7      | 2507.5     | -701.3     | 2167.1      | 7748.2      |
| 8        |      |              | 2672.5     | 1630.4                  | 259.0      | -800.3      | 5037.9      | 2223.4     | 352.7      | -1089.8     | 6870.3      |
| 9        |      |              | 2640.2     | -868.1                  | 1327.8     | -4103.0     | -2682.3     | -1183.6    | 1810.2     | -5593.6     | -3657.3     |
| 10       |      |              | 2678.1     | 172.9                   | 1250.7     | -3864.7     | 534.1       | 235.9      | 1705.1     | -5268.7     | 728.8       |
| 11       |      |              | 4460.9     | 0.0                     | -0.9       | 2.9         | 0.1         |            |            |             |             |
| 12       |      |              | 3524.4     | -0.2                    | 0.2        | -0.5        | -0.6        |            |            |             |             |
| 13       |      |              | 2962.6     | -0.2                    | 0.6        | -1.9        | -0.8        |            |            |             |             |

**NUOVA SCUOLA DELL'INFANZIA A SEI SEZIONI in località CASTELLO di SERRAVALLE**
**viale G. Verdi - COMUNE DI VALSAMOGGIA (BO)**
**PROGETTO ESECUTIVO**
**RELAZIONE DI CALCOLO STRUTTURALE BLOCCO D**

|       |        |         |          |          |         |         |          |          |         |
|-------|--------|---------|----------|----------|---------|---------|----------|----------|---------|
| 14    | 2588.0 | -0.3    | 0.9      | -2.9     | -0.9    |         |          |          |         |
| 15    | 2588.0 | -0.3    | 1.0      | -3.1     | -1.0    |         |          |          |         |
| 150-3 | 3      | 1       | 10679.4  | 0.8      | -7.3    | 22.7    | 2.6      |          |         |
| 2     | 7675.8 | 0.6     | -6.0     | 18.5     | 1.9     |         |          |          |         |
| 3     | 4592.4 | -2205.0 | -6080.2  | 18787.7  | -6813.4 | -3006.9 | -8289.5  | 25614.4  | -9291.4 |
| 4     | 3396.4 | -2076.3 | 2306.9   | -7128.3  | -6415.7 | -2831.5 | 3147.4   | -9725.6  | -8749.2 |
| 5     | 5833.9 | -856.4  | -14547.0 | 44950.3  | -2646.4 | -1168.0 | -19835.2 | 61290.6  | -3609.2 |
| 6     | 5702.1 | 428.1   | -13417.2 | 41459.3  | 1322.9  | 583.7   | -18294.6 | 56530.2  | 1803.6  |
| 7     | 4153.0 | 2076.9  | -2314.3  | 7151.1   | 6417.7  | 2832.0  | -3154.2  | 9746.3   | 8751.0  |
| 8     | 2957.0 | 2205.6  | 6072.8   | -18764.9 | 6815.4  | 3007.5  | 8282.7   | -25593.7 | 9293.2  |
| 9     | 1847.3 | -427.5  | 13409.9  | -41436.5 | -1320.9 | -583.1  | 18287.8  | -56509.4 | -1801.7 |
| 10    | 1715.4 | 857.1   | 14539.6  | -44927.4 | 2648.4  | 1168.6  | 19828.4  | -61269.9 | 3611.0  |
| 11    | 7477.5 | 0.6     | -5.1     | 15.6     | 1.8     |         |          |          |         |
| 12    | 5620.5 | 0.4     | -4.4     | 13.7     | 1.4     |         |          |          |         |
| 13    | 4513.6 | 0.4     | -3.8     | 11.6     | 1.1     |         |          |          |         |
| 14    | 3774.7 | 0.3     | -3.4     | 10.4     | 0.9     |         |          |          |         |
| 15    | 3773.0 | 0.3     | -3.4     | 10.6     | 0.9     |         |          |          |         |
| 152-4 | 4      | 1       | 4766.2   | 0.1      | -1.1    | 3.3     | 0.4      |          |         |
| 2     | 3649.5 | 0.1     | -0.8     | 2.4      | 0.2     |         |          |          |         |
| 3     | 2169.6 | -1292.3 | -2034.2  | 6285.8   | -3993.2 | -1762.2 | -2773.8  | 8570.9   | -5445.3 |
| 4     | 2064.6 | -1401.3 | -420.0   | 1297.7   | -4330.0 | -1910.9 | -572.5   | 1768.9   | -5904.6 |
| 5     | 2218.6 | -222.4  | -3058.9  | 9452.0   | -687.1  | -303.2  | -4171.0  | 12888.5  | -936.9  |
| 6     | 2155.6 | 585.8   | -2322.9  | 7177.8   | 1810.0  | 798.7   | -3167.4  | 9787.3   | 2468.1  |
| 7     | 1959.6 | 1401.4  | 419.1    | -1294.9  | 4330.2  | 1910.9  | 571.6    | -1766.4  | 5904.8  |
| 8     | 1854.6 | 1292.4  | 2033.3   | -6283.0  | 3993.4  | 1762.3  | 2772.9   | -8568.4  | 5445.5  |
| 9     | 1868.6 | -585.7  | 2322.0   | -7175.0  | -1809.8 | -798.7  | 3166.6   | -9784.8  | -2467.9 |
| 10    | 1805.6 | 222.4   | 3058.0   | -9449.3  | 687.2   | 303.3   | 4170.2   | -12886.0 | 937.1   |
| 11    | 3390.5 | 0.1     | -0.7     | 2.3      | 0.3     |         |          |          |         |
| 12    | 2701.3 | 0.0     | -0.6     | 1.8      | 0.2     |         |          |          |         |
| 13    | 2287.8 | 0.0     | -0.5     | 1.5      | 0.1     |         |          |          |         |
| 14    | 2012.1 | 0.0     | -0.4     | 1.3      | 0.1     |         |          |          |         |
| 15    | 2012.1 | 0.0     | -0.4     | 1.3      | 0.1     |         |          |          |         |
| 196-5 | 5      | 1       | 5668.8   | 0.0      | -0.0    | 0.0     | 0.0      |          |         |
| 2     | 4304.2 | 0.0     | -0.0     | 0.0      | 0.0     |         |          |          |         |
| 3     | 2332.1 | -1472.0 | -442.3   | 1813.3   | -6035.0 | -2007.2 | -603.1   | 2472.7   | -8229.6 |
| 4     | 2346.0 | -1535.5 | -68.3    | 279.9    | -6295.4 | -2093.8 | -93.1    | 381.7    | -8584.6 |
| 5     | 2316.0 | -345.3  | -699.9   | 2869.7   | -1415.7 | -470.9  | -954.4   | 3913.2   | -1930.5 |
| 6     | 2316.0 | 556.9   | -546.8   | 2241.8   | 2283.4  | 759.5   | -745.6   | 3056.9   | 3113.7  |
| 7     | 2332.1 | 1535.5  | 68.3     | -279.8   | 6295.4  | 2093.8  | 93.1     | -381.6   | 8584.6  |

**NUOVA SCUOLA DELL'INFANZIA A SEI SEZIONI in località CASTELLO di SERRAVALLE**
**viale G. Verdi - COMUNE DI VALSAMOGGIA (BO)**
**PROGETTO ESECUTIVO**
**RELAZIONE DI CALCOLO STRUTTURALE BLOCCO D**

|       |         |         |         |         |          |         |         |          |          |
|-------|---------|---------|---------|---------|----------|---------|---------|----------|----------|
| 8     | 2346.0  | 1472.0  | 442.3   | -1813.3 | 6035.1   | 2007.2  | 603.1   | -2472.6  | 8229.6   |
| 9     | 2362.1  | -556.9  | 546.8   | -2241.7 | -2283.4  | -759.4  | 745.6   | -3056.9  | -3113.7  |
| 10    | 2362.1  | 345.3   | 699.9   | -2869.7 | 1415.7   | 470.9   | 954.4   | -3913.2  | 1930.5   |
| 11    | 4023.7  | 0.0     | -0.0    | 0.0     | 0.0      |         |         |          |          |
| 12    | 3181.4  | 0.0     | -0.0    | 0.0     | 0.0      |         |         |          |          |
| 13    | 2676.0  | 0.0     | -0.0    | 0.0     | 0.0      |         |         |          |          |
| 14    | 2339.1  | 0.0     | -0.0    | 0.0     | 0.0      |         |         |          |          |
| 15    | 2339.1  | 0.0     | -0.0    | 0.0     | 0.0      |         |         |          |          |
| 197-6 | 6       | 1       | 10926.3 | -0.0    | 1.8      | -7.4    | -0.0    |          |          |
| 2     | 7891.1  | -0.2    | 2.9     | -11.8   | -0.7     |         |         |          |          |
| 3     | 4107.9  | -2396.5 | -348.3  | 1428.0  | -9825.6  | -3267.8 | -476.3  | 1952.7   | -13398.1 |
| 4     | 2607.7  | -2787.8 | 780.2   | -3198.7 | -11430.2 | -3801.5 | 1062.6  | -4356.5  | -15586.1 |
| 5     | 6243.1  | -125.6  | -1813.9 | 7437.1  | -514.9   | -171.1  | -2474.9 | 10147.0  | -701.6   |
| 6     | 6573.0  | 1429.6  | -1941.7 | 7961.2  | 5861.2   | 1949.5  | -2649.2 | 10861.6  | 7993.1   |
| 7     | 5207.8  | 2787.3  | -774.3  | 3174.8  | 11428.1  | 3801.0  | -1057.2 | 4334.7   | 15584.2  |
| 8     | 3707.6  | 2396.0  | 354.1   | -1451.9 | 9823.5   | 3267.4  | 481.6   | -1974.5  | 13396.2  |
| 9     | 1242.5  | -1430.1 | 1947.6  | -7985.2 | -5863.4  | -1950.0 | 2654.5  | -10883.4 | -7995.0  |
| 10    | 1572.4  | 125.1   | 1819.8  | -7461.1 | 512.7    | 170.7   | 2480.2  | -10168.8 | 699.7    |
| 11    | 7655.0  | -0.0    | 1.4     | -5.6    | -0.1     |         |         |          |          |
| 12    | 5781.8  | -0.2    | 2.3     | -9.3    | -0.6     |         |         |          |          |
| 13    | 4657.3  | -0.2    | 2.5     | -10.2   | -0.8     |         |         |          |          |
| 14    | 3907.8  | -0.2    | 2.7     | -10.9   | -1.0     |         |         |          |          |
| 15    | 3907.9  | -0.2    | 2.7     | -11.2   | -1.0     |         |         |          |          |
| 259-7 | 7       | 1       | 16846.6 | 1.8     | 2.3      | -12.1   | 8.4     |          |          |
| 2     | 12517.5 | 1.9     | 1.8     | -9.5    | 9.1      |         |         |          |          |
| 3     | 6119.7  | -2773.9 | -590.0  | 2805.1  | -13189.7 | -3783.3 | -805.1  | 3827.7   | -17989.3 |
| 4     | 6684.5  | -3605.5 | -417.5  | 1984.8  | -17143.9 | -4917.3 | -569.9  | 2709.2   | -23381.3 |
| 5     | 5538.1  | 430.1   | -437.8  | 2081.5  | 2045.3   | 585.9   | -597.6  | 2841.0   | 2785.7   |
| 6     | 5604.3  | 2344.9  | -134.9  | 641.1   | 11149.7  | 3196.8  | -184.5  | 876.8    | 15200.8  |
| 7     | 6340.5  | 3608.5  | 419.7   | -1996.3 | 17158.3  | 4920.0  | 571.9   | -2719.6  | 23394.4  |
| 8     | 6905.3  | 2776.9  | 592.2   | -2816.5 | 13204.2  | 3786.0  | 807.1   | -3838.1  | 18002.4  |
| 9     | 7420.7  | -2341.8 | 137.1   | -652.6  | -11135.2 | -3194.1 | 186.5   | -887.3   | -15187.7 |
| 10    | 7487.0  | -427.1  | 440.1   | -2093.0 | -2030.8  | -583.1  | 599.6   | -2851.5  | -2772.6  |
| 11    | 11854.9 | 1.2     | 1.6     | -8.5    | 5.9      |         |         |          |          |
| 12    | 9213.4  | 1.4     | 1.3     | -7.0    | 6.9      |         |         |          |          |
| 13    | 7589.9  | 1.4     | 1.1     | -5.9    | 6.6      |         |         |          |          |
| 14    | 6512.5  | 1.4     | 1.0     | -5.2    | 6.6      |         |         |          |          |
| 15    | 6521.4  | 1.4     | 1.0     | -5.3    | 6.8      |         |         |          |          |
| 201-8 | 8       | 1       | 9120.6  | 0.1     | 0.1      | -0.6    | 0.4     |          |          |

**NUOVA SCUOLA DELL'INFANZIA A SEI SEZIONI in località CASTELLO di SERRAVALLE**
**viale G. Verdi - COMUNE DI VALSAMOGGIA (BO)**
**PROGETTO ESECUTIVO**
**RELAZIONE DI CALCOLO STRUTTURALE BLOCCO D**

|       |         |          |         |          |          |          |         |          |          |
|-------|---------|----------|---------|----------|----------|----------|---------|----------|----------|
| 2     | 6887.3  | 0.1      | 0.0     | -0.2     | 0.5      |          |         |          |          |
| 3     | 4109.8  | -1534.4  | -3853.0 | 15797.2  | -6291.0  | -2092.4  | -5254.0 | 21541.6  | -8578.8  |
| 4     | 3806.8  | -1598.5  | -630.9  | 2586.9   | -6553.8  | -2179.8  | -860.4  | 3527.5   | -8937.2  |
| 5     | 4287.7  | -363.0   | -6042.7 | 24774.9  | -1488.3  | -495.1   | -8240.0 | 33783.9  | -2029.8  |
| 6     | 4137.2  | 576.9    | -4697.5 | 19259.8  | 2365.4   | 786.7    | -6405.7 | 26263.3  | 3225.3   |
| 7     | 3608.2  | 1598.7   | 630.9   | -2586.6  | 6554.8   | 2180.0   | 860.3   | -3527.2  | 8938.1   |
| 8     | 3305.3  | 1534.6   | 3852.9  | -15796.9 | 6291.9   | 2092.6   | 5254.0  | -21541.3 | 8579.7   |
| 9     | 3277.9  | -576.7   | 4697.4  | -19259.5 | -2364.4  | -786.5   | 6405.6  | -26263.1 | -3224.5  |
| 10    | 3127.4  | 363.2    | 6042.6  | -24774.7 | 1489.3   | 495.3    | 8239.9  | -33783.7 | 2030.6   |
| 11    | 6464.2  | 0.1      | 0.1     | -0.3     | 0.3      |          |         |          |          |
| 12    | 5085.9  | 0.1      | 0.0     | -0.1     | 0.4      |          |         |          |          |
| 13    | 4258.9  | 0.1      | -0.0    | 0.0      | 0.4      |          |         |          |          |
| 14    | 3707.5  | 0.1      | -0.0    | 0.1      | 0.4      |          |         |          |          |
| 15    | 3707.5  | 0.1      | -0.0    | 0.1      | 0.4      |          |         |          |          |
| 138-9 | 9       | 1        | 3139.4  | -0.3     | 1.9      | -5.9     | -1.0    |          |          |
| 2     | 2456.9  | -0.2     | 1.4     | -4.3     | -0.7     |          |         |          |          |
| 3     | 1381.5  | -1028.3  | -620.9  | 1918.6   | -3177.5  | -1402.2  | -847.0  | 2617.2   | -4332.8  |
| 4     | 1426.1  | -1175.9  | 248.2   | -767.1   | -3633.4  | -1603.4  | 338.2   | -1045.0  | -4954.5  |
| 5     | 1329.5  | -84.8    | -1503.9 | 4647.1   | -262.1   | -115.6   | -2051.1 | 6338.1   | -357.2   |
| 6     | 1329.5  | 576.4    | -1391.7 | 4300.3   | 1781.0   | 786.0    | -1898.1 | 5865.1   | 2428.8   |
| 7     | 1381.5  | 1175.6   | -246.8  | 762.5    | 3632.6   | 1603.2   | -336.8  | 1040.8   | 4953.8   |
| 8     | 1426.1  | 1028.1   | 622.4   | -1923.1  | 3176.7   | 1402.0   | 848.3   | -2621.4  | 4332.1   |
| 9     | 1478.1  | -576.6   | 1393.2  | -4304.9  | -1781.7  | -786.2   | 1899.4  | -5869.3  | -2429.5  |
| 10    | 1478.1  | 84.6     | 1505.4  | -4651.7  | 261.3    | 115.4    | 2052.5  | -6342.2  | 356.5    |
| 11    | 2246.4  | -0.2     | 1.3     | -4.2     | -0.7     |          |         |          |          |
| 12    | 1825.1  | -0.2     | 1.0     | -3.1     | -0.5     |          |         |          |          |
| 13    | 1572.3  | -0.1     | 0.8     | -2.5     | -0.4     |          |         |          |          |
| 14    | 1403.8  | -0.1     | 0.7     | -2.1     | -0.4     |          |         |          |          |
| 15    | 1403.8  | -0.1     | 0.7     | -2.1     | -0.4     |          |         |          |          |
| 17-10 | 10      | 1        | 16534.0 | -14.1    | -1.3     | -7.0     | 16.9    |          |          |
| 2     | 14118.0 | -13.5    | -3.1    | -5.5     | 18.2     |          |         |          |          |
| 3     | 8015.0  | -8922.8  | -1341.6 | 5136.7   | -31463.3 | -12162.9 | -1827.8 | 7006.0   | -42911.1 |
| 4     | 8655.1  | -10512.3 | 1301.7  | 899.0    | -36460.7 | -14330.4 | 1776.7  | 1227.4   | -49725.7 |
| 5     | 7510.4  | -273.0   | -4413.9 | 7965.8   | -1849.5  | -367.8   | -6017.4 | 10863.9  | -2528.6  |
| 6     | 7718.1  | 5551.5   | -4404.1 | 6153.1   | 18536.4  | 7574.8   | -6004.0 | 8392.1   | 25270.3  |
| 7     | 8707.1  | 10492.4  | -1308.9 | -905.6   | 36489.6  | 14312.4  | -1783.2 | -1233.4  | 49751.9  |
| 8     | 9347.3  | 8902.9   | 1334.4  | -5143.2  | 31492.2  | 12144.9  | 1821.3  | -7012.0  | 42937.3  |
| 9     | 9644.2  | -5571.4  | 4397.0  | -6159.6  | -18507.5 | -7592.9  | 5997.5  | -8398.0  | -25244.0 |
| 10    | 9851.9  | 253.2    | 4406.8  | -7972.3  | 1878.4   | 349.7    | 6010.9  | -10869.9 | 2554.9   |

**NUOVA SCUOLA DELL'INFANZIA A SEI SEZIONI in località CASTELLO di SERRAVALLE**
**viale G. Verdi - COMUNE DI VALSAMOGGIA (BO)**
**PROGETTO ESECUTIVO**
**RELAZIONE DI CALCOLO STRUTTURALE BLOCCO D**

|        |         |         |         |         |          |          |         |          |          |  |
|--------|---------|---------|---------|---------|----------|----------|---------|----------|----------|--|
| 11     | 11718.6 | -9.8    | -1.0    | -4.9    | 11.7     |          |         |          |          |  |
| 12     | 10569.5 | -10.2   | -2.5    | -4.1    | 13.9     |          |         |          |          |  |
| 13     | 9399.5  | -9.4    | -2.9    | -3.4    | 13.3     |          |         |          |          |  |
| 14     | 8681.1  | -9.0    | -3.3    | -3.0    | 13.1     |          |         |          |          |  |
| 15     | 8792.0  | -9.3    | -3.4    | -3.0    | 13.6     |          |         |          |          |  |
| 141-11 | 11      | 1       | 23648.8 | 1.2     | -2.0     | -8.7     | 30.4    |          |          |  |
| 2      | 21338.2 | 1.5     | -1.4    | -9.1    | 31.5     |          |         |          |          |  |
| 3      | 13652.7 | -6745.6 | -2695.9 | 7978.6  | -29855.3 | -9199.2  | -3675.9 | 10883.2  | -40722.9 |  |
| 4      | 13969.7 | -9334.0 | -1687.6 | 5978.2  | -35491.3 | -12728.8 | -2300.9 | 8155.4   | -48408.3 |  |
| 5      | 13219.7 | 1903.0  | -2338.7 | 5422.4  | -391.6   | 2594.4   | -3188.8 | 7397.5   | -545.0   |  |
| 6      | 13165.5 | 6727.7  | -1024.1 | 1231.0  | 19227.0  | 9173.5   | -1396.2 | 1682.0   | 26207.6  |  |
| 7      | 13471.9 | 9336.6  | 1686.0  | -5992.7 | 35540.0  | 12731.2  | 2299.5  | -8168.6  | 48452.6  |  |
| 8      | 13788.9 | 6748.2  | 2694.4  | -7993.1 | 29904.0  | 9201.5   | 3674.5  | -10896.4 | 40767.1  |  |
| 9      | 14276.1 | -6725.1 | 1022.6  | -1245.6 | -19178.3 | -9171.1  | 1394.8  | -1695.2  | -26163.3 |  |
| 10     | 14221.9 | -1900.4 | 2337.2  | -5436.9 | 440.3    | -2592.0  | 3187.4  | -7410.7  | 589.3    |  |
| 11     | 16698.2 | 0.9     | -1.3    | -6.1    | 21.1     |          |         |          |          |  |
| 12     | 16054.9 | 1.2     | -1.1    | -7.0    | 24.0     |          |         |          |          |  |
| 13     | 14569.9 | 1.2     | -0.8    | -6.7    | 22.6     |          |         |          |          |  |
| 14     | 13720.8 | 1.2     | -0.7    | -6.6    | 22.1     |          |         |          |          |  |
| 15     | 13974.4 | 1.2     | -0.7    | -6.8    | 22.8     |          |         |          |          |  |
| 143-12 | 12      | 1       | 18493.6 | 13.5    | 3.2      | -11.3    | 23.7    |          |          |  |
| 2      | 16177.4 | 13.6    | 3.5     | -11.0   | 24.2     |          |         |          |          |  |
| 3      | 10239.6 | -2070.4 | -2188.4 | 6062.5  | -10870.0 | -2828.0  | -2985.5 | 8270.8   | -14831.3 |  |
| 4      | 10423.1 | -2818.6 | -1529.6 | 4029.7  | -12784.4 | -3848.3  | -2087.0 | 5498.8   | -17441.7 |  |
| 5      | 9918.9  | 521.1   | -1653.8 | 4896.0  | -344.6   | 705.8    | -2256.5 | 6680.2   | -478.3   |  |
| 6      | 9827.6  | 1994.1  | -536.8  | 1863.4  | 6762.9   | 2714.4   | -733.2  | 2544.8   | 9213.7   |  |
| 7      | 9935.0  | 2839.6  | 1535.1  | -4046.2 | 12821.7  | 3867.4   | 2092.1  | -5513.8  | 17475.6  |  |
| 8      | 10118.5 | 2091.3  | 2193.9  | -6079.0 | 10907.3  | 2847.0   | 2990.5  | -8285.8  | 14865.2  |  |
| 9      | 10530.5 | -1973.1 | 542.3   | -1879.9 | -6725.7  | -2695.4  | 738.3   | -2559.8  | -9179.8  |  |
| 10     | 10439.1 | -500.1  | 1659.4  | -4912.6 | 381.9    | -686.8   | 2261.5  | -6695.2  | 512.2    |  |
| 11     | 13111.8 | 9.4     | 2.3     | -7.9    | 16.5     |          |         |          |          |  |
| 12     | 12142.1 | 10.4    | 2.6     | -8.4    | 18.4     |          |         |          |          |  |
| 13     | 10914.6 | 9.8     | 2.5     | -7.8    | 17.4     |          |         |          |          |  |
| 14     | 10179.0 | 9.5     | 2.5     | -7.5    | 16.9     |          |         |          |          |  |
| 15     | 10328.0 | 9.8     | 2.6     | -7.7    | 17.5     |          |         |          |          |  |
| 13-16  | 13      | 1       | 11499.9 | -19.4   | -0.7     | -4.7     | -11.5   |          |          |  |
| 2      | 10606.9 | -19.4   | -2.8    | -2.9    | -11.7    |          |         |          |          |  |
| 3      | 6269.5  | -703.6  | 204.1   | 6291.1  | -4878.1  | -952.8   | 279.9   | 8579.3   | -6647.9  |  |
| 4      | 7180.5  | -2043.4 | 3531.0  | 274.5   | -6559.7  | -2779.8  | 4816.5  | 374.9    | -8940.9  |  |

**NUOVA SCUOLA DELL'INFANZIA A SEI SEZIONI in località CASTELLO di SERRAVALLE**
**viale G. Verdi - COMUNE DI VALSAMOGGIA (BO)**
**PROGETTO ESECUTIVO**
**RELAZIONE DI CALCOLO STRUTTURALE BLOCCO D**

|        |         |         |         |          |          |          |         |          |          |
|--------|---------|---------|---------|----------|----------|----------|---------|----------|----------|
| 5      | 5444.3  | 1810.6  | -4986.9 | 11011.6  | 1080.7   | 2475.7   | -6798.7 | 15016.4  | 1477.7   |
| 6      | 5648.1  | 2625.9  | -6109.4 | 9041.2   | 4506.6   | 3587.5   | -8329.5 | 12329.5  | 6149.5   |
| 7      | 6948.7  | 2014.1  | -3537.8 | -276.9   | 6541.7   | 2753.1   | -4822.7 | -377.1   | 8924.6   |
| 8      | 7859.8  | 674.3   | -211.0  | -6293.5  | 4860.1   | 926.2    | -286.1  | -8581.5  | 6631.5   |
| 9      | 8481.1  | -2655.2 | 6102.6  | -9043.6  | -4524.6  | -3614.1  | 8323.3  | -12331.7 | -6165.8  |
| 10     | 8684.9  | -1839.9 | 4980.0  | -11014.0 | -1098.6  | -2502.3  | 6792.5  | -15018.6 | -1494.1  |
| 11     | 8222.0  | -13.5   | -0.6    | -3.3     | -8.1     |          |         |          |          |
| 12     | 8013.2  | -14.7   | -2.3    | -2.1     | -8.9     |          |         |          |          |
| 13     | 7407.1  | -13.7   | -2.7    | -1.5     | -8.4     |          |         |          |          |
| 14     | 7064.6  | -13.3   | -3.1    | -1.1     | -8.2     |          |         |          |          |
| 15     | 7175.6  | -13.7   | -3.2    | -1.1     | -8.4     |          |         |          |          |
| 133-14 | 14      | 1       | 23975.7 | 4.5      | 0.9      | -12.9    | 41.2    |          |          |
| 2      | 21880.7 | 4.0     | 1.1     | -12.8    | 40.2     |          |         |          |          |
| 3      | 14169.6 | -9294.8 | -2928.6 | 9255.3   | -37789.5 | -12676.0 | -3994.0 | 12625.3  | -51544.6 |
| 4      | 14529.6 | -8161.0 | -1328.9 | 5822.6   | -35832.8 | -11129.8 | -1812.6 | 7944.4   | -48876.5 |
| 5      | 13688.2 | -4506.3 | -3304.1 | 7976.0   | -14283.6 | -6146.1  | -4506.1 | 10880.8  | -19491.1 |
| 6      | 13635.4 | 732.1   | -2026.3 | 3446.8   | 7820.9   | 997.1    | -2763.6 | 4704.6   | 10651.4  |
| 7      | 13993.9 | 8166.3  | 1330.9  | -5842.1  | 35892.3  | 11134.7  | 1814.4  | -7962.1  | 48930.5  |
| 8      | 14353.9 | 9300.2  | 2930.7  | -9274.8  | 37848.9  | 12680.9  | 3995.9  | -12643.0 | 51598.6  |
| 9      | 14888.1 | -726.7  | 2028.3  | -3466.3  | -7761.5  | -992.2   | 2765.4  | -4722.3  | -10597.4 |
| 10     | 14835.4 | 4511.6  | 3306.2  | -7995.5  | 14343.0  | 6151.0   | 4507.9  | -10898.5 | 19545.2  |
| 11     | 16977.0 | 3.1     | 0.6     | -9.0     | 28.6     |          |         |          |          |
| 12     | 16488.7 | 3.0     | 0.9     | -9.7     | 30.4     |          |         |          |          |
| 13     | 15065.6 | 2.6     | 0.9     | -9.1     | 28.1     |          |         |          |          |
| 14     | 14261.8 | 2.4     | 0.9     | -8.9     | 27.0     |          |         |          |          |
| 15     | 14522.6 | 2.5     | 1.0     | -9.1     | 27.8     |          |         |          |          |
| 134-15 | 15      | 1       | 14897.4 | 11.2     | 6.7      | -15.1    | 24.1    |          |          |
| 2      | 13697.8 | 11.2    | 6.0     | -13.8    | 24.0     |          |         |          |          |
| 3      | 9062.7  | -2038.3 | -2331.8 | 6625.3   | -11957.4 | -2783.3  | -3181.7 | 9038.9   | -16313.7 |
| 4      | 9315.9  | -844.6  | -1032.2 | 3481.2   | -10895.7 | -1155.6  | -1409.5 | 4751.5   | -14866.0 |
| 5      | 8681.3  | -2415.9 | -2667.7 | 6749.3   | -5184.7  | -3298.3  | -3639.7 | 9208.0   | -7078.3  |
| 6      | 8607.6  | -1545.9 | -1656.0 | 3711.4   | 1682.1   | -2111.9  | -2260.1 | 5065.5   | 2285.6   |
| 7      | 8817.1  | 861.7   | 1040.5  | -3500.8  | 10932.0  | 1171.2   | 1417.0  | -4769.4  | 14899.0  |
| 8      | 9070.3  | 2055.4  | 2340.1  | -6644.9  | 11993.6  | 2798.9   | 3189.2  | -9056.8  | 16346.7  |
| 9      | 9525.4  | 1563.0  | 1664.3  | -3731.0  | -1645.8  | 2127.5   | 2267.6  | -5083.3  | -2252.6  |
| 10     | 9451.7  | 2433.0  | 2676.0  | -6768.9  | 5221.0   | 3313.9   | 3647.2  | -9225.8  | 7111.3   |
| 11     | 10621.2 | 7.8     | 4.7     | -10.6    | 16.8     |          |         |          |          |
| 12     | 10340.7 | 8.5     | 4.5     | -10.4    | 18.2     |          |         |          |          |
| 13     | 9526.5  | 8.0     | 4.0     | -9.4     | 17.0     |          |         |          |          |

**NUOVA SCUOLA DELL'INFANZIA A SEI SEZIONI in località CASTELLO di SERRAVALLE**

**viale G. Verdi - COMUNE DI VALSAMOGGIA (BO)**

**PROGETTO ESECUTIVO**

**RELAZIONE DI CALCOLO STRUTTURALE BLOCCO D**

---

|    |        |     |     |      |      |
|----|--------|-----|-----|------|------|
| 14 | 9066.5 | 7.8 | 3.8 | -8.9 | 16.5 |
| 15 | 9215.6 | 8.0 | 3.8 | -9.1 | 17.0 |

**NUOVA SCUOLA DELL'INFANZIA A SEI SEZIONI in località CASTELLO di SERRAVALLE****viale G. Verdi - COMUNE DI VALSAMOGGIA (BO)****PROGETTO ESECUTIVO****RELAZIONE DI CALCOLO STRUTTURALE BLOCCO D**

---

### 2.5.4-Verifiche degli elementi strutturali

Le norme precisano che la sicurezza e le prestazioni di una struttura o di una parte di essa devono essere valutate in relazione all'insieme degli stati limite che verosimilmente si possono verificare durante la vita normale.

Prescrivono inoltre che debba essere assicurata una robustezza nei confronti di azioni eccezionali. Le azioni eccezionali, che si presentano in occasione di eventi quali incendi, esplosioni ed urti, solo in taluni casi vanno considerate nella progettazione, quando ciò è richiesto da specifiche esigenze strutturali, la resistenza al fuoco se necessaria, verrà determinata sulla base delle indicazioni di cui al § 3.6.1 delle NTC.

Le prestazioni della struttura e la vita nominale sono riportati nei successivi tabulati di calcolo della struttura. La sicurezza e le prestazioni saranno garantite verificando gli opportuni stati limite definiti di concerto al Committente in funzione dell'utilizzo della struttura, della sua vita nominale e di quanto stabilito dalle norme di cui al D.M. 14/01/2008 e s.m. i.

In particolare si è verificata :

- la sicurezza nei riguardi degli stati limite ultimi (SLU) che possono provocare eccessive deformazioni permanenti, crolli parziali o globali, dissesti, che possono compromettere l'incolumità delle persone e/o la perdita di beni, provocare danni ambientali e sociali, mettere fuori servizio l'opera. Per le verifiche sono stati utilizzati i coefficienti parziali relativi alle azioni ed alle resistenze dei materiali in accordo a quanto previsto dal D.M.14/01/2008 per i vari tipi di materiale. I valori utilizzati sono riportati nel fascicolo delle elaborazioni numeriche allegate.
- la sicurezza nei riguardi degli stati limite di esercizio (SLE) che possono limitare nell'uso e nella durata l'utilizzo della struttura per le azioni di esercizio. In particolare di concerto con il committente e coerentemente alle norme tecniche si sono definiti i limiti riportati nell'allegato fascicolo delle calcolazioni.
- la sicurezza nei riguardi dello stato limite di salvaguardia della vita (SLV) causato da azioni sismiche con opportuni periodi di ritorno definiti di concerto al committente ed alle norme vigenti per le costruzioni in zona sismica.
- la sicurezza nei riguardi dello stato limite di danno (SLD) causato da azioni sismiche con opportuni periodi di ritorno definiti di concerto al committente ed alle norme vigenti per le costruzioni in zona sismica.

**NUOVA SCUOLA DELL'INFANZIA A SEI SEZIONI in località CASTELLO di SERRAVALLE****viale G. Verdi - COMUNE DI VALSAMOGGIA (BO)****PROGETTO ESECUTIVO****RELAZIONE DI CALCOLO STRUTTURALE BLOCCO D**

---

- robustezza nei confronti di opportune azioni accidentali in modo da evitare danni sproporzionati in caso di incendi, urti, esplosioni, errori umani.

- per quando riguarda le fasi costruttive intermedie la struttura non risulta cimentata in maniera più gravosa della fase finale.

Per garantire la durabilità della struttura sono state prese in considerazioni opportuni stati limite di esercizio (SLE) in funzione dell'uso e dell'ambiente in cui la struttura dovrà vivere limitando sia gli stati tensionali che nel caso delle opere in calcestruzzo anche l'ampiezza delle fessure. La definizione quantitativa delle prestazioni, la classe di esposizione e le verifiche sono riportati nel fascicolo delle elaborazioni numeriche allegate.

Inoltre per garantire la durabilità, così come tutte le prestazioni attese, è necessario che si ponga adeguata cura sia nell'esecuzione che nella manutenzione e gestione della struttura e si utilizzino tutti gli accorgimenti utili alla conservazione delle caratteristiche fisiche e dinamiche dei materiali e delle strutture. La qualità dei materiali e le dimensioni degli elementi sono coerenti con tali obiettivi.

Durante le fasi di costruzione il direttore dei lavori implementerà severe procedure di controllo sulla qualità dei materiali, sulle metodologie di lavorazione e sulla conformità delle opere eseguite al progetto esecutivo nonché alle prescrizioni contenute nelle "Norme Tecniche per le Costruzioni" D.M. 14/01/2008 e relative Istruzioni.

**NUOVA SCUOLA DELL'INFANZIA A SEI SEZIONI in località CASTELLO di SERRAVALLE**
**viale G. Verdi - COMUNE DI VALSAMOGGIA (BO)**
**PROGETTO ESECUTIVO**
**RELAZIONE DI CALCOLO STRUTTURALE BLOCCO D**
**2.5.4.1-Verifica pilastri in c.a.**
**Modalità di verifica**

I pilastri vengono verificati (a discrezione dell'utente) secondo una delle seguenti modalità:

-Presso-tenso flessione deviata.

-Le verifiche vengono effettuate nella sezione di sommità e in quella di base in tutte le combinazioni di carico.

Nelle stampe si riportano (per le due sezioni di verifica succitate) le sollecitazioni relative alla combinazione di carico critica. Le sollecitazioni di verifica alle estremità sono valutate ad una ascissa di spunto definita dall'utente.

Sezioni Impiegate:

Nelle stampe si riportano (per le due sezioni di verifica succitate) le sollecitazioni relative alla combinazione di carico critica. Le sollecitazioni di verifica alle estremità sono valutate ad una ascissa di spunto definita dall'utente.

Sezioni Impiegate:

| Sez. Num. | Info            | Dimensioni          | Criterio | Calcestruzzo | $\gamma_M$ | F.C. | fck [kg/cm <sup>2</sup> ] | fcd [kg/cm <sup>2</sup> ] | $\sigma_{RARE}$ [kg/cm <sup>2</sup> ] | $\sigma_{FREQ}$ [kg/cm <sup>2</sup> ] | $\sigma_{QP}$ [kg/cm <sup>2</sup> ] |
|-----------|-----------------|---------------------|----------|--------------|------------|------|---------------------------|---------------------------|---------------------------------------|---------------------------------------|-------------------------------------|
| 1         | Rett. pil.30x30 | B 30 [cm] H 30 [cm] | Verpil   | C25/30       | 1.50       | 1.00 | 250.0                     | 141.7                     | 150.0                                 | 150.0                                 | 112.5                               |
| 4         | Rett. pil.40x30 | B 40 [cm] H 30 [cm] | Verpil   | C25/30       | 1.50       | 1.00 | 250.0                     | 141.7                     | 150.0                                 | 150.0                                 | 112.5                               |
| 5         | Rett. pil.50x30 | B 50 [cm] H 30 [cm] | Verpil   | C25/30       | 1.50       | 1.00 | 250.0                     | 141.7                     | 150.0                                 | 150.0                                 | 112.5                               |
| 6         | Rett. pil.65x30 | B 65 [cm] H 30 [cm] | Verpil   | C25/30       | 1.50       | 1.00 | 250.0                     | 141.7                     | 150.0                                 | 150.0                                 | 112.5                               |
| 7         | Rett. pil.55x30 | B 55 [cm] H 30 [cm] | Verpil   | C25/30       | 1.50       | 1.00 | 250.0                     | 141.7                     | 150.0                                 | 150.0                                 | 112.5                               |

| Sez. Num. | Acciaio | $\gamma_M$ | F.C. | f <sub>yk</sub> [kg/cm <sup>2</sup> ] | f <sub>yd</sub> [kg/cm <sup>2</sup> ] | $\sigma_{YRARE}$ [kg/cm <sup>2</sup> ] | $\sigma_{YFREQ}$ [kg/cm <sup>2</sup> ] | $\sigma_{YQP}$ [kg/cm <sup>2</sup> ] | Copr. [cm] | Verifica | cotg $\theta$ |
|-----------|---------|------------|------|---------------------------------------|---------------------------------------|----------------------------------------|----------------------------------------|--------------------------------------|------------|----------|---------------|
| 1         | B 450 C | 1.15       | 1.00 | 4500.0                                | 3913.0                                | 3600.0                                 | 3600.0                                 | 3600.0                               | 3.00       | Deviata  | 1.0           |
| 4         | B 450 C | 1.15       | 1.00 | 4500.0                                | 3913.0                                | 3600.0                                 | 3600.0                                 | 3600.0                               | 3.00       | Deviata  | 1.0           |
| 5         | B 450 C | 1.15       | 1.00 | 4500.0                                | 3913.0                                | 3600.0                                 | 3600.0                                 | 3600.0                               | 3.00       | Deviata  | 1.0           |
| 6         | B 450 C | 1.15       | 1.00 | 4500.0                                | 3913.0                                | 3600.0                                 | 3600.0                                 | 3600.0                               | 3.00       | Deviata  | 1.0           |
| 7         | B 450 C | 1.15       | 1.00 | 4500.0                                | 3913.0                                | 3600.0                                 | 3600.0                                 | 3600.0                               | 3.00       | Deviata  | 1.0           |

**NUOVA SCUOLA DELL'INFANZIA A SEI SEZIONI in località CASTELLO di SERRAVALLE**
**viale G. Verdi - COMUNE DI VALSAMOGGIA (BO)**
**PROGETTO ESECUTIVO**
**RELAZIONE DI CALCOLO STRUTTURALE BLOCCO D**
**Verifiche Pilastr:**
**Fattore di sovrarresistenza  $\gamma_{R,d}$  (Nuovi)=1.10  $\gamma_{R,d}$  (Esistenti)=0.00**
**Pilastro: 147/1 / L 2.84[m] / Sezione 1 B 30 [cm]H 30 [cm]**
**Af: 4  $\varnothing$  18 Af=10.18 [cm<sup>2</sup>] < 1f18 x 4 V + 0f18 x 2 B + 0f18 x 2 H >**
**Staffe:  $\varnothing$  10/12.5 x 284.0**
**Verifiche a Presso-Flessione S.L.U.**

| Nodo | Comb | N       | M12    | M13    | $\alpha_{12}$ | $\alpha_{13}$ | Sd/Sr |
|------|------|---------|--------|--------|---------------|---------------|-------|
| 147  | 1    | -2235.6 | -0.0   | 0.0    | 1.00          | 1.00          | 0.02  |
| 1    | 9    | -1538.3 | -744.6 | 4126.8 | 1.00          | 1.00          | 0.88  |

**Verifiche a Taglio**

| Da [m] | A [m] | Vd12 [kg] | VRd12 [kg] | Vd13 [kg] | VRd13 [kg] | Staffe                |
|--------|-------|-----------|------------|-----------|------------|-----------------------|
| 0.13   | 2.96  | 1751.1    | 11329.3    | 1778.3    | 11329.3    | $\varnothing$ 10/12.5 |

**Verifiche a Presso-Flessione S.L.E.**

| Nodo                                 | Combinazione          | N [kg]  | M12 [kgm] | M13 [kgm] | $\sigma$ [kg/cm <sup>2</sup> ] |
|--------------------------------------|-----------------------|---------|-----------|-----------|--------------------------------|
| <b>Combinazioni Rare</b>             |                       |         |           |           |                                |
| 147                                  | Ft. 12                | -1129.9 | -0.0      | 0.0       | -16.1                          |
|                                      | $\sigma_s, c11$       | -1551.2 | -0.0      | 0.0       | -22.1                          |
|                                      | $\sigma_{cls}, Max11$ | -1551.2 | -0.0      | 0.0       | -1.5                           |
|                                      | $\sigma_{cls}, Med11$ | -1551.2 | -0.0      | 0.0       | -1.5                           |
| 1                                    | Ft. 12                | -2056.9 | -0.0      | -3.1      | -28.7                          |
|                                      | $\sigma_s, c11$       | -2478.2 | -0.0      | -4.1      | -36.1                          |
|                                      | $\sigma_{cls}, Max11$ | -2478.2 | -0.0      | -4.1      | -2.4                           |
|                                      | $\sigma_{cls}, Med11$ | -2478.2 | -0.0      | -4.1      | -2.4                           |
| <b>Combinazioni Frequenti</b>        |                       |         |           |           |                                |
| 147                                  | Ft. 14                | -708.6  | -0.0      | 0.0       | -10.1                          |
|                                      | $\sigma_s, c13$       | -877.1  | -0.0      | 0.0       | -12.5                          |
|                                      | $\sigma_{cls}, Max13$ | -877.1  | -0.0      | 0.0       | -0.8                           |
|                                      | $\sigma_{cls}, Med13$ | -877.1  | -0.0      | 0.0       | -0.8                           |
| 1                                    | Ft. 14                | -1635.6 | -0.0      | -2.0      | -22.9                          |
|                                      | $\sigma_s, c13$       | -1804.1 | -0.0      | -2.5      | -26.2                          |
|                                      | $\sigma_{cls}, Max13$ | -1804.1 | -0.0      | -2.5      | -1.8                           |
|                                      | $\sigma_{cls}, Med13$ | -1804.1 | -0.0      | -2.5      | -1.7                           |
| <b>Combinazioni Quasi Permanenti</b> |                       |         |           |           |                                |
| 147                                  | Ft. 15                | -708.6  | -0.0      | 0.0       | -10.1                          |

**NUOVA SCUOLA DELL'INFANZIA A SEI SEZIONI in località CASTELLO di SERRAVALLE**
**viale G. Verdi - COMUNE DI VALSAMOGGIA (BO)**
**PROGETTO ESECUTIVO**
**RELAZIONE DI CALCOLO STRUTTURALE BLOCCO D**

| Nodo              | Combinazione          | N<br>[kg] | M12<br>[kgm] | M13<br>[kgm] | $\sigma$<br>[kg/cm <sup>2</sup> ] |
|-------------------|-----------------------|-----------|--------------|--------------|-----------------------------------|
| Combinazioni Rare |                       |           |              |              |                                   |
|                   | $\sigma_s, c15$       | -708.6    | -0.0         | 0.0          | -10.1                             |
|                   | $\sigma_{cls}, Max15$ | -708.6    | -0.0         | 0.0          | -0.7                              |
|                   | $\sigma_{cls}, Med15$ | -708.6    | -0.0         | 0.0          | -0.7                              |
| 1                 | Ft. 15                | -1635.6   | -0.0         | -2.0         | -22.9                             |
|                   | $\sigma_s, c15$       | -1635.6   | -0.0         | -2.0         | -23.7                             |
|                   | $\sigma_{cls}, Max15$ | -1635.6   | -0.0         | -2.0         | -1.6                              |
|                   | $\sigma_{cls}, Med15$ | -1635.6   | -0.0         | -2.0         | -1.6                              |

Pilastro: 148/2 / L 2.84[m] / Sezione 4 B 40 [cm]H 30 [cm]

 Af: 6  $\varnothing$  20 Af=18.85 [cm<sup>2</sup>] < 1f20 x 4 V + 1f20 x 2 B + 0f20 x 2 H >

 Staffe:  $\varnothing$  10/12.5 x 284.0

Verifiche a Presso-Flessione S.L.U.

| Nodo | Comb | N       | M12    | M13    | $\alpha_{12}$ | $\alpha_{13}$ | Sd/Sr |
|------|------|---------|--------|--------|---------------|---------------|-------|
| 148  | 1    | -4779.8 | 0.0    | 0.0    | 1.00          | 1.00          | 0.02  |
| 2    | 4    | -2546.2 | 2324.8 | 4836.8 | 1.00          | 1.00          | 0.50  |

Verifiche a Taglio

| Da<br>[m] | A<br>[m] | Vd12<br>[kg] | VRd12<br>[kg] | Vd13<br>[kg] | VRd13<br>[kg] | Staffe                |
|-----------|----------|--------------|---------------|--------------|---------------|-----------------------|
| 0.13      | 2.96     | 3269.9       | 11329.3       | 4715.6       | 15754.8       | $\varnothing$ 10/12.5 |

Verifiche a Presso-Flessione S.L.E.

| Nodo                   | Combinazione          | N<br>[kg] | M12<br>[kgm] | M13<br>[kgm] | $\sigma$<br>[kg/cm <sup>2</sup> ] |
|------------------------|-----------------------|-----------|--------------|--------------|-----------------------------------|
| Combinazioni Rare      |                       |           |              |              |                                   |
| 148                    | Ft. 12                | -2365.7   | 0.0          | 0.0          | -23.9                             |
|                        | $\sigma_s, c11$       | -3302.2   | 0.0          | 0.0          | -33.4                             |
|                        | $\sigma_{cls}, Max11$ | -3302.2   | 0.0          | 0.0          | -2.2                              |
|                        | $\sigma_{cls}, Med11$ | -3302.2   | 0.0          | 0.0          | -2.2                              |
| 2                      | Ft. 12                | -3524.4   | 0.6          | 0.5          | -35.5                             |
|                        | $\sigma_s, c11$       | -4460.9   | -2.9         | 0.4          | -45.5                             |
|                        | $\sigma_{cls}, Max11$ | -4460.9   | -2.9         | 0.4          | -3.0                              |
|                        | $\sigma_{cls}, Med11$ | -4460.9   | -2.9         | 0.4          | -3.0                              |
| Combinazioni Frequenti |                       |           |              |              |                                   |
| 148                    | Ft. 14                | -1429.3   | 0.0          | 0.0          | -14.5                             |
|                        | $\sigma_s, c13$       | -1803.8   | 0.0          | 0.0          | -18.2                             |
|                        | $\sigma_{cls}, Max13$ | -1803.8   | 0.0          | 0.0          | -1.2                              |

## NUOVA SCUOLA DELL'INFANZIA A SEI SEZIONI in località CASTELLO di SERRAVALLE

viale G. Verdi - COMUNE DI VALSAMOGGIA (BO)

**PROGETTO ESECUTIVO**

## RELAZIONE DI CALCOLO STRUTTURALE BLOCCO D

| Nodo                          | Combinazione          | N<br>[kg] | M12<br>[kgm] | M13<br>[kgm] | $\sigma$<br>[kg/cm <sup>2</sup> ] |
|-------------------------------|-----------------------|-----------|--------------|--------------|-----------------------------------|
| Combinazioni Rare             |                       |           |              |              |                                   |
|                               | $\sigma_{cls}, Med13$ | -1803.8   | 0.0          | 0.0          | -1.2                              |
| 2                             | Ft. 14                | -2588.0   | 3.0          | 0.4          | -25.8                             |
|                               | $\sigma_s, c13$       | -2962.6   | 2.0          | 0.4          | -30.3                             |
|                               | $\sigma_{cls}, Max13$ | -2962.6   | 2.0          | 0.4          | -2.0                              |
|                               | $\sigma_{cls}, Med13$ | -2962.6   | 2.0          | 0.4          | -2.0                              |
| Combinazioni Quasi Permanenti |                       |           |              |              |                                   |
| 148                           | Ft. 15                | -1429.3   | 0.0          | 0.0          | -14.5                             |
|                               | $\sigma_s, c15$       | -1429.3   | 0.0          | 0.0          | -14.5                             |
|                               | $\sigma_{cls}, Max15$ | -1429.3   | 0.0          | 0.0          | -1.0                              |
|                               | $\sigma_{cls}, Med15$ | -1429.3   | 0.0          | 0.0          | -1.0                              |
| 2                             | Ft. 15                | -2588.0   | 3.2          | 0.4          | -25.7                             |
|                               | $\sigma_s, c15$       | -2588.0   | 3.2          | 0.4          | -26.6                             |
|                               | $\sigma_{cls}, Max15$ | -2588.0   | 3.2          | 0.4          | -1.8                              |
|                               | $\sigma_{cls}, Med15$ | -2588.0   | 3.2          | 0.4          | -1.7                              |

Pilastro: 150/3 / L 2.84[m] / Sezione 6 B 65 [cm]H 30 [cm]

Af:  $4 \varnothing 26 + 8 \varnothing 24$  Af=57.43 [cm<sup>2</sup>] <  $1f26 \times 4 V + 4f24 \times 2 B + 0f12 \times 2 H$  >Staffe:  $\varnothing 10$  4br.x2br./12.5 x 284.0

Verifiche a Presso-Flessione S.L.U.

| Nodo | Comb | N       | M12     | M13      | $\alpha_{12}$ | $\alpha_{13}$ | Sd/Sr |
|------|------|---------|---------|----------|---------------|---------------|-------|
| 150  | 1    | -9775.6 | 0.0     | 0.0      | 1.00          | 1.00          | 0.02  |
| 3    | 10   | -1715.4 | -9463.4 | -39804.6 | 1.00          | 1.00          | 0.97  |

Verifiche a Taglio

| Da<br>[m] | A<br>[m] | Vd12<br>[kg] | VRd12<br>[kg] | Vd13<br>[kg] | VRd13<br>[kg] | Staffe                          |
|-----------|----------|--------------|---------------|--------------|---------------|---------------------------------|
| 0.13      | 2.96     | 6704.3       | 22658.6       | 17218.2      | 26818.5       | $\varnothing 10$ 4br.x2br./12.5 |

Verifiche a Presso-Flessione S.L.E.

| Nodo              | Combinazione          | N<br>[kg] | M12<br>[kgm] | M13<br>[kgm] | $\sigma$<br>[kg/cm <sup>2</sup> ] |
|-------------------|-----------------------|-----------|--------------|--------------|-----------------------------------|
| Combinazioni Rare |                       |           |              |              |                                   |
| 150               | Ft. 12                | -4925.2   | 0.0          | 0.0          | -26.3                             |
|                   | $\sigma_s, c11$       | -6782.2   | 0.0          | 0.0          | -36.2                             |
|                   | $\sigma_{cls}, Max11$ | -6782.2   | 0.0          | 0.0          | -2.4                              |
|                   | $\sigma_{cls}, Med11$ | -6782.2   | 0.0          | 0.0          | -2.4                              |
| 3                 | Ft. 12                | -5620.5   | 1.0          | 13.7         | -29.4                             |

**NUOVA SCUOLA DELL'INFANZIA A SEI SEZIONI in località CASTELLO di SERRAVALLE**
**viale G. Verdi - COMUNE DI VALSAMOGGIA (BO)**
**PROGETTO ESECUTIVO**
**RELAZIONE DI CALCOLO STRUTTURALE BLOCCO D**

| Nodo                                 | Combinazione          | N<br>[kg] | M12<br>[kgm] | M13<br>[kgm] | $\sigma$<br>[kg/cm <sup>2</sup> ] |
|--------------------------------------|-----------------------|-----------|--------------|--------------|-----------------------------------|
| <b>Combinazioni Rare</b>             |                       |           |              |              |                                   |
|                                      | $\sigma_s, c11$       | -7477.5   | 0.9          | 15.7         | -40.6                             |
|                                      | $\sigma_{cls}, Max11$ | -7477.5   | 0.9          | 15.7         | -2.7                              |
|                                      | $\sigma_{cls}, Med11$ | -7477.5   | 0.9          | 15.7         | -2.7                              |
| <b>Combinazioni Frequenti</b>        |                       |           |              |              |                                   |
| 150                                  | Ft. 14                | -3079.4   | 0.0          | 0.0          | -16.4                             |
|                                      | $\sigma_s, c13$       | -3818.3   | 0.0          | 0.0          | -20.4                             |
|                                      | $\sigma_{cls}, Max13$ | -3818.3   | 0.0          | 0.0          | -1.4                              |
|                                      | $\sigma_{cls}, Med13$ | -3818.3   | 0.0          | 0.0          | -1.4                              |
| 3                                    | Ft. 14                | -3774.7   | 0.9          | 10.4         | -19.7                             |
|                                      | $\sigma_s, c13$       | -4513.6   | 0.9          | 11.6         | -24.6                             |
|                                      | $\sigma_{cls}, Max13$ | -4513.6   | 0.9          | 11.6         | -1.6                              |
|                                      | $\sigma_{cls}, Med13$ | -4513.6   | 0.9          | 11.6         | -1.6                              |
| <b>Combinazioni Quasi Permanenti</b> |                       |           |              |              |                                   |
| 150                                  | Ft. 15                | -3077.8   | 0.0          | 0.0          | -16.4                             |
|                                      | $\sigma_s, c15$       | -3077.8   | 0.0          | 0.0          | -16.4                             |
|                                      | $\sigma_{cls}, Max15$ | -3077.8   | 0.0          | 0.0          | -1.1                              |
|                                      | $\sigma_{cls}, Med15$ | -3077.8   | 0.0          | 0.0          | -1.1                              |
| 3                                    | Ft. 15                | -3773.0   | 0.9          | 10.6         | -19.6                             |
|                                      | $\sigma_s, c15$       | -3773.0   | 0.9          | 10.6         | -20.6                             |
|                                      | $\sigma_{cls}, Max15$ | -3773.0   | 0.9          | 10.6         | -1.4                              |
|                                      | $\sigma_{cls}, Med15$ | -3773.0   | 0.9          | 10.6         | -1.3                              |

Pilastro: 152/4 / L 2.84[m] / Sezione 1 B 30 [cm]H 30 [cm]

 $A_f: 4 \varnothing 26 A_f = 21.24 \text{ [cm}^2\text{]} < 1f26 \times 4 V + 0f26 \times 2 B + 0f26 \times 2 H >$ 

 Staffe:  $\varnothing 10/12.5 \times 284.0$ 

Verifiche a Presso-Flessione S.L.U.

| Nodo | Comb | N       | M12     | M13     | $\alpha_{12}$ | $\alpha_{13}$ | Sd/Sr |
|------|------|---------|---------|---------|---------------|---------------|-------|
| 152  | 1    | -3561.1 | 0.0     | 0.0     | 1.00          | 1.00          | 0.02  |
| 4    | 10   | -1805.6 | -2106.9 | -8351.2 | 1.00          | 1.00          | 0.96  |

Verifiche a Taglio

| Da<br>[m] | A<br>[m] | Vd12<br>[kg] | VRd12<br>[kg] | Vd13<br>[kg] | VRd13<br>[kg] | Staffe                |
|-----------|----------|--------------|---------------|--------------|---------------|-----------------------|
| 0.13      | 2.96     | 3431.1       | 11329.3       | 3375.8       | 11329.3       | $\varnothing 10/12.5$ |

Verifiche a Presso-Flessione S.L.E.

**NUOVA SCUOLA DELL'INFANZIA A SEI SEZIONI in località CASTELLO di SERRAVALLE**
**viale G. Verdi - COMUNE DI VALSAMOGGIA (BO)**
**PROGETTO ESECUTIVO**
**RELAZIONE DI CALCOLO STRUTTURALE BLOCCO D**

| Nodo                                 | Combinazione                 | N<br>[kg] | M12<br>[kgm] | M13<br>[kgm] | $\sigma$<br>[kg/cm <sup>2</sup> ] |
|--------------------------------------|------------------------------|-----------|--------------|--------------|-----------------------------------|
| <b>Combinazioni Rare</b>             |                              |           |              |              |                                   |
| 152                                  | Ft. 12                       | -1774.3   | 0.0          | 0.0          | -21.8                             |
|                                      | $\sigma_s, c11$              | -2463.5   | 0.0          | 0.0          | -30.3                             |
|                                      | $\sigma_{cls}, \text{Max}11$ | -2463.5   | 0.0          | 0.0          | -2.0                              |
|                                      | $\sigma_{cls}, \text{Med}11$ | -2463.5   | 0.0          | 0.0          | -2.0                              |
| 4                                    | Ft. 12                       | -2701.3   | 0.2          | 1.8          | -33.0                             |
|                                      | $\sigma_s, c11$              | -3390.5   | 0.1          | 2.3          | -42.1                             |
|                                      | $\sigma_{cls}, \text{Max}11$ | -3390.5   | 0.1          | 2.3          | -2.8                              |
|                                      | $\sigma_{cls}, \text{Med}11$ | -3390.5   | 0.1          | 2.3          | -2.8                              |
| <b>Combinazioni Frequenti</b>        |                              |           |              |              |                                   |
| 152                                  | Ft. 14                       | -1085.1   | 0.0          | 0.0          | -13.4                             |
|                                      | $\sigma_s, c13$              | -1360.8   | 0.0          | 0.0          | -16.8                             |
|                                      | $\sigma_{cls}, \text{Max}13$ | -1360.8   | 0.0          | 0.0          | -1.1                              |
|                                      | $\sigma_{cls}, \text{Med}13$ | -1360.8   | 0.0          | 0.0          | -1.1                              |
| 4                                    | Ft. 14                       | -2012.1   | 0.1          | 1.3          | -24.6                             |
|                                      | $\sigma_s, c13$              | -2287.8   | 0.1          | 1.5          | -28.4                             |
|                                      | $\sigma_{cls}, \text{Max}13$ | -2287.8   | 0.1          | 1.5          | -1.9                              |
|                                      | $\sigma_{cls}, \text{Med}13$ | -2287.8   | 0.1          | 1.5          | -1.9                              |
| <b>Combinazioni Quasi Permanenti</b> |                              |           |              |              |                                   |
| 152                                  | Ft. 15                       | -1085.1   | 0.0          | 0.0          | -13.4                             |
|                                      | $\sigma_s, c15$              | -1085.1   | 0.0          | 0.0          | -13.4                             |
|                                      | $\sigma_{cls}, \text{Max}15$ | -1085.1   | 0.0          | 0.0          | -0.9                              |
|                                      | $\sigma_{cls}, \text{Med}15$ | -1085.1   | 0.0          | 0.0          | -0.9                              |
| 4                                    | Ft. 15                       | -2012.1   | 0.1          | 1.3          | -24.6                             |
|                                      | $\sigma_s, c15$              | -2012.1   | 0.1          | 1.3          | -25.0                             |
|                                      | $\sigma_{cls}, \text{Max}15$ | -2012.1   | 0.1          | 1.3          | -1.7                              |
|                                      | $\sigma_{cls}, \text{Med}15$ | -2012.1   | 0.1          | 1.3          | -1.7                              |

Pilastro: 196/5 / L 3.85[m] / Sezione 1 B 30 [cm]H 30 [cm]

 $A_f: 4 \varnothing 26 A_f = 21.24 \text{ [cm}^2\text{]} < 1f_{26} \times 4 V + 0f_{26} \times 2 B + 0f_{26} \times 2 H >$ 

 Staffe:  $\varnothing 10/12.5 \times 385.0$ 

Verifiche a Presso-Flessione S.L.U.

| Nodo | Comb | N       | M12    | M13    | $\alpha_{12}$ | $\alpha_{13}$ | Sd/Sr |
|------|------|---------|--------|--------|---------------|---------------|-------|
| 196  | 1    | -4469.5 | 0.0    | 0.0    | 1.00          | 1.00          | 0.03  |
| 5    | 3    | -2332.1 | -670.7 | 5689.3 | 1.00          | 1.00          | 0.63  |

Verifiche a Taglio

**NUOVA SCUOLA DELL'INFANZIA A SEI SEZIONI in località CASTELLO di SERRAVALLE**
**viale G. Verdi - COMUNE DI VALSAMOGGIA (BO)**
**PROGETTO ESECUTIVO**
**RELAZIONE DI CALCOLO STRUTTURALE BLOCCO D**

| Da<br>[m] | A<br>[m] | Vd12<br>[kg] | VRd12<br>[kg] | Vd13<br>[kg] | VRd13<br>[kg] | Staffe    |
|-----------|----------|--------------|---------------|--------------|---------------|-----------|
| 0.13      | 3.98     | 2057.7       | 11329.3       | 2521.6       | 11329.3       | ø 10/12.5 |

**Verifiche a Presso-Flessione S.L.E.**

| Nodo                                 | Combinazione          | N<br>[kg] | M12<br>[kgm] | M13<br>[kgm] | $\sigma$<br>[kg/cm <sup>2</sup> ] |
|--------------------------------------|-----------------------|-----------|--------------|--------------|-----------------------------------|
| <b>Combinazioni Rare</b>             |                       |           |              |              |                                   |
| 196                                  | Ft. 12                | -2258.9   | 0.0          | 0.0          | -27.8                             |
|                                      | $\sigma_s, c11$       | -3101.2   | 0.0          | 0.0          | -38.2                             |
|                                      | $\sigma_{cls}, Max11$ | -3101.2   | 0.0          | 0.0          | -2.5                              |
|                                      | $\sigma_{cls}, Med11$ | -3101.2   | 0.0          | 0.0          | -2.5                              |
| 5                                    | Ft. 12                | -3181.4   | -0.0         | 0.0          | -39.2                             |
|                                      | $\sigma_s, c11$       | -4023.7   | -0.0         | 0.0          | -49.5                             |
|                                      | $\sigma_{cls}, Max11$ | -4023.7   | -0.0         | 0.0          | -3.3                              |
|                                      | $\sigma_{cls}, Med11$ | -4023.7   | -0.0         | 0.0          | -3.3                              |
| <b>Combinazioni Frequenti</b>        |                       |           |              |              |                                   |
| 196                                  | Ft. 14                | -1416.6   | 0.0          | 0.0          | -17.4                             |
|                                      | $\sigma_s, c13$       | -1753.5   | 0.0          | 0.0          | -21.6                             |
|                                      | $\sigma_{cls}, Max13$ | -1753.5   | 0.0          | 0.0          | -1.4                              |
|                                      | $\sigma_{cls}, Med13$ | -1753.5   | 0.0          | 0.0          | -1.4                              |
| 5                                    | Ft. 14                | -2339.1   | -0.0         | 0.0          | -28.8                             |
|                                      | $\sigma_s, c13$       | -2676.0   | -0.0         | 0.0          | -32.9                             |
|                                      | $\sigma_{cls}, Max13$ | -2676.0   | -0.0         | 0.0          | -2.2                              |
|                                      | $\sigma_{cls}, Med13$ | -2676.0   | -0.0         | 0.0          | -2.2                              |
| <b>Combinazioni Quasi Permanenti</b> |                       |           |              |              |                                   |
| 196                                  | Ft. 15                | -1416.6   | 0.0          | 0.0          | -17.4                             |
|                                      | $\sigma_s, c15$       | -1416.6   | 0.0          | 0.0          | -17.4                             |
|                                      | $\sigma_{cls}, Max15$ | -1416.6   | 0.0          | 0.0          | -1.2                              |
|                                      | $\sigma_{cls}, Med15$ | -1416.6   | 0.0          | 0.0          | -1.2                              |
| 5                                    | Ft. 15                | -2339.1   | -0.0         | 0.0          | -28.8                             |
|                                      | $\sigma_s, c15$       | -2339.1   | -0.0         | 0.0          | -28.8                             |
|                                      | $\sigma_{cls}, Max15$ | -2339.1   | -0.0         | 0.0          | -1.9                              |
|                                      | $\sigma_{cls}, Med15$ | -2339.1   | -0.0         | 0.0          | -1.9                              |

**Pilastro: 197/6 / L 3.85[m] / Sezione 5 B 50 [cm]H 30 [cm]**
**Af: 4 ø 26 + 2 ø 24 Af=30.28 [cm<sup>2</sup>] < 1f26 x 4 V + 1f24 x 2 B + 0f24 x 2 H >**
**Staffe: ø 10 4br.x2br./12.5 x 385.0**
**Verifiche a Presso-Flessione S.L.U.**

**NUOVA SCUOLA DELL'INFANZIA A SEI SEZIONI in località CASTELLO di SERRAVALLE**
**viale G. Verdi - COMUNE DI VALSAMOGGIA (BO)**
**PROGETTO ESECUTIVO**
**RELAZIONE DI CALCOLO STRUTTURALE BLOCCO D**

| Nodo | Comb | N       | M12    | M13     | $\alpha_{12}$ | $\alpha_{13}$ | Sd/Sr |
|------|------|---------|--------|---------|---------------|---------------|-------|
| 197  | 1    | -9727.1 | 0.0    | 0.0     | 1.00          | 1.00          | 0.04  |
| 6    | 4    | -2607.7 | 9728.3 | -4668.2 | 1.00          | 1.00          | 0.77  |

**Verifiche a Taglio**

| Da<br>[m] | A<br>[m] | Vd12<br>[kg] | VRd12<br>[kg] | Vd13<br>[kg] | VRd13<br>[kg] | Staffe              |
|-----------|----------|--------------|---------------|--------------|---------------|---------------------|
| 0.13      | 3.98     | 3673.5       | 22658.6       | 6230.8       | 20180.3       | ø 10 4br.x2br./12.5 |

**Verifiche a Presso-Flessione S.L.E.**

| Nodo                                 | Combinazione          | N<br>[kg] | M12<br>[kgm] | M13<br>[kgm] | $\sigma$<br>[kg/cm <sup>2</sup> ] |
|--------------------------------------|-----------------------|-----------|--------------|--------------|-----------------------------------|
| <b>Combinazioni Rare</b>             |                       |           |              |              |                                   |
| 197                                  | Ft. 12                | -4859.3   | 0.0          | 0.0          | -37.3                             |
|                                      | $\sigma_s, c11$       | -6732.5   | 0.0          | 0.0          | -51.7                             |
|                                      | $\sigma_{cls}, Max11$ | -6732.5   | 0.0          | 0.0          | -3.4                              |
|                                      | $\sigma_{cls}, Med11$ | -6732.5   | 0.0          | 0.0          | -3.4                              |
| 6                                    | Ft. 12                | -5781.8   | -1.0         | -9.3         | -43.7                             |
|                                      | $\sigma_s, c11$       | -7655.0   | -0.9         | -5.5         | -59.2                             |
|                                      | $\sigma_{cls}, Max11$ | -7655.0   | -0.9         | -5.5         | -4.0                              |
|                                      | $\sigma_{cls}, Med11$ | -7655.0   | -0.9         | -5.5         | -3.9                              |
| <b>Combinazioni Frequenti</b>        |                       |           |              |              |                                   |
| 197                                  | Ft. 14                | -2985.3   | 0.0          | 0.0          | -22.9                             |
|                                      | $\sigma_s, c13$       | -3734.8   | 0.0          | 0.0          | -28.7                             |
|                                      | $\sigma_{cls}, Max13$ | -3734.8   | 0.0          | 0.0          | -1.9                              |
|                                      | $\sigma_{cls}, Med13$ | -3734.8   | 0.0          | 0.0          | -1.9                              |
| 6                                    | Ft. 14                | -3907.8   | -0.9         | -10.9        | -29.2                             |
|                                      | $\sigma_s, c13$       | -4657.3   | -1.0         | -10.1        | -36.5                             |
|                                      | $\sigma_{cls}, Max13$ | -4657.3   | -1.0         | -10.1        | -2.5                              |
|                                      | $\sigma_{cls}, Med13$ | -4657.3   | -1.0         | -10.1        | -2.4                              |
| <b>Combinazioni Quasi Permanenti</b> |                       |           |              |              |                                   |
| 197                                  | Ft. 15                | -2985.4   | 0.0          | 0.0          | -22.9                             |
|                                      | $\sigma_s, c15$       | -2985.4   | 0.0          | 0.0          | -22.9                             |
|                                      | $\sigma_{cls}, Max15$ | -2985.4   | 0.0          | 0.0          | -1.5                              |
|                                      | $\sigma_{cls}, Med15$ | -2985.4   | 0.0          | 0.0          | -1.5                              |
| 6                                    | Ft. 15                | -3907.9   | -1.0         | -11.2        | -29.1                             |
|                                      | $\sigma_s, c15$       | -3907.9   | -1.0         | -11.2        | -30.8                             |
|                                      | $\sigma_{cls}, Max15$ | -3907.9   | -1.0         | -11.2        | -2.1                              |
|                                      | $\sigma_{cls}, Med15$ | -3907.9   | -1.0         | -11.2        | -2.0                              |

**NUOVA SCUOLA DELL'INFANZIA A SEI SEZIONI in località CASTELLO di SERRAVALLE**
**viale G. Verdi - COMUNE DI VALSAMOGGIA (BO)**
**PROGETTO ESECUTIVO**
**RELAZIONE DI CALCOLO STRUTTURALE BLOCCO D**

Pilastro: 259/7 / L 4.50[m] / Sezione 4 B 40 [cm]H 30 [cm]

 Af: 6  $\varnothing$  24 Af=27.14 [cm<sup>2</sup>] < 1f24 x 4 V + 1f24 x 2 B + 0f12 x 2 H >

 Staffe:  $\varnothing$  10/12.5 x 450.5

Verifiche a Presso-Flessione S.L.U.

| Nodo | Comb | N        | M12    | M13      | $\alpha_{12}$ | $\alpha_{13}$ | Sd/Sr |
|------|------|----------|--------|----------|---------------|---------------|-------|
| 259  | 1    | -15455.8 | 0.0    | 0.0      | 1.00          | 1.00          | 0.07  |
| 7    | 7    | -6340.5  | -921.4 | -15676.6 | 1.00          | 1.00          | 0.96  |

Verifiche a Taglio

| Da [m] | A [m] | Vd12 [kg] | VRd12 [kg] | Vd13 [kg] | VRd13 [kg] | Staffe                |
|--------|-------|-----------|------------|-----------|------------|-----------------------|
| 0.13   | 4.63  | 2734.4    | 11329.3    | 4049.2    | 15754.8    | $\varnothing$ 10/12.5 |

Verifiche a Presso-Flessione S.L.E.

| Nodo                                 | Combinazione          | N [kg]   | M12 [kgm] | M13 [kgm] | $\sigma$ [kg/cm <sup>2</sup> ] |
|--------------------------------------|-----------------------|----------|-----------|-----------|--------------------------------|
| <b>Combinazioni Rare</b>             |                       |          |           |           |                                |
| 259                                  | Ft. 12                | -8143.5  | 0.0       | 0.0       | -76.0                          |
|                                      | $\sigma_s, c11$       | -10785.1 | 0.0       | 0.0       | -100.7                         |
|                                      | $\sigma_{cls}, Max11$ | -10785.1 | 0.0       | 0.0       | -6.7                           |
|                                      | $\sigma_{cls}, Med11$ | -10785.1 | 0.0       | 0.0       | -6.7                           |
| 7                                    | Ft. 12                | -9213.4  | 5.7       | -8.1      | -84.5                          |
|                                      | $\sigma_s, c11$       | -11854.9 | 7.4       | -7.3      | -112.2                         |
|                                      | $\sigma_{cls}, Max11$ | -11854.9 | 7.4       | -7.3      | -7.5                           |
|                                      | $\sigma_{cls}, Med11$ | -11854.9 | 7.4       | -7.3      | -7.4                           |
| <b>Combinazioni Frequenti</b>        |                       |          |           |           |                                |
| 259                                  | Ft. 14                | -5442.7  | 0.0       | 0.0       | -50.8                          |
|                                      | $\sigma_s, c13$       | -6520.0  | 0.0       | 0.0       | -60.9                          |
|                                      | $\sigma_{cls}, Max13$ | -6520.0  | 0.0       | 0.0       | -4.1                           |
|                                      | $\sigma_{cls}, Med13$ | -6520.0  | 0.0       | 0.0       | -4.1                           |
| 7                                    | Ft. 14                | -6512.5  | 4.0       | -7.4      | -59.6                          |
|                                      | $\sigma_s, c13$       | -7589.9  | 4.7       | -7.6      | -72.1                          |
|                                      | $\sigma_{cls}, Max13$ | -7589.9  | 4.7       | -7.6      | -4.8                           |
|                                      | $\sigma_{cls}, Med13$ | -7589.9  | 4.7       | -7.6      | -4.7                           |
| <b>Combinazioni Quasi Permanenti</b> |                       |          |           |           |                                |
| 259                                  | Ft. 15                | -5451.6  | 0.0       | 0.0       | -50.9                          |
|                                      | $\sigma_s, c15$       | -5451.6  | 0.0       | 0.0       | -50.9                          |
|                                      | $\sigma_{cls}, Max15$ | -5451.6  | 0.0       | 0.0       | -3.4                           |
|                                      | $\sigma_{cls}, Med15$ | -5451.6  | 0.0       | 0.0       | -3.4                           |
| 7                                    | Ft. 15                | -6521.4  | 4.0       | -7.6      | -59.6                          |

**NUOVA SCUOLA DELL'INFANZIA A SEI SEZIONI in località CASTELLO di SERRAVALLE**
**viale G. Verdi - COMUNE DI VALSAMOGGIA (BO)**
**PROGETTO ESECUTIVO**
**RELAZIONE DI CALCOLO STRUTTURALE BLOCCO D**

| Nodo              | Combinazione         | N<br>[kg] | M12<br>[kgm] | M13<br>[kgm] | $\sigma$<br>[kg/cm <sup>2</sup> ] |
|-------------------|----------------------|-----------|--------------|--------------|-----------------------------------|
| Combinazioni Rare |                      |           |              |              |                                   |
|                   | $\sigma s, c15$      | -6521.4   | 4.0          | -7.6         | -62.1                             |
|                   | $\sigma cl s, Max15$ | -6521.4   | 4.0          | -7.6         | -4.2                              |
|                   | $\sigma cl s, Med15$ | -6521.4   | 4.0          | -7.6         | -4.1                              |

Pilastro: 201/8 / L 3.85[m] / Sezione 5 B 50 [cm]H 30 [cm]

 $A_f: 6 \varnothing 26 + 2 \varnothing 12 A_f = 34.12 \text{ [cm}^2\text{]} < 1f_{26} \times 4 V + 1f_{26} \times 2 B + 1f_{12} \times 2 H >$ 

 Staffe:  $\varnothing 10 \text{ 4br.x2br./12.5} \times 64.2 / \varnothing 10 \text{ 4br.x2br./12.5} \times 256.7 / \varnothing 10 \text{ 4br.x2br./12.5} \times 64.2 \text{ 12.50} > 9.60 \text{ [cm]}$ 

Verifiche a Presso-Flessione S.L.U.

| Nodo | Comb | N       | M12    | M13     | $\alpha_{12}$ | $\alpha_{13}$ | Sd/Sr |
|------|------|---------|--------|---------|---------------|---------------|-------|
| 201  | 1    | -7121.8 | 0.0    | 0.0     | 1.00          | 1.00          | 0.03  |
| 8    | 10   | -3127.4 | 5244.3 | 21945.2 | 1.00          | 1.00          | 0.97  |

Verifiche a Taglio

| Da<br>[m] | A<br>[m] | Vd12<br>[kg] | VRd12<br>[kg] | Vd13<br>[kg] | VRd13<br>[kg] | Staffe                                  |
|-----------|----------|--------------|---------------|--------------|---------------|-----------------------------------------|
| 0.13      | 0.77     | 4127.8       | 22658.6       | 7466.5       | 20180.3       | $\varnothing 10 \text{ 4br.x2br./12.5}$ |
| 0.77      | 3.33     | 4127.8       | 22658.6       | 7466.5       | 20180.3       | $\varnothing 10 \text{ 4br.x2br./12.5}$ |
| 3.33      | 3.98     | 4127.8       | 22658.6       | 7466.5       | 20180.3       | $\varnothing 10 \text{ 4br.x2br./12.5}$ |

Verifiche a Presso-Flessione S.L.E.

| Nodo                   | Combinazione         | N<br>[kg] | M12<br>[kgm] | M13<br>[kgm] | $\sigma$<br>[kg/cm <sup>2</sup> ] |
|------------------------|----------------------|-----------|--------------|--------------|-----------------------------------|
| Combinazioni Rare      |                      |           |              |              |                                   |
| 201                    | Ft. 12               | -3548.4   | 0.0          | 0.0          | -26.5                             |
|                        | $\sigma s, c11$      | -4926.7   | 0.0          | 0.0          | -36.7                             |
|                        | $\sigma cl s, Max11$ | -4926.7   | 0.0          | 0.0          | -2.4                              |
|                        | $\sigma cl s, Med11$ | -4926.7   | 0.0          | 0.0          | -2.4                              |
| 8                      | Ft. 12               | -5085.9   | 0.4          | 0.0          | -37.9                             |
|                        | $\sigma s, c11$      | -6464.2   | 0.4          | 0.3          | -48.3                             |
|                        | $\sigma cl s, Max11$ | -6464.2   | 0.4          | 0.3          | -3.2                              |
|                        | $\sigma cl s, Med11$ | -6464.2   | 0.4          | 0.3          | -3.2                              |
| Combinazioni Frequenti |                      |           |              |              |                                   |
| 201                    | Ft. 14               | -2170.0   | 0.0          | 0.0          | -16.2                             |
|                        | $\sigma s, c13$      | -2721.4   | 0.0          | 0.0          | -20.3                             |
|                        | $\sigma cl s, Max13$ | -2721.4   | 0.0          | 0.0          | -1.4                              |
|                        | $\sigma cl s, Med13$ | -2721.4   | 0.0          | 0.0          | -1.4                              |
| 8                      | Ft. 14               | -3707.5   | 0.4          | -0.2         | -27.6                             |

**NUOVA SCUOLA DELL'INFANZIA A SEI SEZIONI in località CASTELLO di SERRAVALLE**
**viale G. Verdi - COMUNE DI VALSAMOGGIA (BO)**
**PROGETTO ESECUTIVO**
**RELAZIONE DI CALCOLO STRUTTURALE BLOCCO D**

| Nodo                          | Combinazione          | N<br>[kg] | M12<br>[kgm] | M13<br>[kgm] | $\sigma$<br>[kg/cm <sup>2</sup> ] |
|-------------------------------|-----------------------|-----------|--------------|--------------|-----------------------------------|
| Combinazioni Rare             |                       |           |              |              |                                   |
|                               | $\sigma_s, c13$       | -4258.9   | 0.4          | -0.1         | -31.8                             |
|                               | $\sigma_{cls}, Max13$ | -4258.9   | 0.4          | -0.1         | -2.1                              |
|                               | $\sigma_{cls}, Med13$ | -4258.9   | 0.4          | -0.1         | -2.1                              |
| Combinazioni Quasi Permanenti |                       |           |              |              |                                   |
| 201                           | Ft. 15                | -2170.0   | 0.0          | 0.0          | -16.2                             |
|                               | $\sigma_s, c15$       | -2170.0   | 0.0          | 0.0          | -16.2                             |
|                               | $\sigma_{cls}, Max15$ | -2170.0   | 0.0          | 0.0          | -1.1                              |
|                               | $\sigma_{cls}, Med15$ | -2170.0   | 0.0          | 0.0          | -1.1                              |
| 8                             | Ft. 15                | -3707.5   | 0.4          | -0.2         | -27.6                             |
|                               | $\sigma_s, c15$       | -3707.5   | 0.4          | -0.2         | -27.7                             |
|                               | $\sigma_{cls}, Max15$ | -3707.5   | 0.4          | -0.2         | -1.8                              |
|                               | $\sigma_{cls}, Med15$ | -3707.5   | 0.4          | -0.2         | -1.8                              |

Pilastro: 138/9 / L 2.84[m] / Sezione 1 B 30 [cm]H 30 [cm]

 $A_f: 4 \varnothing 18 A_f = 10.18 \text{ [cm}^2\text{]} < 1f18 \times 4 V + 0f18 \times 2 B + 0f18 \times 2 H >$ 

 Staffe:  $\varnothing 10/12.5 \times 284.0$ 

Verifiche a Presso-Flessione S.L.U.

| Nodo | Comb | N       | M12     | M13    | $\alpha_{12}$ | $\alpha_{13}$ | Sd/Sr |
|------|------|---------|---------|--------|---------------|---------------|-------|
| 138  | 1    | -2235.6 | 0.0     | 0.0    | 1.00          | 1.00          | 0.02  |
| 9    | 6    | -1329.5 | -4131.1 | -915.6 | 1.00          | 1.00          | 0.89  |

Verifiche a Taglio

| Da<br>[m] | A<br>[m] | Vd12<br>[kg] | VRd12<br>[kg] | Vd13<br>[kg] | VRd13<br>[kg] | Staffe                |
|-----------|----------|--------------|---------------|--------------|---------------|-----------------------|
| 0.13      | 2.96     | 1761.7       | 11329.3       | 1745.2       | 11329.3       | $\varnothing 10/12.5$ |

Verifiche a Presso-Flessione S.L.E.

| Nodo              | Combinazione          | N<br>[kg] | M12<br>[kgm] | M13<br>[kgm] | $\sigma$<br>[kg/cm <sup>2</sup> ] |
|-------------------|-----------------------|-----------|--------------|--------------|-----------------------------------|
| Combinazioni Rare |                       |           |              |              |                                   |
| 138               | Ft. 12                | -1129.9   | 0.0          | 0.0          | -16.1                             |
|                   | $\sigma_s, c11$       | -1551.2   | 0.0          | 0.0          | -22.1                             |
|                   | $\sigma_{cls}, Max11$ | -1551.2   | 0.0          | 0.0          | -1.5                              |
|                   | $\sigma_{cls}, Med11$ | -1551.2   | 0.0          | 0.0          | -1.5                              |
| 9                 | Ft. 12                | -1825.1   | 3.2          | -0.0         | -25.4                             |
|                   | $\sigma_s, c11$       | -2246.4   | 4.2          | -0.0         | -32.8                             |
|                   | $\sigma_{cls}, Max11$ | -2246.4   | 4.2          | -0.0         | -2.2                              |

**NUOVA SCUOLA DELL'INFANZIA A SEI SEZIONI in località CASTELLO di SERRAVALLE**
**viale G. Verdi - COMUNE DI VALSAMOGGIA (BO)**
**PROGETTO ESECUTIVO**
**RELAZIONE DI CALCOLO STRUTTURALE BLOCCO D**

| Nodo                          | Combinazione | N<br>[kg] | M12<br>[kgm] | M13<br>[kgm] | $\sigma$<br>[kg/cm <sup>2</sup> ] |
|-------------------------------|--------------|-----------|--------------|--------------|-----------------------------------|
| Combinazioni Rare             |              |           |              |              |                                   |
|                               | ocls,Med11   | -2246.4   | 4.2          | -0.0         | -2.1                              |
| Combinazioni Frequenti        |              |           |              |              |                                   |
| 138                           | Ft. 14       | -708.6    | 0.0          | 0.0          | -10.1                             |
|                               | os,c13       | -877.1    | 0.0          | 0.0          | -12.5                             |
|                               | ocls,Max13   | -877.1    | 0.0          | 0.0          | -0.8                              |
|                               | ocls,Med13   | -877.1    | 0.0          | 0.0          | -0.8                              |
| 9                             | Ft. 14       | -1403.8   | 2.1          | -0.0         | -19.6                             |
|                               | os,c13       | -1572.3   | 2.5          | -0.0         | -22.9                             |
|                               | ocls,Max13   | -1572.3   | 2.5          | -0.0         | -1.5                              |
|                               | ocls,Med13   | -1572.3   | 2.5          | -0.0         | -1.5                              |
| Combinazioni Quasi Permanenti |              |           |              |              |                                   |
| 138                           | Ft. 15       | -708.6    | 0.0          | 0.0          | -10.1                             |
|                               | os,c15       | -708.6    | 0.0          | 0.0          | -10.1                             |
|                               | ocls,Max15   | -708.6    | 0.0          | 0.0          | -0.7                              |
|                               | ocls,Med15   | -708.6    | 0.0          | 0.0          | -0.7                              |
| 9                             | Ft. 15       | -1403.8   | 2.1          | -0.0         | -19.6                             |
|                               | os,c15       | -1403.8   | 2.1          | -0.0         | -20.4                             |
|                               | ocls,Max15   | -1403.8   | 2.1          | -0.0         | -1.4                              |
|                               | ocls,Med15   | -1403.8   | 2.1          | -0.0         | -1.3                              |

Pilastro: 138/9 / L 2.84[m] / Sezione 1 B 55 [cm]H 30 [cm]

 $A_f: 4 \varnothing 18 A_f=10.18 \text{ [cm}^2\text{]} < 1f18 \times 4 V + 0f18 \times 2 B + 0f18 \times 2 H >$ 

 Staffe:  $\varnothing 10/12.5 \times 284.0$ 

Verifiche a Presso-Flessione S.L.U.

| Nodo | Comb | N       | M12     | M13    | $\alpha_{12}$ | $\alpha_{13}$ | Sd/Sr |
|------|------|---------|---------|--------|---------------|---------------|-------|
| 138  | 1    | -2235.6 | 0.0     | 0.0    | 1.00          | 1.00          | 0.02  |
| 9    | 6    | -1329.5 | -4131.1 | -915.6 | 1.00          | 1.00          | 0.89  |

Verifiche a Taglio

| Da<br>[m] | A<br>[m] | Vd12<br>[kg] | VRd12<br>[kg] | Vd13<br>[kg] | VRd13<br>[kg] | Staffe                |
|-----------|----------|--------------|---------------|--------------|---------------|-----------------------|
| 0.13      | 2.96     | 1761.7       | 11329.3       | 1745.2       | 11329.3       | $\varnothing 10/12.5$ |

Verifiche a Presso-Flessione S.L.E.

**NUOVA SCUOLA DELL'INFANZIA A SEI SEZIONI in località CASTELLO di SERRAVALLE**
**viale G. Verdi - COMUNE DI VALSAMOGGIA (BO)**
**PROGETTO ESECUTIVO**
**RELAZIONE DI CALCOLO STRUTTURALE BLOCCO D**

| Nodo                                 | Combinazione                 | N<br>[kg] | M12<br>[kgm] | M13<br>[kgm] | $\sigma$<br>[kg/cm <sup>2</sup> ] |
|--------------------------------------|------------------------------|-----------|--------------|--------------|-----------------------------------|
| <b>Combinazioni Rare</b>             |                              |           |              |              |                                   |
| 138                                  | Ft. 12                       | -1129.9   | 0.0          | 0.0          | -16.1                             |
|                                      | $\sigma_s, c11$              | -1551.2   | 0.0          | 0.0          | -22.1                             |
|                                      | $\sigma_{cls}, \text{Max}11$ | -1551.2   | 0.0          | 0.0          | -1.5                              |
|                                      | $\sigma_{cls}, \text{Med}11$ | -1551.2   | 0.0          | 0.0          | -1.5                              |
| 9                                    | Ft. 12                       | -1825.1   | 3.2          | -0.0         | -25.4                             |
|                                      | $\sigma_s, c11$              | -2246.4   | 4.2          | -0.0         | -32.8                             |
|                                      | $\sigma_{cls}, \text{Max}11$ | -2246.4   | 4.2          | -0.0         | -2.2                              |
|                                      | $\sigma_{cls}, \text{Med}11$ | -2246.4   | 4.2          | -0.0         | -2.1                              |
| <b>Combinazioni Frequenti</b>        |                              |           |              |              |                                   |
| 138                                  | Ft. 14                       | -708.6    | 0.0          | 0.0          | -10.1                             |
|                                      | $\sigma_s, c13$              | -877.1    | 0.0          | 0.0          | -12.5                             |
|                                      | $\sigma_{cls}, \text{Max}13$ | -877.1    | 0.0          | 0.0          | -0.8                              |
|                                      | $\sigma_{cls}, \text{Med}13$ | -877.1    | 0.0          | 0.0          | -0.8                              |
| 9                                    | Ft. 14                       | -1403.8   | 2.1          | -0.0         | -19.6                             |
|                                      | $\sigma_s, c13$              | -1572.3   | 2.5          | -0.0         | -22.9                             |
|                                      | $\sigma_{cls}, \text{Max}13$ | -1572.3   | 2.5          | -0.0         | -1.5                              |
|                                      | $\sigma_{cls}, \text{Med}13$ | -1572.3   | 2.5          | -0.0         | -1.5                              |
| <b>Combinazioni Quasi Permanenti</b> |                              |           |              |              |                                   |
| 138                                  | Ft. 15                       | -708.6    | 0.0          | 0.0          | -10.1                             |
|                                      | $\sigma_s, c15$              | -708.6    | 0.0          | 0.0          | -10.1                             |
|                                      | $\sigma_{cls}, \text{Max}15$ | -708.6    | 0.0          | 0.0          | -0.7                              |
|                                      | $\sigma_{cls}, \text{Med}15$ | -708.6    | 0.0          | 0.0          | -0.7                              |
| 9                                    | Ft. 15                       | -1403.8   | 2.1          | -0.0         | -19.6                             |
|                                      | $\sigma_s, c15$              | -1403.8   | 2.1          | -0.0         | -20.4                             |
|                                      | $\sigma_{cls}, \text{Max}15$ | -1403.8   | 2.1          | -0.0         | -1.4                              |
|                                      | $\sigma_{cls}, \text{Med}15$ | -1403.8   | 2.1          | -0.0         | -1.3                              |

Pilastro: 138/9 / L 2.84[m] / Sezione 1 B 55 [cm]H 30 [cm]

 $A_f: 4 \varnothing 18 A_f=10.18 \text{ [cm}^2\text{]} < 1f18 \times 4 V + 0f18 \times 2 B + 0f18 \times 2 H >$ 

 Staffe:  $\varnothing 10/12.5 \times 284.0$ 

Verifiche a Presso-Flessione S.L.U.

| Nodo | Comb | N       | M12     | M13    | $\alpha_{12}$ | $\alpha_{13}$ | Sd/Sr |
|------|------|---------|---------|--------|---------------|---------------|-------|
| 138  | 1    | -2235.6 | 0.0     | 0.0    | 1.00          | 1.00          | 0.02  |
| 9    | 6    | -1329.5 | -4131.1 | -915.6 | 1.00          | 1.00          | 0.89  |

Verifiche a Taglio

**NUOVA SCUOLA DELL'INFANZIA A SEI SEZIONI in località CASTELLO di SERRAVALLE**
**viale G. Verdi - COMUNE DI VALSAMOGGIA (BO)**
**PROGETTO ESECUTIVO**
**RELAZIONE DI CALCOLO STRUTTURALE BLOCCO D**

| Da<br>[m] | A<br>[m] | Vd12<br>[kg] | VRd12<br>[kg] | Vd13<br>[kg] | VRd13<br>[kg] | Staffe    |
|-----------|----------|--------------|---------------|--------------|---------------|-----------|
| 0.13      | 2.96     | 1761.7       | 11329.3       | 1745.2       | 11329.3       | ø 10/12.5 |

**Verifiche a Presso-Flessione S.L.E.**

| Nodo                                 | Combinazione          | N<br>[kg] | M12<br>[kgm] | M13<br>[kgm] | $\sigma$<br>[kg/cm <sup>2</sup> ] |
|--------------------------------------|-----------------------|-----------|--------------|--------------|-----------------------------------|
| <b>Combinazioni Rare</b>             |                       |           |              |              |                                   |
| 138                                  | Ft. 12                | -1129.9   | 0.0          | 0.0          | -16.1                             |
|                                      | $\sigma_s, c11$       | -1551.2   | 0.0          | 0.0          | -22.1                             |
|                                      | $\sigma_{cls}, Max11$ | -1551.2   | 0.0          | 0.0          | -1.5                              |
|                                      | $\sigma_{cls}, Med11$ | -1551.2   | 0.0          | 0.0          | -1.5                              |
| 9                                    | Ft. 12                | -1825.1   | 3.2          | -0.0         | -25.4                             |
|                                      | $\sigma_s, c11$       | -2246.4   | 4.2          | -0.0         | -32.8                             |
|                                      | $\sigma_{cls}, Max11$ | -2246.4   | 4.2          | -0.0         | -2.2                              |
|                                      | $\sigma_{cls}, Med11$ | -2246.4   | 4.2          | -0.0         | -2.1                              |
| <b>Combinazioni Frequenti</b>        |                       |           |              |              |                                   |
| 138                                  | Ft. 14                | -708.6    | 0.0          | 0.0          | -10.1                             |
|                                      | $\sigma_s, c13$       | -877.1    | 0.0          | 0.0          | -12.5                             |
|                                      | $\sigma_{cls}, Max13$ | -877.1    | 0.0          | 0.0          | -0.8                              |
|                                      | $\sigma_{cls}, Med13$ | -877.1    | 0.0          | 0.0          | -0.8                              |
| 9                                    | Ft. 14                | -1403.8   | 2.1          | -0.0         | -19.6                             |
|                                      | $\sigma_s, c13$       | -1572.3   | 2.5          | -0.0         | -22.9                             |
|                                      | $\sigma_{cls}, Max13$ | -1572.3   | 2.5          | -0.0         | -1.5                              |
|                                      | $\sigma_{cls}, Med13$ | -1572.3   | 2.5          | -0.0         | -1.5                              |
| <b>Combinazioni Quasi Permanenti</b> |                       |           |              |              |                                   |
| 138                                  | Ft. 15                | -708.6    | 0.0          | 0.0          | -10.1                             |
|                                      | $\sigma_s, c15$       | -708.6    | 0.0          | 0.0          | -10.1                             |
|                                      | $\sigma_{cls}, Max15$ | -708.6    | 0.0          | 0.0          | -0.7                              |
|                                      | $\sigma_{cls}, Med15$ | -708.6    | 0.0          | 0.0          | -0.7                              |
| 9                                    | Ft. 15                | -1403.8   | 2.1          | -0.0         | -19.6                             |
|                                      | $\sigma_s, c15$       | -1403.8   | 2.1          | -0.0         | -20.4                             |
|                                      | $\sigma_{cls}, Max15$ | -1403.8   | 2.1          | -0.0         | -1.4                              |
|                                      | $\sigma_{cls}, Med15$ | -1403.8   | 2.1          | -0.0         | -1.3                              |

**Pilastro: 229/10 / L 4.96[m] / Sezione 7 B 55 [cm]H 30 [cm]**
**Af: 4 ø 26 + 6 ø 24 + 2 ø 12 Af=50.64 [cm<sup>2</sup>] < 1f26 x 4 V + 3f24 x 2 B + 1f12 x 2 H >**
**Staffe: ø 10 4br.x2br./5.0 x 82.7/ø 10 4br.x2br./12.5 x 330.7/ø 10 4br.x2br./5.0 x 82.7**
**Verifiche a Presso-Flessione S.L.U.**

**NUOVA SCUOLA DELL'INFANZIA A SEI SEZIONI in località CASTELLO di SERRAVALLE**
**viale G. Verdi - COMUNE DI VALSAMOGGIA (BO)**
**PROGETTO ESECUTIVO**
**RELAZIONE DI CALCOLO STRUTTURALE BLOCCO D**

| Nodo | Comb | N       | M12     | M13      | $\alpha_{12}$ | $\alpha_{13}$ | Sd/Sr |
|------|------|---------|---------|----------|---------------|---------------|-------|
| 229  | 1    | -5746.4 | -0.0    | 0.0      | 1.00          | 1.00          | 0.02  |
| 139  | 6    | -1710.7 | 3736.7  | -3665.1  | 1.00          | 1.00          | 0.22  |
|      |      |         |         |          |               |               |       |
| 139  | 5    | -5308.8 | 2997.1  | 3406.9   | 1.00          | 1.00          | 0.18  |
| 17   | 7    | -7371.3 | 1412.0  | -6452.9  | 1.00          | 1.00          | 0.19  |
|      |      |         |         |          |               |               |       |
| 17   | 6    | -6634.3 | 5493.4  | -4103.3  | 1.00          | 1.00          | 0.28  |
| 10   | 7    | -8707.1 | -4949.6 | -32811.3 | 1.00          | 1.00          | 0.94  |

**Verifiche a Taglio**

| Da<br>[m] | A<br>[m] | Vd12<br>[kg] | VRd12<br>[kg] | Vd13<br>[kg] | VRd13<br>[kg] | Staffe              |
|-----------|----------|--------------|---------------|--------------|---------------|---------------------|
| 0.13      | 0.95     | 4852.1       | 44890.6       | 8497.6       | 48397.6       | ø 10 4br.x2br./5.0  |
| 0.95      | 4.26     | 6981.9       | 22658.6       | 9206.0       | 22393.0       | ø 10 4br.x2br./12.5 |
| 4.26      | 5.09     | 4852.1       | 44890.6       | 9206.0       | 48397.6       | ø 10 4br.x2br./5.0  |

**Verifiche a Presso-Flessione S.L.E.**

| Nodo                     | Combinazione          | N<br>[kg] | M12<br>[kgm] | M13<br>[kgm] | $\sigma$<br>[kg/cm <sup>2</sup> ] |
|--------------------------|-----------------------|-----------|--------------|--------------|-----------------------------------|
| <b>Combinazioni Rare</b> |                       |           |              |              |                                   |
| 229                      | Ft. 12                | -2884.2   | -0.0         | 0.0          | -18.0                             |
|                          | $\sigma_s, c11$       | -3981.5   | -0.0         | 0.0          | -24.8                             |
|                          | $\sigma_{cls}, Max11$ | -3981.5   | -0.0         | 0.0          | -1.7                              |
|                          | $\sigma_{cls}, Med11$ | -3981.5   | -0.0         | 0.0          | -1.7                              |
| 139                      | Ft. 12                | -3679.2   | 8.2          | -0.0         | -22.3                             |
|                          | $\sigma_s, c11$       | -4776.5   | 5.4          | 0.0          | -30.1                             |
|                          | $\sigma_{cls}, Max11$ | -4776.5   | 5.4          | 0.0          | -2.0                              |
|                          | $\sigma_{cls}, Med11$ | -4776.5   | 5.4          | 0.0          | -2.0                              |
|                          |                       |           |              |              |                                   |
| 139                      | Ft. 12                | -9412.1   | 8.0          | -44.9        | -55.6                             |
|                          | $\sigma_s, c11$       | -10561.5  | 5.2          | -40.9        | -68.3                             |
|                          | $\sigma_{cls}, Max11$ | -10561.5  | 5.2          | -40.9        | -4.6                              |
|                          | $\sigma_{cls}, Med11$ | -10561.5  | 5.2          | -40.9        | -4.4                              |
| 17                       | Ft. 12                | -9487.1   | 7.6          | -43.1        | -56.2                             |
|                          | $\sigma_s, c11$       | -10636.5  | 5.3          | -39.3        | -68.7                             |
|                          | $\sigma_{cls}, Max11$ | -10636.5  | 5.3          | -39.3        | -4.6                              |
|                          | $\sigma_{cls}, Med11$ | -10636.5  | 5.3          | -39.3        | -4.4                              |

**NUOVA SCUOLA DELL'INFANZIA A SEI SEZIONI in località CASTELLO di SERRAVALLE**
**viale G. Verdi - COMUNE DI VALSAMOGGIA (BO)**
**PROGETTO ESECUTIVO**
**RELAZIONE DI CALCOLO STRUTTURALE BLOCCO D**

| Nodo                          | Combinazione          | N<br>[kg] | M12<br>[kgm] | M13<br>[kgm] | $\sigma$<br>[kg/cm <sup>2</sup> ] |
|-------------------------------|-----------------------|-----------|--------------|--------------|-----------------------------------|
| <b>Combinazioni Rare</b>      |                       |           |              |              |                                   |
| 17                            | Ft. 12                | -9485.7   | 3.7          | -44.7        | -56.4                             |
|                               | $\sigma_s, c11$       | -10634.9  | 0.7          | -40.8        | -68.4                             |
|                               | $\sigma_{cls}, Max11$ | -10634.9  | 0.7          | -40.8        | -4.6                              |
|                               | $\sigma_{cls}, Med11$ | -10634.9  | 0.7          | -40.8        | -4.4                              |
| 10                            | Ft. 12                | -10569.5  | 1.6          | -14.4        | -64.9                             |
|                               | $\sigma_s, c11$       | -11718.6  | 2.8          | -12.3        | -73.8                             |
|                               | $\sigma_{cls}, Max11$ | -11718.6  | 2.8          | -12.3        | -4.9                              |
|                               | $\sigma_{cls}, Med11$ | -11718.6  | 2.8          | -12.3        | -4.9                              |
| <b>Combinazioni Frequenti</b> |                       |           |              |              |                                   |
| 229                           | Ft. 14                | -1787.2   | -0.0         | 0.0          | -11.1                             |
|                               | $\sigma_s, c13$       | -2226.0   | -0.0         | 0.0          | -13.9                             |
|                               | $\sigma_{cls}, Max13$ | -2226.0   | -0.0         | 0.0          | -0.9                              |
|                               | $\sigma_{cls}, Med13$ | -2226.0   | -0.0         | 0.0          | -0.9                              |
| 139                           | Ft. 14                | -2582.2   | 9.3          | -0.1         | -15.4                             |
|                               | $\sigma_s, c13$       | -3021.0   | 8.8          | -0.0         | -19.5                             |
|                               | $\sigma_{cls}, Max13$ | -3021.0   | 8.8          | -0.0         | -1.3                              |
|                               | $\sigma_{cls}, Med13$ | -3021.0   | 8.8          | -0.0         | -1.3                              |
|                               |                       |           |              |              |                                   |
| 139                           | Ft. 14                | -7523.4   | 9.0          | -41.0        | -44.0                             |
|                               | $\sigma_s, c13$       | -8241.9   | 8.5          | -42.2        | -54.2                             |
|                               | $\sigma_{cls}, Max13$ | -8241.9   | 8.5          | -42.2        | -3.7                              |
|                               | $\sigma_{cls}, Med13$ | -8241.9   | 8.5          | -42.2        | -3.4                              |
| 17                            | Ft. 14                | -7598.4   | 8.4          | -39.4        | -44.6                             |
|                               | $\sigma_s, c13$       | -8316.9   | 8.0          | -40.5        | -54.5                             |
|                               | $\sigma_{cls}, Max13$ | -8316.9   | 8.0          | -40.5        | -3.7                              |
|                               | $\sigma_{cls}, Med13$ | -8316.9   | 8.0          | -40.5        | -3.5                              |
|                               |                       |           |              |              |                                   |
| 17                            | Ft. 14                | -7597.4   | 5.4          | -40.8        | -44.7                             |
|                               | $\sigma_s, c13$       | -8315.8   | 4.6          | -42.0        | -54.4                             |
|                               | $\sigma_{cls}, Max13$ | -8315.8   | 4.6          | -42.0        | -3.7                              |
|                               | $\sigma_{cls}, Med13$ | -8315.8   | 4.6          | -42.0        | -3.5                              |
| 10                            | Ft. 14                | -8681.1   | 0.6          | -13.4        | -53.3                             |
|                               | $\sigma_s, c13$       | -9399.5   | 1.0          | -13.7        | -59.3                             |
|                               | $\sigma_{cls}, Max13$ | -9399.5   | 1.0          | -13.7        | -4.0                              |

## NUOVA SCUOLA DELL'INFANZIA A SEI SEZIONI in località CASTELLO di SERRAVALLE

viale G. Verdi - COMUNE DI VALSAMOGGIA (BO)

PROGETTO ESECUTIVO

## RELAZIONE DI CALCOLO STRUTTURALE BLOCCO D

| Nodo                          | Combinazione       | N<br>[kg] | M12<br>[kgm] | M13<br>[kgm] | $\sigma$<br>[kg/cm <sup>2</sup> ] |
|-------------------------------|--------------------|-----------|--------------|--------------|-----------------------------------|
| Combinazioni Rare             |                    |           |              |              |                                   |
|                               | $\sigma$ cls,Med13 | -9399.5   | 1.0          | -13.7        | -3.9                              |
| Combinazioni Quasi Permanenti |                    |           |              |              |                                   |
| 229                           | Ft. 15             | -1787.1   | -0.0         | 0.0          | -11.1                             |
|                               | $\sigma$ s,c15     | -1787.1   | -0.0         | 0.0          | -11.1                             |
|                               | $\sigma$ cls,Max15 | -1787.1   | -0.0         | 0.0          | -0.7                              |
|                               | $\sigma$ cls,Med15 | -1787.1   | -0.0         | 0.0          | -0.7                              |
| 139                           | Ft. 15             | -2582.1   | 9.6          | -0.1         | -15.3                             |
|                               | $\sigma$ s,c15     | -2582.1   | 9.6          | -0.1         | -16.8                             |
|                               | $\sigma$ cls,Max15 | -2582.1   | 9.6          | -0.1         | -1.1                              |
|                               | $\sigma$ cls,Med15 | -2582.1   | 9.6          | -0.1         | -1.1                              |
|                               |                    |           |              |              |                                   |
| 139                           | Ft. 15             | -7634.3   | 9.3          | -42.2        | -44.6                             |
|                               | $\sigma$ s,c15     | -7634.3   | 9.3          | -42.2        | -50.5                             |
|                               | $\sigma$ cls,Max15 | -7634.3   | 9.3          | -42.2        | -3.4                              |
|                               | $\sigma$ cls,Med15 | -7634.3   | 9.3          | -42.2        | -3.2                              |
| 17                            | Ft. 15             | -7709.3   | 8.6          | -40.5        | -45.2                             |
|                               | $\sigma$ s,c15     | -7709.3   | 8.6          | -40.5        | -50.8                             |
|                               | $\sigma$ cls,Max15 | -7709.3   | 8.6          | -40.5        | -3.4                              |
|                               | $\sigma$ cls,Med15 | -7709.3   | 8.6          | -40.5        | -3.2                              |
|                               |                    |           |              |              |                                   |
| 17                            | Ft. 15             | -7708.3   | 5.6          | -42.0        | -45.3                             |
|                               | $\sigma$ s,c15     | -7708.3   | 5.6          | -42.0        | -50.6                             |
|                               | $\sigma$ cls,Max15 | -7708.3   | 5.6          | -42.0        | -3.4                              |
|                               | $\sigma$ cls,Med15 | -7708.3   | 5.6          | -42.0        | -3.2                              |
| 10                            | Ft. 15             | -8792.0   | 0.6          | -13.9        | -53.9                             |
|                               | $\sigma$ s,c15     | -8792.0   | 0.6          | -13.9        | -55.5                             |
|                               | $\sigma$ cls,Max15 | -8792.0   | 0.6          | -13.9        | -3.7                              |
|                               | $\sigma$ cls,Med15 | -8792.0   | 0.6          | -13.9        | -3.6                              |

Pilastro: 221/11 / L 4.86[m] / Sezione 7 B 55 [cm]H 30 [cm]

Af: 8  $\varnothing$  26 Af=42.47 [cm<sup>2</sup>] < 1f26 x 4 V + 2f26 x 2 B + 0f26 x 2 H >Staffe:  $\varnothing$  10 4br.x2br./12.5 x 486.0

Verifiche a Presso-Flessione S.L.U.

| Nodo | Comb | N       | M12 | M13 | $\alpha$ 12 | $\alpha$ 13 | Sd/Sr |
|------|------|---------|-----|-----|-------------|-------------|-------|
| 221  | 1    | -7127.9 | 0.0 | 0.0 | 1.00        | 1.00        | 0.02  |

**NUOVA SCUOLA DELL'INFANZIA A SEI SEZIONI in località CASTELLO di SERRAVALLE**
**viale G. Verdi - COMUNE DI VALSAMOGGIA (BO)**
**PROGETTO ESECUTIVO**
**RELAZIONE DI CALCOLO STRUTTURALE BLOCCO D**

|     |   |          |        |          |      |      |      |
|-----|---|----------|--------|----------|------|------|------|
| 141 | 3 | -2449.0  | 2031.2 | 9998.6   | 1.00 | 1.00 | 0.35 |
| 141 | 5 | -12061.0 | 3471.5 | 7420.6   | 1.00 | 1.00 | 0.31 |
| 11  | 7 | -13471.9 | -245.3 | -32764.3 | 1.00 | 1.00 | 0.98 |

**Verifiche a Taglio**

| Da<br>[m] | A<br>[m] | Vd12<br>[kg] | VRd12<br>[kg] | Vd13<br>[kg] | VRd13<br>[kg] | Staffe              |
|-----------|----------|--------------|---------------|--------------|---------------|---------------------|
| 0.13      | 4.99     | 4950.4       | 22658.6       | 8625.1       | 22393.0       | ø 10 4br.x2br./12.5 |

**Verifiche a Presso-Flessione S.L.E.**

| Nodo                          | Combinazione          | N<br>[kg] | M12<br>[kgm] | M13<br>[kgm] | $\sigma$<br>[kg/cm <sup>2</sup> ] |
|-------------------------------|-----------------------|-----------|--------------|--------------|-----------------------------------|
| <b>Combinazioni Rare</b>      |                       |           |              |              |                                   |
| 221                           | Ft. 12                | -3400.0   | 0.0          | 0.0          | -22.3                             |
|                               | $\sigma_s, c11$       | -4912.7   | 0.0          | 0.0          | -32.2                             |
|                               | $\sigma_{cls}, Max11$ | -4912.7   | 0.0          | 0.0          | -2.1                              |
|                               | $\sigma_{cls}, Med11$ | -4912.7   | 0.0          | 0.0          | -2.1                              |
| 141                           | Ft. 12                | -4157.5   | 6.7          | 2.7          | -26.6                             |
|                               | $\sigma_s, c11$       | -5670.2   | 7.1          | 2.3          | -37.9                             |
|                               | $\sigma_{cls}, Max11$ | -5670.2   | 7.1          | 2.3          | -2.5                              |
|                               | $\sigma_{cls}, Med11$ | -5670.2   | 7.1          | 2.3          | -2.5                              |
| 141                           | Ft. 12                | -14896.1  | 6.5          | -21.8        | -95.9                             |
|                               | $\sigma_s, c11$       | -15539.4  | 6.9          | -19.9        | -103.6                            |
|                               | $\sigma_{cls}, Max11$ | -15539.4  | 6.9          | -19.9        | -6.9                              |
|                               | $\sigma_{cls}, Med11$ | -15539.4  | 6.9          | -19.9        | -6.8                              |
| 11                            | Ft. 12                | -16054.9  | 2.7          | -24.8        | -103.7                            |
|                               | $\sigma_s, c11$       | -16698.2  | 2.4          | -21.9        | -110.9                            |
|                               | $\sigma_{cls}, Max11$ | -16698.2  | 2.4          | -21.9        | -7.4                              |
|                               | $\sigma_{cls}, Med11$ | -16698.2  | 2.4          | -21.9        | -7.3                              |
| <b>Combinazioni Frequenti</b> |                       |           |              |              |                                   |
| 221                           | Ft. 14                | -1935.4   | 0.0          | 0.0          | -12.7                             |
|                               | $\sigma_s, c13$       | -2523.6   | 0.0          | 0.0          | -16.6                             |
|                               | $\sigma_{cls}, Max13$ | -2523.6   | 0.0          | 0.0          | -1.1                              |
|                               | $\sigma_{cls}, Med13$ | -2523.6   | 0.0          | 0.0          | -1.1                              |
| 141                           | Ft. 14                | -2692.9   | 5.6          | 2.5          | -17.1                             |
|                               | $\sigma_s, c13$       | -3281.1   | 6.0          | 2.5          | -22.1                             |
|                               | $\sigma_{cls}, Max13$ | -3281.1   | 6.0          | 2.5          | -1.5                              |

## NUOVA SCUOLA DELL'INFANZIA A SEI SEZIONI in località CASTELLO di SERRAVALLE

viale G. Verdi - COMUNE DI VALSAMOGGIA (BO)

PROGETTO ESECUTIVO

## RELAZIONE DI CALCOLO STRUTTURALE BLOCCO D

| Nodo                          | Combinazione         | N<br>[kg] | M12<br>[kgm] | M13<br>[kgm] | $\sigma$<br>[kg/cm <sup>2</sup> ] |
|-------------------------------|----------------------|-----------|--------------|--------------|-----------------------------------|
| Combinazioni Rare             |                      |           |              |              |                                   |
|                               | $\sigma_{cls,Med13}$ | -3281.1   | 6.0          | 2.5          | -1.4                              |
| 141                           | Ft. 14               | -12562.0  | 5.4          | -19.7        | -80.8                             |
|                               | $\sigma_{s,c13}$     | -13411.1  | 5.8          | -20.4        | -89.6                             |
|                               | $\sigma_{cls,Max13}$ | -13411.1  | 5.8          | -20.4        | -6.0                              |
|                               | $\sigma_{cls,Med13}$ | -13411.1  | 5.8          | -20.4        | -5.9                              |
| 11                            | Ft. 14               | -13720.8  | 2.7          | -23.0        | -88.5                             |
|                               | $\sigma_{s,c13}$     | -14569.9  | 2.6          | -23.5        | -97.1                             |
|                               | $\sigma_{cls,Max13}$ | -14569.9  | 2.6          | -23.5        | -6.5                              |
|                               | $\sigma_{cls,Med13}$ | -14569.9  | 2.6          | -23.5        | -6.4                              |
| Combinazioni Quasi Permanenti |                      |           |              |              |                                   |
| 221                           | Ft. 15               | -1928.2   | 0.0          | 0.0          | -12.6                             |
|                               | $\sigma_{s,c15}$     | -1928.2   | 0.0          | 0.0          | -12.6                             |
|                               | $\sigma_{cls,Max15}$ | -1928.2   | 0.0          | 0.0          | -0.8                              |
|                               | $\sigma_{cls,Med15}$ | -1928.2   | 0.0          | 0.0          | -0.8                              |
| 141                           | Ft. 15               | -2685.7   | 5.7          | 2.5          | -17.0                             |
|                               | $\sigma_{s,c15}$     | -2685.7   | 5.7          | 2.5          | -18.2                             |
|                               | $\sigma_{cls,Max15}$ | -2685.7   | 5.7          | 2.5          | -1.2                              |
|                               | $\sigma_{cls,Med15}$ | -2685.7   | 5.7          | 2.5          | -1.2                              |
| 141                           | Ft. 15               | -12815.7  | 5.5          | -20.3        | -82.5                             |
|                               | $\sigma_{s,c15}$     | -12815.7  | 5.5          | -20.3        | -85.6                             |
|                               | $\sigma_{cls,Max15}$ | -12815.7  | 5.5          | -20.3        | -5.7                              |
|                               | $\sigma_{cls,Med15}$ | -12815.7  | 5.5          | -20.3        | -5.6                              |
| 11                            | Ft. 15               | -13974.4  | 2.7          | -23.7        | -90.1                             |
|                               | $\sigma_{s,c15}$     | -13974.4  | 2.7          | -23.7        | -93.2                             |
|                               | $\sigma_{cls,Max15}$ | -13974.4  | 2.7          | -23.7        | -6.2                              |
|                               | $\sigma_{cls,Med15}$ | -13974.4  | 2.7          | -23.7        | -6.1                              |

Pilastro: 223/12 / L 4.86[m] / Sezione 4 B 40 [cm]H 30 [cm]

Af: 6  $\varnothing$  20 Af=18.85 [cm<sup>2</sup>] < 1f20 x 4 V + 1f20 x 2 B + 0f20 x 2 H >Staffe:  $\varnothing$  10/12.5 x 486.0

Verifiche a Presso-Flessione S.L.U.

| Nodo | Comb | N       | M12 | M13 | $\alpha_{12}$ | $\alpha_{13}$ | Sd/Sr |
|------|------|---------|-----|-----|---------------|---------------|-------|
| 223  | 1    | -7574.2 | 0.0 | 0.0 | 1.00          | 1.00          | 0.04  |

**NUOVA SCUOLA DELL'INFANZIA A SEI SEZIONI in località CASTELLO di SERRAVALLE**
**viale G. Verdi - COMUNE DI VALSAMOGGIA (BO)**
**PROGETTO ESECUTIVO**
**RELAZIONE DI CALCOLO STRUTTURALE BLOCCO D**

|     |   |         |        |          |      |      |      |
|-----|---|---------|--------|----------|------|------|------|
| 143 | 3 | -2775.4 | 2418.0 | 5307.3   | 1.00 | 1.00 | 0.54 |
| 143 | 5 | -8760.2 | 3297.9 | 4015.5   | 1.00 | 1.00 | 0.49 |
| 12  | 7 | -9935.0 | 1598.5 | -12117.7 | 1.00 | 1.00 | 1.00 |

**Verifiche a Taglio**

| Da<br>[m] | A<br>[m] | Vd12<br>[kg] | VRd12<br>[kg] | Vd13<br>[kg] | VRd13<br>[kg] | Staffe    |
|-----------|----------|--------------|---------------|--------------|---------------|-----------|
| 0.13      | 4.99     | 2326.8       | 11329.3       | 2784.5       | 15754.8       | ø 10/12.5 |

**NUOVA SCUOLA DELL'INFANZIA A SEI SEZIONI in località CASTELLO di SERRAVALLE**
**viale G. Verdi - COMUNE DI VALSAMOGGIA (BO)**
**PROGETTO ESECUTIVO**
**RELAZIONE DI CALCOLO STRUTTURALE BLOCCO D**
**Verifiche a Presso-Flessione S.L.E.**

| Nodo                          | Combinazione          | N<br>[kg] | M12<br>[kgm] | M13<br>[kgm] | $\sigma$<br>[kg/cm <sup>2</sup> ] |
|-------------------------------|-----------------------|-----------|--------------|--------------|-----------------------------------|
| <b>Combinazioni Rare</b>      |                       |           |              |              |                                   |
| 223                           | Ft. 12                | -3773.2   | 0.0          | 0.0          | -38.2                             |
|                               | $\sigma_s, c11$       | -5239.6   | 0.0          | 0.0          | -53.0                             |
|                               | $\sigma_{cls}, Max11$ | -5239.6   | 0.0          | 0.0          | -3.5                              |
|                               | $\sigma_{cls}, Med11$ | -5239.6   | 0.0          | 0.0          | -3.5                              |
| 143                           | Ft. 12                | -4530.7   | 2.4          | 0.1          | -45.5                             |
|                               | $\sigma_s, c11$       | -5997.1   | 3.0          | 0.1          | -61.1                             |
|                               | $\sigma_{cls}, Max11$ | -5997.1   | 3.0          | 0.1          | -4.1                              |
|                               | $\sigma_{cls}, Med11$ | -5997.1   | 3.0          | 0.1          | -4.0                              |
|                               |                       |           |              |              |                                   |
| 143                           | Ft. 12                | -10983.4  | 2.5          | 13.4         | -109.3                            |
|                               | $\sigma_s, c11$       | -11953.1  | 3.1          | 12.3         | -122.7                            |
|                               | $\sigma_{cls}, Max11$ | -11953.1  | 3.1          | 12.3         | -8.2                              |
|                               | $\sigma_{cls}, Med11$ | -11953.1  | 3.1          | 12.3         | -8.1                              |
| 12                            | Ft. 12                | -12142.1  | 5.0          | -19.6        | -120.0                            |
|                               | $\sigma_s, c11$       | -13111.8  | 4.9          | -17.6        | -135.2                            |
|                               | $\sigma_{cls}, Max11$ | -13111.8  | 4.9          | -17.6        | -9.1                              |
|                               | $\sigma_{cls}, Med11$ | -13111.8  | 4.9          | -17.6        | -8.8                              |
| <b>Combinazioni Frequenti</b> |                       |           |              |              |                                   |
| 223                           | Ft. 14                | -2306.8   | 0.0          | 0.0          | -23.3                             |
|                               | $\sigma_s, c13$       | -2893.3   | 0.0          | 0.0          | -29.3                             |
|                               | $\sigma_{cls}, Max13$ | -2893.3   | 0.0          | 0.0          | -2.0                              |
|                               | $\sigma_{cls}, Med13$ | -2893.3   | 0.0          | 0.0          | -2.0                              |
| 143                           | Ft. 14                | -3064.3   | 1.8          | 0.1          | -30.8                             |
|                               | $\sigma_s, c13$       | -3650.8   | 2.1          | 0.1          | -37.2                             |
|                               | $\sigma_{cls}, Max13$ | -3650.8   | 2.1          | 0.1          | -2.5                              |
|                               | $\sigma_{cls}, Med13$ | -3650.8   | 2.1          | 0.1          | -2.5                              |
|                               |                       |           |              |              |                                   |
| 143                           | Ft. 14                | -9020.3   | 1.9          | 12.3         | -89.6                             |
|                               | $\sigma_s, c13$       | -9755.9   | 2.1          | 12.6         | -100.4                            |
|                               | $\sigma_{cls}, Max13$ | -9755.9   | 2.1          | 12.6         | -6.7                              |
|                               | $\sigma_{cls}, Med13$ | -9755.9   | 2.1          | 12.6         | -6.6                              |
| 12                            | Ft. 14                | -10179.0  | 4.5          | -18.0        | -100.4                            |
|                               | $\sigma_s, c13$       | -10914.6  | 4.7          | -18.5        | -113.1                            |

**NUOVA SCUOLA DELL'INFANZIA A SEI SEZIONI in località CASTELLO di SERRAVALLE**
**viale G. Verdi - COMUNE DI VALSAMOGGIA (BO)**
**PROGETTO ESECUTIVO**
**RELAZIONE DI CALCOLO STRUTTURALE BLOCCO D**

| Nodo                          | Combinazione         | N<br>[kg] | M12<br>[kgm] | M13<br>[kgm] | $\sigma$<br>[kg/cm <sup>2</sup> ] |
|-------------------------------|----------------------|-----------|--------------|--------------|-----------------------------------|
| Combinazioni Rare             |                      |           |              |              |                                   |
|                               | $\sigma_{cls,Max13}$ | -10914.6  | 4.7          | -18.5        | -7.6                              |
|                               | $\sigma_{cls,Med13}$ | -10914.6  | 4.7          | -18.5        | -7.4                              |
| Combinazioni Quasi Permanenti |                      |           |              |              |                                   |
| 223                           | Ft. 15               | -2306.8   | 0.0          | 0.0          | -23.3                             |
|                               | $\sigma_{s,c15}$     | -2306.8   | 0.0          | 0.0          | -23.3                             |
|                               | $\sigma_{cls,Max15}$ | -2306.8   | 0.0          | 0.0          | -1.6                              |
|                               | $\sigma_{cls,Med15}$ | -2306.8   | 0.0          | 0.0          | -1.6                              |
| 143                           | Ft. 15               | -3064.3   | 1.8          | 0.1          | -30.8                             |
|                               | $\sigma_{s,c15}$     | -3064.3   | 1.8          | 0.1          | -31.2                             |
|                               | $\sigma_{cls,Max15}$ | -3064.3   | 1.8          | 0.1          | -2.1                              |
|                               | $\sigma_{cls,Med15}$ | -3064.3   | 1.8          | 0.1          | -2.1                              |
|                               |                      |           |              |              |                                   |
| 143                           | Ft. 15               | -9169.3   | 1.9          | 12.6         | -91.1                             |
|                               | $\sigma_{s,c15}$     | -9169.3   | 1.9          | 12.6         | -94.4                             |
|                               | $\sigma_{cls,Max15}$ | -9169.3   | 1.9          | 12.6         | -6.3                              |
|                               | $\sigma_{cls,Med15}$ | -9169.3   | 1.9          | 12.6         | -6.2                              |
| 12                            | Ft. 15               | -10328.0  | 4.6          | -18.5        | -101.8                            |
|                               | $\sigma_{s,c15}$     | -10328.0  | 4.6          | -18.5        | -107.1                            |
|                               | $\sigma_{cls,Max15}$ | -10328.0  | 4.6          | -18.5        | -7.2                              |
|                               | $\sigma_{cls,Med15}$ | -10328.0  | 4.6          | -18.5        | -7.0                              |

Pilastro: 248/13 / L 6.04[m] / Sezione 4 B 40 [cm]H 30 [cm]

 $A_f: 6 \varnothing 24 A_f=27.14 [cm^2] < 1f24 \times 4 V + 1f24 \times 2 B + 0f12 \times 2 H >$ 

 Staffe:  $\varnothing 10/12.5 \times 604.0$ 

Verifiche a Presso-Flessione S.L.U.

| Nodo | Comb | N       | M12     | M13     | $\alpha_{12}$ | $\alpha_{13}$ | Sd/Sr |
|------|------|---------|---------|---------|---------------|---------------|-------|
| 248  | 1    | -3029.4 | 0.0     | -0.0    | 1.00          | 1.00          | 0.01  |
| 131  | 7    | -1649.0 | -9858.5 | -2341.2 | 1.00          | 1.00          | 0.88  |
|      |      |         |         |         |               |               |       |
| 131  | 8    | -6401.5 | 8902.6  | -958.0  | 1.00          | 1.00          | 0.74  |
| 16   | 8    | -6461.5 | 8640.9  | -953.4  | 1.00          | 1.00          | 0.72  |
|      |      |         |         |         |               |               |       |
| 16   | 3    | -5402.5 | -7918.6 | 1023.0  | 1.00          | 1.00          | 0.67  |
| 13   | 6    | -5648.1 | 3365.0  | 8545.1  | 1.00          | 1.00          | 0.63  |

**NUOVA SCUOLA DELL'INFANZIA A SEI SEZIONI in località CASTELLO di SERRAVALLE**
**viale G. Verdi - COMUNE DI VALSAMOGGIA (BO)**
**PROGETTO ESECUTIVO**
**RELAZIONE DI CALCOLO STRUTTURALE BLOCCO D**
**Verifiche a Taglio**

| Da<br>[m] | A<br>[m] | Vd12<br>[kg] | VRd12<br>[kg] | Vd13<br>[kg] | VRd13<br>[kg] | Staffe    |
|-----------|----------|--------------|---------------|--------------|---------------|-----------|
| 0.13      | 6.17     | 3080.9       | 11329.3       | 5719.1       | 15754.8       | ø 10/12.5 |

**Verifiche a Presso-Flessione S.L.E.**

| Nodo                          | Combinazione          | N<br>[kg] | M12<br>[kgm] | M13<br>[kgm] | $\sigma$<br>[kg/cm <sup>2</sup> ] |
|-------------------------------|-----------------------|-----------|--------------|--------------|-----------------------------------|
| <b>Combinazioni Rare</b>      |                       |           |              |              |                                   |
| 248                           | Ft. 12                | -1520.6   | 0.0          | -0.0         | -14.2                             |
|                               | $\sigma_s, c11$       | -2099.0   | 0.0          | -0.0         | -19.6                             |
|                               | $\sigma_{cls}, Max11$ | -2099.0   | 0.0          | -0.0         | -1.3                              |
|                               | $\sigma_{cls}, Med11$ | -2099.0   | 0.0          | -0.0         | -1.3                              |
| 131                           | Ft. 12                | -2480.6   | 0.3          | -6.6         | -22.5                             |
|                               | $\sigma_s, c11$       | -3059.0   | 0.3          | -4.1         | -29.0                             |
|                               | $\sigma_{cls}, Max11$ | -3059.0   | 0.3          | -4.1         | -1.9                              |
|                               | $\sigma_{cls}, Med11$ | -3059.0   | 0.3          | -4.1         | -1.9                              |
|                               |                       |           |              |              |                                   |
| 131                           | Ft. 12                | -7084.8   | 38.7         | -9.7         | -60.7                             |
|                               | $\sigma_s, c11$       | -7293.3   | 35.3         | -7.0         | -72.8                             |
|                               | $\sigma_{cls}, Max11$ | -7293.3   | 35.3         | -7.0         | -5.0                              |
|                               | $\sigma_{cls}, Med11$ | -7293.3   | 35.3         | -7.0         | -4.5                              |
| 16                            | Ft. 12                | -7144.8   | 35.6         | -9.3         | -61.7                             |
|                               | $\sigma_s, c11$       | -7353.3   | 32.5         | -6.6         | -73.0                             |
|                               | $\sigma_{cls}, Max11$ | -7353.3   | 32.5         | -6.6         | -5.0                              |
|                               | $\sigma_{cls}, Med11$ | -7353.3   | 32.5         | -6.6         | -4.6                              |
|                               |                       |           |              |              |                                   |
| 16                            | Ft. 12                | -7146.2   | 34.2         | -5.7         | -62.2                             |
|                               | $\sigma_s, c11$       | -7355.0   | 31.4         | -2.3         | -72.5                             |
|                               | $\sigma_{cls}, Max11$ | -7355.0   | 31.4         | -2.3         | -5.0                              |
|                               | $\sigma_{cls}, Med11$ | -7355.0   | 31.4         | -2.3         | -4.6                              |
| 13                            | Ft. 12                | -8013.2   | -8.7         | -2.9         | -73.5                             |
|                               | $\sigma_s, c11$       | -8222.0   | -7.8         | -4.0         | -78.0                             |
|                               | $\sigma_{cls}, Max11$ | -8222.0   | -7.8         | -4.0         | -5.2                              |
|                               | $\sigma_{cls}, Med11$ | -8222.0   | -7.8         | -4.0         | -5.1                              |
| <b>Combinazioni Frequenti</b> |                       |           |              |              |                                   |
| 248                           | Ft. 14                | -942.3    | 0.0          | -0.0         | -8.8                              |
|                               | $\sigma_s, c13$       | -1173.6   | 0.0          | -0.0         | -11.0                             |

## NUOVA SCUOLA DELL'INFANZIA A SEI SEZIONI in località CASTELLO di SERRAVALLE

viale G. Verdi - COMUNE DI VALSAMOGGIA (BO)

PROGETTO ESECUTIVO

## RELAZIONE DI CALCOLO STRUTTURALE BLOCCO D

| Nodo                          | Combinazione       | N<br>[kg] | M12<br>[kgm] | M13<br>[kgm] | $\sigma$<br>[kg/cm <sup>2</sup> ] |
|-------------------------------|--------------------|-----------|--------------|--------------|-----------------------------------|
| Combinazioni Rare             |                    |           |              |              |                                   |
|                               | $\sigma$ cls,Max13 | -1173.6   | 0.0          | -0.0         | -0.7                              |
|                               | $\sigma$ cls,Med13 | -1173.6   | 0.0          | -0.0         | -0.7                              |
| 131                           | Ft. 14             | -1902.3   | 0.3          | -7.5         | -17.0                             |
|                               | $\sigma$ s,c13     | -2133.6   | 0.3          | -7.0         | -20.7                             |
|                               | $\sigma$ cls,Max13 | -2133.6   | 0.3          | -7.0         | -1.4                              |
|                               | $\sigma$ cls,Med13 | -2133.6   | 0.3          | -7.0         | -1.3                              |
|                               |                    |           |              |              |                                   |
| 131                           | Ft. 14             | -6136.6   | 35.2         | -10.4        | -52.2                             |
|                               | $\sigma$ s,c13     | -6478.9   | 36.2         | -10.0        | -65.6                             |
|                               | $\sigma$ cls,Max13 | -6478.9   | 36.2         | -10.0        | -4.5                              |
|                               | $\sigma$ cls,Med13 | -6478.9   | 36.2         | -10.0        | -4.0                              |
| 16                            | Ft. 14             | -6196.6   | 32.4         | -9.9         | -53.1                             |
|                               | $\sigma$ s,c13     | -6538.9   | 33.3         | -9.6         | -65.8                             |
|                               | $\sigma$ cls,Max13 | -6538.9   | 33.3         | -9.6         | -4.5                              |
|                               | $\sigma$ cls,Med13 | -6538.9   | 33.3         | -9.6         | -4.1                              |
|                               |                    |           |              |              |                                   |
| 16                            | Ft. 14             | -6197.6   | 31.1         | -7.4         | -53.6                             |
|                               | $\sigma$ s,c13     | -6540.1   | 32.1         | -6.6         | -65.4                             |
|                               | $\sigma$ cls,Max13 | -6540.1   | 32.1         | -6.6         | -4.5                              |
|                               | $\sigma$ cls,Med13 | -6540.1   | 32.1         | -6.6         | -4.1                              |
| 13                            | Ft. 14             | -7064.6   | -8.0         | -1.8         | -64.8                             |
|                               | $\sigma$ s,c13     | -7407.1   | -8.2         | -2.2         | -70.3                             |
|                               | $\sigma$ cls,Max13 | -7407.1   | -8.2         | -2.2         | -4.7                              |
|                               | $\sigma$ cls,Med13 | -7407.1   | -8.2         | -2.2         | -4.6                              |
| Combinazioni Quasi Permanenti |                    |           |              |              |                                   |
| 248                           | Ft. 15             | -942.3    | 0.0          | -0.0         | -8.8                              |
|                               | $\sigma$ s,c15     | -942.3    | 0.0          | -0.0         | -8.8                              |
|                               | $\sigma$ cls,Max15 | -942.3    | 0.0          | -0.0         | -0.6                              |
|                               | $\sigma$ cls,Med15 | -942.3    | 0.0          | -0.0         | -0.6                              |
| 131                           | Ft. 15             | -1902.3   | 0.3          | -7.7         | -16.9                             |
|                               | $\sigma$ s,c15     | -1902.3   | 0.3          | -7.7         | -18.6                             |
|                               | $\sigma$ cls,Max15 | -1902.3   | 0.3          | -7.7         | -1.3                              |
|                               | $\sigma$ cls,Med15 | -1902.3   | 0.3          | -7.7         | -1.2                              |

**NUOVA SCUOLA DELL'INFANZIA A SEI SEZIONI in località CASTELLO di SERRAVALLE**
**viale G. Verdi - COMUNE DI VALSAMOGGIA (BO)**
**PROGETTO ESECUTIVO**
**RELAZIONE DI CALCOLO STRUTTURALE BLOCCO D**

| Nodo              | Combinazione         | N<br>[kg] | M12<br>[kgm] | M13<br>[kgm] | $\sigma$<br>[kg/cm <sup>2</sup> ] |
|-------------------|----------------------|-----------|--------------|--------------|-----------------------------------|
| Combinazioni Rare |                      |           |              |              |                                   |
| 131               | Ft. 15               | -6247.6   | 36.2         | -10.7        | -53.1                             |
|                   | $\sigma s, c15$      | -6247.6   | 36.2         | -10.7        | -63.5                             |
|                   | $\sigma cl s, Max15$ | -6247.6   | 36.2         | -10.7        | -4.4                              |
|                   | $\sigma cl s, Med15$ | -6247.6   | 36.2         | -10.7        | -3.9                              |
| 16                | Ft. 15               | -6307.6   | 33.3         | -10.2        | -54.0                             |
|                   | $\sigma s, c15$      | -6307.6   | 33.3         | -10.2        | -63.7                             |
|                   | $\sigma cl s, Max15$ | -6307.6   | 33.3         | -10.2        | -4.4                              |
|                   | $\sigma cl s, Med15$ | -6307.6   | 33.3         | -10.2        | -3.9                              |
|                   |                      |           |              |              |                                   |
| 16                | Ft. 15               | -6308.6   | 32.0         | -7.6         | -54.5                             |
|                   | $\sigma s, c15$      | -6308.6   | 32.0         | -7.6         | -63.3                             |
|                   | $\sigma cl s, Max15$ | -6308.6   | 32.0         | -7.6         | -4.4                              |
|                   | $\sigma cl s, Med15$ | -6308.6   | 32.0         | -7.6         | -3.9                              |
| 13                | Ft. 15               | -7175.6   | -8.3         | -1.8         | -65.8                             |
|                   | $\sigma s, c15$      | -7175.6   | -8.3         | -1.8         | -68.1                             |
|                   | $\sigma cl s, Max15$ | -7175.6   | -8.3         | -1.8         | -4.6                              |
|                   | $\sigma cl s, Med15$ | -7175.6   | -8.3         | -1.8         | -4.5                              |

Pilastro: 252/14 / L 6.04[m] / Sezione 7 B 55 [cm]H 30 [cm]

 $A_f: 4 \varnothing 26 + 6 \varnothing 24 + 2 \varnothing 12 A_f = 50.64 \text{ [cm}^2\text{]} < 1f26 \times 4 V + 3f24 \times 2 B + 1f12 \times 2 H >$ 

 Staffe:  $\varnothing 10 \text{ 4br.x2br./5.0} \times 100.7 / \varnothing 10 \text{ 4br.x2br./12.5} \times 402.7 / \varnothing 10 \text{ 4br.x2br./5.0} \times 100.7$ 

Verifiche a Presso-Flessione S.L.U.

| Nodo | Comb | N        | M12    | M13      | $\alpha_{12}$ | $\alpha_{13}$ | Sd/Sr |
|------|------|----------|--------|----------|---------------|---------------|-------|
| 252  | 1    | -6880.4  | 0.0    | 0.0      | 1.00          | 1.00          | 0.02  |
| 133  | 7    | -3122.4  | -69.9  | -12933.4 | 1.00          | 1.00          | 0.34  |
|      |      |          |        |          |               |               |       |
| 133  | 7    | -12835.2 | -66.8  | -11714.4 | 1.00          | 1.00          | 0.29  |
| 14   | 8    | -14353.9 | 2328.6 | -35349.5 | 1.00          | 1.00          | 0.94  |

Verifiche a Taglio

| Da<br>[m] | A<br>[m] | Vd12<br>[kg] | VRd12<br>[kg] | Vd13<br>[kg] | VRd13<br>[kg] | Staffe                                  |
|-----------|----------|--------------|---------------|--------------|---------------|-----------------------------------------|
| 0.13      | 1.13     | 2821.0       | 44890.6       | 7031.2       | 48397.6       | $\varnothing 10 \text{ 4br.x2br./5.0}$  |
| 1.13      | 5.16     | 2821.0       | 22658.6       | 8788.9       | 22393.0       | $\varnothing 10 \text{ 4br.x2br./12.5}$ |
| 5.16      | 6.17     | 2821.0       | 44890.6       | 8788.9       | 48397.6       | $\varnothing 10 \text{ 4br.x2br./5.0}$  |

**NUOVA SCUOLA DELL'INFANZIA A SEI SEZIONI in località CASTELLO di SERRAVALLE**
**viale G. Verdi - COMUNE DI VALSAMOGGIA (BO)**
**PROGETTO ESECUTIVO**
**RELAZIONE DI CALCOLO STRUTTURALE BLOCCO D**
**Verifiche a Presso-Flessione S.L.E.**

| Nodo                          | Combinazione          | N<br>[kg] | M12<br>[kgm] | M13<br>[kgm] | $\sigma$<br>[kg/cm <sup>2</sup> ] |
|-------------------------------|-----------------------|-----------|--------------|--------------|-----------------------------------|
| <b>Combinazioni Rare</b>      |                       |           |              |              |                                   |
| 252                           | Ft. 12                | -3391.9   | 0.0          | 0.0          | -21.1                             |
|                               | $\sigma_s, c11$       | -4749.6   | 0.0          | 0.0          | -29.6                             |
|                               | $\sigma_{cls}, Max11$ | -4749.6   | 0.0          | 0.0          | -2.0                              |
|                               | $\sigma_{cls}, Med11$ | -4749.6   | 0.0          | 0.0          | -2.0                              |
| 133                           | Ft. 12                | -4591.9   | 3.3          | 0.0          | -28.3                             |
|                               | $\sigma_s, c11$       | -5949.6   | 3.8          | 0.1          | -37.3                             |
|                               | $\sigma_{cls}, Max11$ | -5949.6   | 3.8          | 0.1          | -2.5                              |
|                               | $\sigma_{cls}, Med11$ | -5949.6   | 3.8          | 0.1          | -2.5                              |
|                               |                       |           |              |              |                                   |
| 133                           | Ft. 12                | -15330.0  | 3.2          | -22.2        | -94.0                             |
|                               | $\sigma_s, c11$       | -15818.2  | 3.6          | -20.0        | -99.8                             |
|                               | $\sigma_{cls}, Max11$ | -15818.2  | 3.6          | -20.0        | -6.7                              |
|                               | $\sigma_{cls}, Med11$ | -15818.2  | 3.6          | -20.0        | -6.6                              |
| 14                            | Ft. 12                | -16488.7  | 4.3          | -31.6        | -100.6                            |
|                               | $\sigma_s, c11$       | -16977.0  | 3.9          | -29.8        | -107.6                            |
|                               | $\sigma_{cls}, Max11$ | -16977.0  | 3.9          | -29.8        | -7.2                              |
|                               | $\sigma_{cls}, Med11$ | -16977.0  | 3.9          | -29.8        | -7.0                              |
| <b>Combinazioni Frequenti</b> |                       |           |              |              |                                   |
| 252                           | Ft. 14                | -2034.3   | 0.0          | 0.0          | -12.7                             |
|                               | $\sigma_s, c13$       | -2577.4   | 0.0          | 0.0          | -16.0                             |
|                               | $\sigma_{cls}, Max13$ | -2577.4   | 0.0          | 0.0          | -1.1                              |
|                               | $\sigma_{cls}, Med13$ | -2577.4   | 0.0          | 0.0          | -1.1                              |
| 133                           | Ft. 14                | -3234.3   | 2.6          | 0.0          | -19.9                             |
|                               | $\sigma_s, c13$       | -3777.4   | 2.9          | 0.0          | -23.7                             |
|                               | $\sigma_{cls}, Max13$ | -3777.4   | 2.9          | 0.0          | -1.6                              |
|                               | $\sigma_{cls}, Med13$ | -3777.4   | 2.9          | 0.0          | -1.6                              |
|                               |                       |           |              |              |                                   |
| 133                           | Ft. 14                | -13103.0  | 2.5          | -20.2        | -80.3                             |
|                               | $\sigma_s, c13$       | -13906.9  | 2.8          | -20.8        | -87.9                             |
|                               | $\sigma_{cls}, Max13$ | -13906.9  | 2.8          | -20.8        | -5.9                              |
|                               | $\sigma_{cls}, Med13$ | -13906.9  | 2.8          | -20.8        | -5.8                              |
| 14                            | Ft. 14                | -14261.8  | 4.0          | -28.2        | -87.0                             |
|                               | $\sigma_s, c13$       | -15065.6  | 4.1          | -29.3        | -95.7                             |

**NUOVA SCUOLA DELL'INFANZIA A SEI SEZIONI in località CASTELLO di SERRAVALLE**
**viale G. Verdi - COMUNE DI VALSAMOGGIA (BO)**
**PROGETTO ESECUTIVO**
**RELAZIONE DI CALCOLO STRUTTURALE BLOCCO D**

| Nodo                          | Combinazione         | N<br>[kg] | M12<br>[kgm] | M13<br>[kgm] | $\sigma$<br>[kg/cm <sup>2</sup> ] |
|-------------------------------|----------------------|-----------|--------------|--------------|-----------------------------------|
| Combinazioni Rare             |                      |           |              |              |                                   |
|                               | $\sigma_{cls,Max13}$ | -15065.6  | 4.1          | -29.3        | -6.4                              |
|                               | $\sigma_{cls,Med13}$ | -15065.6  | 4.1          | -29.3        | -6.3                              |
| Combinazioni Quasi Permanenti |                      |           |              |              |                                   |
| 252                           | Ft. 15               | -2034.3   | 0.0          | 0.0          | -12.7                             |
|                               | $\sigma_{s,c15}$     | -2034.3   | 0.0          | 0.0          | -12.7                             |
|                               | $\sigma_{cls,Max15}$ | -2034.3   | 0.0          | 0.0          | -0.8                              |
|                               | $\sigma_{cls,Med15}$ | -2034.3   | 0.0          | 0.0          | -0.8                              |
| 133                           | Ft. 15               | -3234.3   | 2.7          | 0.0          | -19.9                             |
|                               | $\sigma_{s,c15}$     | -3234.3   | 2.7          | 0.0          | -20.3                             |
|                               | $\sigma_{cls,Max15}$ | -3234.3   | 2.7          | 0.0          | -1.4                              |
|                               | $\sigma_{cls,Med15}$ | -3234.3   | 2.7          | 0.0          | -1.3                              |
|                               |                      |           |              |              |                                   |
| 133                           | Ft. 15               | -13363.8  | 2.6          | -20.8        | -81.9                             |
|                               | $\sigma_{s,c15}$     | -13363.8  | 2.6          | -20.8        | -84.5                             |
|                               | $\sigma_{cls,Max15}$ | -13363.8  | 2.6          | -20.8        | -5.7                              |
|                               | $\sigma_{cls,Med15}$ | -13363.8  | 2.6          | -20.8        | -5.5                              |
| 14                            | Ft. 15               | -14522.6  | 4.1          | -29.0        | -88.5                             |
|                               | $\sigma_{s,c15}$     | -14522.6  | 4.1          | -29.0        | -92.3                             |
|                               | $\sigma_{cls,Max15}$ | -14522.6  | 4.1          | -29.0        | -6.2                              |
|                               | $\sigma_{cls,Med15}$ | -14522.6  | 4.1          | -29.0        | -6.0                              |

Pilastro: 257/15 / L 6.04[m] / Sezione 4 B 40 [cm]H 30 [cm]

 $A_f: 6 \varnothing 24 A_f=27.14 \text{ [cm}^2\text{]} < 1f24 \times 4 V + 1f24 \times 2 B + 0f12 \times 2 H >$ 

 Staffe:  $\varnothing 10/12.5 \times 604.0$ 

Verifiche a Presso-Flessione S.L.U.

| Nodo | Comb | N       | M12     | M13      | $\alpha_{12}$ | $\alpha_{13}$ | Sd/Sr |
|------|------|---------|---------|----------|---------------|---------------|-------|
| 257  | 1    | -4014.0 | 0.0     | 0.0      | 1.00          | 1.00          | 0.02  |
| 134  | 4    | -2143.1 | -952.0  | -11342.9 | 1.00          | 1.00          | 0.72  |
|      |      |         |         |          |               |               |       |
| 134  | 7    | -7890.1 | 951.2   | 10661.1  | 1.00          | 1.00          | 0.65  |
| 15   | 8    | -9070.3 | -4055.7 | 11786.6  | 1.00          | 1.00          | 0.84  |

Verifiche a Taglio

| Da<br>[m] | A<br>[m] | Vd12<br>[kg] | VRd12<br>[kg] | Vd13<br>[kg] | VRd13<br>[kg] | Staffe                |
|-----------|----------|--------------|---------------|--------------|---------------|-----------------------|
| 0.13      | 6.17     | 2542.6       | 11329.3       | 3544.7       | 15754.8       | $\varnothing 10/12.5$ |

## NUOVA SCUOLA DELL'INFANZIA A SEI SEZIONI in località CASTELLO di SERRAVALLE

viale G. Verdi - COMUNE DI VALSAMOGGIA (BO)

PROGETTO ESECUTIVO

## RELAZIONE DI CALCOLO STRUTTURALE BLOCCO D

Verifiche a Presso-Flessione S.L.E.

| Nodo                   | Combinazione          | N<br>[kg] | M12<br>[kgm] | M13<br>[kgm] | $\sigma$<br>[kg/cm <sup>2</sup> ] |
|------------------------|-----------------------|-----------|--------------|--------------|-----------------------------------|
| Combinazioni Rare      |                       |           |              |              |                                   |
| 257                    | Ft. 12                | -1999.4   | 0.0          | 0.0          | -18.7                             |
|                        | $\sigma_s, c11$       | -2776.7   | 0.0          | 0.0          | -25.9                             |
|                        | $\sigma_{cls}, Max11$ | -2776.7   | 0.0          | 0.0          | -1.7                              |
|                        | $\sigma_{cls}, Med11$ | -2776.7   | 0.0          | 0.0          | -1.7                              |
| 134                    | Ft. 12                | -2959.4   | 2.0          | 0.0          | -27.4                             |
|                        | $\sigma_s, c11$       | -3736.7   | 2.5          | -0.0         | -35.2                             |
|                        | $\sigma_{cls}, Max11$ | -3736.7   | 2.5          | -0.0         | -2.4                              |
|                        | $\sigma_{cls}, Med11$ | -3736.7   | 2.5          | -0.0         | -2.3                              |
|                        |                       |           |              |              |                                   |
| 134                    | Ft. 12                | -9413.7   | 2.0          | -8.6         | -86.8                             |
|                        | $\sigma_s, c11$       | -9694.2   | 2.5          | -8.0         | -91.6                             |
|                        | $\sigma_{cls}, Max11$ | -9694.2   | 2.5          | -8.0         | -6.1                              |
|                        | $\sigma_{cls}, Med11$ | -9694.2   | 2.5          | -8.0         | -6.0                              |
| 15                     | Ft. 12                | -10340.7  | -7.1         | 19.8         | -93.7                             |
|                        | $\sigma_s, c11$       | -10621.2  | -7.5         | 18.4         | -101.8                            |
|                        | $\sigma_{cls}, Max11$ | -10621.2  | -7.5         | 18.4         | -6.9                              |
|                        | $\sigma_{cls}, Med11$ | -10621.2  | -7.5         | 18.4         | -6.6                              |
| Combinazioni Frequenti |                       |           |              |              |                                   |
| 257                    | Ft. 14                | -1222.1   | 0.0          | 0.0          | -11.4                             |
|                        | $\sigma_s, c13$       | -1533.0   | 0.0          | 0.0          | -14.3                             |
|                        | $\sigma_{cls}, Max13$ | -1533.0   | 0.0          | 0.0          | -1.0                              |
|                        | $\sigma_{cls}, Med13$ | -1533.0   | 0.0          | 0.0          | -1.0                              |
| 134                    | Ft. 14                | -2182.1   | 1.4          | 0.0          | -20.2                             |
|                        | $\sigma_s, c13$       | -2493.0   | 1.7          | 0.0          | -23.5                             |
|                        | $\sigma_{cls}, Max13$ | -2493.0   | 1.7          | 0.0          | -1.6                              |
|                        | $\sigma_{cls}, Med13$ | -2493.0   | 1.7          | 0.0          | -1.6                              |
|                        |                       |           |              |              |                                   |
| 134                    | Ft. 14                | -8139.5   | 1.3          | -7.9         | -75.0                             |
|                        | $\sigma_s, c13$       | -8599.5   | 1.6          | -8.1         | -81.3                             |
|                        | $\sigma_{cls}, Max13$ | -8599.5   | 1.6          | -8.1         | -5.4                              |
|                        | $\sigma_{cls}, Med13$ | -8599.5   | 1.6          | -8.1         | -5.4                              |
| 15                     | Ft. 14                | -9066.5   | -5.9         | 17.8         | -82.1                             |

## NUOVA SCUOLA DELL'INFANZIA A SEI SEZIONI in località CASTELLO di SERRAVALLE

viale G. Verdi - COMUNE DI VALSAMOGGIA (BO)

PROGETTO ESECUTIVO

## RELAZIONE DI CALCOLO STRUTTURALE BLOCCO D

| Nodo                          | Combinazione          | N<br>[kg] | M12<br>[kgm] | M13<br>[kgm] | $\sigma$<br>[kg/cm <sup>2</sup> ] |
|-------------------------------|-----------------------|-----------|--------------|--------------|-----------------------------------|
| Combinazioni Rare             |                       |           |              |              |                                   |
|                               | $\sigma_s, c13$       | -9526.5   | -6.3         | 18.4         | -91.5                             |
|                               | $\sigma_{cls}, Max13$ | -9526.5   | -6.3         | 18.4         | -6.2                              |
|                               | $\sigma_{cls}, Med13$ | -9526.5   | -6.3         | 18.4         | -5.9                              |
| Combinazioni Quasi Permanenti |                       |           |              |              |                                   |
| 257                           | Ft. 15                | -1222.1   | 0.0          | 0.0          | -11.4                             |
|                               | $\sigma_s, c15$       | -1222.1   | 0.0          | 0.0          | -11.4                             |
|                               | $\sigma_{cls}, Max15$ | -1222.1   | 0.0          | 0.0          | -0.8                              |
|                               | $\sigma_{cls}, Med15$ | -1222.1   | 0.0          | 0.0          | -0.8                              |
| 134                           | Ft. 15                | -2182.1   | 1.4          | 0.0          | -20.2                             |
|                               | $\sigma_s, c15$       | -2182.1   | 1.4          | 0.0          | -20.5                             |
|                               | $\sigma_{cls}, Max15$ | -2182.1   | 1.4          | 0.0          | -1.4                              |
|                               | $\sigma_{cls}, Med15$ | -2182.1   | 1.4          | 0.0          | -1.4                              |
|                               |                       |           |              |              |                                   |
| 134                           | Ft. 15                | -8288.6   | 1.4          | -8.1         | -76.4                             |
|                               | $\sigma_s, c15$       | -8288.6   | 1.4          | -8.1         | -78.3                             |
|                               | $\sigma_{cls}, Max15$ | -8288.6   | 1.4          | -8.1         | -5.2                              |
|                               | $\sigma_{cls}, Med15$ | -8288.6   | 1.4          | -8.1         | -5.2                              |
| 15                            | Ft. 15                | -9215.6   | -6.0         | 18.3         | -83.5                             |
|                               | $\sigma_s, c15$       | -9215.6   | -6.0         | 18.3         | -88.5                             |
|                               | $\sigma_{cls}, Max15$ | -9215.6   | -6.0         | 18.3         | -6.0                              |
|                               | $\sigma_{cls}, Med15$ | -9215.6   | -6.0         | 18.3         | -5.7                              |

**NUOVA SCUOLA DELL'INFANZIA A SEI SEZIONI in località CASTELLO di SERRAVALLE****viale G. Verdi - COMUNE DI VALSAMOGGIA (BO)****PROGETTO ESECUTIVO****RELAZIONE DI CALCOLO STRUTTURALE BLOCCO D**

---

**2.5.4.2-Verifica travi in c.a.****Modalità di verifica**

Le travi vengono progettate-verificate a flessione retta e taglio nel piano longitudinale della trave sulla base dell'involuppo delle sollecitazioni.

Viene comunque sempre predisposta l'armatura minima mentre gli sforzi di taglio vengono integralmente assorbiti dalle staffe.

Le operazioni di progetto-verifica vengono condotte, per ogni asta, in tre diverse sezioni e precisamente in corrispondenza dei fili esterni dei pilastri e della sezione in campata nella quale viene riscontrato il massimo momento positivo (negativo).

I momenti si intendono positivi se tendono le fibre di intradosso (inferiori).

Per quanto concerne il progetto e la verifica delle travi a taglio esse vengono condotte nel modo seguente:

Si controlla se la trave necessita o meno di armatura aggiuntiva a taglio:

Se non occorre armatura aggiuntiva a taglio si procede a disporre la staffatura minima di regolamento e la progettazione ha termine.

Se occorre armatura aggiuntiva a taglio la staffatura viene progettata andando a suddividere la trave, a seconda del caso, in uno, tre o cinque conci:

due tronchi in prossimità degli appoggi di lunghezza pari all'altezza della sezione;

due altri (eventuali) tronchi dall'ascissa precedente a quella in cui il taglio può essere assorbito con la sola staffatura minima da regolamento

un restante (eventuale) concio di chiusura centrale.

In ogni caso l'armatura a taglio si intende simmetrica rispetto alla mezzzeria della trave e viene progettata considerando, rispetto alla mezzzeria, la zona della trave più sollecitata.

Per quanto concerne le verifiche a taglio esse vengono condotte suddividendo la trave in cinque conci:

due tronchi in prossimità degli appoggi di lunghezza pari all'altezza della sezione; due altri (eventuali) tronchi dall'ascissa precedente a quella in cui il taglio può essere assorbito con la sola staffatura minima da regolamento; il restante (eventuale) concio di chiusura centrale.

L'armatura a taglio si intende simmetrica rispetto alla mezzzeria della trave e viene progettata considerando, rispetto alla mezzzeria, la zona della trave più sollecitata.

Simbologia utilizzata:

Af Es.-Area di ferro all'estradosso

Af In.-Area di ferro all'intradosso

Sigb.Es.-Tensione del calcestruzzo estradosso

Sigb. In.-Tensione del calcestruzzo intradosso

**NUOVA SCUOLA DELL'INFANZIA A SEI SEZIONI in località CASTELLO di SERRAVALLE**
**viale G. Verdi - COMUNE DI VALSAMOGGIA (BO)**
**PROGETTO ESECUTIVO**
**RELAZIONE DI CALCOLO STRUTTURALE BLOCCO D**

Sigf. Es.-Tensione dell'acciaio estradosso

Sigf. In.-Tensione dell'acciaio intradosso

Sezioni Impiegate: Trave

Sezioni Nuove

| Sez. Num. | Info       | Dimensioni             | Criterio | Calcestruzzo | $\gamma_M$ | F.C. | $f_{ck}$ [kg/cm <sup>2</sup> ] | $f_{cd}$ [kg/cm <sup>2</sup> ] | $\sigma_{RARE}$ [kg/cm <sup>2</sup> ] | $\sigma_{FREQ}$ [kg/cm <sup>2</sup> ] | $\sigma_{QP}$ [kg/cm <sup>2</sup> ] |
|-----------|------------|------------------------|----------|--------------|------------|------|--------------------------------|--------------------------------|---------------------------------------|---------------------------------------|-------------------------------------|
| 7         | Rett. T CA | B 30 [cm]<br>H 34 [cm] | Vertrav  | C25/30       | 1.50       | 1.00 | 250.0                          | 141.7                          | 150.0                                 | 150.0                                 | 112.5                               |

| Sez. Num. | Acciaio | $\gamma_M$ | F.C. | $f_{yk}$ [kg/cm <sup>2</sup> ] | $f_{yd}$ [kg/cm <sup>2</sup> ] | $\sigma_{yRARE}$ [kg/cm <sup>2</sup> ] | $\sigma_{yFREQ}$ [kg/cm <sup>2</sup> ] | $\sigma_{yQP}$ [kg/cm <sup>2</sup> ] | Cop. Es [cm] | Cop. In [cm] |
|-----------|---------|------------|------|--------------------------------|--------------------------------|----------------------------------------|----------------------------------------|--------------------------------------|--------------|--------------|
| 7         | B 450 C | 1.15       | 1.00 | 4500.0                         | 3913.0                         | 3600.0                                 | 3600.0                                 | 3600.0                               | 3.00         | 3.00         |

 EC2. 4.3.2.4.4. Verifica a taglio con il metodo dell'inclinazione variabile del traliccio.  $\cotg \theta = 1.00$ 

Verifica a fessurazione indiretta

 Fattore di sovrarresistenza Travi  $\gamma_{R,d}$  (Nuovo)=1.00  $\gamma_{R,d}$  (Esistente)=0.00

 Fattore di sovrarresistenza delle azioni sulle Fondazioni  $\gamma_{R,d}$  (Nuovo)=1.10  $\gamma_{R,d}$  (Esistente)=0.00

Verifiche Travate :

Travata: Travata 0 Nodi 16 17

| Nodo                               | $x$ [m] | $A_{fe}$ [cm <sup>2</sup> ] | $A_{fi}$ [cm <sup>2</sup> ] | $q_T$ [kg/m] | $M_{rif}$ [kgm] | $M_{de}$ [kgm] | $M_{re}$ [kgm] | $x/d$ | $M_{di}$ [kgm] | $M_{ri}$ [kgm] | $x/d$ | $\sigma_{be}$ [kg/cm <sup>2</sup> ] | $\sigma_{bi}$ [kg/cm <sup>2</sup> ] | $\sigma_{fe}$ [kg/cm <sup>2</sup> ] | $\sigma_{fi}$ [kg/cm <sup>2</sup> ] | w m |
|------------------------------------|---------|-----------------------------|-----------------------------|--------------|-----------------|----------------|----------------|-------|----------------|----------------|-------|-------------------------------------|-------------------------------------|-------------------------------------|-------------------------------------|-----|
| Trave Sez. 7 Rett. 30x34 [cm] T CA |         |                             |                             |              |                 |                |                |       |                |                |       |                                     |                                     |                                     |                                     |     |
| 16                                 | 0.13    | 9.42                        | 9.42                        |              |                 | 6076.0         | 9366.2         | 0.22  | -1868.6        | -9366.2        | 0.22  |                                     |                                     |                                     |                                     |     |
|                                    |         |                             |                             |              |                 | 2288.5         |                |       | 0.0            |                |       | 0.0                                 | 38.5                                | 973.2                               | 310.5                               |     |
|                                    |         |                             |                             |              |                 | 2276.7         |                |       | 0.0            |                |       | 0.0                                 | 38.3                                | 968.1                               | 308.9                               | OK  |
|                                    |         |                             |                             |              |                 | 2273.7         |                |       | 0.0            |                |       | 0.0                                 | 38.3                                | 966.8                               | 308.5                               | OK  |
| Camp.                              | 2.70    | 9.42                        | 9.42                        | 0.0          | 0.0             | 0.0            | 9366.2         | 0.22  | -3322.5        | -9366.2        | 0.22  |                                     |                                     |                                     |                                     |     |

**NUOVA SCUOLA DELL'INFANZIA A SEI SEZIONI in località CASTELLO di SERRAVALLE**
**viale G. Verdi - COMUNE DI VALSAMOGGIA (BO)**
**PROGETTO ESECUTIVO**
**RELAZIONE DI CALCOLO STRUTTURALE BLOCCO D**

|    |      |      |      |           |        |        |        |      |        |        |   |        |      |        |        |    |
|----|------|------|------|-----------|--------|--------|--------|------|--------|--------|---|--------|------|--------|--------|----|
|    |      |      |      | SLE Rare  | 0.0    |        |        | -    | 2555.7 |        |   | 43.0   | 0.0  | 346.8  | 1086.8 |    |
|    |      |      |      | SLE Freq. | 0.0    |        |        | -    | 2555.5 |        |   | 43.0   | 0.0  | 346.7  | 1086.7 | OK |
|    |      |      |      | SLE Q.P.  | 0.0    |        |        | -    | 2555.5 |        |   | 43.0   | 0.0  | 346.7  | 1086.7 | OK |
| 17 | 5.27 | 9.42 | 9.42 |           |        | 6394.2 | 9366.2 | 0.22 | -      | 1692.6 | - | 9366.2 | 0.22 |        |        |    |
|    |      |      |      | SLE Rare  | 2522.2 |        |        | 0.0  |        |        |   | 0.0    | 42.5 | 1072.5 | 342.2  |    |
|    |      |      |      | SLE Freq. | 2530.8 |        |        | 0.0  |        |        |   | 0.0    | 42.6 | 1076.2 | 343.4  | OK |
|    |      |      |      | SLE Q.P.  | 2530.8 |        |        | 0.0  |        |        |   | 0.0    | 42.6 | 1076.2 | 343.4  | OK |

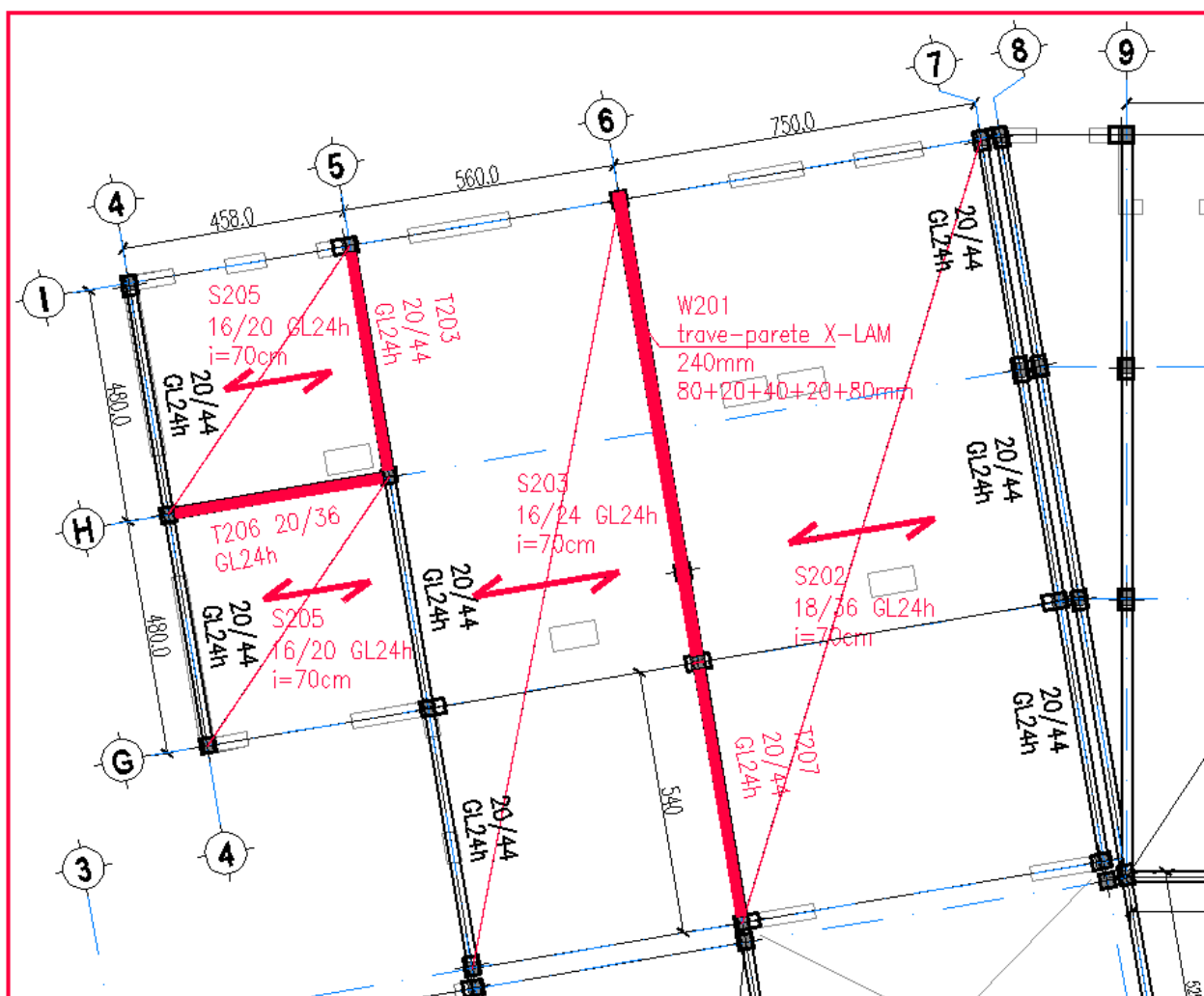
| Da<br>[m]                                | A<br>[m] | Dx<br>[m] | VEd<br>[kg] | VRd,c<br>[kg] | VRcd<br>[kg] | VRd<br>[kg] | TEd<br>[kgm] | TRcd<br>[kgm] | TRsd<br>[kgm] | Staffe          |
|------------------------------------------|----------|-----------|-------------|---------------|--------------|-------------|--------------|---------------|---------------|-----------------|
| Trave 16 17 Sez. 3 Rett. 30x34 [cm] T CA |          |           |             |               |              |             |              |               |               |                 |
| 0.13                                     | 0.47     | 0.34      | 4872.8      | 5790.8        | 28311.7      | 32748.7     | 2816.2       | 3066.4        | 7050.1        | ø 10 2br. 5.0'  |
| 0.47                                     | 4.93     | 4.47      | 4972.6      | 5790.8        | 28311.7      | 16374.3     | 2816.2       | 3066.4        | 3525.0        | ø 10 2br. 10.0' |
| 4.93                                     | 5.27     | 0.34      | 4972.6      | 5790.8        | 28311.7      | 32748.7     | 2816.2       | 3066.4        | 7050.1        | ø 10 2br. 5.0'  |

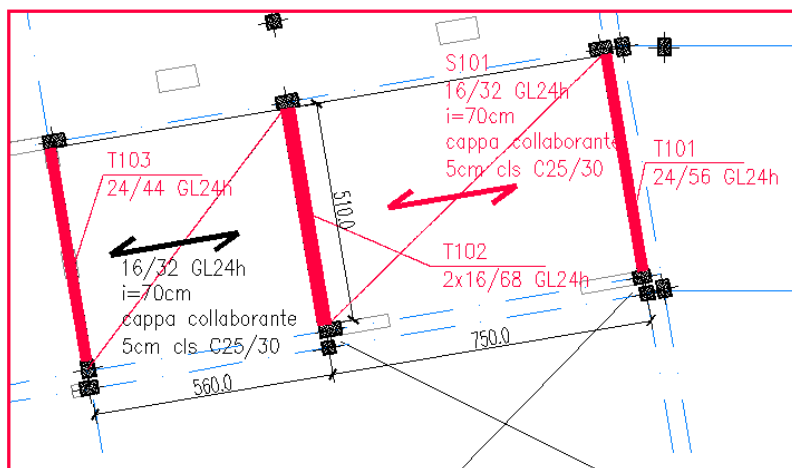
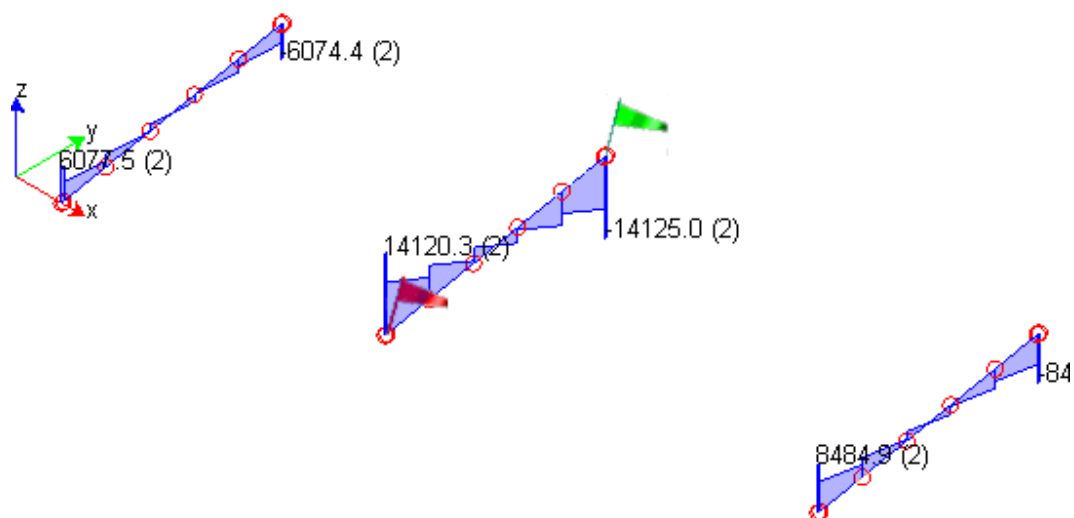
**NUOVA SCUOLA DELL'INFANZIA A SEI SEZIONI in località CASTELLO di SERRAVALLE**
**viale G. Verdi - COMUNE DI VALSAMOGGIA (BO)**
**PROGETTO ESECUTIVO**
**RELAZIONE DI CALCOLO STRUTTURALE BLOCCO D**
**2.5.4.3-Verifica travi in legno**

Ai fini delle verifiche di sicurezza, degli elementi lignei e relative connessioni, sono stati adottati i criteri del metodo semiprobabilistico agli stati limite. In particolare sono stati soddisfatti i requisiti per la sicurezza allo stato limite ultimo e allo stato limite d'esercizio, nonché considerando l'azione sismica e la condizione eccezionale d'incendio.

Per la verifica degli elementi strutturali in legno, quali travi e travetti, sono stati utilizzati fogli di calcolo prodotti con il programma Excel della società produttrice Microsoft Corporation. Per ogni sezione lignea di riferimento, sono stati verificati gli elementi aventi maggiori sollecitazioni in base alle condizioni di sollecitazione e vincolo.

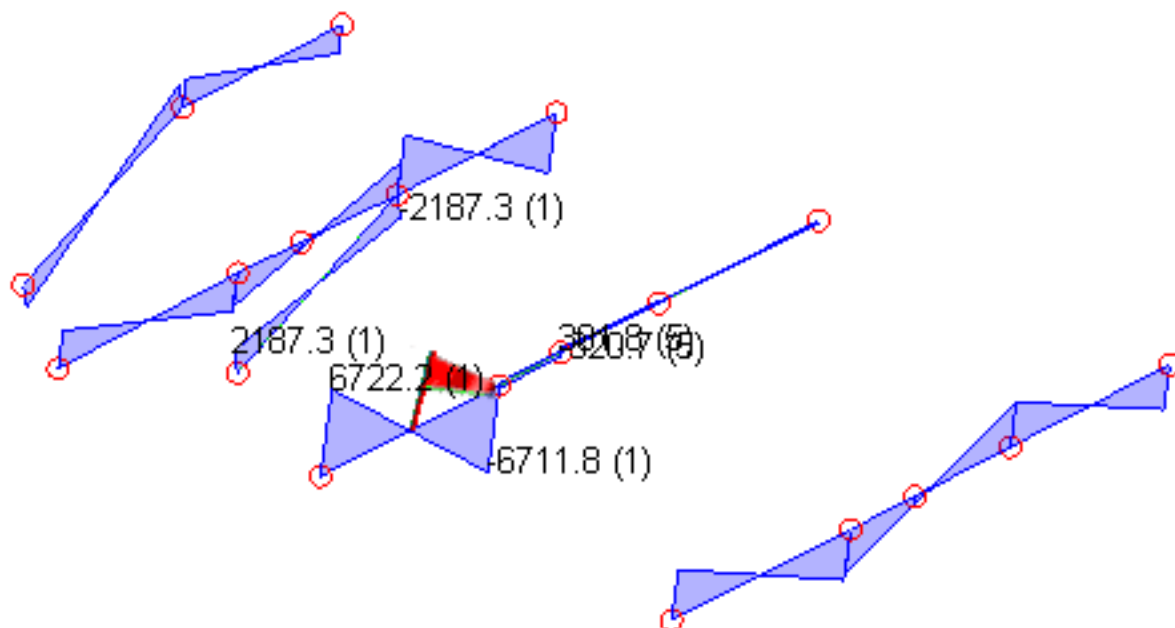
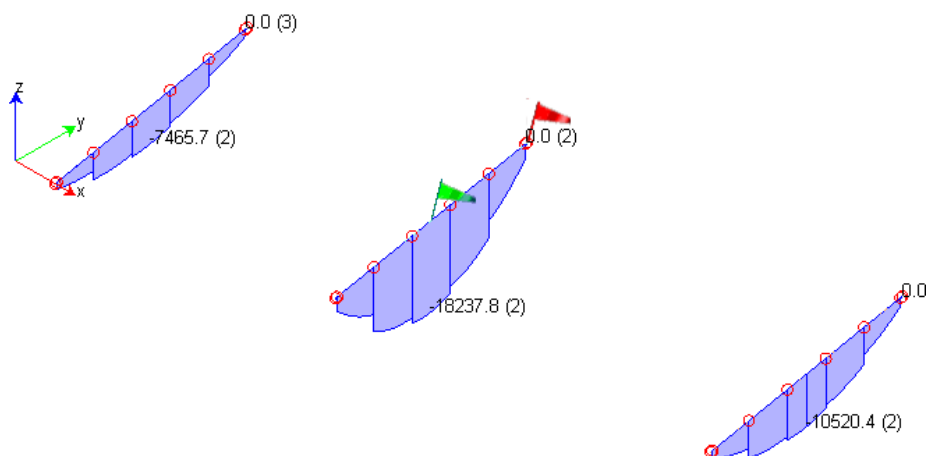
Si riepilogano di seguito gli elementi verificati. I risultati sono stati estesi agli elementi aventi sollecitazioni uguali o inferiori a quelli calcolati

**COPERTURA**


**NUOVA SCUOLA DELL'INFANZIA A SEI SEZIONI in località CASTELLO di SERRAVALLE**
**viale G. Verdi - COMUNE DI VALSAMOGGIA (BO)**
**PROGETTO ESECUTIVO**
**RELAZIONE DI CALCOLO STRUTTURALE BLOCCO D**
**SOLAIO 1**

**DIAGRAMMA INVILUPPO T TRAVI PRIMO SOLAIO**


**NUOVA SCUOLA DELL'INFANZIA A SEI SEZIONI in località CASTELLO di SERRAVALLE**
**viale G. Verdi - COMUNE DI VALSAMOGGIA (BO)**
**PROGETTO ESECUTIVO**

RELAZIONE DI CALCOLO STRUTTURALE BLOCCO D

**DIAGRAMMA INVILUPPO T TRAVI COPERTURA**

**DIAGRAMMA INVILUPPO M TRAVI PRIMO SOLAIO**


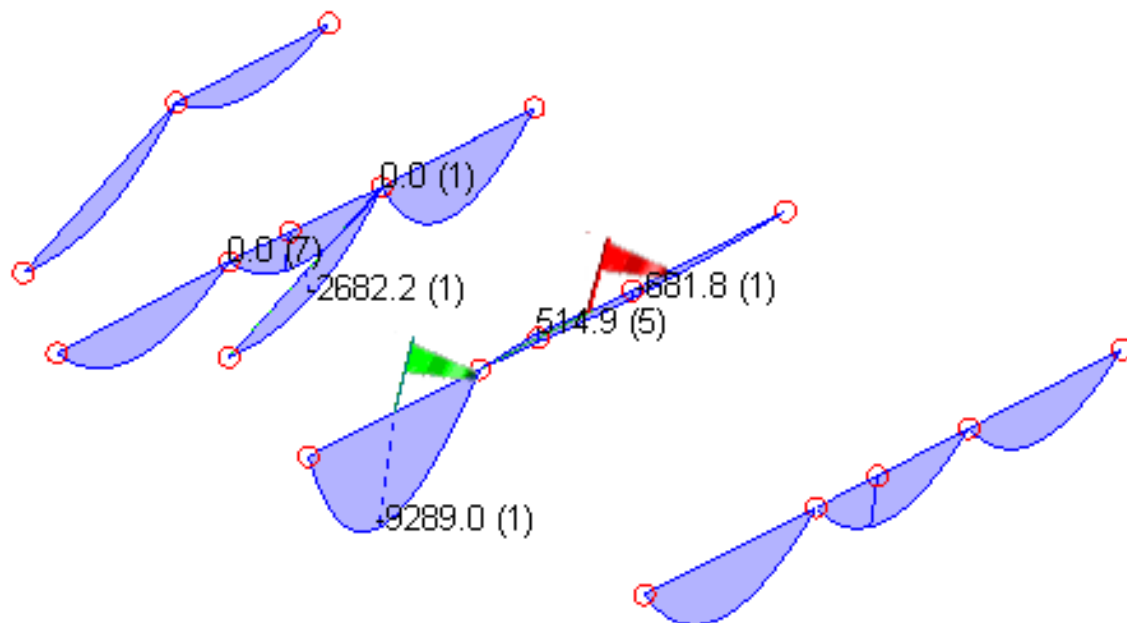
NUOVA SCUOLA DELL'INFANZIA A SEI SEZIONI in località CASTELLO di SERRAVALLE

viale G. Verdi - COMUNE DI VALSAMOGGIA (BO)

PROGETTO ESECUTIVO

RELAZIONE DI CALCOLO STRUTTURALE BLOCCO D

DIAGRAMMA INVILUPPO MTRAVI COPERTURA



## S 101 Solaio con cappa collaborante in C.A.

### 1. Geometria e caratteristiche dei materiali

#### 1.1 Sezioni

$$\begin{aligned}
 h_{\text{legno}} &= 32,00 \text{ [cm]} & h_{\text{cassero}} &= 5,00 \text{ [cm]} & h_{\text{cls}} &= 5,00 \text{ [cm]} \\
 b_{\text{legno}} &= 16,00 \text{ [cm]} & b_{\text{appoggio}} &= 4,00 \text{ [cm]} & b_{\text{cls}} &= 70,00 \text{ [cm]} \\
 A_{\text{legno}} &= 512,00 \text{ [cm}^2\text{]} & A_3 &= 40,00 \text{ [cm}^2\text{]} & A_{\text{cls}}^* &= 350,00 \text{ [cm}^2\text{]} \\
 b_{\text{eff}} = b_w + L_0 / 5 &= 166,00 \text{ [cm]} & b_c = \min(b_{\text{eff}}, b_{\text{cls}}) &= 70,00 \text{ [cm]}
 \end{aligned}$$

#### 1.2 Caratteristiche dei materiali

| legno /der. del legno: | GL24h                 |                       |
|------------------------|-----------------------|-----------------------|
|                        | $f_{x,d,medio}$       |                       |
|                        | [kN/cm <sup>2</sup> ] | [kN/cm <sup>2</sup> ] |
| $f_{m,k}$              | 2,4                   | 1,43                  |
| $f_{t,0,k}$            | 1,65                  | 0,98                  |
| $f_{t,90,k}$           | 0,05                  | 0,03                  |
| $f_{c,0,k}$            | 2,4                   | 1,34                  |
| $f_{c,90,k}$           | 0,27                  | 0,15                  |
| $f_{v,k}$              | 0,25                  | 0,14                  |

| cls:        | C 25/30               |
|-------------|-----------------------|
|             | [kN/cm <sup>2</sup> ] |
| $f_{ck}$    | 2,5                   |
| $f_{ctm}$   | 0,26                  |
| $\tau_{Rd}$ | 0,028                 |
| $E_{cm}$    | 3050                  |

connettore con certificato: SFS VB-48-7,5×100

$$\begin{aligned}
 \rho_k &= 380 \text{ [kg/m}^3\text{]} & f_{x,d} &= k_{mod,i} \cdot f_{x,k} & k_h &= 1,06 \text{ [-]} \\
 \gamma_{\text{legno},k} &= 4,50 \text{ [kN/m}^3\text{]} & \gamma_{\text{cassero},k} &= 4,50 \text{ [kN/m}^3\text{]} & \gamma_{\text{cls},k} &= 25,00 \text{ [kN/m}^3\text{]} \\
 \gamma_{M,\text{legno}} &= 1,25 \text{ [-]} & & & \gamma_c &= 1,5 \text{ [-]} \\
 \text{CDS} &= \text{I} & k_{mod} &= 0,6 \text{ [-]} & & \\
 \text{CDC} &= \text{lunga} & k_{mod} &= 0,7 \text{ [-]} & K_{ser} = 2 \times d \cdot \rho_k^{1,5} / 20 &= 111,11 \text{ [kN/cm]} \\
 & & & & & \text{vedi certificato}
 \end{aligned}$$

#### 1.3 Calcolo delle sezioni per deformazione iniziale

$$\begin{aligned}
 \gamma_{1,0} &= 1 / (1 + \pi^2 \cdot E_{cm} \cdot A_c \cdot s_m / (K_{ser} \cdot I^2)) = 0,372 \text{ [-]} \\
 s_m &= 1/n \cdot (0,75 \cdot e_{min} + 0,25 \cdot e_{max}) = 10,00 \text{ [cm]} & \text{numero file/b: } n &= 1 \text{ [-]}
 \end{aligned}$$

$$\begin{aligned}
 a_1 &= \gamma_2 \times E_2 \times A_2 \times (h_1 + h_2 + 2 \times h_3) / (2 \times \sum (\gamma_i \times E_i \times A_i)) = 14,08 \text{ [cm]} \\
 a_2 &= \gamma_1 \times E_1 \times A_1 \times (h_1 + h_2 + 2 \times h_3) / (2 \times \sum (\gamma_i \times E_i \times A_i)) = 9,42 \text{ [cm]} \\
 EI_{y,eff,0} &= \sum (EI_{y,i} + \gamma_i \cdot a_i^2 \cdot EA_i) = 184.404.214 \text{ [kNcm}^2\text{]}
 \end{aligned}$$

#### 1.4 Calcolo delle sezioni per deformazione finale

$$\begin{aligned}
 E_{c,eff} &= E_{cm} / (1 + \phi_{(0,\infty)}) = 813 \text{ [kN/cm}^2\text{]} \\
 2 \cdot A_c / u &= 100 \text{ [mm]} & \text{secondo EC2 3.1.2.5.5 Tab. 3.3} & \phi_{(0,\infty)} &= 2,75 \text{ [-]} \\
 E_{mean,fin} &= E_{0,mean} \times [a / (1 + k_{def}) + b / (1 + \psi_p \times k_{def}) + c / (1 + \psi_s \times k_{def})] = 730 \text{ [kN/cm}^2\text{]} \\
 a &= g_{Sd} / (g_{Sd} + p_{Sd} + s_{Sd}) = 0,91 \text{ [-]} & k_{def} &= 0,60 \text{ [-]} \\
 b &= p_{Sd} / (g_{Sd} + p_{Sd} + s_{Sd}) = 0,09 \text{ [-]} \\
 c &= s_{Sd} / (g_{Sd} + p_{Sd} + s_{Sd}) = 0,00 \text{ [-]} \\
 K_i &= 4/3 \cdot K_{ser} / (1 + k_{def}) = 69,44 \text{ [kN/cm]} & & \text{vedi certificato} \\
 \gamma_{c,\infty} &= 1 / (1 + \pi^2 \cdot E_{c,eff} \cdot A_c \cdot s_m / (K_i \cdot I^2)) = 0,582 \text{ [-]} \\
 a_1 &= \gamma_2 \times E_2 \times A_2 \times (h_1 + h_2 + 2 \times h_3) / (2 \times \sum (\gamma_i \times E_i \times A_i)) = 16,29 \text{ [cm]} \\
 a_2 &= \gamma_1 \times E_1 \times A_1 \times (h_1 + h_2 + 2 \times h_3) / (2 \times \sum (\gamma_i \times E_i \times A_i)) = 7,21 \text{ [cm]} \\
 EI_{y,eff,0} &= \sum (EI_{y,i} + \gamma_i \cdot a_i^2 \cdot EA_i) = 95.878.155 \text{ [kNcm}^2\text{]}
 \end{aligned}$$

## 2. Carichi

|                       |         |      |                      |              |
|-----------------------|---------|------|----------------------|--------------|
| peso proprio          | $g_k =$ | 1,80 | [kN/m <sup>2</sup> ] |              |
| perm. non strutturale | $g_k =$ | 3,45 | [kN/m <sup>2</sup> ] |              |
| esercizio             | $p_k =$ | 0,50 | [kN/m <sup>2</sup> ] | Cat. H1      |
| neve                  | $s_k =$ | 0,00 | [kN/m <sup>2</sup> ] | neve < 1000m |
| luce                  | $L =$   | 7,50 | [m]                  |              |

|                         |            |     |                  |            |     |                  |      |     |
|-------------------------|------------|-----|------------------|------------|-----|------------------|------|-----|
| $\gamma_{g,1} =$        | 1,30       | [-] | $\gamma_{g,2} =$ | 1,50       | [-] | $\gamma_{p,s} =$ | 1,50 | [-] |
| combinazione rara:      | $\psi_p =$ | 1,0 | [-]              | $\psi_s =$ | 0,5 | [-]              |      |     |
| combinazione frequente: | $\psi_p =$ | 0,9 | [-]              | $\psi_s =$ | 0,2 | [-]              |      |     |
| comb. quasi permanente: | $\psi_p =$ | 0,8 | [-]              | $\psi_s =$ | 0,0 | [-]              |      |     |

## 3. Sollecitazioni

### 3.1 Sollecitazioni allo stato limite ultimo

$$M_{Sd} = b_c \cdot \gamma \cdot q \cdot l^2 / 8 = 40,69 \quad [\text{kNm}]$$

$$V_{Sd} = b_c \cdot \gamma \cdot q \cdot l / 2 = 21,70 \quad [\text{kN}]$$

$$V_{Sd,red} = V_{Sd} \cdot (1 - 2 \cdot h/L) = 19,27 \quad [\text{kN}]$$

### 3.2 Sollecitazioni allo stato limite di esercizio

|                        |                             |      |       |
|------------------------|-----------------------------|------|-------|
| combinazione rara      | $M_d = q_k \cdot l^2 / 8 =$ | 28,3 | [kNm] |
| combinazione frequente | $M_d = q_k \cdot l^2 / 8 =$ | 28,1 | [kNm] |
| comb. quasi permanente | $M_d = q_k \cdot l^2 / 8 =$ | 27,8 | [kNm] |

## 4. Verifiche allo stato limite ultimo

### 4.1 Verifiche delle tensioni per deformazione iniziale

#### 4.1.1 Tensioni nei baricentri:

nel cls:  $\sigma_{Sd,i} = M_{Sd} / (EI_y)_{ef} \cdot \gamma_i \cdot a_i \cdot E_i = -0,35 \quad [\text{kN/cm}^2]$

nel legno:  $\sigma_{Sd,i} = M_{Sd} / (EI_y)_{ef} \cdot \gamma_i \cdot a_i \cdot E_i = 0,24 \quad [\text{kN/cm}^2]$

Verifica:  $\sigma_{Sd,legno,i} / f_{tRd} \leq 1: 0,25 < 1,00$

#### 4.1.2 Verifica delle tensioni tangenziali massime:

nel cls:  $\sigma_{m,c,Sd,o} = \sigma_{Sd,i} - M_{Sd} / (EI_y)_{ef} \cdot h_i / 2 \cdot E_i = -0,52 \quad [\text{kN/cm}^2]$

Verifica:  $\sigma_{m,c,Sd,o} \cdot \gamma_c / f_{ck} \leq 1: 0,37 < 1,00$

$\sigma_{m,c,Sd,u} = \sigma_{Sd,i} + M_{Sd} / (EI_y)_{ef} \cdot h_i / 2 \cdot E_i = -0,18 \quad [\text{kN/cm}^2]$

Verifica:  $\sigma_{m,c,Sd,u} \cdot \gamma_c / 0,7 \cdot f_{ctm} \leq 1: 0,13 < 1,00$

nel legno:  $\sigma_{m,h,Sd,o} = M_{Sd} / (EI_y)_{ef} \cdot h_i / 2 \cdot E_i = 0,41 \quad [\text{kN/cm}^2]$

Verifica:  $\sigma_{Sd,legno,i} / f_{tRd} + \sigma_{Sd,legno,m} / f_{mRd} \leq 1: 0,53 < 1,00$

#### 4.1.3 Forza agente sui connettori:

$F_{Sd,i} = V_{Sd} / (EI_y)_{ef} \cdot \gamma_i \cdot a_i \cdot E_i \cdot A_i \cdot s_i = 5,85 \quad [\text{kN}]$

### 4.2 Tensioni per deformazione finale

#### 4.2.1 Tensioni nei baricentri:

nel cls:  $\sigma_{Sd,i} = M_{Sd} / (EI_y)_{ef} \cdot \gamma_i \cdot a_i \cdot E_i = -0,33 \quad [\text{kN/cm}^2]$

nel legno:  $\sigma_{Sd,i} = M_{Sd} / (EI_y)_{ef} \cdot \gamma_i \cdot a_i \cdot E_i = 0,22 \quad [\text{kN/cm}^2]$

Verifica:  $\sigma_{Sd,Holz,i} / f_{tRd} \leq 1: 0,23 < 1,00$

#### 4.2.2 Verifica delle tensioni tangenziali massime:

nel cls:  $\sigma_{m,c,Sd,o} = \sigma_{Sd,i} - M_{Sd} / (EI_y)_{ef} \times h_i / 2 \times E_i = -0,41$  [kN/cm<sup>2</sup>]

Verifica:  $\sigma_{m,c,Sd,o} \cdot \gamma_c / f_{ck} \leq 1$ :  $0,29 < 1,00$

$\sigma_{m,c,Sd,u} = \sigma_{Sd,i} + M_{Sd} / (EI_y)_{ef} \times h_i / 2 \times E_i = -0,24$  [kN/cm<sup>2</sup>]

Verifica:  $\sigma_{m,c,Sd,u} \cdot \gamma_c / 0,7 \times f_{ctm} \leq 1$ :  $0,17 < 1,00$

nel legno:  $\sigma_{m,h,Sd,o} = M_{Sd} / (EI_y)_{ef} \times h_i / 2 \times E_i = 0,50$  [kN/cm<sup>2</sup>]

Verifica:  $\sigma_{Sd,legno,i} / f_{t,Rd} + \sigma_{Sd,legno,m} / f_{m,Rd} \leq 1$ :  $0,57 < 1,00$

#### 4.2.3 Forza agente sui connettori:

$F_{Sd,i} = V_{Sd} / (EI_y)_{ef} \times \gamma_i \times a_i \times E_i \times A_i \times s_i = 5,42$  [kN]

#### 4.3 Verifica della massima tensione da taglio:

solo il travetto va in appoggio  $\tau_{Sd} = 1,5 \times V_{Sd} / A_{legno} = 0,06$  [kN/cm<sup>2</sup>]

Verifica:  $\tau_{Sd} / f_{vd} \leq 1$ :  $0,40 < 1,00$

#### 4.4 Pressione perpendicolare alla fibratura

$t_{eff} = V_{Sd} / (b_{legno} \cdot k_{c,90} \times f_{c,90,d}) = 3,58$  [cm]  $< t_{scelto} = 10,00$  [cm]

$k_{c,90} = (2,38 - t / 250) \times (1 + h / (12 \times t)) = 2,508 \leq 4$   $k_{c,90} = 2,508$

#### 4.5 Resistenza a taglio del connettore

Geometria del connettore diametro:  $d = 7,5$  [mm]

profondità di fissaggio nel cls:  $t_{cls} = 5,00$  [cm]

prof. di fiss. nel legno:  $t_{legno} = 10,00$  [cm]  $> 12 \times d = 9,00$  [cm]

#### caratteristiche del connettore:

|              |      |     |          |                       |                                   |
|--------------|------|-----|----------|-----------------------|-----------------------------------|
| $\gamma_y =$ | 1,10 | [-] | Fe 430   | [kN/cm <sup>2</sup> ] |                                   |
| $\gamma_v =$ | 1,25 | [-] | $f_u$    | 43,0                  | $\leq 45,0$ [kN/cm <sup>2</sup> ] |
|              |      |     | $f_{yk}$ | 27,5                  |                                   |

connettore:  $P_{Rd,y} = 0,8 \cdot f_u \cdot \pi \cdot d^2 / (4 \cdot \gamma_v) = 12,16$  [kN]

nel cls:  $P_{Rd,c} = 0,29 \cdot \alpha \cdot d^2 \cdot (f_{ck} \cdot E_{c,eff})^{0,5} / \gamma_v = 5,88$  [kN]

per  $3 \leq t_{cls}/d \leq 4$ :  $\alpha = 0,2 \cdot (t_{Bcls}/d + 1)$

per  $t_{cls}/d > 4$ :  $\alpha = 1$   $t_{cls}/d = 6,67$   $\alpha = 1,000$  [-]

nel legno:  $R_{d,(c)} = f_{h,0,d} \cdot t_H \cdot d \cdot ((2 + M_{yd}/(f_{h,0,d} \cdot d \cdot t_H^2))^{0,5} - 1) + F_{ax,d}/4 = 5,63$  [kN]

$P_{Rd,H} = \min(R_{d,i})$   $R_{d,(d)} = 2,3 \cdot (M_{yd} \cdot f_{h,0,d} \cdot d)^{0,5} + F_{ax,d}/4 = 4,06$  [kN]

$R_{d,(a)} = f_{h,0,d} \cdot t_{legno} \cdot d = 12,11$  [kN]

$M_{yd} = 0,8 \cdot f_u \cdot d^3 / (6 \cdot \gamma_y) = 2,20$  [kNcm]

$f_{h,0,d} = 0,082 \cdot (1 - 0,01 \cdot d) \cdot \rho_k / \gamma_M = 1,61$  [kN/cm<sup>2</sup>]

$F_{ax,d} = d \times t_{pen} \times 20 \cdot 10^{-6} \cdot \rho_k^2 / \gamma_M = 1,21$  [kN]  $P_{Rd,H} = 4,06$  [kN]

$s_{min} = 8,00$  [cm]  $P_{Rd,i,min} = 7,00$  [kN] vedi certificato

Verifica:  $F_{Sd,i} / P_{Rd,i,min} \leq 1$ :  $0,84 < 1,00$

#### passo minimo dei connettori:

$\eta = s_{min}/s_{max} \geq 0,25 + 0,03 \cdot L = 0,475 \geq 0,4$   $\eta = 0,475$  [-]

$4 \times s_{min} = 32,00$  [cm]  $> s_{max} = 16,00$  [cm]  $< s_{min} / \eta = 16,84$  [cm]

#### 4.6 Verifica della capacità portante a taglio parallelo alla fibratura

$v_{Sd} = P_{Sd,i,max} / (2 \cdot s_{min}) = 0,37$  [kN/cm]  $A_{cv} = A_{cls} = 350,00$  [cm<sup>2</sup>/m]

$v_{Rd,1} = 2,5 \cdot A_{cv} \cdot \eta \cdot \tau_{Rd} + A_s \cdot f_{ys} / \gamma_y = 1,14$  [kN/cm]

$v_{Rd,2} = 0,2 \cdot A_{cv} \cdot f_{ck} / \gamma_c = 1,17$  [kN/cm]  $v_{Rd} = v_{Rd,i,min} = 1,14$  [kN/cm]

per cls ordinario  $\eta = 1,00$  [-]

scelto:  $\emptyset 8 / 20$   $A_s = 2,51$  [cm<sup>2</sup>/m]  $f_{ys} = 39,0$  [kN/cm<sup>2</sup>]

Verifica:  $v_{Sd} / v_{Rd} \leq 1$ :  $0,32 < 1,00$

## 5. Verifiche allo stato limite di esercizio

### 5.1 Tensioni nel cls

#### 5.1.1 combinazione rara:

$$\sigma_{d,c,0} = 0,29 \quad [\text{kN/cm}^2] < \sigma_{zul} = 0,6 \cdot f_{ck} = 1,50 \quad [\text{kN/cm}^2]$$

#### 5.1.2 combinazione quasi permanente:

$$\sigma_{d,c,0} = 0,28 \quad [\text{kN/cm}^2] < \sigma_{zul} = 0,45 \cdot f_{ck} = 1,13 \quad [\text{kN/cm}^2]$$

### 5.2 Deformazioni

#### 5.2.1 Deformazioni iniziali:

$$w_{2,inst} \leq l/400$$

contributo durante il getto:

si

$$w_0 = 5/384 \cdot g_{k,1} \cdot b_c \times L^4 \cdot 10^6 / (E \cdot I)_{Holz,0} = 0,000 \quad [\text{cm}]$$

controfreccia in assenza di carico

$$u_0 =$$

$$0,0$$

$$[\text{cm}]$$

$$< l/300 =$$

$$2,500$$

$$[\text{cm}]$$

$$K_{ser} = 2 \times d \cdot \rho_k^{1,5} / 20 = 166,67 \quad [\text{kN/cm}]$$

$$\gamma_{1,0} = 1 / (1 + \pi^2 \cdot E_{cm} \cdot A_c \cdot s_m / (K_{ser} \cdot l^2)) = 0,471 \quad [-]$$

$$a_1 = \gamma_2 \times E_2 \times A_2 \times (h_1 + h_2 + 2 \times h_3) / (2 \times \sum (\gamma_i \times E_i \times A_i)) = 12,73 \quad [\text{cm}]$$

$$a_2 = \gamma_1 \times E_1 \times A_1 \times (h_1 + h_2 + 2 \times h_3) / (2 \times \sum (\gamma_i \times E_i \times A_i)) = 10,77 \quad [\text{cm}]$$

$$EI_{y,eff,0} = \sum (EI_{y,i} + \gamma_i \cdot a_i^2 \cdot EA_i) = 203.249.514 \quad [\text{kNcm}^2]$$

Deformazione a seguito di carichi esterni

$$w_{p,inst} = 5/384 \cdot p_k \cdot b_c \times L^4 \cdot 10^6 / (E \cdot I)_{y,eff,0} = 0,071 \quad [\text{cm}]$$

$$w_{v,p,inst} = M_p / (G_{mean} \cdot A_v) = 0,008 \quad [\text{cm}]$$

$$A_v = A_{Holz} / 1,2 = 427 \quad [\text{cm}^2]$$

$$w_{s,inst} = 5/384 \cdot s_k \cdot b_c \times L^4 \cdot 10^6 / (E \cdot I)_{y,eff,0} = 0,000 \quad [\text{cm}]$$

$$w_{v,s,inst} = M_s / (G_{mean} \cdot A_v) = 0,000 \quad [\text{cm}]$$

$$w_{2,inst} = \sum w_{i,inst} \cdot \psi_i = 0,079 \quad [\text{cm}] < L/400 = 1,875 \quad [\text{cm}]$$

#### 5.2.2 Limite per le deformazioni finali:

$$w_{net,fin} \leq l/350$$

$$E_{mean,fin} = E_{0,mean} / (1 + k_{def}) = 725 \quad [\text{kN/cm}^2]$$

$$G_{mean,fin} = G_{mean} / (1 + k_{def}) = 45 \quad [\text{kN/cm}^2]$$

$$K_{ser,fin} = K_{ser} / (1 + k_{def}) = 69,44 \quad [\text{kN/cm}]$$

$$\gamma_{c,\infty} = 1 / (1 + \pi^2 \cdot E_{c,eff} \cdot A_c \cdot s_m / (K_{ser} \cdot L^2)) = 0,582 \quad [-]$$

$$a_1 = \gamma_2 \times E_2 \times A_2 \times (h_1 + h_2 + 2 \times h_3) / (2 \times \sum (\gamma_i \times E_i \times A_i)) = 16,25 \quad [\text{cm}]$$

$$a_2 = \gamma_1 \times E_1 \times A_1 \times (h_1 + h_2 + 2 \times h_3) / (2 \times \sum (\gamma_i \times E_i \times A_i)) = 7,25 \quad [\text{cm}]$$

$$EI_{y,eff,\infty} = \sum (EI_{y,i} + \gamma_i \cdot a_i^2 \cdot EA_i) = 95.502.387 \quad [\text{kNcm}^2]$$

Deformazioni a seguito di carichi esterni

$$w_{g,fin} = 5/384 \cdot g_k \cdot b_c \times L^4 \cdot 10^6 / (E \cdot I)_{y,eff,\infty} = 1,586 \quad [\text{cm}]$$

$$w_{v,g,inst} = M_g / (G_{mean,fin} \cdot A_v) = 0,135 \quad [\text{cm}]$$

$$w_{p,inst} = 5/384 \cdot p_k \cdot b_c \times L^4 \cdot 10^6 / (E \cdot I)_{y,eff,\infty} = 0,151 \quad [\text{cm}]$$

$$w_{v,p,inst} = M_p / (G_{mean,fin} \cdot A_v) = 0,013 \quad [\text{cm}]$$

$$w_{s,inst} = 5/384 \cdot s_k \cdot b_c \times L^4 \cdot 10^6 / (E \cdot I)_{y,eff,\infty} = 0,000 \quad [\text{cm}]$$

$$w_{v,s,inst} = M_s / (G_{mean,fin} \cdot A_v) = 0,000 \quad [\text{cm}]$$

Deformazioni a seguito del ritiro del cls

$$\varepsilon_{(0,\infty)} = -0,000325 \quad [-] \quad (\text{supposte condizioni ambientali secche})$$

$$F_{ritiro} = \varepsilon_{(0,\infty)} \cdot E_{c,eff} \cdot A_{cls} = -92,52 \quad [\text{kN}]$$

$$M_{ritiro} = F_{ritiro} \cdot a_{cls} = -15,03 \quad [\text{kNm}]$$

$$w_{ritiro} = M_{ritiro} \cdot L^2 / (8 \cdot E \cdot I_{y,eff,\infty}) = 1,107 \quad [\text{cm}]$$

non considerato

$$\begin{aligned}
W_{\text{net,fin}} &= W_{\text{m,fin,i}} + W_{\text{v,fin,i}} + W_{\text{Schwind}} - W_0 = 1,851 \quad [\text{cm}] < l/350 = 2,143 \quad [\text{cm}] \quad \mathbf{0,86 < 1,00} \\
W_{2,\text{fin}} &= W_{\text{m,fin,i}} + W_{\text{v,fin,i}} - W_{\text{g,inst}} = 1,055 \quad [\text{cm}] < l/300 = 2,500 \quad [\text{cm}] \\
W_{\text{g,inst}} &= 5/384 \cdot g_k \cdot b_c \times L^4 \cdot 10^6 / (E \cdot I)_{y,\text{eff},0} = 0,745 \quad [\text{cm}] \\
W_{\text{v,g,inst}} &= M_g / (G_{\text{mean}} \cdot A_v) = 0,084 \quad [\text{cm}]
\end{aligned}$$

## 6. Distanze minime dei connettori

$$\begin{aligned}
\text{II alla fibratura:} \quad a_1 &= 0,7 \times (4 + \cos \alpha) \times d = 2,7 \quad [\text{cm}] \\
\perp \text{ alla fibratura:} \quad a_2 &= 0,7 \times (3 + \sin \alpha) \times d = 2,1 \quad [\text{cm}] \\
\text{II bordo esterno del legno:} \quad a_{3,t} &= 0,7 \times (7 + 5 \times \cos \alpha) \times d = 5,6 \quad [\text{cm}] \\
\perp \text{ bordo esterno del legno:} \quad a_{3,c} &= 0,7 \times 7 \times d = 2,1 \quad [\text{cm}] \\
\text{bordo sollecitato:} \quad a_{4,t} &= 0,7 \times (3 + 4 \times \sin \alpha) \times d = 2,5 \quad [\text{cm}] \\
\text{bordo non sollecitato:} \quad a_{4,c} &= 0,7 \times 3 \times d = 1,6 \quad [\text{cm}]
\end{aligned}$$

S 202

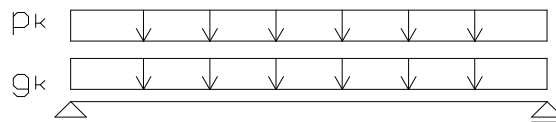
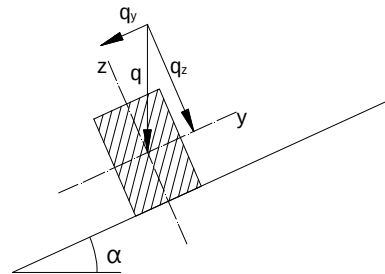
Arcarecci

### sistema e materiale

|                    |      |      |           |                          |
|--------------------|------|------|-----------|--------------------------|
| $l_1 =$            | 7,50 | [m]  | CDS       | II                       |
| $l_{K,L} =$        | 0,00 | [m]  | CDC       | breve                    |
| $l_{K,R} =$        | 0,00 | [m]  |           |                          |
| interasse $i =$    | 0,70 | [m]  | Materiale | GL24h                    |
| largh. trave $b =$ | 18,0 | [cm] | $I_y =$   | 69984 [cm <sup>4</sup> ] |
| alt. trave $h =$   | 36,0 | [cm] | $W_y =$   | 3888 [cm <sup>3</sup> ]  |
| $\alpha =$         | 22,0 | (°)  | $I_z =$   | 17496 [cm <sup>4</sup> ] |
|                    |      |      | $W_z =$   | 1944 [cm <sup>3</sup> ]  |

### Carichi

|                            |              |      |                      |
|----------------------------|--------------|------|----------------------|
| peso proprio               | $g_{k,Ba} =$ | 0,42 | [kN/m <sup>2</sup> ] |
| peso portato               | $g_{k,} =$   | 0,15 | [kN/m <sup>2</sup> ] |
| <b>totale permanente</b>   | $g_{1,k} =$  | 0,57 | [kN/m <sup>2</sup> ] |
| permanente non strutturale | $g_{2,k} =$  | 0,45 | [kN/m <sup>2</sup> ] |
| carico neve                | $q_{s,k} =$  | 1,50 | [kN/m <sup>2</sup> ] |



### Coefficienti di combinazione

|                            | $\gamma_Y$ | $\psi_{0Y}$ | $\psi_{1Y}$ | $\psi_{2Y}$ |
|----------------------------|------------|-------------|-------------|-------------|
| permanente strutturale     | 1,30       |             |             |             |
| permanente non strutturale | 1,50       |             |             |             |
| neve                       | 1,50       | 0,50        | 0,20        | 0,00        |

### Verifiche allo stato limite ultimo

#### Valori di progetto della resistenza

|              |      |                |                            |
|--------------|------|----------------|----------------------------|
| $k_{mod} =$  | 0,9  | $f_{m,d} =$    | 1,49 kN/cm <sup>2</sup>    |
| $k_{def} =$  | 0,8  | $f_{v,d} =$    | 0,17 kN/cm <sup>2</sup>    |
| $k_h =$      | 1,00 | $f_{c,0,d} =$  | 1,49 kN/cm <sup>2</sup>    |
| $k_{red} =$  | 0,7  | $f_{c,90,d} =$ | 0,17 kN/cm <sup>2</sup>    |
| $k_{red} =$  | 0,7  | $f_{t,0,d} =$  | 1,02 kN/cm <sup>2</sup>    |
| $\gamma_M =$ | 1,45 | $E_{0,mean} =$ | 1160,00 kN/cm <sup>2</sup> |
|              |      | $E_{0,05} =$   | 940,00 kN/cm <sup>2</sup>  |
|              |      | $G_{0,05} =$   | 60,00 kN/cm <sup>2</sup>   |

### Reazioni agli appoggi

|             | dir. Z | dir. Y |                   |
|-------------|--------|--------|-------------------|
| $g_{1,k} =$ | 0,53   | 0,21   | kN/m <sup>2</sup> |
| $g_{2,k} =$ | 0,42   | 0,17   | kN/m <sup>2</sup> |
| $q_{k} =$   | 1,39   | 0,56   | kN/m <sup>2</sup> |

### Sollecitazioni allo stato limite ultimo

sollecitazioni per m

|                           | Direzione Z       |                       |                      | Direzione y       |                       |                      |
|---------------------------|-------------------|-----------------------|----------------------|-------------------|-----------------------|----------------------|
|                           | $V_{z,d}$<br>[kN] | $M_{z,St,d}$<br>[kNm] | $M_{z,F,d}$<br>[kNm] | $V_{y,d}$<br>[kN] | $M_{y,St,d}$<br>[kNm] | $M_{y,F,d}$<br>[kNm] |
| permanente                | 2,6               | 0,0                   | 4,8                  | 1,0               | 0,0                   | 1,9                  |
| permanente portato        | 2,9               | 0,0                   | 5,3                  | 1,2               | 0,0                   | 2,2                  |
| variabile                 | 7,8               | 0,0                   | 14,6                 | 3,2               | 0,0                   | 5,9                  |
| <b>TOTALE DI PROGETTO</b> | <b>12,8</b>       | <b>0,0</b>            | <b>24,0</b>          | <b>5,2</b>        | <b>0,0</b>            | <b>9,6</b>           |

### Verifiche allo stato limite ultimo

momento flettente

$$k_m = 0,7$$

in campata

$$\begin{aligned}\sigma_{m,y,d} &= 0,43 \text{ kN/cm}^2 & \sigma_{m,y,d} / f_{m,d} &= 0,29 \\ \sigma_{m,z,d} &= 0,35 \text{ kN/cm}^2 & \sigma_{m,z,d} / f_{m,d} &= 0,23\end{aligned}$$

$$\begin{aligned}\sigma_{m,y,d} / f_{m,d} + k_m \sigma_{m,z,d} / f_{m,d} &= \mathbf{0,44} \leq \mathbf{1} \\ k_m \sigma_{m,y,d} / f_{m,d} + \sigma_{m,z,d} / f_{m,d} &= \mathbf{0,43} \leq \mathbf{1}\end{aligned}$$

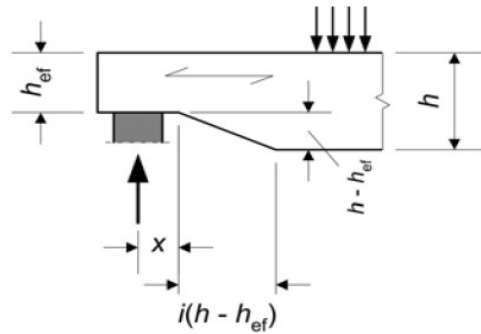
all'appoggio

$$\begin{aligned}\sigma_{m,y,d} &= 0,00 \text{ kN/cm}^2 & \sigma_{m,y,d} / f_{m,d} &= 0,00 \\ \sigma_{m,z,d} &= 0,00 \text{ kN/cm}^2 & \sigma_{m,z,d} / f_{m,d} &= 0,00\end{aligned}$$

$$\begin{aligned}\sigma_{m,y,d} / f_{m,d} + k_m \sigma_{m,z,d} / f_{m,d} &= \mathbf{0,00} \leq \mathbf{1} \\ k_m \sigma_{m,y,d} / f_{m,d} + \sigma_{m,z,d} / f_{m,d} &= \mathbf{0,00} \leq \mathbf{1}\end{aligned}$$

### Forza di taglio in corrispondenza dell'incastro

|                        |             |                       |
|------------------------|-------------|-----------------------|
| $b_{ef}$               | 160         | [mm]                  |
| $x$                    | 28          | [mm]                  |
| $h_{ef}$               | 320         | [mm]                  |
| $\alpha$               | 0,10        |                       |
| $k_n$                  | 6,5         |                       |
| $k_v$                  | 0,69        |                       |
| $\tau_{d,d}$           | 0,04        | [kN/cm <sup>2</sup> ] |
| $\tau_{d,d} / f_{v,d}$ | <b>0,35</b> | $\leq$ <b>1,00</b>    |



### Verifiche allo stato limite di esercizio

#### Verifica delle deformazioni

##### Deformazione iniziale

|            |                  |            |      |                  |             |            |
|------------|------------------|------------|------|------------------|-------------|------------|
| in campata | $w_{G,inst} =$   | 3,7        | [mm] | $w_{Q,inst} =$   | 4,9         | [mm]       |
| sbalzo     | $w_{G,A,inst} =$ | 0,0        | [mm] | $w_{Q,A,inst} =$ | 0,0         | [mm]       |
|            | $w_{G,B,inst} =$ | 0,0        | [mm] | $w_{Q,B,inst} =$ | 0,0         | [mm]       |
|            | $w_{Q,inst} =$   | <b>4,9</b> | [mm] | $< l/300 =$      | 25,0        | mm         |
|            |                  |            |      | $h =$            | <b>0,20</b> | $\leq 1,0$ |

##### Deformazioni a lungo termine

|            |                 |             |      |                 |             |            |
|------------|-----------------|-------------|------|-----------------|-------------|------------|
| in campata | $w_{G,fin} =$   | 6,6         | [mm] | $w_{Q,fin} =$   | 4,9         | [mm]       |
| sbalzo     | $w_{G,A,fin} =$ | 0,0         | [mm] | $w_{Q,A,fin} =$ | 0,0         | [mm]       |
|            | $w_{G,B,fin} =$ | 0,0         | [mm] | $w_{Q,B,fin} =$ | 0,0         | [mm]       |
|            | $w_{Q,fin} =$   | <b>4,9</b>  | [mm] | $< l/200 =$     | 37,5        | mm         |
|            | $w_{fin} =$     | <b>11,6</b> | [mm] | $< l/200 =$     | 37,5        | mm         |
|            |                 |             |      | $h =$           | <b>0,31</b> | $\leq 1,0$ |

S 203

Arcarecci

sistema e materiale

|             |      |     |
|-------------|------|-----|
| $l_1 =$     | 5,60 | [m] |
| $l_{K,L} =$ | 0,00 | [m] |
| $l_{K,R} =$ | 0,00 | [m] |

|     |       |
|-----|-------|
| CDS | II    |
| CDC | breve |

|                 |      |     |
|-----------------|------|-----|
| interasse $i =$ | 0,70 | [m] |
|-----------------|------|-----|

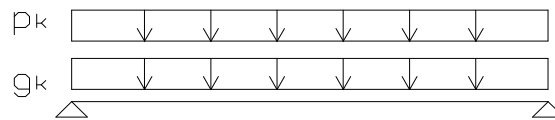
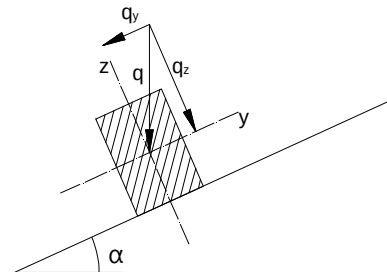
|           |       |
|-----------|-------|
| Materiale | GL24h |
|-----------|-------|

|                    |      |      |
|--------------------|------|------|
| largh. trave $b =$ | 16,0 | [cm] |
| alt. trave $h =$   | 24,0 | [cm] |
| $\alpha =$         | 12,0 | (°)  |

|         |       |                    |
|---------|-------|--------------------|
| $I_y =$ | 18432 | [cm <sup>4</sup> ] |
| $W_y =$ | 1536  | [cm <sup>3</sup> ] |
| $I_z =$ | 8192  | [cm <sup>4</sup> ] |
| $W_z =$ | 1024  | [cm <sup>3</sup> ] |

Carichi

|                            |              |      |                      |
|----------------------------|--------------|------|----------------------|
| peso proprio               | $g_{k,Ba} =$ | 0,25 | [kN/m <sup>2</sup> ] |
| peso portato               | $g_{k,} =$   | 0,15 | [kN/m <sup>2</sup> ] |
| <hr/>                      |              |      |                      |
| totale permanente          | $g_{1,k} =$  | 0,40 | [kN/m <sup>2</sup> ] |
| permanente non strutturale | $g_{2,k} =$  | 0,45 | [kN/m <sup>2</sup> ] |
| <hr/>                      |              |      |                      |
| carico neve                | $q_{s,k} =$  | 1,50 | [kN/m <sup>2</sup> ] |



Coefficienti di combinazione

|                            | $\gamma_Y$ | $\psi_0$ | $\psi_1$ | $\psi_2$ |
|----------------------------|------------|----------|----------|----------|
| permanente strutturale     | 1,30       |          |          |          |
| permanente non strutturale | 1,50       |          |          |          |
| neve                       | 1,50       | 0,50     | 0,20     | 0,00     |

Verifiche allo stato limite ultimo

Valori di progetto della resistenza

|              |      |
|--------------|------|
| $k_{mod} =$  | 0,9  |
| $k_{def} =$  | 0,8  |
| $k_h =$      | 1,00 |
| $k_{red} =$  | 0,7  |
| $k_{red} =$  | 0,7  |
| $\gamma_M =$ | 1,45 |

|                |         |                    |
|----------------|---------|--------------------|
| $f_{m,d} =$    | 1,49    | kN/cm <sup>2</sup> |
| $f_{v,d} =$    | 0,17    | kN/cm <sup>2</sup> |
| $f_{c,0,d} =$  | 1,49    | kN/cm <sup>2</sup> |
| $f_{c,90,d} =$ | 0,17    | kN/cm <sup>2</sup> |
| $f_{t,0,d} =$  | 1,02    | kN/cm <sup>2</sup> |
| $E_{0,mean} =$ | 1160,00 | kN/cm <sup>2</sup> |
| $E_{0,05} =$   | 940,00  | kN/cm <sup>2</sup> |
| $G_{0,05} =$   | 60,00   | kN/cm <sup>2</sup> |

### Reazioni agli appoggi

|             | dir. Z | dir. Y |                   |
|-------------|--------|--------|-------------------|
| $g_{1,k} =$ | 0,39   | 0,08   | kN/m <sup>2</sup> |
| $g_{2,k} =$ | 0,44   | 0,09   | kN/m <sup>2</sup> |
| $q_k =$     | 1,47   | 0,31   | kN/m <sup>2</sup> |

reazioni all'appoggio (per m)

|                           | A <sub>Z</sub><br>[kN] | B <sub>Z</sub><br>[kN] | A <sub>Y</sub><br>[kN] | B <sub>Y</sub><br>[kN] |
|---------------------------|------------------------|------------------------|------------------------|------------------------|
| permanente                | 1,09                   | 1,09                   | 0,22                   | 0,22                   |
| permanente portato        | 1,23                   | 1,23                   | 0,25                   | 0,25                   |
| variabile                 | 4,06                   | 4,06                   | 0,87                   | 0,87                   |
| <b>TOTALE DI PROGETTO</b> | <b>9,35</b>            | <b>9,35</b>            | <b>1,96</b>            | <b>1,96</b>            |

### Sollecitazioni allo stato limite ultimo

sollecitazioni per m

|                           | Direzione Z              |                              |                             | Direzione y              |                              |                             |
|---------------------------|--------------------------|------------------------------|-----------------------------|--------------------------|------------------------------|-----------------------------|
|                           | V <sub>z,d</sub><br>[kN] | M <sub>z,St,d</sub><br>[kNm] | M <sub>z,F,d</sub><br>[kNm] | V <sub>y,d</sub><br>[kN] | M <sub>y,St,d</sub><br>[kNm] | M <sub>y,F,d</sub><br>[kNm] |
| permanente                | 1,6                      | 0,0                          | 2,4                         | 0,3                      | 0,0                          | 0,5                         |
| permanente portato        | 2,0                      | 0,0                          | 3,1                         | 0,4                      | 0,0                          | 0,7                         |
| variabile                 | 6,8                      | 0,0                          | 10,4                        | 1,4                      | 0,0                          | 2,2                         |
| <b>TOTALE DI PROGETTO</b> | <b>9,35</b>              | <b>0,0</b>                   | <b>13,2</b>                 | <b>1,96</b>              | <b>0,0</b>                   | <b>2,76</b>                 |

### Verifiche allo stato limite ultimo

momento flettente

$$k_m = 0,7$$

in campata

$$\begin{aligned}\sigma_{m,y,d} &= 0,60 \text{ kN/cm}^2 & \sigma_{m,y,d} / f_{m,d} &= 0,40 \\ \sigma_{m,z,d} &= 0,19 \text{ kN/cm}^2 & \sigma_{m,z,d} / f_{m,d} &= 0,13\end{aligned}$$

$$\begin{aligned}\sigma_{m,y,d} / f_{m,d} + k_m \sigma_{m,z,d} / f_{m,d} &= \mathbf{0,49} \leq \mathbf{1} \\ k_m \sigma_{m,y,d} / f_{m,d} + \sigma_{m,z,d} / f_{m,d} &= \mathbf{0,41} \leq \mathbf{1}\end{aligned}$$

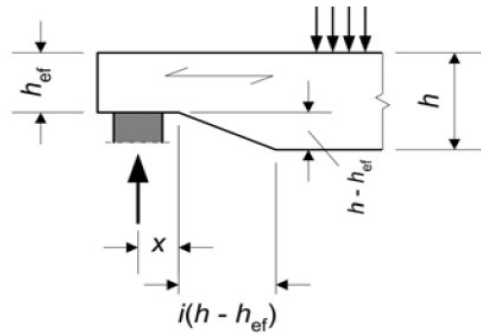
all'appoggio

$$\begin{aligned}\sigma_{m,y,d} &= 0,00 \text{ kN/cm}^2 & \sigma_{m,y,d} / f_{m,d} &= 0,00 \\ \sigma_{m,z,d} &= 0,00 \text{ kN/cm}^2 & \sigma_{m,z,d} / f_{m,d} &= 0,00\end{aligned}$$

$$\begin{aligned}\sigma_{m,y,d} / f_{m,d} + k_m \sigma_{m,z,d} / f_{m,d} &= \mathbf{0,00} \leq \mathbf{1} \\ k_m \sigma_{m,y,d} / f_{m,d} + \sigma_{m,z,d} / f_{m,d} &= \mathbf{0,00} \leq \mathbf{1}\end{aligned}$$

### Forza di taglio in corrispondenza dell'incastro

|                        |             |                       |
|------------------------|-------------|-----------------------|
| $b_{ef}$               | 160         | [mm]                  |
| $x$                    | 28          | [mm]                  |
| $h_{ef}$               | 320         | [mm]                  |
| $\alpha$               | 0,10        |                       |
| $k_n$                  | 6,5         |                       |
| $k_v$                  | 0,71        |                       |
| $\tau_{d,1}$           | 0,03        | [kN/cm <sup>2</sup> ] |
| $\tau_{d,2} / f_{v,d}$ | <b>0,26</b> | $\leq$ <b>1,00</b>    |



### Verifiche allo stato limite di esercizio

#### Verifica delle deformazioni

##### Deformazione iniziale

|            |                  |             |      |                  |             |            |
|------------|------------------|-------------|------|------------------|-------------|------------|
| in campata | $w_{G,inst} =$   | 3,85        | [mm] | $w_{Q,inst} =$   | 6,72        | [mm]       |
| sbalzo     | $w_{G,A,inst} =$ | 0,0         | [mm] | $w_{Q,A,inst} =$ | 0,0         | [mm]       |
|            | $w_{G,B,inst} =$ | 0,0         | [mm] | $w_{Q,B,inst} =$ | 0,0         | [mm]       |
|            | $w_{Q,inst} =$   | <b>6,72</b> | [mm] | $< l/300 =$      | 18,66       | mm         |
|            |                  |             |      | $h =$            | <b>0,36</b> | $\leq 1,0$ |

##### Deformazioni a lungo termine

|            |                 |             |      |                 |             |            |
|------------|-----------------|-------------|------|-----------------|-------------|------------|
| in campata | $w_{G,fin} =$   | 6,88        | [mm] | $w_{Q,fin} =$   | 6,72        | [mm]       |
| sbalzo     | $w_{G,A,fin} =$ | 0,0         | [mm] | $w_{Q,A,fin} =$ | 0,0         | [mm]       |
|            | $w_{G,B,fin} =$ | 0,0         | [mm] | $w_{Q,B,fin} =$ | 0,0         | [mm]       |
|            | $w_{Q,fin} =$   | <b>6,72</b> | [mm] | $< l/200 =$     | 28,0        | mm         |
|            |                 |             |      | $h =$           | <b>0,24</b> | $\leq 1,0$ |
|            | $w_{fin} =$     | <b>13,6</b> | [mm] | $< l/200 =$     | 28,0        | mm         |
|            |                 |             |      | $h =$           | <b>0,49</b> | $\leq 1,0$ |

S 205

Arcarecci

sistema e materiale

|             |      |     |
|-------------|------|-----|
| $l_1 =$     | 4,58 | [m] |
| $l_{K,L} =$ | 0,00 | [m] |
| $l_{K,R} =$ | 0,00 | [m] |

|     |       |
|-----|-------|
| CDS | II    |
| CDC | breve |

|                 |      |     |
|-----------------|------|-----|
| interasse $i =$ | 0,70 | [m] |
|-----------------|------|-----|

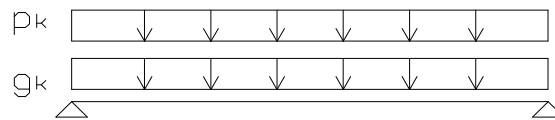
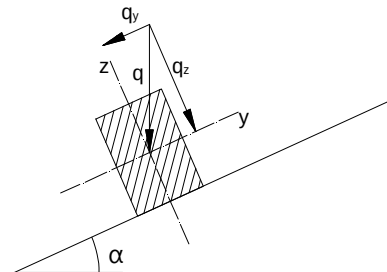
|           |       |
|-----------|-------|
| Materiale | GL24h |
|-----------|-------|

|                    |      |      |
|--------------------|------|------|
| largh. trave $b =$ | 16,0 | [cm] |
| alt. trave $h =$   | 20,0 | [cm] |
| $\alpha =$         | 12,0 | (°)  |

|         |       |                    |
|---------|-------|--------------------|
| $I_y =$ | 10667 | [cm <sup>4</sup> ] |
| $W_y =$ | 1067  | [cm <sup>3</sup> ] |
| $I_z =$ | 6827  | [cm <sup>4</sup> ] |
| $W_z =$ | 853   | [cm <sup>3</sup> ] |

Carichi

|                            |              |      |                      |
|----------------------------|--------------|------|----------------------|
| peso proprio               | $g_{k,Ba} =$ | 0,21 | [kN/m <sup>2</sup> ] |
| peso portato               | $g_{k,} =$   | 0,15 | [kN/m <sup>2</sup> ] |
| <hr/>                      |              |      |                      |
| totale permanente          | $g_{1,k} =$  | 0,36 | [kN/m <sup>2</sup> ] |
| permanente non strutturale | $g_{2,k} =$  | 0,45 | [kN/m <sup>2</sup> ] |
| <hr/>                      |              |      |                      |
| carico neve                | $q_{s,k} =$  | 1,50 | [kN/m <sup>2</sup> ] |



Coefficienti di combinazione

|                            | $\gamma_Y$ | $\psi_{0Y}$ | $\psi_{1Y}$ | $\psi_{2Y}$ |
|----------------------------|------------|-------------|-------------|-------------|
| permanente strutturale     | 1,30       |             |             |             |
| permanente non strutturale | 1,50       |             |             |             |
| neve                       | 1,50       | 0,50        | 0,20        | 0,00        |

Verifiche allo stato limite ultimo

Valori di progetto della resistenza

|              |      |
|--------------|------|
| $k_{mod} =$  | 0,9  |
| $k_{def} =$  | 0,8  |
| $k_h =$      | 1,00 |
| $k_{red} =$  | 0,7  |
| $k_{red} =$  | 0,7  |
| $\gamma_M =$ | 1,45 |

|                |         |                    |
|----------------|---------|--------------------|
| $f_{m,d} =$    | 1,49    | kN/cm <sup>2</sup> |
| $f_{v,d} =$    | 0,17    | kN/cm <sup>2</sup> |
| $f_{c,0,d} =$  | 1,49    | kN/cm <sup>2</sup> |
| $f_{c,90,d} =$ | 0,17    | kN/cm <sup>2</sup> |
| $f_{t,0,d} =$  | 1,02    | kN/cm <sup>2</sup> |
| $E_{0,mean} =$ | 1160,00 | kN/cm <sup>2</sup> |
| $E_{0,05} =$   | 940,00  | kN/cm <sup>2</sup> |
| $G_{0,05} =$   | 60,00   | kN/cm <sup>2</sup> |

### Reazioni agli appoggi

|             | dir. Z | dir. Y |                   |
|-------------|--------|--------|-------------------|
| $g_{1,k} =$ | 0,35   | 0,07   | kN/m <sup>2</sup> |
| $g_{2,k} =$ | 0,44   | 0,09   | kN/m <sup>2</sup> |
| $q_k =$     | 1,47   | 0,31   | kN/m <sup>2</sup> |

### Sollecitazioni allo stato limite ultimo

| sollecitazioni per m      | Direzione Z       |                       |                      | Direzione y       |                       |                      |
|---------------------------|-------------------|-----------------------|----------------------|-------------------|-----------------------|----------------------|
|                           | $V_{z,d}$<br>[kN] | $M_{z,St,d}$<br>[kNm] | $M_{z,F,d}$<br>[kNm] | $V_{y,d}$<br>[kN] | $M_{y,St,d}$<br>[kNm] | $M_{y,F,d}$<br>[kNm] |
| permanente                | 1,04              | 0,0                   | 1,19                 | 0,21              | 0,0                   | 0,24                 |
| permanente portato        | 1,52              | 0,0                   | 1,73                 | 0,85              | 0,0                   | 0,35                 |
| variabile                 | 5,05              | 0,0                   | 5,78                 | 1,06              | 0,0                   | 1,21                 |
| <b>TOTALE DI PROGETTO</b> | <b>7,61</b>       | <b>0,0</b>            | <b>8,7</b>           | <b>1,61</b>       | <b>0,0</b>            | <b>1,8</b>           |

### Verifiche allo stato limite ultimo

momento flettente

$$k_m = 0,7$$

in campata

$$\begin{aligned}\sigma_{m,y,d} &= 0,57 \text{ kN/cm}^2 & \sigma_{m,y,d} / f_{m,d} &= 0,38 \\ \sigma_{m,z,d} &= 0,13 \text{ kN/cm}^2 & \sigma_{m,z,d} / f_{m,d} &= 0,09\end{aligned}$$

$$\begin{aligned}\sigma_{m,y,d} / f_{m,d} + k_m \sigma_{m,z,d} / f_{m,d} &= \mathbf{0,45} \leq \mathbf{1} \\ k_m \sigma_{m,y,d} / f_{m,d} + \sigma_{m,z,d} / f_{m,d} &= \mathbf{0,36} \leq \mathbf{1}\end{aligned}$$

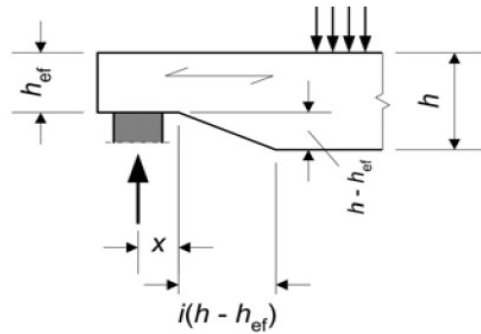
all'appoggio

$$\begin{aligned}\sigma_{m,y,d} &= 0,00 \text{ kN/cm}^2 & \sigma_{m,y,d} / f_{m,d} &= 0,00 \\ \sigma_{m,z,d} &= 0,00 \text{ kN/cm}^2 & \sigma_{m,z,d} / f_{m,d} &= 0,00\end{aligned}$$

$$\begin{aligned}\sigma_{m,y,d} / f_{m,d} + k_m \sigma_{m,z,d} / f_{m,d} &= \mathbf{0,00} \leq \mathbf{1} \\ k_m \sigma_{m,y,d} / f_{m,d} + \sigma_{m,z,d} / f_{m,d} &= \mathbf{0,00} \leq \mathbf{1}\end{aligned}$$

### Forza di taglio in corrispondenza dell'incastro

|                        |             |                       |
|------------------------|-------------|-----------------------|
| $b_{ef}$               | 160         | [mm]                  |
| $x$                    | 28          | [mm]                  |
| $h_{ef}$               | 320         | [mm]                  |
| $\alpha$               | 0,10        |                       |
| $k_n$                  | 6,5         |                       |
| $k_v$                  | 0,70        |                       |
| $\tau_{d,d}$           | 0,02        | [kN/cm <sup>2</sup> ] |
| $\tau_{d,d} / f_{v,d}$ | <b>0,17</b> | $\leq$ <b>1,00</b>    |



### Verifiche allo stato limite di esercizio

#### Verifica delle deformazioni

##### Deformazione iniziale

|            |                  |             |      |                  |             |            |
|------------|------------------|-------------|------|------------------|-------------|------------|
| in campata | $w_{G,inst} =$   | 2,08        | [mm] | $w_{Q,inst} =$   | 3,84        | [mm]       |
| sbalzo     | $w_{G,A,inst} =$ | 0,0         | [mm] | $w_{Q,A,inst} =$ | 0,0         | [mm]       |
|            | $w_{G,B,inst} =$ | 0,0         | [mm] | $w_{Q,B,inst} =$ | 0,0         | [mm]       |
|            | $w_{Q,inst} =$   | <b>5,92</b> | [mm] | $< l/300 =$      | 15,27       | mm         |
|            |                  |             |      | $h =$            | <b>0,39</b> | $\leq 1,0$ |

##### Deformazioni a lungo termine

|            |                 |             |      |                 |             |            |
|------------|-----------------|-------------|------|-----------------|-------------|------------|
| in campata | $w_{G,fin} =$   | 3,72        | [mm] | $w_{Q,fin} =$   | 3,84        | [mm]       |
| sbalzo     | $w_{G,A,fin} =$ | 0,0         | [mm] | $w_{Q,A,fin} =$ | 0,0         | [mm]       |
|            | $w_{G,B,fin} =$ | 0,0         | [mm] | $w_{Q,B,fin} =$ | 0,0         | [mm]       |
|            | $w_{Q,fin} =$   | <b>3,84</b> | [mm] | $< l/200 =$     | 22,9        | mm         |
|            |                 |             |      | $h =$           | <b>0,17</b> | $\leq 1,0$ |
|            | $w_{fin} =$     | <b>7,56</b> | [mm] | $< l/200 =$     | 22,9        | mm         |
|            |                 |             |      | $h =$           | <b>0,33</b> | $\leq 1,0$ |

## T 101

## Trave principale

### Geometria e materiale

|                      |            |                |      |                     |        |                      |
|----------------------|------------|----------------|------|---------------------|--------|----------------------|
|                      | $l_1 =$    | 5,10           | [m]  | $l^*_1 =$           | 5,10   | [m]                  |
|                      | $l_2 =$    | 0,00           | [m]  | $l^*_2 =$           | 0,00   | [m]                  |
| inclinazione         | $\alpha =$ | 0,0            | [°]  |                     |        |                      |
| interasse            | $i =$      | 1,000          | [m]  |                     |        |                      |
| largh. trave         | $b =$      | 24,0           | [cm] | $I_y =$             | 351232 | [cm <sup>4</sup> ]   |
| alt. trave           | $h =$      | 56,0           | [cm] | $I_z =$             | 64512  | [cm <sup>4</sup> ]   |
|                      |            |                |      | $I_{tor} =$         | 205265 | [cm <sup>4</sup> ]   |
|                      |            |                |      | $W_y =$             | 12544  | [cm <sup>3</sup> ]   |
| l da stabilizzare    |            | 5,10           | [m]  | $l_{ef} =$          | 5,71   | [m]                  |
| tipo di carico       |            | Distribuito    |      | $l/l_{ef} =$        | 0,90   | [-]                  |
| p.to di applicazione |            | Zona compressa |      | incremento          | 1,12   | [m]                  |
|                      |            |                |      | $\sigma_{m,crit} =$ | 114,9  | [N/mm <sup>2</sup> ] |
|                      |            |                |      | $\lambda_{rel,m} =$ | 0,46   | [-]                  |
|                      |            |                |      | $k_{crit} =$        | 1,00   | [-]                  |

### Azioni caratteristiche

|                               |             |       |                                                   |
|-------------------------------|-------------|-------|---------------------------------------------------|
| peso proprio                  |             | 0,67  | [kN/m]                                            |
| peso proprio                  |             | 6,75  | [kN/m] pari a: 1,8kN/m <sup>2</sup> * (7,50 / 2)  |
| totale permanente strutturale | $g_{1,k} =$ | 7,42  | [kN/m]                                            |
| permanente non strutturale    | $g_{2,k} =$ | 12,94 | [kN/m] pari a: 3,45kN/m <sup>2</sup> * (7,50 / 2) |
| esercizio                     | $q_{e,k} =$ | 1,88  | [kN/m] pari a: 0,50kN/m <sup>2</sup> * (7,50 / 2) |
| neve                          | $q_{s,k} =$ | 0,00  | [kN/m]                                            |
| vento                         | $q_{w,k} =$ | 0,00  | [kN/m]                                            |

### Coefficienti di combinazione

|                               | $\gamma_\gamma$ | $\psi_{0\psi}$ | $\psi_{1\psi}$ | $\psi_{2\psi}$ |
|-------------------------------|-----------------|----------------|----------------|----------------|
| totale permanente strutturale | 1,30            |                |                |                |
| permanente non strutturale    | 1,50            |                |                |                |
| esercizio                     | 1,50            | 0,00           | 0,00           | 0,00           |
| neve                          | 1,50            | 0,50           | 0,20           | 0,00           |
| vento                         | 1,50            | 0,60           | 0,20           | 0,00           |

## Verifiche allo stato limite ultimo

### Valori di progetto della resistenza

|              |       |                |      |                       |
|--------------|-------|----------------|------|-----------------------|
| materiale    | GL24h | $f_{m,d} =$    | 1,17 | [kN/cm <sup>2</sup> ] |
| CDS          | 1     | $f_{v,d} =$    | 0,17 | [kN/cm <sup>2</sup> ] |
| CDC          | lunga | $f_{c,90,d} =$ | 0,12 | [kN/cm <sup>2</sup> ] |
| $k_h =$      | 1,01  | $E_{0,mean} =$ | 1150 | [kN/cm <sup>2</sup> ] |
| $k_{cr} =$   | 0,67  | $E_{0,05} =$   | 960  | [kN/cm <sup>2</sup> ] |
| $k_{mod} =$  | 0,70  | $G_{0,05} =$   | 54   | [kN/cm <sup>2</sup> ] |
| $k_{def} =$  | 0,60  | $\rho_k =$     | 5,0  | [kN/m <sup>3</sup> ]  |
| $\gamma_m =$ | 1,45  |                |      |                       |

## TOTALE DI PROGETTO

### Sollecitazioni (per trave)

|                    | $V_z$<br>[kN] | $M_{St}$<br>[kNm] | $M_F$<br>[kNm] |
|--------------------|---------------|-------------------|----------------|
| TOTALE DI PROGETTO | 84,85         | 0,00              | 105,20         |

### Verifica a momento flettente e instabilità flessione-torsionale

in campata

$$\sigma_{m,y,d} = 0,83 \text{ kN/cm}^2$$
$$\sigma_{m,y,d} / k_{crit} f_{m,d} = 0,72 \leq 1$$

all'appoggio

$$\sigma_{m,y,d} = 0,00 \text{ kN/cm}^2$$
$$\sigma_{m,y,d} / f_{m,d} = 0,00 \leq 1$$

### Verifica a taglio

$$\tau_{z,d} = 0,14 \text{ kN/cm}^2$$
$$\tau_{z,d} / f_{v,d} = 0,84 \leq 1$$

### Verifica della pressione perpendicolare alle fibre agli appoggi

|                                             | appoggio A      | appoggio B      |
|---------------------------------------------|-----------------|-----------------|
| largh. Pilastro hs                          | 24,0            | 24,0            |
| $b_{eff}$                                   | 16,0            | 16,0            |
| $F_{d,90}$                                  | 84.85           | 84,85           |
| $l_1 \geq 2 \times h$ :                     | Sì              | Sì              |
| $\{a, l, l_1/2\} \geq 3cm$                  | 1               | 1               |
| $k_{c,90} =$                                | 1,75            | 1,75            |
| $A_{eff} = b_{eff} * h_S =$                 | 456             | 456             |
| $\sigma_{c,90} = F_{d,90} / A_{eff} =$      | 0,19            | 0,19            |
| $\sigma_{c,90} / (f_{c,90,d} * k_{c,90}) =$ | <b>0,89</b> ≤ 1 | <b>0,89</b> ≤ 1 |

### Verifiche allo stato limite di esercizio

### Verifica delle deformazioni

|                          |             |
|--------------------------|-------------|
| Criterio di deformazione | <b>alto</b> |
|--------------------------|-------------|

## Deformazione a breve termine

$w_0 = 0,0$  [mm]  
 $w_{G,inst} = 4,6$  [mm]  
 $w_{Q,inst} = 0,4$  [mm]  $< l/500 = 10,2$  mm  $h = 0,04 \leq 1,0$

## Deformazione a lungo termine

[illegible]

## T 102

## Trave principale

### Geometria e materiale

|                      |            |                |      |                     |        |                      |
|----------------------|------------|----------------|------|---------------------|--------|----------------------|
|                      | $l_1 =$    | 5,10           | [m]  | $l^*_1 =$           | 5,10   | [m]                  |
|                      | $l_2 =$    | 0,00           | [m]  | $l^*_2 =$           | 0,00   | [m]                  |
| inclinazione         | $\alpha =$ | 0,0            | [°]  |                     |        |                      |
| interasse            | $i =$      | 1,000          | [m]  |                     |        |                      |
| largh. trave         | $b =$      | 32,0           | [cm] | $I_y =$             | 838485 | [cm <sup>4</sup> ]   |
| alt. trave           | $h =$      | 68,0           | [cm] | $I_z =$             | 185685 | [cm <sup>4</sup> ]   |
|                      |            |                |      | $I_{tor} =$         | 579202 | [cm <sup>4</sup> ]   |
|                      |            |                |      | $W_y =$             | 24661  | [cm <sup>3</sup> ]   |
| l da stabilizzare    |            | 5,10           | [m]  | $l_{ef} =$          | 5,95   | [m]                  |
| tipo di carico       |            | Distribuito    |      | $l/l_{ef} =$        | 0,90   | [-]                  |
| p.to di applicazione |            | Zona compressa |      | incremento          | 1,36   | [m]                  |
|                      |            |                |      | $\sigma_{m,crit} =$ | 159,8  | [N/mm <sup>2</sup> ] |
|                      |            |                |      | $\lambda_{rel,m} =$ | 0,39   | [-]                  |
|                      |            |                |      | $k_{crit} =$        | 1,00   | [-]                  |

### Azioni caratteristiche

|                               |             |       |        |                                                  |
|-------------------------------|-------------|-------|--------|--------------------------------------------------|
| peso proprio                  |             | 0,98  | [kN/m] |                                                  |
| peso proprio                  |             | 11,79 | [kN/m] | pari a: 1,80kN/m <sup>2</sup> * [(7,50+5,6) / 2] |
| totale permanente strutturale | $g_{1,k} =$ | 12,77 | [kN/m] |                                                  |
| permanente non strutturale    | $g_{2,k} =$ | 22,60 | [kN/m] | pari a: 3,45kN/m <sup>2</sup> * [(7,50+5,6) / 2] |
| esercizio                     | $q_{e,k} =$ | 3,28  | [kN/m] | pari a: 0,50kN/m <sup>2</sup> * [(7,50+5,6) / 2] |
| neve                          | $q_{s,k} =$ | 0,00  | [kN/m] |                                                  |
| vento                         | $q_{w,k} =$ | 0,00  | [kN/m] |                                                  |

### Coefficienti di combinazione

|                               | $\gamma\gamma$ | $\psi_0\psi$ | $\psi_1\psi$ | $\psi_2\psi$ |
|-------------------------------|----------------|--------------|--------------|--------------|
| totale permanente strutturale | 1,30           |              |              |              |
| permanente non strutturale    | 1,50           |              |              |              |
| esercizio                     | 1,50           | 1,00         | 0,90         | 0,80         |
| neve                          | 1,50           | 0,50         | 0,20         | 0,00         |
| vento                         | 1,50           | 0,60         | 0,20         | 0,00         |

## Verifiche allo stato limite ultimo

### Valori di progetto della resistenza

|              |       |                |      |                       |
|--------------|-------|----------------|------|-----------------------|
| materiale    | GL24h | $f_{m,d} =$    | 1,16 | [kN/cm <sup>2</sup> ] |
| CDS          | 1     | $f_{v,d} =$    | 0,17 | [kN/cm <sup>2</sup> ] |
| CDC          | lunga | $f_{c,90,d} =$ | 0,12 | [kN/cm <sup>2</sup> ] |
| $k_h =$      | 1,00  | $E_{0,mean} =$ | 1150 | [kN/cm <sup>2</sup> ] |
| $k_{cr} =$   | 0,67  | $E_{0,05} =$   | 960  | [kN/cm <sup>2</sup> ] |
| $k_{mod} =$  | 0,70  | $G_{0,05} =$   | 54   | [kN/cm <sup>2</sup> ] |
| $k_{def} =$  | 0,60  | $\rho_k =$     | 4,5  | [kN/m <sup>3</sup> ]  |
| $\gamma_m =$ | 1,45  |                |      |                       |

## TOTALE DI PROGETTO

### Sollecitazioni

(per trave)

|                    | $V_z$<br>[kN] | $M_{St}$<br>[kNm] | $M_F$<br>[kNm] |
|--------------------|---------------|-------------------|----------------|
| TOTALE DI PROGETTO | 141,20        | 0,00              | 182,38         |

### Verifica a momento flettente e instabilità flessione-torsionale

in campata

$$\sigma_{m,y,d} = 0,74 \text{ kN/cm}^2$$
$$\sigma_{m,y,d} / k_{crit} f_{m,d} = 0,64 \leq 1$$

all'appoggio

$$\sigma_{m,y,d} = 0,00 \text{ kN/cm}^2$$
$$\sigma_{m,y,d} / f_{m,d} = 0,00 \leq 1$$

### Verifica a taglio

$$\tau_{z,d} = 0,16 \text{ kN/cm}^2$$
$$\tau_{z,d} / f_{v,d} = 0,94 \leq 1$$

### Verifica della pressione perpendicolare alle fibre agli appoggi

|                                             | appoggio A           | appoggio B           |
|---------------------------------------------|----------------------|----------------------|
| largh. Pilastro $h_s$                       | 32,0                 | 32,0                 |
| $b_{eff}$                                   | 20,0                 | 20,0                 |
| $F_{d,90}$                                  | 141,4                | 141,4                |
| $l_1 \geq 2 \times h$ :                     | Sì                   | Sì                   |
| $\{a, l, l_1/2\} \geq 3cm$                  | 1                    | 1                    |
| $k_{c,90} =$                                | 1,75                 | 1,75                 |
| $A_{eff} = b_{eff} * h_s =$                 | 736                  | 736                  |
| $\sigma_{c,90} = F_{d,90} / A_{eff} =$      | 0,19                 | 0,19                 |
| $\sigma_{c,90} / (f_{c,90,d} * k_{c,90}) =$ | <b>0,91</b> $\leq 1$ | <b>0,91</b> $\leq 1$ |

### Verifiche allo stato limite di esercizio

#### Verifica delle deformazioni

Criterio di deformazione **alto**

#### Deformazione a breve termine

|                |     |      |             |      |    |       |      |            |
|----------------|-----|------|-------------|------|----|-------|------|------------|
| $w_0 =$        | 0,0 | [mm] |             |      |    |       |      |            |
| $w_{G,inst} =$ | 3,2 | [mm] |             |      |    |       |      |            |
| $w_{Q,inst} =$ | 0,3 | [mm] | $< l/500 =$ | 10,2 | mm | $h =$ | 0,03 | $\leq 1,0$ |

#### Deformazione a lungo termine

|               |     |      |             |      |    |       |      |            |
|---------------|-----|------|-------------|------|----|-------|------|------------|
| $w_{G,fin} =$ | 5,2 | [mm] |             |      |    |       |      |            |
| $w_{Q,fin} =$ | 0,4 | [mm] | $< l/300 =$ | 17,0 | mm | $h =$ | 0,03 | $\leq 1,0$ |
| $w_{fin} =$   | 5,6 | [mm] | $< l/350 =$ | 14,6 | mm | $h =$ | 0,38 | $\leq 1,0$ |

## T 103

## Trave principale

### Geometria e materiale

|                      |            |                |      |                     |        |                      |
|----------------------|------------|----------------|------|---------------------|--------|----------------------|
|                      | $l_1 =$    | 5,10           | [m]  | $l^*_1 =$           | 5,10   | [m]                  |
|                      | $l_2 =$    | 0,00           | [m]  | $l^*_2 =$           | 0,00   | [m]                  |
| inclinazione         | $\alpha =$ | 0,0            | [°]  |                     |        |                      |
| interasse            | $i =$      | 1,000          | [m]  |                     |        |                      |
| largh. trave         | $b =$      | 24,0           | [cm] | $I_y =$             | 170368 | [cm <sup>4</sup> ]   |
| alt. trave           | $h =$      | 44,0           | [cm] | $I_z =$             | 50688  | [cm <sup>4</sup> ]   |
|                      |            |                |      | $I_{tor} =$         | 152758 | [cm <sup>4</sup> ]   |
|                      |            |                |      | $W_y =$             | 7744   | [cm <sup>3</sup> ]   |
| l da stabilizzare    |            | 5,10           | [m]  | $l_{ef} =$          | 5,47   | [m]                  |
| tipo di carico       |            | Distribuito    |      | $l/l_{ef} =$        | 0,90   | [-]                  |
| p.to di applicazione |            | Zona compressa |      | incremento          | 0,88   | [m]                  |
|                      |            |                |      | $\sigma_{m,crit} =$ | 148,5  | [N/mm <sup>2</sup> ] |
|                      |            |                |      | $\lambda_{rel,m} =$ | 0,40   | [-]                  |
|                      |            |                |      | $k_{crit} =$        | 1,00   | [-]                  |

### Azioni caratteristiche

|                               |             |      |        |                                           |
|-------------------------------|-------------|------|--------|-------------------------------------------|
| peso proprio                  |             | 0,48 | [kN/m] |                                           |
| peso proprio                  |             | 5,04 | [kN/m] | pari a: 1,80kN/m <sup>2</sup> * (5,6 / 2) |
| totale permanente strutturale | $g_{1,k} =$ | 5,52 | [kN/m] |                                           |
| permanente non strutturale    | $g_{2,k} =$ | 9,66 | [kN/m] | pari a: 3,45kN/m <sup>2</sup> * (5,6 / 2) |
| esercizio                     | $q_{e,k} =$ | 1,40 | [kN/m] | pari a: 0,50kN/m <sup>2</sup> * (5,6 / 2) |
| neve                          | $q_{s,k} =$ | 0,00 | [kN/m] |                                           |
| vento                         | $q_{w,k} =$ | 0,00 | [kN/m] |                                           |

### Coefficienti di combinazione

|                               | $\gamma_\gamma$ | $\psi_{0\gamma}$ | $\psi_{1\gamma}$ | $\psi_{2\gamma}$ |
|-------------------------------|-----------------|------------------|------------------|------------------|
| totale permanente strutturale | 1,30            |                  |                  |                  |
| permanente non strutturale    | 1,50            |                  |                  |                  |
| esercizio                     | 1,50            | 1,00             | 0,90             | 0,80             |
| neve                          | 1,50            | 0,50             | 0,20             | 0,00             |
| vento                         | 1,50            | 0,60             | 0,20             | 0,00             |

## Verifiche allo stato limite ultimo

### Valori di progetto della resistenza

|              |       |                |                            |
|--------------|-------|----------------|----------------------------|
| materiale    | GL24h | $f_{m,d} =$    | 1,20 [kN/cm <sup>2</sup> ] |
| CDS          | 1     | $f_{v,d} =$    | 0,17 [kN/cm <sup>2</sup> ] |
| CDC          | lunga | $f_{c,90,d} =$ | 0,12 [kN/cm <sup>2</sup> ] |
| $k_h =$      | 1,03  | $E_{0,mean} =$ | 1150 [kN/cm <sup>2</sup> ] |
| $k_{cr} =$   | 0,67  | $E_{0,05} =$   | 960 [kN/cm <sup>2</sup> ]  |
| $k_{mod} =$  | 0,70  | $G_{0,05} =$   | 54 [kN/cm <sup>2</sup> ]   |
| $k_{def} =$  | 0,60  | $\rho_k =$     | 4,5 [kN/m <sup>3</sup> ]   |
| $\gamma_m =$ | 1,45  |                |                            |

## TOTALE DI PROGETTO

### Sollecitazioni

(per trave)

|                    | $V_z$<br>[kN] | $M_{St}$<br>[kNm] | $M_F$<br>[kNm] |
|--------------------|---------------|-------------------|----------------|
| TOTALE DI PROGETTO | 60,70         | 0,00              | 74,66          |

### Verifica a momento flettente e instabilità flessio-torsionale

in campata

$$\sigma_{m,y,d} = 0,96 \text{ kN/cm}^2$$
$$\sigma_{m,y,d} / k_{crit} f_{m,d} = \mathbf{0,81} \leq \mathbf{1}$$

all'appoggio

$$\sigma_{m,y,d} = 0,00 \text{ kN/cm}^2$$
$$\sigma_{m,y,d} / f_{m,d} = \mathbf{0,00} \leq \mathbf{1}$$

### Verifica a taglio

$$\tau_{z,d} = 0,13 \text{ kN/cm}^2$$
$$\tau_{z,d} / f_{v,d} = \mathbf{0,76} \leq \mathbf{1}$$

### Verifica della pressione perpendicolare alle fibre agli appoggi

|                                             | appoggio A           | appoggio B           |
|---------------------------------------------|----------------------|----------------------|
| largh. Pilastro $h_s$                       | 24,0                 | 24,0                 |
| $b_{eff}$                                   | 12,0                 | 12,0                 |
| $F_{d,90}$                                  | 60,6                 | 60,6                 |
| $l_1 \geq 2 \times h$ :                     | Sì                   | Sì                   |
| $\{a, l, l_1/2\} \geq 3cm$                  | 1                    | 1                    |
| $k_{c,90} =$                                | 1,75                 | 1,75                 |
| $A_{eff} = b_{eff} * h_s =$                 | 360                  | 360                  |
| $\sigma_{c,90} = F_{d,90} / A_{eff} =$      | 0,17                 | 0,17                 |
| $\sigma_{c,90} / (f_{c,90,d} * k_{c,90}) =$ | <b>0,80</b> $\leq 1$ | <b>0,80</b> $\leq 1$ |

### Verifiche allo stato limite di esercizio

#### Verifica delle deformazioni

Criterio di deformazione **alto**

#### Deformazione a breve termine

|                |     |      |             |      |    |       |      |            |
|----------------|-----|------|-------------|------|----|-------|------|------------|
| $w_0 =$        | 0,0 | [mm] |             |      |    |       |      |            |
| $w_{G,inst} =$ | 6,8 | [mm] |             |      |    |       |      |            |
| $w_{Q,inst} =$ | 0,6 | [mm] | $< l/500 =$ | 10,2 | mm | $h =$ | 0,06 | $\leq 1,0$ |

#### Deformazione a lungo termine

|               |      |      |             |      |    |       |      |            |
|---------------|------|------|-------------|------|----|-------|------|------------|
| $w_{G,fin} =$ | 10,9 | [mm] |             |      |    |       |      |            |
| $w_{Q,fin} =$ | 0,9  | [mm] | $< l/300 =$ | 17,0 | mm | $h =$ | 0,05 | $\leq 1,0$ |
| $w_{fin} =$   | 11,9 | [mm] | $< l/350 =$ | 14,5 | mm | $h =$ | 0,82 | $\leq 1,0$ |

## T 203

## Trave principale

### Geometria e materiale

|                      |            |                |      |                     |        |                      |
|----------------------|------------|----------------|------|---------------------|--------|----------------------|
|                      | $l_1 =$    | 4,80           | [m]  | $l^*_1 =$           | 4,91   | [m]                  |
|                      | $l_2 =$    | 0,00           | [m]  | $l^*_2 =$           | 0,00   | [m]                  |
| inclinazione         | $\alpha =$ | 12,0           | [°]  |                     |        |                      |
| interasse            | $i =$      | 1,000          | [m]  |                     |        |                      |
| largh. trave         | $b =$      | 20,0           | [cm] | $I_y =$             | 141973 | [cm <sup>4</sup> ]   |
| alt. trave           | $h =$      | 44,0           | [cm] | $I_z =$             | 29333  | [cm <sup>4</sup> ]   |
|                      |            |                |      | $I_{tor} =$         | 92190  | [cm <sup>4</sup> ]   |
|                      |            |                |      | $W_y =$             | 6453   | [cm <sup>3</sup> ]   |
| l da stabilizzare    |            | 4,91           | [m]  | $l_{ef} =$          | 5,30   | [m]                  |
| tipo di carico       |            | Distribuito    |      | $l/l_{ef} =$        | 0,90   | [-]                  |
| p.to di applicazione |            | Zona compressa |      | incremento          | 0,88   | [m]                  |
|                      |            |                |      | $\sigma_{m,crit} =$ | 108,8  | [N/mm <sup>2</sup> ] |
|                      |            |                |      | $\lambda_{rel,m} =$ | 0,47   | [-]                  |
|                      |            |                |      | $k_{crit} =$        | 1,00   | [-]                  |

### Azioni caratteristiche

|                               |             |      |        |                                                  |
|-------------------------------|-------------|------|--------|--------------------------------------------------|
| peso proprio                  |             | 0,40 | [kN/m] |                                                  |
| peso proprio                  |             | 3,06 | [kN/m] | pari a: 0,60kN/m <sup>2</sup> * [(5,6+4,58) / 2] |
| totale permanente strutturale | $g_{1,k} =$ | 3,46 | [kN/m] |                                                  |
| permanente non strutturale    | $g_{2,k} =$ | 2,30 | [kN/m] | pari a: 0,45kN/m <sup>2</sup> * [(5,6+4,58) / 2] |
| esercizio                     | $q_{e,k} =$ | 0,00 | [kN/m] |                                                  |
| neve                          | $q_{s,k} =$ | 7,65 | [kN/m] | pari a: 1,50kN/m <sup>2</sup> * [(5,6+4,58) / 2] |
| vento                         | $q_{w,k} =$ | 0,00 | [kN/m] |                                                  |

### Coefficienti di combinazione

|                               | $\gamma_\gamma$ | $\psi_{0\psi}$ | $\psi_{1\psi}$ | $\psi_{2\psi}$ |
|-------------------------------|-----------------|----------------|----------------|----------------|
| totale permanente strutturale | 1,30            |                |                |                |
| permanente non strutturale    | 1,50            |                |                |                |
| esercizio                     | 1,50            | 0,70           | 0,50           | 0,30           |
| neve                          | 1,50            | 0,50           | 0,20           | 0,00           |
| vento                         | 1,50            | 0,60           | 0,20           | 0,00           |

## Verifiche allo stato limite ultimo

### Valori di progetto della resistenza

|              |       |                |      |                       |
|--------------|-------|----------------|------|-----------------------|
| materiale    | GL24h | $f_{m,d} =$    | 1,37 | [kN/cm <sup>2</sup> ] |
| CDS          | 1     | $f_{v,d} =$    | 0,19 | [kN/cm <sup>2</sup> ] |
| CDC          | media | $f_{c,90,d} =$ | 0,14 | [kN/cm <sup>2</sup> ] |
| $k_h =$      | 1,03  | $E_{0,mean} =$ | 1150 | [kN/cm <sup>2</sup> ] |
| $k_{cr} =$   | 0,67  | $E_{0,05} =$   | 960  | [kN/cm <sup>2</sup> ] |
| $k_{mod} =$  | 0,80  | $G_{0,05} =$   | 54   | [kN/cm <sup>2</sup> ] |
| $k_{def} =$  | 0,60  | $\rho_k =$     | 4,5  | [kN/m <sup>3</sup> ]  |
| $\gamma_m =$ | 1,45  |                |      |                       |

## TOTALE DI PROGETTO

### Sollecitazioni (per trave)

|                    | $V_z$<br>[kN] | $M_{St}$<br>[kNm] | $M_F$<br>[kNm] |
|--------------------|---------------|-------------------|----------------|
| TOTALE DI PROGETTO | 45,98         | 0,00              | 56,41          |

### Verifica a momento flettente e instabilità flessio-torsionale

in campata

$$\sigma_{m,y,d} = 0,87 \text{ kN/cm}^2$$
$$\sigma_{m,y,d} / k_{crit} f_{m,d} = \mathbf{0,64} \leq \mathbf{1}$$

all'appoggio

$$\sigma_{m,y,d} = 0,00 \text{ kN/cm}^2$$
$$\sigma_{m,y,d} / f_{m,d} = \mathbf{0,00} \leq \mathbf{1}$$

### Verifica a taglio

$$\tau_{z,d} = 0,12 \text{ kN/cm}^2$$
$$\tau_{z,d} / f_{v,d} = \mathbf{0,61} \leq \mathbf{1}$$

### Verifica della pressione perpendicolare alle fibre agli appoggi

|                                             | appoggio A           | appoggio B           |
|---------------------------------------------|----------------------|----------------------|
| largh. Pilastro $h_s$                       | 20,0                 | 20,0                 |
| $b_{eff}$                                   | 12,0                 | 12,0                 |
| $F_{d,90}$                                  | 46,0                 | 46,0                 |
| $l_1 \geq 2 \times h$ :                     | Sì                   | Sì                   |
| $\{a, l, l_1/2\} \geq 3cm$                  | 1                    | 1                    |
| $k_{c,90} =$                                | 1,75                 | 1,75                 |
| $A_{eff} = b_{eff} * h_s =$                 | 300                  | 300                  |
| $\sigma_{c,90} = F_{d,90} / A_{eff} =$      | 0,15                 | 0,15                 |
| $\sigma_{c,90} / (f_{c,90,d} * k_{c,90}) =$ | <b>0,64</b> $\leq 1$ | <b>0,64</b> $\leq 1$ |

### Verifiche allo stato limite di esercizio

#### Verifica delle deformazioni

Criterio di deformazione **alto**

#### Deformazione a breve termine

|                |     |      |             |     |    |       |             |            |
|----------------|-----|------|-------------|-----|----|-------|-------------|------------|
| $w_0 =$        | 0,0 | [mm] |             |     |    |       |             |            |
| $w_{G,inst} =$ | 2,6 | [mm] |             |     |    |       |             |            |
| $w_{Q,inst} =$ | 3,4 | [mm] | $< l/500 =$ | 9,8 | mm | $h =$ | <b>0,34</b> | $\leq 1,0$ |

#### Deformazione a lungo termine

|               |     |      |             |      |    |       |             |            |
|---------------|-----|------|-------------|------|----|-------|-------------|------------|
| $w_{G,fin} =$ | 4,2 | [mm] |             |      |    |       |             |            |
| $w_{Q,fin} =$ | 3,4 | [mm] | $< l/300 =$ | 16,4 | mm | $h =$ | <b>0,21</b> | $\leq 1,0$ |
| $w_{fin} =$   | 7,5 | [mm] | $< l/350 =$ | 13,7 | mm | $h =$ | <b>0,55</b> | $\leq 1,0$ |

T 206

Colmo

## Geometria e materiale

|                      |                |       |      |                     |       |                      |
|----------------------|----------------|-------|------|---------------------|-------|----------------------|
|                      | $l_1 =$        | 4,58  | [m]  | $l^*_1 =$           | 7,50  | [m]                  |
|                      | $l_2 =$        | 0,00  | [m]  | $l^*_2 =$           | 0,00  | [m]                  |
| inclinazione         | $\alpha =$     | 0,0   | [°]  |                     |       |                      |
| interasse            | $i =$          | 1,000 | [m]  |                     |       |                      |
| largh. trave         | $b =$          | 20,0  | [cm] | $I_y =$             | 77760 | [cm <sup>4</sup> ]   |
| alt. trave           | $h =$          | 36,0  | [cm] | $I_z =$             | 24000 | [cm <sup>4</sup> ]   |
|                      |                |       |      | $I_{tor} =$         | 72000 | [cm <sup>4</sup> ]   |
|                      |                |       |      | $W_y =$             | 4320  | [cm <sup>3</sup> ]   |
| l da stabilizzare    |                | 7,50  | [m]  | $l_{ef} =$          | 7,47  | [m]                  |
| tipo di carico       | Distribuito    |       |      | $l/l_{ef} =$        | 0,90  | [-]                  |
| p.to di applicazione | Zona compressa |       |      | incremento          | 0,72  | [m]                  |
|                      |                |       |      | $\sigma_{m,crit} =$ | 92,1  | [N/mm <sup>2</sup> ] |
|                      |                |       |      | $\lambda_{rel,m} =$ | 0,51  | [-]                  |
|                      |                |       |      | $k_{crit} =$        | 1,00  | [-]                  |

## Azioni caratteristiche

|                               |             |      |        |
|-------------------------------|-------------|------|--------|
| peso proprio                  |             | 0,36 | [kN/m] |
| peso proprio                  |             | 0,15 | [kN/m] |
| totale permanente strutturale | $g_{1,k} =$ | 0,51 | [kN/m] |
| permanente non strutturale    | $g_{2,k} =$ | 0,45 | [kN/m] |
| esercizio                     | $q_{e,k} =$ | 0,00 | [kN/m] |
| neve                          | $q_{s,k} =$ | 1,50 | [kN/m] |
| vento                         | $q_{w,k} =$ | 0,00 | [kN/m] |

## Coefficienti di combinazione

|                               | $\gamma_\gamma$ | $\psi_0$ | $\psi_1$ | $\psi_2$ |
|-------------------------------|-----------------|----------|----------|----------|
| totale permanente strutturale | 1,30            |          |          |          |
| permanente non strutturale    | 1,50            |          |          |          |
| esercizio                     | 1,50            | 0,70     | 0,50     | 0,30     |
| neve                          | 1,50            | 0,50     | 0,20     | 0,00     |
| vento                         | 1,50            | 0,60     | 0,20     | 0,00     |

## Verifiche allo stato limite ultimo

### Valori di progetto della resistenza

|              |       |                |      |                       |
|--------------|-------|----------------|------|-----------------------|
| materiale    | GL24h | $f_{m,d} =$    | 1,57 | [kN/cm <sup>2</sup> ] |
| CDS          | 1     | $f_{v,d} =$    | 0,22 | [kN/cm <sup>2</sup> ] |
| CDC          | breve | $f_{c,90,d} =$ | 0,16 | [kN/cm <sup>2</sup> ] |
| $k_h =$      | 1,05  | $E_{0,mean} =$ | 1150 | [kN/cm <sup>2</sup> ] |
| $k_{cr} =$   | 0,67  | $E_{0,05} =$   | 960  | [kN/cm <sup>2</sup> ] |
| $k_{mod} =$  | 0,90  | $G_{0,05} =$   | 54   | [kN/cm <sup>2</sup> ] |
| $k_{def} =$  | 0,60  | $\rho_k =$     | 5,0  | [kN/m <sup>3</sup> ]  |
| $\gamma_m =$ | 1,45  |                |      |                       |

## TOTALE DI PROGETTO

### Sollecitazioni (per trave)

|                    | $V_z$<br>[kN] | $M_{St}$<br>[kNm] | $M_F$<br>[kNm] |
|--------------------|---------------|-------------------|----------------|
| TOTALE DI PROGETTO | 8,21          | 0,00              | 9,40           |

### Verifica a momento flettente e instabilità flessio-torsionale

in campata

$$\sigma_{m,y,d} = 0,22 \text{ kN/cm}^2$$
$$\sigma_{m,y,d} / k_{crit} f_{m,d} = 0,14 \leq 1$$

all'appoggio

$$\sigma_{m,y,d} = 0,00 \text{ kN/cm}^2$$
$$\sigma_{m,y,d} / f_{m,d} = 0,00 \leq 1$$

### Verifica a taglio

$$\tau_{z,d} = 0,021 \text{ kN/cm}^2$$
$$\tau_{z,d} / f_{v,d} = 0,10 \leq 1$$

### Verifica dell'appoggio intagliato

|                            |                         |      |                        |      |      |
|----------------------------|-------------------------|------|------------------------|------|------|
| Appoggio                   | A                       |      |                        |      |      |
| $V_d =$                    | 7,84                    | [kN] | $h_{ef} / h_{netto} =$ | 0,81 | [-]  |
| intaglio sopra $h_1 =$     | 0                       | [mm] | $h_{ef} =$             | 290  | [mm] |
| intaglio sotto $h_2 =$     | 70                      | [mm] | $k_n =$                | 6,5  | [-]  |
| distanza da appoggio $x =$ | 0                       | [mm] | $k_v =$                | 0,87 | [-]  |
| inclinazione intaglio $=$  | 0                       | [°]  | $i =$                  | 0,0  | [-]  |
|                            |                         |      |                        |      |      |
|                            | $\tau_{d,} =$           | 0,05 | [kN/cm²]               |      |      |
|                            | $\tau_{d,} / f_{v,d} =$ | 0,29 | $\leq 1$               |      |      |

|            |                               |       |                  |        |         |
|------------|-------------------------------|-------|------------------|--------|---------|
| Viti       | 8,0x300mm                     |       | $f_{1,k} =$      | 11,55  | [N/mm²] |
| $n =$      | 6                             |       | $R_{ax,k} =$     | 27,72  | [kN]    |
| $d =$      | 8                             | [mm]  | $R_{ax,d} =$     | 17,21  | [kN]    |
| $l_{ef} =$ | 300                           | [mm]  | $R_{ax,d,tot} =$ | 103,25 | [kN]    |
|            |                               |       |                  |        |         |
|            | $F_{t,90,d} =$                | 18,22 | [kN]             |        |         |
|            | $R_{ax,d,tot} / F_{t,90,d} =$ | 0,18  | $\leq 1$         |        |         |

### Verifica della pressione perpendicolare alle fibre agli appoggi

|                                             |               |               |
|---------------------------------------------|---------------|---------------|
|                                             | appoggio A    | appoggio B    |
| largh. Pilastro $h_s$                       | 20,0          | 20,0          |
| $b_{eff}$                                   | 12,0          | 12,0          |
| $F_{d,90}$                                  | 7,84          | 7,84          |
| $l_1 \geq 2 \times h$                       | Sì            | Sì            |
| $\{a, l, l_1/2\} \geq 3cm$                  | 1             | 1             |
| $k_{c,90} =$                                | 1,75          | 1,75          |
| $A_{eff} = b_{eff} * h_s =$                 | 300           | 300           |
| $\sigma_{c,90} = F_{d,90} / A_{eff} =$      | 0,026         | 0,026         |
| $\sigma_{c,90} / (f_{c,90,d} * k_{c,90}) =$ | 0,09 $\leq 1$ | 0,09 $\leq 1$ |

### Verifiche allo stato limite di esercizio

#### Verifica delle deformazioni

Criterio di deformazione **alto**

#### Deformazione a breve termine

|                |      |      |             |      |    |       |      |            |
|----------------|------|------|-------------|------|----|-------|------|------------|
| $w_0 =$        | 0,0  | [mm] |             |      |    |       |      |            |
| $w_{G,inst} =$ | 1,67 | [mm] |             |      |    |       |      |            |
| $w_{Q,inst} =$ | 2,35 | [mm] | $< l/500 =$ | 8,76 | mm | $h =$ | 0,27 | $\leq 1,0$ |

#### Deformazione a lungo termine

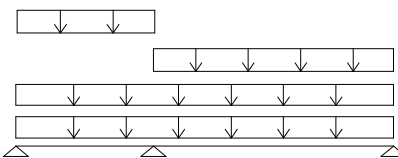
|               |      |      |             |      |    |       |      |            |
|---------------|------|------|-------------|------|----|-------|------|------------|
| $w_{G,fin} =$ | 2,66 | [mm] |             |      |    |       |      |            |
| $w_{Q,fin} =$ | 2,35 | [mm] | $< l/300 =$ | 14,6 | mm | $h =$ | 0,16 | $\leq 1,0$ |
| $w_{fin} =$   | 5,01 | [mm] | $< l/350 =$ | 12,5 | mm | $h =$ | 0,40 | $\leq 1,0$ |

T 207

## Trave principale

## Geometria e materiale

|                      |            |                |      |                     |        |                      |
|----------------------|------------|----------------|------|---------------------|--------|----------------------|
|                      | $l_1 =$    | 5,40           | [m]  | $l^*_1 =$           | 5,52   | [m]                  |
|                      | $l_2 =$    | 0,00           | [m]  | $l^*_2 =$           | 0,00   | [m]                  |
| inclinazione         | $\alpha =$ | 12,0           | [°]  |                     |        |                      |
| interasse            | $i =$      | 1,000          | [m]  |                     |        |                      |
| largh. trave         | $b =$      | 20,0           | [cm] | $I_y =$             | 141973 | [cm <sup>4</sup> ]   |
| alt. trave           | $h =$      | 44,0           | [cm] | $I_z =$             | 29333  | [cm <sup>4</sup> ]   |
|                      |            |                |      | $I_{tor} =$         | 92190  | [cm <sup>4</sup> ]   |
|                      |            |                |      | $W_y =$             | 6453   | [cm <sup>3</sup> ]   |
| l da stabilizzare    |            | 5,52           | [m]  | $l_{ef} =$          | 5,85   | [m]                  |
| tipo di carico       |            | Distribuito    |      | $l/l_{ef} =$        | 0,90   | [-]                  |
| p.to di applicazione |            | Zona compressa |      | incremento          | 0,88   | [m]                  |
|                      |            |                |      | $\sigma_{m,crit} =$ | 98,6   | [N/mm <sup>2</sup> ] |
|                      |            |                |      | $\lambda_{rel,m} =$ | 0,49   | [-]                  |
|                      |            |                |      | $k_{crit} =$        | 1,00   | [-]                  |
| CC 3: $p_k$          |            |                |      |                     |        |                      |
| CC 2: $p_k$          |            |                |      |                     |        |                      |
| CC 1: $p_k$          |            |                |      |                     |        |                      |
| $g_k$                |            |                |      |                     |        |                      |



## Azioni caratteristiche

|                               |             |      |        |                                                  |
|-------------------------------|-------------|------|--------|--------------------------------------------------|
| peso proprio                  |             | 0,40 | [kN/m] |                                                  |
| peso proprio                  |             | 3,90 | [kN/m] | pari a: 0,60kN/m <sup>2</sup> * [(5,6+7,50) / 2] |
| totale permanente strutturale | $g_{1,k} =$ | 4,30 | [kN/m] |                                                  |
| permanente non strutturale    | $g_{2,k} =$ | 2,93 | [kN/m] | pari a: 0,45kN/m <sup>2</sup> * [(5,6+7,50) / 2] |
| esercizio                     | $q_{e,k} =$ | 0,00 | [kN/m] |                                                  |
| neve                          | $q_{s,k} =$ | 9,75 | [kN/m] | pari a: 1,50kN/m <sup>2</sup> * [(5,6+7,50) / 2] |
| vento                         | $q_{w,k} =$ | 0,00 | [kN/m] |                                                  |

## Coefficienti di combinazione

|                               | $\gamma_\gamma$ | $\psi_{0\psi}$ | $\psi_{1\psi}$ | $\psi_{2\psi}$ |
|-------------------------------|-----------------|----------------|----------------|----------------|
| totale permanente strutturale | 1,30            |                |                |                |
| permanente non strutturale    | 1,50            |                |                |                |
| esercizio                     | 1,50            | 0,70           | 0,50           | 0,30           |
| neve                          | 1,50            | 0,50           | 0,20           | 0,00           |
| vento                         | 1,50            | 0,60           | 0,20           | 0,00           |

## Verifiche allo stato limite ultimo

### Valori di progetto della resistenza

|              |       |                |      |                       |
|--------------|-------|----------------|------|-----------------------|
| materiale    | GL24h | $f_{m,d} =$    | 1,54 | [kN/cm <sup>2</sup> ] |
| CDS          | 1     | $f_{v,d} =$    | 0,22 | [kN/cm <sup>2</sup> ] |
| CDC          | breve | $f_{c,90,d} =$ | 0,16 | [kN/cm <sup>2</sup> ] |
| $k_h =$      | 1,03  | $E_{0,mean} =$ | 1150 | [kN/cm <sup>2</sup> ] |
| $k_{cr} =$   | 0,67  | $E_{0,05} =$   | 960  | [kN/cm <sup>2</sup> ] |
| $k_{mod} =$  | 0,90  | $G_{0,05} =$   | 54   | [kN/cm <sup>2</sup> ] |
| $k_{def} =$  | 0,60  | $\rho_k =$     | 4,5  | [kN/m <sup>3</sup> ]  |
| $\gamma_m =$ | 1,45  |                |      |                       |

## TOTALE DI PROGETTO

### Sollecitazioni

(per trave)

|                    | $V_z$<br>[kN] | $M_{St}$<br>[kNm] | $M_F$<br>[kNm] |
|--------------------|---------------|-------------------|----------------|
| TOTALE DI PROGETTO | 67,22         | 0,00              | 92,89          |

### Verifica a momento flettente e instabilità flessio-torsionale

in campata

$$\sigma_{m,y,d} = 1,44 \text{ kN/cm}^2$$
$$\sigma_{m,y,d} / k_{crit} f_{m,d} = 0,93 \leq 1$$

all'appoggio

$$\sigma_{m,y,d} = 0,00 \text{ kN/cm}^2$$
$$\sigma_{m,y,d} / f_{m,d} = 0,00 \leq 1$$

### Verifica a taglio

$$\tau_{z,d} = 0,17 \text{ kN/cm}^2$$
$$\tau_{z,d} / f_{v,d} = 0,78 \leq 1$$

### Verifica della pressione perpendicolare alle fibre agli appoggi

|                                             | appoggio A           | appoggio B           |
|---------------------------------------------|----------------------|----------------------|
| largh. Pilastro $h_s$                       | 20,0                 | 20,0                 |
| $b_{eff}$                                   | 12,0                 | 25,0                 |
| $F_{d,90}$                                  | 67,22                | 67,22                |
| $l_1 \geq 2 \times h$ :                     | Sì                   | Sì                   |
| $\{a, l, l_1/2\} \geq 3cm$                  | 1                    | 2                    |
| $k_{c,90} =$                                | 1,75                 | 1,75                 |
| $A_{eff} = b_{eff} * h_s =$                 | 300                  | 620                  |
| $\sigma_{c,90} = F_{d,90} / A_{eff} =$      | 0,23                 | 0,11                 |
| $\sigma_{c,90} / (f_{c,90,d} * k_{c,90}) =$ | <b>0,82</b> $\leq 1$ | <b>0,40</b> $\leq 1$ |

### Verifiche allo stato limite di esercizio

#### Verifica delle deformazioni

Criterio di deformazione **alto**

#### Deformazione a breve termine

|                |     |      |             |      |    |       |      |            |
|----------------|-----|------|-------------|------|----|-------|------|------------|
| $w_0 =$        | 0,0 | [mm] |             |      |    |       |      |            |
| $w_{G,inst} =$ | 5,2 | [mm] |             |      |    |       |      |            |
| $w_{Q,inst} =$ | 6,9 | [mm] | $< l/500 =$ | 11,0 | mm | $h =$ | 0,63 | $\leq 1,0$ |

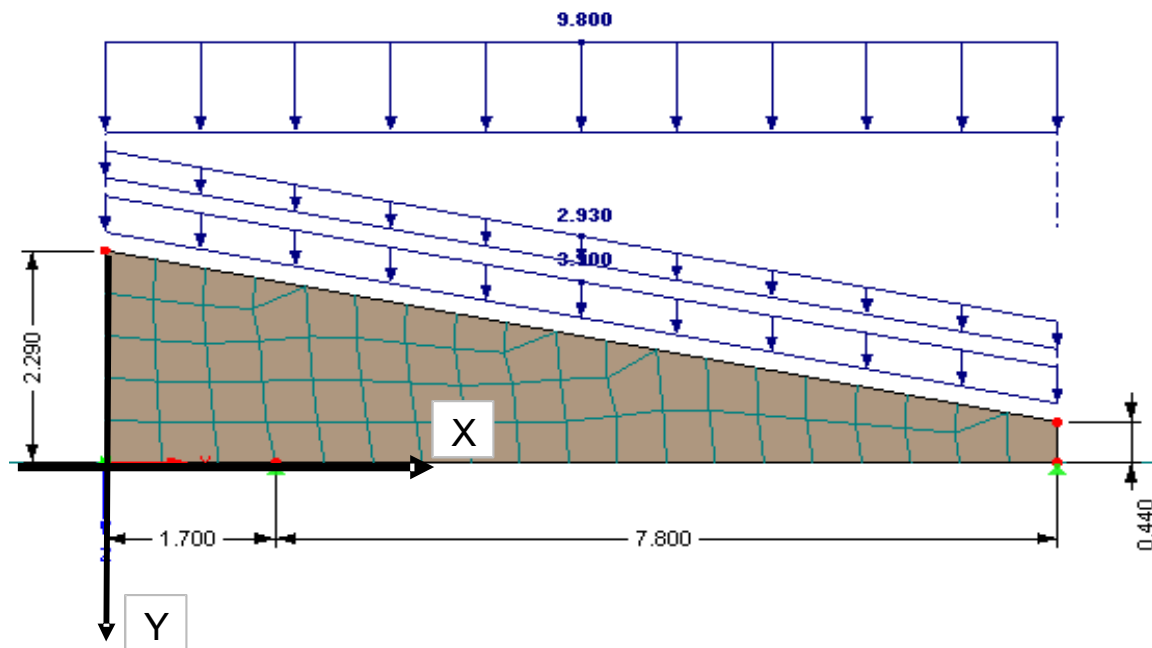
#### Deformazione a lungo termine

|               |      |      |             |      |    |       |      |            |
|---------------|------|------|-------------|------|----|-------|------|------------|
| $w_{G,fin} =$ | 8,4  | [mm] |             |      |    |       |      |            |
| $w_{Q,fin} =$ | 6,9  | [mm] | $< l/300 =$ | 18,4 | mm | $h =$ | 0,38 | $\leq 1,0$ |
| $w_{fin} =$   | 15,3 | [mm] | $< l/350 =$ | 15,5 | mm | $h =$ | 0,98 | $\leq 1,0$ |

## W 201 Trave parete

### Geometria

|                         |      |   |
|-------------------------|------|---|
| lunghezza campata: L =  | 7,80 | m |
| lunghezza sbalzo: Lsb = | 0,00 | m |
| altezza parete: H =     | 2,25 | m |



### Materiale

La parete è stata modellata agli elementi finiti come piastra ortotropa con differenti rigidità nelle due direzioni ortogonali corrispondenti a quella delle tavole.

Elemento 1 pannello X-LAM 240mm DL

|           |     |
|-----------|-----|
| Materiale | C24 |
|-----------|-----|

|                                   |   |            |           |
|-----------------------------------|---|------------|-----------|
| somma degli strati in direzione X | = | 200        | mm        |
| somma degli strati in direzione Y | = | 40         | mm        |
|                                   |   | <b>240</b> | <b>mm</b> |

|            |       |
|------------|-------|
| CDS        | 1     |
| CDC        | breve |
| $k_{mod}$  | 0,9   |
| $k_{def}$  | 0,6   |
| $\gamma_m$ | 1,50  |

|              |      |      |                    |
|--------------|------|------|--------------------|
| $E_{0,mean}$ | 1100 | 1100 | kN/cm <sup>2</sup> |
| $f_{t,0,d}$  | 0,84 | 0,84 | kN/cm <sup>2</sup> |
| $f_{c,0,d}$  | 1,26 | 1,26 | kN/cm <sup>2</sup> |

### Spessore efficace pannello

|             |          |
|-------------|----------|
| $d_{eff,x}$ | 200,0 mm |
| $d_{eff,y}$ | 40,0 mm  |

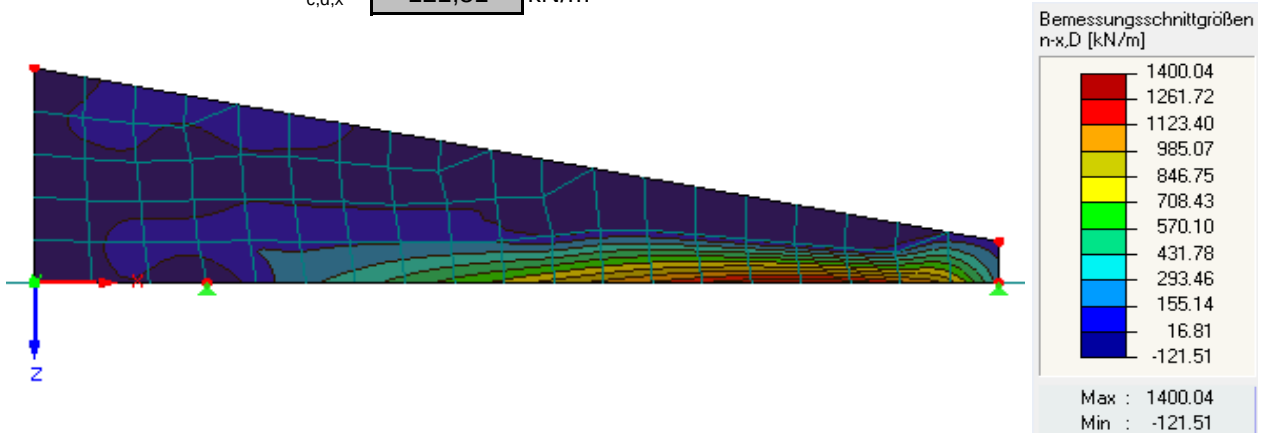
## Coefficienti di combinazione

|                            | $\gamma\gamma$ | $\psi_0\psi$ | $\psi_1\psi$ | $\psi_2\psi$ |
|----------------------------|----------------|--------------|--------------|--------------|
| peso proprio               | 1,30           |              |              |              |
| permanente non strutturale | 1,50           |              |              |              |
| esercizio                  | 1,50           | 0,70         | 0,30         | 0,20         |
| neve                       | 1,50           | 0,50         | 0,20         | 0,00         |

## Sollecitazioni

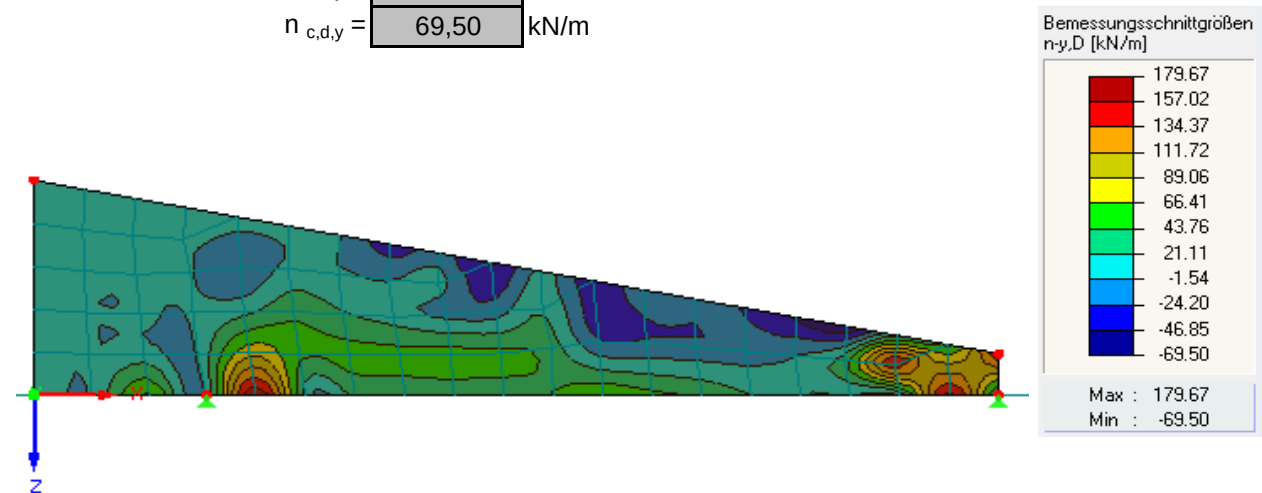
in direzione X:

|               |         |      |
|---------------|---------|------|
| $n_{t,d,x} =$ | 1400,04 | kN/m |
| $n_{c,d,x} =$ | 121,51  | kN/m |



in direzione Y:

|               |        |      |
|---------------|--------|------|
| $n_{t,d,y} =$ | 179,67 | kN/m |
| $n_{c,d,y} =$ | 69,50  | kN/m |



## Verifiche allo stato limite ultimo

Elemento 1

$$\sigma_{t,1,x} = n_{t,1,d,x} / d_1 = 0,70 \text{ kN/cm}^2$$

$$\sigma_{t,1,x} / f_{t,0,1,d} = \mathbf{0,83} \leq 1$$

$$\sigma_{t,1,y} = n_{t,1,d,y} / d_1 = 0,45 \text{ kN/cm}^2$$

$$\sigma_{t,1,x} / f_{t,0,1,d} = \mathbf{0,53} \leq 1$$

$$\sigma_{c,1,x} = n_{c,1,d,x} / d_1 = 0,06 \text{ kN/cm}^2$$

$$\sigma_{c,1,x} / f_{c,0,1,d} = 0,05 \leq 1$$

$$\sigma_{c,1,y} = n_{c,1,d,y} / d_1 = 0,17 \text{ kN/cm}^2$$

$$\sigma_{c,1,y} / f_{c,0,1,d} = 0,14 \leq 1$$

### Verifiche allo stato limite di esercizio

#### Deformazione a breve termine

campata

|                    |   |     |      |             |      |    |       |      |  |
|--------------------|---|-----|------|-------------|------|----|-------|------|--|
| $w_{0,camp}$       | = | 0   | [mm] |             |      |    |       |      |  |
| $w_{G1,inst,camp}$ | = | 2,8 | [mm] |             |      |    |       |      |  |
| $w_{G2,inst,camp}$ | = | 2,0 | [mm] |             |      |    |       |      |  |
| $w_{Q,inst,camp}$  | = | 4,4 | [mm] | $< l/300 =$ | 26,0 | mm | $h =$ | 0,17 |  |

#### Deformazione a lungo termine

campata

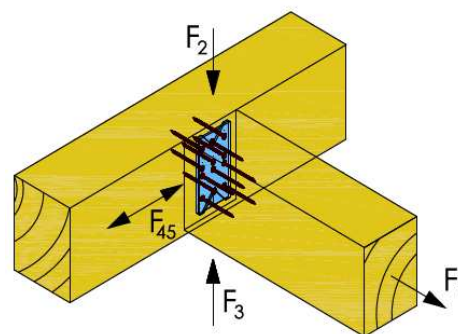
|                    |   |      |      |             |      |    |       |      |  |
|--------------------|---|------|------|-------------|------|----|-------|------|--|
| $w_{G,fin,camp}$   | = | 7,7  | [mm] |             |      |    |       |      |  |
| $w_{Q,fin,camp}$   | = | 4,9  | [mm] | $< l/200 =$ | 39,0 | mm | $h =$ | 0,13 |  |
| $w_{fin,camp}$     | = | 12,6 | [mm] | $< l/200 =$ | 39,0 | mm | $h =$ | 0,32 |  |
| $w_{net,fin,camp}$ | = | 12,6 | [mm] | $< l/200 =$ | 39,0 | mm | $h =$ | 0,32 |  |

**NUOVA SCUOLA DELL'INFANZIA A SEI SEZIONI in località CASTELLO di SERRAVALLE**
**viale G. Verdi - COMUNE DI VALSAMOGGIA (BO)**
**PROGETTO ESECUTIVO**
**RELAZIONE DI CALCOLO STRUTTURALE BLOCCO D**
**2.5.4.4-Verifica collegamenti travi in legno**

Per la verifica delle connessioni legno-legno e legno-C.A., nella maggiore parte dei casi, sono sempre stati utilizzati fogli di calcolo prodotti con il programma Excel della società produttrice Microsoft Corporation. Le sollecitazioni di verifica sono state ricavate dall'analisi globale, considerando gli effetti sia dei carichi ordinari, sia dell'azione sismica di progetto. Per alcune connessioni, è stato previsto l'impiego di sistemi di collegamento di produzione industriale brevettati, per i quali è lo stesso produttore a fornire i valori di resistenza, in maniera ufficiale, a mezzo di benestare tecnico.

**1-COLLEGAMENTO ARCARECCI S202, S203, S205 ALLE TRAVI CON SISTEMA RICON**

Vengono individuate le due direzioni di sollecitazione dell'elemento di connessione (F<sub>2</sub> ed F<sub>45</sub>, v. illustrazione), e per ciascuna di esse viene determinato il valore caratteristico di resistenza (rispettivamente F<sub>2,rd</sub> e F<sub>45,rd</sub>) sulla base delle indicazioni fornite dal fascicolo tecnico del produttore, in conformità alla normativa EN 1995:2008 in accordo a ETA (v. tabelle a seguire).



Le rispettive azioni sollecitanti F<sub>2,ed</sub> ed F<sub>45,ed</sub> sono quelle calcolate nell'ambito delle verifiche di resistenza degli elementi oggetto di studio, nei rispettivi paragrafi della presente relazione.

La verifica della resistenza del collegamento avviene combinando i valori così determinati nelle varie direzioni di sollecitazione, utilizzando la formula:

$$\left( \frac{F_{1,Ed}}{F_{1,Rd}} \right)^2 + \left( \frac{F_{23,Ed}}{F_{23,Rd}} \right)^2 + \left( \frac{F_{45,Ed}}{F_{45,Rd}} \right)^2 \leq 1$$

**Determinazione della resistenza per sforzo di taglio in direzione verticale (F<sub>2,rd</sub>)**
**RICON® S60 VS + EK**
**Charact. values [kN]**

| KNAPP® Connector                                                                      | Wood material           | Char. density ρ <sub>k</sub> [kg/m³] | Min. Joint cross section [mm] | F <sub>2,RdCCM</sub> γ <sub>M</sub> =1,0 | F <sub>2,Rd</sub> |
|---------------------------------------------------------------------------------------|-------------------------|--------------------------------------|-------------------------------|------------------------------------------|-------------------|
| RICON® S 140x60 min<br>Joint: 7 CS 8x160 mm<br>Header: 7 CS 8x80 mm<br>Version EK, VS | C24                     | 350                                  | 100/160                       | 34,00                                    | 34,20             |
|                                                                                       | GL 24h                  | 380                                  |                               |                                          | 36,00             |
|                                                                                       | GL 28h                  | 410                                  |                               |                                          | 37,80             |
|                                                                                       | CLT                     | 400                                  |                               |                                          | 37,20             |
|                                                                                       | D30 (GL <sub>18</sub> ) | 530                                  |                               |                                          | 44,60             |
|                                                                                       | D50 (GL <sub>18</sub> ) | ≥ 590                                |                               |                                          | 47,80             |

**NUOVA SCUOLA DELL'INFANZIA A SEI SEZIONI in località CASTELLO di SERRAVALLE**
**viale G. Verdi - COMUNE DI VALSAMOGGIA (BO)**
**PROGETTO ESECUTIVO**
**RELAZIONE DI CALCOLO STRUTTURALE BLOCCO D**

$$F_{2,Rd} = \min \left\{ \frac{k_{mod} \cdot F_{2,Rk}}{\gamma_M}, F_{KCC,2,Rk} / \gamma_M \right\}$$

La resistenza caratteristica è data dal valore minimo tra la resistenza di progetto lato legno ( $F_{2,Rk}$ ) e la resistenza di progetto lato acciaio ( $F_{KCC,2,Rk}$ ), dove:

-  $k_{mod} = 0,90$

-  $\gamma_M = 1,50$  (lato legno),  $1,00$  (lato acciaio)

Determinazione della resistenza per sforzo di taglio in direzione orizzontale ( $F_{45,rd}$ )

**RICON® S60 EK,GK, VS**
**Charact. values [kN]**

| KNAPP® Connector                                                                      | Wood material           | Char. density $\rho_k$ [kg/m³] | Min. Joint cross section [mm] | $F_{45,KCC,Rk} / \gamma_M = 1,0$ | $F_{45,Rk}$ |
|---------------------------------------------------------------------------------------|-------------------------|--------------------------------|-------------------------------|----------------------------------|-------------|
| RICON® S 140x60<br>Joint: 7 CS 8x160 mm<br>Header: 7 CS 8x80 mm<br>Version EK, GK, VS | C24                     | 350                            | 100/160                       | 34,0                             | 28,51       |
|                                                                                       | GL 24h                  | 380                            |                               |                                  | 30,17       |
|                                                                                       | GL 28h                  | 410                            |                               |                                  | 31,79       |
|                                                                                       | CLT                     | 400                            |                               |                                  | 31,30       |
|                                                                                       | D30 (GL <sub>18</sub> ) | 530                            |                               |                                  | 37,91       |
|                                                                                       | D50 (GL <sub>18</sub> ) | ≥ 590                          |                               |                                  | 40,80       |

$$F_{4,Rd} = \min \left\{ \frac{k_{mod} \cdot F_{4,Rk}}{\gamma_M}, F_{KCC,4,Rk} / \gamma_M \right\}$$

La resistenza caratteristica è data dal valore minimo tra la resistenza di progetto lato legno ( $F_{4,Rk}$ ) e la resistenza di progetto lato acciaio ( $F_{KCC,4,Rk}$ ), dove:

-  $k_{mod} = 0,90$

-  $\gamma_M = 1,50$  (lato legno),  $1,00$  (lato acciaio)

**Calcolo delle resistenze**

$$F_{2,Rd} = \min \{ (k_{mod} \cdot F_{2,Rk} / \gamma_M), (F_{KCC,2,Rk} / \gamma_M) \} = \min \{ (0,90 \cdot 36,00 / 1,50), (34,00 / 1,00) \} = \min \{ (21,60), (34,00) \} = \mathbf{21,60 \text{ kN}}$$

$$F_{4,Rd} = \min \{ (k_{mod} \cdot F_{4,Rk} / \gamma_M), (F_{KCC,4,Rk} / \gamma_M) \} = \min \{ (0,90 \cdot 30,17 / 1,50), (34,00 / 1,00) \} = \min \{ (18,10), (34,00) \} = \mathbf{18,10 \text{ kN}}$$

**Determinazione azioni sollecitanti – arcarecci S202, S203, S205**

Tutti gli arcarecci S202, S203, S205 verranno fissati alle travi principali con il sistema Ricon SVS. Le sollecitazioni maggiori sono in corrispondenza degli arcarecci S202. Si verifica quindi la correttezza del sistema di ancoraggio per gli arcarecci S202 e si estende il risultato a tutti gli arcarecci S202, S203, S205

Le azioni sollecitanti sono pertanto desunte dalle verifiche di resistenza degli arcarecci tipo S202:

$F_{2,ED}$  = azione sollecitante verticale in corrispondenza degli appoggi delle travi S201 ( $R_a=R_b=12,80 \text{ kN}$ )

$F_{4,RD}$  = azione sollecitante a taglio in corrispondenza degli appoggi delle travi S201 ( $R_a=R_b=5,20 \text{ kN}$ )

**NUOVA SCUOLA DELL'INFANZIA A SEI SEZIONI in località CASTELLO di SERRAVALLE**

**viale G. Verdi - COMUNE DI VALSAMOGGIA (BO)**

**PROGETTO ESECUTIVO**

**RELAZIONE DI CALCOLO STRUTTURALE BLOCCO D**

---

**Verifica del collegamento – arcarecci S202, S203, S205**

Essendo presenti azioni sollecitanti nelle direzioni 2/3 e 4/5, la verifica terrà conto del contributo delle singole componenti con la seguente formula:

$$\left( \frac{F_{1,Ed}}{F_{1,Rd}} \right)^2 + \left( \frac{F_{23,Ed}}{F_{23,Rd}} \right)^2 + \left( \frac{F_{45,Ed}}{F_{45,Rd}} \right)^2 \leq 1$$

**$(12,80 / 21,60)^2 + (5,20 / 18,10)^2 = 0,43 < 1$  IL COLLEGAMENTO E' QUINDI VERIFICATO**

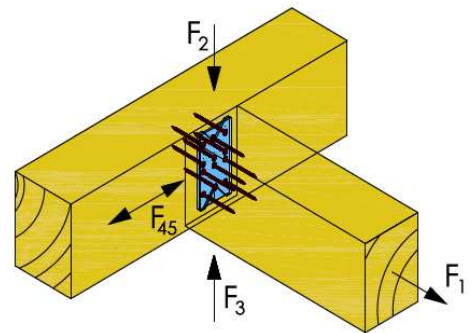
***Si allega la scheda tecnica del sistema certificato.***

**NUOVA SCUOLA DELL'INFANZIA A SEI SEZIONI in località CASTELLO di SERRAVALLE**
**viale G. Verdi - COMUNE DI VALSAMOGGIA (BO)**
**PROGETTO ESECUTIVO**
**RELAZIONE DI CALCOLO STRUTTURALE BLOCCO D**
**1-COLLEGAMENTO ARCARECCI S101 ALLE TRAVI CON SISTEMA RICON**

Trattandosi di solaio orizzontale, il connettore lavora solo in direzione verticale  $F_2$ , mentre le altre componenti (v. illustrazione) non sono presenti. Viene pertanto determinato il valore caratteristico di resistenza ( $F_{2,Rd}$ ) sulla base delle indicazioni fornite dal fascicolo tecnico del produttore, in conformità alla normativa EN 1995:2008 in accordo a ETA (v. tabelle a seguire).

La rispettiva azione sollecitante  $F_{2,ed}$  corrisponde a quella calcolata nell'ambito delle verifiche di resistenza degli elementi oggetto di studio, nei rispettivi paragrafi della presente relazione.

La verifica del collegamento avviene calcolando il rapporto tra l'azione sollecitante e la resistenza di progetto, e il risultato dev'essere inferiore ad uno.


**Determinazione della resistenza per sforzo di taglio in direzione verticale ( $F_{2,Rd}$ )**
**RICON® S60 VS + EK**
**Charact. values [kN]**

| KNAPP® Connector                                                                        | Wood material          | Char. density<br>$\rho_k$ [kg/m <sup>3</sup> ] | Min. Joint cross section [mm] | $F_{2,KCC,Rk}$<br>$\gamma_M = 1,0$ | $F_{2,Rk}$ |
|-----------------------------------------------------------------------------------------|------------------------|------------------------------------------------|-------------------------------|------------------------------------|------------|
| RICON® S 140x60 min<br>Joint: 7 CS 8x160 mm<br>Header: 7 CS 8x80 mm<br>Version EK, VS   | C24                    | 350                                            | 100/160                       | 34,00                              | 34,20      |
|                                                                                         | GL 24h                 | 380                                            |                               |                                    | 36,00      |
|                                                                                         | GL 28h                 | 410                                            |                               |                                    | 37,80      |
|                                                                                         | CLT                    | 400                                            |                               |                                    | 37,20      |
|                                                                                         | D30 (GL <sub>H</sub> ) | 530                                            |                               |                                    | 44,60      |
|                                                                                         | D50 (GL <sub>H</sub> ) | ≥ 590                                          |                               |                                    | 47,80      |
| RICON® S 140x60 max<br>Joint: 10 CS 8x160 mm<br>Header: 10 CS 8x80 mm<br>Version EK, VS | C24                    | 350                                            | 100/160                       | 60,00                              | 41,10      |
|                                                                                         | GL 24h                 | 380                                            |                               |                                    | 43,20      |
|                                                                                         | GL 28h                 | 410                                            | 100/260 *<br>120/220 *        |                                    | 45,30      |
|                                                                                         | CLT                    | 400                                            |                               |                                    | 44,60      |
|                                                                                         | D30 (GL <sub>H</sub> ) | 530                                            |                               |                                    | 53,20      |
|                                                                                         | D50 (GL <sub>H</sub> ) | ≥ 590                                          |                               |                                    | 56,90      |

$$F_{2,Rd} = \min \left\{ \frac{k_{mod} \cdot F_{2,Rk}}{\gamma_M}, F_{KCC,2,Rk} / \gamma_M \right\}$$

La resistenza caratteristica è data dal valore minimo tra la resistenza di progetto lato legno ( $F_{2,Rk}$ ) e la resistenza di progetto lato acciaio ( $F_{KCC,2,Rk}$ ), dove:

-  $k_{mod} = 0,90$

-  $\gamma_M = 1,50$  (lato legno),  $1,00$  (lato acciaio)

**NUOVA SCUOLA DELL'INFANZIA A SEI SEZIONI in località CASTELLO di SERRAVALLE**

**viale G. Verdi - COMUNE DI VALSAMOGGIA (BO)**

**PROGETTO ESECUTIVO**

**RELAZIONE DI CALCOLO STRUTTURALE BLOCCO D**

---

**Calcolo della resistenza**

$$F_{2,RD} = \min \{ (k_{mod} * F_{2,RK} / \gamma_M), (F_{KCC,2,RK} / \gamma_M) \} = \min \{ (0,90 * 43,20 / 1,50), (60,00 / 1,00) \} = \min \{ (25,92), (60,00) \} = \mathbf{25,92 \text{ kN}}$$

**Determinazione azioni sollecitanti – arcarecci S101**

Tutti gli arcarecci S101 verranno fissati alle travi principali con il sistema Ricon SVS. Le azioni sollecitanti in corrispondenza degli arcarecci S101 sono desunte dalla relativa verifica di resistenza:

$F_{2,ED}$  = azione sollecitante verticale in corrispondenza degli appoggi delle travi S101 ( $R_a=R_b=21,70 \text{ kN}$ )

**Verifica del collegamento – arcarecci S101**

Si verifica che  $F_{2,ED} / F_{2,RD} < 1$

**$21,70 / 25,92 = 0,84 < 1$  IL COLLEGAMENTO E' QUINDI VERIFICATO**

***Si allega la scheda tecnica del sistema certificato.***

## LEGENDA ANCORAGGI

### Verifica Fissaggio N201

Verifica tirafondi

$A =$  -> AREA NOMINALE DEL BULLONE

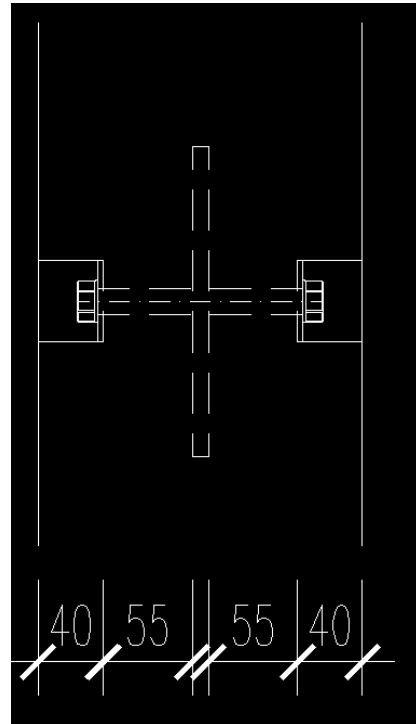
$A_s =$  -> AREA NETTA DEL BULLONE

$d_0 =$  DIAMETRO NOMINALE DEL FORO;

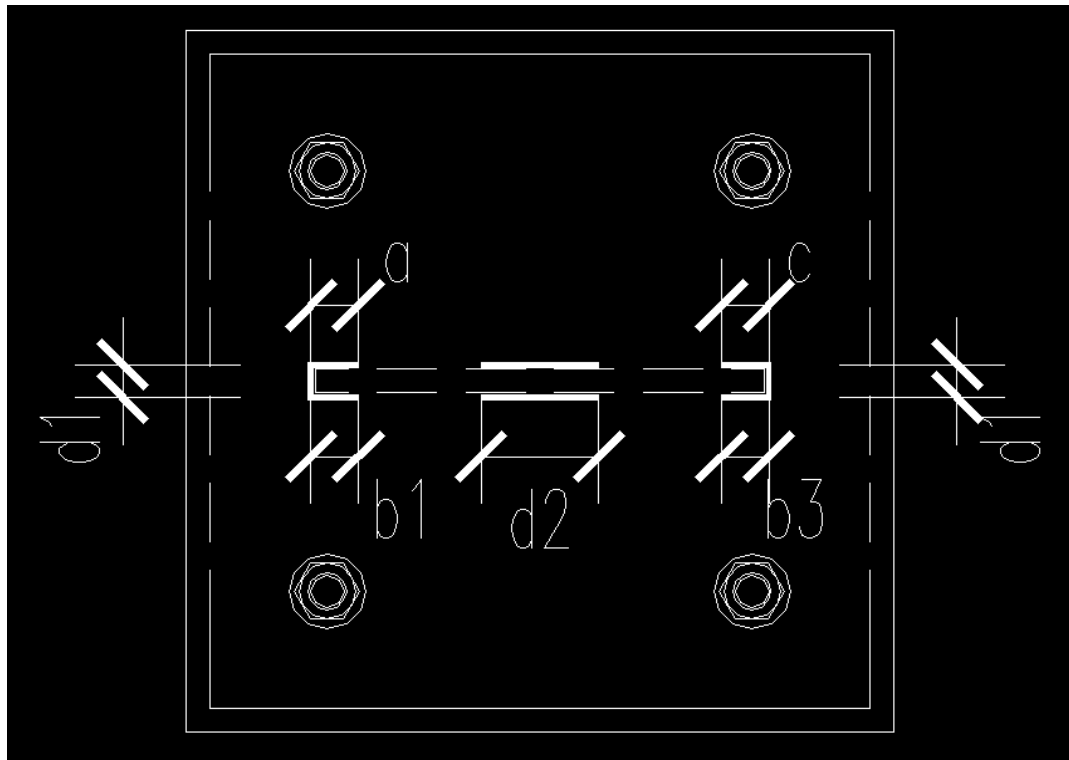
$s =$  DIAMETRO DELLA RONDELLA;

$t_s =$  SPESSORE DELLA RONDELLA

tutti i bulloni sono classe 5.6



### Verifica cordoni di saldatura



# N 101

# Fissaggio T102 su pilastro (dettaglio 07b Tav.S07)

## Sistema

materiale legno

CDC

CDS

|       |
|-------|
| GL24h |
| lungo |
| 1     |

$\rho_{k,2}$

380,00

[kg/m<sup>3</sup>]

$k_{mod}$

0,70

$\gamma_m$

1,50

tipo di connettore

|          |
|----------|
| Spinotti |
| 16       |

diametro connettore

[mm]

spessore lastra

$t_s =$

8,0

[mm]

$\alpha =$

90,00

[°]

spessore legno

$t_1 =$

5,60

[cm]

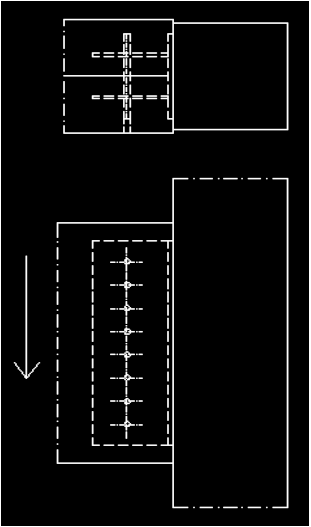
$F_{Sd}$

70,60

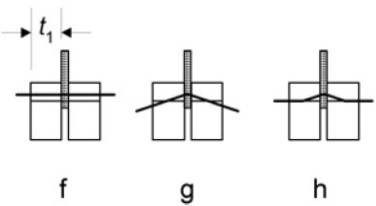
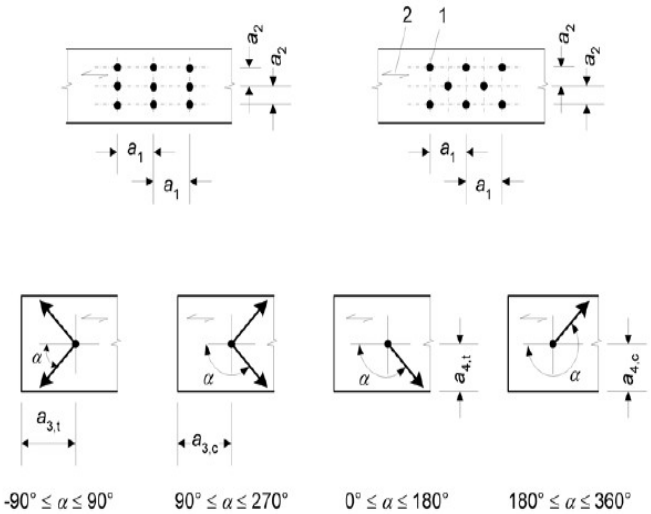
[kN]

(per singola lama)

Fsd trave T102 = 141,20kN. Fsd agisce su due lame.



## Geometria



|             | distanze |       |      |
|-------------|----------|-------|------|
|             | min.     | reale |      |
| $a_1 =$     | 48       | -     | [mm] |
| $a_2 =$     | 48       | 66    | [mm] |
| $a_{3,t} =$ | 112      | 120   | [mm] |
| $a_{3,c} =$ | 112      | 120   | [mm] |
| $a_{4,t} =$ | 64       | 120   | [mm] |
| $a_{4,c} =$ | 48       | 120   | [mm] |

nr. file

$n_r =$

8

nr. colonne

$n_s =$

1

$n_{col.ef.} =$

1,00

$n_{tot.ef.} =$

8,00

Verifica allo stato limite ultimo

$f_{h,\alpha,k} =$

16,46

[N/mm<sup>2</sup>]

$M_{y,Rk} =$

202676

[Nmm]

$F_{v,Rk} =$

21,44

[kN]

$F_{v,Rd} =$

10,00

[kN]

$F_{Rd} =$

80,03

[kN]

Verifica

$F_{Sd}/F_{Rd}$

0,88

$< 1$

N 201 Fissaggio travi principali sui pilastri (dett. 01,02,03,04,05,05a ,05b,05c Tav.S07)

Sistema

materiale legno

|       |
|-------|
| GL24h |
| breve |
| 1     |

CDC

CDS

$\rho_{k,2}$

380,00

[kg/m<sup>3</sup>]

$k_{mod}$

0,90

$\gamma_m$

1,50

tipo di connettore

|         |
|---------|
| Bulloni |
| 16      |

diametro connettore

[mm]

spessore lastra

$t_s =$

10,0

[mm]

spessore legno

$t_1 =$

5,50

[cm]

$\alpha =$

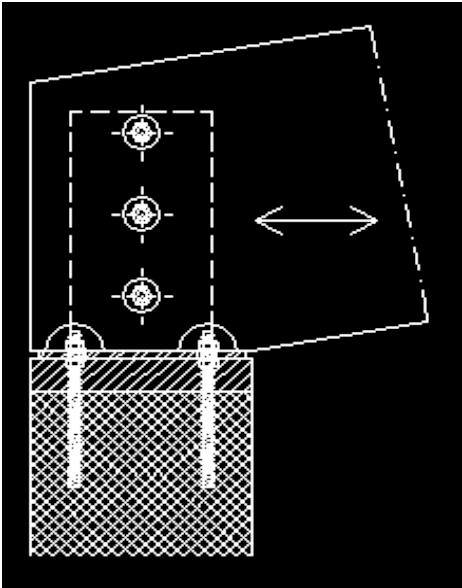
90,00

[°]

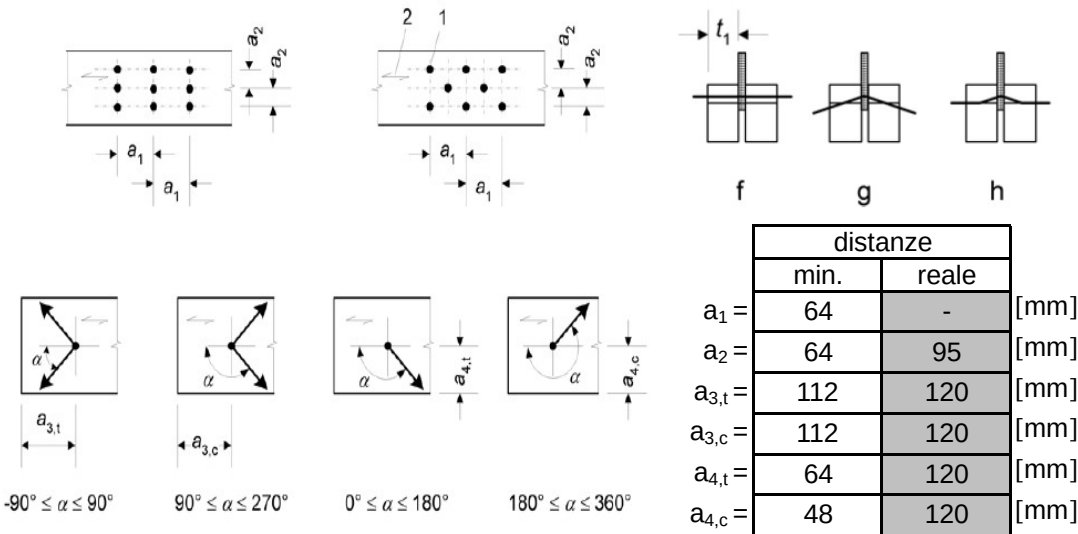
$F_{Sd}$

8,33

[kN]



Geometria



nr. file

n<sub>r</sub> =

3

n<sub>s</sub> =

1

n<sub>col.ef.</sub> =

1,00

**n<sub>tot.ef.</sub>** =

3,00

Verifica allo stato limite ultimo

f<sub>h,α,k</sub> =

16,46

[N/mm<sup>2</sup>]

M<sub>y,Rk</sub> =

202676

[Nmm]

F<sub>v,Rk</sub> =

21,36

[kN]

F<sub>v,Rd</sub> =

12,81

[kN]

**F<sub>Rd</sub>** =

**38,44**

[kN]

Verifica

**F<sub>Sd</sub>/F<sub>Rd</sub>**

**0,22**

**< 1**

## Verifica in condizioni sismiche (dett. 01,02,03,04,05,05a ,05b,05c Tav.S07)

### Sistema

materiale legno

GL24h

$\rho_{k,2}$

380,00 [kg/m<sup>3</sup>]

CDC

istantaneo

$k_{mod}$

1,10

CDS

1

$\gamma_m$

1,50

tipo di connettore

Bulloni

diametro connettore

16 [mm]

spessore lastra

$t_s = 10,0$  [mm]

$\alpha =$

12,00 [°]

spessore legno

$t_1 = 5,50$  [cm]

$F_{Sd}$

16,50 [kN]

(\*)

Azione sismica stimata, a favore di sicurezza, con un calcolo statico-lineare, considerando un fattore di struttura pari a 1,5 e un'area (massima) di influenza di 27m<sup>2</sup>, incrementata del 20%; posizione: incrocio assi I-6.

$$F_h = S_d(T_1) \times W \times \lambda_h / g = 16,50 \text{ [kN]}$$

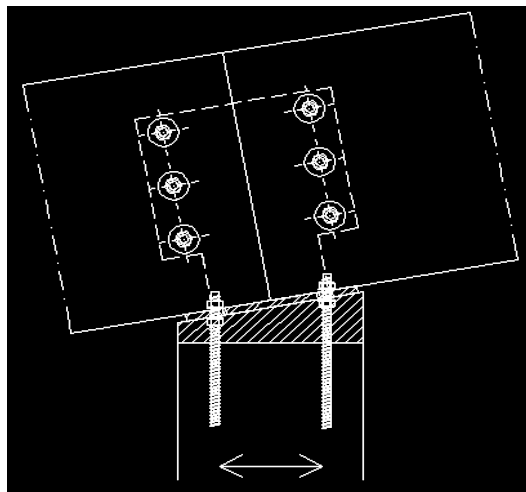
in cui:

$$S_d(T_1) = 4,76 \text{ m/s}^2$$

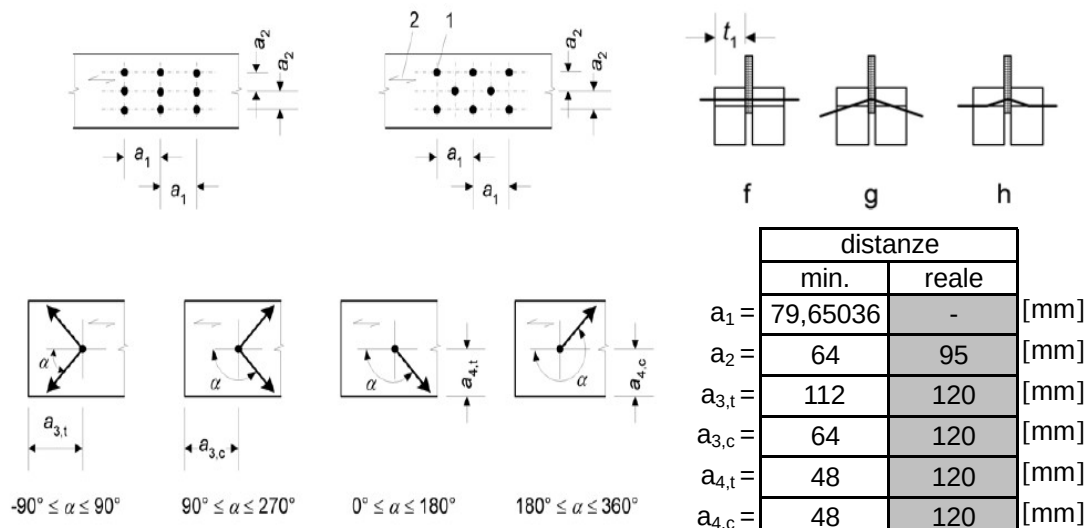
$$W = 35,2 \text{ kN}$$

$$\lambda_h = 1,00$$

$$W = (G_1 + G_2) \times A \times 1,2 = (60 \text{ Kg/m}^2 + 45 \text{ Kg/m}^2) \times 27 \text{ m}^2 \times 1,2$$



### Geometria



nr. file

|         |   |
|---------|---|
| $n_r =$ | 3 |
| $n_s =$ | 1 |

nr. colonne

|                 |      |
|-----------------|------|
| $n_{col.ef.} =$ | 0,82 |
| $n_{tot.ef.} =$ | 2,45 |

Verifica allo stato limite ultimo

|                    |        |                      |
|--------------------|--------|----------------------|
| $f_{h,\alpha,k} =$ | 25,52  | [N/mm <sup>2</sup> ] |
| $M_{y,Rk} =$       | 202676 | [Nmm]                |

|              |       |      |
|--------------|-------|------|
| $F_{v,Rk} =$ | 28,29 | [kN] |
| $F_{v,Rd} =$ | 20,75 | [kN] |

$F_{Rd} = 50,73 \text{ [kN]}$

Verifica

$F_{Sd}/F_{Rd} \quad 0,32 \quad < \quad 1$

# **Verifica dei tirafondi (dett. 01,02,03,04,05,05a ,05b,05c Tav.S07)** (secondo EC3)

## **Geometria e materiale**

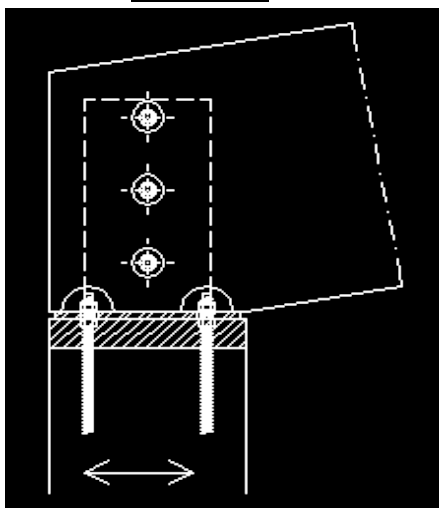
### Sezione

|       |      |                  |      |                    |                  |       |                    |
|-------|------|------------------|------|--------------------|------------------|-------|--------------------|
| vite: | M 16 | d =              | 16   | [mm]               | d <sub>0</sub> = | 18    | [mm]               |
|       |      | A =              | 2,01 | [cm <sup>2</sup> ] | A <sub>S</sub> = | 1,57  | [cm <sup>2</sup> ] |
|       |      | t <sub>s</sub> = | 8    | [mm]               | max m =          | 15,9  | [mm]               |
|       |      | s =              | 24   | [mm]               | min e =          | 26,17 | [mm]               |

|                              |                 |   |     |
|------------------------------|-----------------|---|-----|
| numero righe:                | in direzione y: | 2 | [-] |
|                              | in direzione z: | 2 | [-] |
| numero totale di bulloni n = |                 | 4 | [-] |

|                           |                  |   |     |
|---------------------------|------------------|---|-----|
| numero sezioni di taglio: | n <sub>s</sub> = | 1 | [-] |
|---------------------------|------------------|---|-----|

|                   |     |      |      |
|-------------------|-----|------|------|
| spessore piastra: | t = | 10,0 | [mm] |
|-------------------|-----|------|------|



### Interasse e distanze dai bordi [mm]

$$e_{1,max} \text{ bzw. } e_{2,max} = 40\text{mm} + 4 \cdot t$$

$$p_{1,max} \text{ bzw. } p_{2,max} = \min(200\text{mm}; 14 \cdot t)$$

|                               |    |   |         |     |   |               |     |
|-------------------------------|----|---|---------|-----|---|---------------|-----|
| $e_{1,min} = 1,2 \cdot d_0 =$ | 22 | < | $e_1 =$ | 40  | < | $e_{1,max} =$ | 80  |
| $p_{1,min} = 2,2 \cdot d_0 =$ | 40 | < | $p_1 =$ | 280 | > | $p_{1,max} =$ | 140 |
| $e_{2,min} = 1,5 \cdot d_0 =$ | 27 | < | $e_2 =$ | 40  | < | $e_{2,max} =$ | 80  |
| $p_{2,min} = 3,0 \cdot d_0 =$ | 54 | < | $p_2 =$ | 320 | > | $p_{2,max} =$ | 140 |

### Materiale

#### Piastra orizzontale

|          |       |                  |     |                      |                   |         |                      |
|----------|-------|------------------|-----|----------------------|-------------------|---------|----------------------|
| acciaio: | S 235 | f <sub>y</sub> = | 235 | [N/mm <sup>2</sup> ] | E <sub>y</sub> =  | 210.000 | [N/mm <sup>2</sup> ] |
|          |       | f <sub>u</sub> = | 360 | [N/mm <sup>2</sup> ] | γ <sub>M0</sub> = | 1,1     | [-]                  |

#### bullone

|                     |     |                   |     |                      |                   |      |     |
|---------------------|-----|-------------------|-----|----------------------|-------------------|------|-----|
| classe dei bulloni: | 5,6 | f <sub>ub</sub> = | 500 | [N/mm <sup>2</sup> ] | α <sub>v</sub> =  | 0,6  | [-] |
|                     |     | f <sub>yb</sub> = | 300 | [N/mm <sup>2</sup> ] | γ <sub>M2</sub> = | 1,25 | [-] |

|                                         |                                                       |       |      |
|-----------------------------------------|-------------------------------------------------------|-------|------|
| Resistenza a taglio nella parte liscia: | $F_{v,Rd} = 0,6 \cdot A \cdot f_{ub} / \gamma_{m2} =$ | 48,25 | [kN] |
|-----------------------------------------|-------------------------------------------------------|-------|------|

|                                            |                                                              |       |      |
|--------------------------------------------|--------------------------------------------------------------|-------|------|
| Resistenza a taglio nella parte filettata: | $F_{v,Rd} = \alpha_v \cdot A_S \cdot f_{ub} / \gamma_{m2} =$ | 37,68 | [kN] |
|--------------------------------------------|--------------------------------------------------------------|-------|------|

Resistenza a trazione:  $F_{t,Rd} = k_2 \cdot A_S \cdot f_{ub} / \gamma_{m2} =$  56,52 [kN]

**bullone normale**  $k_2 =$  0,9

Secondo l'NTC 2008 al paragrafo 4.2.8.1.1 si ha che: "Nei collegamenti con bulloni "non precaricati" si possono impiegare viti delle classi da 4.6 a 10.9"

### Sollecitazioni

Sollecitazioni sul gruppo di bulloni più sollecitati

$F_{t,Sd} =$  0,00 [kN]

$F_{v,Sd} =$  16,50 [kN]

## Verifiche allo stato limite ultimo

### Verifica delle viti a trazione

Verifica:  $F_{t,Sd} / (n \cdot F_{t,Rd}) \leq 1$ : **0,00** < **1,00**

### Verifica delle viti a taglio

Verifica:  $F_{v,Sd} / (n_s \cdot n \cdot F_{v,Rd}^*) \leq 1$ : **0,00** < **1,00**

### Verifica della piastra a taglio per punzonamento

$B_{p,Rd} = 0,6 \cdot \pi \cdot d_m \cdot t_R \cdot f_u / \gamma_{M2} =$  136,18 [kN]

$d_m = (s + \min e) / 2 =$  25,1 [mm]

Verifica:  $F_{t,Sd} / (n \cdot B_{t,Rd}) \leq 1$ : **0,00** < **1,00**

### Verifica della piastra a rifollamento

spessore di contatto:  $t_R = t =$  10,0 [mm]

$F_{b,Rd} = k_1 \cdot \alpha \cdot f_u \cdot d \cdot t_R / \gamma_{M2} =$  85,33 [kN]

$$\alpha = \min \begin{cases} e_1 / (3 \cdot d_0) = 0,74 \\ p_1 / (3 \cdot d_0) - 1/4 = 4,94 \\ f_{ub} / f_u = 1,39 \\ 1,0 \end{cases} \quad \alpha = 0,74$$

$$k_1 = \min \begin{cases} 2,8 \cdot e_2 / d_0 - 1,7 = 4,52 \\ 1,4 \cdot p_2 / d_0 - 1,7 = 23,19 \\ 2,5 \end{cases} \quad k_1 = 2,50$$

Verifica:  $F_{v,Sd} / (n_s \cdot n \cdot F_{v,Rd}^*) \leq 1$ : **0,00** < **1,00**

spessore di contatto:  $t_c = t =$  10,0 [mm]

$F_{b,Rd} = k_1 \cdot \alpha \cdot f_u \cdot d \cdot t_c / \gamma_{M2} =$  85,33 [kN]

Verifica:  $F_{v,Sd} / (n_s \cdot n \cdot F_{v,Rd}^*) \leq 1$ : **0,00** < **1,00**

### Verifica delle viti a momento flettente

$M_{pl,Rd} = k_2 \cdot W_{pl} \cdot f_{yb} / \gamma_{m0} =$  11,56 [kNcm]

$W_{pl} = d_s^3 / 6 =$  0,47 [cm<sup>3</sup>]

$d_s = (A_s \times 4 / \pi)^{1/2} =$  1,41 [cm]  $k_2 = 0,9$

$M_{Ed} = (t_R + \Delta h + d/3) \times F_{v,Sd} =$  6,29 [kNcm]

$\Delta h =$  0 [mm]

Verifica:  $M_{Ed} / M_{Rd,pl} \leq 1$ : **0,55** < **1,00**

### Verifica delle viti a trazione e momento

Verifica:  $F_{t,Sd} / (n \cdot F_{t,Rd}) + M_{Ed} / (n \cdot M_{pl,Rd}) \leq 1$ : **0,55** < **1,00**

### Verifica delle viti a trazione, momento e taglio

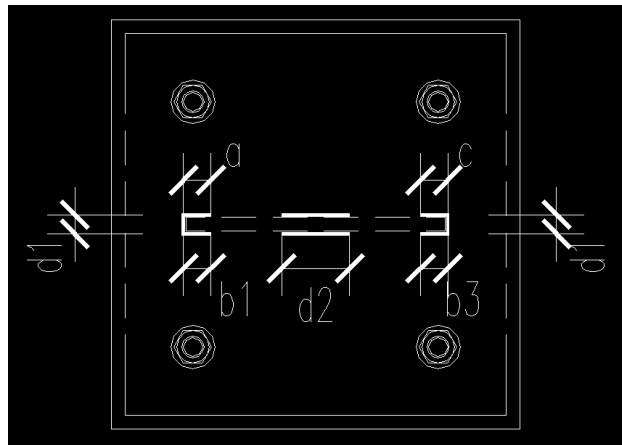
Verifica:  $F_{v,Sd} / (n_s \cdot n \cdot F_{v,Rd}) + F_{t,Sd} / (n \cdot F_{t,Rd}) + M_{Ed} / (1,4 \times n \times M_{pl,Rd}) \leq 1$ : **0,21** < **1,00**

## Verifica del cordone di saldatura

### 1. Caratteristiche fisico-meccaniche della sezione e dei materiali

#### 1.1 Geometria

|             |      |                    |            |     |      |
|-------------|------|--------------------|------------|-----|------|
| $a =$       | 2,0  | [cm]               | $a_a =$    | 5,0 | [mm] |
| $b_1 =$     | 2,0  | [cm]               | $a_{b1} =$ | 5,0 | [mm] |
| $b_2 =$     | 0,0  | [cm]               | $a_{b2} =$ | 0,0 | [mm] |
| $b_3 =$     | 2,0  | [cm]               | $a_{b3} =$ | 5,0 | [mm] |
| $b_4 =$     | 0,0  | [cm]               | $a_{b4} =$ | 0,0 | [mm] |
| $c =$       | 2,0  | [cm]               | $a_c =$    | 5,0 | [mm] |
| $d_1 =$     | 1,0  | [cm]               | $a_{d1} =$ | 5,0 | [mm] |
| $d_2 =$     | 5,0  | [cm]               | $a_{d2} =$ | 5,0 | [mm] |
| $x_1 =$     | 0,0  | [cm]               |            |     |      |
| $x_2 =$     | 0,0  | [cm]               |            |     |      |
| $x_3 =$     | 0,0  | [cm]               |            |     |      |
| $A =$       | 7,00 | [cm <sup>2</sup> ] |            |     |      |
| $y_s =$     | 0,21 | [cm]               |            |     |      |
| $z_s =$     | 0,00 | [cm]               |            |     |      |
| $I_y =$     | 6,5  | [cm <sup>4</sup> ] |            |     |      |
| $I_z =$     | 2,7  | [cm <sup>4</sup> ] |            |     |      |
| $W_y =$     | 8,7  | [cm <sup>3</sup> ] |            |     |      |
| $W_z =$     | 1,8  | [cm <sup>3</sup> ] |            |     |      |
| $A_{v,z} =$ | 3,00 | [cm <sup>2</sup> ] |            |     |      |
| $A_{v,y} =$ | 4,00 | [cm <sup>2</sup> ] |            |     |      |



#### 1.2 caratteristiche fisico-meccaniche dei materiali

|          |        |         |     |                      |         |         |                      |
|----------|--------|---------|-----|----------------------|---------|---------|----------------------|
| acciaio: | Fe 360 | $f_y =$ | 235 | [N/mm <sup>2</sup> ] | $E_y =$ | 210.000 | [N/mm <sup>2</sup> ] |
|          |        | $f_u =$ | 360 | [N/mm <sup>2</sup> ] |         |         |                      |

### 2. Sollecitazioni

#### 2.1 sollecitazioni allo stato limite ultimo

|              |      |       |              |       |       |                 |      |     |
|--------------|------|-------|--------------|-------|-------|-----------------|------|-----|
| $N_{Sd} =$   | 0,00 | [kN]  | $V_{y,Sd} =$ | 16,50 | [kN]  | $\gamma_{Mw} =$ | 1,25 | [-] |
| $V_{z,Sd} =$ | 0,00 | [kN]  | $M_{z,Sd} =$ | 0,00  | [kNm] |                 |      |     |
| $M_{y,Sd} =$ | 0,00 | [kNm] |              |       |       |                 |      |     |

### 3. Verifiche allo stato limite ultimo

#### 3.1 sollecitazione della saldatura

|                                                                 |       |                       |                                    |      |                       |
|-----------------------------------------------------------------|-------|-----------------------|------------------------------------|------|-----------------------|
| $f_{vw,d} = f_u / (\sqrt{3} \cdot \beta_w \cdot \gamma_{Mw}) =$ | 20,78 | [kN/cm <sup>2</sup> ] | $\beta_w =$                        | 0,80 | [-]                   |
| $\sigma_{Sd1} = N_{Sd}/A + M_{y,Sd}/W_y + M_{z,Sd}/W_z =$       | 0,00  | [kN/cm <sup>2</sup> ] |                                    |      |                       |
| $\sigma_{Sd2} = N_{Sd}/A - M_{y,Sd}/W_y + M_{z,Sd}/W_z =$       | 0,00  | [kN/cm <sup>2</sup> ] |                                    |      |                       |
| $\sigma_{Sd3} = N_{Sd}/A + M_{y,Sd}/W_y - M_{z,Sd}/W_z =$       | 0,00  | [kN/cm <sup>2</sup> ] |                                    |      |                       |
| $\sigma_{Sd4} = N_{Sd}/A - M_{y,Sd}/W_y - M_{z,Sd}/W_z =$       | 0,00  | [kN/cm <sup>2</sup> ] |                                    |      |                       |
| $\tau_{y,Sd} = V_{y,Sd}/A_{v,y} =$                              | 0,00  | [kN/cm <sup>2</sup> ] | $\tau_{z,Sd} = V_{z,Sd}/A_{v,z} =$ | 4,11 | [kN/cm <sup>2</sup> ] |
| $f_{Sd} = (\sigma_{Sd,max}^2 + \tau_y^2 + \tau_z^2)^{1/2} =$    | 4,11  | [kN/cm <sup>2</sup> ] |                                    |      |                       |
| <b>verifica:</b> $f_{Sd} / f_{vw,d} \leq 1:$                    | 0,20  | <                     | 1,00                               |      |                       |

### 4. Prescrizioni costruttive

|                                                             |      |      |             |      |      |
|-------------------------------------------------------------|------|------|-------------|------|------|
| $t_{min} =$                                                 | 10,0 | [mm] | $t_{max} =$ | 10,0 | [mm] |
| $2 \leq \sqrt{t_{max}} - 0,5 \leq a \leq 0,7 \cdot t_{min}$ | 2,7  | <    | 5,0         | <    | 7,0  |

### Fissaggio trave di colmo (dett. 06 Tav.S07)

materiale legno

|       |
|-------|
| GL24h |
| breve |
| 1     |

|              |        |                      |
|--------------|--------|----------------------|
| $\rho_{k,2}$ | 380,00 | [kg/m <sup>3</sup> ] |
| $k_{mod}$    | 0,90   |                      |
| $\gamma_m$   | 1,50   |                      |

|          |
|----------|
| Spinotti |
| 12 [mm]  |

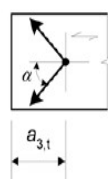
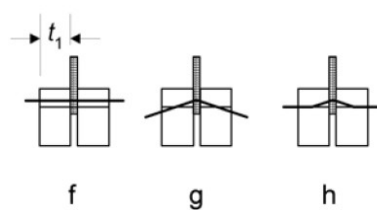
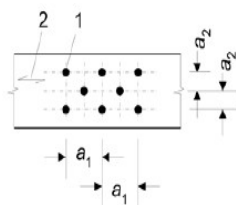
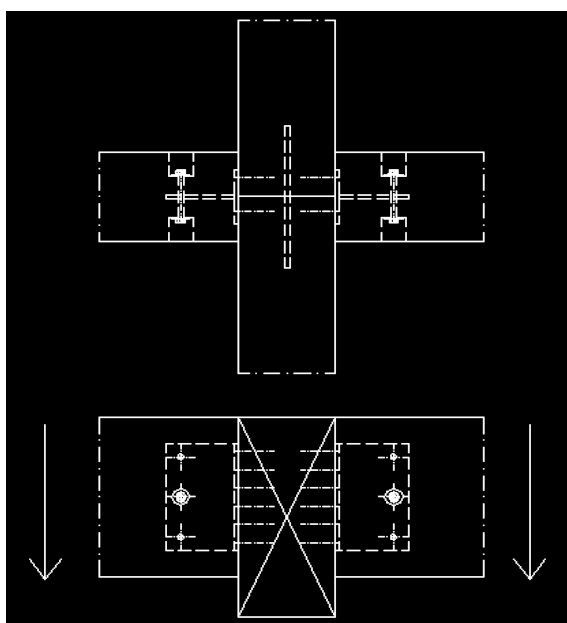
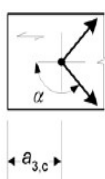
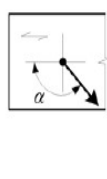
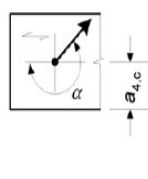
spessore lastra

$$t_s = 8,0 \text{ [mm]}$$
 $\alpha = 90,00 [^\circ]$ 

spessore legno

$$t_1 = 5,50 \text{ [cm]}$$

$F_{Sd}$  8,21 [KN]  $F_{sd \text{ trave T106}} = 8,21 \text{ KN}$


$$-90^\circ \leq \alpha \leq 90^\circ$$

$$90^\circ \leq \alpha \leq 270^\circ$$

$$0^\circ \leq \alpha \leq 180^\circ$$

$$180^\circ \leq \alpha \leq 360^\circ$$

|             |    | distanze |       |      |
|-------------|----|----------|-------|------|
|             |    | min.     | reale |      |
| $a_1 =$     | 36 | -        |       | [mm] |
| $a_2 =$     | 36 |          |       | [mm] |
| $a_{3,i} =$ | 84 | 120      |       | [mm] |
| $a_{3,c} =$ | 84 | 120      |       | [mm] |
| $a_{4,i} =$ | 48 | 120      |       | [mm] |
| $a_{4,c} =$ | 36 | 120      |       | [mm] |

nr. file

n<sub>r</sub> =

2

nr. colonne

n<sub>s</sub> =

1

n<sub>col.ef.</sub> =

1,00

**n<sub>tot.ef.</sub>** =

2,00

Verifica allo stato limite ultimo

f<sub>h,α,k</sub> =

17,92

[N/mm<sup>2</sup>]

M<sub>y,Rk</sub> =

95932

[Nmm]

F<sub>v,Rk</sub> =

14,41

[kN]

F<sub>v,Rd</sub> =

8,65

[kN]

**F<sub>Rd</sub>** =

**17,30**

**[kN]**

Verifica

**F<sub>Sd</sub>/F<sub>Rd</sub>**

**0,47**

**< 1**

= 52 mm

N 203

Fissaggio trave principale su colonna in CA (dett. 08 Tav.S07)

Sistema

materiale legno

|       |
|-------|
| GL24h |
| breve |
| 1     |

CDC

$\rho_{k,2}$

380,00 [kg/m<sup>3</sup>]

CDS

$k_{mod}$

0,90

$\gamma_m$

1,50

tipo di connettore

|          |
|----------|
| Spinotti |
| 16       |

diametro connettore

[mm]

spessore lastra

$t_s = 10,0$  [mm]

$\alpha =$

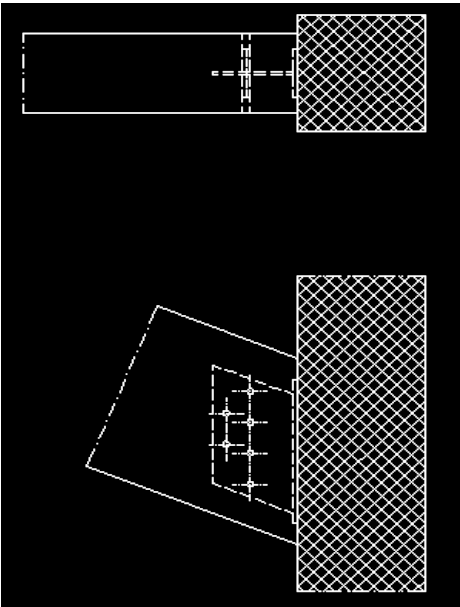
68,00 [°]

spessore legno

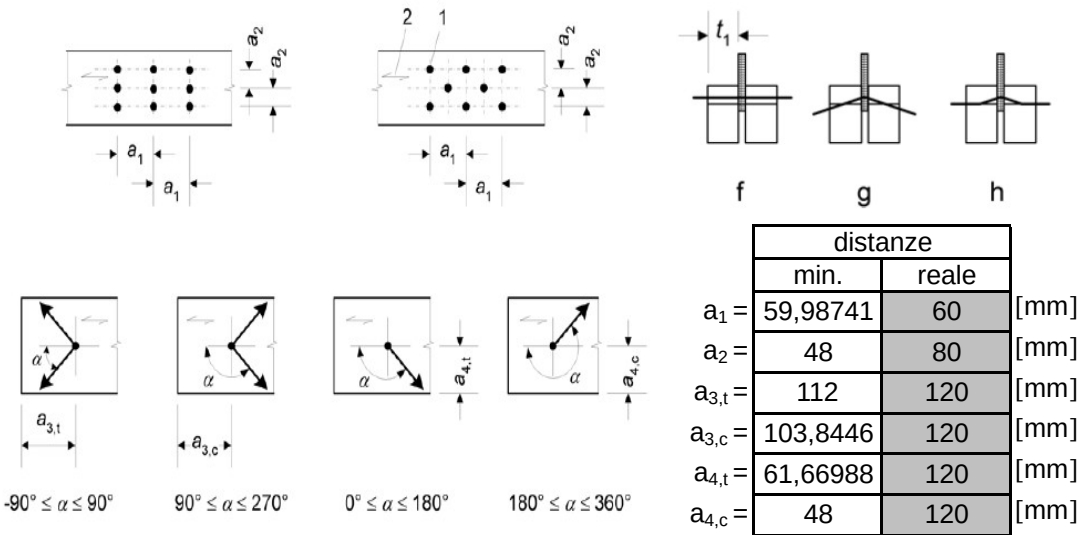
$t_1 = 5,50$  [cm]

$F_{Sd}$

45,98 [KN] ( $F_{Sd}$  trave T203 = 45,98KN.)



Geometria



nr. file  $n_r =$ 

|   |
|---|
| 6 |
| 1 |

  
nr. colonne  $n_s =$

$n_{col.ef.} =$ 

|      |
|------|
| 0,93 |
| 5,61 |

  
 $n_{tot.ef.} =$

**Verifica allo stato limite ultimo**

$f_{h,\alpha,k} =$ 

|        |
|--------|
| 17,37  |
| 202676 |

 [N/mm<sup>2</sup>]  
 $M_{y,Rk} =$

$F_{v,Rk} =$ 

|       |
|-------|
| 22,06 |
| 13,24 |

 [kN]  
 $F_{v,Rd} =$

$F_{Rd} =$  **74,23** [kN]

Verifica  $F_{Sd}/F_{Rd}$  **0,62** < **1**

Nota: I due bulloni presenti nel collegamento sono stati trascurati nella verifica a favore di sicurezza

N 204

## Fissaggio travetti (in corrispondenza del dett. 02- dettaglio generale)

### Sistema

materiale legno

|       |
|-------|
| GL24h |
| breve |
| 1     |

$\rho_{k,2}$

380,00 [kg/m<sup>3</sup>]

CDC

$k_{mod}$

0,90

CDS

$\gamma_m$

1,50

tipo di connettore

|         |
|---------|
| Bulloni |
| 12      |

diametro connettore

[mm]

spessore lastra

$t_s = 8,0$  [mm]

$\alpha =$

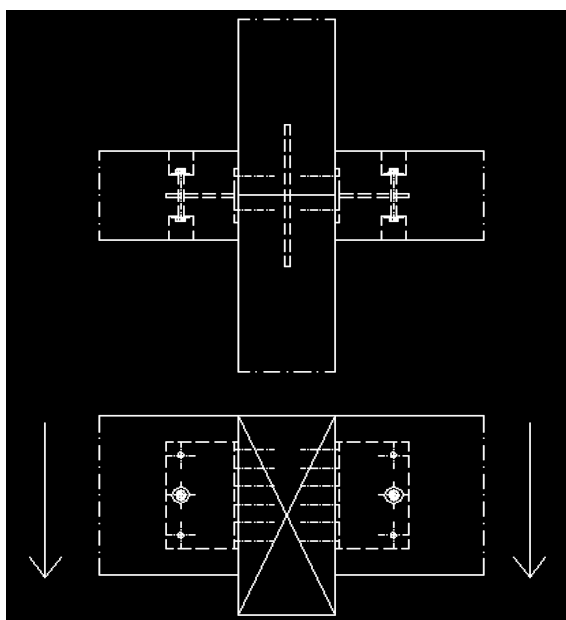
90,00 [°]

spessore legno

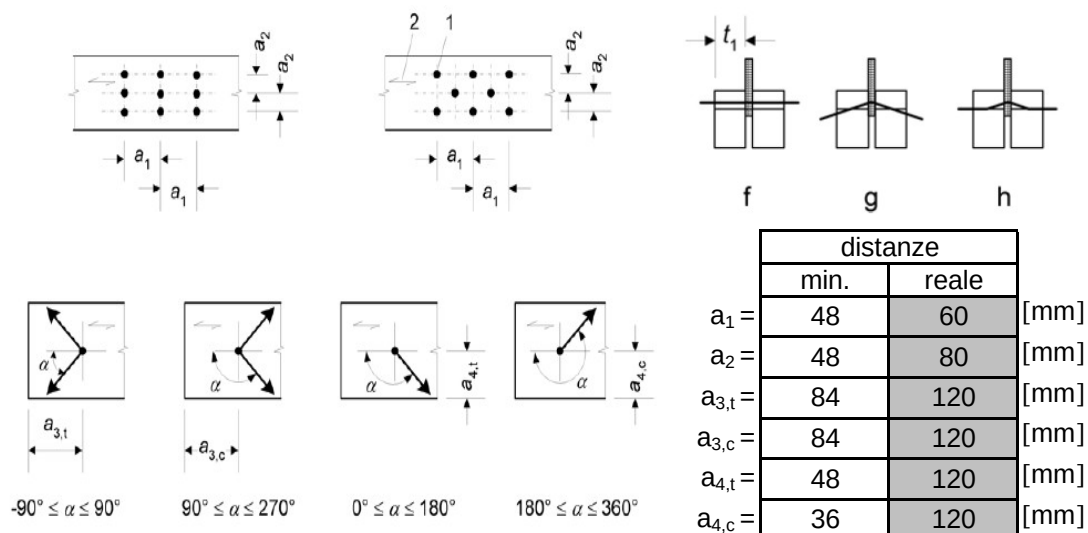
$t_1 = 3,50$  [cm]

$F_{Sd}$

12,80 [KN] ( $F_{Sd}$  trave S202 = 12,80KN.)



### Geometria



nr. file

$n_r =$

3

nr. colonne

$n_s =$

1

$n_{col.ef.} =$

1,00

$n_{tot.ef.} =$

3,00

Verifica allo stato limite ultimo

$f_{h,\alpha,k} =$

17,92

[N/mm<sup>2</sup>]

$M_{y,Rk} =$

95932

[Nmm]

$F_{v,Rk} =$

12,93

[kN]

$F_{v,Rd} =$

7,76

[kN]

$F_{Rd} =$

23,28

[kN]

Verifica

$F_{Sd}/F_{Rd}$

0,55

<

1

=

52

mm

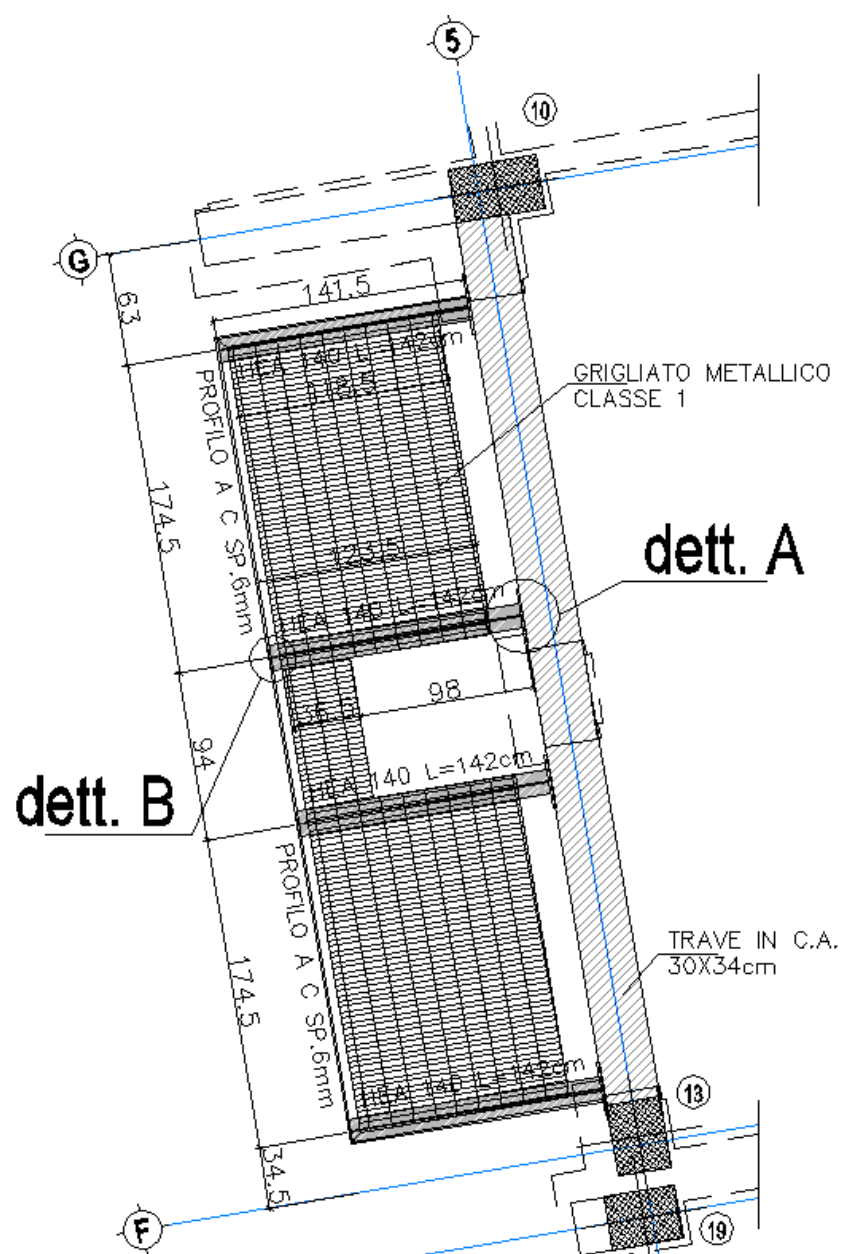
NUOVA SCUOLA DELL'INFANZIA A SEI SEZIONI in località CASTELLO di SERRAVALLE

viale G. Verdi - COMUNE DI VALSAMOGGIA (BO)

**PROGETTO ESECUTIVO**

RELAZIONE DI CALCOLO STRUTTURALE BLOCCO D

2.5.4.5-Verifica balcone metallico



NUOVA SCUOLA DELL'INFANZIA A SEI SEZIONI in località CASTELLO di SERRAVALLE

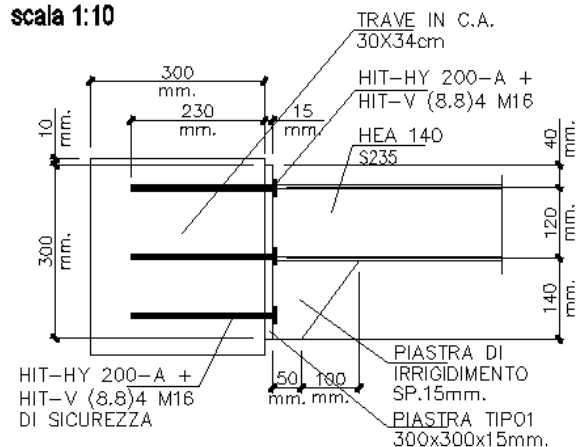
viale G. Verdi - COMUNE DI VALSAMOGGIA (BO)

**PROGETTO ESECUTIVO**

RELAZIONE DI CALCOLO STRUTTURALE BLOCCO D

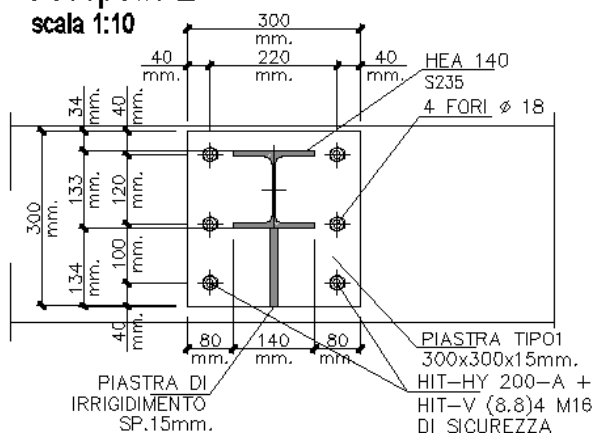
**DETT. A - Prospetto 1**

scala 1:10



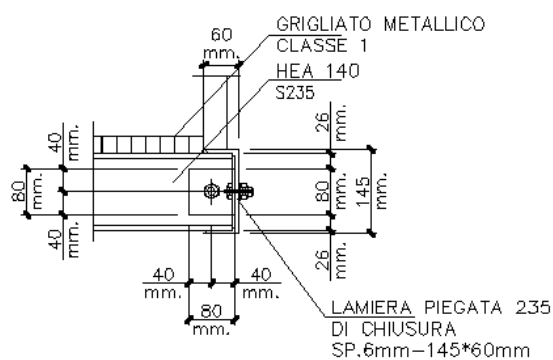
**Prospetto 2**

scala 1:10



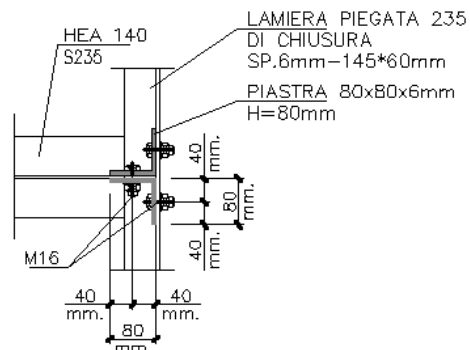
**DETT. B - Prospetto 1**

scala 1:10



**DETT. B - Pianta**

scala 1:10



**NUOVA SCUOLA DELL'INFANZIA A SEI SEZIONI in località CASTELLO di SERRAVALLE**
**viale G. Verdi - COMUNE DI VALSAMOGGIA (BO)**
**PROGETTO ESECUTIVO**
**RELAZIONE DI CALCOLO STRUTTURALE BLOCCO D**

Il balcone metallico esterno posizionato in corrispondenza dei fili 14 e 5 è costituito da un grigliato metallico pedonale di spessore 40 mm (40 Kg/m<sup>2</sup>) in appoggio su quattro travi metalliche HEA 140, ad interasse 94cm e 174.5cm .

Il balcone permette l'accesso al locale tecnico, dove verranno posizionate le unità trattamento aria ed è accessibile al solo personale tecnico. L'accesso al balcone avverrà tramite scala alla marinara.

Il profilo si fissa alla trave in c.a. di piano attraverso una piastra metallica sp.15 mm e innesti chimici (4 elementi diametro 16mm.) e realizza un vincolo di tipo incastro. I quattro innesti chimici sono infatti in grado di assorbire le forze di taglio e lo sforzo di trazione agente sugli innesti superiori. Il collegamento è stato verificato con il programma HILTI ANCHOR.

Si verifica quindi il profilo centrale come trave a sbalzo di  $l = 142\text{cm}$ .

**CARICHI AGENTI SULLA TRAVE METALLICA HEA 140**
**Carichi distribuiti**

-carico permanente grigliato  $100 \text{ Kg/mq} * (0.94+1.745)/2 = 140\text{Kg/m}$

-carico accidentale tipo C2 (balconi, ballatoi e scale comuni)  $400 \text{ Kg/mq} * (0.94+1.745)/2 = 560 \text{ Kg/m}$

**Carichi concentrati**

-carico permanente parapetto e profilo a C di chiusura  $100\text{Kg/ml} * (0.94+1.745)/2 = 10$

**Dati relativi ai nodi della struttura**

Nodi

| Nodo | x<br>[m] | y<br>[m] | z<br>[m] | Ux | Uy | Uz | Rx | Ry | Rz | Solaio |
|------|----------|----------|----------|----|----|----|----|----|----|--------|
| 1    | 0.00     | 0.00     | 0.00     | 1  | 1  | 1  | 1  | 1  | 1  | 0      |
| 2    | 1.45     | 0.00     | 0.00     | 0  | 0  | 0  | 0  | 0  | 0  | 0      |

Elementi tipo trave

Caratteristiche dei Materiali:

**NUOVA SCUOLA DELL'INFANZIA A SEI SEZIONI in località CASTELLO di SERRAVALLE**

viale G. Verdi - COMUNE DI VALSAMOGGIA (BO)

**PROGETTO ESECUTIVO**

## RELAZIONE DI CALCOLO STRUTTURALE BLOCCO D

| Tipo | Modulo Elastico<br>[kg/cm <sup>2</sup> ] | $\nu$ | alfa<br>[1/°C] | Peso Specifico<br>[kg/m <sup>3</sup> ] | Commento     |
|------|------------------------------------------|-------|----------------|----------------------------------------|--------------|
| 1    | 300000.0                                 | 0.120 | 0.000012       | 2500.0                                 | Calcestruzzo |
| 2    | 2100000.0                                | 0.330 | 0.000012       | 7850.0                                 | Acciaio      |

Sezioni Impiegate:

| Sezione | Materiale | Tipo di Sezione | Parametri Dimensionali<br>Commenti |
|---------|-----------|-----------------|------------------------------------|
| 1       | 2         | HEA 140         |                                    |

Caratteristiche Inerziali:

| Sezione | Materiale | Area<br>[cm <sup>2</sup> ] | Jt<br>[cm <sup>4</sup> ] | J2<br>[cm <sup>4</sup> ] | J3<br>[cm <sup>4</sup> ] | J23<br>[cm <sup>4</sup> ] | Xx  | Xy  |
|---------|-----------|----------------------------|--------------------------|--------------------------|--------------------------|---------------------------|-----|-----|
| 1       | 2         | 31.47                      | 8                        | 1035                     | 389                      | -0                        | 4.1 | 1.4 |

| Travata | Trave | Nodo<br>i | Nodo<br>j | Nodo<br>k | Materiale | Sezione | Luce<br>[m] | Vi12 | Vj12 | Vi13 | Vj13 |
|---------|-------|-----------|-----------|-----------|-----------|---------|-------------|------|------|------|------|
| 1       | 1     | 1         | 2         | 10000     | 2         | 1       | 1.45        | 100  | 100  | 100  | 100  |

**Condizioni e combinazioni di carico**

Convenzioni adottate

Nel seguito vengono riportate il numero di condizioni di carico statiche e dinamiche che sollecitano la struttura. Si noti che:

Per quanto riguarda le condizioni di carico dinamiche, il programma assimila ogni direzione di ingresso del sisma, definita dal progettista, ad una condizione di carico. Pertanto qualora agiscano sulla struttura n condizioni di carico statiche e il progettista abbia supposto che la struttura venga sollecitata da un sisma entrante in m direzioni, la struttura stessa viene considerata del programma come soggetta ad n + m condizioni di carico.

Le combinazioni di carico, definite dal progettista, combinano fra loro le n + m condizioni di carico ognuna partecipante alla combinazione i-esima secondo i fattori di partecipazione nel seguito riportati. N.B.: se la condizione j-esima ha fattore di partecipazione unitario, allora partecipa per intero alla combinazione i-esima.

Le prime n condizioni sono sempre statiche mentre sono di origine dinamica le (eventuali) condizioni da n + 1 a n + m.

**NUOVA SCUOLA DELL'INFANZIA A SEI SEZIONI in località CASTELLO di SERRAVALLE**

**viale G. Verdi - COMUNE DI VALSAMOGGIA (BO)**

**PROGETTO ESECUTIVO**

**RELAZIONE DI CALCOLO STRUTTURALE BLOCCO D**

Condizioni di carico definite:

| Condizione |                                     |
|------------|-------------------------------------|
| 1          | Cond. 1-PESO PROPRIO                |
| 2          | Cond. 2-CARICHI PERMANENTI          |
| 3          | Cond. 3-CARICHI ACCIDENTALI TIPO C2 |

Combinazioni agli Stati Limite Ultimo

| Comb.\Cond | 1   | 2   | 3   |
|------------|-----|-----|-----|
| 1          | 1.3 | 1.3 | 1.5 |

Combinazioni RARE Stati Limite di Esercizio

| Comb.\Cond | 1 | 2 | 3 |
|------------|---|---|---|
| 2          | 1 | 1 | 1 |

Combinazioni FREQUENTI Stati Limite di Esercizio

| Comb.\Cond | 1 | 2 | 3   |
|------------|---|---|-----|
| 3          | 1 | 1 | 0.7 |

Combinazioni QUASI PERMANENTI Stati Limite di Esercizio

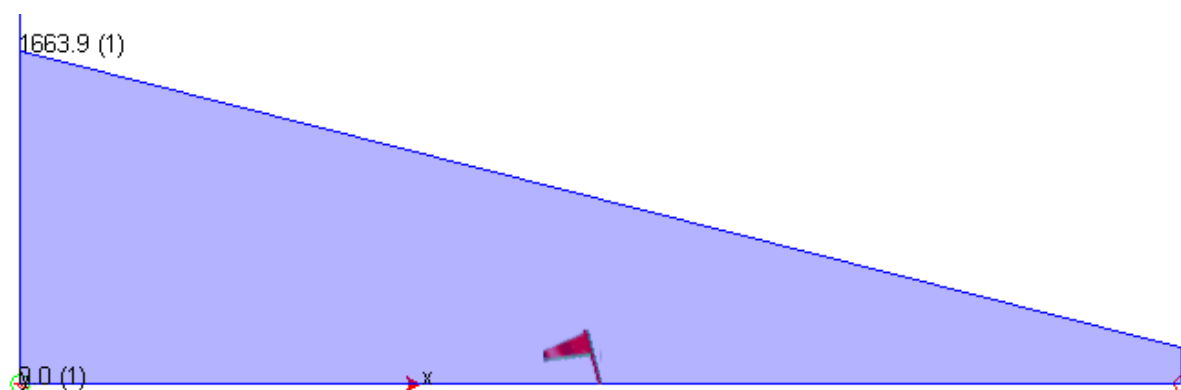
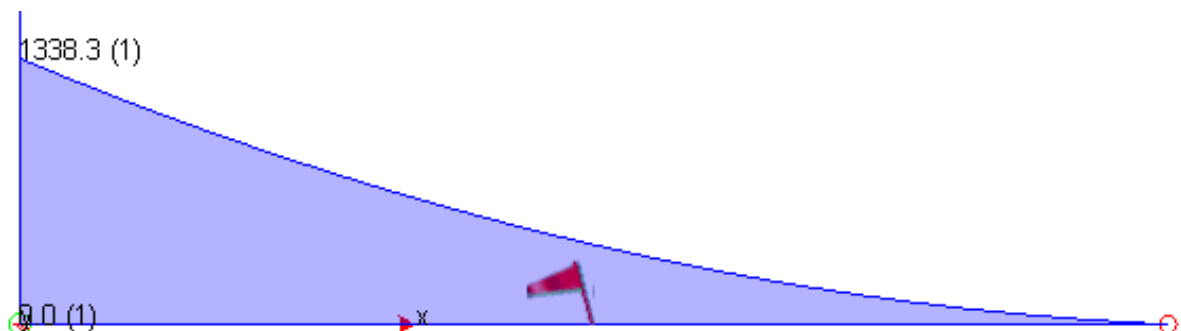
| Comb.\Cond | 1 | 2 | 3   |
|------------|---|---|-----|
| 4          | 1 | 1 | 0.6 |

**Carichi e coppie applicati ai nodi**

| Nodo | Cond. | Px<br>[kg] | Py<br>[kg] | Pz<br>[kg] | Mx<br>[kgm] | My<br>[kgm] | Mz<br>[kgm] |
|------|-------|------------|------------|------------|-------------|-------------|-------------|
| 2    | 2     | 0.0        | 0.0        | -140.0     | 0.0         | 0.0         | 0.0         |

**NUOVA SCUOLA DELL'INFANZIA A SEI SEZIONI in località CASTELLO di SERRAVALLE**
**viale G. Verdi - COMUNE DI VALSAMOGGIA (BO)**
**PROGETTO ESECUTIVO**
**RELAZIONE DI CALCOLO STRUTTURALE BLOCCO D**
**Carichi distribuiti**

| Nodo I | Nodo J | L<br>[m] | Condizione<br>di carico | $x_i$<br>[m] | $q_{xi}$<br>[kg/m] | $q_{yi}$<br>[kg/m] | $q_{zi}$<br>[kg/m] | $x_j$<br>[m] | $q_{xj}$<br>[kg/m] | $q_{yj}$<br>[kg/m] | $q_{zj}$<br>[kg/m] |
|--------|--------|----------|-------------------------|--------------|--------------------|--------------------|--------------------|--------------|--------------------|--------------------|--------------------|
| 1      | 2      | 1.45     | 3                       | 0.00         | 0.0                | 560.0              | 0.0                | 1.45         | 0.0                | 560.0              | 0.0                |
|        |        |          | 2                       | 0.00         | 0.0                | 140.0              | 0.0                | 1.45         | 0.0                | 140.0              | 0.0                |

**DIAGRAMMA INVILUPPO T**

**DIAGRAMMA INVILUPPO M**


**NUOVA SCUOLA DELL'INFANZIA A SEI SEZIONI in località CASTELLO di SERRAVALLE**
**viale G. Verdi - COMUNE DI VALSAMOGGIA (BO)**
**PROGETTO ESECUTIVO**
**RELAZIONE DI CALCOLO STRUTTURALE BLOCCO D**
**Percentuale di sfruttamento dei profilati metallici**

Distribuzione degli elementi (n. di elementi in ogni campo)

| Sezione<br>Numero | Sezione<br>tipo | Sd/Sr ≤<br>33% | Sd/Sr ≤<br>66% | Sd/Sr ≤<br>100% | Sd/Sr ≤<br>1000% | Sd/Sr ≤<br>1004% | Sd/Sr ≤<br>1005% | Sd/Sr ≤<br>1006% |
|-------------------|-----------------|----------------|----------------|-----------------|------------------|------------------|------------------|------------------|
| 1                 | HEA<br>140      | 0.00 (0)       | 100.00 (1)     | 0.00 (0)        | 0.00 (0)         | 0.00 (0)         | 0.00 (0)         | 0.00 (0)         |

Elementi maggiormente sollecitati

Elementi Trave

| Sezione   | Min<br>Elemento nodi | Min S <sub>D</sub> /S <sub>R</sub> | Max<br>Elemento nodi | Max S <sub>D</sub> /S <sub>R</sub> |
|-----------|----------------------|------------------------------------|----------------------|------------------------------------|
| 1 HEA 140 | 1 2                  | 0.56                               | 1 2                  | 0.56                               |

**NUOVA SCUOLA DELL'INFANZIA A SEI SEZIONI in località CASTELLO di SERRAVALLE**
**viale G. Verdi - COMUNE DI VALSAMOGGIA (BO)**
**PROGETTO ESECUTIVO**
**RELAZIONE DI CALCOLO STRUTTURALE BLOCCO D**
**Verifiche asta dal nodo 1 al nodo 2**

Dati generali:

Luce dell'asta .....: 1.45 [m]

Sezione numero .....: 1 / HEA 140

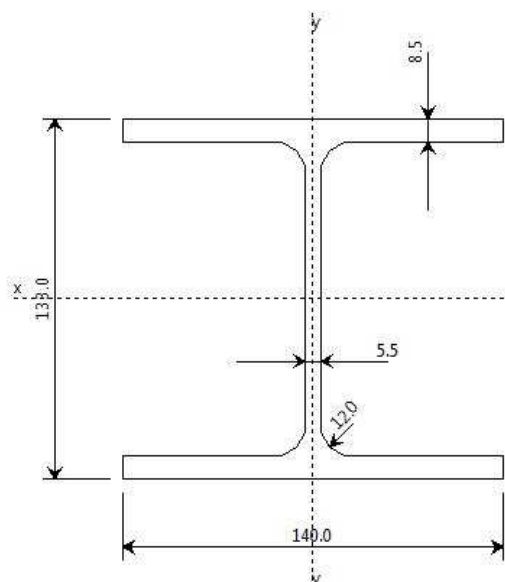
Materiale .....: Acciaio

 Tensione ammissibile .....: 1600.0 [kg/cm<sup>2</sup>]

 Tensione di snervamento .....: 2350.0 [kg/cm<sup>2</sup>]

Beta nel piano 1/2 .....: 1.00

Beta nel piano 1/3 .....: 1.00



DATI INERZIALI PROFILO : HEA 140

|                                      |                          |        |                                                     |
|--------------------------------------|--------------------------|--------|-----------------------------------------------------|
| Area                                 | 31.47 [cm <sup>2</sup> ] | A.Traz | 31.47 [cm <sup>2</sup> ]<br>(L collegamento 0 [mm]) |
| Jx                                   | 1035 [cm <sup>4</sup> ]  | ix     | 5.73 [cm]                                           |
| Wx                                   | 156 [cm <sup>3</sup> ]   | Zx     | 174 [cm <sup>3</sup> ]                              |
| Jy                                   | 389 [cm <sup>4</sup> ]   | iy     | 3.52 [cm]                                           |
| Wy                                   | 56 [cm <sup>3</sup> ]    | Zy     | 85 [cm <sup>3</sup> ]                               |
| Jt                                   | 8 [cm <sup>4</sup> ]     |        |                                                     |
| Cw                                   | 15064 [cm <sup>6</sup> ] |        |                                                     |
| Curva di instabilità piano 1-2 (x-x) | b                        |        |                                                     |
| Curva di instabilità piano 1-3 (y-y) | c                        |        |                                                     |

Doppio T

|   |     |      |
|---|-----|------|
| B | 140 | [mm] |
| H | 133 | [mm] |

**NUOVA SCUOLA DELL'INFANZIA A SEI SEZIONI in località CASTELLO di SERRAVALLE**
**viale G. Verdi - COMUNE DI VALSAMOGGIA (BO)**
**PROGETTO ESECUTIVO**
**RELAZIONE DI CALCOLO STRUTTURALE BLOCCO D**

|    |    |      |
|----|----|------|
| tf | 9  | [mm] |
| tw | 6  | [mm] |
| r  | 12 | [mm] |

**VERIFICA DI RESISTENZA**

Tensione Massima nella Combinazione 1 All'Ascissa 0.00

| Sollecitazione             |        |       | Tensione Indotta |                       |
|----------------------------|--------|-------|------------------|-----------------------|
| N                          | 0.0    | [kg]  | 0.0              | [kg/cm <sup>2</sup> ] |
| Mx                         | 1338.3 | [kgm] | 860.2            | [kg/cm <sup>2</sup> ] |
| My                         | -0.0   | [kgm] | 0.0              | [kg/cm <sup>2</sup> ] |
| <i>Tensione Risultante</i> |        |       | <u>860.2</u>     | [kg/cm <sup>2</sup> ] |

Tensione Minima nella Combinazione 1 All'Ascissa 0.00

| Sollecitazione             |        |       | Tensione Indotta |                       |
|----------------------------|--------|-------|------------------|-----------------------|
| N                          | 0.0    | [kg]  | 0.0              | [kg/cm <sup>2</sup> ] |
| Mx                         | 1338.3 | [kgm] | -860.2           | [kg/cm <sup>2</sup> ] |
| My                         | -0.0   | [kgm] | -0.0             | [kg/cm <sup>2</sup> ] |
| <i>Tensione Risultante</i> |        |       | <u>-860.2</u>    | [kg/cm <sup>2</sup> ] |

Tensione Tangenziale Max nella Combinazione 1 All'Ascissa 0.00

| Sollecitazione             |        |      | Tensione Indotta |                       |
|----------------------------|--------|------|------------------|-----------------------|
| Ty                         | 1663.9 | [kg] | 253.7            | [kg/cm <sup>2</sup> ] |
| <i>Tensione Risultante</i> |        |      | <u>253.7</u>     | [kg/cm <sup>2</sup> ] |

Tensione Ideale Max nella Combinazione 1 all'Ascissa 0.00 (*Bordo Esterno*)

**NUOVA SCUOLA DELL'INFANZIA A SEI SEZIONI in località CASTELLO di SERRAVALLE**

**viale G. Verdi - COMUNE DI VALSAMOGGIA (BO)**

**PROGETTO ESECUTIVO**

RELAZIONE DI CALCOLO STRUTTURALE BLOCCO D

| Sollecitazione                    |        |       | Tensione Indotta |                       |
|-----------------------------------|--------|-------|------------------|-----------------------|
| N                                 | 0.0    | [kg]  | 0.0              | [kg/cm <sup>2</sup> ] |
| Mx                                | 1338.3 | [kgm] | -860.2           | [kg/cm <sup>2</sup> ] |
| Ty                                | 1663.9 | [kg]  | 0.0              | [kg/cm <sup>2</sup> ] |
| My                                | -0.0   | [kgm] | 0.0              | [kg/cm <sup>2</sup> ] |
| <i>Tensione Ideale Risultante</i> |        |       | <u>860.2</u>     | [kg/cm <sup>2</sup> ] |

**VERIFICA DI INSTABILITA DA SFORZO NORMALE**

L'asta risulta non compressa.

**VERIFICA DI INSTABILITA FLESSOTORSIONALE (SVERGOLAMENTO)**

Asta verificata come sezione a *Doppio T*

Dati di Verifica:

Distanza fra i Ritegni Flesso-Torsionali : 1.45 [m]

Base del Profilo : 140 [mm]

Altezza : 133 [mm]

Spessore della Flangia : 9 [mm]

w' ( x 1.4 Carichi All'estradosso) : 1.40

Combinazione di Carico Critica : 1 (*Calcolo a Trave Appoggiata*)

|                              |                            |
|------------------------------|----------------------------|
| Momento Massimo in Campata : | 1338.3 [kgm]               |
| Momento di Verifica :        | 1003.7 [kgm]               |
| Tensione Indotta:            | 903.2[kg/cm <sup>2</sup> ] |

**VERIFICA DI INSTABILITA A PRESSO-FLESSIONE**

L'asta risulta NON COMPRESSA.

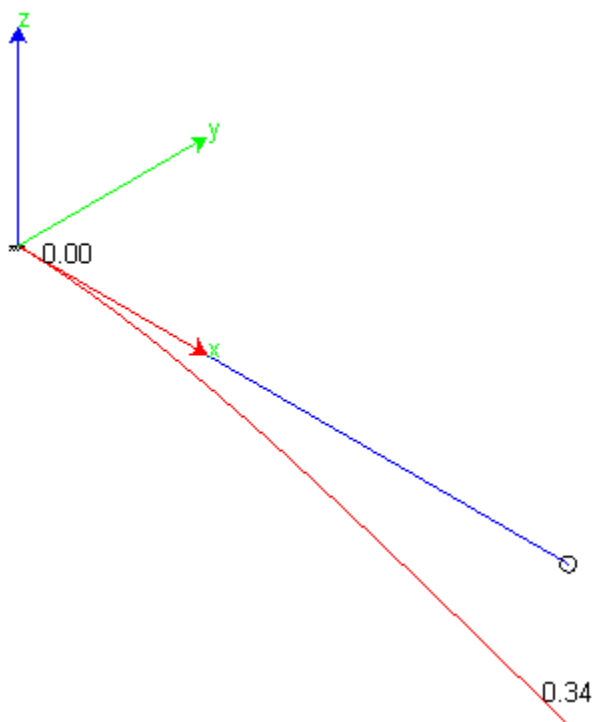
**NUOVA SCUOLA DELL'INFANZIA A SEI SEZIONI in località CASTELLO di SERRAVALLE****viale G. Verdi - COMUNE DI VALSAMOGGIA (BO)****PROGETTO ESECUTIVO****RELAZIONE DI CALCOLO STRUTTURALE BLOCCO D****VERIFICA DEGLI SPOSTAMENTI MASSIMI**

Secondo il cap. 4.2.4..2.1 gli spostamenti massimi verticali della travi dei solai deve essere  $< 1/300$  della luce della trave stessa

Qu si ha spostamento massimo verticali: 0,34cm

$(1/300) * 145\text{cm} = 0,48\text{cm}$

$0,34\text{cm} < 0,48\text{cm}$  –la verifica è soddisfatta



**NUOVA SCUOLA DELL'INFANZIA A SEI SEZIONI in località CASTELLO di SERRAVALLE**
**viale G. Verdi - COMUNE DI VALSAMOGGIA (BO)**
**PROGETTO ESECUTIVO**
**RELAZIONE DI CALCOLO STRUTTURALE BLOCCO D**
**VERIFICA DEL COLLEGAMENTO TRAVE HEA140-TRAVE IN C.A.**

L'ancoraggio alla trave in c.a. verrà realizzata con innesto chimico tipo HILTI HIT-HY 200-A + HIT-V (8.8) M16

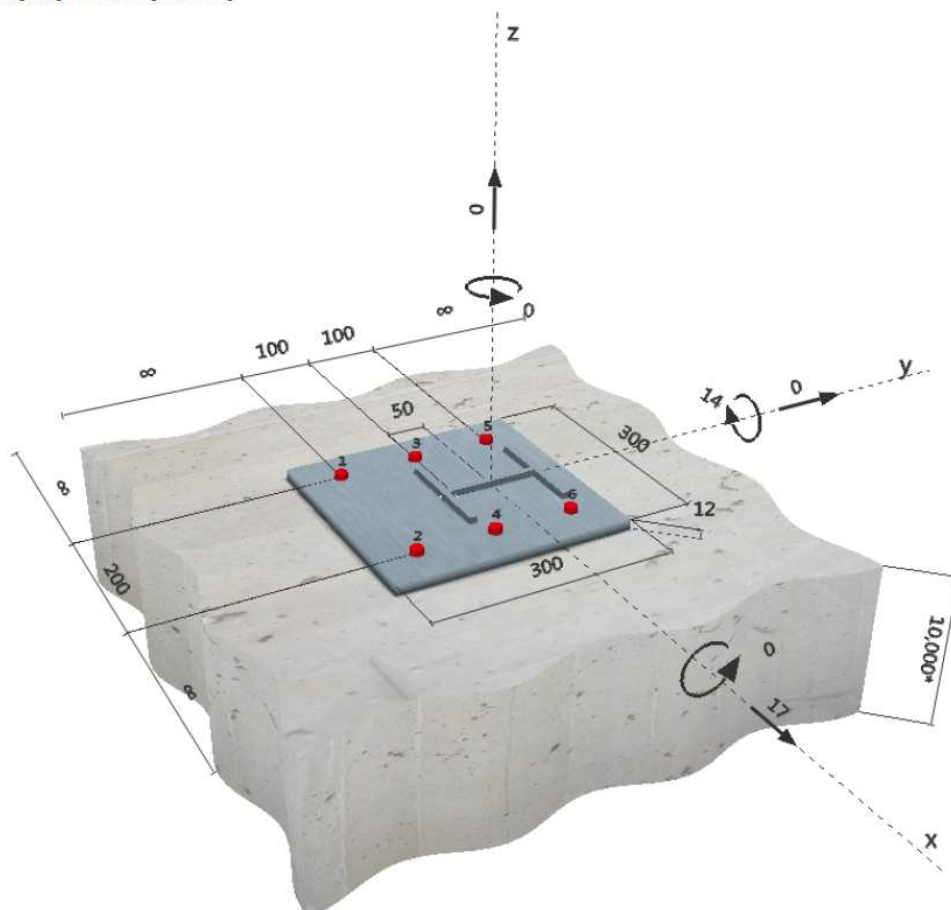
SI VERIFICA IL COLLEGAMENTO NELLA CONDIZIONE Più SFAVOREVOLE

**1 Dati da inserire**

|                                   |                                                                                                                                                                                                     |
|-----------------------------------|-----------------------------------------------------------------------------------------------------------------------------------------------------------------------------------------------------|
| Tipo e dimensione dell'ancorante: | <b>HIT-HY 200-A + HIT-V (8.8) M16</b>                                                                                                                                                               |
| Profondità di posa effettiva:     | $h_{ef, opti} = 178 \text{ mm}$ ( $h_{ef, limit} = 320 \text{ mm}$ )                                                                                                                                |
| Materiale:                        | 8.8                                                                                                                                                                                                 |
| Certificazione No.:               | ETA 11/0493                                                                                                                                                                                         |
| Emesso l Valido:                  | 08/08/2012   23/12/2016                                                                                                                                                                             |
| Verifica:                         | metodo di calcolo ETAG BOND; EOTA TR 029                                                                                                                                                            |
| Fissaggio distanziato:            | $e_b = 0 \text{ mm}$ (Senza distanziamento); $t = 12 \text{ mm}$                                                                                                                                    |
| Piastra d'ancoraggio:             | $l_x \times l_y \times t = 300 \text{ mm} \times 300 \text{ mm} \times 12 \text{ mm}$ ; (Spessore della piastra raccomandato: non calcolato)                                                        |
| Profilo:                          | IPBI/HEA; ( $L \times W \times T \times FT$ ) = $133 \text{ mm} \times 140 \text{ mm} \times 9 \text{ mm} \times 9 \text{ mm}$                                                                      |
| Materiale base:                   | Fessurato Calcestruzzo, C25/30, $f_{cc} = 30.00 \text{ N/mm}^2$ ; $h = 10000 \text{ mm}$ , Temp. Breve/Lungo: 0/0 °C                                                                                |
| Installazione:                    | Foro da perforatore, Condizioni di installazione: asciutto                                                                                                                                          |
| Armatura:                         | nessuna armatura o interasse tra le armature $\geq 150 \text{ mm}$ (qualunque $\varnothing$ ) o $\geq 100 \text{ mm}$ ( $\varnothing \leq 10 \text{ mm}$ )<br>senza armatura di bordo longitudinale |



Geometria [mm] & Carichi [kN, kNm]



**NUOVA SCUOLA DELL'INFANZIA A SEI SEZIONI in località CASTELLO di SERRAVALLE**
**viale G. Verdi - COMUNE DI VALSAMOGGIA (BO)**
**PROGETTO ESECUTIVO**
**RELAZIONE DI CALCOLO STRUTTURALE BLOCCO D**
**2 Condizione di carico/Carichi risultanti sull'ancorante**

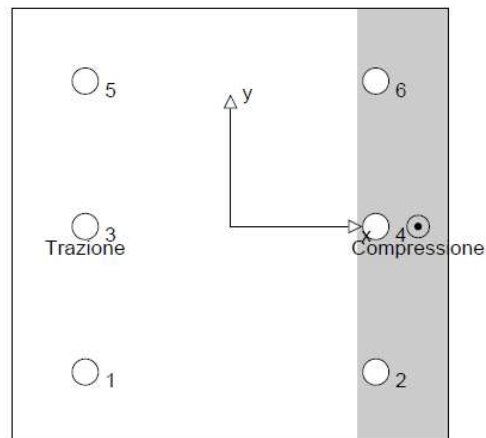
Condizione di carico: Carichi di progetto

**Carichi sull'ancorante [kN]**

Trazione: ( + Trazione, - Compressione)

| Ancorante | Trazione | Taglio | Taglio in dir. x | Taglio in dir. y |
|-----------|----------|--------|------------------|------------------|
| 1         | 20.368   | 2.158  | 1.983            | 0.850            |
| 2         | 0.000    | 2.158  | 1.983            | -0.850           |
| 3         | 20.368   | 2.958  | 2.833            | 0.850            |
| 4         | 0.000    | 2.958  | 2.833            | -0.850           |
| 5         | 20.368   | 3.780  | 3.683            | 0.850            |
| 6         | 0.000    | 3.780  | 3.683            | -0.850           |

Compressione max. nel calcestruzzo: 0.22 [‰]  
 Max. sforzo di compressione nel calcestruzzo: 6.50 [N/mm<sup>2</sup>]  
 risultante delle forze di trazione nel (x/y)=(-100/0): 61.103 [kN]  
 risultante delle forze di compressione (x/y)=(129/0): 61.103 [kN]


**3 Carico di trazione (EOTA TR 029, Sezione 5.2.2)**

|                                                              | carico [kN] | Resistenza [kN] | Utilizzo $\beta_N$ [%] | stato |
|--------------------------------------------------------------|-------------|-----------------|------------------------|-------|
| Rottura dell'acciaio*                                        | 20.368      | 84.000          | 25                     | OK    |
| Rottura combinata conica del calcestruzzo e per sfilamento** | 61.103      | 61.252          | 100                    | OK    |
| Rottura conica del calcestruzzo**                            | 61.103      | 71.516          | 86                     | OK    |
| Fessurazione**                                               | N/A         | N/A             | N/A                    | N/A   |

\*ancorante più sollecitato \*\*gruppo di ancoranti (ancoranti sollecitati)

**3.1 Rottura dell'acciaio**

| $N_{Rk,s}$ [kN] | $\gamma_{M,s}$ | $N_{Rd,s}$ [kN] | $N_{Sd}$ [kN] |
|-----------------|----------------|-----------------|---------------|
| 126.000         | 1.500          | 84.000          | 20.368        |

**3.2 Rottura combinata conica del calcestruzzo e per sfilamento**

| $A_{p,N}$ [mm <sup>2</sup> ] | $A_{p,N}^0$ [mm <sup>2</sup> ]      | $\tau_{Rk,ucr,25}$ [N/mm <sup>2</sup> ] | $S_{cr,Np}$ [mm] | $c_{cr,Np}$ [mm] | $c_{min}$ [mm] |
|------------------------------|-------------------------------------|-----------------------------------------|------------------|------------------|----------------|
| 377578                       | 273067                              | 20.00                                   | 523              | 261              | $\infty$       |
| $\psi_c$                     | $\tau_{Rk,cr}$ [N/mm <sup>2</sup> ] | k                                       | $\psi_{g,Np}^0$  | $\psi_{g,Np}$    |                |
| 1.000                        | 8.00                                | 2.300                                   | 1.246            | 1.114            |                |
| $e_{c1,N}$ [mm]              | $\psi_{ec1,Np}$                     | $e_{c2,N}$ [mm]                         | $\psi_{ec2,Np}$  | $\psi_{s,Np}$    | $\psi_{re,Np}$ |
| 0                            | 1.000                               | 0                                       | 1.000            | 1.000            | 1.000          |
| $N_{Rk,p}^0$ [kN]            | $N_{Rk,p}$ [kN]                     | $\gamma_{M,p}$                          | $N_{Rd,p}$ [kN]  | $N_{Sd}$ [kN]    |                |
| 71.578                       | 110.254                             | 1.800                                   | 61.252           | 61.103           |                |

**3.3 Rottura conica del calcestruzzo**

| $A_{c,N}$ [mm <sup>2</sup> ] | $A_{c,N}^0$ [mm <sup>2</sup> ] | $c_{cr,N}$ [mm] | $S_{cr,N}$ [mm] |              |               |       |
|------------------------------|--------------------------------|-----------------|-----------------|--------------|---------------|-------|
| 391956                       | 285156                         | 267             | 534             |              |               |       |
| $e_{c1,N}$ [mm]              | $\psi_{ec1,N}$                 | $e_{c2,N}$ [mm] | $\psi_{ec2,N}$  | $\psi_{s,N}$ | $\psi_{re,N}$ | $k_1$ |
| 0                            | 1.000                          | 0               | 1.000           | 1.000        | 1.000         | 7.200 |
| $N_{Rk,c}^0$ [kN]            | $\gamma_{M,c}$                 | $N_{Rd,c}$ [kN] | $N_{Sd}$ [kN]   |              |               |       |
| 93.653                       | 1.800                          | 71.516          | 61.103          |              |               |       |

**NUOVA SCUOLA DELL'INFANZIA A SEI SEZIONI in località CASTELLO di SERRAVALLE**
**viale G. Verdi - COMUNE DI VALSAMOGGIA (BO)**
**PROGETTO ESECUTIVO**
**RELAZIONE DI CALCOLO STRUTTURALE BLOCCO D**
**4 Carico di taglio (EOTA TR 029, Sezione 5.2.3)**

|                                                    | carico [kN] | Resistenza [kN] | Utilizzo $\beta_v$ [%] | stato |
|----------------------------------------------------|-------------|-----------------|------------------------|-------|
| Rottura dell'acciaio (senza braccio di leva)*      | 3.780       | 50.400          | 8                      | OK    |
| Rottura dell'acciaio (con braccio di leva)*        | N/A         | N/A             | N/A                    | N/A   |
| Rottura per pryout**                               | 17.000      | 187.727         | 10                     | OK    |
| Rottura del bordo del calcestruzzo in direzione ** | N/A         | N/A             | N/A                    | N/A   |

\*ancorante più sollecitato \*\*gruppo di ancoranti (ancoranti specifici)

**4.1 Rottura dell'acciaio (senza braccio di leva)**

| $V_{Rk,s}$ [kN] | $\gamma_{M,s}$ | $V_{Rd,s}$ [kN] | $V_{Sd}$ [kN] |
|-----------------|----------------|-----------------|---------------|
| 63.000          | 1.250          | 50.400          | 3.780         |

**4.2 Rottura per pryout (adesione)**

| $A_{p,N}$ [mm <sup>2</sup> ] | $A_{p,N}^0$ [mm <sup>2</sup> ]      | $\tau_{Rk,ucr,25}$ [N/mm <sup>2</sup> ] | $c_{cr,Np}$ [mm] | $s_{cr,Np}$ [mm] | $c_{min}$ [mm] |
|------------------------------|-------------------------------------|-----------------------------------------|------------------|------------------|----------------|
| 522090                       | 273067                              | 20.00                                   | 261              | 523              | $\infty$       |
| $\psi_c$                     | $\tau_{Rk,cr}$ [N/mm <sup>2</sup> ] | k                                       | k-factor         | $\psi_{g,Np}^0$  | $\psi_{g,Np}$  |
| 1.000                        | 8.00                                | 2.300                                   | 2.000            | 1.486            | 1.226          |
| $\psi_{s,Np}$                | $e_{c1,V}$ [mm]                     | $\psi_{ec1,Np}$                         | $e_{c2,V}$ [mm]  | $\psi_{ec2,Np}$  | $\psi_{re,Np}$ |
| 1.000                        | 0                                   | 1.000                                   | 50               | 0.839            | 1.000          |
| $N_{Rk,p}^0$ [kN]            | $N_{Rk,p}$ [kN]                     | $\gamma_{M,c,p}$                        | $V_{Rd,c1}$ [kN] | $V_{Sd}$ [kN]    |                |
| 71.578                       | 140.796                             | 1.500                                   | 187.727          | 17.000           |                |

**6 Spostamento (ancorante più sollecitato)**

Carichi di breve periodo:

|          |   |             |               |   |            |
|----------|---|-------------|---------------|---|------------|
| $N_{Sk}$ | = | 15.087 [kN] | $\delta_N$    | = | 0.118 [mm] |
| $V_{Sk}$ | = | 2.800 [kN]  | $\delta_V$    | = | 0.112 [mm] |
|          |   |             | $\delta_{NV}$ | = | 0.163 [mm] |

Carichi di lungo periodo:

|          |   |             |               |   |            |
|----------|---|-------------|---------------|---|------------|
| $N_{Sk}$ | = | 15.087 [kN] | $\delta_N$    | = | 0.270 [mm] |
| $V_{Sk}$ | = | 2.800 [kN]  | $\delta_V$    | = | 0.168 [mm] |
|          |   |             | $\delta_{NV}$ | = | 0.318 [mm] |

**NUOVA SCUOLA DELL'INFANZIA A SEI SEZIONI in località CASTELLO di SERRAVALLE**
**viale G. Verdi - COMUNE DI VALSAMOGGIA (BO)**
**PROGETTO ESECUTIVO**
**RELAZIONE DI CALCOLO STRUTTURALE BLOCCO D**
**8 Dati Installazione**

Piastra d'ancoraggio, acciaio: -

Profilo: IPBi/HEA; 133 x 140 x 9 x 9 mm

 Diametro del foro nella piastra:  $d_f = 18$  mm

Spessore della piastra (input): 12 mm

Spessore della piastra raccomandato: non calcolato

Pulizia: E' necessaria una pulizia accurata del foro (Premium cleaning)

Tipo e dimensione dell'ancorante: HIT-HY 200-A + HIT-V (8.8), M16

Coppia di serraggio: 0.080 kNm

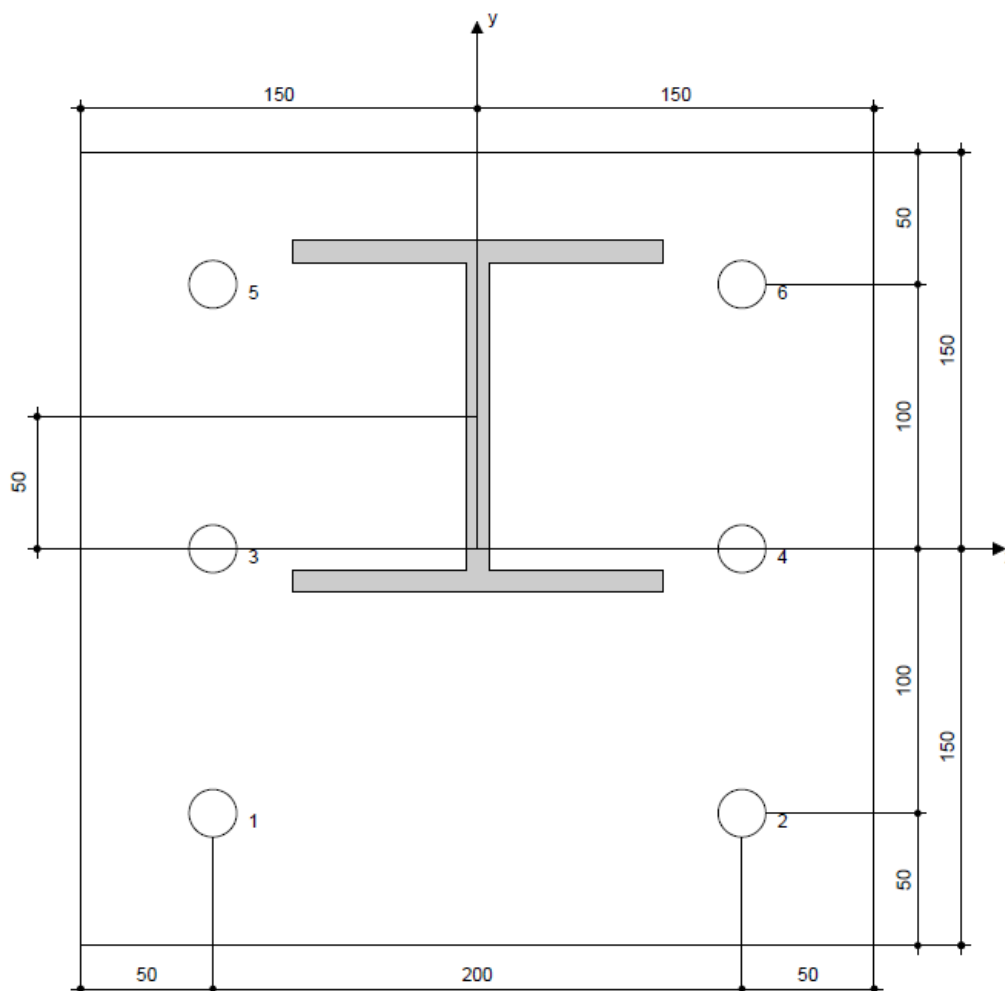
Diametro del foro nel materiale base: 18 mm

Profondità del foro nel materiale base: 178 mm

Spessore minimo del materiale base: 214 mm

**8.1 Required accessories**

| Drilling                                                                                                   | Cleaning                                                                                                                                                           | Setting                                                                                                         |
|------------------------------------------------------------------------------------------------------------|--------------------------------------------------------------------------------------------------------------------------------------------------------------------|-----------------------------------------------------------------------------------------------------------------|
| <ul style="list-style-type: none"> <li>Suitable Rotary Hammer</li> <li>Properly sized drill bit</li> </ul> | <ul style="list-style-type: none"> <li>Compressed air with required accessories to blow from the bottom of the hole</li> <li>Proper diameter wire brush</li> </ul> | <ul style="list-style-type: none"> <li>Dispenser including cassette and mixer</li> <li>Torque wrench</li> </ul> |



Coordinate dell'ancorante [mm]

| Ancorante | x    | y    | C-x | C+y | C-y | C+y |
|-----------|------|------|-----|-----|-----|-----|
| 1         | -100 | -100 | -   | -   | -   | -   |
| 2         | 100  | -100 | -   | -   | -   | -   |
| 3         | -100 | 0    | -   | -   | -   | -   |

| Ancorante | x    | y   | C-x | C+y | C-y | C+y |
|-----------|------|-----|-----|-----|-----|-----|
| 4         | 100  | 0   | -   | -   | -   | -   |
| 5         | -100 | 100 | -   | -   | -   | -   |
| 6         | 100  | 100 | -   | -   | -   | -   |

**NUOVA SCUOLA DELL'INFANZIA A SEI SEZIONI in località CASTELLO di SERRAVALLE**

**viale G. Verdi - COMUNE DI VALSAMOGGIA (BO)**

**PROGETTO ESECUTIVO**

RELAZIONE DI CALCOLO STRUTTURALE BLOCCO D

---

ALLEGATI:

- SCHEDA TECNICA COLLEGAMENTI TIPO "RICON"
- SCHEDA TECNICA LEGNO X-LAM



ETA-Danmark A/S  
Göteborg Plads 1  
DK-2150 Nordhavn  
Tel. +45 72 24 59 00  
Fax +45 72 24 59 04  
Internet [www.etadanmark.dk](http://www.etadanmark.dk)

Authorised and notified according  
to Article 29 of the Regulation (EU)  
No 305/2011 of the European  
Parliament and of the Council of 9  
March 2011

MEMBER OF EOTA



## European Technical Assessment ETA-10/0189 of 03/03/2016

### I General Part

**Technical Assessment Body issuing the ETA and designated according to Article 29 of the Regulation (EU) No 305/2011: ETA-Danmark A/S**

**Trade name of the construction product:**

Knapp Clip Connectors type GIGANT 120, 150 and 180, Type RICON 60/40, 80/40, 100/40, 120/40, 140/40 and 160/40, Type RICON S 60/140, 60/170, 60/200, 60/230 and 80/200, 80/230, 80/260 and 80/290, and Type WALCO V60, V80 and WALCO 40

**Product family to which the above construction product belongs:**

Three-dimensional nailing plate (concealed beam hangers)

**Manufacturer:**

Knapp GmbH  
Wassergasse 31  
A-3324 Euratsfeld  
Tel.: +43 (0) 7474 79910-0  
Telefax: +43 (0) 7474 79910-99  
Internet: [www.knapp-verbinder.com](http://www.knapp-verbinder.com)

**Manufacturing plant:**

Knapp GmbH  
Wassergasse 31  
A-3324 Euratsfeld

**This European Technical Assessment contains:**

180 pages including 4 annexes which form an integral part of the document

**This European Technical Assessment is issued in accordance with Regulation (EU) No 305/2011, on the basis of:**

Guideline for European Technical Approval (ETAG) No. 015 Three Dimensional Nailing Plates, April 2013, used as European Assessment Document (EAD).

**This version replaces:**

The previous ETA with the same number issued on 2015-10-22

Translations of this European Technical Assessment in other languages shall fully correspond to the original issued document and should be identified as such.

Communication of this European Technical Assessment, including transmission by electronic means, shall be in full (excepted the confidential Annex(es) referred to above). However, partial reproduction may be made, with the written consent of the issuing Technical Assessment Body. Any partial reproduction has to be identified as such.

## II SPECIFIC PART OF THE EUROPEAN TECHNICAL ASSESSMENT

### 1 Technical description of product and intended use

#### Technical description of the product

Knapp Clip Connectors GIGANT, RICON, RICON S and WALCO 40 are two-piece or one-piece (WALCO V) non-welded, face-fixed connectors to be used in timber to timber connections as well as connections between a timber and a steel member or timber and concrete member. RICON S can also be welded.

The connectors are made from pre-galvanized steel grade DD13 according to EN 10111:2008-06 with minimum yield strength  $R_e$  of 235 MPa. Dimensions, hole positions and typical installations are shown in Annex A.

### 2 Specification of the intended use in accordance with the applicable EAD

The connectors are intended for use in making end-grain to side-grain connections, end-grain to end-grain and side-grain to side-grain connections in load bearing timber structures, as a connection between a wood based joist and a solid timber (softwood or hardwood) or wood based header, where requirements for mechanical resistance and stability and safety in use in the sense of the Basic Works Requirements 1 and 4 of Regulation (EU) 305/2011 shall be fulfilled. They are also intended for use in making an end-grain or side-grain connection between a timber joist and a steel member or concrete.

The connectors can be installed as connections between wood based members such as:

- Structural solid timber of soft- or hardwood according to EN 338 / EN 14081,
- Glulam made of soft- or hardwood, classified according to EN 1194 / EN 14080, or with ETA or national approval
- LVL according to EN 14374 or ETA
- Parallam PSL,
- Intrallam LSL,
- Duo- and Triobalken,
- Cross laminated timber and similar structural glued products according EN16351 or ETA.
- Engineered wood products and solid wood panels according to EN13986 or ETA, the provisions of the ETA of the engineered wood product apply

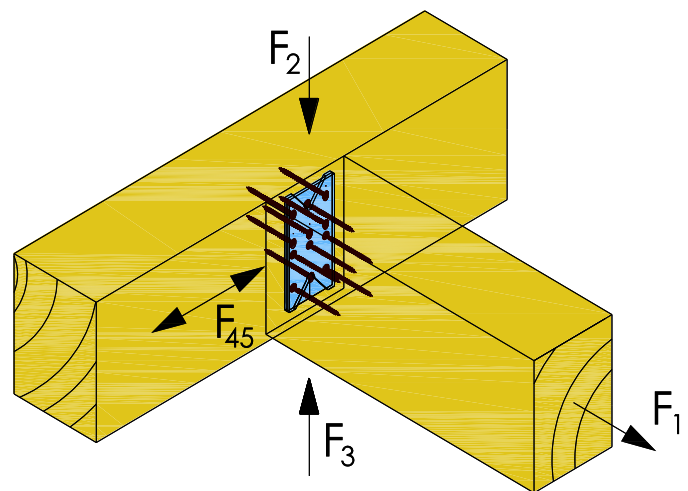
- Engineered wood products according to ETA if the ETA of the product includes provisions for the use of self-tapping screws, the provisions of the ETA of the engineered wood product apply.

However, the calculation methods are only allowed for a characteristic wood density of up to 500 kg/m<sup>3</sup> for softwood and 590 kg/m<sup>3</sup> for hardwood. Even though the wood based material may have a larger density, this must not be used in the formulas for the load-carrying capacities of the fasteners.

Where an interlayer made of wood-based panel is placed between the Knapp Clip Connector and the header, the influence of the interlayer on the load-carrying-capacity of the header fasteners has to be taken into account.

Annex B states the formulas for the characteristic load-carrying capacities of the connections. The design of the connections shall be in accordance with Eurocode 5 or a similar national Timber Code.

It is assumed that the forces acting on the connection are the following  $F_1$ ,  $F_2$ ,  $F_3$  and  $F_{45}$ . The force  $F_1$  acts perpendicular to the connector plate,  $F_2$  and  $F_3$  shall act in the middle of the connector in or against the direction of insertion. The force  $F_{45}$  is assumed to act with an eccentricity  $e_{45}$  with regard to the centre of gravity of the screws in the connector plate. It is assumed that the forces are acting right at the end of the joist.



It is assumed that the header beam is prevented from rotating. Similarly it is assumed that the steel member to which the connector is bolted does not rotate. If the header beam only has installed a connector on one side the eccentricity moment  $M_v = F_d \times b_H/2$  shall be considered where  $b_H$  is the header width. The same applies when the header has connections on both sides, but with vertical forces which differ more than 20%.

It is a condition for a force  $F_1$ ,  $F_2$ ,  $F_3$  and  $F_{45}$  that the connector plate is connected to a wood-based member with screws in all holes marked.

The connectors are intended for use in connections subject to static or quasi static loading. The zinc-coated connectors are for use in timber structures subject to dry, internal conditions defined by the service classes 1 and 2 of EN 1995-1-1, (Eurocode 5). The fasteners (screws and bolts) to be used shall be made from suitable material.

KNAPP clip connectors with  $\geq 60 \mu\text{m}$  zinc-coating and screws with  $\geq 15 \mu\text{m}$  zinc-coating are intended to be used for concealed connections in climatic conditions equivalent to swimming pool facilities with fresh water (this use does not apply to facilities with mineral or brine baths ).

Details of the corrosion protection system are deposited at ETA-Danmark.

The scope of the brackets regarding resistance to corrosion shall be defined according to national provisions that apply at the installation site considering environmental conditions.

The provisions made in this European Technical Assessment are based on an assumed intended working life of the concealed beam hangers of 50 years.

The indications given on the working life cannot be interpreted as a guarantee given by the producer or Assessment Body, but are to be regarded only as a means for choosing the right products in relation to the expected economically reasonable working life of the works.

### 3 Performance of the product and references to the methods used for its assessment

| Characteristic                                                       | Assessment of characteristic                                                                                                                                                                                                                      |
|----------------------------------------------------------------------|---------------------------------------------------------------------------------------------------------------------------------------------------------------------------------------------------------------------------------------------------|
| <b>3.1 Mechanical resistance and stability*) (BWR1)</b>              |                                                                                                                                                                                                                                                   |
| Characteristic load-carrying capacity                                | See Annex B                                                                                                                                                                                                                                       |
| Stiffness                                                            | See Annex B                                                                                                                                                                                                                                       |
| Ductility in cyclic testing                                          | No performance determined                                                                                                                                                                                                                         |
| <b>3.2 Safety in case of fire (BWR2)</b>                             |                                                                                                                                                                                                                                                   |
| Reaction to fire                                                     | The concealed beam hangers are made from steel classified as Euroclass A1 in accordance with EN 13501-1 and EC decision 96/603/EC, amended by EC Decision 2000/605/EC                                                                             |
| <b>3.3 Hygiene, health and the environment (BWR3)</b>                |                                                                                                                                                                                                                                                   |
| Influence on air quality                                             | The product does not contain/release dangerous substances specified in TR 034, dated March 2012**)                                                                                                                                                |
| <b>3.8 General aspects related to the performance of the product</b> | The concealed beam hangers have been assessed as having satisfactory durability and serviceability when used in timber structures using the timber species described in Eurocode 5 and subject to the conditions defined by service class 1 and 2 |
| Identification                                                       | See Annex A                                                                                                                                                                                                                                       |

\*) See additional information in section 3.8 – 3.9.

\*\*) In addition to the specific clauses relating to dangerous substances contained in this European technical Assessment, there may be other requirements applicable to the products falling within its scope (e.g. transposed European legislation and national laws, regulations and administrative provisions). In order to meet the provisions of the Construction Products Regulation, these requirements need also to be complied with, when and where they apply.

### 3.9 Methods of verification

The characteristic load-carrying capacities are based on the characteristic values of the connectors and the steel plates.

According to EN 1990 (Eurocode – Basis of design) paragraph 6.3.5 the design value of load-carrying capacity can be determined by reducing the characteristic values of the load-carrying capacity with different partial factors.

Therefore, to obtain design values according to the Eurocodes or appropriate national codes of practice, the capacities have to be multiplied with different partial factors for the material properties and – for the connectors mounted in wood – also the coefficient  $k_{mod}$  that takes into account the load duration class.

Thus, the characteristic or design values of the load-carrying capacity are determined also for timber failure  $F_{Rk,H}$  (obtaining the embedment strength of connectors subjected to shear or the withdrawal capacity of the most loaded connector, respectively (see Annex B) as well as for steel plate failure  $F_{KCC,Rd}$ . The design value of the load-carrying capacity is the smaller value of both load-carrying capacities.

$$F_{Rd} = \min \left\{ \frac{k_{mod} \cdot F_{Rk,H}}{\gamma_{M,H}}; F_{KCC,Rd} \right\}$$

Therefore, for timber failure the load duration class and the service class are included. The different partial factors  $\gamma_M$  for steel or timber, respectively, are also correctly taken into account.

### 3.10 Mechanical resistance and stability

See annex B for characteristic load-carrying capacities of the connectors.

The characteristic capacities of the connectors are determined by calculation assisted by testing as described in the EOTA Guideline 015 clause 5.1.2. They should be used for designs in accordance with Eurocode 5 or a similar national Timber Code.

The design models allow the use of fasteners described in Annex A:

#### *Screws in accordance with EN 14592*

In the formulas in Annex B the capacities for self-drilling screws calculated from the formulas of Eurocode 5 are used assuming a thick steel plate when calculating the lateral nail load-carrying-capacity.

Further, the connectors can be fastened to a steel member by bolts with a diameter of 5 to 10 mm in holes with a diameter up to 1 mm larger than the bolt, and to a concrete member by concrete dowels.

No performance has been determined in relation to ductility of a joint under cyclic testing. The contribution to the performance of structures in seismic zones, therefore, has not been assessed.

### 3.11 Aspects related to the performance of the product

#### 3.11.1 Corrosion protection in service class 1 and 2.

In accordance with ETAG 015 the connectors from 5 mm thick mild steel either have a zinc coating weight of min Z275 or an equivalent coating Fe/Zn 12c. The steel employed is DD13 according to EN 10111:2008-06 with minimum yield strength  $R_e$  of 235 MPa.

### 3.12 General aspects related to the fitness for use of the product

Knapp Clip Connectors GIGANT, RICON, RICON S WALCO V and WALCO 40 are manufactured in accordance with the provisions of this European Technical Assessment using the manufacturing processes as identified in the inspection of the plant by the notified inspection body and laid down in the technical documentation.

### Connector joints

A connector joint is deemed fit for its intended use provided:

#### Header – support conditions

- The header beam shall be restrained against rotation and be free from wane under the connector.

If the header carries joists only on one side the eccentricity moment from the joists

$M_{ec} = R_{joist} \times b_H/2$  shall be considered at the strength verification of the header.

$R_{joist}$  Reaction force from the joists  
 $b_H$  Width of header

- For a header with joists from both sides but with vertical forces which differ more than 20% a similar consideration applies.

## Wood to wood connections

- Connectors are fastened to wood-based members by screws or bolts.
- There shall be screws in all marked holes as prescribed in Annex A.
- The characteristic capacity of the connector joint is calculated according to the manufacturer's technical documentation, dated 2009-12-05.
- The connector joint is designed in accordance with Eurocode 5 or an appropriate national code.
- There is no gap between the end of the joist and the connector plate or between the header surface and the connector plate.
- For Knapp Clip Connectors the width of the joist shall be at least the minimum width as prescribed in Annex A or D.
- The cross section of the joist at the connector joint shall have sharp edges, it shall be without wane.
- The cross section of the header shall have a plane surface against the whole connector plate.
- The depth of the joist or header shall be so large that the minimum fastener end and edge distances are observed.
- Screws to be used shall have a diameter, which fits the holes of the connector plates.
- The screws shall be driven into softwood without predrilling for:
  - RICON (Ø5 mm) and RICON S
  - WALCO V60
 or after pre-drilling:
  - RICON (Ø8 mm)
  - WALCO V80 and WALCO 40
  - GIGANT

The screws shall be driven into hardwood after pre-drilling.

The drill hole diameters are:

| Outer thread diameter | Drill hole diameter |          |
|-----------------------|---------------------|----------|
|                       | Softwood            | Hardwood |
| 5,0                   | 3,0                 | 3,5      |
| 6,0                   | 4,0                 | 4,0      |
| 8,0                   | 5,0                 | 6,0      |
| 10,0                  | 6,0                 | 7,0      |
| KS12x60               | 8,0                 | 9,0      |
| KS16x60               | 12,0                | 13,0     |

## Wood to steel and wood to concrete

The above mentioned rules for wood to wood connections are applicable also for the connection between the joist and the steel-header or concrete-header.

- The connector joint is designed in accordance with Eurocodes 2, 3, 5 or 9 or an appropriate national code.
- The connector plate shall be in close contact with the steel or concrete over the whole face. There shall be no intermediate layers in between, except static calculations are made for the interlayer.
- The bolt shall have a diameter not less than the hole diameter minus 2 mm.
- The bolts shall be placed symmetrically about the vertical symmetry line. The number of bolts shall equal the number of the respective screws in the joist.
- Concrete bolts shall be in accordance with an ETA based on ETAG 001

## **4 Attestation and verification of constancy of performance (AVCP)**

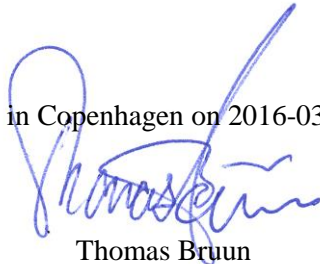
### **4.1 AVCP system**

According to the decision 97/638/EC of the European Commission<sup>1</sup>, as amended, the system(s) of assessment and verification of constancy of performance (see Annex V to Regulation (EU) No 305/2011) is 2+.

## **5 Technical details necessary for the implementation of the AVCP system, as foreseen in the applicable EAD**

Technical details necessary for the implementation of the AVCP system are laid down in the control plan deposited at ETA-Danmark

Issued in Copenhagen on 2016-03-03 by



Thomas Bruun  
Managing Director, ETA-Danmark